



This is a digital copy of a book that was preserved for generations on library shelves before it was carefully scanned by Google as part of a project to make the world's books discoverable online.

It has survived long enough for the copyright to expire and the book to enter the public domain. A public domain book is one that was never subject to copyright or whose legal copyright term has expired. Whether a book is in the public domain may vary country to country. Public domain books are our gateways to the past, representing a wealth of history, culture and knowledge that's often difficult to discover.

Marks, notations and other marginalia present in the original volume will appear in this file - a reminder of this book's long journey from the publisher to a library and finally to you.

Usage guidelines

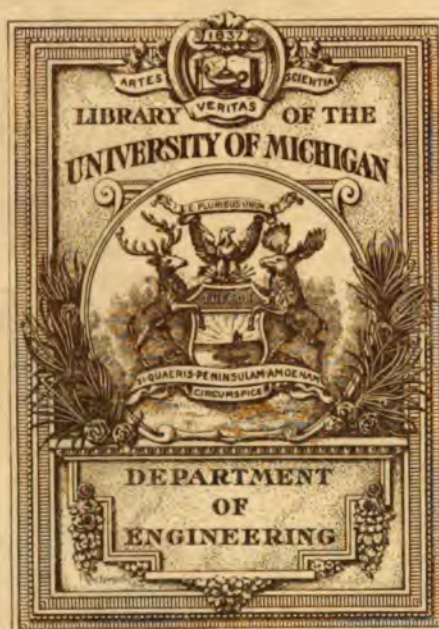
Google is proud to partner with libraries to digitize public domain materials and make them widely accessible. Public domain books belong to the public and we are merely their custodians. Nevertheless, this work is expensive, so in order to keep providing this resource, we have taken steps to prevent abuse by commercial parties, including placing technical restrictions on automated querying.

We also ask that you:

- + *Make non-commercial use of the files* We designed Google Book Search for use by individuals, and we request that you use these files for personal, non-commercial purposes.
- + *Refrain from automated querying* Do not send automated queries of any sort to Google's system: If you are conducting research on machine translation, optical character recognition or other areas where access to a large amount of text is helpful, please contact us. We encourage the use of public domain materials for these purposes and may be able to help.
- + *Maintain attribution* The Google "watermark" you see on each file is essential for informing people about this project and helping them find additional materials through Google Book Search. Please do not remove it.
- + *Keep it legal* Whatever your use, remember that you are responsible for ensuring that what you are doing is legal. Do not assume that just because we believe a book is in the public domain for users in the United States, that the work is also in the public domain for users in other countries. Whether a book is still in copyright varies from country to country, and we can't offer guidance on whether any specific use of any specific book is allowed. Please do not assume that a book's appearance in Google Book Search means it can be used in any manner anywhere in the world. Copyright infringement liability can be quite severe.

About Google Book Search

Google's mission is to organize the world's information and to make it universally accessible and useful. Google Book Search helps readers discover the world's books while helping authors and publishers reach new audiences. You can search through the full text of this book on the web at <http://books.google.com/>



Engin. Library

TG
327
, S46

GRANDES VOÛTES

PAR

Paul SÉJOURNÉ

INGÉNIEUR EN CHEF DES PONTS ET CHAUSSÉES
INGÉNIEUR EN CHEF DU SERVICE DE LA CONSTRUCTION
DE LA COMPAGNIE PARIS-LYON-MÉDITERRANÉE
PROFESSEUR A L'ÉCOLE NATIONALE DES PONTS ET CHAUSSÉES

TOME VI — APPENDICE

PRATIQUE DES VOÛTES

1^{RE} PARTIE

INSTRUCTIONS POUR PROJETER ET CONSTRUIRE

2^{ME} PARTIE

CALCULS ET ÉPURES

3^{ME} PARTIE

TABLES NUMÉRIQUES

ANNEXES

BOURGES

IMPRIMERIE V^{VE} TARDY-PIGELET ET FILS
15, RUE JOYEUSE, 15

—
1916

Tous droits de reproduction, de traduction et d'adaptation
réservés pour tous pays.

Copyright by Paul Séjourné — 1916.



POUR RELIER, CONSULTER, CONSERVER L'OUVRAGE, voir p. 283.

APPENDICE

PRATIQUE DES VOÛTES

1^{RE} PARTIE

INSTRUCTIONS POUR PROJETER ET CONSTRUIRE

2^{ME} PARTIE

CALCULS ET ÉPURES

3^{ME} PARTIE

TABLES NUMÉRIQUES

T. VI. — 1 *bis*.

I^{re} PARTIE

INSTRUCTIONS

POUR PROJETER ET CONSTRUIRE

LIVRE I

**OUVRAGES DE 8^m D'OUVERTURE
ET AU-DESSOUS**

LIVRE II

VIADUCS

LIVRE I

OUVRAGES

DE 8^M D'OUVERTURE ET AU-DESSOUS

TITRE I

PROJETS D'EXÉCUTION

CHAPITRE I

DÉBOUCHÉS

Il est fort important, — mais fort difficile, — de déterminer le débouché des petits ouvrages. On a pour eux beaucoup moins de renseignements que pour les grands : les circonstances locales y comptent beaucoup plus.

Il n'y a de sûr que la comparaison avec les ouvrages voisins, reconnus, après examen attentif, suffisants sans exagération d'ouverture. On relèvera donc, avec le plus grand soin, leurs débouchés¹ linéaire et superficiel, leur revanche, leur remous, etc...

En l'absence de renseignements précis, ou à défaut d'ouvrages voisins, on a généralement exagéré les débouchés des petits ouvrages. Or, ils sont très nombreux : leur coût augmente très vite avec leur ouverture et leur longueur. Il faut donc ne faire pour eux que ce qui est strictement nécessaire.

Pour les petits ponts métalliques, au contraire, on peut augmenter un peu la portée sans bien grande dépense.

Sous la condition essentielle qu'il y ait une revanche suffisante sous la clef ou sous les poutres, un pont trop étroit suffit à débiter les eaux des crues s'il est bien fondé, si les terrassements et les quarts de cône aux abords n'ont rien à craindre, et si la vitesse sous l'ouvrage ne peut pas affouiller le terrain, au cas où il n'y aurait pas de radier.

Un ouvrage sous charge de remblai peut même être aveuglé sans inconvénient sérieux : le remous à l'amont forme une charge qui augmente le débit et compense l'insuffisance du débouché ; mais il faut être absolument sûr des fondations ; il faut que les parafoilles, ou les murs, s'il n'y a pas de radier, soient bien encastrés dans un terrain solide en contre-bas des affouillements possibles.

La revanche sous la clef ou sous les poutres est un élément encore plus important à déterminer que le débouché. Il y a beaucoup d'ouvrages qui sont insuffisants, malgré une ouverture exagérée, parce qu'ils n'ont pas assez de revanche.

Sur des torrents à largeur démesurée, il conviendra souvent de réduire l'ouverture, non seulement par économie, mais pour que les eaux fassent chasse sous l'ouvrage ; avec trop de débouché, le lit s'élève, et un ouvrage d'ouverture exagérée devient insuffisant.

En l'absence d'ouvrages existants voisins, voici différentes méthodes qui permettent une première approximation : elle suffit quelquefois.

1. On reconnaîtra en comparant ces renseignements que, pour beaucoup, les débouchés ont été pris au hasard.

Art. 1. — Difficulté de fixer les débouchés des petits ouvrages.

Art. 2. — Nécessité de réduire les débouchés à juste ce qu'il faut.

Art. 3. — Méthodes approchées pour fixer les débouchés.

A. — Débouché en fonction du débit du cours d'eau.

On calcule le débit de l'ouvrage à l'aide de la table T₁ (APPENDICE, — 3^e partie). On s'assure qu'il est à peu près le même que celui du cours d'eau, lequel s'évalue comme suit :

Lorsque, sur une certaine longueur, le lit est à peu près régulier et qu'on connaît bien la hauteur des plus hautes eaux, on lève, en différents points bien choisis, la section et le périmètre mouillés par les hautes eaux, et on calcule le débit à l'aide de la table T₁.

B. — Débouché en fonction de la longueur du cours d'eau.

Pour les petits ouvrages établis sur des cours d'eau qui ne dépassent pas 5 ou 6^k, on peut admettre sans bien grande erreur que, dans la même région, les ouvertures sont proportionnelles aux longueurs des cours d'eau. Des ouvrages existants, on déduira facilement le coefficient de proportionnalité ².

Dans une étude d'avant-projet, et comme première approximation, on pourra sans grande erreur adopter 1^m d'ouverture par km. de développement de la branche principale du cours d'eau, soit :

0^m60 pour de simples dépressions de moins de 250^m ³ ;

0^m70 pour des dépressions de 250 à 500^m ;

1^m00 pour des dépressions de 500^m à 1^{km} ;

1^m50 pour des dépressions de 1^{km} à 1^{km}500, etc...

On mesure la longueur sur le plan ou sur la carte, ou à défaut au pas.

On augmente le débouché pour les ravins qui charrient ; on le diminue pour les ouvrages sous charge.

C. — Débouché en fonction de la surface du bassin versant.

J'ai fait relever, pour plusieurs centaines d'ouvrages, les ouvertures, bassins, pentes, etc... Il est à peu près impossible d'en dégager une loi, même par régions bien définies. On a toutefois le sentiment, en établissant des graphiques, que, dans la même région et pour de petits bassins, les ouvertures sont proportionnelles à la racine carrée du bassin versant.

Soient : 2a l'ouverture en mètres, S la surface du bassin versant en hectares. On peut admettre comme première approximation :

Pour un bassin de :	2a =
4 hectares et au-dessous	0 ^m 60.
4 à 400 hectares.....	0 ^m 30 + 0,16 \sqrt{S} .
plus de 400 hectares et jusqu'à 30.000	0,17 \sqrt{S} .

Voici, d'après ces formules, les valeurs de 2a pour S de 0 à 7.000 hectares :

Surface du bassin en hectares S	Ouverture 2a	Surface du bassin en hectares S	Ouverture 2a	Surface du bassin en hectares S	Ouverture 2a
4 ^k	0 ^m 60	424 ^k	3 ^m 50	1.695 ^k	7 ^m 00
7	0 70	554	4 00	1.946	7 50
19	1 00	701	4 50	2.214	8 00
56	1 50	865	5 00	2.803	9 00
113	2 00	1.047	5 50	3.460	10 00
173	2 50	1.247	6 00	4.982	12 00
285	3 00	1.462	6 50	6.782	14 00

2. En Andalousie, pour les cours d'eau torrentiels (Ramblas), lesquels n'ont d'eau qu'à la suite d'orages, nous admettions de 1 mètre à 1^m20 d'ouverture par kilomètre de développement de la branche principale. On avait opéré de même à l'Ouest Algérien.

3. En principe, on place un aqueduc au fond de toutes les dépressions barrées par un remblai. On s'est quelquefois contenté, pour les toutes petites, d'un drain, d'un filtre : c'est une mauvaise pratique.

CHAPITRE II

LEVERS DE DÉTAIL AUX ABORDS DES OUVRAGES

Dans les limites qui intéressent l'ouvrage, on lèvera un plan spécial avec le nombre de cotes convenable.

Les plans levés aux abords des ouvrages doivent être dressés avec le procédé le plus pratique dans chaque cas ; ordinairement, avec une petite ligne de base et des profils en travers sur cette base ; exceptionnellement, dans les terrains difficiles, au tachéomètre.

Ils auront assez de cotes et s'étendront assez loin de chaque côté, surtout à l'amont, pour bien assurer l'entrée et la sortie des eaux, bien placer les têtes, bien orienter l'ouvrage.

C'est sur ces plans spéciaux qu'on lèvera le profil en long de l'ouvrage, puisque c'est sur eux qu'on arrêtera sa direction. Pour les ouvrages à faible pente, spécialement pour ceux d'irrigation, on vérifiera sur le terrain ce profil en long.

Sur le profil en long et sur les profils en travers des cours d'eau, on marquera, si on a pu l'avoir, la ligne des hautes eaux.

CHAPITRE III

HAUTEUR DES PIEDS-DROITS

§ 1. — OUVRAGES SERVANT EXCLUSIVEMENT A L'ÉCOULEMENT DES EAUX

On règle la hauteur des pieds-droits sur celle des hautes eaux.

La revanche sera déterminée comme suit :

Pour les aqueducs de 0^m60 et 0^m70 établis sur des dépressions de moins de 500^m, une revanche de 0^m25 est en général suffisante.

A des ponts sur de grands fleuves, on s'est contenté d'une revanche de moins de 2^m00. On peut, sauf dans des cas tout-à-fait exceptionnels, fixer à 1^m50 la revanche des ponts de 8^m00 en plein cintre.

On fera varier la revanche d'une manière continue de 0^m25 à 1^m50 comme l'indique ce tableau :

Ouverture	Revanche minima	Ouverture	Revanche minima
0 ^m 60	0 ^m 25	4 ^m 00	1 ^m 10
0 70	0 25	5 00	1 20
1 00	0 35	6 00	1 30
2 00	0 60	7 00	1 40
3 00	0 80	8 00	1 50

Pour les voûtes surbaissées, on admettra les mêmes limites, avec cette deuxième condition que les hautes eaux ne dépasseront pas la ligne des naissances.

Il est bien entendu que ces revanches sont des minima, qu'on les augmentera s'il y a lieu, — par exemple, si le cours d'eau entraîne de gros blocs, charrie des arbres, etc., — dans les régions à pluies torrentielles, à sol nu et friable : il faut là, pour prévenir les obstructions, élever sensiblement les pieds-droits des ouvrages.

Art. 1. — Revanche minima au-dessus des plus hautes eaux.

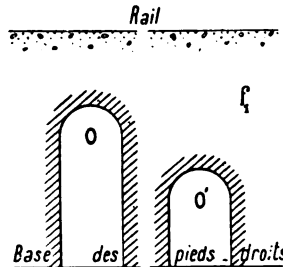
Les Agents qui débutent, cherchent, pour réduire les terrassements, à lécher de trop près le terrain naturel : on empêche ainsi les ouvrages de bien fonctionner, et on expose la plateforme à être surmontée.

Art. 2. — Hauteur des pieds-droits des ouvrages en plein cintre.

A. — *Minima* : 0^m55.

B. — *Maxima* : 1^m00.

Pour visiter et curer un aqueduc, il faut une ouverture d'au moins 0^m60 et, sous clef, une hauteur d'au moins 0^m85, soit, pour un aqueduc de 0^m60, une hauteur minima de pieds-droits de 0^m55. Pour la plus grande ouverture d'un ouvrage courant, 8^m, on ne peut accepter de poser sur le sol la ligne des naissances. J'adopterai la même limite de 0^m55.



Soient deux ouvrages O et O' (f.) de même ouverture, pour lesquels il y a même différence de cotes entre le rail et la base des pieds-droits ; O, plus haut et plus court, est (y compris murs en aile ou en retour) plus cher que O', plus bas et plus long.

Il convient donc de limiter strictement la hauteur des pieds-droits à ce qu'impose la revanche de la clef au-dessus des hautes eaux. Sauf cas très exceptionnels, 1^m00 suffit.

C. — *Entre les deux limites de 0^m55 et 1^m00.*

Elle sera déterminée dans chaque cas, soit uniquement par la revanche au-dessus des eaux, soit si, bien que l'ouvrage soit fait pour écouler l'eau, on veut permettre — à titre exceptionnel — à un piéton d'y passer en se courbant.

On adoptera, pour chaque ouverture, 3 hauteurs types de pieds-droits : 0^m55, 1^m, et une hauteur intermédiaire.

§ 2. — OUVRAGES SERVANT DE PASSAGE

Art. 11 du Cahier des charges des grandes Compagnies : « *Lorsque le chemin de fer devra passer au-dessus d'une route nationale ou départementale, ou d'un chemin vicinal, l'ouverture du viaduc sera fixée par l'Administration, en tenant compte des circonstances locales ; mais cette ouverture ne pourra, dans aucun cas, être inférieure à 8^m pour une route nationale, à 7^m pour la route départementale, à 5^m pour un chemin vicinal de grande communication, et à 4^m pour un simple chemin vicinal* »⁴.

« *Pour les viaducs de forme cintrée, la hauteur sous clef, à partir du sol de la route, sera de 5^m00 au moins. Pour ceux qui seront formés de poutres horizontales en bois ou en fer, la hauteur sous poutre sera de 4^m30 au moins...*

« *La hauteur des parapets sera fixée par l'Administration, et ne pourra, dans aucun cas, être inférieure à 0^m80* »⁵.

Pour les chemins ruraux, en général peu importants, on pourra réduire l'ouverture des ouvrages à 3^m et la hauteur sous clef à 3^m50.

Enfin, dans les acquisitions de terrains, il a pu convenir d'accorder aux propriétaires des passages particuliers pour piétons et bestiaux, de 1^m00 à 2^m50 d'ouverture ; on ménagera sous clef des hauteurs variant de 2^m à 2^m75.

On ne dépassera pas 3^m pour la hauteur des pieds-droits des ouvrages en plein cintre de 4^m à 8^m.

Les angles des culées des passages inférieurs doivent être en pierre dure. On les protégera contre le choc des roues des véhicules, par des trottoirs avec bordures, ou par des boute-roues.

4. Toutefois, sauf cas exceptionnels, l'ouverture des passages ne sera pas supérieure à la largeur fixée par l'arrêté de classement de la route ou du chemin

5. D'après une décision ministérielle du 31 août 1855, la hauteur des parapets en maçonnerie doit être portée à 1^m50 pour les ponts placés à moins de 200^m en avant, et moins de 150^m en arrière du milieu des trottoirs des gares.

CHAPITRE IV

DISPOSITIONS DES OUVRAGES EN PLAN

J'appelle très spécialement l'attention sur la nécessité de bien placer les ouvrages. Il faut que la direction soit bien celle qui convient, et que les têtes soient placées où il faut. Dès qu'il y aura doute ou difficulté, les chefs de section devront faire indiquer devant eux, sur place, avec des jalons, l'emplacement des têtes. On peut relever, dans les lignes construites, quantité d'erreurs d'implantation ⁶ qui sautent aux yeux, et qu'un chef de section un peu soigneux eût évitées en « présentant » l'ouvrage.

Il faut surtout bien étudier sur place l'entrée des eaux, les bien entonner dans l'ouvrage. Si un fossé latéral amène beaucoup d'eau, on l'infléchira un peu avant d'arriver au cours d'eau.

Éviter en principe de dévier les cours d'eau, surtout les torrents. Si on les modifie, les modifier le moins possible : bien s'assurer qu'il n'y aura ni affouillement, ni dépôt, devant, sous, derrière l'ouvrage.

Une modification de cours d'eau impose souvent d'importants travaux de défense.

Dans certains torrents à large lit, il faut parfois prolonger les murs en aile, évasés par des guideaux en enrochements ou en blocs de béton, pour entonner les eaux sous le pont. Ce sont les courants obliques qui sont les plus dangereux.

Il faut enfin que les eaux sortent facilement, et aussi qu'elles ne ravinent pas les propriétés en aval du chemin de fer.

Les murs en aile ⁷ coûtent toujours un peu plus cher que les murs en retour ⁸, surtout pour les ouvrages à radier, du moins en apparence, quand on fait les métrés comparatifs ; mais les murs en retour comportent des gazonnements, souvent des perrés, qu'on ne peut pas évaluer d'avance.

Dans les ouvrages sur torrents, il faut non seulement défendre le pied des quarts de cône, mais quelquefois empêcher par des guideaux les eaux de se jeter sur les remblais et d'y faire brèche.

Pour les ouvrages sans radier, la différence de dépense est très peu importante ; pour les ouvrages à radier, elle peut être négligée pour les portées de 3^m et au-dessous.

S'il y a beaucoup à épuiser, s'il faut fonder sur pilotis, le mur en retour ramassé vaut mieux que de longues et étroites fondations de mur en aile.

Sauf ces cas, les murs en aile seront toujours adoptés :

1° pour tous les ouvrages sous charge de remblai, parce qu'ils résistent mieux à la poussée sur les têtes ;

2° pour tous les ouvrages sur cours d'eau, parce qu'ils assurent mieux l'entrée et la sortie des eaux, et qu'ils ne comportent pas d'ouvrages accessoires ; élever dans ce cas la murette de retour un peu au-dessus des hautes eaux ;

3° pour tous les ouvrages sans radier.

En principe, on n'étudiera de murs en retour que pour les passages inférieurs ne rentrant pas dans les catégories précédentes, c'est-à-dire ceux fondés sur radier général et sans surcharge, ceux où le tracé des chemins imposerait des murs en aile trop évasés ou des murettes trop hautes.

6. Par exemple : un ponceau débouchant en face d'une paroi de rocher — ou trop biais sur le lit à chaque tête....

7. Dits quelquefois en prolongement des pieds-droits.

8. Dits quelquefois en prolongement des têtes.

Art. 1. — Direction, entrée, sortie des eaux.

Art. 2. — Murs en aile ou murs en retour ?

A. — Choix à faire.

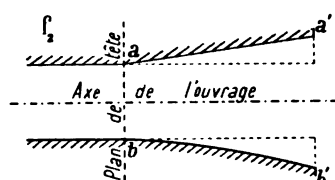
B. — Évasement des murs en aile.

Sauf exception motivée, pour les ouvrages de 0^m60 à 1^m00, les murs en aile seront établis sans évasement, en prolongement des pieds-droits.

Les ouvrages de plus de 1^m seront évasés suivant ce que les lieux demandent (entrée des eaux, raccordement avec les chemins latéraux, etc.).

Quand l'évasement ne sera pas motivé, le supprimer.

On pourra le supprimer à l'aval, tout en l'admettant à l'amont.



En pratique, l'évasement varie de 1/10 à 1/5.

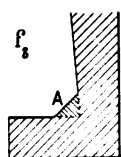
Les murs en aile (f_1) seront, soit rectilignes (il y aura alors une arête en a), soit suivant une courbe tangente en b aux pieds-droits.

Aux ouvrages de lignes à 1 voie que l'on prévoit devoir être mises à 2 voies, il peut être prudent de ne faire commencer l'évasement qu'au delà de la place de cette seconde voie.

C. — Remblais derrière les murs et murettes de retour.

Faire ces remblais en graviers ou en matériaux non décomposables par l'humidité ou la gelée; exclure les terres argileuses, le gypse, etc.

Les murettes de retour s'ouvrent quelquefois en A (f_1) par l'effet du tassement des remblais : ne pas les faire trop longues, et renforcer l'angle rentrant A.



CHAPITRE V

PENTE DES OUVRAGES SUR COURS D'EAU

Sauf ceux pour irrigation qui écoulent des eaux claires et qui sont sur des canaux à faible pente, les ouvrages pour l'écoulement des eaux doivent avoir au moins 0,02 de pente.

Il faut donner aux ouvrages le plus de pente qu'on peut.

Il vaut bien mieux augmenter la pente qui ne coûte rien, que l'ouverture qui coûte cher.

Plus l'ouvrage est petit, plus il est long, plus il faut forcer la pente pour augmenter le débit et prévenir les dépôts.

Un ouvrage peut avoir plusieurs pentes, à condition que la plus petite soit encore suffisante et qu'elles soient bien raccordées.

A la sortie de l'ouvrage, avoir une pente telle que les matériaux entraînés ne s'y déposent pas; il suffira parfois de creuser un peu plus en aval qu'en amont la dérivation ou le lit.

Bien éviter les réductions de pente à l'amont et sous l'ouvrage par rapport au lit d'amont : elles diminueraient la vitesse et provoqueraient des dépôts.

Un ouvrage bien fondé peut avoir une inclinaison allant jusqu'à 1/1°. Au-delà de 30/100, on rejointoyera au ciment le bas des pieds-droits et le radier; avec de pareilles pentes, on n'a jamais à débiter beaucoup d'eau.

9. Exemples d'ouvrages en forte pente :

Lignes de :	Ouverture	Pente	Charge de remblai sur la voûte
Rodez à Millau.....	2 ^m 50	0 168	»
Mende à La Bastide	1 00	0 200	0 ^m 50
Brioude à Saint-Flour.....	0 70	0 37	2 90
Morez à Saint-Claude	1 00	0 335	6 70
	0 70	0 58	9 20
Frasne à Vallorbe	2 00	0 71	3 60
	0 70	0 39	1 80
	4 00	0 36	6 40

Sous aucun prétexte, on ne fera d'ouvrages à chutes, sauf quand le rocher en forme naturellement. Les ouvrages à chutes sont très chers, cassent facilement ¹⁰.

Dans certains cas exceptionnels, on acceptera un mur de chute, mais seulement à la tête aval, en dehors de la voûte : on protégera le pied de la chute par des dalles ou des enrochements.

Dans les terrains friables à forte pente, on coupera les ravins à l'amont par une série de petits barrages à pierres sèches, comme en fait le Service des Forêts.

Quand la pente dépassera 30 0/0, on retournera horizontalement la tête aval, afin de supprimer les angles aigus du bandeau.

On a quelquefois disposé la tête amont perpendiculairement à la pente : c'est laid.

CHAPITRE VI

DES DIFFÉRENTS TYPES D'OUVRAGES

§ 1. — DALOTS ¹¹

Bien qu'on en ait fait beaucoup, il faut éviter les dalots sous le chemin de fer, parce que les dalles peuvent casser brusquement ¹².

Les dalots sous rails doivent avoir au moins 0^m60, au plus 0^m80 de portée, une hauteur sous dalles d'au moins 0^m85.

On a fait des dalots avec des dalles directement sous ballast, d'autres sous charge de 4 à 5^m. Il conviendra de ménager sous ballast un matelas de 0^m30 au moins, 0^m40 si c'est possible.

On acceptera les dalots sous rails à l'entrée des souterrains, quand il s'agira de faire passer un fossé ou les deux fossés de la voie dans l'aqueduc du souterrain. Dans ce cas, la dalle est directement sous le ballast, et la portée est réduite à 0^m40, à 0^m50.

Les dalots sous rails ne seront pas couronnés au niveau du rail, ni même au niveau de la plate-forme ; on appareillera en crossette la dalle de tête, comme pour un ouvrage sous charge.

Pour ceux-là, pas d'ouverture minima ; on pourra descendre à 0^m40 et même 0^m50.

§ 2. — BUSES

Les buses en ciment ont été souvent employées sous rails ¹³. Elles sont trois fois moins chères que les aqueducs de même ouverture.

Comme leurs parois sont plus lisses, à égalité de section et de pente, elles débitent plus. (Voir plus loin la table T₁.)

Elles sont ordinairement moins chères que les dalots ; mais, comme eux, exposées à casser.

Il est prudent de ne les accepter que dans des cas tout à fait exceptionnels, et de préférence pour écouler des eaux claires (irrigations, sources).

Pour éviter des ruptures, on ménagera toujours, entre le dessous du ballast et le dessus de la buse, un matelas aussi épais que possible, jamais moins de 0^m50.

On n'emploiera pas de tuyaux achetés tout faits.

Les buses seront toujours faites, en place, autour d'un moule dont la surface est la douelle de la buse.

10. Il y en a eu beaucoup de cassés entre Millau et Séverac.

11. On a écrit dalots et non dallots, d'après Littré.

12. On pourrait, toutefois, les admettre dans certaines régions où l'on trouve des dalles d'un schiste très résistant et élastique (par exemple à Lourdes).

13. Sous la ligne de Marvejols à Neussargues, il y a 1.023^m de buses de 0^m70. J'en ai construit beaucoup : en Espagne, et sous de très grands remblais ; — sous les lignes de Mende à La Bastide, de Brioude à Saint-Flour (42 buses — charge maxima de remblai : 4^m). Il n'y a jamais eu d'accidents ni d'inconvénients pour l'écoulement des eaux, même sales, à condition que la buse eût une pente d'au moins 0,02.

Art. 1. — Sous rails.

Art. 2. — Hors la voie.

Art. 1. — Buses en ciment.

A. — Sous rails.

On ne tolérera que très exceptionnellement qu'elles soient faites par tuyaux pilonnés verticalement à côté de l'ouvrage : les joints en seront fermés par un bourrelet en béton (500^k de ciment pour 1^m de sable et « graville »).

Le diamètre sera d'au moins 0^m60, d'au plus 0^m80 : au-delà, il devient difficile de bien faire une buse en ciment non armé.

B. — Hors la voie.

Hors la voie, la rupture d'une buse est plus rare et moins grave. On ménagera un matelas de 0^m30 au moins entre le chemin et le dessus de la buse.

Pas de minimum d'ouverture prescrit ; on ne descendra pas toutefois au-dessous de 0^m30.

Les buses sous et hors la voie seront enveloppées de terre pilonnée sur 0^m30 au moins.

Art. 2. — Buses en fonte pour irrigations.

Pour les eaux d'irrigation, on peut aussi employer des buses en fonte.

Il convient de les établir en déblai sous une certaine charge de plate-forme. Avoir soin de ménager, à l'amont, un petit puisard pour décanter les eaux, et de tenir l'entrée de la buse à 0^m15 au-dessus du fond du puisard.

La pente de ces buses peut être abaissée à 0,002.

Elles sont en général plus chères que les buses en ciment de même section : pour leurs joints (à emboîtement et cordon), il faut des ouvriers spéciaux.

On ne les emploiera donc que pour les diamètres inférieurs à 0^m30, limite au-dessous de laquelle il n'est pas pratique de faire, sur les chantiers, des buses en béton de ciment.

§ 3. — CHOIX, POUR LES PETITS OUVRAGES HORS LA VOIE, ENTRE L'OUVRAGE VOÛTÉ, LE DALOT ET LA BUSE.

En général, l'aqueduc voûté est beaucoup plus cher que le dalot, et celui-ci, un peu plus cher que la buse.

Sauf exceptions motivées, employer le dalot pour les ouvertures de moins de 0^m30. Pour celles de 0^m30 inclus à 0^m80 inclus, employer toujours la buse en ciment ou le dalot : on choisira d'après le prix.

0^m80 est la limite d'ouverture des buses en ciment (en ciment non armé).

Pour les dalots, la limite est celle que donnent les matériaux du pays.

On ne dépassera pas en général 0^m80, ce qui exige des dalles de 1^m10 à 1^m20.

S'il s'agit de canaux d'irrigation, préférer toujours en principe la buse en ciment, qui à égalité de section débite plus, ou la buse en fonte pour les diamètres inférieurs à 0^m30.

§ 4. — SIPHONS SOUS RAILS

On les évitera, parce qu'ils sont difficiles à entretenir, et qu'ils donnent lieu à des difficultés avec les intéressés.

Il ne faut pas non plus en avoir une peur exagérée : ils fonctionnent bien lorsque les eaux sont claires et bien décantées par des puisards.

Les tuyaux de siphons seront en fonte ou en béton de ciment, ou même en maçonnerie, suivant leur ouverture et la charge d'eau.

Quand on a beaucoup d'eau à débiter, il vaut mieux accoler deux tuyaux qu'établir un seul tuyau d'un grand diamètre, parce qu'on a toujours intérêt à réduire la hauteur et que, d'autre part, en cas d'accident ou d'obstruction, il y a chance qu'un tuyau sur deux fonctionne.

§ 5. — BÂCHES EN TÔLE OU EN BÉTON ARMÉ

Quand une rigole d'irrigation est coupée à plus de 4^m80 au-dessus du rail, on examinera si, au lieu de la faire siphonner, il n'y aurait pas avantage à la faire passer par dessus le rail dans une bache.

§ 6. — OUVRAGES SOUS CHARGE DE REMBLAI

Un ouvrage sous charge coûte toujours moins cher qu'un ouvrage couronné au niveau de la plate-forme ¹⁴. On ne cherchera donc pas à augmenter la hauteur des pieds-droits, sauf pour

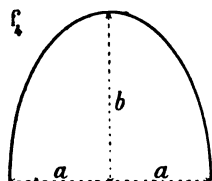
¹⁴. Voir plus haut p. 10.

Art. 1. — Les adopter en principe.

ceux sur cours d'eau, quand il y a intérêt à augmenter le débouché, et lorsqu'il y aurait peu à augmenter la hauteur, pour atteindre le niveau de la plate-forme.

Pour les ouvertures de 2^m et au-dessus, sous charge de remblai de plus de 5^m, on pourra adopter, si l'économie en vaut la peine, des ouvrages en ellipse surhaussée ¹⁵.

Il n'y aura que 2 types (f_1) :

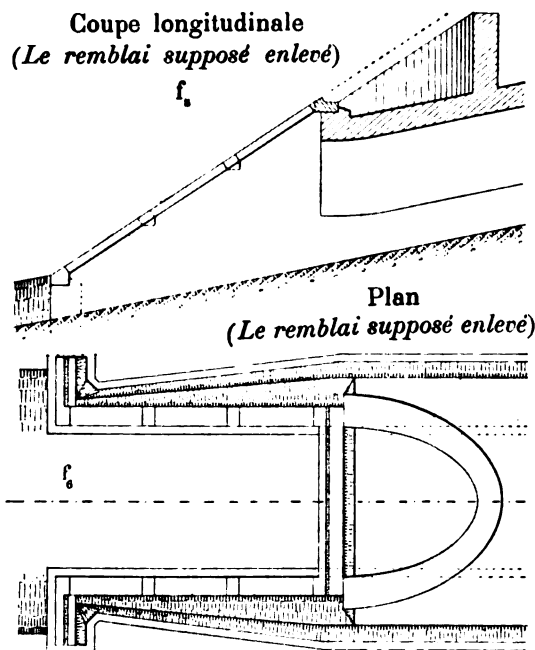


$$b = 1,5 a \quad \frac{b}{2a} = \frac{3}{4} = 0,75 \quad (\text{Type 1}).$$

$$b = 2 a \quad \frac{b}{2a} = 1 \quad (\text{Type 2}).$$

Pour la même hauteur sous clef, l'ellipse surhaussée cube moins de maçonnerie que le plein-cintre sur pieds-droits.

On adoptera le type 1, moins cher, quand sa revanche suffira.



Sous un haut remblai, et surtout si l'ouvrage est en très forte pente, on peut craindre que la tête la plus basse se détache du corps.

Pour reporter la poussée sur les murs en aile, on a quelquefois ¹⁶ établi, à la tête la plus basse, une voûte à axe vertical en plein cintre; elle serait, plus utilement, en ellipse surhaussée ou en ogive (f_1-f_2).

Ce dispositif ne sera pas appliqué sous charge de remblai de moins de 5^m.

Art. 2. — Ouvrages en ellipse surhaussée.

Art. 3. — Voûtes à axe vertical reportant sur les murs en aile la poussée du remblai.

15

Exemples :

Renvoi 15 (suite).

Lignes de :	Ouverture	Charge de remblai sur la voûte
Mende à Sévérac	2 ^m 00	25 ^m 00
Linarès à Almería (Espagne) ...	3 ^m 00 4 ^m 00 7 ^m 00	23 ^m 14 8 ^m 09 9 ^m 85
Mende à La Bastide	2 ^m 00	18 ^m 30
Embranch' de Stravopol (Russie) ...	1 ^m 60 2 ^m 43	12 ^m 65 19 ^m 76
Pétrovsk à Bakou (Russie)	6 ^m 40 8 ^m 54	16 ^m 85 6 ^m 00
Tikhoreskala à Tzarytsine (Russie) ...	1 ^m 92 2 ^m 67 6 ^m 06	21 ^m 27 5 ^m 38 34 ^m 20
Langogne au Puy	2 ^m 00 4 ^m 00	5 ^m 50 10 ^m 00

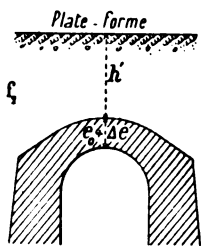
16

Lignes de :	Ouverture	Charge de remblai sur la voûte
Brioude à Saint-Flour	2 ^m 00 2 ^m 00 2 ^m 50 3 ^m 00 4 ^m 00 5 ^m 00 5 ^m 00	7 ^m 64 9 ^m 65 32 ^m 20 15 ^m 77 13 ^m 03 13 ^m 88 14 ^m 10

Lignes de :	Ouverture	Pente	Charge de remblai sur la voûte
Rodez à Millau	1 ^m 20 2 ^m 00	0.148 0.075	25 ^m 00
Mende à Sévérac	1 ^m 00 1 ^m 50	0.167 et 0.20 0.20	12 ^m 65 12 ^m 30
Marvejols à Neussargues ...	1 ^m 00 2 ^m 00	0.15 et 0.20 0.20 0.13	17 ^m 10 9 ^m 90 5 ^m 10

Art. 4. — Supplément d'épaisseur des ouvrages sous charge de plus de 3^m de remblai.

A. — A la clef: Δe (f_1).



Les premiers mètres de surcharge pèsent de tout leur poids sur la voûte, mais le remblai des mètres suivants s'arc-boute au-dessus; ne pèse sur la voûte que la terre comprise dans une sorte d'ogive ou d'ellipse surhaussée (f_1) dont la montée augmente avec l'ouverture de l'ouvrage.

Il doit y avoir, pour chaque ouverture, une hauteur limite de surcharge h'' à partir de laquelle un supplément de remblai ne donne plus de supplément de poussée ¹⁷.

C'est ainsi que des souterrains tiennent sous d'épaisses masses en mouvement.

J'admets que Δe doit :

- 1° — être nul pour des surcharges de 3^m et au-dessous ;
- 2° — augmenter avec l'ouverture $2a$ et la surcharge h' ;
- 3° — cesser de croître à partir d'une certaine limite h'' de surcharge, laquelle augmente avec l'ouverture $2a$;

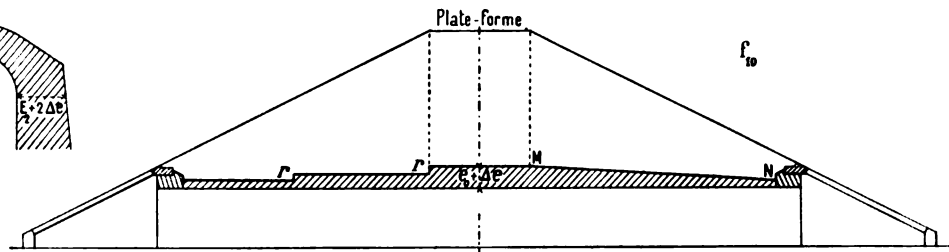
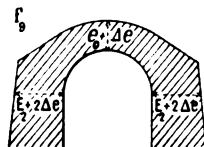
4° — être limité :

pour la portée de 5^m (souterrain à une voie) : à 0^m25 avec une hauteur limite $h'' = 16^m$.
pour la portée de 8^m (souterrain à 2 voies) : à 0^m36 avec une hauteur limite $h'' = 20^m$.

C'est d'après ces données qu'a été dressé au Titre II, chapitre I, § 1, art. 3, le tableau II des valeurs numériques de Δe .

B. — Aux naissances (f_2).

On a admis $2 \Delta e$.



C. — Comment varie l'épaisseur de la voûte, d'une tête à l'autre (f_3).

L'épaisseur aux têtes et jusqu'à 3^m de surcharge est e_0 . Elle est $e_0 + \Delta e$ sur toute la largeur de la plate-forme.

De chaque tête au bord de la plate-forme, on gagnera le supplément Δe soit par une ligne continue d'extrados M N, soit par des ressauts r (f_3).

§ 7. — OUVRAGES COURONNÉS AU NIVEAU DU RAIL OU AU NIVEAU DE LA PLATE-FORME ?

Jusqu'à 3^m de portée, l'ouvrage couronné au niveau de la plate-forme coûte moins cher ; de 3^m à 6^m, il coûte plus cher, mais la différence est négligeable. Il a l'avantage de conserver à la plate-forme sa largeur normale ; on le préférera donc jusqu'à 6^m inclus.

¹⁷. On a impunément chargé des buses en ciment de hauts remblais, déposé à titre provisoire des remblais sur une file de tonneaux faisant aqueduc...

Pour 7^m et 8^m, bien que les différences soient peu importantes, on fera l'étude comparative.

Il peut y avoir quelquefois intérêt à couronner au niveau du rail les passages inférieurs à murs en retour, lorsque les chemins aux abords tournent très court; on gagne ainsi 0^m65 environ à chaque tête.

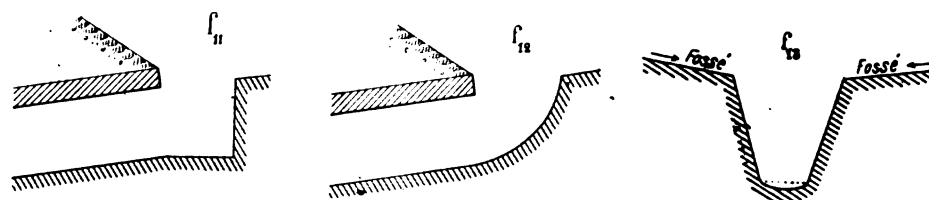
§ 8. — PUISARDS

Pour les ouvrages à flanc de coteau, il faut souvent placer un puisard à la tête amont.

L'inconvénient¹⁸ des puisards est qu'ils s'obstruent par les matières entraînées, la neige... : il est particulièrement grave là où, comme dans les Cévennes, tombent de grosses pluies d'orage et où le terrain est très friable.

Pour réduire le danger d'obstruction, il faut :

1° — diminuer, autant que possible, le cube des matières entraînées, en maçonnant les fossés, les descentes d'eau et les parois des puisards, quand la roche n'est pas très solide ;



2° — pour que les matières ne séjournent pas dans le puisard, se bien garder, comme on l'a fait souvent fort à tort, d'araser horizontalement le plafond du puisard (f_{11}) : il faut, tout au contraire, lui donner beaucoup de pente, ou le dresser en courbe à très forte pente (f_{12}) ;

3° — pour éviter, en outre, les accumulations d'atterrissements le long des pieds-droits et faciliter le nettoyage du puisard, dresser en fruit ses muraillements (f_{13}) ;

4° — pour que les matières soient facilement entraînées par l'aqueduc, lui donner une très forte pente, 20 0/0 au moins si on le peut.

§ 9. — OUVRAGES BIAIS¹⁹

Il faut éviter les appareils biais.

Sur un cours d'eau tranquille, on peut presque toujours placer l'ouvrage normalement au chemin de fer ; les ouvrages droits sont plus courts, leurs têtes plus faciles à appareiller.

On pourra aussi courber en plan les longs ouvrages pour supprimer ou réduire le biais des têtes.

S'il faut accepter un ouvrage biais, on se conformera aux indications suivantes :

1° — Le biais (angle aigu du tracé et des pieds-droits) sera en nombre rond de degrés.

2° — Il n'y aura pas de changement de pente du tracé entre les projections sur lui des points extrêmes de l'ouvrage. Au besoin, on modifierait légèrement son profil en long.

3° — De 90° à 80°, les têtes seront appareillées comme droites.

4° — De 80° à 70°, la douelle sera celle d'une voûte droite. On retournera seulement les voussoirs de tête normalement aux têtes (V, p. 74).

5° — De 70° à 55°, on adoptera l'appareil hélicoïdal pour les arcs surbaissés, l'appareil

18. Il ne faut pas se l'exagérer. Entre Marvejols et Saint-Sauveur de Peyre, sur 34 aqueducs à puisard, au bout de 15 ans (de 1879 à 1894), tous ont été trouvés en bon état, fonctionnant bien, sauf un qui était engorgé, parce qu'il n'était pas revêtu et que la roche était délitée.

19. Voir Tome V, p. 72.

Art. 1 — Ouvrages couronnés au niveau du rail ou au niveau de la plateforme.

Léveillé²⁰ pour les pleins cintres et les ellipses ;

6° — Quand le biais sera de moins de 55°²¹, on étudiera un tablier à poutrelles enrobées de béton, ou, à défaut, un tablier métallique.

Pour les ouvrages dont la longueur entre têtes sera supérieure à quatre fois l'ouverture biaise, on n'appareillera en biais, à partir de chaque tête, qu'une longueur égale à cette ouverture.

Art. 2. — Ouvrages sous charge.

Pour tous les ouvrages sous charge, les têtes resteront droites, c'est-à-dire perpendiculaires à l'axe de l'ouvrage, sous plinthes rampantes, à condition que le remblai soit assez haut pour que la plinthe ne sorte pas de la plate-forme. (Voir plus loin Titre II, chapitre V).

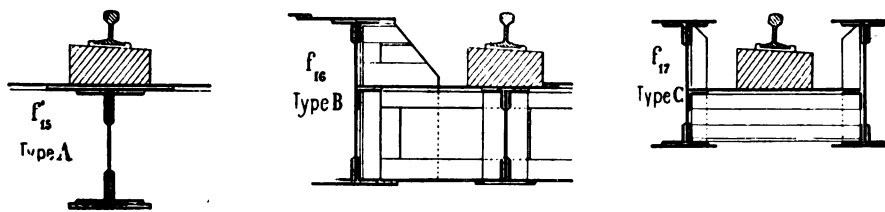
§ 10. — TABLIERS MÉTALLIQUES, POUTRELLES ENROBÉES.

Art. 1. — Tabliers métalliques.

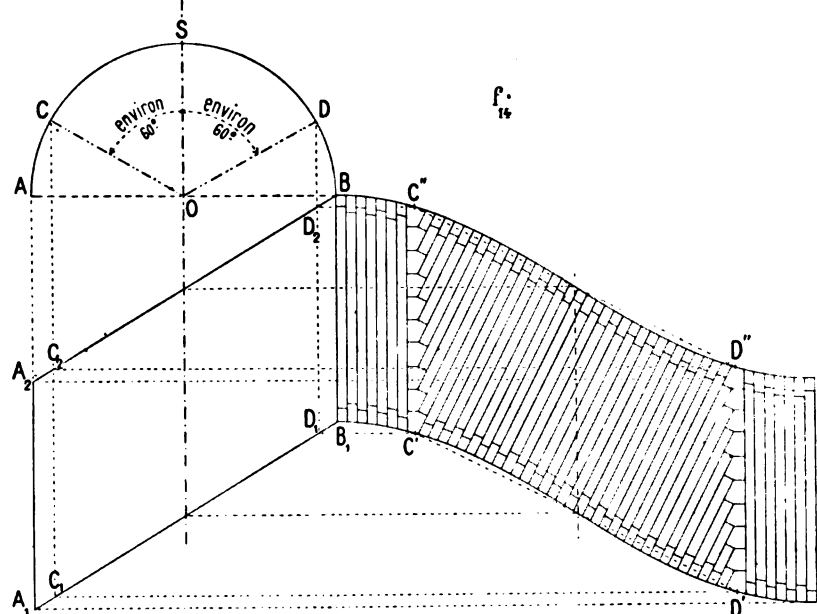
La longrine sous le rail repose : soit directement sur la poutre principale (Type A, f_{15}) ; soit sur un longeron (Type B, f_{16}) ; soit dans une poutre à caisson (Type C, f_{17}).

On choisira suivant l'épaisseur dont on dispose, (l'épaisseur est la distance verticale entre le dessus du rail bas et le point le plus bas du dessous des poutres principales).

Si la hauteur est suffisante, on adoptera le type A plus économique ; si non, — soit le type B, dont les longerons s'inscrivent facilement dans les courbes à petit rayon, — soit le type C, si la hauteur manque.



Pour un pont biais, la portée des poutres sera comptée suivant le biais ; à l'ouverture biaise, on ajoutera la distance à réserver entre les bords des sabots et les parements des culées, laquelle est au moins 0^m10 comptée normalement au parement de la culée.



20. Dans l'appareil Léveillé (f_{15}), les segments de voûte AC et BD, au-dessous du milieu de la montée, sont traités comme un berceau droit (assises parallèles à la ligne des naissances) ; le cerveau CSD, au-dessus du milieu de la montée, est en appareil hélicoïdal. Pour CSD, sur la douelle développée, les lignes d'assises sont des droites perpendiculaires aux cordes C'D', C''D'' des courbes de tête développées. Pratiquement, l'angle COS = SOD sera pris (près de et un peu au-dessus de 60°), de façon que tous les voussoirs des têtes aient même largeur en douelle et que le point S tombe au milieu d'un voussoir.

21. A la page 75 du Tome V, on a indiqué 50° comme limite du biais : on l'a élevée ici à 55° pour les ouvrages courants.

Voici les épaisseurs des trois types :

Ouverture droite	Type A		Type B		Type C	
	N° des types	Epaisseur de tablier	N° des types	Epaisseur de tablier	N° des types	Epaisseur de tablier
0 ^m 60	»	»	Au-dessous de 0 ^m 70 d'épaisseur, on n'a plus assez de hauteur pour bien fixer les longerons aux entretoises.		»	0 ^m 502
0 70	»	»			»	(si la haut. manque, 0 401)
1 00	»	»			»	0 401
1 50	N° 1	0 ^m 600			N° 21	0 502
2 00	2	0 640			22	0 502
3 00	3	0 652			23	0 502
4 00	4	0 740			24	0 504
5 00	5	0 812	N° 13	0 ^m 730	25	0 511
6 00	6	0 900	14	0 735	26	0 526
7 00	7	0 980	15	0 735	27	0 558
8 00	8	1 080	16	0 793	28	0 624

Ces épaisseurs de tablier sont pour le rail de 130^{mm} de hauteur (Vignole de 39^k). Elles devront être augmentées de 0^m012, pour celui de 142^{mm} de hauteur (Vignole de 48^k).

Depuis quelques années, on fait couramment des tabliers sous rails avec des poutrelles d'acier en I enrobées de béton de ciment : ciment 300^k, sable 400^l, gravier ou pierre cassée 800^l.

Jusqu'à la portée de 10^m, les poutrelles ont les hauteurs que fournissent couramment les forges.

Dans les calculs de résistance, on ne tient compte que des poutrelles.

Les tabliers à poutrelles enrobées ont, sur les métalliques, les avantages suivants :

- 1° — ils sont très faciles à exécuter ;
- 2° — on y pose la voie sur ballast et sur traverses, comme en voie courante ;
- 3° — ils ne demandent pas plus d'entretien que les ouvrages voûtés : l'acier enrobé de béton ne craint plus la rouille.

Si l'épaisseur de l'ouvrage n'est pas strictement limitée, on protégera le dessous des poutrelles, spécialement au-dessus des cours d'eau et des voies de chemins de fer, par un enduit en mortier de ciment : l'épaisseur du tablier est alors augmentée de 0^m030.

Voici, pour des ouvertures de 0^m60 à 8^m en palier, l'épaisseur des divers types d'ouvrages, comptée à partir du dessus du rail bas (0^m50 au-dessus de la plate-forme).

Ouverture	Epaisseur entre le dessus du rail bas (0 ^m 50 au-dessus de la plate-forme) et le dessous des :			Economie d'épaisseur des tabliers métalliques du type C par rapport :	
	tabliers métalliques (type C)	poutrelles enrobées (non compris la chape inférieure)	clefs des ouvrages voûtés (sans le matelas <i>m</i> sur la chape <i>f₁₀</i> - p. 21)	aux ouvrages avec poutrelles enrobées	aux ouvrages voûtés (sans le matelas <i>m</i> sur la chape <i>f₁₀</i> - p. 21)
0 ^m 60	0 ^m 401 ou 0 ^m 502	0 ^m 760	0 ^m 90	0 ^m 359 ou 0 ^m 258	0 ^m 499 ou 0 ^m 398
0 70	0 401 ou 0 502	0 760	0 91	0 359 ou 0 258	0 ^m 509 ou 0 ^m 408
1 00	0 401 ou 0 502	0 760	0 94	0 359 ou 0 258	0 ^m 539 ou 0 ^m 438
1 50	0 502	0 780	0 98	0 278	0 478
2 00	0 502	0 800	1 02	0 298	0 518
2 50	0 502	0 820	1 05	0 318	0 548
3 00	0 502	0 850	1 08	0 348	0 578
3 50	0 502	0 880	1 11	0 378	0 608
4 00	0 504	0 910	1 16	0 406	0 656
5 00	0 511	0 970	1 20	0 459	0 689
6 00	0 526	1 030	1 25	0 504	0 724
7 00	0 558	1 090	1 28	0 532	0 722
8 00	0 624	1 150	1 32	0 526	0 696

22. Adoptés dès 1901 par la C^m de l'Est ; aujourd'hui, par l'Etat, l'Orléans, le PLM.

Art. 2. — Tabliers à poutrelles enrobées de béton ²².

Les épaisseurs des ponts à poutrelles enrobées peuvent légèrement varier s'ils sont en rampe. En palier, ou en rampe de moins de 0,015, on dresse la chape en dos d'âne, à pentes de 0,015, de manière à renvoyer les eaux vers les culées; en rampe de 0,015 ou plus, la chape a celle de la voie : les eaux vont à la culée basse.

Art. 3. — Choix à faire entre les voûtes, les tabliers à poutrelles enrobées et les tabliers métalliques ²³.

Adopter toujours l'ouvrage voûté, lorsqu'il est possible.

Lorsqu'il ne l'est pas (manque de hauteur, biais trop aigu), préférer le tablier à poutrelles enrobées au tablier métallique.

N'accepter le tablier métallique que si on n'a pas la hauteur pour le tablier à poutrelles enrobées.

Sous les tabliers sur cours d'eau, à poutrelles enrobées ou métalliques, les revanches minima sont celles données pour les ouvrages voûtés en plein cintre (p. 9).

§ 11. — QUELQUES DISPOSITIONS EXCEPTIONNELLES.

Les ouvrages devront toujours être exactement adaptés, ajustés au terrain.

Ce ne seront pas des ouvrages « de confection » : ils seront faits sur mesure, je veux dire qu'ils doivent être faits pour le terrain et le cours d'eau, et non le terrain ou le cours d'eau pour eux.

Il faudra, dans certains cas, accepter des ouvrages courbes en plan et même courbes en profil.

Dans les ravins à grande pente, il y aura quelquefois avantage à faire déboucher les ouvrages de flanc, en dehors et au-dessus du thalweg. Dans ce cas, si la tête amont est aussi en dehors du thalweg, il faut remblayer à l'amont pour combler l'ancien lit, conduire les eaux au nouveau, les écarter du pied du remblai. Dans l'ancien thalweg, sous le remblai, on disposera un drain à pierres sèches ou un simple filtre pour écouler les eaux d'infiltration.

Les ouvrages ainsi établis en dehors du thalweg doivent être tout entiers en déblai, je veux dire que le lit d'amont, l'ouvrage et le lit d'aval doivent être en déblai.

CHAPITRE VII

CHAPES

Art. 1. — Leur constitution suivant l'ouverture.

Pour les voûtes de moins de 4^m, l'extrados sera revêtu d'une chape en mortier de chaux hydraulique, en 2 couches de 0^m03 massivées à la savate.

Pour celles de 4^m et au-dessus, sur la première chape en chaux de 0^m03, on étalera une chape en asphalte de 0^m015 (2 couches de 0^m0075 — la première en mastic pur additionné de 7 0/0 de son poids de bitume, la seconde avec une 1/2 partie de sable, 1 de mastic pur additionné de 7 0/0 de son poids de bitume), puis on défendra cette chape par une contre-chape en béton maigre de ciment de 0^m04.

On barbouillera de 3 couches de coaltar (goudron minéral bouillant et flambé) :

1° — les chapes non asphaltées (ouvrages de moins de 4^m);

2° — tous les parements cachés des maçonneries.

23. On avait jusqu'à ces derniers temps accepté, pour des ouvertures de 0^m70, des aqueducs dits à plancher : rails sur longrines en bois. Sous les charges et les vitesses croissantes, les longrines ne sont plus assez sûres.

Au-dessus de la chape, on ménagera, autant que possible, sous le ballast, une épaisseur de remblai de 0^m40, ce qui porte la hauteur totale entre le dessus du rail et l'extrados de la clef à :

Ouvrages de moins de 4^m d'ouverture :

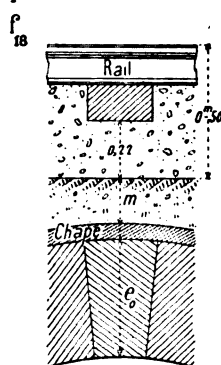
0^m06 (chape) + 0^m40 (matelas) + 0^m50 (ballast) = 0^m96.

Ouvrages de 4^m d'ouverture et au-dessus :

0^m085 (chapes et contre-chape) + 0^m40 (matelas) + 0^m50 (ballast) = 0^m985.

Mais en appliquant rigoureusement cette prescription, on réduirait beaucoup le nombre des ouvrages voûtés, ce qui serait fort regrettable.

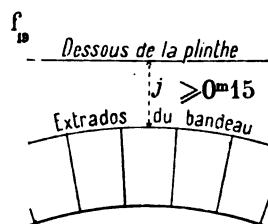
Pour la plupart des ouvrages courants de la ligne de Montauban à Castres, situés dans la plaine du Tarn et de l'Agoût, souvent sur d'autres lignes, on n'a pu adopter la maçonnerie qu'en réduisant sensiblement, voire même en supprimant, le matelas de remblai sous le ballast.



Au-dessous de la traverse portant le rail de 48 kilos, il reste une épaisseur de ballast de 0^m22 (f_{18}); avec un matelas m réduit à 0^m18, on disposera donc encore d'une épaisseur de 0^m40, bien suffisante pour protéger contre les pinces des poseurs les chapes des ouvrages qui, du reste, ne sont exposées qu'au sommet de la voûte.

A nombre d'ouvrages, il n'y a que 0^m65 entre le dessus du rail et la chape, soit un matelas de 0^m15 sous le ballast.

Il doit donc être entendu que l'épaisseur de 0^m40 pour le matelas est désirable; qu'un matelas de 0^m30 est encore fort convenable; qu'on pourra sans très grave inconvénient le réduire à 0^m20, à 0^m15, qu'il pourra encore être réduit, et même à la rigueur supprimé.



Entre le dessous de la plinthe et l'extrados du bandeau ²⁴, il faut (f_{19}) $j \geq 0.15$, épaisseur d'un moellon.

Si le matelas m (f_{18}) était trop réduit, on n'aurait pas 0^m15: alors on prolongerait la clef et, au besoin, les deux contre-clefs jusque sous la plinthe, soit en continuant les lits du bandeau, soit en les retournant verticalement.

CHAPITRE VIII

COURONNEMENT

§ 1. — PLINTHES

Pour les ouvrages couronnés au niveau de la plate-forme, la plinthe sera en saillie de 0^m05 sur la plate-forme.

Pour ceux couronnés au niveau du rail, le dessus de chaque plinthe sera toujours de 0^m10 en contre-bas du rail voisin.

Donc, dans les courbes, la plinthe du côté du grand rayon sera surhaussée du dévers par rapport à l'autre.

Dans les pentes, chaque plinthe aura la pente du rail voisin.

Pour les ouvrages sous charge, la plinthe sera en crossette, sans saillie sur le plan du talus.

24. Les dimensions de la plinthe et du bandeau sont données Titre II, Chapitre I.

Art. 2. — Matelas entre le dessus de la chape et la plate-forme, pour les ouvrages non surchargés.

Art. 1. — Niveau du dessus.

Art. 2. — Tracé dans les courbes.

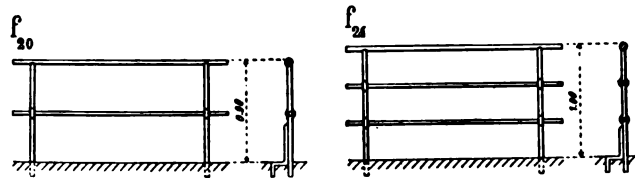
En courbe et en raccordement parabolique :

1° — Pour les ouvrages à murs en aile, les plinthes et les têtes seront droites et parallèles à la corde du tracé sur la longueur des plinthes.

2° — Pour les ouvrages à murs en retour, les plinthes, têtes et murs en retour seront courbes et parallèles à la courbe du tracé.

§ 2. — GARDE-CORPS**Art. 1. — Ouvrages sous rails.**

Pour tous les ouvrages sous rails, on n'emploiera que des garde-corps métalliques et non des parapets en maçonnerie, savoir :

A. — Types.

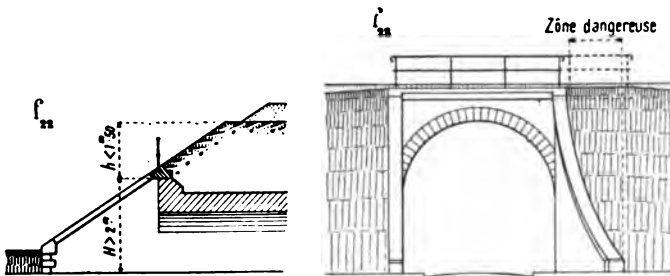
dans tous les ouvrages hors des gares, le type à 2 lisses horizontales (f_{20}), de 0^m90 de hauteur pesant 13^k le mètre courant ;

dans les gares et aux abords (à moins de 200^m en avant et moins de

150^m en arrière du milieu des trottoirs), le garde-corps à trois lisses (f_{24}) de 1^m00 de hauteur pesant 21^k le mètre courant.

B. — Sur quels ouvrages ?

On ne mettra de garde-corps que :



1° — sur tous les ouvrages couronnés au niveau du rail ;

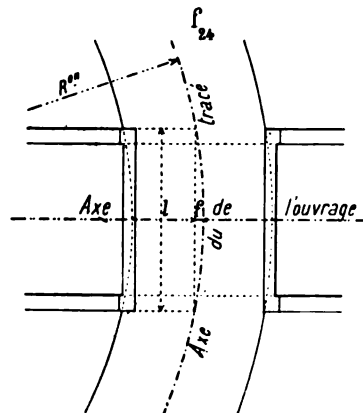
2° — sur ceux de 1^m00 d'ouverture et au-dessus, si le dessous de la plinthe remplit les deux conditions suivantes : (f_{24})

α — être à plus 2^m00 au-dessus du radier ;

β — être au niveau de la plate-

forme ou à moins de 1^m50 au-dessous.

On prolongera les garde-corps si les abords des ouvrages sont dangereux, ²⁵ ouvrages à murs en aile biais ou courbes (f_{24}).

C. — Distance à l'axe de la voie voisine.

En alignement, la distance de la face intérieure du garde-corps à l'axe de la voie voisine sera de :

2^m90 pour les ouvrages couronnés au niveau de la plate-forme ;

2^m255 ²⁶ pour les ouvrages couronnés au niveau du rail.

En courbe (f_{24}), pour les ouvrages avec murs en aile, la distance de la face intérieure du garde-corps à l'axe de la voie voisine, mesurée suivant l'axe de l'ouvrage, sera :

25. Une dépêche ministérielle du 15 février 1898 invite la Compagnie P.L.M. à prolonger les garde-corps des ouvrages dangereux.

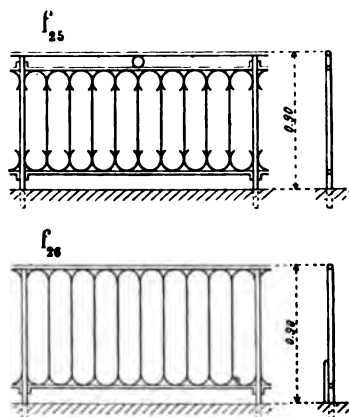
26. 1^m50 (distance libre à l'axe du rail voisin. — Règlements ministériels sur les ponts métalliques des 29 août 1891, art. 11, et 8 Janvier 1915, art. 27) + $\frac{1^m51}{2}$ (demi-voie) = 2^m255.

	Du côté du grand rayon	Du côté du petit rayon
Ouvrages couronnés au niveau de la plate-forme...	$2^m90 + \frac{7}{5} D^{27}$	$2^m90 + \frac{f}{3} D^{28}$
Ouvrages couronnés au niveau du rail	2^m255	$2^m255 + \frac{3}{5} D^{28} + f$

D est le dévers maximum de la voie ;

$f = \frac{l^2}{8R}$ est la flèche du tracé en courbe de rayon R , sur la longueur l des plinthes, y compris la largeur des rampants.

Pour les ouvrages avec murs en retour, on ne tiendra pas compte de la flèche f .



On adoptera :

pour les ouvrages hors des villes, le garde-corps à maillons ²⁹ de 0^m90 de hauteur (f_{25}) pesant 33^k le mètre courant ;

aux abords des villes ou sur les routes très fréquentées, un type (f_{28}) un peu plus robuste pesant 35^k le mètre courant.

Dans certains cas, bien qu'il augmente la largeur entre têtes, on adoptera un parapet en maçonnerie ; il est un peu plus sûr, et ne demande pas d'entretien. On supprimera alors la plinthe : elle n'est pas motivée entre un tympan et un parapet pleins de même aspect.

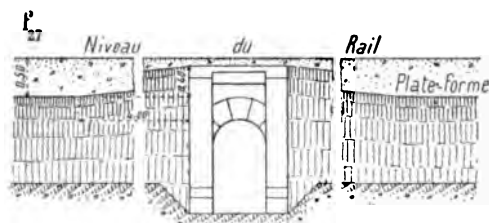
En dressant les projets des ouvrages, on distribuera les panneaux du garde-corps et on appareillera les pierres de taille du couronnement, de manière à ne pas avoir de montants à sceller à moins de 0^m15 des joints.

Les garde-corps métalliques doivent être peints en gris très clair et non en nuance foncée, pour réduire la dilatation, pour mieux voir si le garde-corps commence à s'oxyder.

Art. 2. — Ouvrages hors la voie.

CHAPITRE IX

ABORDS



De part et d'autre des abouts des plinthes (f_{27}), la banquette sera relevée de 0^m40 et se raccordera à la plate-forme sur une longueur de 4^m.

Si l'ouvrage est avec murs en retour, on établira le remblai de façon que les sommets des quarts de cône soient au niveau du dessus de la plinthe et

dans le plan du parement du mur. Sans cette précaution souvent négligée, ces ouvrages semblent déchaussés ou mal tracés.

Les quarts de cône non revêtus seront toujours au talus de 3/2.

27. $\frac{7}{5} D$, pour ne pas rétrécir la largeur de la banquette sur les ouvrages arasés au niveau de la plate-forme du côté extérieur des courbes.

28. $\frac{3}{5} D$, pour conserver la même distance entre le sommet du garde-corps supposé de 0^m90 de hauteur et les wagons inclinés par le dévers :

$$D \times \frac{0^m90 \text{ (garde-corps)}}{1^m50 \text{ (largeur de la voie)}} = \frac{3}{5} D$$

29. Avec vides d'au plus 14 cm, un enfant qui commence à marcher ne peut pas passer à travers.

Art. 1. — Comment on relève la banquette aux abords des ouvrages couronnés au niveau du rail.

Art. 2. — Quarts de cône.

On aura soin de les bien défendre : s'ils s'éboulaient, ils pourraient entraîner assez de remblai pour interrompre la circulation.

Art. 3. — Ouvrages hors la voie.

Sauf le cas où leurs terrassements feraient corps avec ceux de la ligne, les ouvrages sous un chemin latéral doivent être bien séparés des ouvrages sous la voie, ceci en vue de la remise aux intéressés.

On réduira autant que possible le nombre des ouvrages à remettre plus tard à des particuliers : passages privés, aqueducs, bâches, siphons pour canaux d'irrigation, etc. La remise et l'entretien ultérieurs donnent fréquemment lieu à des difficultés avec les intéressés : il peut être moins coûteux de les indemniser que de faire l'ouvrage.

Art. 4. — Remblais contre les ouvrages.

A. — Nature des remblais.

On choisira des déblais perméables et qui n'attaquent pas le mortier : des déblais rocheux, du gravier, des pierres cassées ; on exclura l'argile, le gypse...

Quand ce sera trop cher, on entourera l'ouvrage (pieds-droits et voûte) d'une chemise à pierres sèches rangées à la main, de 0^m30 d'épaisseur pour les ouvrages de 2^m et au-dessous, de 0^m40 pour ceux de plus de 2^m.

L'eau filtrant à travers cette chemise est écoulée par une file de barbacanes au bas des pieds-droits ; dans les ouvrages sur cours d'eau, on n'en ménagera pas ; on assurera l'écoulement de l'eau vers les têtes.

B. — Précautions à prendre pour que l'ouvrage ne se déverse pas pendant l'exécution du remblai.

Il faut bien éviter de charger de flanc, d'un seul côté, les ouvrages sous charge, surtout ceux en ellipse surhaussée, surtout ceux avec $b=2a$. (p. 15).

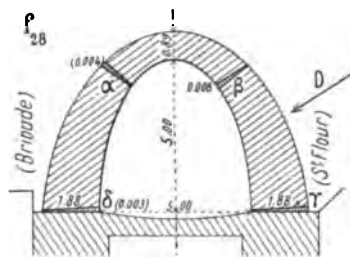
Des ouvrages en plein cintre³⁰, en ellipse surhaussée³¹, ont subi des déversements ou tout au moins des fissures, qu'on aurait dû éviter.

Je rappelle les précautions à prendre pour l'exécution des ouvrages sous charge et des remblais autour d'eux.

1° — Bien encastrent les fondations dans le terrain solide, maçonner à pleine fouille dans le roc.

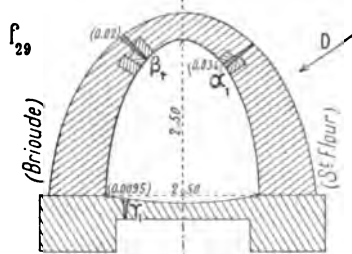
30. Sur les lignes de Brioude à Alais, La Clayette à Lamure, Paray à La Clayette.

31. Ligne de Brioude à Saint-Flour :



d'air, un coulis de ciment (50 k. de ciment pour 35 litres d'eau).

On a dépensé 2.017 fr., soit par mètre courant de fissure, 57 fr. 95 pour le matage, 15 fr. 92 pour l'injection : c'est 2,7 % du coût de l'ouvrage (74.135 fr.).



Pour réparer β_1 on dut démolir 3 assises ; on remplit ensuite β_1 comme α_1 .

On a dépensé 5.583 fr., soit 36 fr. 20 par mètre courant des fissures α_1 et β_1 , 12 fr. 20 par mètre courant de la fissure γ_1 : c'est 9,4 % du coût de l'ouvrage (59.169 fr.).

1° — Pont de 5^m (f_{11}) d'ouverture sur le ruisseau de Vendage, sous 20^m de remblai — fondé sur rocher — enveloppé d'une chemise en pierres sèches de 0^m40 d'épaisseur.

La décharge de côté D y produisit 4 fissures : β (8^{mm}) et δ (3^{mm}) apparentes, α γ seulement décelées par quelques plaquettes de mortier détachées dans les joints.

Fissure δ . — On la refouilla sur 0^m30, et on y bourra, à refus, du mortier pulvérulent de ciment.

Partie de la fissure β . — On enleva la file de moellons au-dessus de β , par longueurs de 1^m50 ; derrière, on ouvrit et on creusa la fissure sur 0^m25 à 0^m30 ; puis on y mata à refus du mortier pulvérulent, on remplaça les moellons, on mata les lits.

Reste de la fissure β et fissures α et γ . On dégrada les joints sur 0^m20, on perça sur la fissure des trous de 3^{mm}5 de 2^m en 2^m, de préférence sur un joint, on y engagea de 0^m10 des tuyaux de plomb de 0^m20 par lesquels on injecta, sous pression

2° Ponceau de 2^m50 (f_{12}) sur l'Alagnonette, sous 34^m de remblai, enveloppé d'une chemise en pierres sèches de 1^m recouverte d'un matelas de 4^m.

La décharge D y produisit 3 fissures :

α_1 — qui avait 34^{mm} sur 76^m de long ;

γ_1 — fente dans le radier : 9^{mm}5 sur 66^m.

β_1 .

On soutint la voûte par des contre-fiches. Le mouvement s'arrêta quand le remblai atteignit 20^m de haut.

On ficha γ_1 au ciment.

Pour réparer α_1 on enlevait deux files de moellons par longueur de 2^m environ ; derrière, on ouvrait et on creusait la fente, on y matait du mortier pulvérulent, puis on remplaçait les moellons et on matait les lits.

2° — Pour que l'ouvrage ne soit pas cisaillé, bien éviter toute surface horizontale ; la maçonnerie des pieds-droits y sera très enchevêtrée, très hérissée, faisant bien corps avec le massif de fondation.

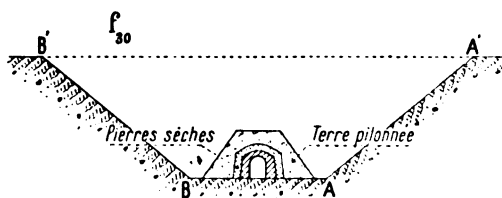
3° — L'envelopper de chemises superposées de pierres sèches appareillées grossièrement en voûte, sur une épaisseur augmentant avec l'ouverture de la voûte et la hauteur du remblai, — réduite vers les têtes.

4° — Entourer le tout d'un épais matelas de terre bien pilonnée, pour résister au déversement de l'ouvrage, pour amortir les chocs des pierres tombant de haut : au moins 2^m sur l'axe de l'ouvrage pour une ouverture de 3^m ; 2^m50 à 3^m sur les flancs ; moins aux têtes.

Il faut un fort matelas : consolider ou réparer un ouvrage fendu ou déversé coûterait beaucoup plus que lui.

5° — On ne commencera à décharger des remblais poussant contre l'ouvrage qu'après l'achèvement du matelas.

6° — Si on le peut, lorsque la décharge arrivera (f_{30}) en A par exemple, on l'arrêtera.



On traversera l'ouvrage sur une charpente provisoire, et l'on déchargera les terres de l'autre côté jusqu'à atteindre le talus BB', puis on remblaira l'intervalle AB, A'B' de terres légères, perméables, de gravier... jusqu'à une hauteur au-dessus de l'ouvrage, à spécifier dans chaque cas.

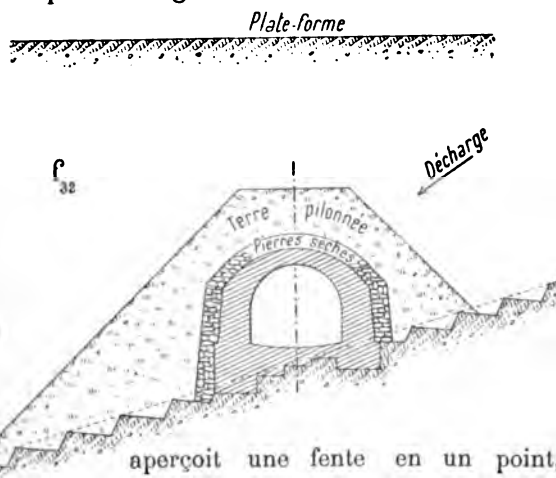
7° — Si on est forcé de décharger les terres d'un seul côté, on devra d'abord étayer par du remblai pilonné le côté opposé à la décharge.



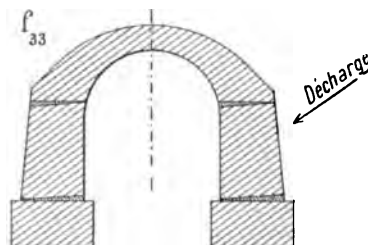
8° — Il ne faut jamais laisser faire la décharge directement contre le talus.

Par exemple, une fois que le talus est arrivé suivant AB (f_{31}), il faut remplir, par du remblai remanié, le trapèze ABCD, puis quand le talus est en GE on remplit de remblai remanié le trapèze GEDF, de façon qu'il y ait toujours du remblai horizontal entre le talus du matelas pilonné et le talus de la décharge.

9° — Lorsqu'un ouvrage est au pied d'un talus naturel assez incliné (f_{32}), il est fort important que de bon gradins retiennent le remblai.



10° — Sous une charge de flanc, les ouvrages se déversent toujours comme l'indique le croquis ci-contre (f_{33}).



Il faut constamment avoir l'œil sur les parties les plus exposées à se fendre.

Le chef de section doit mettre partout des témoins en plâtre ou en ciment, et les suivre tous les jours.

11° — Si, malgré les précautions prises, on aperçoit une fente en un point, il faut immédiatement remettre la voûte sur cintre, et la soutenir par des étais contre la poussée.

Dès qu'on a quelque crainte, ne pas attendre qu'il y ait des fissures : étayer par avance.

MATÉRIAUX

DÉSIGNATION. — ABRÉVIATIONS. — DISTRIBUTION

Désignation des Matériaux	Abréviations à inscrire sur les dessins	Parties des ouvrages où on les emploiera
pierre de taille ¹ .	P T	<i>Plinthes, tablettes rampantes, crossettes et dés aux abouts des rampants, couronnement des murettes de retour.</i>
libages.	L	<i>Garde-radriers. — Dés où sont scellés les garde-corps sur les murs en retour d'ouvrages en rase campagne.</i>
moellons d'appareil.	M A	<i>Encadrement des puisards. — Chaines d'angle.</i>
moellons d'appareil employés dans les voûtes (taillés en forme de voussoirs).	M A V	<i>Bandeaux des têtes.</i>
moellons équarris employés dans les voûtes (taillés en voussoirs).	M E V	<i>Douelle des voûtes sur 0^m30 d'épaisseur moyenne jusqu'aux naissances dans les pleins cintres, jusqu'au milieu de la montée dans les ellipses surhaussées; cerveau des voûtes de moins de 3^m d'ouverture sur toute l'épaisseur.</i>
moellons ordinaires en parements vus : par assises horizontales. à joints incertains.	MO H MO I	<i>Parements vus des pieds-droits, murs en aile, murs en retour, murettes de retour, tympans, puisards, etc..., sur une épaisseur moyenne de 0^m25. Parements vus des radriers sur une épaisseur de 0^m20.</i>
moellons ordinaires méplats, bien lités, employés dans les voûtes.	MO V	<i>Queutage des voûtes : en plein cintre, au-dessus du milieu de la montée ; en ellipse surhaussée, au-dessus des 3/4 de la montée.</i>
moellons ordinaires à mortier.	MO	<i>Toutes les maçonneries de moellons à mortier non désignées ci-dessus.</i>
Béton de chaux.	BO	<i>En fondation, si le béton est plus économique que la maçonnerie (M O).</i>
Béton de ciment.	BC	<i>Au lieu du béton de chaux, quand ce sera nécessaire. (Fondations dans l'eau, en terrains gypseux, etc...)</i>
Matériaux rangés à la main derrière les maçonneries.	PS	<i>Chemise derrière les pieds-droits, murs en aile, murs en retour, murettes de retour, etc...</i>
Dalles.	D	<i>Couverture des dalots.</i>
Chape { de 0 ^m 03 d'épaisseur en mortier de chaux hydraulique.	»	<i>Sur les voûtes de 4^m et au-dessus et sur les glacis des murs de tympans, murs en aile, murs en retour, murettes de retour.</i>
de 0 ^m 06 d'épaisseur en mortier de chaux hydraulique.	»	<i>Sur les voûtes de moins de 4^m d'ouverture.</i>
de 0 ^m 015 d'épaisseur en asphalte (2 couches de 0 ^m 0075).	»	<i>Sur les chapes en mortier de chaux de 0^m03 des voûtes de 4^m00 et au-dessus.</i>
Contre-chape de 0 ^m 04 d'épaisseur en béton maigre de ciment (100 k de ciment pour 1 m. c. de gravillon sans sable).	»	<i>Sur les chapes en asphalte.</i>
Goudronnage à 3 couches de coaltar.	»	<i>Tous les parements cachés des maçonneries et les chapes en mortier de chaux non recouvertes d'asphalte.</i>

1. Pour les petits ouvrages, il est en général inutile de boucharder la pierre de taille.

CHAPITRE XI

SONDAGES

1. — Les sondages doivent être faits à côté des fondations, et non à leur emplacement même ; car, comme ils sont d'ordinaire plus profonds qu'elles, il faut alors les remplir de maçonnerie, ce qui est une dépense inutile, et ce qui peut, en outre, dans les terrains qui ne sont pas rigoureusement incompressibles, former sous les maçonneries un point dur, et les faire casser.

2. — J'appelle toute l'attention sur les sondages à l'emplacement des ouvrages. Il en faut assez pour bien définir la nature du terrain sur toute la longueur de l'ouvrage, pour représenter sur la coupe en long, sans grande erreur, par des lignes continues, les séparations des différentes couches ; un sondage unique peut suffire pour un ouvrage court dans un terrain connu ; mais pour des ouvrages longs et en terrain variable, il en faut au moins 3 : 1 au milieu et 1 à chaque tête.

3. — Dans certains cas, on fera une saignée longitudinale suivant l'axe de l'ouvrage.

4. — Quand on trouve du rocher, il faut non seulement s'assurer qu'il règne sous tout l'ouvrage, mais encore vérifier son épaisseur en le perçant à la barre à mine. On peut avoir, en effet, rencontré une dalle peu épaisse ou un bloc isolé.

Il faut toujours savoir ce qu'il y a au-dessous du sol de fondation sur lequel on s'arrête.

CHAPITRE XII

FONDATIONS

Je ne puis évidemment donner ici que des indications très générales.

1° — Il ne faut pas être aussi exigeant pour les fondations d'un ouvrage courant que pour celles d'un grand : il est absurde, comme je l'ai vu faire, de fonder à 14^m de profondeur un ouvrage de 2^m.

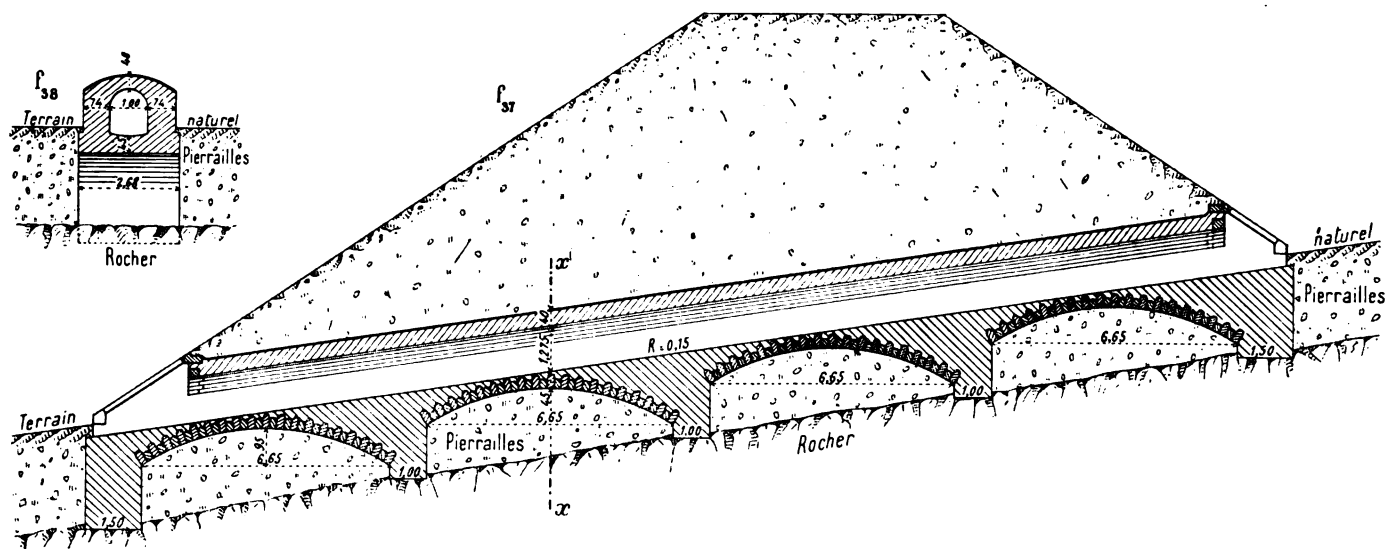
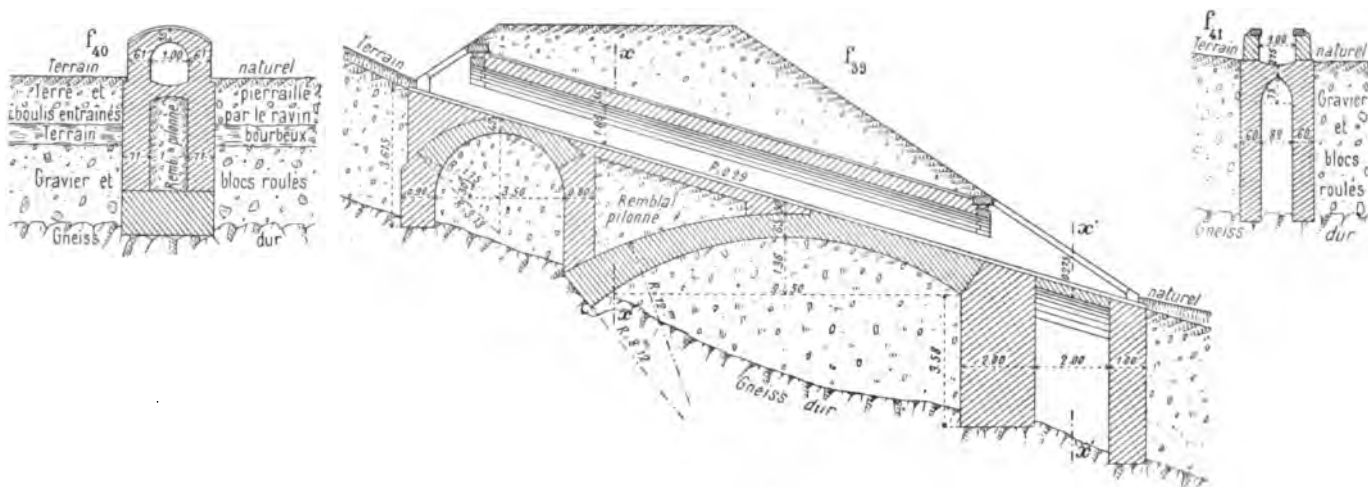
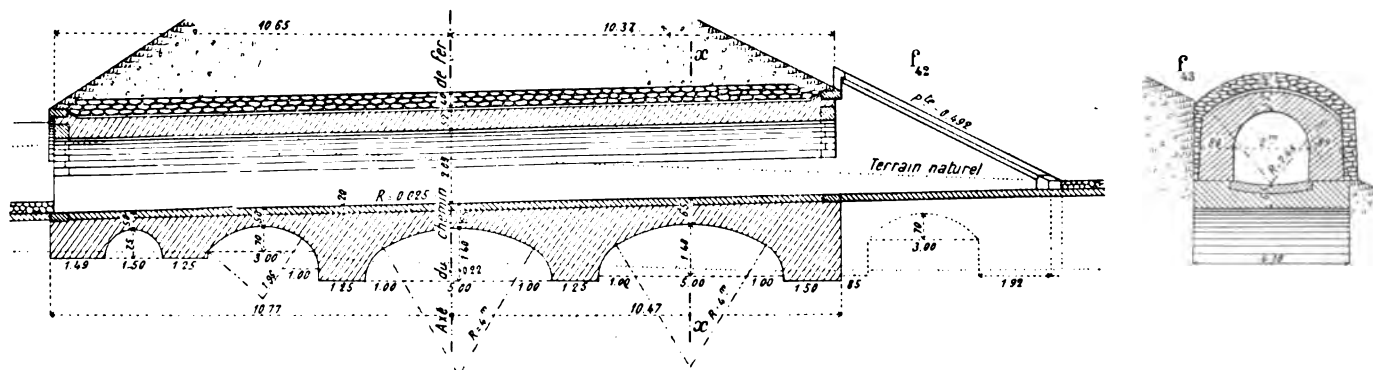
2° — Quand le rocher est trop loin, on peut : soit fonder sur radier, soit descendre sur le rocher des piliers que l'on relie par des voûtes sur lesquelles on établit les pieds-droits, soit encore soutenir le radier par de petits pilotis dont les pointes touchent le terrain ferme. (Exemples, p. 28, 29.)

3° — Pour les petits ouvrages, il n'est pas nécessaire d'avoir un terrain de fondation incompressible : il suffit qu'il soit peu, mais uniformément compressible.

Quelquefois le terrain est moins solide en dessous qu'en dessus ; dans ce cas, se garder de descendre trop bas.

4° — Quelquefois, une partie de l'ouvrage se trouve sur le rocher incompressible, l'autre sur des apports, sur des terrains vaseux, etc... ; dans ce cas, il se cassera au point de passage — c'est sans grand inconvénient. On peut d'ailleurs, par un coup de sabre vertical, ménager d'avance une séparation régulière.

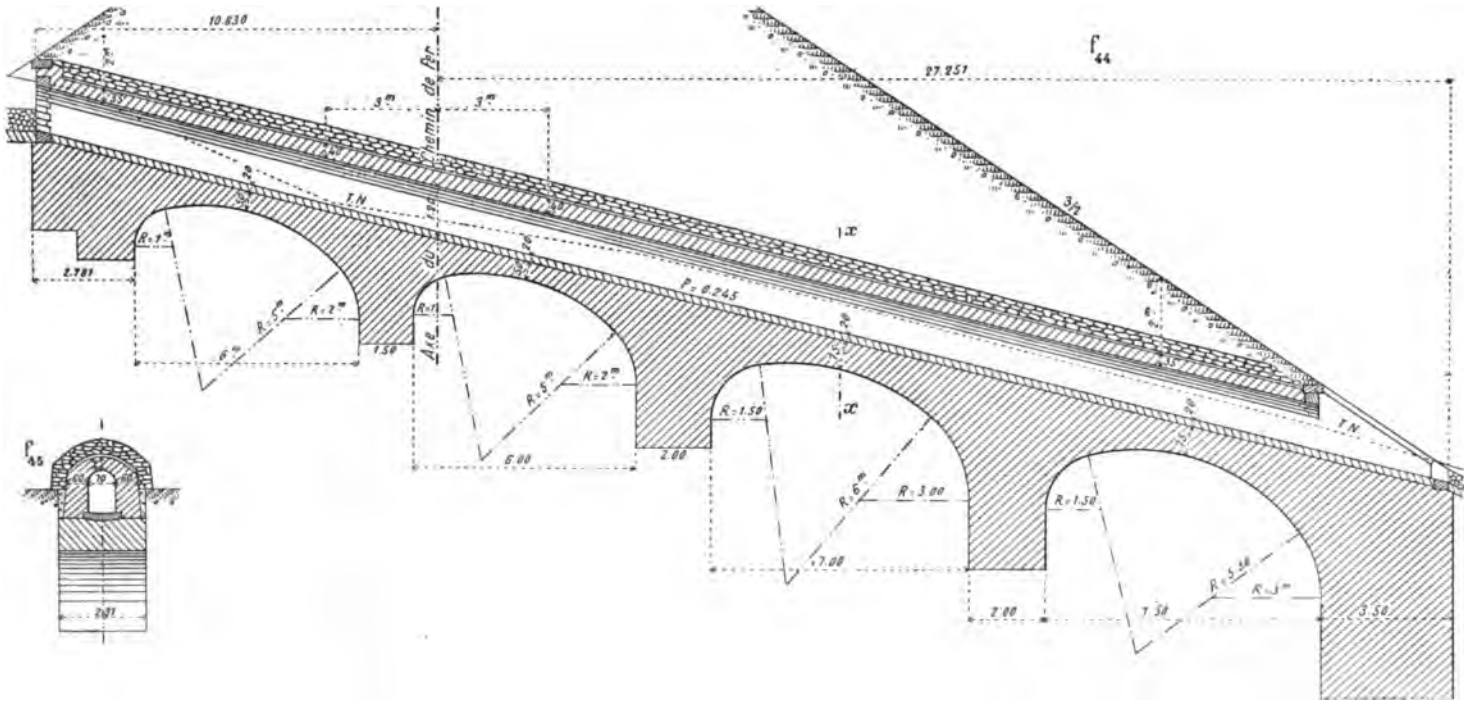
5° — Quand il n'y a aucun danger d'affouillement, on peut, à l'extrême rigueur, fonder les aqueducs hors la voie de 0^m60 à 1^m sur une couche uniforme de pierres cassées, de gravier ou de sable, arrosée d'un lait de chaux.

*Coupes en long sur l'axe et coupes***LIGNE DE MENDE A LA BASTIDE****Aqueduc voûté de 1^m00 d'ouverture****Aqueduc voûté de 1^m00 d'ouverture****LIGNE DE BRIOUDE A SAINT-FOUR****Ponceau voûté de 2^m00 d'ouverture, biais à 50°**

en travers sur xx des coupes en long — 5mm

LIGNE DE BRIOUDE A SAINT-FOUR

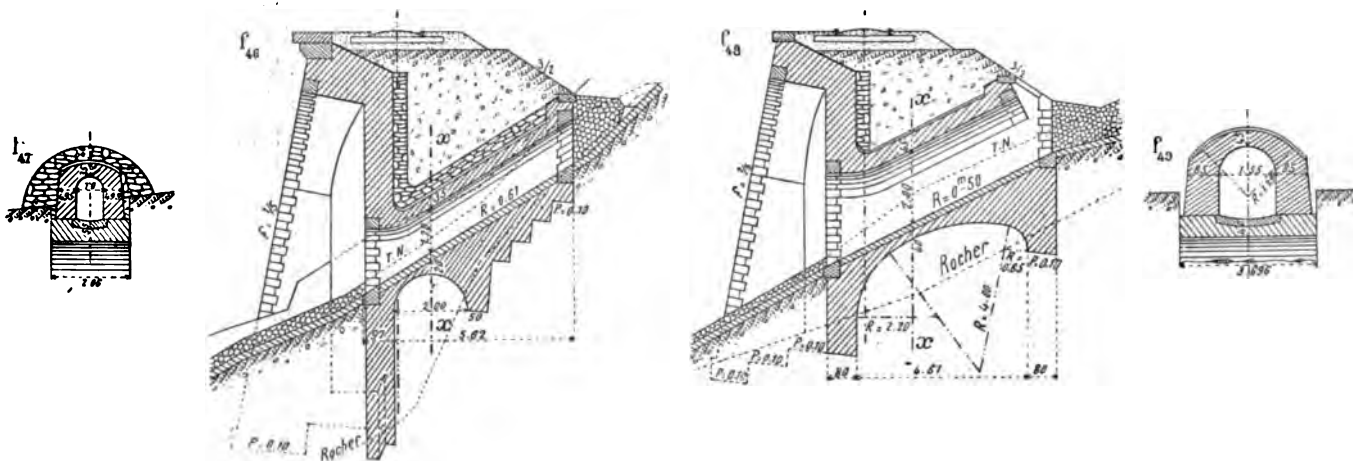
Aqueduc voûté de 0^m70 d'ouverture



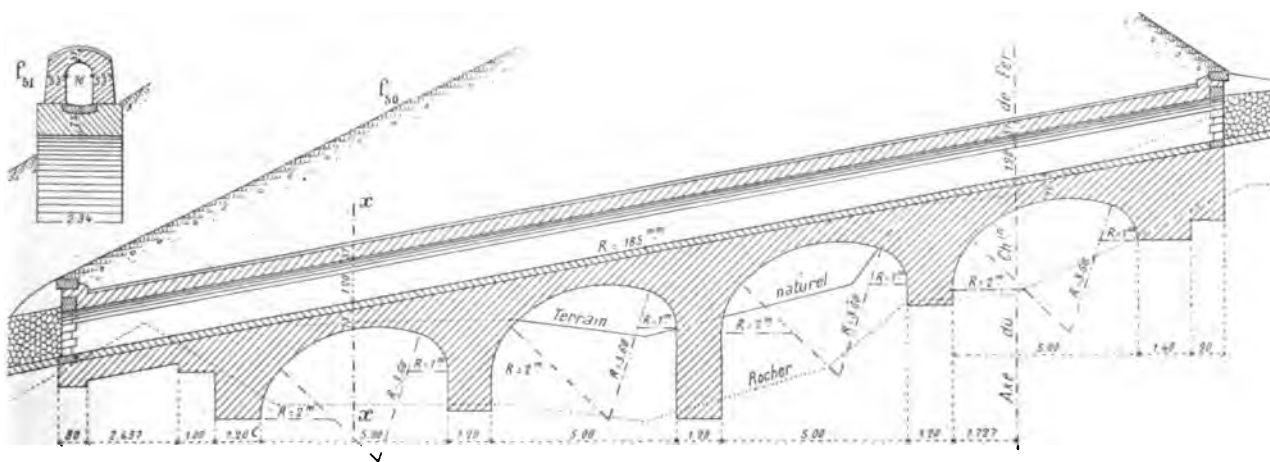
LIGNE DE MOREZ A SAINT-CLAUDE

Aqueduc voûté de 0^m70 d'ouverture

Ponceau voûté de 1^m50 d'ouverture

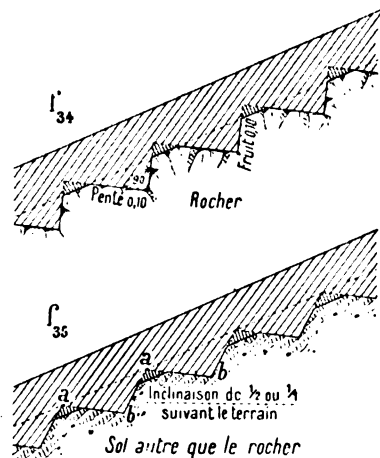


Aqueduc voûté de 0^m70 d'ouverture



6° — Il conviendra quelquefois de réunir, par une voûte dont l'extrados forme radier, les fondations des deux pieds-droits.

7° — Dans les terrains en pente, on accroche très solidement l'ouvrage au sol par des redans, pour qu'il ne glisse pas.



Ne faire des redans que dans les terrains à peu près incompressibles.

Ne pas les faire trop hauts, afin d'éviter des fissures résultant de tassements inégaux.

On disposera les redans :

comme au croquis (f₃₄) si l'on est sur rocher ;

comme au croquis (f₃₅) si l'on n'est pas sur rocher.

8° — Il ne faut pas placer systématiquement le radier des ouvrages au niveau du fond du lit des cours d'eau, même quand ce lit est tout à fait plat ; d'abord, parce qu'en général les terres de surface sont moins résistantes et plus compressibles ; ensuite, parce qu'il y a tout avantage à faire aboutir les eaux, tout au moins à l'aval de l'ouvrage, dans un fossé d'un peu de profondeur pour les y concentrer, et les empêcher de s'éparpiller à la surface du sol. Il n'y a évidemment pas de règle générale pour la profondeur des fossés d'amont et d'aval ; à moins de circonstances locales spéciales, on peut admettre 0^m25 à 0^m30 pour un ouvrage de 0^m60 ; 0^m30 à 0^m40 pour un aqueduc de 1^m, etc...

9° — Il peut arriver qu'un radier AB (f₃₆), tout en ayant ses extrémités A et B assez enfoncées dans le terrain naturel, soit en remblai au-dessus de trous C et D. On peut accepter cette disposition en remplissant les trous, soit de pierres sèches rangées à la main, soit de gravier

pilonné arrosé d'un lait de chaux, ou, plus simplement, de terre pilonnée ; mais il vaut mieux, en général, enfoncer le radier au-dessous des trous

10° — Dans les ouvrages à radier, la profondeur des parafoilles dépend de la vitesse des eaux, de leur rétrécissement sous l'ouvrage, et de l'« affouillabilité » du terrain.

11° — Il y a généralement avantage, pour les ouvrages sur torrents, à tenir le radier en contre-bas du lit actuel, de 0^m50 à 0^m80 suivant les cas ; les apports ont vite comblé le dessus du radier et le garantissent ; dans ce cas, on augmentera la hauteur des pieds-droits de la hauteur présumée des apports.

12° — Dans les alluvions très meubles à grandes déclivités, le radier général doit être défendu, à l'amont et à l'aval, par un parafoille s'étendant entre les bouts des deux murs en aile, avec une profondeur dépendant de l'« affouillabilité » du lit, de la pente, de l'étranglement sous l'ouvrage, etc... (en général de 2^m à 5^m).

Dans ces terrains, les radiers sont souvent affouillés par l'aval ; il faut défendre l'aval par des enrochements.

A l'abri de ces parafoilles, il est inutile, sauf en mauvais terrain, d'enfoncer les culées en contre-bas du radier.

13° — Quand le radier et le lit à l'aval ont peu de pente, et que les eaux charrient, il y a quelquefois, pour les aqueducs de 0^m60 à 1^m00, avantage, pour éviter les obstructions par l'aval, à tenir l'aval du radier en contre-haut du lit, de 0^m40 à 0^m50.

CHAPITRE XIII

PRINCIPALES DIMENSIONS ET DISPOSITIONS

DES OUVRAGES DE 8^m ET AU-DESSOUS

Les dessins, les dimensions, les matériaux, sont donnés au Titre II :	
pour les ouvrages droits sous rails en plein cintre.....	Chapitre I.
pour les ouvrages droits sous rail en ellipse surhaussée.....	Chapitre II.
pour les dalots.....	Chapitre III.
pour les buses.....	Chapitre IV.
pour les ouvrages sous charge, biais sur le tracé, à têtes droites et plinthes rampantes.....	Chapitre V.

CHAPITRE XIV

DESSINS A PRODUIRE

1° — Plan au 1/500° (0^m002) avec courbes de niveau de mètre en mètre, mais sans cotes, s'étendant assez loin de part et d'autre de l'ouvrage pour s'assurer que la direction est bonne, que les eaux y entrent bien, en sortent bien.

Art. 1. — Nomenclature.

Il pourra, dans certains cas, être supprimé pour les ouvrages de moins de 1^m00 : on se contentera alors des indications du plan de travaux à 1/1.000.

2° — Profil en long au 1/500° pour les hauteurs et les longueurs. Il sera prolongé de ce qu'il faut, à l'amont et à l'aval ; il donnera la cote de la plate-forme sur l'axe, la longueur totale de l'ouvrage, les cotes du terrain naturel et du lit, les pentes de l'ouvrage et du lit.

3° — Coupe en long de l'ouvrage avec les sondages.

4° — Demi-plan, les maçonneries découvertes, et demi-plan au niveau des fondations, limités à l'axe parallèle aux pieds-droits.

5° — Elévation amont, élévation aval.

6° — Une coupe en travers avec indication du terrain, — ou plusieurs coupes en travers, si, en raison de la surcharge du remblai, il y a des épaisseurs différentes.

7° — Détails au 1/20° aussi restreints que possible.

Ne rien mettre d'inutile sur les dessins.

Ne pas tracer les lits des voussoirs, ne pas dessiner de moellons ordinaires, ne faire aucune projection de coupe en pointillé...

Pour les ouvrages de 3^m et au-dessus, la coupe en long (3°), les demi-plans (4°), les élévations et coupes (5° et 6°) seront à l'échelle de 1/100°.

Art. 2. — Echelles.

Pour les ouvrages de moins de 3^m, les élévations (5°) et coupes (6°) seront au 1/50°.

La coupe en long (3°) et les deux demi-plans (4°) qui sont toujours à la même échelle seront en général au 1/50° ; s'ils étaient trop grands, au 1/100°.

TITRE II

DESSINS — TABLEAUX

CHAPITRE I

OUVRAGES SOUS RAILS EN PLEIN CINTRE

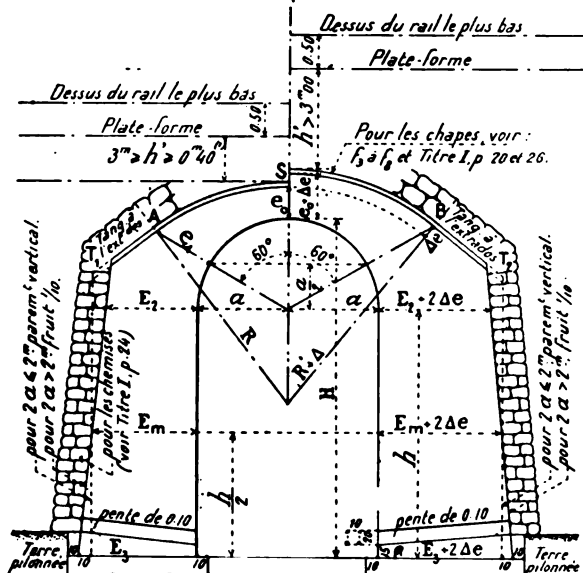
§ 1. — COUPE EN TRAVERS

Art. 1. — Dispositions d'ensemble

e_0 , E et E sont donnés au Tableau I (p. 33) ;
 Δe au Tableau II (p. 34).

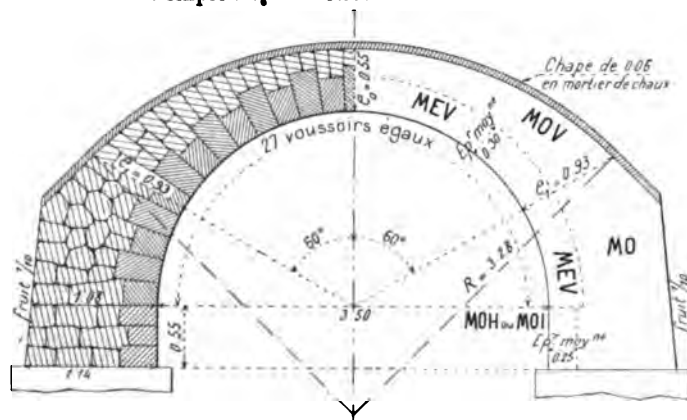
f_1 . — Ouvrages dits sans surcharge, c-à-d sous une charge h' ne dépassant pas 3^m.

f_2 . — Ouvrages dits avec surcharge, c-à-d sous une charge h' de plus de 3^m.

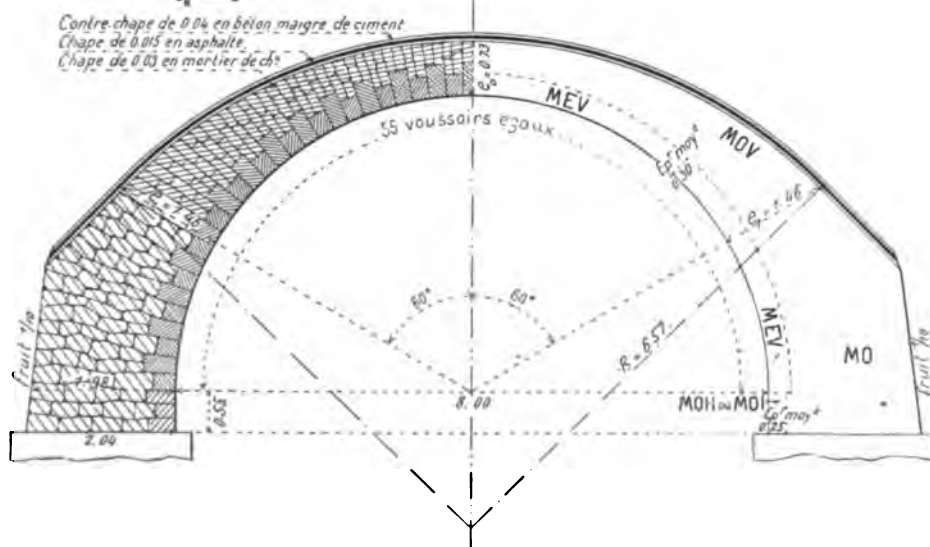


1. — Pour la réduction exceptionnelle de h' à moins de 0^m40, voir Titre I (p. 21).

Ouvertures de : 3^m00 3^m50
 Exemple : f_1 — Ponceau de 3^m50 — 1^m5



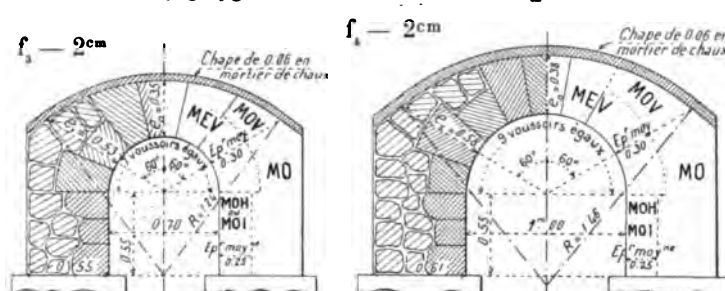
Ouverture de : 8^m
 f_1 — 1^m



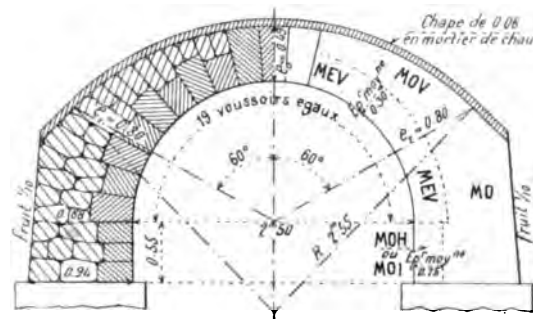
Art. 2. — Corps des voûtes et pieds-droits.

Appareil (f_1 à f_2)

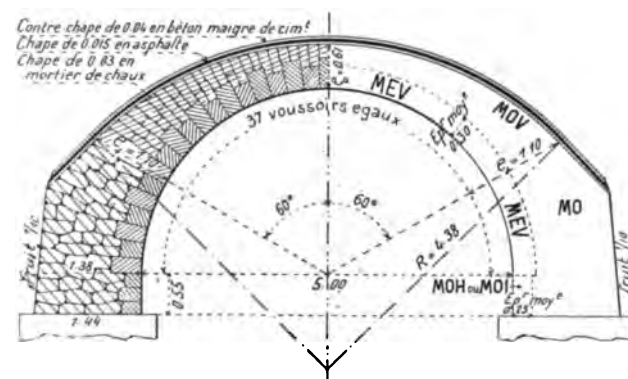
Ouvertures de : 0^m70



Ouvertures de : 1^m50 2^m00 2^m50
 Exemple : f_1 — Ponceau de 2^m50 — 1^m5



Ouvertures de : 4^m00 à 7^m50
 Exemple : f_1 — Pont de 5^m — 1^m



NOTA

La moitié de gauche de chaque figure montre comment l'ouvrage sera réellement exécuté. — La moitié de droite indique comment les différentes natures de matériaux seront indiquées et représentées au projet sur la coupe en travers.

Ces coupes supposent que la hauteur des pieds-droits est réduite au minimum de 0^m55 (p. 10) et que la charge de remblai au-dessus de la chape est $\leq 3^m$.

Pour le sens de MO, MOV, ... voir Titre I, (p. 26).

Art. 3. — Dimensions. — TABLEAU I. — *Ouvrages sans surcharge ou sous une charge ne dépassant pas 3^m (Voir f.)*

Ouverture		Rayon d'extrados $R = 0,73 (1 + 2a)$		Epaisseur au milieu de la montée		Epaisseur des pieds-droits de hauteur h $E_m = 0,30 + 0,40 a + 0,20 h$ à $\frac{2}{3}$ des naissances :		Distance verticale entre la plate-forme et le dessous de la clef		Revanche minima au-dessus des plus hautes eaux		Ouvrages servant à l'écoulement des eaux Hauteurs sous réserve d'assurer dans tous les cas la revanche nécessaire au-dessus des hautes-eaux		Ouvrages servant de passage Hauteurs					
$2a$	e_0	R	e_1	E_m	d	r	de la clef	de la plate-forme	des plus hautes eaux		Ouvrages servant à l'écoulement des eaux Hauteurs sous réserve d'assurer dans tous les cas la revanche nécessaire au-dessus des hautes-eaux		Ouvrages servant de passage Hauteurs						
1	2	3	4	5	6	7	8	9	10	11	12	13	14	15	16	17	18	19	20
m	m	m	m	m	m	m	m	m	m	m	m	m	m	m	m	m	m	m	m
0.60	0.34	1.17	0.51	0.42 + 0.20 h	0.80	0.25	1.05	0.85	1.30	1.65	2.10	1.65	2.10	1.50	1.95	2.40	1.95	2.40	2.85
0.70	0.35	1.24	0.53	0.44 + 0.20 h	0.81	0.25	1.06	0.90	1.35	1.71	2.16	1.71	2.16	1.55	2.00	2.45	2.00	2.45	2.90
1.00	0.38	1.46	0.58	0.50 + 0.20 h	0.84	0.35	1.19	1.05	1.50	1.89	2.34	1.89	2.34	1.65	2.10	2.55	2.10	2.55	3.00
1.50	0.42	1.82	0.66	0.60 + 0.20 h	0.88	0.50	1.38	1.30	1.75	2.18	2.63	2.18	2.63	1.75	2.20	2.65	2.20	2.65	3.10
2.00	0.46	2.19	0.74	0.70 + 0.20 h	0.92	0.60	1.52	1.55	2.00	2.47	2.92	2.47	2.92	1.85	2.30	2.75	2.30	2.75	3.20
2.50	0.49	2.55	0.80	0.80 + 0.20 h	0.95	0.70	1.65	1.80	2.25	2.75	3.20	2.75	3.20	1.95	2.40	2.85	2.40	2.85	3.30
3.00	0.52	2.92	0.86	0.90 + 0.20 h	0.98	0.80	1.78	2.05	2.50	3.03	3.48	3.03	3.48	2.05	2.50	2.95	2.50	2.95	3.40
3.50	0.55	3.28	0.93	1.00 + 0.20 h	1.01	0.90	1.91	2.30	2.75	3.31	3.76	3.31	3.76	2.15	2.60	3.05	2.60	3.05	3.50
4.00	0.57	3.65	0.99	1.10 + 0.20 h	1.06	1.10	2.16	2.55	3.00	3.61	4.06	3.61	4.06	2.25	2.70	3.15	2.70	3.15	3.60
5.00	0.61	4.38	1.10	1.30 + 0.20 h	1.10	1.20	2.30	3.05	3.50	4.15	4.60	4.15	4.60	2.35	2.80	3.25	2.80	3.25	3.70
6.00	0.66	5.11	1.23	1.50 + 0.20 h	1.15	1.30	2.45	3.55	4.00	4.70	5.15	4.70	5.15	2.45	2.90	3.35	2.90	3.35	3.80
7.00	0.69	5.84	1.34	1.70 + 0.20 h	1.18	1.40	2.58	4.05	4.50	5.23	5.68	5.23	5.68	2.55	3.00	3.45	3.00	3.45	3.90
8.00	0.73	6.57	1.46	1.90 + 0.20 h	1.22	1.50	2.72	4.55	5.00	5.77	6.22	5.77	6.22	2.65	3.10	3.55	3.10	3.55	4.00

2. Pour les ouvrages de plus de 2^m, dans lesquels le parement postérieur des pieds-droits n'est plus vertical, mais en fruit de 1/10 (ϵ), l'épaisseur des pieds-droits est : aux naissances $E_p = E_m - 0,05 h$; à la base : $E_b = E_m + 0,05 h$.

2. Pour les ouvrages de plus de 2 m, dans lesquels le parement postérieur des pieds-droits n'est plus vertical, mais en fruit de 1/10 (f), l'épaisseur des pieds-droits est : aux naissances $E_3 = E_m - 0,05 h$; à la base : $E_3 = E_m + 0,05 h$.

3. On a supposé, ce qui est le cas général, que le dessus de la chape est à 0-40 au-dessous de la plate-forme.

Art. 3. — Dimensions (Suite). — TABLEAU II. — Ouvrages sous charge de plus de 3^m. (Titre I, p. 16 et f.)

Ouverture 2 a	Quantité Δe , en centimètres, à ajouter à l'épaisseur à la clef e_0 et au rayon R, pour une hauteur de surcharge h' jusqu'à la plate-forme, de :													
	3 ^m au plus	4 ^m au plus	5 ^m	6 ^m	7 ^m	8 ^m	9 ^m	10 ^m	11 ^m	12 ^m	14 ^m	16 ^m	18 ^m	20 ^m et au-dessus
0 ^m 60 et 0 ^m 70	0 ^{cm}	1 ^{cm}	2 ^{cm}	3 ^{cm}	3 ^{cm}	4 ^{cm}	5 ^{cm}	6 ^{cm}	7 ^{cm}	8 ^{cm}	Pour 12 ^m et au-dessus			
1 ^m 00	0	1	2	3	4	5	7	8	9	10				
1 ^m 50 et 2 ^m 00	0	1	3	4	5	6	8	10	12	13	Pour 14 ^m et au-dessus			
2 ^m 50 et 3 ^m 00	0	1	3	5	7	9	11	13	15	16				
3 ^m 50 et 4 ^m 00	0	2	5	7	10	12	14	16	18	20	Pour 16 ^m et au-dessus			
5 ^m 00	0	2	6	9	12	15	17	19	21	23				
6 ^m 00	0	3	7	10	13	16	19	22	24	26	Pour 18 ^m et au-dessus			
7 ^m 00	0	3	8	12	16	19	22	25	27	29				
8 ^m 00	0	4	9	13	17	21	25	28	30	32	33	34	35	36

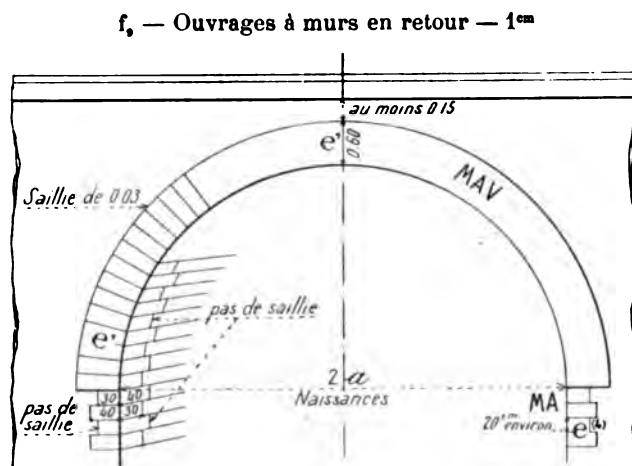
L'épaisseur aux naissances sera majorée de 2 Δe . (Voir f₂).

Mêmes hauteurs minima de pieds-droits que pour les ouvrages non surchargés, c-à-d h_m ou h'_m (Tableau I, colonnes 11 et 17).

§ 2. — BANDEAUX

Types. — Dimensions

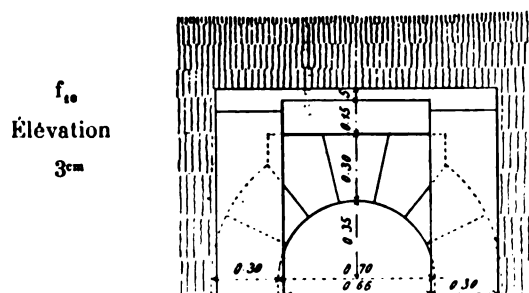
TABLEAU III.



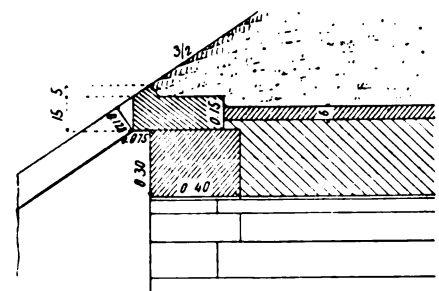
4. — Pour un moellon d'épaisseur e , il convient que sa plus petite longueur soit $\geq 1,5 e$, sa plus grande $\leq 3 e$.

Ouverture 2a	Epaisseur du bandeau e'	Développement de l'intrados	Voussoirs du bandeau		
			Nombre	Epaisseur joints compris	Queues dans le sens de la douelle
0 ^m 60	0 ^m 30	0 ^m 942	5	0 ^m 188	0 ^m 30 et 0 ^m 40
0 ^m 70	0 ^m 30	1 ^m 100	7	0 ^m 157	
1 ^m 00	0 ^m 30	1 ^m 571	9	0 ^m 175	
1 ^m 50	0 ^m 30	2 ^m 356	13	0 ^m 181	
2 ^m 00	0 ^m 35	3 ^m 142	15	0 ^m 209	
2 ^m 50	0 ^m 35	3 ^m 927	19	0 ^m 207	
3 ^m 00	0 ^m 35	4 ^m 712	23	0 ^m 205	
3 ^m 50	0 ^m 40	5 ^m 498	27	0 ^m 204	
4 ^m 00	0 ^m 40	6 ^m 283	31	0 ^m 203	
5 ^m 00	0 ^m 45	7 ^m 854	37	0 ^m 212	
6 ^m 00	0 ^m 50	9 ^m 425	43	0 ^m 219	0 ^m 35 et 0 ^m 40
7 ^m 00	0 ^m 60	10 ^m 996	49	0 ^m 224	
8 ^m 00	0 ^m 60	12 ^m 566	55	0 ^m 228	0 ^m 35 et 0 ^m 50

Aqueducs de 0^m60 et 0^m70 à murs en aile, sous charge de remblai



f₁₁
Coupe
en long
sur
l'axe
3^m



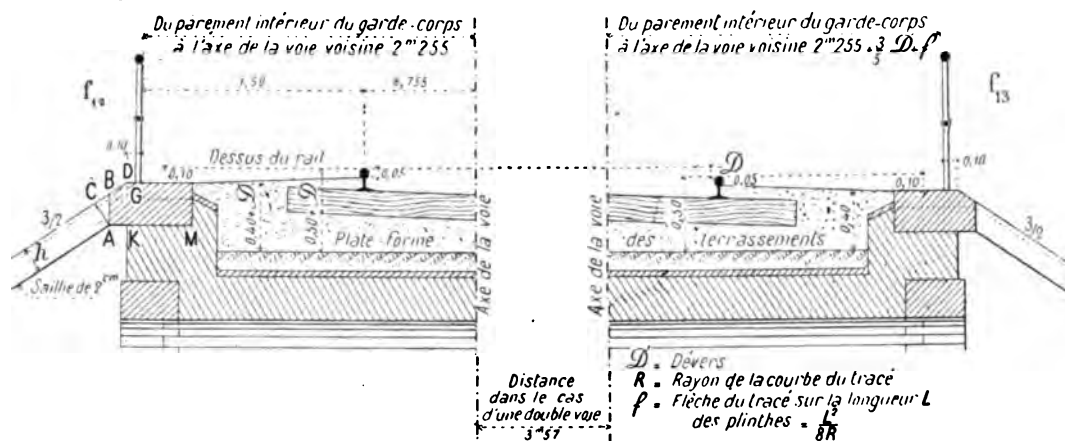
Art. 1. — Plinthes¹ et rampants

A. — Plinthe à 0^m10 au-dessous du rail voisin

Position des garde-corps

en alignement ou à l'extérieur des courbes

à l'intérieur des courbes

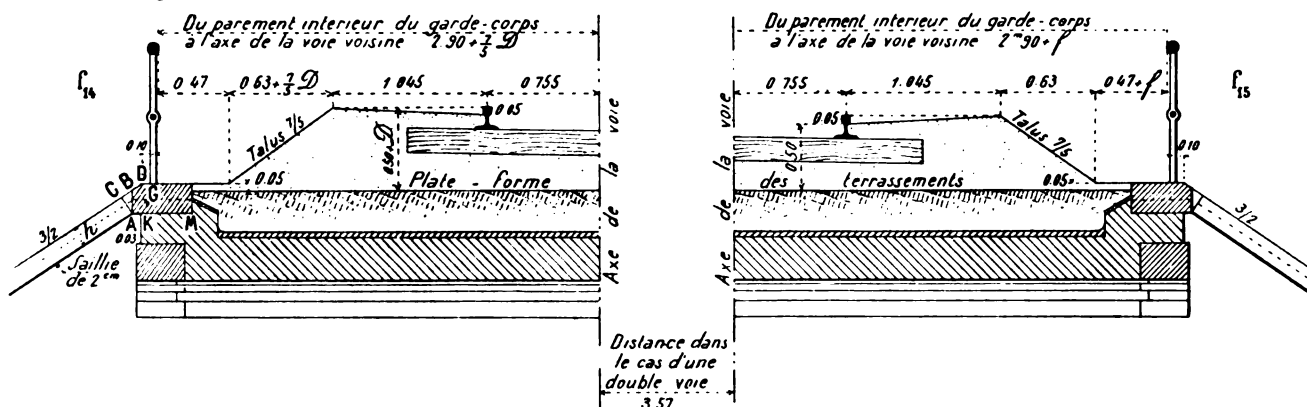


B. — Plinthe à 0^m05 au-dessus de la plate-forme

Position des garde-corps

en alignement ou à l'extérieur des courbes

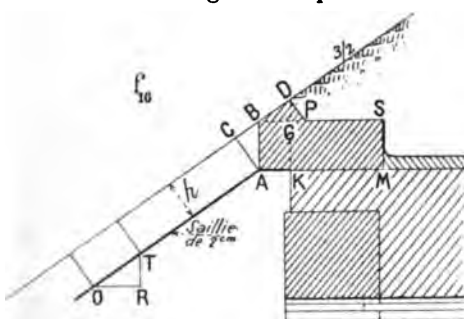
à l'intérieur des courbes



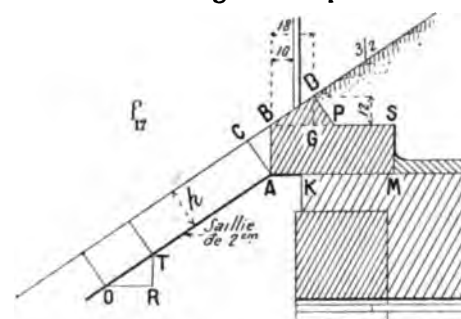
C. — Plinthe sous charge de remblai (p. 21)

sans garde-corps

avec garde-corps



La plinthe est celle des ouvrages sans surcharge, échantreée sur la hauteur DG. Pour les plinthes sans garde-corps, DG est donné au tableau IV. Pour les plinthes avec garde-corps, DG = 0^m12. Dans les 2 cas, MS = AB, PG = 2/3 DG.



TABEAU IV

D. — Dimensions (f_{11} à f_{17})

Ouverture des ouvrages 2a	Plinthes						Rampants				
	Longueur A M	Saillie A K	AB = 1.202 h	DG = 2/3 AK	BD = 1.202 AK	Epaisseur DK	Largeur horizontale g (f_{10})	Epaisseur h	Crossettes ²		
									OR = 3/2 TR	TR	OT = 1.202 OR
0 ^m 60—0 ^m 70	0 ^m 40	0 ^m 075	0 ^m 15	0 ^m 05	0 ^m 09	0 ^m 20	0 ^m 30	0 ^m 125	0 ^m 25	0 ^m 166	0 ^m 30
1.00	0.45	0.075	0.15	0.05	0.09	0.20	0.30	0.125	0.25	0.166	0.30
1.50	0.50	0.105	0.18	0.07	0.126	0.25	0.40	0.15	0.30	0.20	0.36
2.00—2.50	0.50	0.105	0.18	0.07	0.126	0.25	0.40	0.15	0.30	0.20	0.36
3.00	0.55	0.12	0.20	0.08	0.144	0.28	0.45	0.166	0.35	0.233	0.42
3.50	0.55	0.12	0.20	0.08	0.144	0.28	0.45	0.166	0.35	0.233	0.42
4.00	0.55	0.12	0.20	0.08	0.144	0.28	0.45	0.166	0.35	0.233	0.42
5.00—6.00	0.60	0.15	0.22	0.10	0.18	0.32	0.45	0.18	0.35	0.233	0.42
7.00—8.00	0.60	0.15	0.25	0.10	0.18	0.35	0.50	0.21	0.40	0.266	0.48

5. — En courbe, les plinthes et les têtes des ouvrages à murs en aile seront droites et parallèles à la corde de la courbe du tracé sur la longueur des plinthes. Les distances à l'axe de la voie indiquées aux figures f_{12} à f_{17} , sont mesurées sur l'axe transversal de l'ouvrage.

6. — Si la hauteur du rampant est entre 1^m50 et 3^m00, une crossette ; au delà, une par chaque 1^m50 de hauteur. — On traitera le parement OIR comme le reste du mur.

Art. 2. — Murs avec murettes de retour

f_{10} — Demi-coupe
sur xx de f_{30}

f₁₉ Demi-élévation

f_{21} — Elévation suivant $t t$ de f_{20}

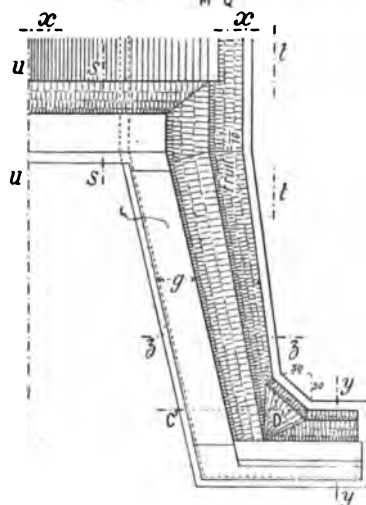
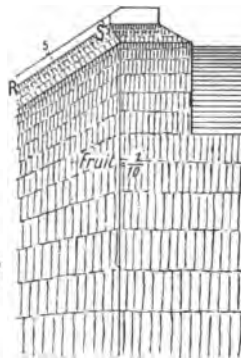
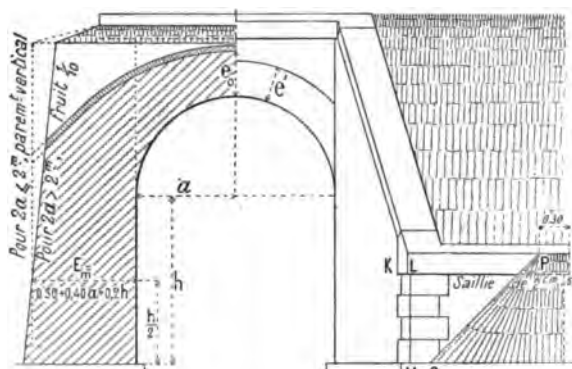


TABLEAU V

Ouverture des ouvrages	Couronnement de la murette de retour (f_{10})				Epaisseur du mur de tympan T (f_{10})
	C D	CE = $\frac{2}{3}$ CD	EF	FG	
0 ^m 60—0 ^m 70	0 ^m 08	0 ^m 05	0 ^m 15	0 ^m 23	0 ^m 50
1.00				0.23	0.60
1.50				0.27	0.60
2.00—2.50				0.27	0.60
3.00—3.50			0.30	0.70	
4.00			0.30	0.80	
5.00—6.00			0.33	0.80	
7.00—8.00			0.40	0.07	0.23

Le talus du quart de cône PQ (f_{19}) sera de 3/2. En le gazonnant, on pourra le raidir à 1/1.

Les moellons d'appareil de la chaîne d'angle LM (f_{10}) auront, pour les ouvrages de 0^m60 à 6^m, 0^m30 et 0^m40, — de 7^m et 8^m, 0^m35 et 0^m45. L'about du dé KL (f_{10}) aura la même queue que les moellons les plus longs de la chaîne d'angle.

Si l'on doit gazonner le talus, l'arête supérieure R S (f_{11}) du mur en aile sera à 0^m10 au lieu de 0^m05 en contre-bas du dessus du rampant.

Le parement IJ (f_{ss}) sera vertical : 1° pour les ouvrages de 2^m et au-dessous ; 2° quand la hauteur H' ne dépasse pas 2^m.

L'épaisseur moyenne du mur en aile dans la section C' D' (f_{30}) passant par le pied du parement arrière du mur en retour sera calculée par la formule : $E_m = 0{,}30 + 0{,}30 H'$, H' (f_{30}) étant la hauteur du mur en aile dans la section C' D'.

Art. 3. — Murs avec dés au lieu de murettes de retour

Elévations
f.₁ — de côté

f. — de face

f₃₆ — Plan,
les maçonneries découvertes

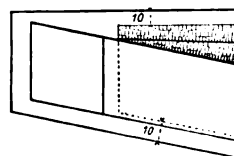
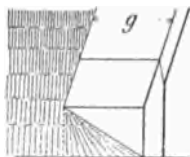
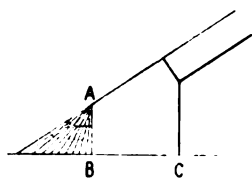
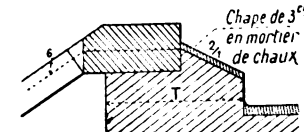
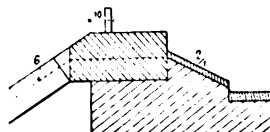


TABLEAU VI

Ouverture des ouvrages	A B f _{..}	B C
0 ^m 60 à 1 ^m 50	0 ^m 20	0 ^m 40
2 ^m 00 à 2 ^m 50	0.25	0.45
3 ^m 00 à 6 ^m 00	0.30	0.50
7 ^m 00 à 8 ^m 00	0.35	0.60

f_{11} — Coupe sur uu de f_{10}

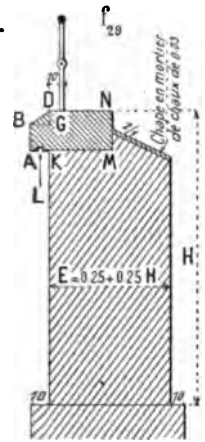
f_{30} — Coupe sur ss de f_{30}



Art. 4. — Raccordement

de la chape avec les tympans et la plinthe (f_{27} , f_{28})

Art. 1. — Tracé. — Arasement. — Position des garde-corps. — Pour les ouvrages courants, on n'adoptera qu'exceptionnellement les murs en retour (p. 11). — En courbe, les plinthes, têtes, murs en retour, seront courbes et parallèles à la courbe du tracé (p. 22). — Pour les ouvrages couronnés au niveau du rail ou au niveau de la plate-forme, les plinthes seront arasées, et les garde-corps disposés comme pour les murs en aile (voir f_{11} à f_{13}), sauf que, les plinthes étant courbes, il n'y aura pas à tenir compte de la flèche f du tracé sur la longueur des plinthes (p. 22).



Art. 2. — Coupe en travers. — Quand les murs ne seront pas fermés par une cloison du côté des terres, on leur donnera l'épaisseur : $E = 0.25 + 0.25 H$ (f_{11}).

Toutefois, l'intervalle entre parements intérieurs des murs en retour d'une même culée ne devra pas descendre au-dessous de 2^m.

Quand la hauteur H atteindra 4 ou 5^m, et même, dans certains cas, pour des hauteurs moindres, on évitera la culée, soit par des puits circulaires remplis de déblais rocheux (f_{10}), soit par des voûtes d'évidement transversales, ... : ces dispositions feront l'objet d'une étude spéciale.

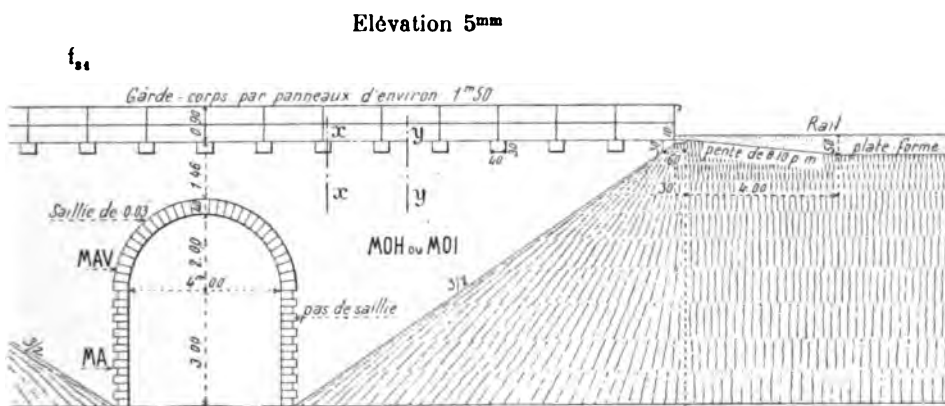
Art. 3. — Plinthe (f_{11}).

TABLEAU VII

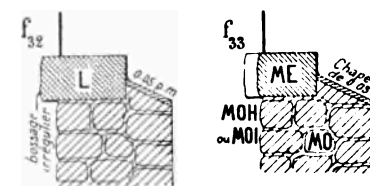
Ouverture des ouvrages	Longueur AM	Saillie AK	Épaisseur MN	AB	DG	BG=2DG	
Jusqu'à 2 ^m inclus	0 ^m 50	0 ^m 10	0 ^m 25	0 ^m 18	0 ^m 06	0 ^m 12	Pour les ouvrages de plus de 2 ^m , on creusera un larmier L (f_{12}).
De 2 ^m à 6 ^m inclus	0.60	0.15	0.30	0.21	0.08	0.16	
De 6 ^m à 8 ^m	0.70	0.20	0.35	0.25	0.10	0.20	

Art. 4. — Couronnement des ouvrages courants en rase campagne

Exemple. — Passage inférieur voûté de 4^m



Coupes sur xx de f_{11} sur yy de f_{11}



Face supérieure des dés arasée aux mêmes niveaux que les plinthes des ouvrages à murs en aile couronnés au niveau du rail ou de la plate-forme (p. 21).

Il convient que la verticale de la clef coïncide avec le milieu d'un panneau du garde-corps, à défaut, avec un montant.

§ 5. — RADIERS

Art. 1. — Coupe en travers

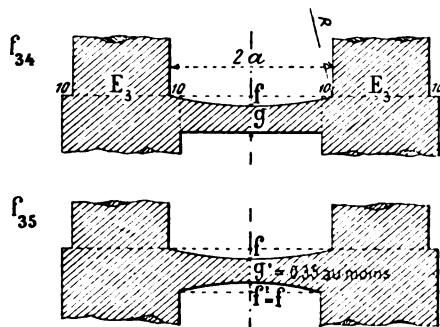


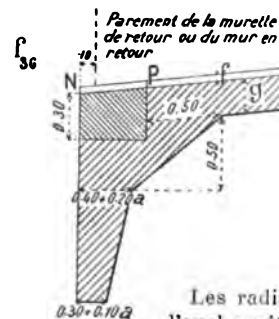
TABLEAU VIII

Ouverture $2a$	Flèche f	Épaisseur g
0 ^m 60 - 0 ^m 70	0 ^m 05	0 ^m 35
1 ^m 00 - 1 ^m 50	0.075	0.35
2.00	0.10	0.40
3.00 - 3.50	0.125	0.40
4.00	0.15	0.45
5.00	0.175	0.50
6.00 - 7.00	0.20	0.55
8.00	0.25	0.60

Art. 2. — Garde-radiers. — Parafouilles

TABLEAU IX

Ouverture $2a$	NP
0 ^m 60 - 0 ^m 70	0 ^m 40
1 ^m 00 - 1 ^m 50	0.40
2.00	0.50
3.00	0.50
4.00 - 8.00	0.60



Les radiers seront, à l'amont et à l'aval, arrêtés suivant une ligne droite.

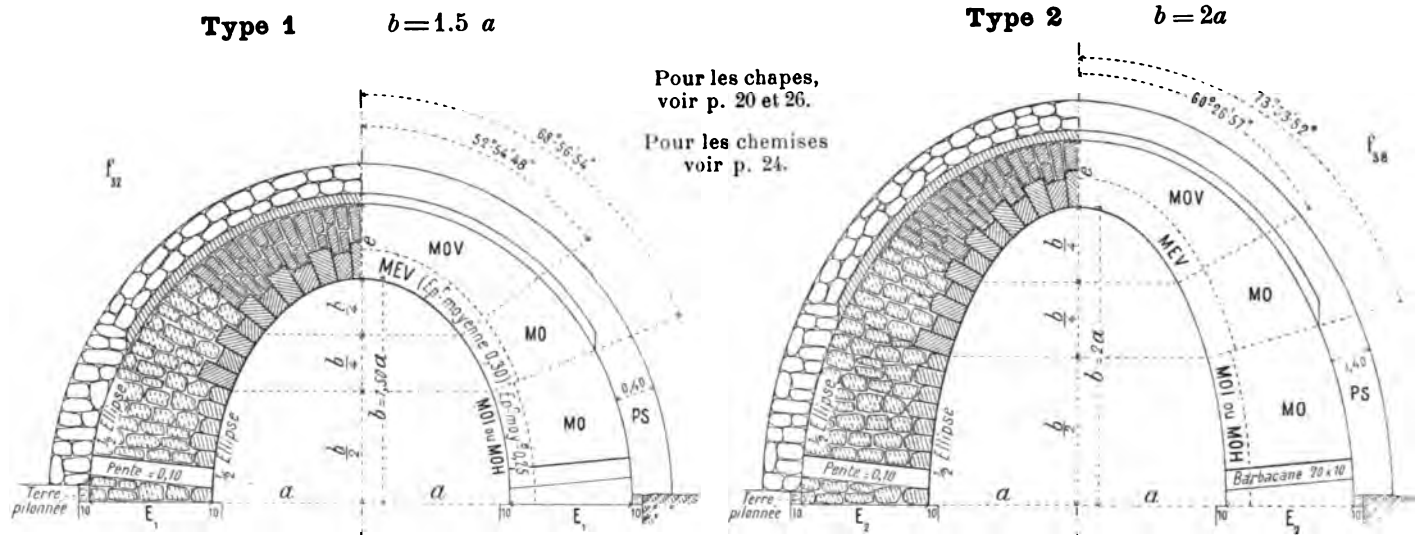
OUVRAGES DROITS SOUS RAILS EN ELLIPSE SURHAUSSÉE

PORTÉE DE 2^m ET PLUS — SURCHARGE DE PLUS DE 5^m

(Titre I. p. 15)

§ 1. — CORPS

Coupe en travers



Epaisseurs

$$\begin{cases} e = e_0 + \Delta e \\ E_1 = e_0 + 0,2a + 2 \Delta e \\ E_2 = e_0 + 0,3a + 2 \Delta e \end{cases}$$

Pour les matériaux, voir p. 26.

On donne les valeurs numériques de :

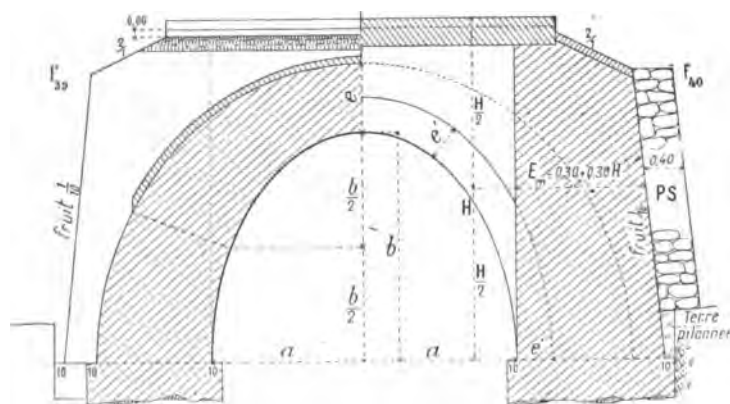
$e_0 = 0,19 (1 + \sqrt{2a})$ Tableau I, p. 33.

Δe , surépaisseur à la clef Tableau II, p. 34

§ 2. — TÊTES

Demi-coupe sur xx de f_{41}

Demi-coupe sur yy de f_{41}

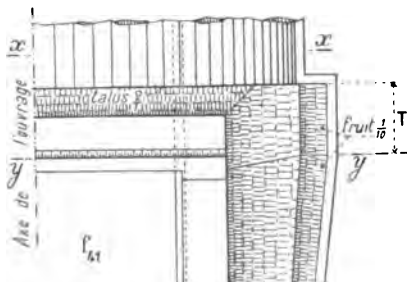


Plan, les maçonneries découvertes

L'extrados du bandeau est une courbe parallèle à l'ellipse.
(Tome III, p. 329).

(f_{41})

L'épaisseur T du tympan est donnée au Chap. I, Tableau V, p. 36.



Bandeaux

Ouvr- ture 2a	Epais- seur e'	Développe- ment de la demi-ellipse d'intrados		Nombre de voussoirs		Queue dans le sens de la douelle
		Type 1	Type 2	Type 1	Type 2	
2 ^m 00	0 ^m 35	3 ^m 97	4 ^m 84	19	25	0 ^m 30 et 0 ^m 40
2.50	0.35	4.96	6.05	25	29	
3.00	0.35	5.95	7.27	29	35	
3.50	0.40	6.94	8.48	33	41	
4.00	0.40	7.93	9.69	37	47	
5.00	0.45	9.91	12.11	45	57	0.35 et 0.50
6.00	0.50	11.90	14.53	53	65	
7.00	0.60	13.88	16.95	61	75	
8.00	0.60	15.86	19.38	69	85	

Voir pour :

les plinthes, rampants, crossettes. art. 1, p. 35.

les murs en aile, murettes de retour, des art. 2, p. 36.

les radiers art. 1, p. 37.

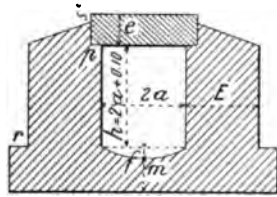
les matériaux autres que ceux du corps de la voûte p. 26.

7. La même que pour les pleins cintres (p. 34, Tableau III).

DALOTS

(Voir, p. 13)

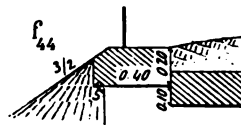
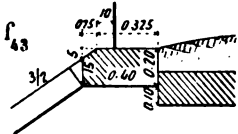
f_{43}
Coupe
en
travers



Ouvrages couronnés au niveau du chemin
(coupes en long)

avec murs en aile

avec mur en retour



Ouverture	Epaisseur de la dalle	Largeur d'appui	Epaisseur des pieds- droits	Epaisseur minima du radier	Flèche du radier	Retraite de la fondation
$2a$	e	p	E	m	f	r
A. — Sous rails						
0 ^m 60	0 ^m 25	0 ^m 15	0 ^m 50	0 ^m 35	0 ^m 05	0 ^m 10
0.70	0.30	0.20	0.55	0.40		
0.80	0.30	0.20	0.60	0.40		
B. — Hors la voie						
0.20	0.10	0.05	0.30	0.10	0.00	0.05
0.30	0.10	0.05	0.30	0.15		
0.40	0.15	0.05	0.35	0.20		
0.50	0.15	0.10	0.35	0.20	0.05	0.10
0.60	0.20	0.10	0.40	0.30		
0.70	0.20	0.10	0.40	0.30		
0.80	0.25	0.15	0.45	0.30		

Si, exceptionnellement, par exemple pour permettre à un homme de passer, on est obligé de dépasser la hauteur $h = 2a + 0^m10$, on calculera E par la formule : $E = 0^m15 + 0,30 a + 0,20 h$.

On ne mettra de garde-corps que sur les ouvrages de 0^m50 et au-dessus, quand la hauteur entre le dessus de la plinthe et le radier dépasse 1^m.

En rase campagne, le rampant sera en moellons ordinaires ; la plinthe, en libages sans chanfrein, sans saillie sur la tête.

CHAPITRE IV

BUSES

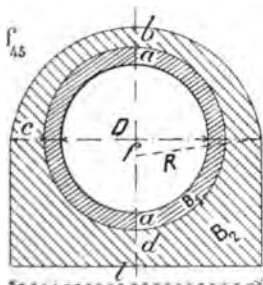
(Voir p. 13)

CORPS

SOUS RAILS

Coupe en travers

Dimensions



D	a	b	c	d	f	Cube par m. cour ^r	
						B_1	B_2
0 ^m 60	0 ^m 10	0 ^m 10	0 ^m 20	0 ^m 20	0 ^m 11	0 ^m 220	0 ^m 670
0.80	0.11	0.15	0.30	0.25	0.17	0.314	1.206

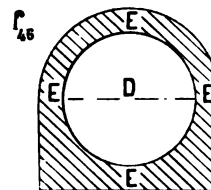
Composition :

B_1	B_2
Ciment..... 800 ^k	Mortier de chaux à 300 ^k 1 vol.
Sable et « gravilles » de 2 cm..... 1 mc	Gravier de 2 cm à 3 cm..... 2 vol.

HORS LA VOIE

Coupe en travers

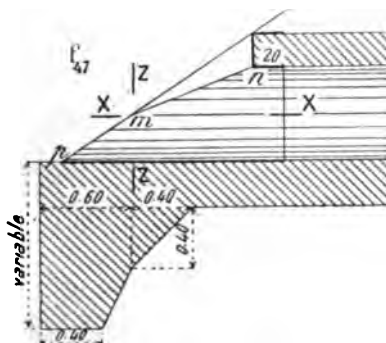
Dimensions



D	$E = 0,06 + \frac{D}{10}$	Cube par m. courant
0 ^m 30	0 ^m 09	0 ^m 135
0.40	0.10	0.196
0.50	0.11	0.266
0.60	0.12	0.347
0.70	0.13	0.438
0.80	0.14	0.539

TÊTES

Type I



Au-dessus du plan XX (f_{47}), la buse est coupée par une droite normale à son axe s'appuyant sur cet axe et sur l'ellipse intersection du plan du talus avec le cylindre d'extrados.

Au-dessous, la tête est dans le plan du talus.

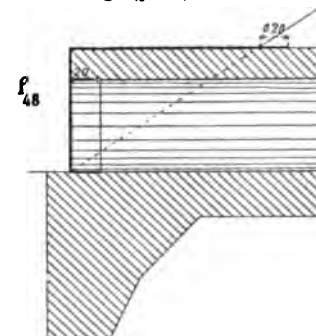
On peut couper par le plan vertical ZZ le bec de flûte $m p$.

La tête sera entourée de gazon sur 0^m30.

8. L'intersection de cette surface avec le cylindre d'intrados est une ellipse qui se projette sur le plan vertical passant par l'axe de la buse, suivant la droite $m n$ (f_{47}).

Type II

Applicable quand la buse est faite par tuyaux pilonnés à côté de l'ouvrage (p. 13).



Quand on ne craindra pas d'affouillements, spécialement pour les buses hors la voie, on réduira le parafoille à un bourrelet de 10^{cm} × 10^{cm}. On pourra même le supprimer.

On garnira d'un enduit au mortier de ciment de 2^{cm} la partie vue de la tête, et, sur 0^m20, l'intérieur de la buse et la partie de l'extrados qui sera recouverte de remblai.

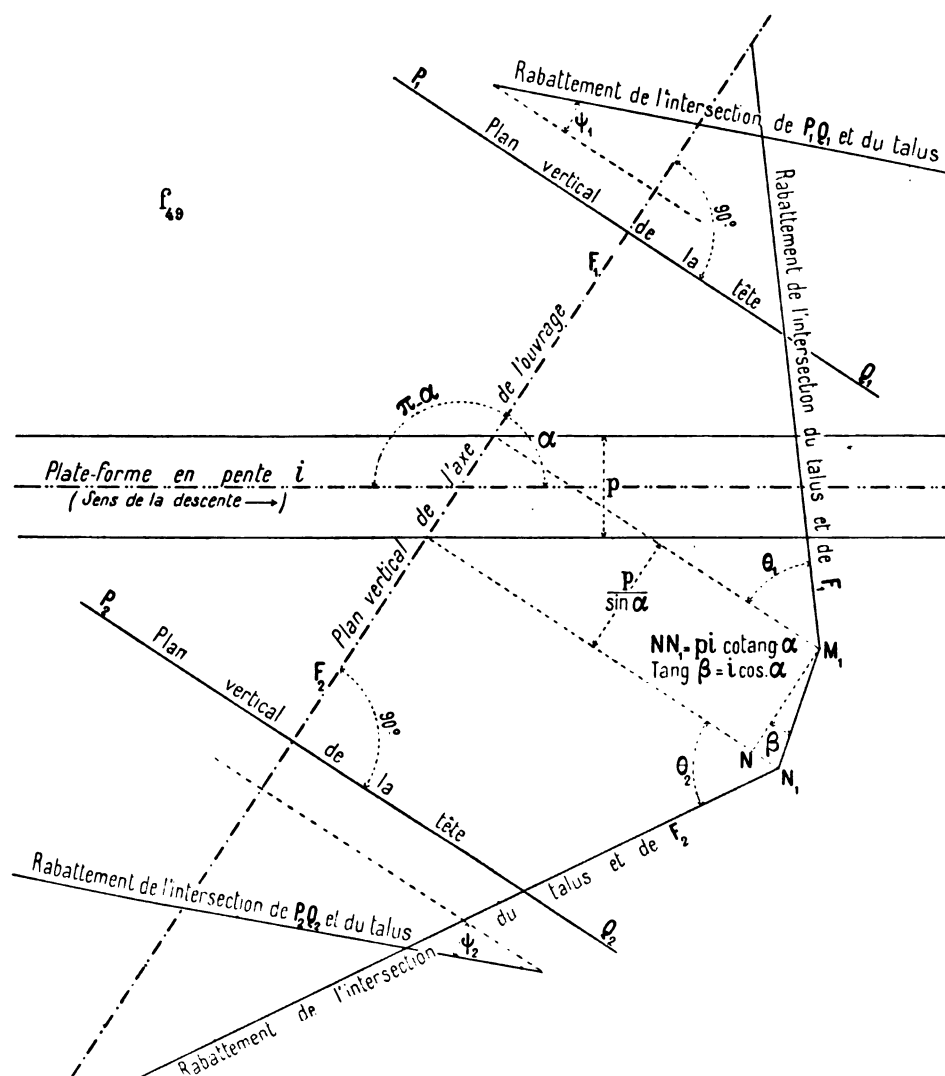
OUVRAGES BIAIS SOUS CHARGE DE REMBLAI

AU TALUS DE 3/2

VOÛTES ET TÊTES DROITES — PLINTHES RAMPANTES

(Voir Titre I, p. 17)

Les têtes sont dans un plan vertical PQ perpendiculaire au plan vertical F de l'axe de l'ouvrage.
L'arête du couronnement d'une tête PQ est l'intersection du plan PQ et du talus de remblai.



Côté	Angle avec le sens de la descente	Angle avec la verticale de l'intersection du talus de remblai et du plan F	Inclinaison sur l'horizon de l'arête rampante, intersection du talus de remblai et du plan de tête PQ
F ₁	α (angle aigu)	$Tang \theta_1 = \frac{3}{2 \sin \alpha + 3 i \cos \alpha}$	$Tang \psi_1 = \frac{2}{3} \cos \alpha - i \sin \alpha$
F ₂	$\pi - \alpha$ (angle obtus)	$Tang \theta_2 = \frac{3}{2 \sin \alpha - 3 i \cos \alpha}$	$Tang \psi_2 = \frac{2}{3} \cos \alpha + i \sin \alpha$

LIVRE II

VIADUCS

SOUS CHEMIN DE FER A VOIE NORMALE

A ARCHES ÉGALES EN PLEIN CINTRE

A UN SEUL ÉTAGE

1, VI. -- 6.

TITRE I

VIADUCS EN ALIGNEMENT DROIT ET EN PALIER

CHAPITRE I

CONDITIONS IMPOSÉES PAR LA CIRCULATION DES TRAINS ET PAR CELLE DES AGENTS

Un pont, un viaduc, sont faits pour la circulation; c'est le dessus qui l'assure: c'est donc lui qui mène l'étude et règle le dessous.

La largeur libre minima entre les faces intérieures des garde-corps est :

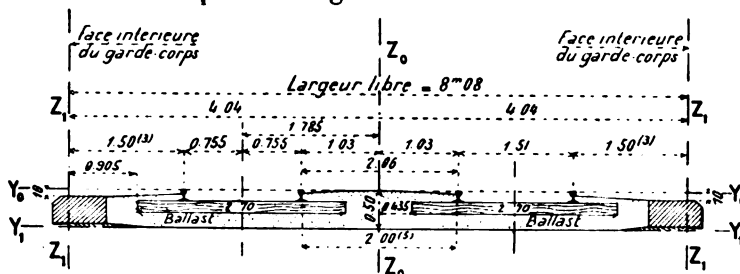
Pour les ouvrages à 2 voies (f_1, f_2) 8^m08¹;

Pour les ouvrages à 1 voie (f_1, f_2) 4^m51².

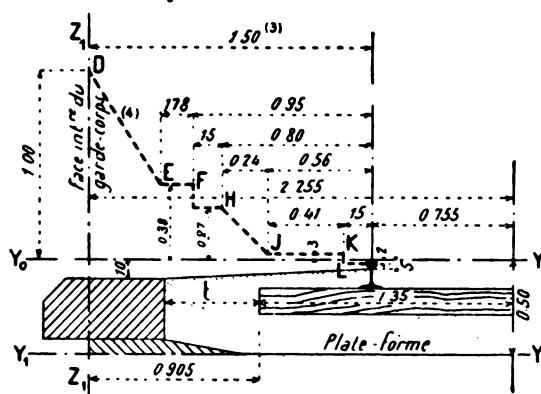
Art. 1. — Pourquoi il faut arrêter d'abord le dessus.

Art. 2. — Largeur libre entre garde-corps.

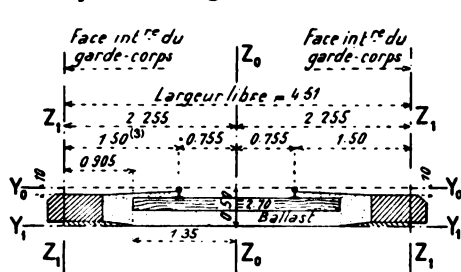
f_1 — Ouvrage à 2 voies — 1^{er}



f_1 — Détail — 2nd5



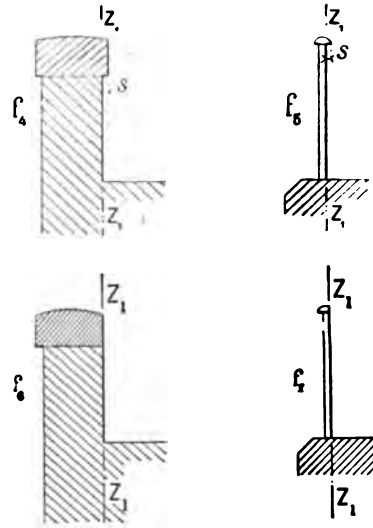
f_1 — Ouvrage à 1 voie — 1^{er}



1. — Au lieu de 8^m (Cahier des charges des grandes C^{'''}, art. 11).
2. — Au lieu de 4^m50 (Cahier des charges du P-L-M et de l'Orléans, art. 11).
3. — Règlement ministériel du 8 Janvier 1915 pour les ponts métalliques, art. 27).
4. — — id — Rien ne doit dépasser la ligne brisée LKJHFED (f_2).
5. — Cahier des charges des grandes C^{'''}, art 7.

Art. 3. — Pas de saillie du bahut ou de la lisse supérieure, sur la face intérieure du garde-corps.

Toute saillie s (f_1, f_2) sur la face intérieure des garde-corps élargit l'ouvrage de $2s$.



Un encorbellement, disposé pour la regagner, sera bien mieux employé à réduire la largeur entre tympans.

Rien ne doit faire saillie sur le plan vertical $Z_1 Z_1$ (f_1 à f_2): ni le bahut d'un parapet en maçonnerie, ni, dans un garde-corps métallique, la main courante, les pontets en fonte....

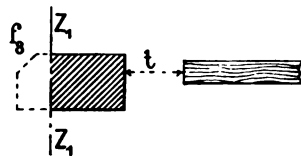
Peuvent toutefois faire saillie sur $Z_1 Z_1$ dans les garde-corps métalliques :

1° les renforts des montants (f_1) parce qu'ils n'empiètent pas sur le gabarit de construction (f_1) ;

2° les pilastres en fonte, parce que ce sont des obstacles isolés à plus de 1^m35 du bord du rail voisin.*

Art. 4. — Distance minima t entre l'about des traverses et la face postérieure de la plinthe (f_1).

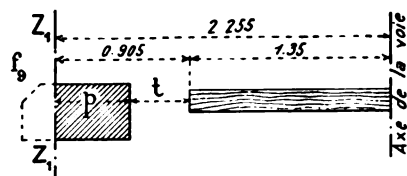
Elle est seulement de 0^m155 le long des trottoirs des gares.



Admettons que la distance minima, pour éviter aux plinthes des chocs au passage des trains, soit 0^m305 ^{7, 8}.

Art. 5. — Largeur p de la plinthe en dedans de la face intérieure du garde-corps $Z_1 Z_1$ (f_1).

1° — *Maxima*. — Ce sera, d'après l'art. 4:



0^m905 — 0^m305 (minimum de t) = 0^m60°

0^m60 n'est justifié que pour équilibrer un grand porte-à-faux: on ne l'a guère dépassé.

2° — *Minima*. — La plinthe, en dedans du plan $Z_1 Z_1$, doit être assez large pour :

a — servir de trottoir aux Agents de la Voie. 0^m35 suffit à la rigueur¹⁰: on a souvent pris 0^m45.

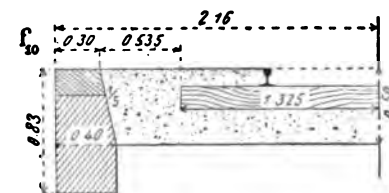
b — faire équilibre au porte-à-faux de la plinthe en avant du tympan.

Entre 0^m35 et 0^m60, on réduit p à ce qu'il faut pour la stabilité de la plinthe.

Art. 6. — Niches de refuge. Largeur. Profondeur. Place (f_{10}).

Tous les 50^m environ de chaque côté de l'axe, soit de 25^m en 25^m en quinconce, on ménage des niches de refuge de largeur $l \geq 1^m50$, de profondeur $c \geq 0^m30$. Avec 0^m30, un gros homme est à l'abri.

6 — Décision ministérielle du 31 décembre 1890 fixant la distance entre le rail et les obstacles isolés le long des voies principales.



7 — Elle est de : 0^m365 aux viaducs de la nouvelle ligne de Paris à Chartres (Etat 1910).

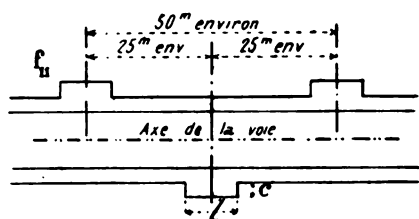
0^m355 (traverses de 2^m60) au viaduc de Thil ligne de Brie à Hussy et Villers (Est 1905).

8 — Le ballast pousse peu la plinthe.

Sur des lignes du Midi en tranchée de rocher, on le maintenait par une murette de 0^m30 en couronne (f_{10}).

9 — Viaducs de la ligne de Vendes à Mauriac (1888).

10 — A côté d'un parapet en maçonnerie de 1^m de hauteur, on s'est contenté de 0^m22 au viaduc du Blanc (Ligne de Poitiers au Blanc — 1881-85).



On prendra :
 $c = 0^m35$ avec un garde-corps métallique ;
 $c = 0^m30$ avec un parapet en maçonnerie, qui est
 lourd et dont il importe de réduire le porte-à-faux.

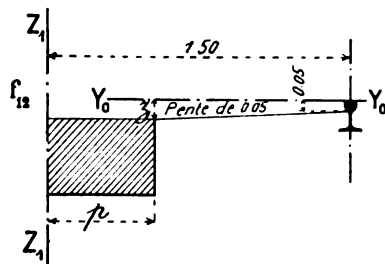
Suivant la portée des arches, on peut ne mettre
 de niches qu'à une pile sur deux, sur trois...

C'est l'aspect qui règlera la largeur l au-dessus
 du minimum de 1^m50 , d'après l'ouverture des arches, l'épaisseur des piles, suivant que les tym-
 pans sont ou ne sont pas élévis.

Les niches seront toujours au-dessus des piles, jamais au-dessus des clefs des grandes
 voûtes.

Quand des voûtes d'élégissement traversent les tympanes, on continuera à placer les niches
 au-dessus des grandes piles : elles y sont moins désagréables qu'à la clef des grandes voûtes.

Le ballast descend en pente de 0,05 à partir d'un plan passant à 0^m05 au-dessous du plan
 supérieur des rails $Y_0 Y_0$.



Le dessus de la plinthe est au-dessous de $Y_0 Y_0$ de :

$$z = 0^m05 + 0,05 (1^m50 - p) = 0^m125 - 0,05 p.$$

p est généralement 0^m50 . Alors $z = 0,10$; il est ex-
 ceptionnellement (maximum) 0^m60 ; alors $z = 0^m095$.

On arasera toujours la plinthe à 0^m10 au-dessous
 du rail.

Art. 7. — Dessus des
 plinthes à 0^m10
 plus bas que le rail
 voisin (f_u).

CHAPITRE II

RECONNAISSANCE DU SOL DE FONDATION A L'EMPLACEMENT DU VIADUC

A temps pour changer le tracé, si on rencontre de trop mauvais terrains.

C'est par des puits qu'on reconnaît le mieux le sol : on le voit, on le touche, on l'éprouve.¹¹

11. — Dans les terrains argileux, mouillés, la surface est une bouillie sans consistance: il ne faut pas
 s'en effrayer.

Au pont de Pesex, sur le Doubs, fondé à l'air comprimé sur de la marne argileuse, on enfonçait dans
 cette marne des cubes de 0^m30 de côté à l'aide de vérins pressant contre le plafond de la chambre de
 travail. (Il ne faut pas opérer sur de petits cubes, qui s'enfoncent tout de suite parce que la terre se
 soulève tout autour).

Voici ce qu'on a constaté:

Enfoncement en centimètres	Charge par 0^m01^2			
	Culée Lons-le-Saulnier	Pile 1	Pile 2	Culée St Jean-de-Losne
0	1.94	3.10	3.55	3.
1	3.61	4.60	4.10	4.44
2	4.50	5.70	4.75	5.77
3	4.83	6.80	5.20	7.00
4	5.17	8.50	5.55	8.00
5	5.72	9.60	6.30	9.10

L'ouvrage (métallique) terminé et sur-
 chargé, ne pèse pas plus de 5^m5 par 0^m01^2 .

Sous l'ouvrage achevé, le sol ne peut
 pas refluer latéralement parce qu'il est main-
 tenu par le poids des couches supérieures;
 la pression est réduite par le frottement la-
 téral des massifs de fondation.

Sans doute, l'essai ne dure que quel-
 ques minutes et l'ouvrage, lui, pèsera indé-
 finiment; l'expérience montre que l'on peut
 conclure de l'un à l'autre.

Art. 1. — Quand doit-
 on faire les son-
 dages ?

Art. 2. — Puits de
 sondage.

Si on ne peut pas les foncer par épuisements, on descendra à l'air comprimé¹² un petit caisson en tôle.

Les puits seront, en général, creusés à côté des fondations et non à leur emplacement même, car, comme d'ordinaire ils descendent plus bas, il faut les boucher, ce qui est une dépense inutile ; de plus, dans les terrains un peu compressibles, les maçonneries qui les remplissent forment, sous les massifs de fondation, des points durs qui peuvent les faire casser¹³.

Art. 3. — Sondages à la tige.

Quand le sol de fondation est trop bas ou quand il y a trop d'eau, on fait peu de puits parce qu'ils coûtent cher : on achève de le reconnaître par des sondages à la tige dans des tubes en tôle¹⁴.

Ils n'indiquent guère que l'épaisseur et la nature des couches ; ils renseignent mal sur la quantité d'eau, assez peu sur la résistance¹⁵, surtout des sols argileux¹⁶.

Art. 4. — Nombre et profondeur des sondages.

Il en faut assez, et assez poussés :

1° pour bien définir la nature du terrain sur toute la surface de chaque fondation : le rocher rencontré au milieu peut disparaître sur une partie de la fouille¹⁷ ;

2° pour représenter sur la coupe en long de l'ouvrage, par des lignes continues, les différentes couches ; quand on fonde par épuisements, il ne faut pas se tromper sur la position

12

Pont	Ligne de	Date	Caissons			Profondeur	Terrains traversés	Prix		
			Nombre	Forme	Dimensions ou diamètre			Total	par m. c. de descente	par m. c. du volume occupé par les caissons
de Caronte	Miramas à l'Estaque	1904	3	rectangul ^{re}	2 ^m ×2 ^m 50	18 ^m 40 20.40 23.76	vase, argile molle, sablon	74624 fr.	1192 fr.	238 fr. 56
du Marais de S ^t -Marie	Frasne à Vallorbe	1911	1	rond	3 ^m	27.60	vase molle	51193 fr.	1855 fr.	262 fr. 40*
du Prégo-Dieu sur la Durance à Barcelonnette	Chorges à Barcelonnette	1912	2	ronds	3 ^m	29.30 30.40	sable, graviers, galets	62670 fr.	1050 fr.	148 fr. 48

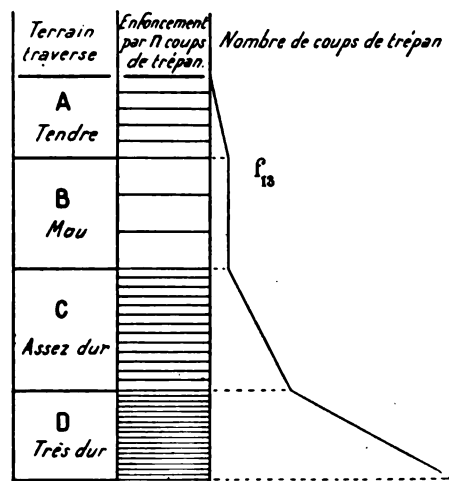
* Pour 195^m occupés par le caisson, on a déblayé 542^m.

13. — Dit pour les ouvrages de 8^m et au-dessous (p. 27).

14. — Sondages de 0^m21 — Vallée de la Garonne (Ligne de Marmande à Casteljaloux) — 28 sondages — longueur cumulée 451^m (1879) — Prix moyen du mètre courant : dans la terre et sable 26 fr. 58 ; dans les graviers et galets 97 fr. 85 ; dans le « tuf » 64 fr. 62 — en moyenne 65 fr. 65 (Annales des Ponts et Chaussées — février 1883, p. 174).

Au pont de S^t-Loup sur l'Allier (Ligne de Gannat à La Ferté-Hauterive), profondeur de 4^m52 à 33^m22 — longueur cumulée 275^m38 (1907) — 70 fr. le mètre courant.

15 — On a essayé de s'en rendre compte d'après le nombre de coups de trépan produisant un enfoncement donné.



Au pont d'Orléans, (III, p. 255) on traçait une courbe dont les ordonnées étaient les profondeurs, et les abscisses les nombres totaux de coups de trépan depuis le commencement du sondage : la courbe se couche dans un terrain dur, se redresse dans un terrain mou. (f_{12}).

On peut aussi (f_{13}) indiquer par un trait l'enfoncement correspondant à une volée de 50 coups, de 20 coups. Plus les traits sont rapprochés, plus le terrain est dur. Annales des Ponts et Chaussées, octobre 1893. *Notice sur la Construction d'un viaduc à la traversée du Val de la Loire à Gien* (Ligne de Bourges à Gien) M. Rossignol.

16 — Dans ces sols, le trépan fait une bouillie de terrains souvent suffisamment solides, et on n'amène au jour qu'une boue liquide.

17 — Au viaduc des Crottes (Ligne de Morbier à Morez), deux piles se sont trouvées en porte-à-faux sur la tranche d'un feuillet calcaire relevé verticalement.

(Voir plus loin, renvoi 73, f_{60}).

du sol de fondation : on n'est outillé que pour les profondeurs présumées et on est exposé à ne plus pouvoir épuiser, si on descend plus bas ;

3°. — pour être sûr que la couche de fondation peut porter l'ouvrage et savoir ce qu'il y a dessous.

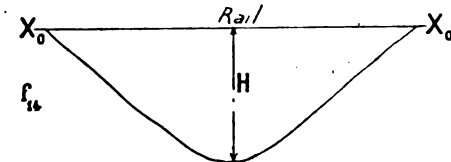
Les sondages faits à la barre à mine au fond d'une fouille n'y suffisent nullement. On s'assurera donc à l'avance qu'on n'est pas sur une croûte mince cachant une couche compressible¹⁸; sur un pavage de gros blocs avec de la vase dessous¹⁹; sur un gros bloc isolé; que dans le rocher calcaire, il n'y a pas de cavernes²⁰; que, dans le granit, il n'y a pas de plan de glissement²¹....

Si on est dans la marne ou dans l'argile, où les sondages ne sont pas chers, on les descendra bien au-delà du niveau probable de la fondation²².

CHAPITRE III

PREMIÈRES INDICATIONS GÉNÉRALES POUR FIXER L'OUVERTURE ET LE NOMBRE DES ARCHES ET DESSINER UNE SILHOUETTE APPROCHÉE DE L'ÉLEVATION

Soit H la hauteur du rail au-dessus du point le plus creux de la vallée (f_{14}) sur la face aval du viaduc.



On adoptera pour l'ouverture commune des arches :

$$2a = 0,4 H$$

C'est la proportion des beaux viaducs.²³

Art. 1. — Ouverture commune des arches, 2a.

18. — Au viaduc de la Gagne (Ligne du Puy à Langogne), les premiers sondages s'étaient arrêtés à une dalle de basalte.

Or elle n'avait que 2^m d'épaisseur et reposait sur une couche indéfinie d'argile; elle ne couvrait même pas toute la fouille.

On a dû renoncer au viaduc en maçonnerie projeté et accepter une travée métallique de 57^m, au grand dommage de l'aspect.

19. — Pont sur le Verdon, à Fontgaillarde (Basses-Alpes, — Ligne de St-André à Puget-Théniers).

20. — Pont de Beynac sur la Dordogne (Ligne de Saint-Denis au Buisson, 5 arches de 24^m). On trouva, à l'emplacement d'une pile, sous une croûte rocheuse de 0^m20 à 0^m70, un vide ayant jusqu'à 1^m. (Annales des Ponts et Chaussées, mars 1881): *Fondations à l'air libre et à l'air comprimé*, M. Liébeaux).

Pont de Mareuil sur la Dordogne (Ligne de Cahors à Brive, — 7 arches de 23^m fondées à l'air comprimé). — En sondant à la barre à mine le rocher de fondation de la pile 2, on découvrit une cavité de 2^m à 2^m50 de profondeur, dépassant la pile à l'amont et à l'aval. (Compte-rendu des Travaux p. 26).

Au vieux pont d'Orléans, en novembre 1758, à la 7^e pile, il y eut un affaissement 0^m50.

Au pont du Chemin de fer à Orléans (Ligne d'Orléans à Vierzon, — arches de 24^m20 en anse de panier au 1/3), les tassements atteignirent 0^m736. (Revue Générale des Chemins de fer, mars 1890, p. 131: *Note sur la reconstruction d'une pile du pont sur la Loire, à Orléans*, M. Grippon-Lamothe);

Au viaduc du Blanc, sur la Creuse (Ligne de Poitiers au Blanc), on a trouvé sous la pile 13 un trou de plus de 20^m. Au fond, on a battu des pieux; puis, dessus, coulé du béton.

21. — Au grand viaduc des Fades sur la Sioule (Ligne de St-Eloy à Pauniat), le coteau rive gauche, sous la charge de la culée et de ses 1/4 de cône, a glissé sur un mince lit d'argile qui coupait le granit à quelque 35^m de profondeur.

22. — On a poussé: au pont de Marmande 7 sondages à plus de 27^m (Annales des Ponts et Chaussées, février 1883, p. 178); au viaduc de Prégodieu sur la Durance (Ligne de Chorges à Barcelonnette), 3 à 40^m.

23

Viaduc	Ligne de	Dates	H	2a	$\frac{2a}{H}$
sur l'Aulne, près de Port-Launay	Nantes à Landerneau	1864 - 66	49 ^m 30	22 ^m	0,44
de Pompadour	Brive - Limoges	1873 - 75	55 ^m	25 ^m	0,45
de St Laurent d'Olt du Piou	Séverac - Marvejols	1877 - 79	52 ^m 68 46 ^m 50	20 ^m 20 ^m	0,38 0,43
de la Crueize	Marvejols - Neussargnes	1879 - 83	63 ^m 30	25 ^m	0,39
de Mussy	La Clayette - Lamure	1892 - 95	60 ^m	25 ^m	0,41
de la Gascarie	Carmaux - Rodez	1894 - 97	49 ^m 10	20 ^m	0,41
de Weissenbach	St Gall - Wattwil	1907 - 09	61 ^m 40	25 ^m	0,41

Avec elle, sur vallées en V bien accentué, l'arche centrale n'est pas trop petite, les arches extrêmes ne sont pas trop grandes.

Mais quand le bas de la vallée est large, plat, il faut s'inquiéter surtout des arches du milieu et alors augmenter l'ouverture.

On l'augmentera si les fondations sont chères, s'il y a un grand creux à franchir.....

Il n'y a pas intérêt à prendre $2a$ sensiblement au-dessous de $0,4 H^{24}$.

Pour les plus hauts viaducs, on n'a guère, jusqu'ici, dépassé $25^m.25,26$

Art. 2. — Epaisseur de l'ouvrage. Niveau des clefs des intrados (f_{11}).

Art. 3. — Première valeur approchée de l'épaisseur des piles aux naissances.

Art. 4. — Fruit provisoire des piles en élévation.

Au-dessous de l'horizontale du rail $X_0 X_1$, on portera verticalement :

$$h = 0^m95 + 0,19 (1 + \sqrt{2a})^{27}$$

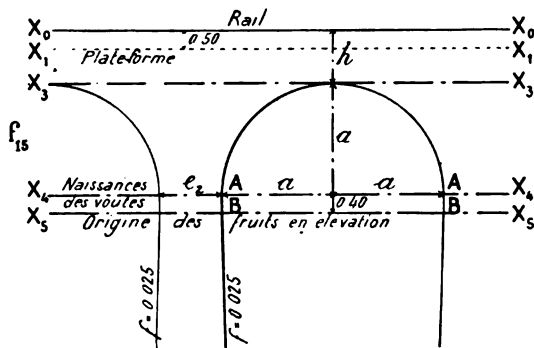
L'horizontale $X_2 X_3$ est la tangente au sommet des arches.

On admettra provisoirement pour toutes les piles :

$$e_s = 0,20 (2a)$$

Au-dessous de l'horizontale des naissances, $X_4 X_5$, on profilera les piles :

d'abord verticalement sur 0^m40 de haut ; puis avec un fruit de $0,025 (1/40)$.



Art. 5. — Silhouette de l'élévation sur « calque ».

Avec ces éléments, et des ouvertures variant par mètre autour de $0,4 H$, on dessine quelques silhouettes sur « calque ».

On a, auparavant, sur un profil en travers de la vallée à l'emplacement de l'ouvrage, indiqué les cours d'eau, les chemins, le sol de fondation, la plate-forme (ligne rouge).

Sur ce profil, on promène les silhouettes ; on place les piles de façon à les fonder facilement, à bien encadrer le creux, bien franchir la rivière, les chemins.

L'ouvrage doit être bien encadré par ses culées.

Il n'est pas bon que les quarts de cône aveuglent les dernières voûtes : tout au plus, peuvent-ils atteindre leurs naissances.

Au besoin, on augmente l'ouverture ; à l'extrême rigueur, on la diminue un peu.

Avec cette silhouette, on arrête : l'ouverture $2a$; le nombre d'arches ; et, à très peu de chose près, l'emplacement des piles et des culées.

24. — Les ouvertures sont trop petites au viaduc d'Arquejols (Ligne de Langogne au Puy) : $\frac{2a}{H} = \frac{15}{45} = 0,33$.

A celui du Landwasser (Chemins de fer rhétiques), pour $H=66^m$, on a pris $2a=20^m$ seulement, mais parce qu'il est en courbe de 100^m .

25. — A Saint-Florent (Issoudun à Saint-Florent), la portée est de 30^m , mais la hauteur n'est que de 24^m70 ; c'est plus un pont qu'un viaduc.

26. — Nous avons projeté le viaduc de Chanteloube, haut de 65^m , avec des arches de 27^m (Chorges à Barcelonnette).

Sur la ligne à voie étroite de Bevers à Schuls (Chemins Rhétiques Engadine), le viaduc sur le val Püzza a 4 arches de 27^m , une hauteur de 53^m .

27. — Le produit $\alpha (1 + \sqrt{2a})$ est donné, 3^e Partie, Table T., pour $2a$ de 0^m60 à 100^m , et α de $0,10$ à $0,25$.

COURONNEMENT

§ I. — PARAPETS

Les premiers, et la plupart des très grands viaducs de chemins de fer, ont des parapets en maçonnerie.

Art. 1. — Parapets en maçonnerie.

Ils sont chers, surtout parce qu'ils augmentent la largeur entre tympans.²⁸

A. — Ils sont chers.

Un mince garde-corps en métal est d'autant plus économique que l'ouvrage est plus haut.

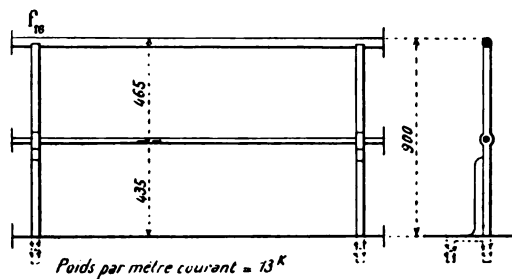
Les parapets pleins sont lourds: ils écrasent un viaduc qui doit être élancé, ils le font ressembler à un pont-canal.

B. — Plus de parapets pleins.

La plinthe, entre deux surfaces pleines, le tympan et le fût, c'est-à-dire entre deux parements d'aspect peu différent, n'a plus d'autre rôle apparent que d'indiquer à l'œil où est la voie: ce n'est pas assez pour la justifier.

Sur une plinthe, il faut un attique léger, un parapet ajouré: dans nos cathédrales, on ne voit pas de parapet plein au-dessus d'une corniche.

On ne construira donc pas de parapets pleins, mais des parapets ajourés, et seulement pour un très grand ouvrage dans une ville.



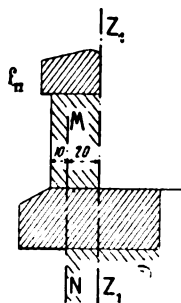
Pour un petit viaduc entre deux murs de soutènement, on conservera le garde-corps des murs (f_{10}) avec des dés en libages au droit de chaque montant.

Art. 2. — Garde-corps métalliques.

Sur le viaduc et les murs, on assurera discrètement le jeu de la dilatation.

A. — En fer ou en acier.

28. — Soit MN le nu du tympan (f_{10}).



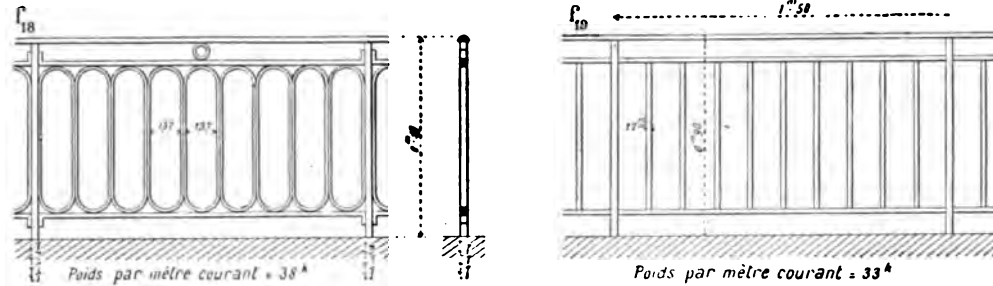
Pour un parapet en maçonnerie de 0.30 d'épaisseur, porté par une plinthe sans corbeaux, la distance entre Z_1 , Z_1 et MN est d'environ 0.20.

Avec un garde-corps métallique, qui n'a que 0.05 d'épaisseur (au lieu de 0.30), qui ne pèse que 30 ou 40^k au mètre courant (au lieu de 600 ou 700^k), on peut faire coïncider les plans MN et Z_1 , Z_1 , et même faire déborder un peu le plan Z_1 , Z_1 par rapport au plan MN .

On gagne donc au moins 0.20 à chaque tête, soit en tout 0.40 de largeur pour toute l'élévation de l'ouvrage.

Sur un viaduc comme celui de Port-Launay, qui a en élévation une surface de plein de 4570^{m²}, c'est une économie de cube de 1828^{m³}, soit, à 40 fr. le mc., 73.120 fr.

S'il n'y a pas de murs aux abords, on appliquera sur les viaducs courants le type f_{18} ; à défaut et pour varier, f_{19} .

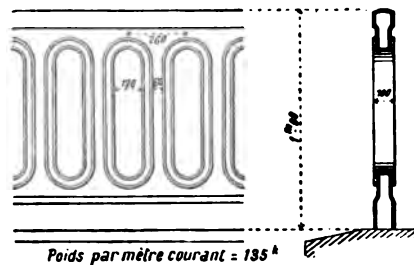


Dans les gares et aux abords, à moins de 200^m en avant et 150^m en arrière du milieu des trottoirs, la hauteur du garde-corps sera portée à 1^m.

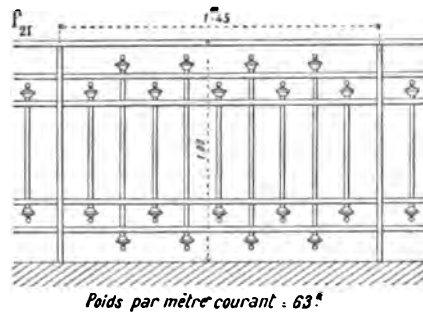
Pour les viaducs exceptionnels, on étudiera des types spéciaux²⁹.

A ces garde-corps ténus, on a fait ce reproche qu'à distance, un ouvrage ne paraît pas couronné du tout: tout compte fait, est-il si nécessaire qu'on voie quelque chose au-dessus de la corniche? A de belles églises romanes, il n'y a rien, et c'est fort bien.

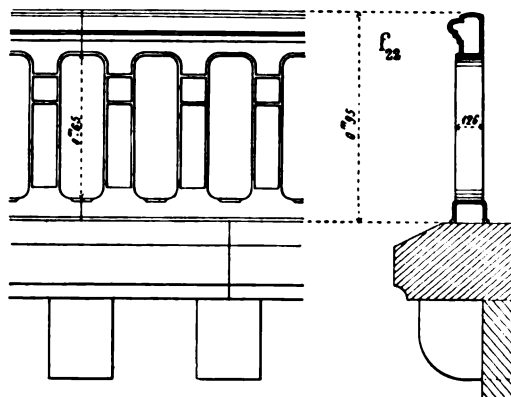
f_{20} — Viaduc du Sarget
Limoges à Brive par Pompadour



Poids par mètre courant = 135^k



Poids par mètre courant = 63^k



Sur des ouvrages très ornés, il pourra quelquefois convenir de placer des garde-corps en fonte, bien étoffés, — mais ils sont chers³¹.

Les évidements f_{20} , un temps fort employés, sont ennuyeux.

29. — En mars 1913, on pouvait admettre :

Type	Prix	
	du kilog.	du m. c'
f_{18}	0 fr. 50	6 fr. 50
f_{19}	0 fr. 56	21 fr. 28
f_{20}	0 fr. 52	32 fr. 76

30. — On a appliqué f_{21} au Pont de Saint-Loup, sur l'Allier (La Ferté-Hautrive à Gannat).

31. — Voici (f_{22}) celui du pont en construction à Abrest, près de Vichy (ligne de Riom à Vichy): il pèse par m. c' 180^k.

B. — En fonte.

§ 2. — *LARGEUR ENTRE TYMPANS. (garde-corps en métal)*

4^m50 pour une voie; 8^m08 pour deux voies, — largeur comptée au niveau de la plate-forme, c'est-à-dire à 0^m50 en contrebas du plan supérieur des rails.

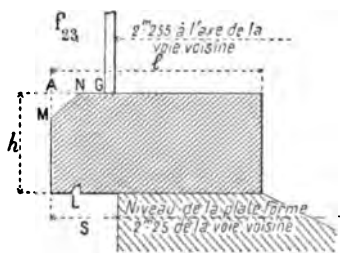
A titre exceptionnel, on pourra mettre en encorbellement le garde-corps sur des corbeaux, ancrés au besoin³² sur une sous-plinthe³³, sur des consoles en béton armé³⁴. Si le viaduc est haut, on fait ainsi une grosse économie.

§ 3. — *PLINTHE*

L'épaisseur de la plinthe varie avec l'importance, la hauteur, les ouvertures, le caractère de l'ouvrage.

Il faut une plinthe épaisse sur les viaducs très hauts, pour qu'on la voie, — et aussi sur les viaducs bas à grandes arches, parce que ce sont des ouvrages lourds.

Elle protège contre la pluie les têtes de l'ouvrage; elle doit donc croître avec leur fruit.



Quand elle est trop faible, la pluie les verdit, les noircit à partir de l'aplomb de la plinthe.

On augmentera la saillie, si l'on veut sous le couronnement une large ligne d'ombre.

Il faut au moins 0^m20; mieux 0^m25.

On creuse en dessous un larmier L pour empêcher les gouttes d'eau de ruisseler sur le tympan.

On le trace suivant le caractère de l'ouvrage, la dureté, l'épaisseur de la pierre.

On ne doit refouiller que des pierres tendres.

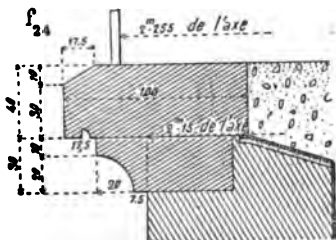
On adoptera le profil f_{11} et les dimensions que voici :

Hauteur maxima du viaduc H	Ouvertures des arches 2a	Dimensions de la plinthe (f_{11})				
		Epaisseur h	Largeur l	Saillie S	Chanfrein	
					Largeur AN	Hauteur AM
Jusqu'à 20 ^m	Jusqu'à 8 ^m (inclus)	0 ^m 30	0 ^m 70	0 ^m 25	0 ^m 15	0 ^m 075
De 20 à 25 ^m	De 8 à 10 ^m (inclus)	0.35	0.75	0.275	0.17	0.085
De 25 ^m à 37 ^m 50	De 10 à 15 ^m (inclus)	0.40	0.80	0.30	0.20	0.10
De 37 ^m 50 à 50 ^m	De 15 à 20 ^m (inclus)	0.45	0.90	0.35	0.22	0.11

NG sera toujours d'au moins 0^m05, pour qu'on scelle les montants en deçà de l'arête.

Si le garde-corps avait plus de 0^m045 d'épaisseur, on conserverait NG à 0,05 et on diminuerait AN.

32. — Au viaduc à voie normale de l'Oued Beja (Tunisie), la largeur entre tympans est réduite à 4^m.



33. — Viaduc de Chanteloube (Chorges à Barcelonnette) — Projet, f_{11} , f_{12} , — Hauteur, 61^m. Largeur entre têtes, 4^m30.

34. — On a réduit la largeur entre tympans à 2^m50 au Viaduc de Fontpédrouse, V, p. 87 (Ligne électrique à voie de 1^m), — à 2^m, aux ouvrages de la ligne à voie de 1^m de la Vouga (Portugal).

On a donné 4^m20 seulement aux ouvrages sous voie normale de Montrejeau à Bagnères-de-Luchon.

Grâce à des consoles en béton armé, la C^e d'Orléans a placé : 3 voies, dont une de 1^m, (en tout 4^m de voie), sur le viaduc de Saint-Florent de 8^m30 entre têtes (Ligne d'Issoudun à St-Florent); — 3 voies, dont les deux de sa grande ligne, (soit 4^m50 de voie), sur le pont sur l'Isle de la gare de Coutras, qui a 8^m45 entre tympans.

Art. 1. — Epaisseur h (f_{11}).

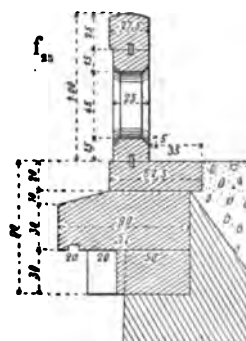
Art. 2. — Saillie S (f_{11}).

Art. 3. — Profil.

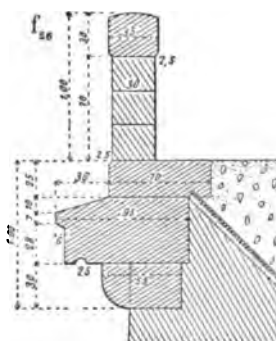
Art. 4. — Plinthes courantes sous garde-corps en métal.

Art. 5. — Quelques profils un peu exceptionnels de corniches³⁵.

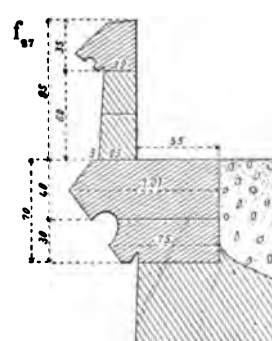
Viaduc de Pompadour
Limoges à Brive, 1873-77



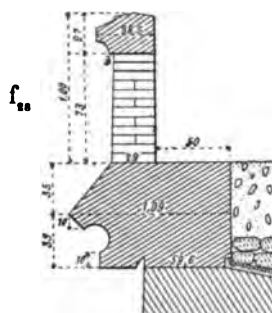
Viaduc de Piou
Séverac à Marvejols, 1878-80



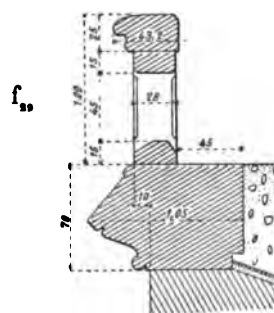
Viaduc de Vezouillac
Rodes à Millau, 1874-77



Pont de St-Waast
Montauban à Castres, 1883-85



Viaduc sur le bras navigable de la Seine
Mantes à Argenteuil, 1888-89



A l'imitation des églises romanes d'Auvergne, on placerait heureusement des corniches sur corbeaux ; je dis des corbeaux, et non de menus modillons comme ceux de f_{25} .

f_{28} est emprunté à nos cathédrales du XIII^e siècle.^{36, 37}

§ 4. — NICHES DE REFUGE. — LEURS PARAPETS, LEURS SUPPORTS

Dans un parapet plein, niches pleines ; — dans un parapet à jours, une niche pleine ne se comprend que pour couronner un contrefort, — et encore à condition que le parapet courant ait assez de pleins. Si non, de loin, on ne voit que les rectangles pleins des niches.

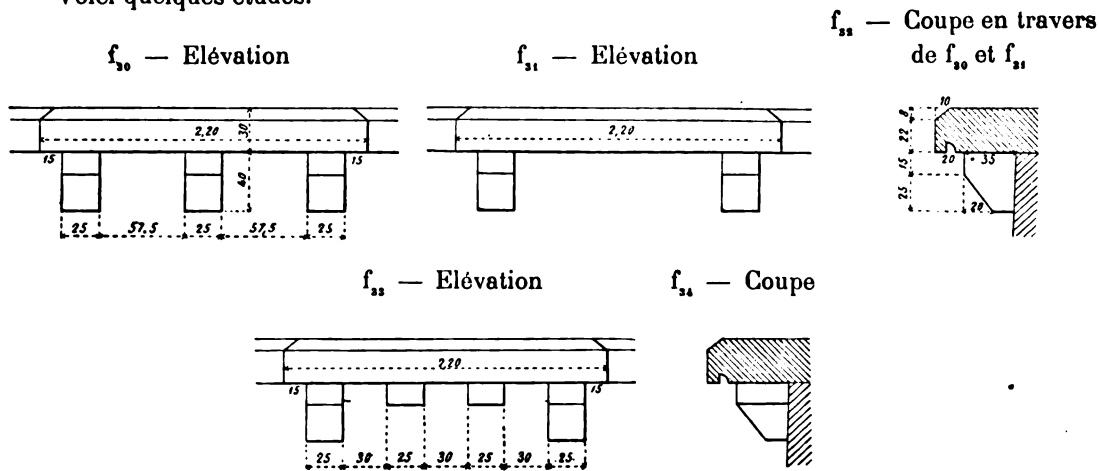
Sur nos viaducs, qui n'ont pas de contreforts, les niches doivent être discrètes, presque dissimulées, avoir le garde-corps courant, reposer sur deux ou trois corbeaux.

35. — Voir les couronnements des ponts du Castelet (II, p. 131, f_2), de Lavour (II, p. 137, f_{12} à f_{16}), Antoinette (II, p. 145, f_8 , f_{11}).

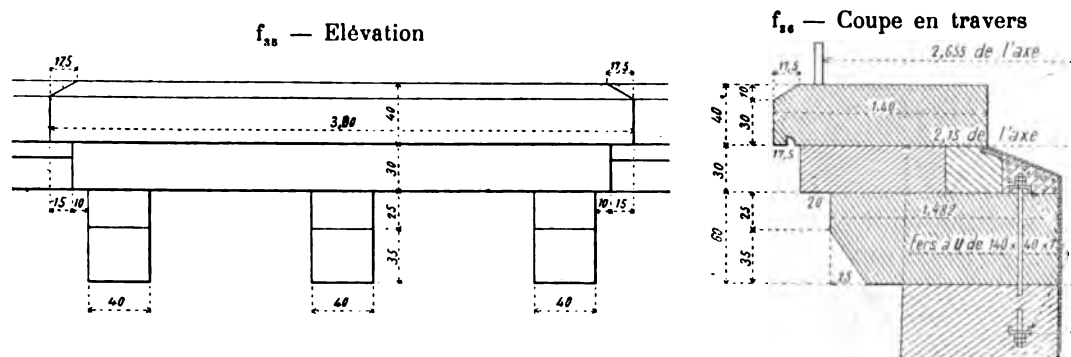
36. — M. Robaglia, alors Ingénieur en chef des Ponts et Chaussées, a ainsi couronné de grands viaducs de l'Aveyron et de la Lozère. C'est d'un bon effet, mais cher si la pierre est dure.

37. — On a posé ces plinthes gothiques sur de petits ouvrages, même sur des culées de ponts métalliques : c'est abuser.

Voici quelques études:



Refuge au-dessus d'une pile de 4^m d'épaisseur
Projet du Viaduc de Chanteloube (Chorges à Barcelonnette)



CHAPITRE V

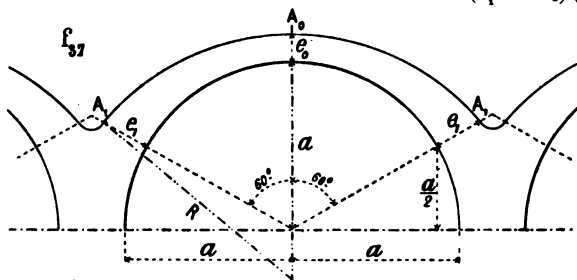
VOÛTES³⁸

§ I. — CORPS

A nombre de viaducs, on a, au lieu de 0,19 adopté 0,18 et même moins.³⁹ Pour tenir compte du poids et de la vitesse croissants des machines, il a paru prudent, — dans une Instruction sur les viaducs courants, — d'adopter 0,19.

Art. 1. — Epaisseur à la clef:
 $e_0 = 0,19 (1 + \sqrt{2a})$ (I)

A. — Ouvertures de 8^m et au-dessus ($e_1 = 2e_0$) (II). — L'extrados est un arc de cercle passant par les trois points A, A₀, A₁ (f_{37}).



B. — Ouvertures de moins de 8^m. — La formule (II) donnerait aux reins des épaisseurs trop fortes : l'extrados sera un arc de cercle de rayon

$$R = 0,73 (1 + 2a)^{40}$$

Art. 2. — Epaisseur e_1 au milieu de la montée et tracé de l'extrados.

38. — Pour le mortier — chaux ou ciment — voir V p. 13. sont donnés p. 33.

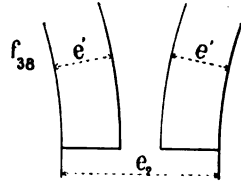
39. — III, p. 386, 387, 388.

40. — Pour $2a \leq 8^m$, e_0 , R , e_1 ,

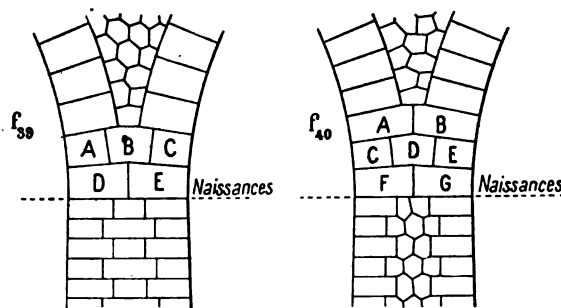
§ 2. — BANDEAUX

Art. 1. — Épaisseur.

Les bandeaux des viaducs à tympons pleins seront extradossés parallèlement, c'est-à-dire qu'ils auront une épaisseur constante e' très voisine de e_0 .



En la réduisant, on fait une très petite économie, aux dépens de l'aspect : un bandeau mince est désagréable.



Il faut qu'aux naissances, entre les bandeaux de deux arches voisines, il y ait au moins 15^{cm}, place d'un moellon :

$$e_s \geq 2e' + 0^m15 (f_{s,})$$

S'il n'en est pas ainsi, par exemple pour les petites portées ou pour des piles basses, on adoptera les dispositions des croquis $f_{s,}$, f_{40} .

Les pierres A, B, C, D, E, F, G, sont dans le plan du bandeau ; si le bandeau est en saillie, elles sont en saillie sur le tympan et sur la pile.

On indiquera plus loin⁴¹ comment varie l'épaisseur aux naissances e_s suivant la hauteur des piles : il en peut résulter quelque difficulté à appliquer la règle : $e_s \geq 2e' + 0^m15$.

Si dans certains petits viaducs, il n'y a qu'aux plus hautes piles seulement un intervalle de 0^m15 aux naissances entre les extradoss des bandeaux, on fera au mieux pour l'aspect : par exemple, on adoptera $f_{s,}$ aux piles centrales ; on supprimera la saillie des bandeaux sur les tympons....

Art. 2. — Saillie.

Le bandeau ne fera jamais saillie sur la douelle de la voûte.

Il sera en saillie de 3^{cm}⁴² sur la pile et sur le tympan : il y aura une petite ligne d'ombre sous ses naissances.

Sans doute, il est peu rationnel que, sur cette saillie, le bandeau ne soit pas soutenu ; mais elle est fort utile pour le détacher des tympons, — pour qu'il ne s'y perde pas, surtout s'ils sont à bossages.

On pourra, toutefois, la supprimer pour les viaducs à arches de moins de 8^m.

Il ne faut pas que le bandeau et la pile soient dans un même plan en saillie sur le tympan : le tympan a l'air de rentrer dans la pile, cela engonce l'ouvrage.

Art. 3. — Appareil.

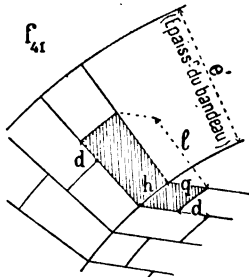
Il sera en moellons d'appareil (MAV.), et non en pierre de taille.

Leur épaisseur h sera voisine de 0^m20 (au moins 0^m18, — rarement plus de 0^m22, — très exceptionnellement 0^m25).

41. — Chap. VI, § 1.

42. — On a donné assez souvent 5^{cm} c'est beaucoup ; — le plus généralement 3^{cm} aux plus petits viaducs et aux plus grands (Pompador, Crueize....)

Afin d'éviter les carreaux, qui sont désagréables, on prendra au moins $1,5h$ pour la longueur l dans le sens du rayon et pour la queue q dans le sens des génératrices de la douelle. (f_{41})



l ne devra, d'ailleurs, pas dépasser $3h$, soit en pratique 0^m60 .

Dans le sens du rayon, il n'y aura qu'un seul moellon pour les bandeaux d'une épaisseur de 0^m60 et moins ; au-delà, il y aura deux, trois moellons.

La découpe d de deux moellons voisins, sur la face du bandeau comme en douelle, sera au moins $\frac{h}{2}$, soit au moins 0^m10 , le plus souvent 0^m15 , quelquefois 0^m20 .

Pour ne pas multiplier les échantillons, les dimensions seront en nombre rond de 5^m .

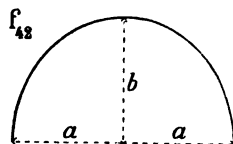
Voici l'appareil à adopter pour des moellons d'épaisseur voisine de 0^m20 :

Ouverture des arches $2a$	Épaisseur de la voûte à la clef e_c	Épaisseur du bandeau e'	Moellons du bandeau		
			Nombre dans le sens du rayon	Longueur suivant le rayon $l (f_{41})$	Queue en douelle $q (f_{41})$
5 ^m	0 ^m 61	0 ^m 50	1	0 ^m 50	0 ^m 30 — 0 ^m 40
6	0.66	0.55	1	0.55	0.30 — 0.40
7	0.69	0.60	1	0.60	0.35 — 0.50
8	0.73	0.70	2	0.40 — 0.30	0.35 — 0.50
9	0.76	0.75	2	0.45 — 0.30	0.30 — 0.45
10	0.79	0.75	2	0.45 — 0.30	0.30 — 0.45
11	0.82	0.80	2	0.45 — 0.35	0.35 — 0.45
12	0.85	0.85	2	0.50 — 0.35	0.35 — 0.50
13	0.88	0.85	2	0.50 — 0.35	0.35 — 0.50
14	0.90	0.90	2	0.50 — 0.40	0.40 — 0.50
15	0.93	0.90	2	0.50 — 0.40	0.40 — 0.50
16	0.95	0.95	2	0.55 — 0.40	0.40 — 0.55
17	0.97	0.95	2	0.55 — 0.40	0.40 — 0.55
18	1.00	1.00	2 ou 3	0.60-0.40 ou 0.30-0.30-0.40	0.40 — 0.60
19	1.02	1.00			0.40 — 0.55
20	1.04	1.05	2 ou 3	0.60-0.45 ou 0.30-0.30-0.45	0.45 — 0.60
21	1.06	1.05			0.45 — 0.60
22	1.08	1.10	3	0.30 — 0.30 — 0.50	0.45 — 0.60
23	1.10	1.10	3	0.30 — 0.30 — 0.50	0.45 — 0.60
24	1.12	1.15	3	0.35 — 0.35 — 0.45	0.45 — 0.60
25	1.14	1.15	3	0.35 — 0.35 — 0.45	0.45 — 0.60

§ 3. — VOÛTES EN OVALE SURHAUSSÉ

Un plein cintre vu de face, de bas, paraît surbaissé : pour l'élancer, on peut le surhausser légèrement,⁴³ tout en conservant sous les naissances, au sommet des piles, un petit élément vertical.⁴⁴

On fera ainsi pour les très grands viaducs.



43. — Par exemple (f_{42}): $2a = 20^m$ $b = 11^m$ (au lieu de 10^m).
 $2a = 26^m$ $b = 14^m$ (au lieu de 13^m).
 $2a = 27^m$ $b = 14^m50$ (au lieu de 13^m50). Projet du viaduc de Chanteloube (Chorges à Barcelonnette) silhouette (f_{42}).

44. — Voir plus loin Chap. VI, § 2, art 1.

PILES

§ 1. — ÉPAISSEURS DES PILES AUX NAISSANCES DES VOÛTES e_1

Art. 1. — Piles à mortier de chaux.

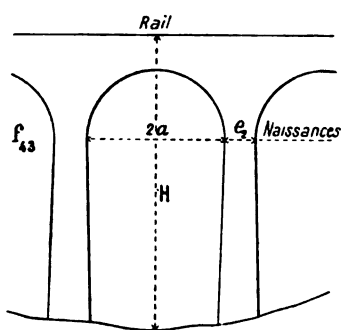
A. — Portées de moins de 8^m.

B. — Portées de 8^m et plus.

On a assez souvent pris $e_1 = 0,20 (2a)$.

Pour les petites portées, c'est mince. Sur la largeur de la pile aux naissances, il n'y a que 3 ou 4 moellons. Sous les lourdes machines d'aujourd'hui, un défaut est plus dangereux qu'autrefois. Si donc on n'est pas assuré d'une exécution parfaite, on adoptera pour $2a \leq 8^m$ au lieu de $0,20 (2a)$, $0,40 + 0,15 (2a)$ et même $0,80 + 0,10 (2a)$.

Pour le rapport $\frac{e_1}{2a}$, on a à peu près toujours pris $0,2^{45}$ et pour toutes les piles d'un même viaduc, quelle qu'en fût la hauteur (f_{44}).



Au poids mort, ou sous les surcharges recouvrant tout l'ouvrage, la pression au sommet d'une pile ne dépend évidemment pas de sa hauteur, mais seulement de la portée $2a$: la hauteur n'intervient que dans le cas de surcharges dissymétriques, une arche chargée, l'autre non.

Pour les piles les plus hautes des viaducs dont l'ouverture des arches est, en général, voisine des $4/10$ de la hauteur totale, les épures de stabilité justifient ce rapport $\frac{e_1}{2a} = 0,2$.

Mais ce qui n'est pas rationnel, c'est de le conserver pour toutes les piles.

Pour les pleins-cintres bas, comme le sont généralement les arches extrêmes des viaducs, il est excessif de prendre $\frac{e_1}{2a} = 0,2$ comme dans les ponts d'avant Perronet⁴⁶.

Des rapports $\frac{e_1}{2a}$ et $\frac{H}{2a}$ à quelques bons ouvrages en plein cintre, on peut déduire la formule empirique⁴⁷ (f_{44}).

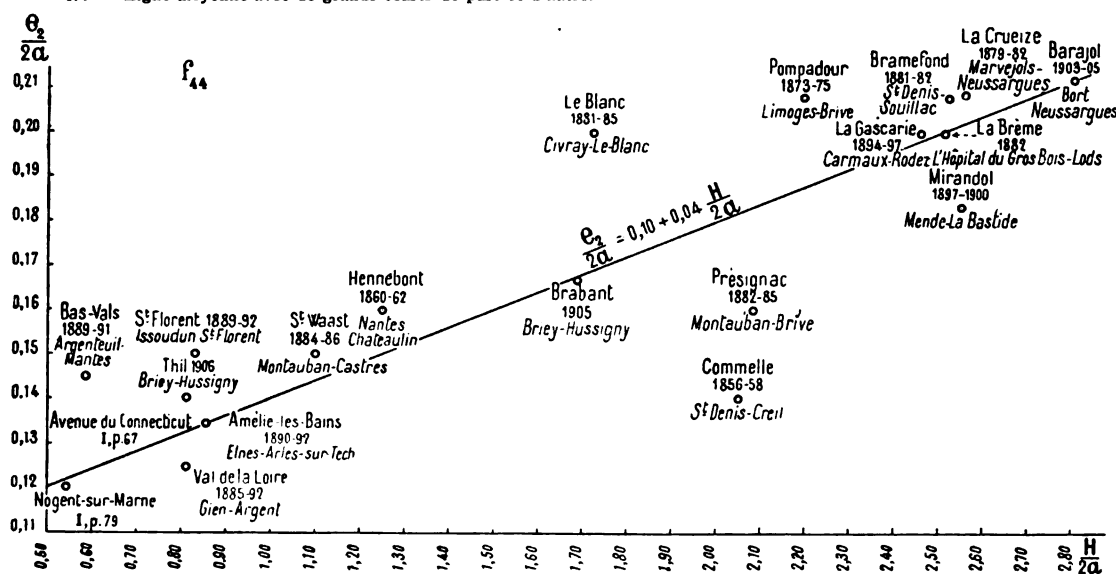
$$e_1 = \frac{2a}{10} + 0,04 H$$

(H, hauteur entre le rail et le terrain à l'aval de la pile).

45. — On fait une grosse économie en réduisant $\frac{e_1}{2a}$: on est descendu à $0,16$ au viaduc de Cize sur l'Ain, arches de 20^m , mais il est à 2 étages (Ligne de Bourg à Bellegarde par la Cluse). J'ai adopté $0,183$ au viaduc de Mirandol (Ligne de Mende à La Bastide). Dans nombre de viaducs italiens, on trouve $\frac{1}{6} = 0,167$.

46. — On adopte couramment $\frac{1}{8}$ pour les ponts en ellipse, $\frac{1}{8}$ à $\frac{1}{10}$ pour les ponts en arc (V, p. 31).

47. — Ligne moyenne avec de grands écarts de part et d'autre.



On majore au besoin ce qu'elle donne, de façon qu'il n'y ait pas entre 2 piles voisines de différences d'épaisseur choquantes.

Si dans des piles ainsi définies, on calcule les efforts par les méthodes Culmann-Ritter⁴⁸, on trouve que, sous les surcharges dissymétriques, les piles basses travaillent plus que les hautes, plus flexibles : ces méthodes justifieraient plutôt

$$0,25a + 0,03H \quad \text{et même} \quad 0,30a + 0,02H.$$

Mais elles supposent que les piles aux naissances sont libres de se déplacer horizontalement, alors qu'elles en sont empêchées par les tympans.

Je ne sais pourquoi on n'a pas plus tôt fait varier e_2 avec H : l'aspect est meilleur, la dépense moindre⁴⁹.

La variation du rapport $\frac{e_2}{H}$ n'est appréciable que sur le dessin ; elle ne l'est pas, et c'est ce qui importe, dans l'ouvrage : les piles les plus hautes paraîtront encore les plus minces.

De tout temps, on a fait varier l'épaisseur des supports avec leur hauteur : c'est ainsi que les Grecs réglaient, d'après le rayon des colonnes à leur pied (module), leur hauteur et leur espacement.

Quand la largeur des piles en élévation est inférieure à 1^m50, il reste, entre la queue des moellons d'angle, trop peu de place pour y loger pratiquement des moellons à joints incertains ; on y mettra alors des moellons équarris par assises réglées prolongeant celles des moellons d'angle.

Dans un petit viaduc, il peut arriver qu'aux naissances les piles centrales aient plus de 1^m50 de largeur, et les piles extrêmes moins de 1^m50 : s'il convient de faire en moellons incertains les parements des grandes piles, on élargira les petites à 1^m50.

On y admet un travail plus élevé, par conséquent une épaisseur moindre aux naissances et à toute hauteur^{50, 51} : il n'y a pas encore assez d'exemples pour préciser^{52, 53}.

On la fixera d'après ce que peuvent porter les matériaux employés.

Art. 2. — Piles à mortier de ciment.

48. — Voir plus loin (2^e Partie, Livre II).

49. — J'avais conseillé cette disposition en 1908, pour le viaduc de l'Oued Beja (Tunisie). Je l'ai adoptée aux viaducs de la ligne de Nice à Coni, en particulier à celui de l'Escarène (11 arches de 15^m, hauteur maxima 39^m) 1913-14 ; e_2 est de 3^m au milieu et descend à 2^m25, 2^m30 pour les piles de rive ; l'écart maximum d'une pile à sa voisine est de 0^m36.

50. — Au viaduc du Landwasser (hauteur 64^m, arches de 20^m, $R = 100^m$), elle est de 3^m50, soit 0,17 de la portée ; (pression sur le sol : 12^t5).

Albula-Bahn-Denkschrift im Auftrage der Rhätischen Bahn zusammengestellt von Prof. Dr Hennings. — Coire et Zurich, 1908, p. 26, Pl. 15 et 18.

51. — Au viaduc de Weissenbach (hauteur 62^m, arches de 25^m), elle est de 3^m50, soit 0,14 de la portée ; (pression sur le sol 11^t7).

Au viaduc sur la Sitter (arches d'accès de 25^m, au milieu, une travée métallique de 120^m), une des piles-culées de 7^m70 d'épaisseur aux naissances de la voûte d'accès, a une hauteur de 93^m ; elle résiste, sans contre-poussée, à une arche de 25^m. Sur le parement opposé, elle travaille à 25^t.)

Bodensee-Toggenburg-Zürichsee, *Denkschrift über die Eisenbahn-Verbindung Romanshorn-S-Gallen-Wattwil-Uznach*, — S-Gallen 1911 : Sitter, p. 82, Pl. 7 ; Weissenbach, p. 94, Pl. 8 et 9.

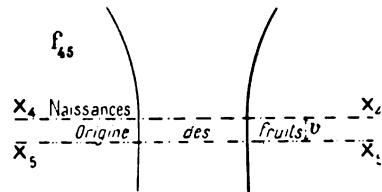
52. — Au viaduc de Malvan (hauteur 62^m, arches de 22^m), l'épaisseur aux naissances est seulement de 2^m50, soit 0,114 de la portée ; mais c'est sous tramway (Ligne de Cagnes à Vence, — Alpes-Maritimes).

53. — A des viaducs projetés (Lignes de Chorges à Barcelonnette, du Puy à Niegles-Prades), $\frac{e_2}{2a} = 0,15$.

§ 2. — FRUIT DES PILES

Art. 1. — Ménager sous les naissances, en élévation, un élément vertical.

Pour adoucir le raccordement des piles aux voûtes, on disposera sous les naissances, en élévation, un élément vertical :



$$v = 0^m20 + \frac{2a}{100} \text{ avec la condition } v \geq 0^m40.$$

On arrondira v , de façon à comprendre un nombre entier d'assises.

C'est au plan horizontal X_4X_5 (f_{4s}) que commence le fruit en élévation.

Art. 2. — Comment on profile les piles.

On adopte⁵⁴ :

ou bien des fruits constants, avec un ressaut quand on atteint le travail limite ;

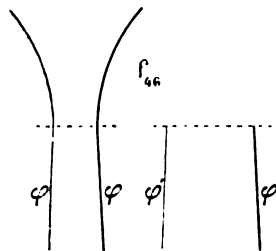
ou bien, pour les hauts viaducs, des fruits croissant avec la hauteur au-dessous des naissances ;

soit suivant des lignes brisées,

soit suivant des courbes continues.

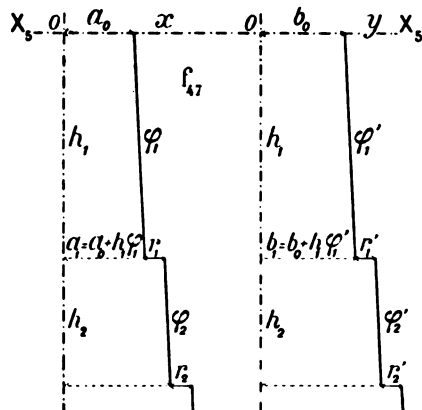
Art. 3. — Fruits droits constants (f_{4s}).

A. — *En élévation.* — On a admis au moins et le plus souvent 2^{cm}, au plus et moins souvent 3^{cm}, que l'œil accepte à peine. D'ailleurs, en forçant φ , on réduit trop le vide à la base.



B. — *En travers.* — Pour φ' , on va de 2^{cm} à 5^{cm}.

C. — *Ressauts.* — Dans les hautes piles, on atteint la pression limite fort au-dessus du sol, par exemple à h_1 au-dessous des naissances (f_{4s}).



On élargit alors la pile par un ressaut r_1 ; puis on repart avec le même fruit ou un plus grand, et on est obligé, si la pile est assez haute, à un deuxième ressaut r_2 .

S'il n'y en a qu'un, et qu'il soit tout près du sol, il est comme le socle de la pile. C'est très acceptable. S'il est haut, il coupe fort désagréablement des lignes verticales qu'il faut respecter.

Deux ressauts sont choquants, comme on a le regret de le constater au beau viaduc de Pompadour (55^m de hauteur) : l'effet de hauteur en est fort amoindri.

54. — Les Romains dressaient verticalement les fûts des piles (Aqueduc de Ségovie). Reynaud a projeté ainsi le viaduc de Dinan, — exemple qui a été très peu suivi (*Traité d'Architecture. — Edifices*, p. 495, Pl. 71) : on en trouve de tels sur la ligne de Marseille à Avignon (avant 1847), par exemple :

le viaduc des Riaux près de l'Estaque (5 arches en plein cintre de 8^m, cordons aux naissances, bandeaux à crossettes) ;

le viaduc de la gare de Tarascon (61 arches dont 58 en plein cintre de 4^m d'ouverture, avec archivolte, cordons aux naissances). C'est un ouvrage romain : les Arènes de Nîmes, le pont du Gard sont tout près.

55. — Le volume de la tranche h_1 est :

$$V_1 = 4 h_1 \left[a_0 b_0 + (b_0 r_1 + a_0 r'_1) \frac{h_1}{2} + r_1 r'_1 \frac{h_1^2}{3} \right]$$

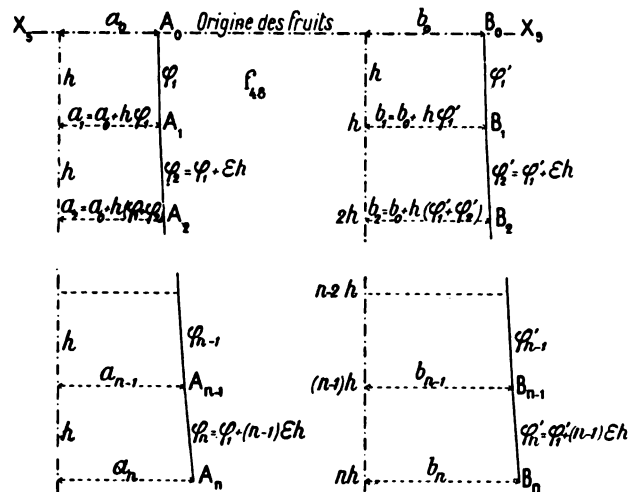
Il en eut fallu trois au viaduc de la Crueize (63^m de hauteur).

Pour les très hauts viaducs, il faut donc faire varier les fruits.

Au-dessous du plan $X_1 X_2$, origine des fruits en élévation, on divise la pile en tranches de même hauteur h et de fruits croissants :

$\varphi_1, \varphi_2, \dots, \varphi_n$ en élévation ;
 $\varphi'_1, \varphi'_2, \dots, \varphi'_n$ en travers.

Art. 4. — Fruits croissants. — Profils en ligne brisée (f_{10}).



Soient a_n, b_n , les demi-côtés de la section de base de la $n^{\text{ième}}$ tranche :

$$a_n = a_0 + h [\varphi_1 + \varphi_2 + \dots + \varphi_n] \quad b_n = b_0 + h [\varphi'_1 + \varphi'_2 + \dots + \varphi'_n]$$

Si chaque fruit croît, par rapport au précédent, de la même quantité $\varepsilon h, \varepsilon' h$:

$$a_n = a_0 + nh \left[\varphi_1 + \frac{n-1}{2} \varepsilon h \right] \quad b_n = b_0 + nh \left[\varphi'_1 + \frac{n-1}{2} \varepsilon' h \right]$$

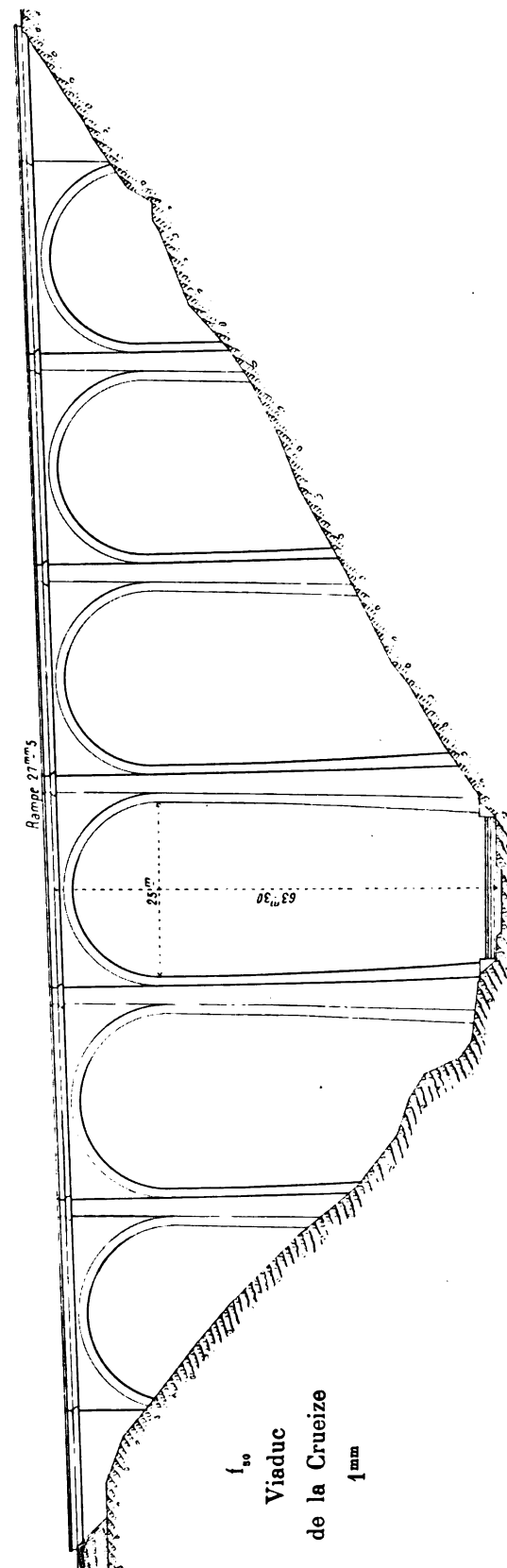
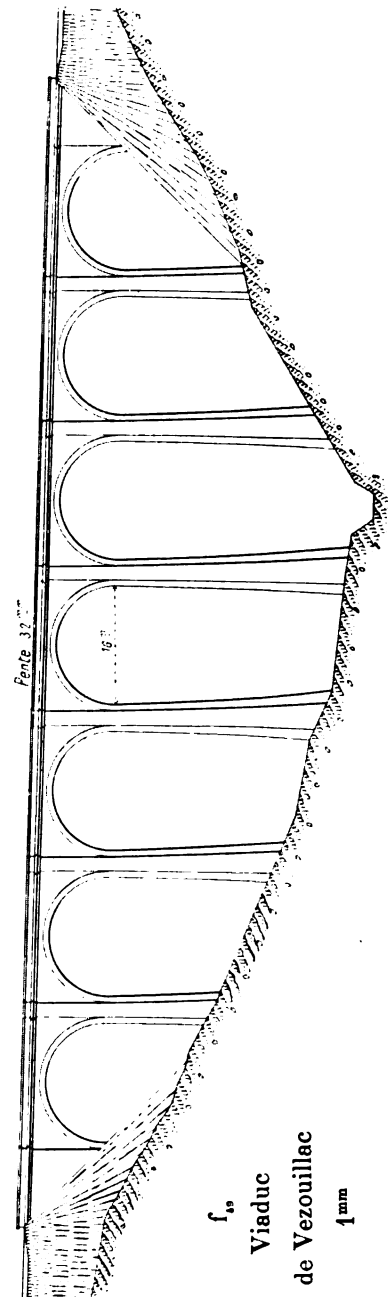
Posons $\varphi_1 = \varphi_0 + \frac{\varepsilon}{2} h \quad \varphi'_1 = \varphi'_0 + \frac{\varepsilon'}{2} h$

Les courbes $A_0 A_1 A_2 \dots, B_0 B_1 B_2 \dots$ sont les paraboles :

$$x = a_0 + z \left(\varphi_0 + \frac{\varepsilon z}{2} \right) \quad y = b_0 + z \left(\varphi'_0 + \frac{\varepsilon' z}{2} \right)^{56}$$

56. — Volume au-dessous de $X_1 X_2$ des n tranches de hauteur h ($nh = H$)

$$W = 4H \left\{ \begin{aligned} & a_0 b_0 + (a_0 \varphi'_0 + b_0 \varphi_0) \frac{H}{2} + \left[\frac{a_0 \varepsilon' + b_0 \varepsilon}{2} \left(1 + \frac{1}{2n^2} \right) + \varphi_0 \varphi'_0 \right] \frac{H^2}{3} \\ & + \frac{\varphi_0 \varepsilon' + \varphi'_0 \varepsilon}{2} \left(1 + \frac{1}{3n^2} \right) \frac{H^3}{4} + \frac{\varepsilon \varepsilon'}{4} \left(1 + \frac{5}{9n^2} + \frac{1}{9n^4} \right) \frac{H^4}{5} \end{aligned} \right\}$$



On a pris, pour le fruit en élévation, avec $h = 4^m, 5^m$:

$$\varphi_1 = 15^{mm}, 20^{mm}.$$

Pour élancer la pile, il convient de commencer par un petit fruit :

φ croît souvent de 5^{mm} par tranche de 5^m , soit $\epsilon = 1^{mm}$;

Φ_1 . — Viaduc de la Crueize.⁶³



Pour le fruit en travers :

$$\varphi'_1 = 40^{mm}, 45^{mm}$$

$$\epsilon' = 1^{mm}.$$

Au pied de grands viaducs,

φ atteint $65^{mm}, 75^{mm}, 85^{mm}$

$\varphi' = 100^{mm}, 120^{mm}, 140^{mm}.$

Si la stabilité l'exige, on augmente φ_1 et ϵ , φ'_1 et ϵ' .

A quelques viaducs, les fruits sont droits en élévation, courbes en travers⁵⁷.

Le premier viaduc à piles ainsi profilées est celui de Vezouillac^{58, 59} (f_{10}), mais la pression n'y atteint que 6^t28 : ce viaduc, joli par en haut, a les pieds trop gros.

On a fait mieux à St-Laurent d'Olt⁶⁰, et encore mieux à la Crueize^{61, 62}, parce qu'on y a élevé le travail limite (9^t sans surcharge ni vent). C'est le plus beau viaduc de France (f_{10}, Φ_1).

57. — Limoges à Brive par Uzerche.

58. — Le mérite en revient à M. Robaglia, alors Ingénieur en Chef à Rodez.

62. — A la Crueize, si la grande pile de 46^m50 eut eu les arêtes droites en conservant ses épaisseurs et ses largeurs aux naissances et en bas, les fruits eussent été : en élévation 0^m035 , en travers 0^m102 ; le cube de la pile eut été porté de 4392^m à 4787^m , c'est-à-dire augmenté de 395^m (9 %).

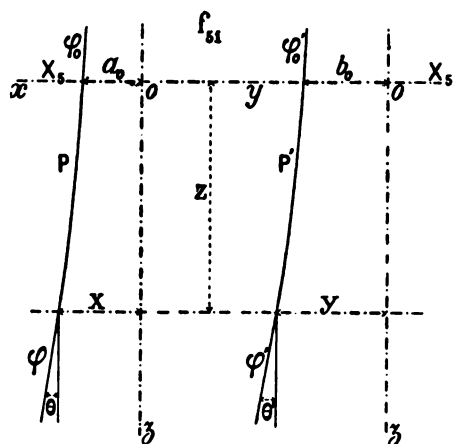
63. — Cliché de M. Terpereau, photographe à Bordeaux.

	Ligne de :	Date	Portée	Hauteur
59	Rodez à Millau	1873-77	16 ^m	43 ^m
60	Séverac à Marvejols	1877-79	20 ^m	53 ^m
61	Marvejols à Neussargues	1879-83	25 ^m	63 ^m

Art. 5. — Fruits croisés. Profils en courbe (f_{11}).

A. — Paraboles du 2° degré.

On les préférera aux profils en ligne brisée.



1° — Equation. Soient :

ϵ et ϵ' les accroissements des fruits φ et φ' par mètre de hauteur.

Les profils sont (f_{11}) :

Parabole P :

$$x = a_0 + \varphi_0 z + \frac{\epsilon}{2} z^2 = a_0 + z \left(\varphi_0 + \frac{\epsilon}{2} z \right).$$

Parabole P' :

$$y = b_0 + \varphi'_0 z + \frac{\epsilon'}{2} z^2 = b_0 + z \left(\varphi'_0 + \frac{\epsilon'}{2} z \right).$$

A z au-dessous du plan $X_1 X_2$, les fruits sont :

$$\varphi = \tan \theta = \varphi_0 + \epsilon z \quad \varphi' = \tan \theta' = \varphi'_0 + \epsilon' z.$$

2° — Arête. Elle est dans le plan :

$$\epsilon' (x - a_0) - \epsilon (y - b_0) = (\varphi_0 \epsilon' - \varphi'_0 \epsilon) z$$

Sa projection horizontale O'A (f_{12}) est la parabole :

$$[\epsilon' (x - a_0) - \epsilon (y - b_0)]^2 + 2 (\varphi_0 \epsilon' - \varphi'_0 \epsilon) [\varphi'_0 (x - a_0) - \varphi_0 (y - b_0)] = 0$$

ou, en prenant comme origine O' sommet de l'arête :

$$(\epsilon' x' - \epsilon y')^2 + 2 (\varphi_0 \epsilon' - \varphi'_0 \epsilon) (\varphi'_0 x' - \varphi_0 y') = 0$$

L'axe est parallèle à la droite :

$$y = \frac{\epsilon'}{\epsilon} x$$

$$\text{Tang } \mu_0 \text{ en } O' = \frac{\varphi'_0}{\varphi_0}$$

On a vu que l'arête est dans un plan : ce plan est vertical, par conséquent la projection horizontale est une droite si $\frac{\epsilon'}{\epsilon} = \frac{\varphi'_0}{\varphi_0}$.

Voici les silhouettes de 2 viaducs à fruits courbes (f_{11} , f_{12}) ; l'épaisseur des piles aux naissances y varie avec la hauteur (p. 56) ; à Chanteloube (f_{11}), les voûtes sont en ovale surhaussé (p. 55)

B. — Paraboles du 3° degré.

Si la section n'augmentait pas assez vite avec z , on ajouterait un terme en z^3 .

$$\text{Parabole P } (f_{11}) : x = a_0 + \varphi_0 z + \frac{\epsilon}{2} z^2 + \frac{\zeta}{6} z^3$$

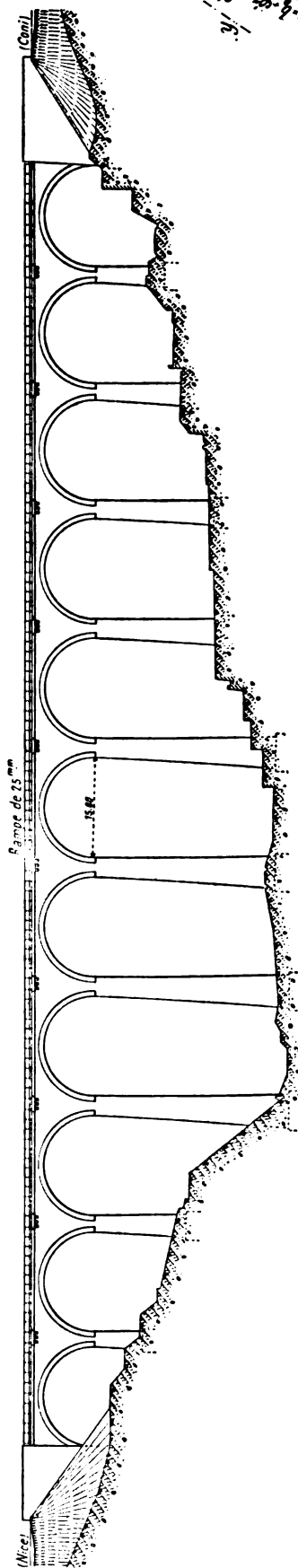
$$\text{Parabole P' } (f_{11}) : y = b_0 + \varphi'_0 z + \frac{\epsilon'}{2} z^2 + \frac{\zeta'}{6} z^3.$$

$$\text{Tang. } \theta = \varphi_0 + \epsilon z + \frac{\zeta}{2} z^2 \quad \text{Tang } \theta' = \varphi'_0 + \epsilon' z + \frac{\zeta'}{2} z^2.$$

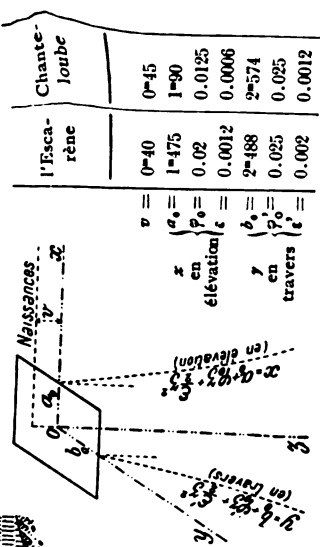
64. — Volume au-dessous de $X_1 X_2$ sur une hauteur H :

$$V = 4 H \left[a_0 b_0 + (a_0 \varphi'_0 + b_0 \varphi_0) \frac{H}{2} + \left(\frac{a_0 \epsilon' + b_0 \epsilon}{2} + \varphi_0 \varphi'_0 \right) \frac{H^2}{3} + \left(\frac{\varphi_0 \epsilon' + \varphi'_0 \epsilon}{2} \right) \frac{H^3}{4} + \frac{\epsilon \epsilon'}{4} \times \frac{H^4}{5} \right].$$

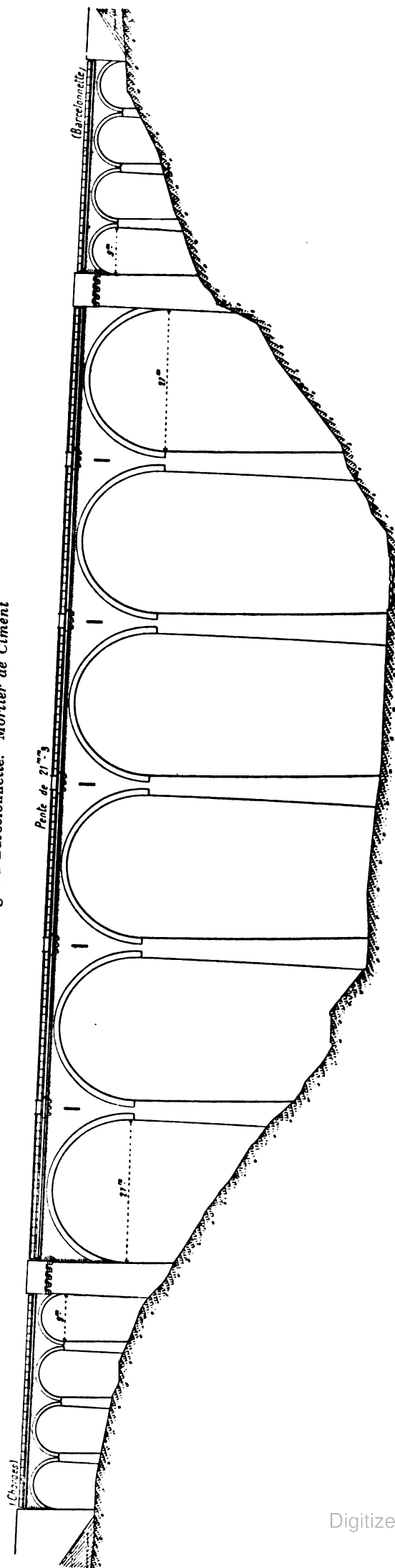
f_{13} — Viaduc de l'Escarène — 1mm (1913-15)
Ligne de Nice à Coni. Mortier de chaux



Profils des Piles



f_{14} — Viaduc de Chanteloube — 1mm (Projet)
Ligne de Chorges à Barcelonnette. Mortier de ciment



Art. 6. — Hauteur à partir de laquelle on adoptera les fruits courbes.

Des fruits variables donnent quelques sujétions : si faibles qu'elles soient, elles absorbent une petite partie de l'économie sur le cube.

On peut, arbitrairement, fixer à 35^m la hauteur (à 14^m la portée) jusqu'à laquelle on conservera les fruits constants.

§ 3. — PILES-CULÉES ENTRE ARCHES ÉGALES N'EN PLUS FAIRE

Si une arche tombe, toutes tombent les unes après les autres. Pour limiter les chutes, à d'anciens viaducs^{65, 66}, quelquefois à de récents⁶⁷, on a épaissi, au grand dommage de l'aspect, une pile sur 3, sur 4.

Mais il est à craindre que, calculées pour être stables, ces « piles-culées » ne soient pas assez rigides et que, sans tomber elles-mêmes, elles laissent tomber les arches^{68, 69}.

On a construit sans piles-culées nombre de grands viaducs : les très rares que l'on fait encore semblent des organes-témoins reproduits par tradition.

§ 4. — CONTREFORTS

Dans les hauts viaducs, on a souvent plaqué sur les piles des contreforts (f_{ss} , f_{ss}), plus pour les décorer que pour les renforcer.

65. — Viaducs à deux voies et deux étages :

Du Gouet, 59^m45 de hauteur, deux piles-culées (Rennes à Brest) ; — de Morlaix, 62^m16 de hauteur trois piles-culées (Rennes à Brest) 1861-63 ; — de Velars, de la Combe-Bouchard, de la Combe-de-Fin, une pile-culée par 5 arches (tous les trois sur la ligne de Paris à Dijon, descente de Blaizy à Dijon) 1847-49.

66. — Cette précaution est fort ancienne : il y a 2 piles-culées au pont de Blois (1716-1724).

67. — Viaducs : du Blanc (Poitiers au Blanc) 1881-85, 21 arches de 20^m, 4 piles-culées ; — de l'Auzon (Argenton à La Châtre) 1897-1900, 42^m70 de hauteur, 20 arches de 20^m, 2 piles-culées ; — sur l'Oued Beja (Mateur à Nebeur, Tunisie) 1908-10, 54^m de hauteur, 12 arches de 21^m, piles courantes de 4^m20 aux naissances, piles-culées de 6^m20, une pile-culée par 4 arches.

Aux viaducs de la ligne du Lœtschberg 1910-12, on a « renforcé » chaque 6^e pile pour des voûtes de 10^m, chaque 5^e pour 12^m, 14^m, chaque 4^e pour 16^m, 18^m 20^m.

68. — Chute du pont de Vernon (III, p. 378).

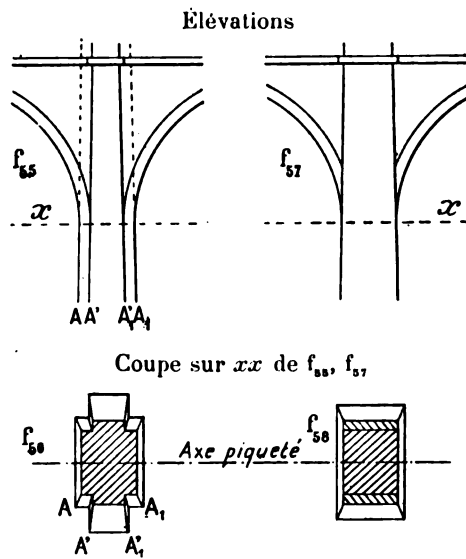
Φ₄. — Viaduc de Poix



69. — Le 31 août 1914, le Génie Français a fait sauter des arches côté Amiens du viaduc de Poix (ligne d'Amiens à Rouen), ouvrage en briques, hauteur maxima 30^m, 12 arches de 16^m50 en 4 groupes de 3, limités par des piles-culées. Les arches côté Amiens sont tombées jusqu'à une pile-culée (Φ₄) qui s'est inclinée vers Amiens de 48^m au niveau du rail ; l'arche au delà (côté Rouen) s'est fendue : on n'en a conservé que les retombées.

Il est permis de penser que cette pile-culée a sauvé les 6 arches côté Amiens. A certains hauts viaducs à couper en temps de guerre, peut-être convient-il de ménager des piles-culées, mais assez épaisses pour ne pas fléchir si une des arches qui les encadrent est ruinée.

CONTREFORTS



Les 4 arêtes A, A_1, A', A'_1 , doivent, pour l'aspect, concourir en un même point au-dessus de l'ouvrage (f_{55}).

Les fruits des contreforts sont moindres en élévation que ceux des arêtes de la pile, par exemple de 1^{cm}, plus grands en coupe transversale, par exemple de 2^{cm}.

Le contrefort laisse apparaître les bandeaux des deux arches qui l'encadrent : pour qu'il ne soit pas trop maigre, il faut des arches d'au moins 16^m.

On lui a, quelquefois, donné la largeur même de la pile (f_{57}). On supprime ainsi deux arêtes ; mais il y a un peu plus de cube. Quoique les bandeaux soient assez fâcheusement coupés, ce n'est pas laid.

Φ_1 . — Viaduc de Piou^{70, 71}.



Souvent, aux viaducs divisés par des piles-culées, on n'a fait de contreforts qu'à ces piles-là. Il y a de fort beaux viaducs avec contreforts (Φ_1) : on en peut faire de tout aussi beaux sans contreforts.

Au-dessus des naissances, ils ne servent qu'à supporter les niches de refuge ; ils compliquent l'appareil des tympanes.

70. — Ligne de Séverac à Marvejols (1877-79). Il est de la famille des viaducs de Morandière (Aulne, Pompadour,...)

71. — Contre les taillloirs des contreforts, voir V p. 99.

Au-dessous, ils renforcent la pile ; mais on peut trouver à meilleur marché la surface nécessaire en faisant croître les fruits.

Il vaut mieux n'en plus faire.

Ceci ne s'applique qu'aux viaducs à arches égales. Un contrefort, un pilastre peuvent utilement encadrer une grande arche, séparer un corps central à grandes arches d'un viaduc d'accès à petites.

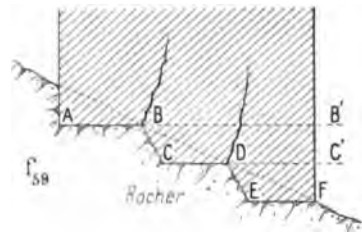
§ 5. — MASSIF DE FONDATION

Art. 1. — En règle générale, dresser le sol horizontalement sans gradins⁷²

A. — On est sur rocher.

Supposons qu'on ait taillé le rocher en gradins, avec marches horizontales AB, CD, EF (f_{60}).

La tranche de maçonnerie B'B'CC' tasse ; les pointes de rocher qui, elles, ne tassent pas, tendent à y entrer comme des coins et à la fendre ; le danger augmente :



1° — avec la charge. — Donc pas de gradins sous les piles des hauts viaducs. On dressera horizontalement le fond de la fouille, même au prix d'un grand déblai de rocher.⁷³

2° — avec la hauteur des gradins. — Donc, si on accepte les gradins, qu'ils soient petits.

3° — avec la nature de la maçonnerie sur les gradins. — Employer des moellons à assises horizontales au lieu de moellons bruts, du mortier de ciment au lieu de mortier de chaux, et laisser durcir le mortier avant de continuer.

B. — On n'est pas sur rocher.

Supposons maintenant que l'on ait affaire à un terrain moins résistant que la maçonnerie (calcaire tendre, marne, tuf, etc...)

Si on y taille des gradins, ce seront eux qui tasseront plus que la maçonnerie : leurs pointes céderont et ne la soutiendront plus.

Donc, pour tous terrains, une haute pile sera bâtie sur plate-forme horizontale sans gradins.

Art. 2. — Ne pas s'arrêter à la surface du rocher. S'encaster dans le vif.

Souvent, le dessus du rocher n'est pas bon. Il faut atteindre le vif⁷⁴.

Art. 3. — Bien nettoyer le sol de fondation.

Au moment où l'on commence à maçonner, la fouille doit être bien purgée, bien propre.

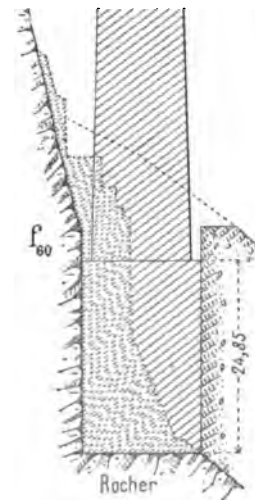
72. — Pour les gradins sous les ouvrages de 8^m et au-dessous, voir p. 30.

73. — Au viaduc des Crottes (Morbier à Morez), on a rencontré le rocher disposé comme l'indique f_{60} .

On a tout déblayé jusqu'à une plate-forme horizontale tout entière dans le rocher.

74. — Au viaduc de Mussy (Paray-le-Monial à Givors), 63^m de hauteur, on est descendu à 8^m dans le rocher tendre.

Au pont sur la Seine, près de Montereau (Corbeil à Montereau), on a rencontré sous le gravier une craie tendre à 4^m17 sous l'étiage. Il fallut descendre à 15^m45 pour trouver une bonne craie résistante.



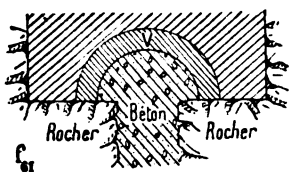
S'il restait à sa surface une couche molle, la maçonnerie la chasserait par son poids et tasserait de l'épaisseur de cette couche.

Si le fond est du rocher, il faut le piquer à la grosse pointe, bien enlever les recoupes et la poussière, puis bien laver à grande eau et poser la première assise sur une couche de mortier.

Certains terrains, le sable argileux par exemple, se ramollissent par l'eau et sous les pieds des ouvriers. Il faut bien nettoyer et décaper la fouille à vif et couler rapidement une couche générale de béton de ciment qu'on laisse prendre et sur laquelle on maçonne.

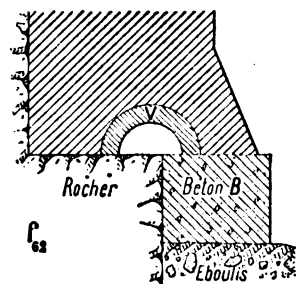
Sur quelque terrain que l'on fonde, il est bien entendu que l'Ingénieur ne laissera pas commencer les maçonneries avant d'avoir, *lui-même*, vérifié et accepté la plate-forme; il surveillera, *lui-même*, la pose des premières assises.

Si la plate-forme est ramollie par l'eau, on l'asséchera, si on le peut, par des galeries⁷⁵.



On les nettoie à vif et on les bourre de béton de ciment⁷⁶.
Si une fissure profonde traverse la fondation, on la vide sur 2 ou 3^m, on la bourre de béton de ciment, dessus on construit une voûte V (f_{61})⁷⁷.

Art. 4. — Il y a des fissures dans le rocher de fondation.



On fait alors au mieux, suivant les circonstances, pour diminuer la pression sur la partie la plus faible et la répartir le plus également possible sur toute la fondation.

Si, par exemple (f_{61}), on trouve d'un côté du rocher, de l'autre des éboulis, on élargira la fouille du côté des éboulis; on coulera dessus un massif de béton de ciment B: par dessus la surface séparant le rocher des éboulis, pour égaliser les pressions, on jettera une voûte V, une dalle en béton armé....

Art. 5. — On trouve, en fondation, deux natures de sol.

Au-dessous du sol naturel, il faut ménager un ressaut :

1°. — pour élargir la base d'appui, en vue de réduire la pression sur le sol ou sur les maçonneries. On le détermine d'après la pression limite admise.

2°. — pour parer aux erreurs d'implantation. On lui donne, en général, 0^m20, 0^m25, 0^m30, — jusqu'à 0^m40.

Quand la maçonnerie repose sur du béton, il faut augmenter le ressaut pour qu'il n'y ait pas de pression près de l'arête du béton. On a été jusqu'à 0^m90, 1^m.

3°. — pour parer aux déplacements des massifs descendus, soit par havage, soit à l'air comprimé. On le fera d'autant plus grand que les massifs auront plus à descendre⁷⁸; s'ils doivent traverser une épaisseur H de terrain, on donnera au ressaut : 0^m20 + 0,02 H.

Art. 6. — Ressaut.

75. — Travaux d'assainissement et de consolidation de la ligne de Lons-le-Saulnier à Champagnole, — viaducs de l'Ermitage et de Vertancul.

Annales des Ponts et Chaussées, 1893, 2^e semestre, p. 573, — MM. Moron et Canat.

76. — Viaduc de Puyredon (Nontron à Sarlat), 1893-94.

77. — Viaducs du Boulet (Cahors à Brive), de Bramefond (Saint-Denis au Buisson).

78. — On a constaté des déplacements :

de 0^m65 à une pile du viaduc du Val Saint-Léger (Ligne de la Grande-Ceinture) descendue à 30^m;

Annales des Ponts et Chaussées, novembre 1882. « Notice sur la Traversée du Val St-Léger », M. Geoffroy.

de 0^m20 à une pile du pont de Marmande, (Ligne de Marmande à Casteljaloux, 1880) descendue à 6^m dans du gravier, puis du tuf.

TYMPANS

§ 1. — FRUIT DU PAREMENT VU

Art. 1. — Il faut donner du fruit aux tympans.

Les tympans sont au-dessus de piles en fruit.

A nombre de viaducs, ils n'ont pas de fruit (f_{63}), mais l'œil y redresse la pile CB et voit le tympan BA en surplomb : c'est choquant.

Quand on s'est inquiété de l'aspect, — et il s'en faut toujours inquiéter, — on a donné du fruit aux tympans : à beaucoup 20^{mm}, assez souvent 30^{mm} ⁷⁹.

C'est aussi un peu plus stable.

Art. 2. — Fruits à adopter.

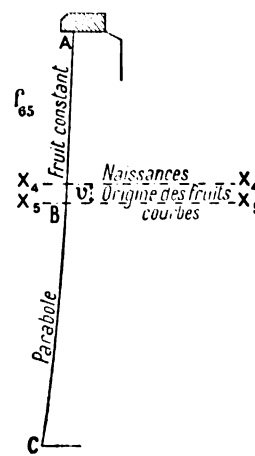
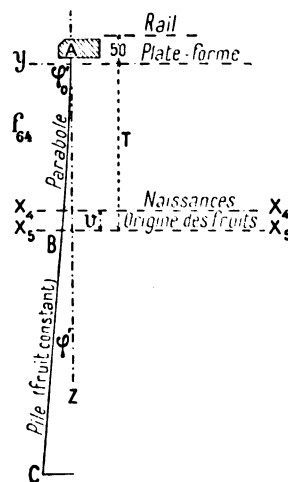
1^{er} Cas. Pile à fruit constant.

A. — Tympan ayant même fruit que la pile. — Cette disposition augmente un peu le cube des maçonneries : on ne l'adoptera donc que pour les petits viaducs. J'admetts, un peu arbitrairement, 20^m comme limite de hauteur ⁸⁰.

Pour la pile, comme pour les tympans, le fruit transversal φ' sera 30^{mm}, 40^{mm}, au plus 50^{mm}.

B. — Tympan parabolique (f_{64}). — Le tympan est dressé suivant une parabole ABC à axe horizontal, tangente en B à la pile de fruit φ' et ayant sous la plinthe un fruit très faible φ_0 , par exemple, 2^{mm}; elle a pour équation :

$$y = z \left(\varphi_0 + \frac{\varphi' - \varphi_0}{2T} z \right).$$



2^e Cas. Pile à fruit courbe (f_{65}).

La coupe du tympan AB est une droite tangente en B à la parabole de la pile.

79. — et même 50^{mm}. C'est trop pour des viaducs en alignement. On a été jusqu'à 70^{mm}, mais pour les tympans convexes de viaducs en courbe.

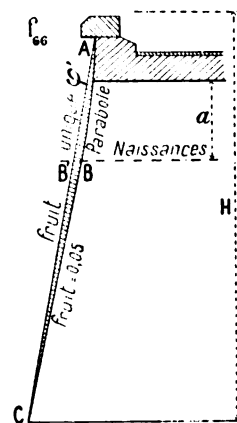
80. — Soient, pour un viaduc de hauteur H et d'ouverture 2a (f_{66}) :

V_1 le volume des maçonneries entre les plans verticaux des clefs de deux voûtes voisines ; les piles ont un fruit constant de 25^{mm} en élévation, de 50^{mm} en coupe transversale ; les tympans sont dressés suivant une parabole ABC tangente aux piles à leurs naissances B et dont l'axe passe par le dessous de la plinthe.

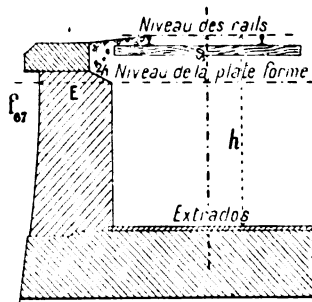
V_2 le volume défini de même, mais avec tympan et pile dressés en coupe transversale suivant un fruit unique ABC.

On trouve :

Hauteur H	Ouverture $2a = 0,4 H$	$V_1 - V_2$	Hauteur H	Ouverture $2a = 0,4 H$	$V_1 - V_2$
12 ^m 50	5 ^m	1 ^{mc} 57	30 ^m	12 ^m	18 ^{mc}
17 ^m 50	7 ^m	3 ^{mc} 95	37 ^m 50	15 ^m	34 ^{mc}
25 ^m	10 ^m	10 ^{mc} 73	50 ^m	20 ^m	78 ^{mc}



§ 2. — TYMPANS PLEINS

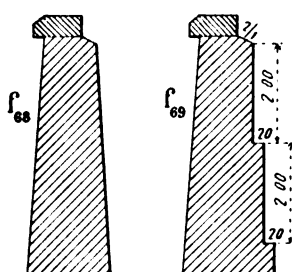


Pour les tympans pleins, ou évidés par des voûtes longitudinales de 1^m30 au plus de portée, E ne descend pas au-dessous de 0^m80, ne dépasse guère 1^m20, est d'ordinaire 1^m.⁸¹

Le plus souvent, le parement intérieur est vertical.

On a quelquefois donné un fruit intérieur (f_{in}); ce n'est pas bon: au passage des trains, le remplissage peut faire coin et tendre à les ouvrir. Il est préférable de ménager des redans de 0^m20 tous les 2^m (f_{es}).

Art. 1. — Epaisseur.



Il doit :

1°. — être et rester incompressible, sec ou mouillé, pour ne pas s'enfoncer sous les trains ;

2°. — être insensible à l'action de l'eau, c'est-à-dire n'être ni gonflé, ni imprégné, ni décomposé, ni entraîné par elle : donc pas de remblais terreux, argileux, crayeux, gypseux ;

3°. — tenir, sec ou mouillé, à un talus aussi raide que possible, pour ne pas pousser sur les tympans : donc pas de remblais argileux, sablonneux, qui poussent quand ils sont mouillés ;

Art. 2. — Remplissage entre les tympans.

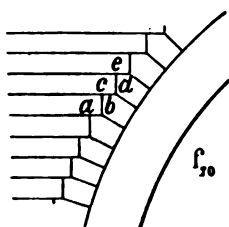
4°. — au-dessus de la chape, être très perméable, pour que l'eau y arrive tout de suite et ne séjourne pas dans l'ouvrage.

5°. — être léger, pour réduire la poussée dans les voûtes et la charge sur le sol.

Toutes ces conditions sont satisfaites par un remplissage en graviers bien lavés ; mieux, par des déblais rocheux rangés à la main.

Entre les voûtes et la chape (si elle n'est pas appliquée sur les voûtes elles-mêmes), on peut employer du béton maigre contenant seulement 100^k de chaux par m.c. de sable. Mais il faut le faire par temps sec et l'abriter aussitôt fait : s'il pleut dessus, il s'y emmagasine de l'eau qui ne peut plus sortir ensuite qu'à travers les voûtes ou les tympans.

Si le tympan est à joints incertains (MOI), aucune difficulté.



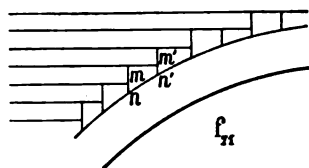
Mais, si les moellons de parement sont par assises horizontales (MOH, ME), ils rencontrent l'extrados du bandeau suivant des becs de flûte de plus en plus aigus à mesure que l'on se rapproche de la clef.

Le plus rationnel serait d'appareiller en crossettes les moellons de raccordement (f_{ro}). On l'a fait quelquefois, mais au détriment de l'aspect : les pointes a, c, e... b, d... dessinent des courbes d'extrados qui nuisent à celle du bandeau.

Art. 3. — Raccordement de l'appareil des tympans avec celui des bandeaux.

Il vaut mieux conserver les assises horizontales et couper simplement les angles

81. — Voir plus loin renvoi 90.



trop aigus (f_{11}): on commence, pour les pleins cintres à bandeaux extradossés parallèlement, à 45° de la verticale. Les pointes mn , $m'n'$... des moellons auront au moins 0^m10.

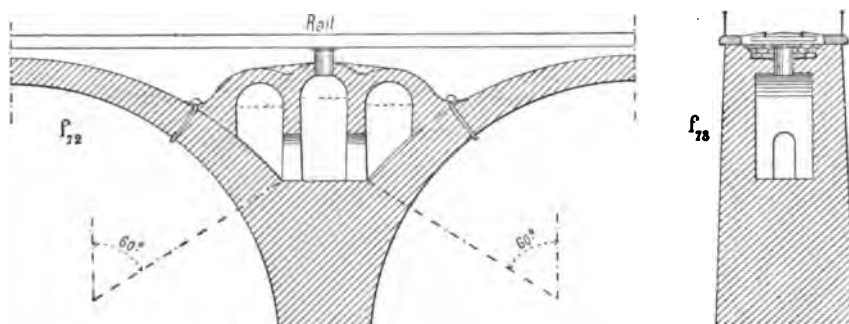
§ 3. — TYMPANS ÉLÉGIS⁸²

Art. 1. — Portée à partir de laquelle on élégit.

On n'évidera pas au-dessus de pleins cintres de moins de 15^m; on évidera toujours à plus de 19^m.

Art. 2. — Elégissements transversaux.⁸³

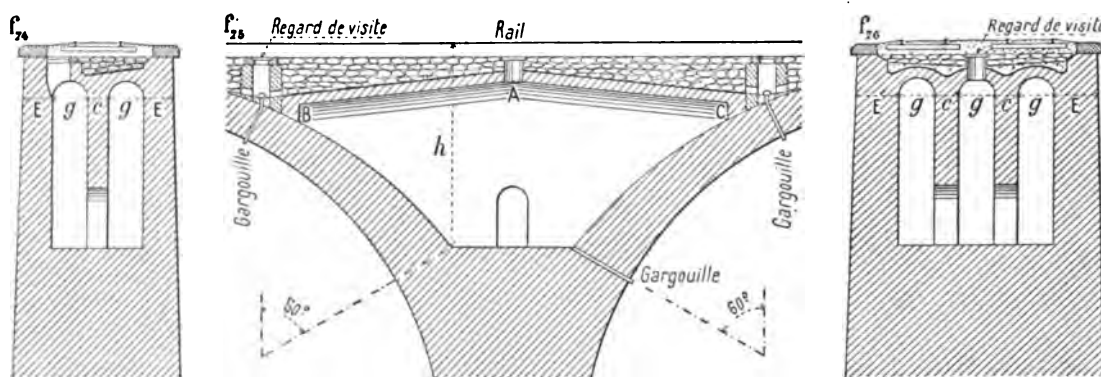
On se gardera de les montrer. On ne jettera pas d'arc unique entre deux grandes voûtes⁸⁴. On élégira par de petits pleins cintres cachés (f_{11} , f_{12})⁸⁵.



Ils relient les tympans que tendent à écarter les voûtes longitudinales : ceux-ci ne sont plus qu'un masque, on en réduit l'épaisseur à 0^m70, 0^m80.

Art. 3. — Elégissements longitudinaux.⁸⁶

Les voûtes d'évidement ont 1^m20, 1^m30 sur cloisons de 0^m60 : il y en a deux aux viaducs



82. — Voir V, p. 50 et suivantes.

83. — V, p. 51, 57, 58.

84. — Viaducs de la ligne de Millau à Séverac (1873-77),

85. — V, p. 59, § 6.

86. — V. p. 59.

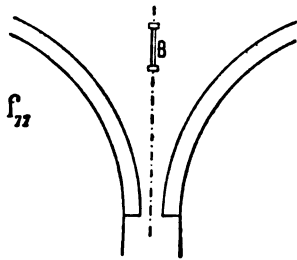
à 1 voie (f_{11} , f_{12})^{87, 88}, trois à ceux à 2 voies (f_{11} , f_{12})^{89, 90}.

A partir du milieu A (f_{11}), elles auront des pentes d'au moins 5cm.⁹¹

Elles sont presque toujours en plein cintre : elles seraient mieux en ogive, en ellipse surhaussée, pour moins pousser les tympans⁸⁶.

Elles répartissent mal les charges sur les grandes voûtes⁹².

Dans les courbes, à leur poussée s'ajoute la force centrifuge.



On y descendra par des regards débouchant, pour les viaducs à 1 voie, soit dans les trottoirs contre les plinthes, soit dans l'axe de la voie ; pour les viaducs à 2 voies, dans l'entrevoie.

Les maçonneries se conservent mal dans l'air humide.

Dans nos derniers grands viaducs, nous avons traversé le tympans par une barbacane B (f_{11}).

Art. 4. — Il faut visiter les élégissements cachés.

Art. 5. — Il faut les aérer.

CHAPITRE VIII

CULÉES⁹³

Les culées sont les parties les plus variables des ouvrages ; elles dépendent encore plus que les autres de la forme et de la nature du terrain.

On ne peut donc donner ici que des indications tout à fait générales.

87. — Il n'y en a qu'une aux viaducs des lignes de Tournemire au Vigan (1886-95), d'Espalion à Bertholène (1903-07) ; elle a alors 1m60, 1m80. Il faut pour la tenir des tympans épais.

88. — Il y en a 3 de 0m80 au viaduc de Légaud (Eymoutiers-Meymac), 3 de 0m70 à celui de la Donne (Saint-André à Puget-Théniers 1905-07).

89. — Il n'y en a que deux aux viaducs de l'Aulne (Nantes-Landerneau), de Mussy (La Clayette-Lamure 1892-95). Elles ont 2m, 2m30. C'est trop.

90. — Voici quelques exemples :

	Viaduc de	Ligne de	Dates de construction	Ouverture des grandes arches 2a	Voûtes d'élégissement en plein cintre			Epaisseur des tympans E	
					Ouverture g	Epaisseur des cloisons c	Hauteur du rail au-dessus du creux h	hors du contrefort	y compris le contrefort
1 Voie 2 voûtes d'élégissement f_{11} — f_{12}	Vignols	Limoges à Brive	1872-75	20m	1m30	0m60	6m10	0m70	1m15
	Pompador			25	1.30	0.60	8.21	0.96	1.35
	La Sagne			20	1.30	0.60	6.10	0.70	1.15
	Le Sarget			20	1.30	0.60	6.10	0.70	1.15
	Le Blanc	Poitiers au Blanc	1881-85	20	1.05	0.75	6.90	1.03	
	Barajol	Bort à Neussargues	1903	20	1.00	0.60	3.59	1.10	1.48
	Saint-Waast	Montauban à Castres	1882-84	20	1.20	0.59	6.00	0.96	Pas de contrefort
	L'Auzon	Argenton à La Châtre	1897-1901	20	1.20	0.60	7.19	0.89	
2 Voies 3 voûtes d'élégissement f_{11} — f_{12}	Piou	Séverac à Marvejols	1878	20	1.20	0.80	6.45	1.60	2.21
	Senouard	Marvejols à Neussargues	1879-83	18	1.20	0.80	6.15	1.60	2.15
	Chanteperdrix			20	1.20	0.80	6.50	1.66	2.40
	La Crueize			25	1.20	0.80	7.70	1.66	2.60
	Saint-Satur	Bourges à Cosne	1891-93	13	1.60	0.70	4.40	1.15	1.75

91. — Au viaduc du Blanc, cette pente atteint 24cm5.

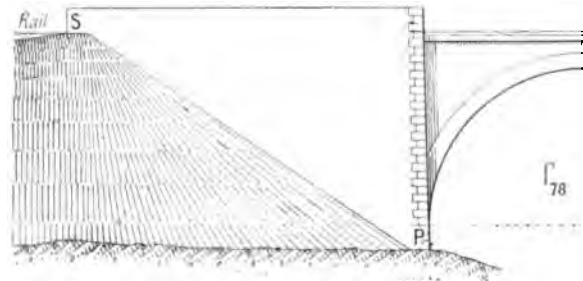
92. — V, p. 50.

93. — V, p. 42 et suivantes.

§ 1. — PARTIES VUES

Art. 1. — Rôle apparent des culées. Elles arrêtent, elles encadrent l'ouvrage.

On les fera ressauter de 0^m35 à 0^m50 par rapport au nu des tympans (f_{78} , f_{79}); on les surmontera d'un parapet plein, sans plinthe. On ne comprend guère en effet une plinthe se prolongeant sur la culée et se perdant dans un quart de cône ou dans le terrain. Ces culées brutales arrêtent bien l'ouvrage⁹⁴.

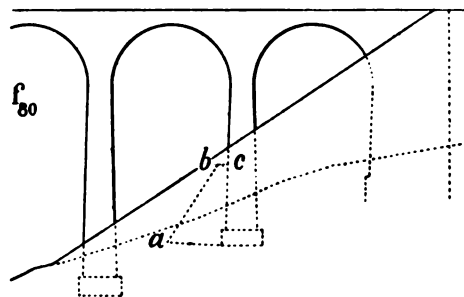
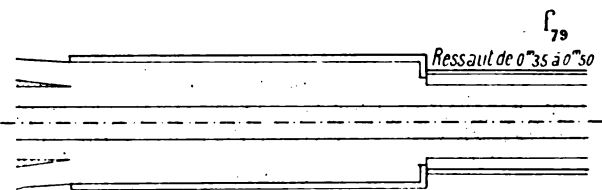


Art. 2. — Quarts de cône.

On a souvent perreyé les quarts de cône pour raidir leurs talus: c'est laid et d'entretien coûteux; on ne fera de perrés que pour les protéger contre les crues.

En principe, les quarts de cône seront à 3/2: ce n'est qu'exceptionnellement, s'il faut réduire les murs en retour, qu'on acceptera une inclinaison de 5/4 sur leur parement; mais alors il faudra bien pilonner les terres et gazonner leur surface.

Il est bon que sur 0^m30 le quart de cône découvre le pied P de l'arête de la culée, et recouvre l'extrémité S du parapet (f_{79}).



Pour raccourcir les murs en retour, on a quelquefois noyé dans de grands quarts de cône les pieds des piles voisines (f_{80}). La dernière arche, ainsi aveuglée, est d'un aspect fort désagréable. De plus, il est arrivé que la pile voisine de la culée a été renversée par la poussée de la terre⁹⁵.

Il est prudent de buter une pile noyée dans le quart de cône par un massif $a b c$.

Il vaut mieux, s'il y a économie appréciable, porter les extrémités des murs en retour sur des consoles en pierre, ou mieux, en béton armé, qui permettent un plus grand porte-à-faux.

Ces consoles doivent être cachées dans le quart de cône⁹⁶.

Art. 3. — Fruit des parements.

Le parement antérieur des culées, quand il est vu, et les arêtes en élévation du ressaut des culées, seront au fruit de 0,025 (1/40).

Leurs faces auront le fruit moyen des tympans: si les fruits différaient, la surface de moindre fruit paraîtrait se déverser.

94. — V, p. 47.

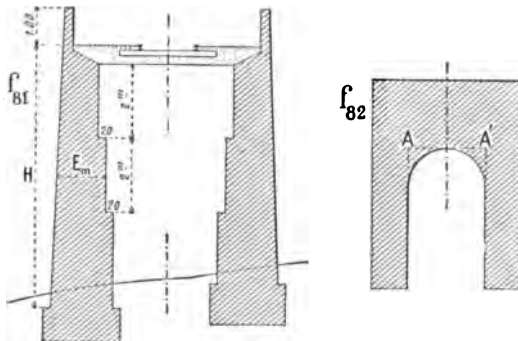
95. — Pont de Pont de Bordes (Ligne de Condom à Port-Sainte-Marie).

96. — V, p. 45, 46.

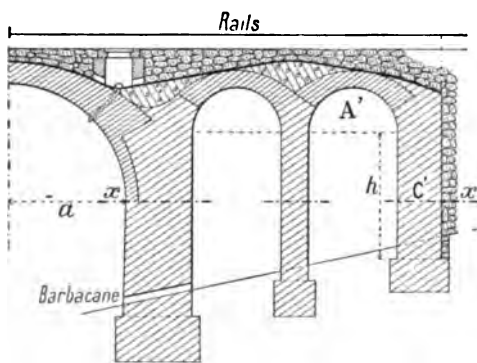
§ 2. — PARTIES CACHÉES

Tant que la hauteur est faible (4 ou 5^m au plus) les deux murs en retour peuvent rester indépendants (f_{81}).

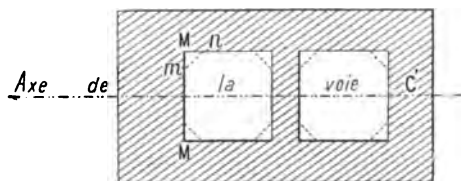
On leur donne une épaisseur moyenne : $E_m = 0,25 (1 + H)$.



f_{81} . — Coupe en long



f_{82} . — Coupe sur xx de f_{81}



ainsi conduit au meilleur système d'évidement, qui est par puits verticaux.

Leur parement caché est vertical ou avec des gradins de 0^m20 tous les 2^m environ.

Il faut, pour ne pas amorcer de fissures, adoucir les angles rentrants A et A' par des congés à grand rayon (f_{82}).

On remplit, entre les murs en retour comme entre les tympans, avec des déblais rocheux rangés à la main.

Pour des hauteurs de plus de 4^m, 5^m, les murs seraient en bas très épais, l'intervalle entre leurs parements cachés, très réduit : on aurait beaucoup de maçonnerie pour peu soutenir.

Il faut, alors, éviter les culées : soit par des voûtes à génératrices parallèles à l'axe de la voie ; elles poussent les murs en retour ; on n'en fait plus guère ;

soit par des voûtes à génératrices perpendiculaires à l'axe de la voie (évidements transversaux) ;

soit, mieux, par des puits verticaux.

Les murs en retour ne sont plus alors que de simples masques ; leur épaisseur peut être réduite à 1^m.

L'épaisseur C' de la culée de la voûte extrême doit assurer la stabilité, sans tenir compte de la poussée des terres⁹⁷.

Pour prévenir les fentes aux angles rentrants M (f_{81}), on les amortit par des pans coupés mn ; mieux, on les arrondit. On est

Art. 1. — Culées à murs en retour indépendants.

Art. 2. — Culées évidées.

A. — Types d'évidement.

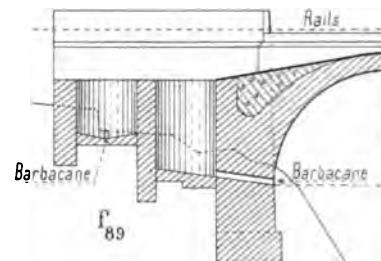
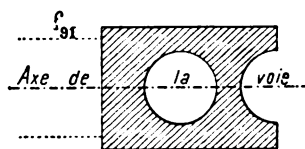
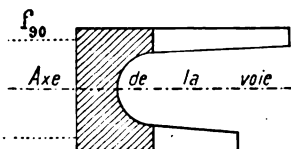
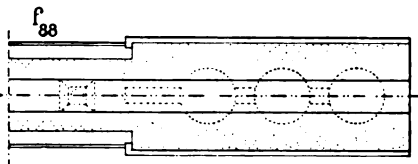
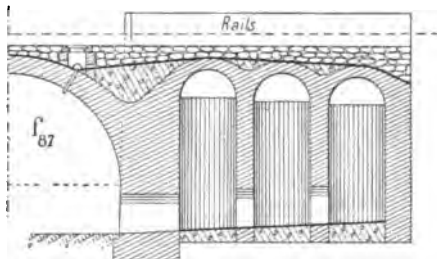
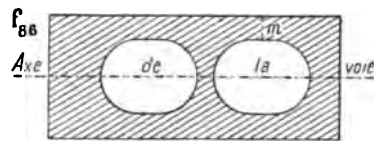
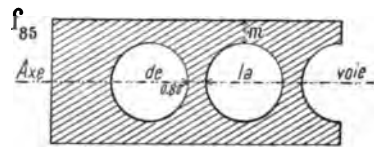
B. — Evidements transversaux (f_{82}).

97. — On pourra accepter la formule précédemment donnée pour les ouvrages sous rails, en plein cintre, de 8^m d'ouverture et au-dessous :

$$C' = 0,30 + 0,20 A' + 0,20 h.$$

C. — Puits verticaux.

Ils sont à section horizontale circulaire (f_{85}) ou, exceptionnellement, un peu allongée (f_{86}) : le grand axe dans le sens de la voie et non normalement à la voie comme on l'a fait quelquefois fort à tort.



On peut réduire à 0^m80 la cloison entre puits, à 1^m le masque m (f_{85} , f_{86}).

Les puits sont :

soit couverts par des voûtes sphériques ou, plus pratiquement, par des voûtes transversales en berceau ; on les laisse vides ; on les aère par des soupiraux grillés, — on évacue l'eau au pied et, si c'est possible, on permet d'y accéder, par exemple par une porte percée dans la culée ou dans un des murs en retour (f_{87} , f_{88}) ;

soit ouverts ; on les remplit alors de déblais rocheux et on assure avec soin l'écoulement des eaux par des barbacanes, soit sous la dernière arche (f_{89}), soit dans une pierrée enveloppant la culée.

Art. 3. — Epaisseur des culées.

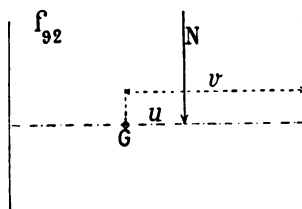
Il n'y a pas de bonne formule pour déterminer l'épaisseur d'une culée de viaduc.

On l'arrête par une épure.

Dans la résistance de la culée, on compte tout ou partie des murs en retour, les puits.

Dans f_{85} , f_{86} , on admettra que tout ce qui est « hachuré » résiste à la poussée⁹⁸.

Voici quelques dispositions de culées :

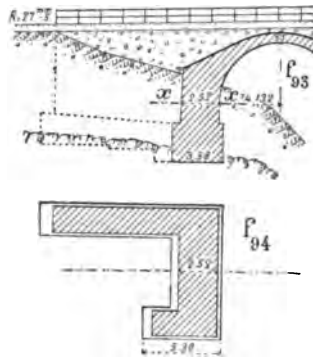


98. — Soient :
 Ω la surface de la section, évidements déduits ;
 G le centre de gravité de Ω à v de l'arête ;
 I le moment d'inertie par rapport à l'axe transversal mené par G (déterminé en tenant compte des évidements) ;
 N l'effort normal agissant à u de G (f_{92}).
 On calculera l'effort maximum sur l'arête par la formule ordinaire :

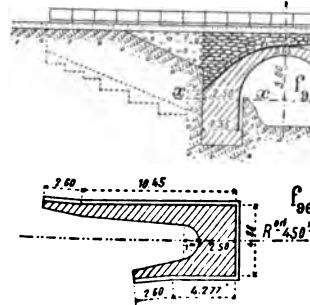
$$\max \beta = \frac{N}{\Omega} \left[1 + \frac{u v \Omega}{I} \right]$$

Culées non évidées*Coupes en long sur l'axe et coupes horizontales sur xx des coupes en long — 2mm***Viaduc
de Chapchiniès***Marvejols-
Neussargues*

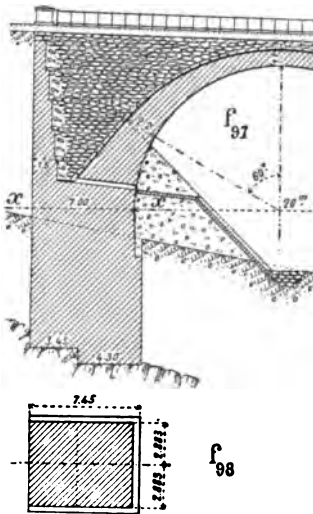
1882-84

4 arches de 8^m
Culée Marvejols**Viaduc
du Puits***Morez-St-Claude*

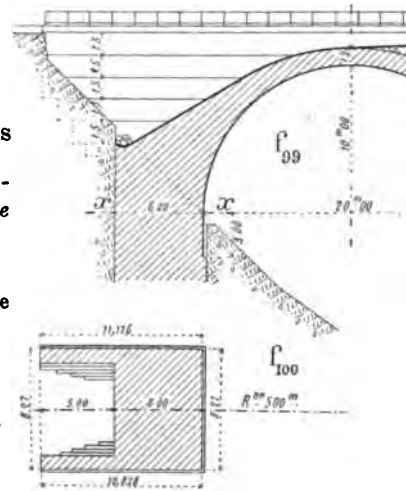
1909-11

9 arches de 6^m
Culée Morez**Viaduc
de la Gascarie***Carmaux-Rodez*

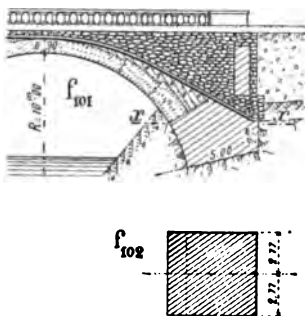
1894-97

12 arches de 20^m
Culée Carmaux**Viaduc
des
Aragnols***Miramas-
L'Estaque*

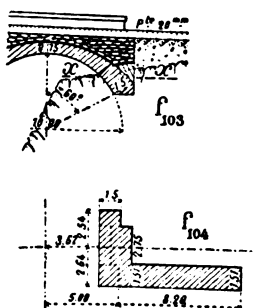
1910-12

3 arches de
20^mCulée
Miramas**Culées perdues**

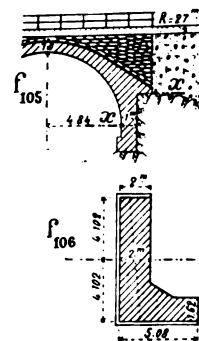
Pont de St Waast
Montauban-Castres 1882-84
5 arches de 20^m
Culée Castres



Viaduc de la Mouline
Carmaux-Rodez 1894-95
7 arches de 10^m et 1 de 17^m
Culée Rodez

**Culée butée
contre le terrain**

Viaduc du Lignon
Marvejols-Neussargues 1880-82
10 arches de 10^m
Culée Neussargues



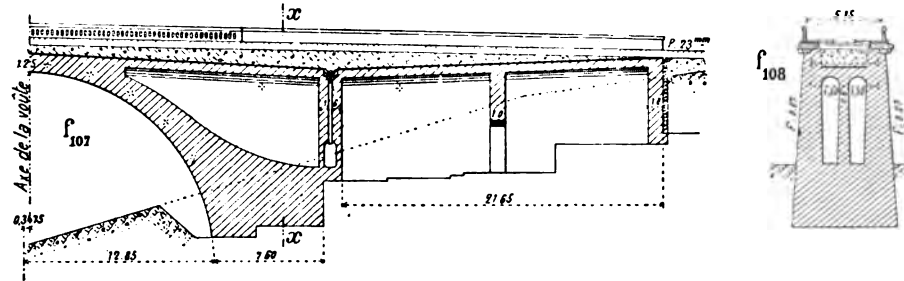
Culées élégies par des voûtes longitudinales

Coupes en long sur l'axe et coupes en travers sur ax des coupes en long — 2^m

Viaduc de Pompadour

Limoges-Brive, 1873-75 — 8 arches de 25^m

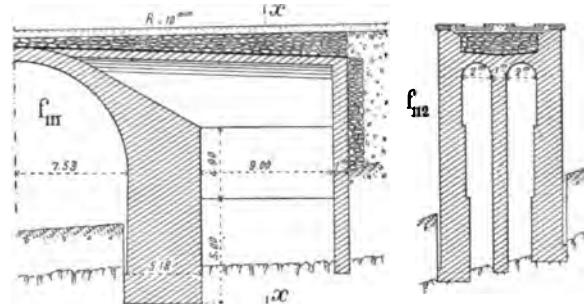
Culée Brive



Viaduc de Civrieux

Paray-le-Monial-Givors, 1903 — 3 arches de 15^m

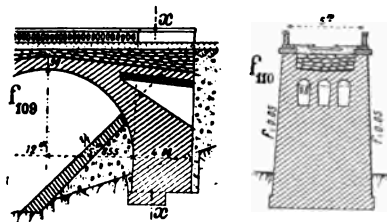
Culée Givors



Viaduc de Lègaud

Eymoutiers-Meymac, 1880-81

5 arches de 12^m

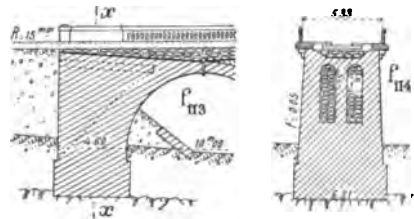


Viaduc du Bandiat

Le Quéroy-Nontron, 1882-83

3 arches de 20^m50, 6 arches de 10^m

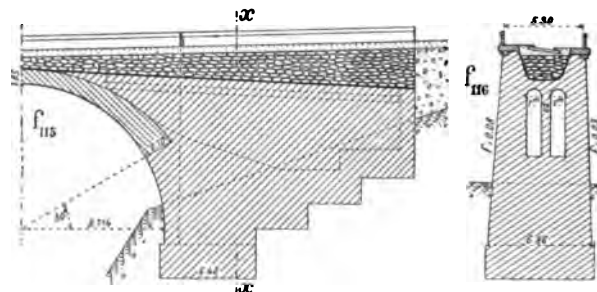
Culée Le Quéroy



Viaduc de Barajol

Bort-Neussargues, 1903-05 — 12 arches de 20^m

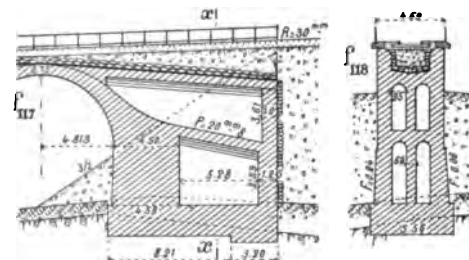
Culée Neussargues



Viaduc de Salsignac

Bort-Neussargues, 1903 — 14 arches de 10^m

Culée Neussargues

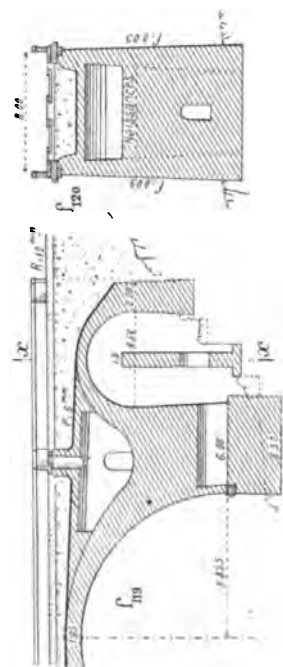


Culées élégies par des voûtes transversales cachées

Coupes en long sur l'axe et coupes en tracers sur xx des coupes en long — 2mm

Viaduc du Piou — *Mende-Sécerac* — 1878

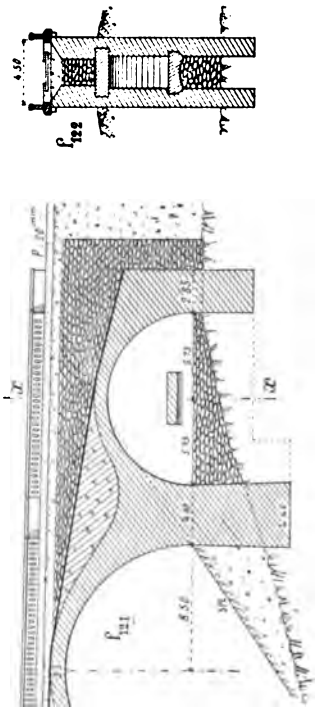
6 arches de 20m



Viaduc de Brametond — *St-Denis-Le Buisson* — 1881-82

14 arches de 17m

Culée Le Buisson

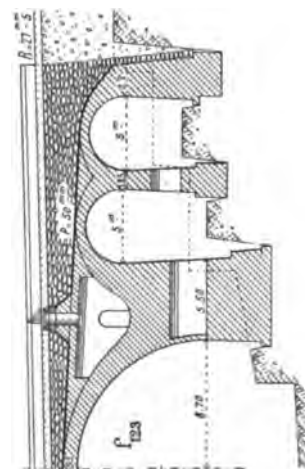


Viaduc de Sénouard

Marvejols-Neussargues — 1879-82

9 arches de 18m

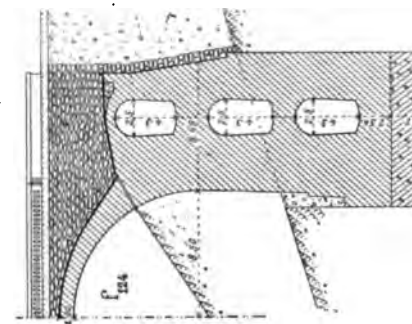
Culée Neussargues



Viaduc de St-Germain-les-Belles

Limoges à Brive par Userche, 1887-91

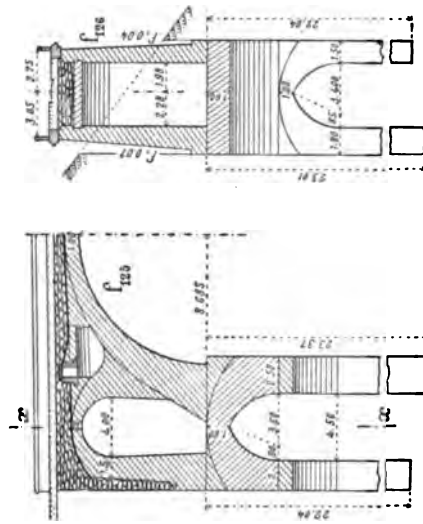
14 arches de 17m — Culée Brive



Viaduc du Bassin — *Tournemire-Le Vijan*

1886-92

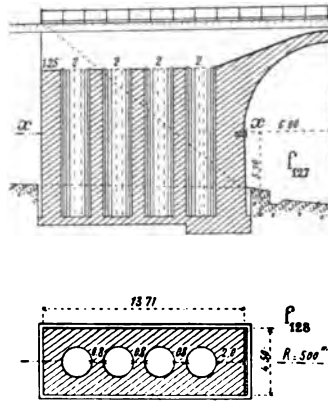
7 arches de 17m — Culée Tournemire



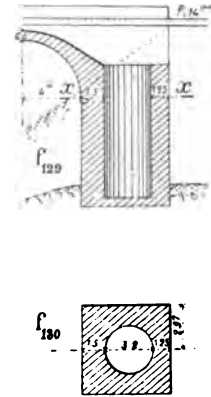
Culées évidées par des puits verticaux

Coupes en long sur l'axe et coupes horizontales sur xx des coupes en long — 2mm

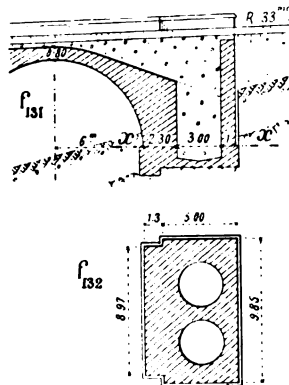
Viaduc
sur l'Auzon
Alais-Le Pouzin
1876
17 arches de 12^m
Culée Alais



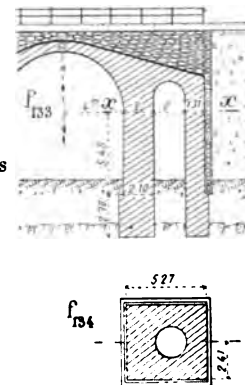
Viaduc
sur le Truel
Alais-Le Pouzin
1876
6 arches de 8^m
Culée
Le Pouzin



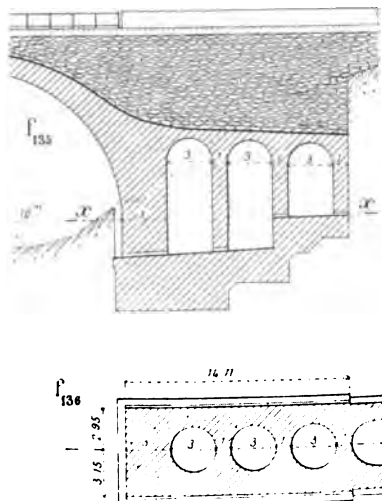
Viaduc
des Terrals
Rodez-Millau
1873-77
14 arches de 11^m96
Culée Rodez



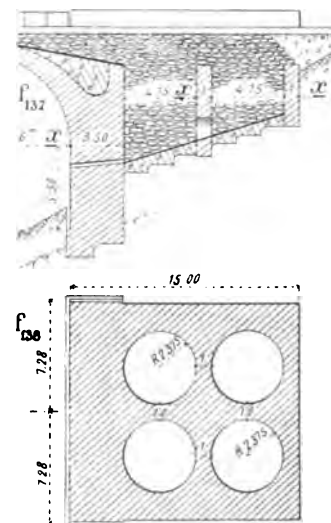
Viaduc
de Triboulin
Marvejols-Neussargues
1881-83
5 arches de 8^m
Culée Neussargues



Viaduc
de Morez
Morez-
St-Claude
1910-12
9 arches
de 20^m
Culée
St-Claude



Viaduc de
la Lavina
Nice-Coni
Projet
3 arches
de 12^m



COMMENT ON ÉVACUE L'EAU QUI TOMBE SUR LES VIADUCS

§ 1. — CHAPES

Une bonne chape doit être imperméable.

Mais, pour qu'elle demeure telle, elle doit aussi être un peu élastique, se prêter, sans se fissurer⁹⁹, aux mouvements des voûtes sous les surcharges ou aux changements de température.

Elle sera ainsi constituée : d'abord une première chape de 3^{cm} en mortier de chaux gâché sec et fortement « massivé »¹⁰⁰ ; dessus, une deuxième chape de 1^{cm}5 en asphalté^{101, 102}.

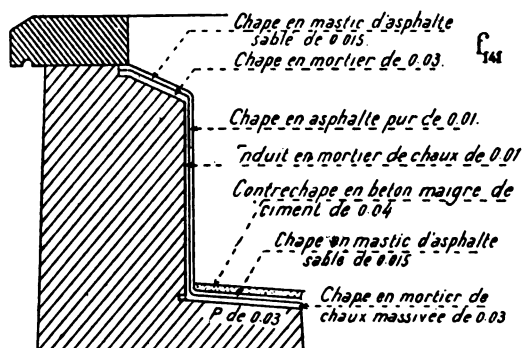
Quand l'extrados des voûtes est trop irrégulier, on l'unit avant de le « chaper », par une première couche de béton fin de 5 à 6^{cm}.

Il ne suffit pas qu'une chape soit imperméable : il faut encore que l'eau ne puisse pas entrer dessous par ses bords, par exemple par A de f_{139} : une goutte d'eau, si elle entre, traversera les maçonneries.

Il faut tout au moins l'engager dans une rainure creusée dans le tympan (f_{140}).

Mieux, on remontra la chape en asphalté le long des parements et on l'engagera sous la plinthe (f_{141}).

Pour qu'elle s'applique bien et tienne sur les parements verticaux, on la fait en asphalté pur, sans sable, et on l'étend sur un enduit de 0^m01 en mortier de chaux lissé à la « taloche »¹⁰³.



très inclinées, elle empêche l'asphalte de couler.

99. — Pas de chape en ciment ; le ciment a du retrait et se fendille.

100. — 350^k de la meilleure chaux par m. c. de sable, et 100 litres d'eau seulement. Sur l'extrados, lavé, puis épongé, mais encore humide, on applique le mortier, à l'état de sable humide ; ensuite, on le bat à la savate jusqu'à ce que l'humidité paraisse à la surface. Pour l'empêcher de sécher trop vite, on le recouvre de sable qu'on enlève après la prise.

101. — En deux couches de 7^{mm}5. La 1^{re} est en mastic d'asphalte ; la 2^e est faite de deux parties de mastic et une partie de sable lavé et sec. Pour les deux couches, on ajoute au mastic 7% de son poids de bitume.

102. — On a essayé quantité de matières : feuille de plomb entre 2 cartons bitumés (isolateur Siebel) ; asphalté armé par de la toile de jute (chape Leiss-Zuffer, appliquée sur les grandes voûtes des Alpes autrichiennes, II, p. 164) ; toile de jute enduite de bitume (« Callendrite », du nom de Callender, son fabricant, — nous l'avons employée au viaduc du Crêt-Morez-St-Claude) ;....

103. — Bouclier en bois avec un manche.

104. — La C^{re} de l'Est a employé avec succès ce procédé pour refaire la chape du viaduc de Chaumont. Elle l'applique systématiquement à ses nouveaux ouvrages.

Art. 1. — Deux chapes sur les voûtes : la première de 3^{cm}, en mortier de chaux ; la deuxième, de 1^{cm}5, en asphalté.

Art. 2. — Comment on empêche l'eau d'entrer sous la chape par ses bords.

Art. 3. — Contrechape pour protéger la chape.

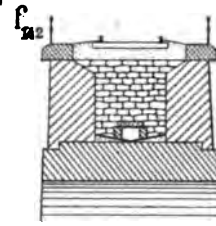
Pour protéger une chape en asphalté, ne conviennent : ni l'argile, qui arrête l'eau ; ni le sable qui, à la longue, disparaît, entraîné par l'eau ; ni les pierres plates, qui égratignent la chape.

Le mieux paraît être une couche de 0^m04 de béton très maigre : 100^k de ciment par m. c. de « gravillon » bien lavé, sans sable¹⁰⁴.

Cette contre-chape est très poreuse, — l'eau la traverse immédiatement, — et très résistante. Elle porte sans s'écraser le remplissage et les surcharges : sur des surfaces

Art. 4. — Pentes de la chape, et drains pour conduire rapidement l'eau à des points bas.

Il faut, le plus vite possible, conduire l'eau à des points bas, puis dehors. En travers, on crée, avec de la maçonnerie ou plus simplement du béton maigre, deux pentes de 0,03 à 0,05 vers un petit drain en pierres sèches de $0^m20 \times 0^m20$ (f_{142}) : il a, en long, le plus de pente possible, au moins 0,05.

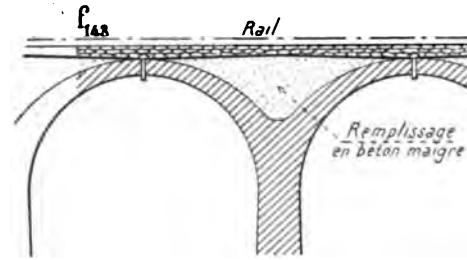


Art. 5. — Comment on fait passer l'eau à travers les voûtes¹⁰⁵.

A. — Par la clef. — Ce semble plus simple (f_{143}) : le tuyau est vertical, aussi court que possible ; les eaux ne sont pas rejetées par le vent sur la douelle.

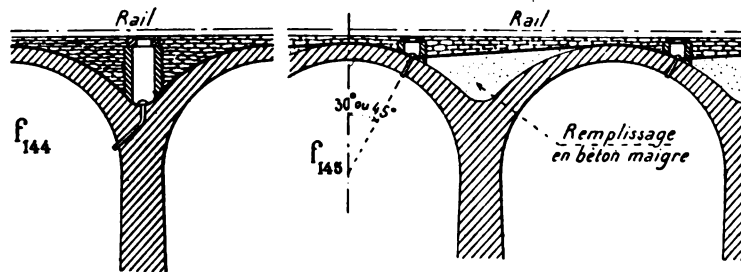
Mais, pour donner aux chapes des pentes longitudinales suffisantes, on augmente, aux dépens de l'aspect, l'épaisseur entre le rail et l'intrados des voûtes à la clef.

Sur des viaducs à très grande pente, on a quelquefois conduit toute l'eau jusqu'à la culée la plus basse ; c'est une erreur : un petit barrage de ballast terreux arrête l'eau. Il faut, au moins, un écoulement par voûte.



B. — Par les reins. — C'est le meilleur mode d'écoulement.

On a quelquefois posé directement la chape sur les extrados des voûtes (f_{144}) : ses points bas sont alors sur les axes des piles ; ils sont mieux entre 30° et 45° de la clef (f_{145}) ; l'eau est moins facilement jetée par le vent sur la douelle ou sur les piles ; la gargouille est plus courte, plus inclinée, le puits de visite moins haut.



Art. 6. — Cas de tympans évidés.

On ne fait de chape que sur les voûtes d'élégissement.

Art. 7. — Il est extrêmement important de bien faire les chapes.

L'eau, petit à petit, enlève la chaux des mortiers.

Dans des ponts à beaucoup de joints, en particulier dans des voûtes en briques, elle a produit de véritables crevasses, parce que le mortier des joints avait disparu, que des briques étaient tombées et que d'autres, constamment imbibées d'eau, avaient gelé.

C'est la chape qui conserve les ouvrages¹⁰⁶.

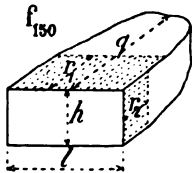
105. — On a, autrefois, conduit l'eau par un tuyau vertical placé dans l'axe des piles à un petit aqueduc traversant le pied des piles.

Pour de hauts viaducs, on avait des tuyaux très longs, impossibles à visiter, fort difficiles à déboucher. Ce dispositif n'est plus appliqué.

106. — V, p. 193.

CHAPITRE X MATÉRIAUX

§ 1. — LEUR RÉPARTITION USUELLE DANS LES DIFFÉRENTES PARTIES DU VIADUC¹⁰⁹

Désignation		Dimensions usuelles (f_{150})					Abréviations	Répartition			
		En parement		Queue	Retour d'équerre						
		Hau- teur ou Épais- seur h	Lar- geur l		Lits	Joints					
				q	r_1	r_2					
Maçonnerie de :	en blocage, sans préparation spéciale.		Plus petite dimension $\geq 0^m10$ Poids $< 40^k$					MO	Toutes les maçonneries de moellons à mortier, sauf celles qui sont spécifiées ci-dessous : gros œuvre ; remplissages ; massifs de fondation ; noyaux des piles ; corps des culées, des tympans ; parements cachés.		
	moellons ordinaires	choisis, (c'est-à-dire avec sujétion.)	en parement.	à joints incertains.	Plus petite dimension $\geq 0^m10$	$\geq 0^m20$	$\geq 0^m10$	$\geq 0^m10$	MOI ou MOH <small>suivant la carrière</small>	Parements vus des tympans, des piles, des culées sauf les angles ; parements intérieurs des regards de visite.	
				par assises horizontales grossières.	$\geq 0^m10$	$\geq 0^m20$	$\geq 0^m15$	$\geq 0^m10$			
			en voûte.	méplats, « lités » ; les lits prolongeant soit chaque lit de douelle, soit un lit sur 2, sur 3.	Plus petite dimension $\geq 0^m10$	aussi pleins que possible	0^m10	MOV	Queutage des grandes voûtes ¹¹⁰ derrière la douelle au-dessus du quart de la montée à partir des naissances ; douelle et queutage des voûtes d'élégissement.		
	moellons à face rectangulaire, les 4 arêtes dans un même plan (f_{150})			par assises horizontales	$\geq 0^m15$ $\leq 0^m25$	$1.5 h$ à $2.5 h$	$\geq 0^m30$	0^m20	0^m15	ME	Fûts des parapets. Dans les grands viaducs, parements vus des tympans, des piles, des culées, sauf les angles.
				taillés en voussoirs	Fixée par le dessin $\geq 0^m15$ $\leq 0^m25$	$1.5 h$ à $2.5 h$	$\geq 0^m30$	Pleins	0^m20	MEV	Douelle des voûtes. ¹¹¹
				moellons d'appareil	Dimensions indiquées aux dessins		Pleins			MA	Angles des piles, des culées, angles et bahuts des parapets sur culées.
	par assises horizontales	MAV	Bandeaux des voûtes (p. 54).								
	taillés en voussoirs	L	Dés pour sceller les garde-corps entre grands murs de soutènement (p. 49).								
	libages.	PT	Plinthes, sous-plinthes, corbeaux des refuges, couronnement des regards de visite, logement des crépines des gargouilles.								
	Béton	de chaux.	»					B	En fondation à la place du « MO », s'il coûte sensiblement moins.		
		de ciment.						BC^t	Autour des gargouilles.		
maigre.		BM						Entre tympans sous les chapes ; radiers des puits des culées.			
Chapes et enduits.	Chape de 0 ^m 03 d'épaisseur en mortier de chaux massivé.		»					»	Extrados des voûtes, revers d'eau des tympans et des murs en retour, radier des puits des culées.		
	Enduit 0 ^m 01 d'épaisseur en mortier de chaux taloché. de 0 ^m 02 d'épaisseur en mortier de ciment.		»					»	Parements cachés des tympans. Sur l'extrados des grandes voûtes sous les voûtes d'évidement.		
	Chape de 0 ^m 015 d'épaisseur en asphalte.		»					»	Sur les chapes en mortier de chaux de 0 ^m 03 et sur l'enduit en mortier de chaux derrière les tympans.		
	Contre-chape de 0 ^m 04 d'épaisseur en béton maigre de gravillon et de ciment (p. 79) (100 ^k de ciment pour 1 ^{me} de gravillon sans sable).		»					»	Sur la chape en asphalte des voûtes.		
	3 couches de coaltar.		»					»	Tous les parements cachés non recouverts d'une chape en asphalte.		
	Pierres sèches rangées à la main.		»					PS	Entre tympans au-dessus des chapes ; chemises derrière les culées et les murs en retour ; remplissage des puits des culées quand ils ne sont pas couverts par des voûtes.		

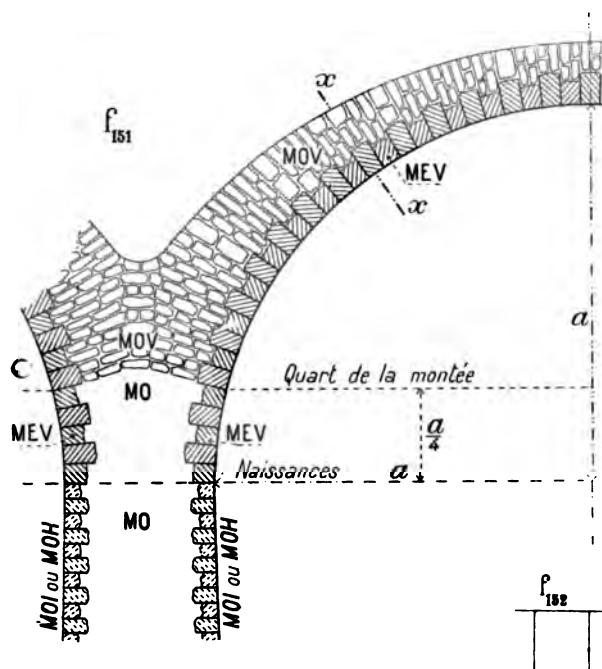
109. — Donnée pour les maçonneries des Grands ouvrages Tome V, p. 7.

110. — V, p. 18, 19.

111. — V, p. 18.

§ 2. — QUELQUES DÉTAILS D'APPAREIL

Les moellons équarris (MEV) ont leurs lits dressés normalement à la douelle sans



démaigrissement sur toute leur longueur, leurs joints retournés d'équerre sur 0^m25 au moins.

Tous les MEV d'une même assise ont la même queue. Il y aura toute une assise courte, — puis toute une assise longue.

La découpe, de 0^m10 au moins, est d'une assise à l'autre, et non entre deux moellons d'une même assise.

Une coupe suivant xx de f_{151} sera f_{152} et non f_{153} .

Avec f_{152} , on lie beaucoup mieux la douelle à son queueutage.

Art. 1. — Douelle des voutes¹¹².

Art. 2. — Assises de libages coupant les piles.

On a souvent coupé les hautes piles, tous les 8 à 10^m, par des assises de libages¹¹³.

Elles ont pour objet de mieux répartir la pression et d'arrêter, s'il s'en produisait, une fissure verticale¹¹⁴.

On a fait, sans assises de libages, de très grandes piles avec parements, soit assisés¹¹⁵, soit à joints incertains¹¹⁶.

Peut-être ne sont-elles utiles que dans les très hauts viaducs à parements non assisés, tout entiers en moellons ordinaires, surtout en béton¹¹⁷; peut-être pourrait-on les y remplacer par des assises en béton armé¹¹⁸.

112. — V, p. 18.

113. — Viaduc de la Fure, projeté en 1855 par Tony Fontenay (Ligne de Lyon à Grenoble).

Viaduc de Mussy (Ligne de Paray-le-Monial à Givors, 1892-1895): les libages des assises y sont cramponnés les uns aux autres.

On en a mis tous les 10^m environ aux viaducs des lignes de Coire à Saint-Maurice (Albula Bahn. *Denkschrift im Auftrage der Rhätischen-Bahn*, zusammen gestellt von Prof.-D' Hennings, — Coire 1908); et du lac de Constance à celui de Zurich (Bodensee-Toggenburg-Zürichsee-*Denkschrift über die Eisenbahn Verbindung Romanshorn St-Gallen-Wattwil-Uznach*, Saint-Gall, 1911, p. 94, Pl. 8, 9);

à ceux des nouvelles lignes des chemins de fer Rhétiques: Ilanz-Disentis et Bevers-Schuls, *Schweiz. Bauzeitung*, 20 avril et 4 mai 1912;

au viaduc de Castieler de la ligne de Coire à Arosa, *Schweiz. Bauzeitung*, 19 juin 1915.

114. — On a dit que les « assises de liaison », qui, elles, ne « soufflent » pas, retiennent par frottement les autres maçonneries et frentent la pile.

115. — Pompadour (Brive à Limoges) H'=55^m, Saint-Laurent (Séverac à Marvejols) H'=53^m, La Crueize (Marvejols à Neussargues) H'=63^m, Les Fades (Saint-Eloi à Pauniat) piles de 92^m sous travées métalliques.

116. — La Gascarie (Carmaux à Rodez) H'=49^m, Arquejols (Le Puy-Langogne) H'=45^m.

117. — Comme on coupe par des assises de briques des maçonneries de galets.

118. — Tranches armées de piles de viaducs construits par M. l'Ingénieur en Chef Harel de la Noë.

§ 3. — PAREMENTS

Art. 1. — Façon.**A. — Taille plate.**

On n'emploiera la taille plate que dans des villes ou quand la pierre ne permettra pas d'obtenir de bons bossages.

Les faces plates seront striées et non picotées dans tous les sens. Les stries de taille seront régulièrement espacées et toutes inclinées à 45°. Dans un ouvrage, les stries seront dans le même sens.

La pierre de taille des viaducs courants (plinthes, refuges), ne sera pas bouchardée, mais dressée à la pointe.

On ne bouchardera que le dessus des plinthes, parce qu'il sert de trottoir : des stries peuvent retenir l'eau, qui gèlerait en hiver.

Φ₁. — Viaduc du Caty¹¹⁹
taille plate



Φ₂. — Viaduc des Planches¹²⁰
bossages

**B. — Bossages.**

Les grandes surfaces plates sont ennuyeuses : il faut les accider, les égayer par des bossages (Φ₂).

Les moellons des piles et des bandeaux auront des bossages de 0^m03 ou 0^m04 ; ceux des culées, des bossages de 0^m05 à 0^m06 en moyenne ; — plus même, entre de grands rochers.

On a presque toujours taillé plats les moellons de douelle pour qu'ils s'appuient bien sur le cintre. Une douelle plate est désagréable au-dessus de piles à bossages : on y peut très bien accepter un léger bossage de 0^m02 qui impose peu de sujétion.

C. — Ciselures.

On n'entourera jamais d'une ciselure la face d'un moellon, même les moellons d'angles ; on n'en fera que pour bien dresser les arêtes des piles, des culées, de l'intrados du bandeau ; elles auront, sur chaque face, 0^m02 à 0^m03 de largeur.

Art. 2. — Couleur.

On emploiera les mêmes matériaux dans toutes les parties du viaduc. S'il en faut employer de couleurs différentes, on les distribuera au mieux pour l'aspect : des bandeaux en pierre sombre font parfois bien.

On ne fera pas d'arêtes de piles en « MA » noirs ou blancs encadrant des ME, des MO blancs ou noirs.

119. — Montauban à Castres 1883-85.

120. — Lozanne à Givors 1902-05. Le cordon et les corbeaux des naissances sont de trop.

Pour les viaducs courants, les parements des piles et tympans seront, suivant les carrières, en moellons ordinaires de choix à joints incertains (MOI), ou par assises (MOII).

Art. 3. — Piles et tympans.

Φ₁. — Viaduc d'Arquejols¹²¹
Tympans et piles en « MOI ».



Φ₂. — Viaduc de Morez¹²²
Tympans, piles, douelles en ME à bossages.



Pour la stabilité d'un très grand viaduc, on pourra les faire en moellons équarris (ME).

Mais, dans tous les cas, les tympans et les piles (tout au moins leurs faces en élévation) seront parementés avec les mêmes matériaux, c'est-à-dire tous deux en MOH ou tous deux en MOI, ou tous deux en ME. Si l'on n'avait pas assez de l'un des matériaux pour faire tous les parements, on ferait en MOII les piles, en MOI les tympans, — autant que possible, de même couleur. Peut-être conviendrait-il alors d'accepter, malgré qu'on en eût, un cordon aux naissances pour les séparer, parce qu'il est choquant de mettre l'une au-dessus de l'autre deux maçonneries différentes, sans les séparer par quelque chose. Ceci ne s'applique qu'aux piles très épaisses, aux naissances desquelles il y a un grand intervalle entre les extrados des bandeaux.

Les angles des piles et des culées ne se distingueront en rien des parements voisins : mêmes bossages, même aspect, même carrière, même couleur... Si les faces étaient en MOI, les angles resteraient en MA, mais taillés de façon à ne pas trop se distinguer des MOI (Φ₁).

Les angles n'auront *jamais* de saillie sur les parements qu'ils encadrent : elle rend confus l'aspect de l'ouvrage. Si on les fait en gros matériaux (libages, pierres de taille), on prépare des lézardes : c'est mauvais, laid, cher.

Il convient que les murs en retour soient plus rustiques, plus vigoureux que les tympans.

On y pourra mettre des moellons assisés à bossages à côté de tympans en « opus incertum » plat qui est moins ferme ; on a même, à côté de tympans en moellons assisés, revêtu des culées en « opus incertum » ; mais il y faut de gros moellons et de gros bossages.

Art. 4. — Culées.

121. — Langogne au Puy 1905-12, arches de 16^m, H' maxima 49^m.

122. — Morez-S'-Claude 1908-12, arches de 20^m, H' maxima 40-50. On n'en imitera pas les évidements.

TITRE II

DISPOSITIONS SPÉCIALES AUX VIADUCS EN COURBE

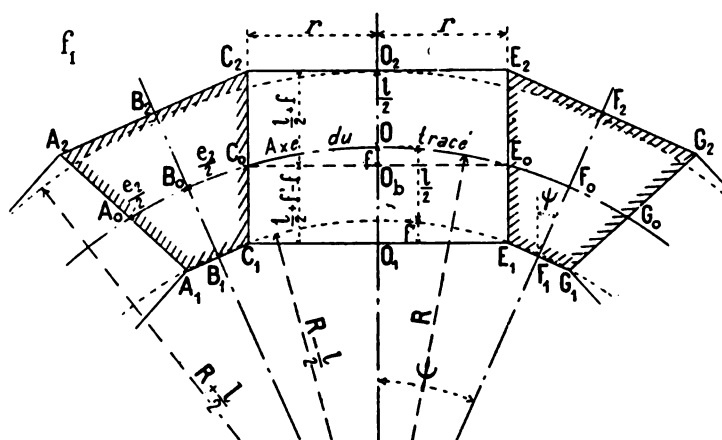
CHAPITRE I

VOÛTES EN BERCEAU — TRACÉ DES TYMPANS

§ 1. — TYMPANS A FACETTES

*CHAQUE FACETTE PLANE ET PARALLÈLE A LA CORDE DU TRACÉ
SUR LA PORTÉE DES ARCHES, OU SUR LA LARGEUR DES PILES*

Menons deux arcs concentriques au tracé, à $\frac{l}{2}$ de part et d'autre (f_1). Les polygones $A_1 C_1 E_1 G_1$ inscrit dans l'arc concave, $A_2 C_2 E_2 G_2$ enveloppant l'arc convexe, sont des horizontales des deux tym-
pans.



La section des piles aux naissances est un trapèze ; sa largeur est :

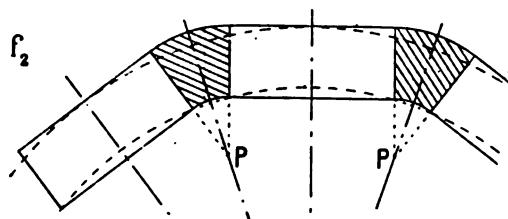
sur l'axe, e_1 ,
et très approximativement :
sur la face concave
 $e_1 - l \sin \psi$
sur la face convexe
 $e_1 + l \sin \psi$

La différence d'épaisseur des deux faces est $2l \sin \psi$.

La voûte est en berceau sur le rectangle $C_1 E_1 C_2 E_2$.

Les bandeaux sont plans.

La largeur des voûtes entre têtes est augmentée de la flèche $f = \frac{r^2}{2R}$



Les tympanes présentent une suite de facettes d'aspect peu agréable quand, — ce qui est le cas général, — elles ne sont pas dissimulées par des contreforts.

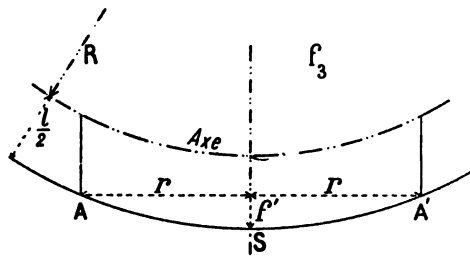
En exécution, on arrondit les angles. On peut aussi tracer les faces des piles suivant deux arcs de cercle de centre P (f_2)¹

Malgré ses défauts, c'est ce système qui a été le plus employé.

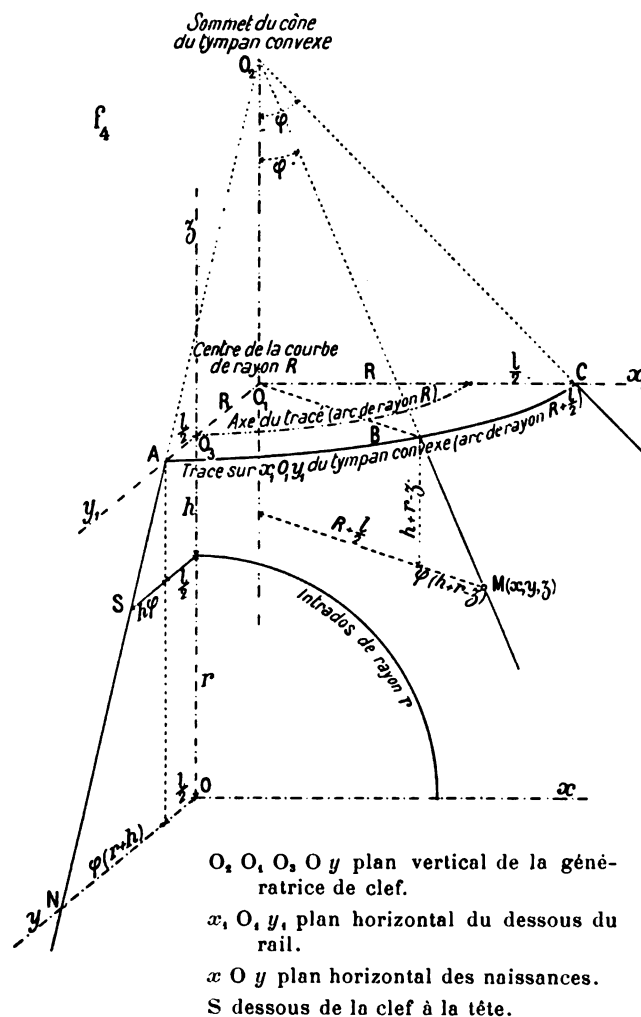
1. — Viaduc de Morez (Ligne de Morez à Saint-Claude), 1909. $2r = 20^m$, $e_1 = 4^m624$, $R = 250^m$.

**AVEC UN FRUIT SUFFISANT POUR QUE LA CLEF NE SOIT PAS EN PORTE-A-FAUX
PAR RAPPORT A UN AUTRE POINT DE L'INTRADOS**

**Art. 1. — Nécessité
de ce fruit.**


$$f' = \frac{r^2}{2R + l} \text{ ou, à très peu près : } \frac{r^2}{2R}$$

Cherchons le fruit minimum à adopter pour que, à l'intrados du bandeau convexe, la clef ne soit pas en porte-à-faux par rapport à un autre point.



**Art. 2. — Surface
conique du tympan
convexe.**

A. — Définition.

*B. — Intersection
de la surface co-
nique du tympan
convexe avec la
douelle de la voûte.*

$$x^2 + (y + R)^2 = \left[R + \frac{l}{2} + \varphi(h + r - z) \right]^2$$

$$x^2 + z^2 = r^2$$

C. — *Projection de cette intersection sur le plan vertical de la génératrice de clef (f_s, f_s).*

Eliminons x^2

$$z^2 - (R+y)^2 + \left[R + \frac{l}{2} + \varphi(h+r-z) \right]^2 - r^2 = 0$$

hyperbole à axes vertical et horizontal. Son inclinaison sur la verticale est :

$$\text{Tang } \psi = \frac{z - \varphi \left[R + \frac{l}{2} + \varphi(h+r-z) \right]}{R+y}$$

au sommet S $z=r$ $y = \frac{l}{2} + \varphi h$

$$\text{Tang } \psi_s = \frac{r}{R + \frac{l}{2} + \varphi h} - \varphi \quad \text{soit, en négligeant } \frac{l}{2} + \varphi h \text{ devant } R, \quad \frac{r}{R} - \varphi$$

aux naissances N $z=0$ $y = \frac{l}{2} + (r+h)\varphi - f' \left(\begin{array}{l} \text{flèche du tracé} \\ \text{sur la corde } 2r = \frac{r^2}{2R} \end{array} \right)$

$$\text{Tang } \psi_n = -\varphi \frac{R + \frac{l}{2} + (r+h)\varphi}{R + \frac{l}{2} + (r+h)\varphi - f'} \quad \text{soit pratiquement } \varphi, \text{ fruit de la génératrice du tympan.}$$

Si l'intrados est une ellipse de portée $2a$, de montée b , on trouve :

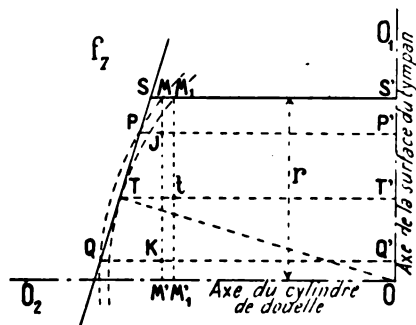
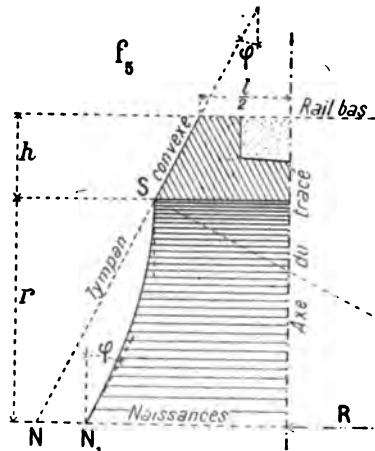
$$\text{Tang } \psi_s = \frac{a^2}{b} \left(\text{rayon de courbure à la clef} \right) - \varphi$$

Si c'est un arc de rayon r , $\text{Tang } \psi_s = \frac{r}{R} - \varphi$

Art. 3. — Condition pour qu'il n'y ait pas de porte-à-faux

A. — *La coupe en travers du tympan est une droite de fruit φ . Il faut :*

$$\varphi \geq \frac{r}{R}$$



Pour qu'il n'y ait pas de porte-à-faux, il suffit que la tangente à la clef soit verticale, c'est-à-dire que la clef soit le sommet de l'hyperbole, laquelle sera ainsi tout entière d'un même côté par rapport à cette tangente verticale (f_s).

$$\text{Soit } \varphi \geq \frac{r}{R}$$

(r rayon de l'intrados s'il est en plein cintre ou en arc, rayon de courbure au sommet s'il est en ellipse).

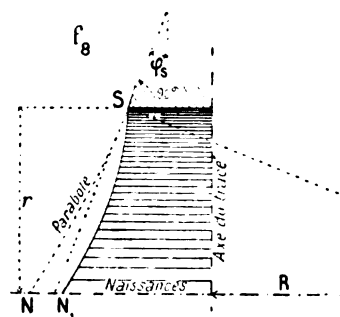
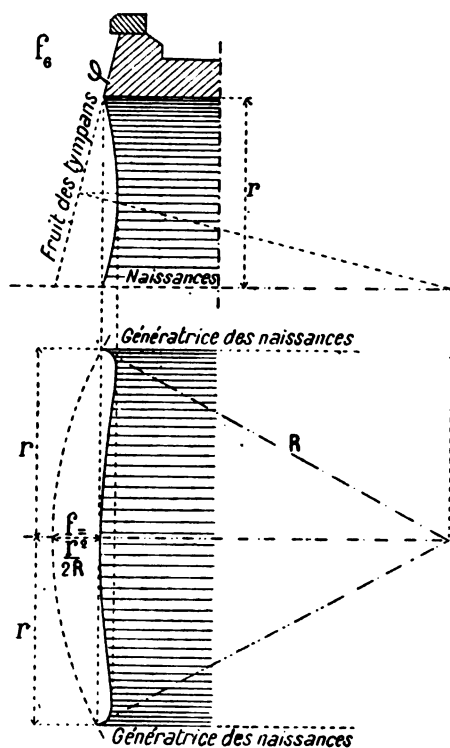
2. — En construisant l'intersection, on retrouve cette règle.

Soient : OO_2 l'axe du cylindre de douelle, OO , celui du cône du tympan (f_s). Une sphère de centre O coupe le cône suivant deux circonférences PP' , QQ' , la douelle suivant MM' : J et K sont deux points de l'intersection.

Abaissons de O la perpendiculaire OT . La sphère de rayon OT coupe le cône suivant la circonférence TT' (les deux circonférences PP' , QQ' sont réduites à une), la douelle suivant M, M' . Ces deux lignes se coupent en I .

M, M' est la tangente verticale à la projection de l'intersection, laquelle projection est tout entière à sa gauche. Ce qui est au-dessus du point I est en porte-à-faux. Le point I doit donc être au sommet

S ou plus haut : $\varphi \geq \frac{r}{R + \frac{l}{2} + \varphi h}$, pratiquement $\geq \frac{r}{R}$



On s'est quelquefois borné à supprimer le porte-à-faux de la clef, non sur tout autre point, mais seulement sur les naissances (f_s).

Il suffit alors d'un fruit qui place la clef sur la verticale des naissances :

$$\varphi \times r \text{ (montée)} \geq \frac{r^2}{2R} \text{ (flèche)}$$

$$\text{ou } \varphi \geq \frac{r}{2R}$$

C'est la moitié du fruit précédent ; mais la clef est en porte-à-faux par rapport aux reins.

Le tympan est une surface de révolution ayant pour axe la verticale du centre du tracé et pour méridienne, dans le plan vertical passant par l'axe de la voûte, la parabole SN (f_s).

Soit φ , l'inclinaison sur la verticale de la tangente à cette parabole au niveau du sommet de la voûte S,

Pratiquement,

SN, projection de la courbe de tête, est

en S, verticale pour $\varphi_s = \frac{r}{R}$

en N, parallèle à la parabole en N.

La table T₁ (Appendice 3^e partie) donne φ pour $2r$ (portée) de 4^m à 60^m, et R (rayon du tracé) de 150^m à 800^m.

Le fruit de 60^{mm} est un peu fort : on l'acceptera plutôt que de briser les tympanes. Mais, en dépit de quelques exemples contraires, on ne le dépassera pas ; un fruit plus grand est disgracieux ; de plus il oblige à donner

au moins le même fruit initial aux piles, et ainsi augmente inutilement leur cube.

On dressera le tympan convexe suivant une surface de révolution ayant pour axe la verticale du centre du tracé et pour méridienne :

soit une droite de fruit φ tel que : $\frac{r}{R} \leq \varphi \leq 60^{\text{mm}}$

soit une parabole dont la tangente sous la plinthe ait ce même fruit.

On choisira d'après les règles données p. 68 pour les viaducs en alignement droit.

3. — C'est ce qu'a fait M. Barrand, alors Ingénieur en chef, au viaduc de Revigny (arches de 12^m, en courbe de 100^m, Tramway de Lons-le-Saulnier à St-Claude et à Orgelet).

B. — La coupe en travers du tympan convexe est une parabole. — Soit φ , son fruit au niveau du sommet de la voûte. Il faut :

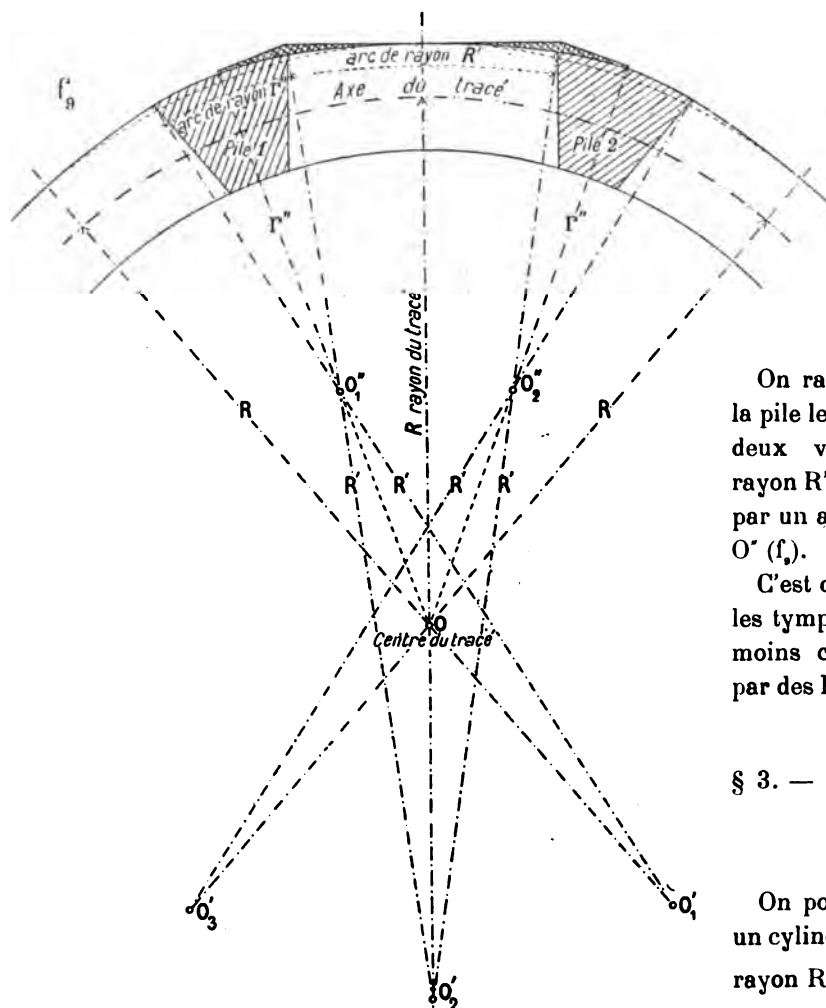
$$\varphi_s \geq \frac{r}{R}$$

Art. 4. — Tracé du tympan convexe suivant le rapport $\frac{r}{R}$.

A. — Table de $\frac{r}{R}$.

B. $\frac{r}{R} \leq 60^{\text{mm}}$.

C. $\frac{r}{R} > 60^{\text{mm}}$



Pour rayon en plan du tympan convexe, sur la portée de chaque voûte, on prend, non plus le rayon R du tracé, mais le rayon plus grand R' , tel que :

$$\frac{r}{R'} = \varphi' = 60^{\text{mm}}$$

On raccorde sur la largeur de la pile les courbes de rayon R' de deux voûtes voisines (même rayon R' , mais centres différents) par un arc de rayon r'' , de centre $O'' (f_9)$.

C'est d'un meilleur aspect que les tympan à facettes (p. 86), et moins cher du volume indiqué par des hachures croisées.

§ 3. — TYMPAN CONCAVE EN COURBE

On pourrait le dresser suivant un cylindre vertical ayant comme rayon $R - \frac{l}{2}$: il n'y aurait pas de porte-à-faux ; mais il convient pour l'aspect qu'il y ait un peu de fruit.

On le profilera comme il l'eût été en alignement ; on en pourra réduire un peu le fruit.

Si en alignement c'eût été un plan de fruit φ' , on le dressera suivant un cône (f_{10}) de ce fruit.

Son équation est (axes $O'x, O'y, O'z - xO'y$, plan des naissances) :

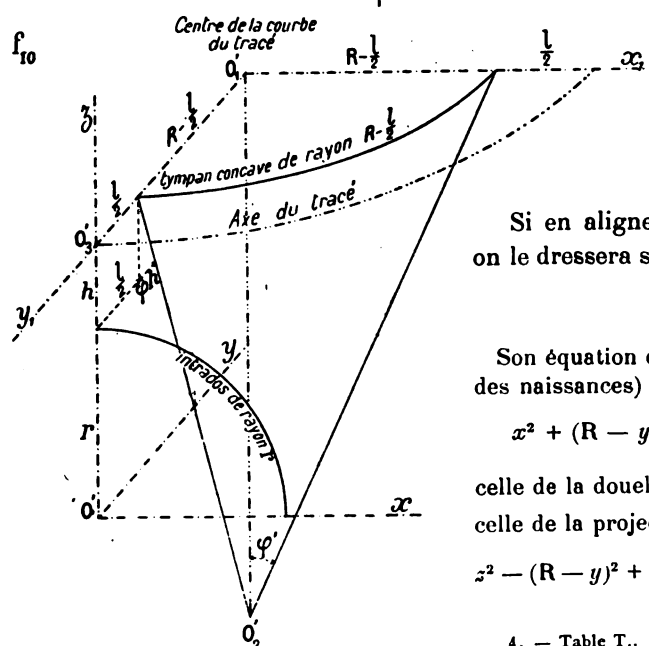
$$x^2 + (R - y)^2 = \left[R - \frac{l}{2} - \varphi' (h \pm r - z) \right]^2$$

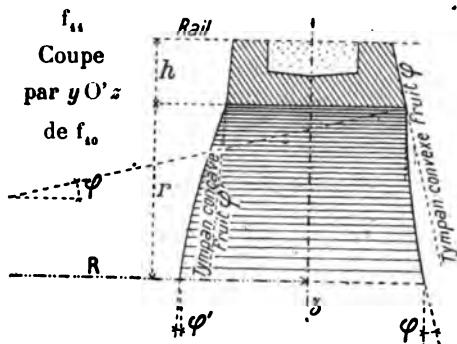
celle de la douelle $x^2 + z^2 = r^2$

celle de la projection de leur intersection sur $yO'z$:

$$z^2 - (R - y)^2 + \left[R - \frac{l}{2} - \varphi' (h + r - z) \right]^2 - r^2 = 0$$

4. — Table T₁.





Cette hyperbole est inclinée sur la verticale de :

$$\text{Tang } \psi' = \frac{z + \left\{ R - \frac{l}{2} - \varphi' (h + r - z) \right\} \varphi'}{R - y}$$

au sommet S $z = r \quad y = \frac{l}{2} + h \varphi'$

$$\text{Tang } \psi_s' = \left[\varphi' + \frac{r}{R - \frac{l}{2} \varphi' h} \right] \text{ pratiqu' } \varphi' + \frac{r}{R}$$

aux naissances $z = 0 \quad y = \frac{l}{2} + (r + h) \varphi'$

$$\text{Tang } \psi_n' = \varphi'$$

CHAPITRE II

VOÛTES NON EN BERCEAU

AVEC GÉNÉRATRICES DES NAISSANCES

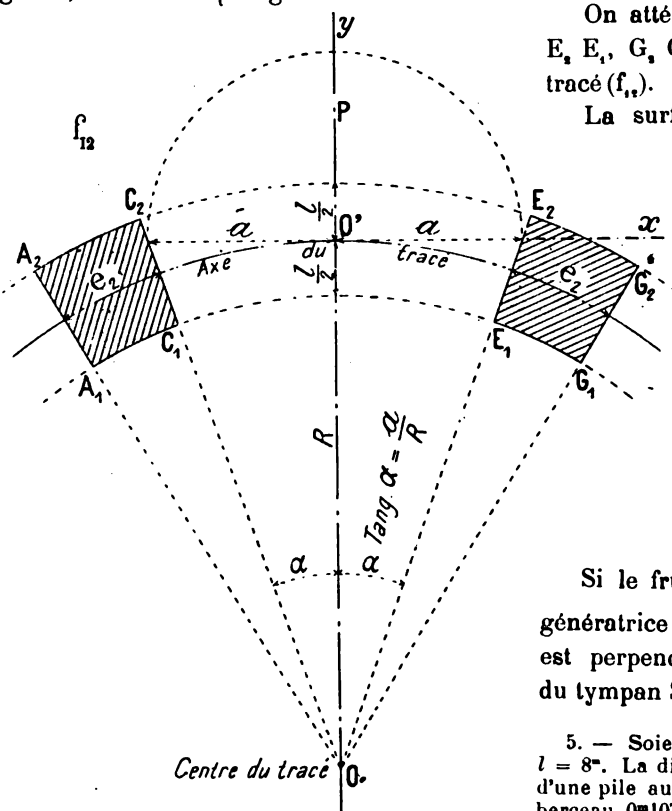
CONVERGEANT AU CENTRE DE LA COURBE DU TRACÉ

Cette différence $(f_1) E_1 G_1 - E_1 G_1$ est $2l \sin \psi$,

$$\text{soit, à peu de chose près : } \left(1 + \frac{2r \text{ (ou } 2a)}{e_1} \right) \frac{e_1 l}{R}$$

e_1 est très généralement 0,20 (2r).

La différence d'épaisseur est $6 \frac{e_1 l}{R}$: elle peut être telle que les piles soient à une tête trop grêles, à l'autre trop larges.



On atténue ce défaut en faisant converger $E_1 E_1, G_1 G_1$ sur la verticale du centre du tracé (f_{11}) .

La surface à couvrir par la voûte est le trapèze $C_1 C_2 E_1 E_2$ (au lieu du rectangle $C_1 C_2 E_1 E_2$ de f_1).

La différence d'épaisseur $E_1 G_1 - E_1 G_1$ est $\frac{e_1 l}{R}$, soit 6 fois moindre⁵.

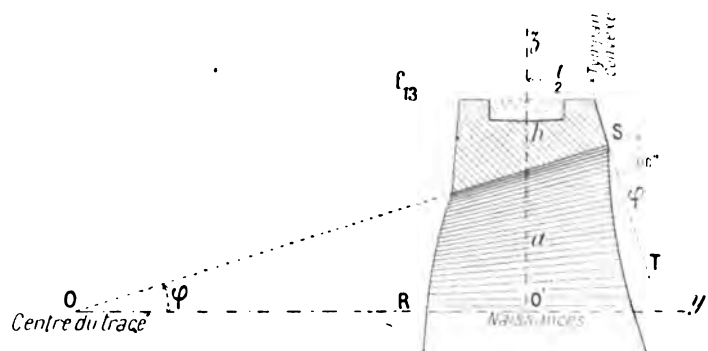
On peut dresser l'intrados suivant un cône ayant son sommet (f_{11}, f_{12}) au point O où la verticale du centre du tracé perce le plan des naissances, pour axe l'horizontale R.

Si le fruit φ du tympan convexe est $\frac{a}{R}$, la génératrice supérieure du cône d'intrados OS est perpendiculaire à la génératrice du cône du tympan ST (f_{11}) .

5. — Soient $2a = 2r = 20''$, $e_1 = 4''$, $R = 300''$, $l = 8''$. La différence entre les épaisseurs aux 2 têtes d'une pile aux naissances est 0,642 pour la voûte en berceau, 0,107 pour l'autre.

Art. 1. — Avec les voûtes en berceau, il peut y avoir une différence exagérée entre les largeurs d'une pile à chaque tête.

Art. 2. — Douelle en cône.



On trouve pour l'équation
(axes $O'x$, $O'y$, $O'z$):

de la surface du tympan con-
vexe :

$$x^2 + (R+y)^2 = \left[R + \frac{l}{2} + (a+h-z)p \right]^2$$

de la douelle :

$$x^2 + z^2 = \frac{a^2}{R^2} (R+y)^2$$

de la projection de leur intersection sur le plan $yO'z$

$$(R+y)^2 \left(1 + \frac{a^2}{R^2} \right) = z^2 + \left[R + \frac{l}{2} + (a+h-z)p \right]^2$$

L'inclinaison de cette hyperbole sur la verticale est :

$$\text{Tang } \psi = \frac{z(1+p^2) - \left(R + \frac{l}{2} \right) p - (a+h)p^2}{(R+y) \left(1 + \frac{a^2}{R^2} \right)}$$

$$\text{au sommet S} \quad z = \frac{a}{R} \left[R + \frac{l}{2} + p \frac{h - \frac{l}{2} \frac{a}{R}}{1 + p \frac{a}{R}} \right] \quad y = \frac{l}{2} + p \frac{h - \frac{l}{2} \frac{a}{R}}{1 + p \frac{a}{R}}$$

Négligeons $p \frac{a}{R}$ et p^2 , puis $p h$ devant $R + \frac{l}{2}$.

$$\text{Tang } \psi_s = - \frac{R^2}{R^2 + a^2} \left(p - \frac{a}{R} \right)$$

Pas de porte-à-faux pour $p \geq \frac{a}{R}$, même règle que pour les voûtes en berceau.

$$\text{aux naissances} \quad z = 0 \quad y = \left[R + \frac{l}{2} + (a+h)p \right] \frac{R}{\sqrt{R^2 + a^2}} - R$$

Négligeons les termes en p^2

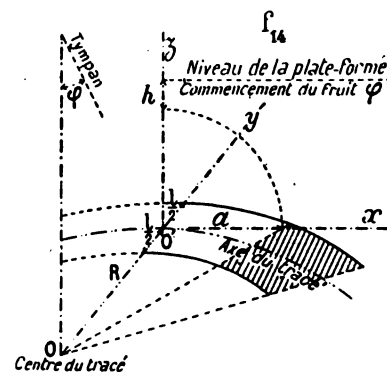
$$\text{Tang } \psi_n = - p \frac{R}{\sqrt{R^2 + a^2}}$$

Art. 3. — Douelle en conoïde.

On peut aussi dresser l'intrados suivant un conoïde à génératrices horizontales ayant pour directrices (f_{14}):

la verticale du centre du tracé;

le cercle de rayon a situé dans le plan vertical tangent à l'axe du tracé au milieu de l'ouverture de la voûte et ayant son centre au point O' , dans le plan des naissances.



On trouve pour l'équation (axes $O'x$, $O'y$, $O'z$):
 du conoïde $(R+y)^2 (a^2 - z^2) = R^2 x^2$
 de la surface du tympan convexe (comme à l'art. 2 ci-dessus)

$$x^2 + (R+y)^2 = \left[R + \frac{l}{2} + (a+h-z)\varphi \right]^2$$

de la projection de leur intersection sur le plan $yO'z$

$$(R+y)^2 \left[1 + \frac{a^2 - z^2}{R^2} \right] = \left[R + \frac{l}{2} + (a+h-z)\varphi \right]^2$$

L'inclinaison de cette courbe sur la verticale est :

$$\text{Tang } \psi = \pm \frac{R \left[R + \frac{l}{2} + (a+h)\varphi \right]}{(R^2 + a^2 - z^2)^{\frac{3}{2}}} \left[z - \varphi \frac{R^2 + a^2}{R + \frac{l}{2} + (a+h)\varphi} \right]$$

$$\text{ou, négligeant } (a+h)\varphi \text{ devant } R + \frac{l}{2}, = \pm \frac{R \left(R + \frac{l}{2} \right)}{(R^2 + a^2 - z^2)^{\frac{3}{2}}} \left(z - \varphi \frac{R^2 + a^2}{R + \frac{l}{2}} \right)$$

z varie de 0 à a . Pour que $\text{Tang } \psi$ ne change pas de signe entre ces 2 limites, il faut :

$$a \leq \varphi \frac{R^2 + a^2}{R + \frac{l}{2}} \quad \varphi \geq a \frac{R + \frac{l}{2}}{R^2 + a^2}$$

$$\text{au sommet } z=a \quad \text{Tang } \psi_s = \frac{R^2 + a^2}{R^2} \left[a \frac{R + \frac{l}{2}}{R^2 + a^2} - \varphi \right]$$

$$\text{aux naissances } z=0 \quad \text{Tang } \psi_n = \frac{R}{\sqrt{R^2 + a^2}} \varphi \quad (\text{comme pour la douelle conique})$$

$$\text{Pas de changement de signe pour } \varphi \geq a \frac{R + \frac{l}{2}}{R^2 + a^2}, \text{ soit pratiquement } \geq \frac{a}{R}$$

Les courbes de tête d'amont et d'aval ont des longueurs peu différentes, sauf pour les très grandes ouvertures.

Il n'y aura pas à prévoir d'appareil spécial : les moellons de douelle auront tous la même épaisseur : on fera converger les assises en variant, d'ailleurs de très peu, l'épaisseur des joints⁶.

Art. 4. — Sujétions d'exécution.

6. — Pour une voûte de 25^m, en courbe de 250^m, avec 195 assises de 0^m20 environ d'épaisseur, l'épaisseur des joints ne devrait varier, d'une tête à l'autre, que de 4^{mm}.

Toutes les fermes du cintre seront taillées comme la ferme de la tête concave qui est la plus petite ; on augmentera, à la demande, leur développement en clouant des fourrures sur les vaux.

Il n'est pas plus difficile d'exécuter une voûte en cône ou en conoïde qu'en berceau :

Le cône et le conoïde diffèrent très peu, surtout pour les viaducs à une voie.

Art. 5. — Fruit des piles.

On adoptera des fruits droits constants ou des fruits paraboliques, d'après la hauteur totale de l'ouvrage, comme il est spécifié p. 64.

Du côté convexe, comme le fruit des piles doit être au moins égal à celui des tympans, il sera généralement plus grand qu'en alignement droit : c'est d'ailleurs justifié pour résister à la force centrifuge.

Du côté concave, on pourra le réduire un peu. Il n'est pas indispensable d'avoir les mêmes fruits sur les deux élévations. Sans doute, on peut voir en même temps deux arêtes amont et aval d'une pile ; c'est un très léger inconvénient d'aspect pour les viaducs à une voie ; mais de très beaux ouvrages sont ainsi.

Art. 6. — Le viaduc est en courbes de rayons différents, ou en raccordement parabolique.

On adoptera pour les tympans, tout le long du viaduc, le même fruit, celui qui correspond au plus petit rayon.

CHAPITRE III

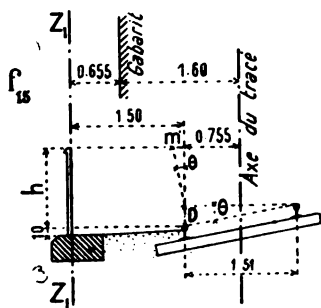
POSITION DES GARDE-CORPS

Art. 1. — Tracé des garde-corps.

Quel que soit le tracé des tympans (polygonaux ou courbes), les garde-corps seront toujours posés verticaux ; sauf dans le raccordement parabolique côté concave, ils seront parallèles à l'axe du tracé.

Art. 2. — Surécartement du côté concave.

En alignement droit, il y a 0^m655 entre le gabarit et la face intérieure du garde-corps (f_{10}).



Sur une voie en dévers D , le gabarit s'incline du côté concave de $\tan \theta = \frac{D}{1^m51}$ ou, à très peu près $= 2/3 D$.

L'espace libre au niveau du sommet du garde-corps, à h au-dessus du rail bas est réduit de : $m = \frac{2hD}{3}$

Les garde-corps ont, au plus, 1^m de hauteur : le dessus de la plinthe est à 0^m10 en contrebas du rail voisin : $h=0^m90$

$$\text{D'où : } m = \frac{2 \times 0^m90 \times D}{3} = \frac{3D}{5}$$

Le garde-corps sera donc écarté du côté concave de $3/5 D$ ou, comme $D \leq 0^m16$, au plus de 0^m096.

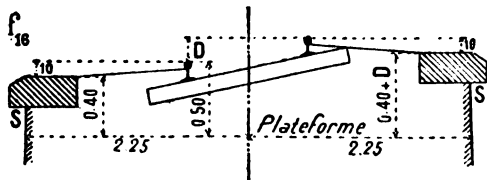
Art. 3. — Parties en courbes de rayons différents ou en raccordement parabolique.

En tous points, la distance du garde-corps à l'axe de la voie sera : $2^m255 + \frac{3}{5} D$.

En alignement comme en courbe, la distance du garde-corps à la face verticale vue de la plinthe est constante.

PLINTHES

La plinthe du côté concave sera, comme en alignement, à 0^m10 en contre-bas du rail voisin, soit à 0^m40 au-dessus de la plate-forme ; la plinthe du côté convexe sera à 0^m40 + D au-dessus de la plate-forme.



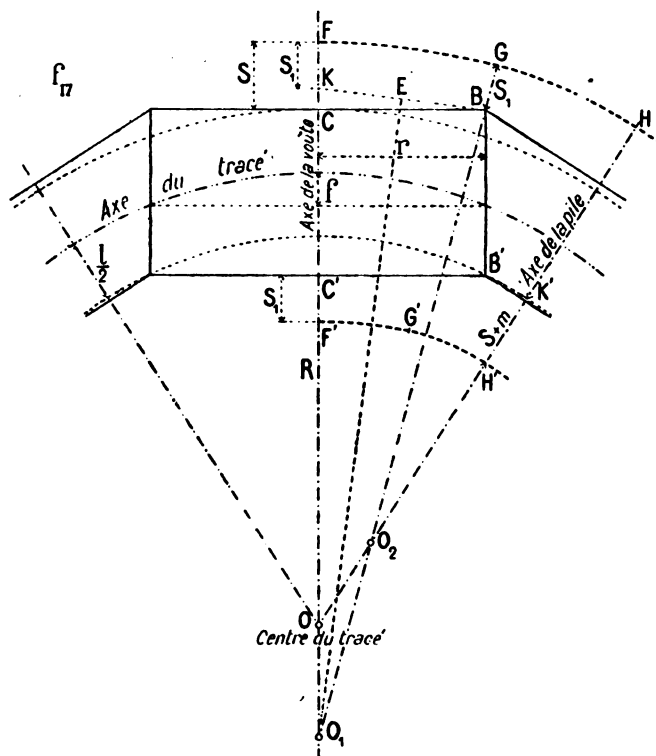
Art. 1. — Niveau.
(f_{11}).

A. — Règle commune aux deux têtes. —
Les deux plinthes seront posées en courbe, sans brisures.

Art. 2. — Tracé en plan.

B. — Côté concave. — Pour suivre le garde-corps, la plinthe sera déplacée vers le centre de la courbe et son porte-à-faux augmenté de $\frac{3}{5}D$ (p. 94). On augmentera sa queue pour qu'elle reste stable, mais non la distance du tympan à l'axe.

Supposons les tympans plans sur chaque arche et sur chaque pile (tympans à facettes p. 86)



Soient (f_{11}) :

S la saillie en alignement droit, CF' ;

S_1 la saillie minima à admettre, BG (0^m20) ;

m la surlargeur due au dévers, $\frac{3D}{5}$;

$f = \frac{r^2}{2R}$ la flèche du tracé sur la portée $2r$.

Le rayon de la plinthe sera :

$R - \frac{l}{2} - S - m$, si $S + m \geq f + S_1$
(ou $f \leq S - S_1 + m$).

Si $f > S - S_1 + m$,

on prend $C'F' = S_1$

$K'H' = S + m$.

On construit 2 arcs de cercle $F'G'$, $G'H'$ tangents entre eux, l'un passant par F' et ayant son centre sur OK , l'autre passant par H' et ayant son centre sur OH .

C. — Côté convexe. — Le rayon de la plinthe sera $R + \frac{l}{2} + S$, si $S \geq f + S_1$ ou $f \leq S - S_1$.

Si $f > S - S_1$, on prend $CK = S - S_1$; au milieu de BK , on élève la perpendiculaire EO_1 .

De O_1 comme centre, avec le rayon $O_1K + S_1$, on décrit l'axe FG .

De O_2 (rencontre de O_1G avec l'axe de la pile) comme centre, on décrit l'arc GH tangent en G à GF .

TITRE III

DISPOSITIONS SPÉCIALES AUX VIADUCS EN RAMPE

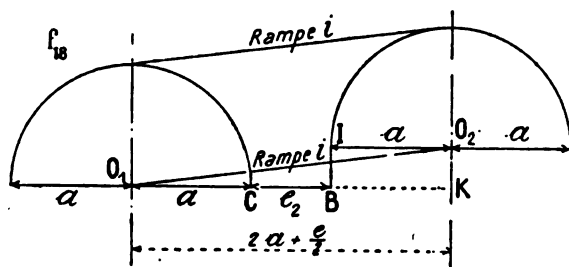
§ 1. — INTRADOS

Art. 1. — 1^{er} système.

Chaque voûte est décrite avec un rayon unique, comme en palier : les naissances, de part et d'autre d'une pile, sont à des niveaux différents (f_{12}).

Les centres sont sur une parallèle aux rails en rampe i .

Au-dessus de l'horizontale BC de la naissance C de la voûte la plus basse, on prend un élément droit : $IB = O_1K = (2a + e_2) i$.



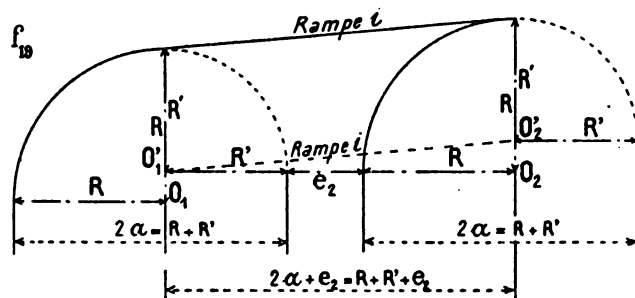
Ce petit élément ne se voit pas, si on ne met pas de cordon aux naissances, — et, pour l'aspect, il convient précisément de n'en point mettre.

A l'origine des chemins de fer, c'était le seul système appliqué, — c'est toujours le meilleur, — sauf sous très forte rampe.

J'admets, — un peu arbitrairement, — qu'on en limite l'application à 30^{mm}.

Art. 2. — 2^e système.

Les deux moitiés d'une voûte sont décrites avec un rayon différent : les naissances, de part et d'autre d'une pile, sont au même niveau (f_{12}).



$$\begin{cases} R + R' = 2a \\ R - R' = (2a + e_2) i \end{cases}$$

$$\begin{cases} R = a + i \left(a + \frac{e_2}{2} \right) \\ R' = a - i \left(a + \frac{e_2}{2} \right) \end{cases}$$

Le sommet de la voûte n'est pas au milieu, — les deux 1/2 voûtes et leurs cintres ne sont pas symétriques, — on ne peut pas retourner les fermes des cintres.

8. — V, p. 81.

9. — Exemple : Viaduc de la Crueize (Ligne de Marvejols à Neussargues) :

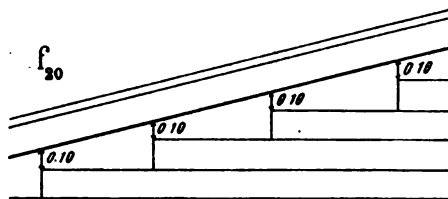
$$\begin{aligned} 2a &= 25^m & e_2 &= 5^m20 & i &= 0^m0275 & \left(a + \frac{e_2}{2} \right) i &= 0^m415 \\ R &= 12^m915 & R' &= 12^m085 & R - R' &= 0^m830. \end{aligned}$$

Il y a donc un peu plus de sujétion dans la taille, l'assemblage et le « rempli » des cintres.

Il a été et est encore fort employé.^{10, 11}

§ 2. — TYMPANS ET CULÉES EN MOELLONS ASSISÉS

Dans les viaducs en rampe, les assises des tympans, si elles sont horizontales, rencontrent le dessous de la plinthe sous un angle très aigu.

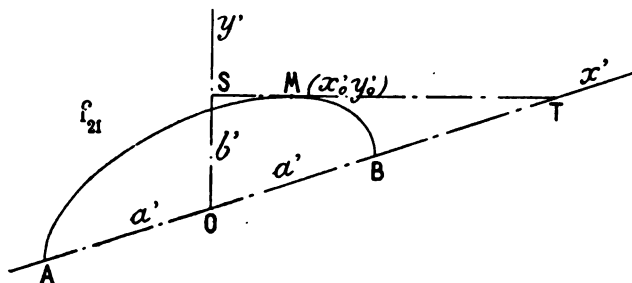


Souvent, on s'est borné à recouper les becs de flûte par les moellons de l'assise inférieure (f_{10}).

Mais il vaut mieux, incliner progressivement les assises à partir des naissances, de telle sorte que l'assise sous la plinthe ait la même pente¹².

10. — Grands viaducs des lignes de Limoges à Brive par Pompadour, — de Séverac à Neussargues....

11. — Si la rampe est très forte (chemin de fer à crémaillère, funiculaire), on peut prendre pour l'intrados une ellipse ayant comme diamètres conjugués la ligne des naissances et une verticale (f_{11}) (Tome V, p. 82); son équation est:



$$\frac{x'^2}{a'^2} + \frac{y'^2}{b'^2} = 1$$

$$MT, \text{ tang en } M(x', y') \left\{ \begin{array}{l} OT = \frac{a'^2}{x'} \\ OS = \frac{b'^2}{y'} \end{array} \right.$$

12. — Viaduc de Pompadour (Brive-Limoges) 1873-75.

TITRE IV

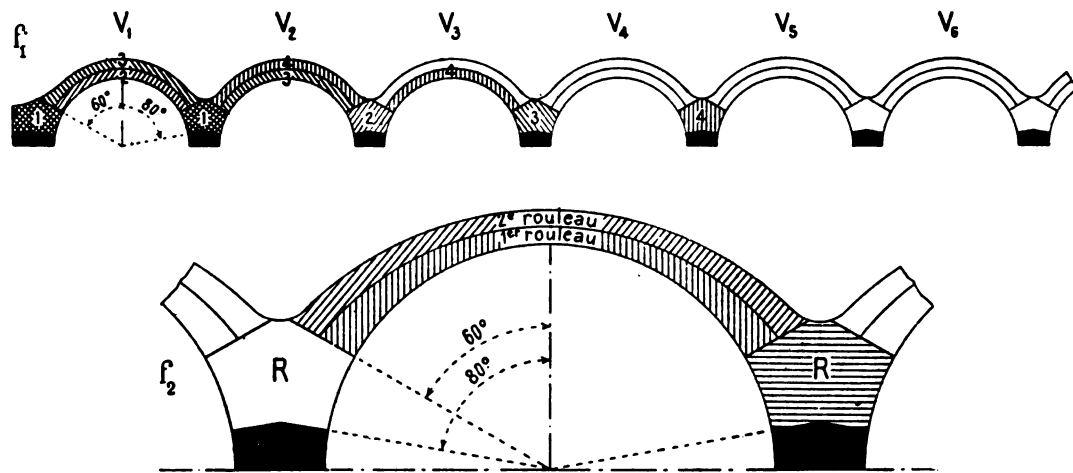
VIADUC A UN GRAND NOMBRE D'ARCHES NOMBRE DE CINTRES¹ EXÉCUTION DES VOÛTES « EN CASCADE »

Pour tracer ces quelques schémas d'exécution, on a dû faire force hypothèses : ce ne sont que de simples indications.

Art. 1. — Avec 5 cintres.

Avant de commencer la voûte V_1 , on « lève » les cintres de V_1 , V_2 , V_3 , (f_1), — puis, à temps, ceux de V_4 et V_5 .

J'admets qu'il faille le même temps pour exécuter : la retombée R (f_1) entre 60° et 80° , le 1^{er} rouleau, le 2^e.



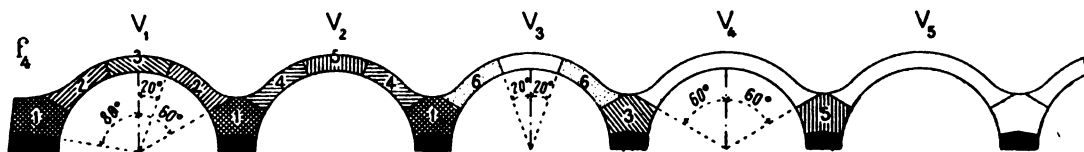
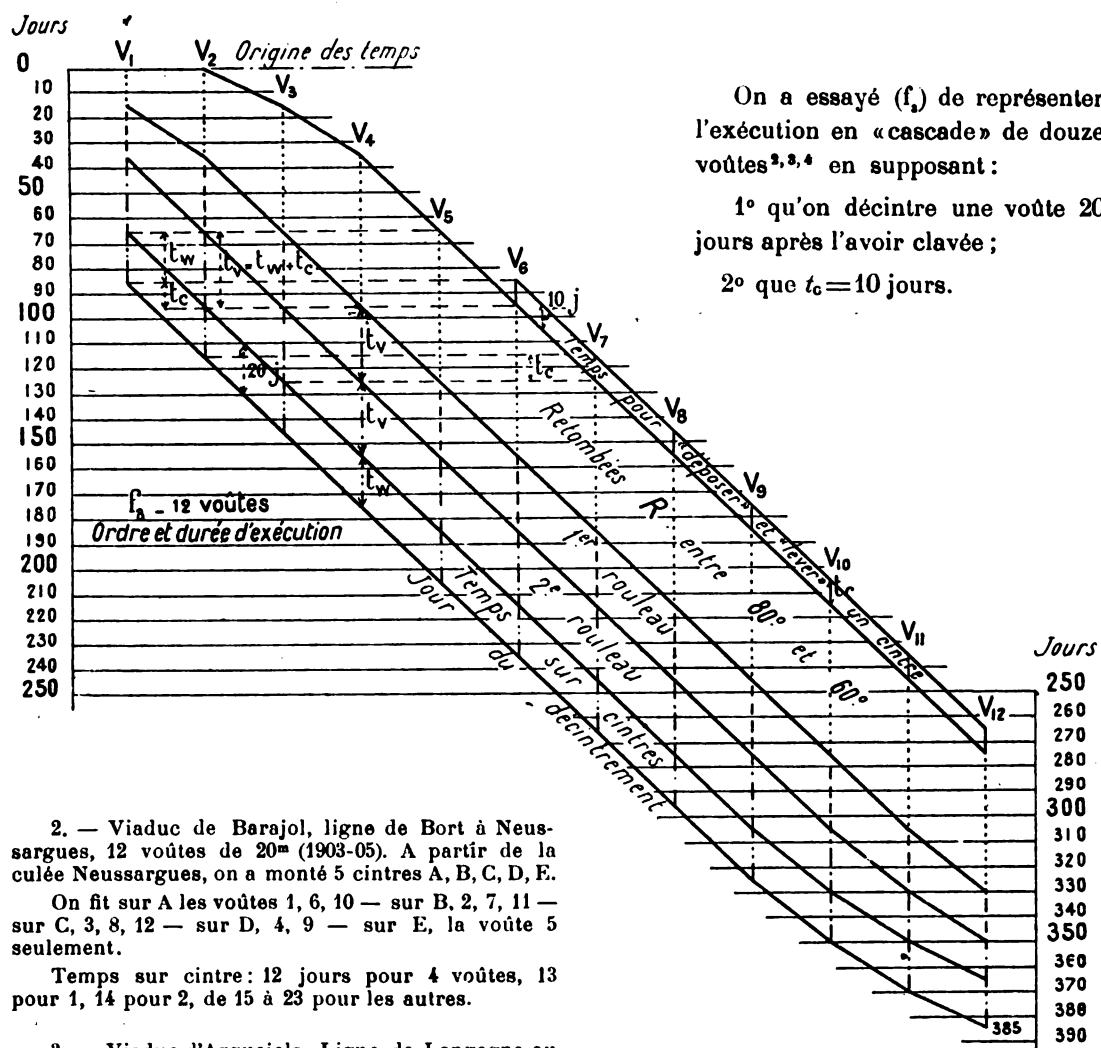
Il y a trois équipes de maçons, M_1 , M_2 , M_3 . Dans le même temps, M_1 fait le 2^e rouleau de la voûte n (par ex. V_1), M_2 le 1^{er} de la voûte $n+1$ (V_2), M_3 la retombée commune aux deux voûtes $n+2$, $n+3$ (V_3 , V_4).

Le jour du décintrement de la voûte n (par ex. V_1), le 2^e rouleau de la voûte $n+1$ (V_2) et le 1^{er} de $n+2$ (V_3) sont en cours : la retombée de V_{n+2} et V_{n+3} (V_3 , V_4) est achevée, celle de V_{n+3} , V_{n+4} (V_4 , V_5) en cours.

Soit t_0 le temps nécessaire pour « déposer » et « lever » un cintre.

t_0 après le décintrement de la voûte n (V_1), son cintre est prêt pour V_{n+5} (V_6) : le 2^e rouleau de V_{n+1} (V_2) et le 1^{er} de V_{n+2} (V_3) sont clavés : les retombées de V_{n+2} , V_{n+3} (V_3 , V_4) et V_{n+3} , V_{n+4} (V_4 , V_5) achevées.

1. — V. p. 156, 157.



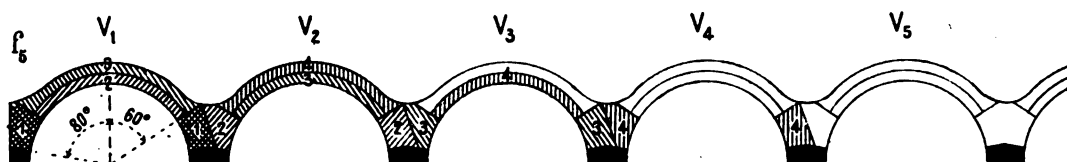
Quand on décintrait une voûte V_n (V_1), V_{n+1} (V_2) était clavée — les maçonneries étaient élevées :

- pour V_{n+2} (V_3), à 20° de la clef, de chaque côté ;
- pour V_{n+3} (V_4), à 60° de la clef, de chaque côté ;
- pour V_{n+4} (V_5), à 60° de la clef, mais à gauche seulement.

Art. 2. — Avec 4 cintres.

On est moins à l'aise. Il faut accepter quelque inconvénient.
On peut choisir deux ordres d'exécution :

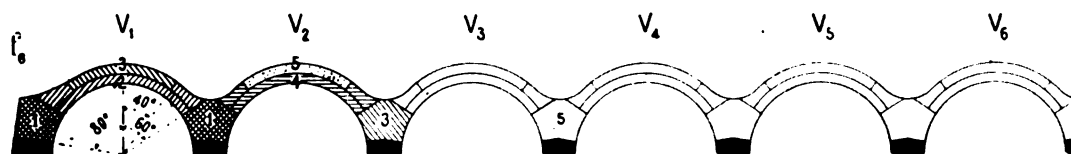
A. — On accepte de faire en deux fois le massif de retombée commun à deux voûtes (f_2).⁵



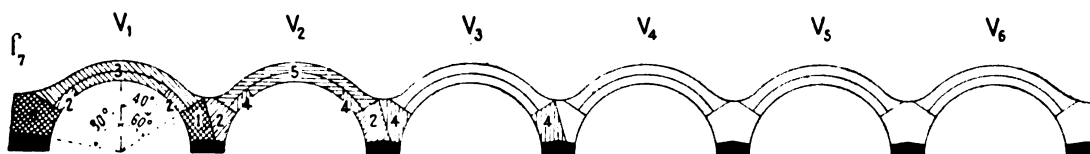
L'ordre d'exécution est le suivant :

Voûte n°	Etat d'avancement simultané de 4 voûtes se suivant :		
n	1 ^{er} rouleau clavé	2 ^e rouleau clavé	décintrée
$n+1$	Retombées montées à 60° de la clef	1 ^{er} rouleau clavé	2 ^e rouleau clavé
$n+2$	»	Retombées montées à 60° de la clef	1 ^{er} rouleau clavé
$n+3$	»	»	Retombées montées à 60° de la clef.

B. — Ou bien on accepte de claver une voûte n avant d'avoir construit le 1^{er} rouleau de la voûte $n+1$ (f_2).⁶

**Art. 3. — Avec 3 cintres.**

Il faut accepter à la fois ces deux inconvénients : de faire en deux parties la retombée commune à deux voûtes, de claver une voûte n avant d'avoir construit le 1^{er} rouleau de $n+1$ (f_2).⁷

**Art. 4. — Avec 6 cintres.**

On emploie six cintres,⁸ et plus,⁹ quand on veut aller vite.

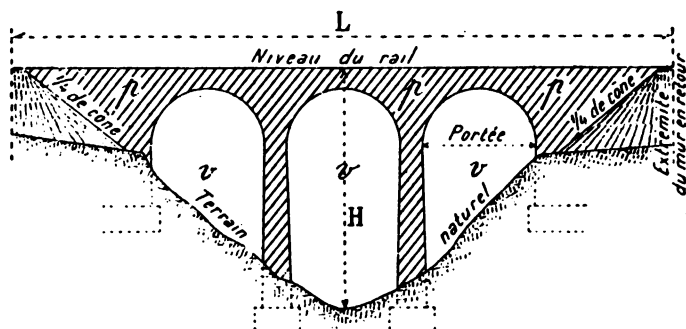
5. — Viaduc de la Gascarie — Ligne de Carmaux à Rodez, 12 voûtes de 20^m (1894-97) ;
Viaduc du Plô — Ligne d'Espalion à Bertholène, 7 voûtes de 17^m (1903-04) ;
Viaduc de l'Oued Beja (Tunisie), 4 cintres pour 12 voûtes de 21^m (1908-10).
6. — Viaduc de Morez — Ligne de Morez à Saint-Claude, 9 voûtes de 20^m (1909-12).
7. — Viaduc de la Bargeasse — Ligne de Langogne au Puy, 6 voûtes de 10^m (1906).
8. — Viaduc de Saint-Florent — Ligne d'Issoudun à Saint-Florent, 14 voûtes de 30^m (1889-92) ;
Viaduc de l'Auzon — Ligne d'Argenton à La Châtre, 20 voûtes de 20^m (1896-1900).
9. — Viaduc de la Bassera — Ligne de Nice à Coni, 7 voûtes de 12^m, 7 cintres (1913-14).

TITRE V

CUBES ET DÉPENSES

CHAPITRE I

UNITÉS ADOPTÉES



Soient :

S_e — la surface vue d'élévation entre le rail, les $1/4$ de cône et le terrain ^{1, 2} ;

p — la surface du plein en élévation ;

v — celle du vide,

$$p + v = S_e ;$$

Q — le cube de maçonnerie à mortier du viaduc ;

D — sa dépense.

$Q : S_e$ — est le cube par mq d'élévation (vides et pleins ensemble) ;

$D : S_e$ — est la dépense par mq d'élévation.

1. — Pour une première approximation grossière d'avant-projet, on peut admettre que S_e est $0,6 L H$ (c'est-à-dire plus grande que le triangle $1/2 L H$, plus petite que la parabole $\frac{2}{3} L H$).

2. — Pour les ouvrages étudiés aux Tomes I à IV, — en général ouvrages bas, sous route ou sous rail, c'est-à-dire de largeurs entre parapets très variables, — on a rapporté les quantités et dépenses :

1° à la surface offerte à la circulation $S_p = L \times (\text{Largeur entre parapets})$, — surface utile ;

2° au volume $W = S_e \times (\text{Largeur entre parapets})$, — volume « utile ». (Avertissement en tête des Tomes I à IV).

Pour les viaducs sous chemin de fer, ouvrages hauts, de largeur entre parapets à peu près fixe (4^m50 pour une voie, 8^m pour deux voies), il est plus pratique de rapporter à S_e les quantités et dépenses.

3. — $D : S_e$ varie beaucoup suivant les lieux, les dates, la difficulté des fondations.

On a proposé pour $D : S_e$:

Viaducs à une voie : $60' + 0,8 H$;

Viaducs à deux voies : $80' + H$.

Mais il y a de très grands écarts par rapport à ces moyennes.

CUBES ET DÉPENSES PAR UNITÉ

§ 1. — VIADUCS A DEUX VOIES

TABLEAU SYNOPTIQUE

Ligne Date	Viaduc de :	Hau- teur maxima H	Lon- gueur L	Arches		En élévation				Prix moyen du m. c. de maçon ⁿ $\frac{D}{Q}$
				Nom- bre	Portée	Rapport du vide v		Par mètre carré		
						à la sur- face totale $\frac{v}{S}$	au plein $\frac{v}{p}$	Cube de maçon ⁿ $\frac{Q}{S}$	Dépense $\frac{D}{S}$	
Nantes à Brest 1859 à 1866	l'Aulne.....	54.00 ^m	357.00 ^m	12	22.00 ^m	0.68	2.13	3.46 ^{mc}	154.00 ^f	44.00 ^f
	Pont-de-Buis.....	41.60	222.00	9	18.00	0.64	1.90	3.67	154.00	42.00
	Daoulas.....	38.10	357.00	15	18.00	0.57	2.04	3.51	135.00	38.00
	Quimperlé.....	31.35	156.60	7	15.00	0.62	1.64	3.46	134.00	39.00
	Auray.....	29.00	206.00	10	15.00	0.64	1.74	3.88	152.00	39.00
	Hennebont.....	27.37	222.00	5	22.00	0.64	1.80	3.63	197.00	54.00
		6	10.00							
	Châteaulin.....	24.20	117.00	7	12.00	0.61	1.58	3.63	112.00	31.00
	Moyennes.....					0.63	1.70	3 ^{mc} 42	143 ^f .20	41 ^f .90
	Marvejols à Neussargues 1879 à 1888	Crueize.....	63.30 ^m	218.78 ^m	6	25.00 ^m	0.68	2.15	3.78 ^{mc}	176.70 ^f
Sénouard.....		43.00	231.10	9	18.00	0.67	2.05	4.33	166.70	38.50
Chanteperdrix.....		42.00	238.34	9	20.00	0.67	2.00	3.91	173.00	44.20
Merdarie.....		22.90	86.76	2	20.00	0.53	1.14	5.84	224.90	38.50
Lignon.....		19.90	129.58	10	10.00	0.61	1.54	3.22	136.20	42.30
Maison-Rouge.....		15.30	77.74	4	8.00	0.54	1.17	5.45	213.00	39.20
		1	15.00							
Chapchiniès.....		13.17	51.25	4	8.00	0.58	1.38	5.02	170.80	34.10
Moyennes.....						0.66	1.93	4 ^{mc} 09	173 ^f .60	42 ^f .40
Cahors à Brive 1881 à 1889		Boulet.....	37.00 ^m	476.00 ^m	26	15.00 ^m	0.71	2.50	3.52 ^{mc}	142.00 ^f
	Souillac.....	32.47	571.13	30	15.00	0.71	2.50	3.48	129.00	37.10
	Sorbier.....	28.30	113.72	9	10.00	0.70	2.38	2.80	94.00	33.60
	Lamothe.....	25.90	313.95	15	15.00	0.63	1.70	4.67	141.00	30.20
	Planche-Torte.....	23.00	184.00	15	10.00	0.70	2.33	3.71	127.00	34.20
	Lignyroux.....	21.75	101.60	8	10.00	0.67	2.00	4.22	137.00	32.50
	Marjaudes.....	21.70	227.60	14	10.00	0.74	2.80	2.94	109.00	37.10
	Présignac.....	21.70	150.00	12	10.00	0.66	1.93	3.50	126.00	35.90
	Calamane.....	21.30	308.00	25	10.00	0.72	2.53	3.95	112.00	28.20
	Saint-Denis.....	20.00	81.22	7	8.00	0.68	2.08	7.46	196.00	26.30
	Lamoureux.....	19.50	118.00	9	10.00	0.67	2.00	6.01	175.00	29.00
	Moyennes.....					0.70	2.29	3 ^{mc} 83	132 ^f .50	34 ^f .60
	Limoges à Brive par Uzerche 1886 à 1892	Saint-Germain-les-Belles....	48.38 ^m	300.00 ^m	14	17.00 ^m	0.60	1.53	4.30 ^{mc}	109.70 ^f
Vigen.....		44.60	210.00	10	16.00	0.66	1.97	3.92	114.70	29.30
Pierre-Buffière.....		42.00	211.00	11	15.00	0.67	2.07	3.65	121.80	33.30
la Pélissérie.....		32.60	114.00	7	12.00	0.65	1.87	3.34	105.80	31.60
Limoges.....		31.50	423.40	23	15.00	0.69	2.22	2.98	100.10	33.70
Clan.....		25.14	168.80	13	10.00	0.65	1.87	2.91	102.60	35.20
la Rozelle.....		16.70	73.20	5	10.00	0.58	1.39	4.29	126.30	29.40
Moyennes.....						0.66	1.88	3 ^{mc} 61	110 ^f .30	30 ^f .50

TABLEAU SYNOPTIQUE

Ligne Date	Viaduc de :	Hau- teur maxima H	Lon- gueur L	Arches		En élévation				Prix moyen du m. c. de maçon ⁿ D Q	
				Nom- bre	Portée	Rapport du vide <i>v</i>		Par mètre carré			
						à la sur- face totale $\frac{v}{S_0}$	au plein $\frac{v}{p}$	Cube de maçon ⁿ $\frac{Q}{S_0}$	Dépense $\frac{D}{S_0}$		
Argenteuil à Mantes 1888 à 1892	Sur le grand ravin de La Frette.	22.40 ^m	96.00 ^m	7	10.00 ^m	0.66	1.91	3.68 ^{mc}	132.10 ^f	35.90 ^f	
	Maurecourt.....	15.31	52.57	3	11.00	0.52	1.06	4.43	134.50	30.40	
	la Montcient.....	13.39	48.60	3	11.50	0.56	1.25	6.48	299.10	46.10	
	Sur le petit ravin de La Frette.	11.77	33.30	3	7.00	0.51	1.05	3.87	112.60	31.20	
	Bas-Vals	11.43	85.80	3	20.00	0.47	0.88	4.65	226.30	48.70	
	Triel	8.63	72.15	6	5.10	0.50	1.01	6.57	216.70	33.00	
			1	8.00							
			1	9.00							
		Moyennes.....					0.56	1.28	4 ^{mc} 63	178 ^f .30	38 ^f .50
	Bourges à Cosne 1889 à 1893	Saint-Satur.....	27.80 ^m	428.05 ^m	26	13.00 ^m	0.66	1.98	4.38 ^{mc}	117.50 ^f	26.90 ^f
Ménétréol.....		19.30	190.20	15	10.00	0.65	1.82	4.05	119.50	29.50	
Thauvenay		15.26	45.83	3	10.00	0.61	1.56	10.30	241.70	23.50	
Moultonneaux.....		15.54	38.48	3	8.50	0.62	1.60	7.00	152.20	21.70	
Moyennes.....						0.66	1.91	4 ^{mc} 57	123 ^f .10	26 ^f .90	
Issoudun à Saint-Florent 1889 à 1893	Saint-Florent.....	21.60 ^m	524.46 ^m	14	30.00 ^m	0.73	2.75	3.05 ^{mc}	121.00 ^f	39.70 ^f	
							†				
Paray-le-Monial à Lamure 1892 à 1899	Mussy.....	59.76 ^m	501.00 ^m	18	25.00 ^m	0.68	2.15	4.03 ^{mc}	128.60 ^f	31.90 ^f	
	Villon.....	31.50	155.00	8	15.00	0.64	1.81	3.20	77.90	24.30	
	la Boucle	29.00	130.00	4	12.00	0.53	1.14	4.13	105.40	25.50	
			2	20.00							
	Chez Aulas	26.65	128.00	8	12.00	0.63	1.73	3.37	94.00	27.90	
	la Foraize.....	25.00	119.00	6	15.00	0.57	1.33	3.51	95.40	27.20	
	Collier	24.60	121.00	7	12.00	0.62	1.61	3.58	100.00	28.00	
	Montveneur.....	24.50	127.00	6	15.00	0.59	1.43	3.55	88.10	24.80	
la Grange-Neuve.....	20.00	109.00	5	15.00	0.58	1.39	3.99	108.60	27.30		
	Moyennes.....					0.65	1.85	3 ^{mc} 85	114 ^f .60	27 ^f .80	

TABLEAU SYNOPTIQUE

Ligne Date	Viaduc de :	Hau- teur maxima H	Lon- gueur L	Arches		En élévation				Prix moyen du m. c. de maçon"	
				Nom- bre	Portée	Rapport du vide v		Par mètre carré			
						à la sur- face totale $\frac{v}{S_0}$	au plein $\frac{v}{p}$	Cube de maçon" $\frac{Q}{S_0}$	Dépense $\frac{D}{S_0}$		
Mirasmas à L'Estaque 1910 à 1914	l'Etable	38.89 ^m	90.74 ^m	1	25.00 ^m	0.44	0.79	3.71 ^{mc}	150.27 ^f	40.53 ^f	
	Aragnols.....	37.54	112.00	3	20.00	0.57	1.32	3.72	155.85	41.88	
	Jonquier	37.00	137.60	1	30.00	0.61	1.53	3.28	161.77	49.25	
	la Vesse.....	35.38	168.00	6	20.00	0.64	1.79	2.48	192.50	79.73	
	Méjean.....	34.50	122.40	5	15.00	0.61	1.55	3.30	142.43	43.12	
	Riaux.....	33.00	178.90	8	15.00	0.48	0.92	3.83	151.74	39.61	
	Mauvallon.....	31.40	154.50	6	15.00	0.54	1.20	3.07	136.45	44.42	
	Loubatons.....	30.83	182.30	7	15.00	0.51	1.05	3.09	131.58	42.58	
	la Baume de Lume.....	27.90	61.10	3	13.00	0.54	1.19	2.33	118.04	50.73	
	l'Aigle	27.60	107.50	4	15.00	0.50	1.01	4.28	224.66	52.52	
	la Corbière	27.18	226.62	6	6.50	0.57	1.30	3.21	128.62	40.13	
	Verdon.....	26.40	115.00	6	20.00	0.64	1.76	2.84	114.44	42.62	
	Grand Vallat.....	20.30	151.00	8	15.00	0.62	1.60	3.52	205.53	58.41	
	la Réraille.....	19.60	99.00	5	15.00	0.59	1.43	3.25	162.99	50.13	
	Vauclair	11.50	64.50	5	8.00	0.38	0.60	2.75	137.84	50.17	
	Piche	11.00	53.00	5	8.00	0.23	0.29	4.46	243.00	54.40	
	Moyennes.....						0.56	1.27	3 ^{mc} 24	155 ^f .40	48 ^f .02
	Moyennes générales sur 67 viaducs ayant ensemble 267.100 ^m de surface d'élévation totale, 983.396 ^{mc} de maçonnerie à mortier, ayant coûté 36.274.984 fr.						0.65	1.82	3.68 ^{mc}	135.81 ^f	36.89 ^f

TABLEAU SYNOPTIQUE

Ligne Date	Viaduc de :	Hau- teur maxima H	Lon- gueur L	Arches		En élévation				Prix moyen du m. c de maçon ⁿ $\frac{D}{Q}$
				Nom- bre	Portée	Rapport du vide v		Par mètre carré		
						à la sur- face totale $\frac{v}{S_0}$	au plein $\frac{v}{p}$	Cube de maçon ⁿ $\frac{Q}{S_0}$	Dépense $\frac{D}{S_0}$	
Limoges à Brive 1873 à 1875	Pompadour.....	55.00 ^m	285.00 ^m	8	25.00 ^m	0.65	2.08	2.25 ^{mc}	146.00 ^f	65.00 ^f
	la Sagne.....	36.40	157.50	5	20.00	0.65	1.88	1.70	99.00	59.00
	la Boucheuse.....	28.60	178.00	7	20.00	0.67	2.04	2.02	92.00	45.00
	la Donne.....	26.00	130.00	5	20.00	0.63	1.67	2.20	101.00	46.00
	la Loue.....	24.70	135.80	5	18.00	0.63	1.69	2.30	99.00	43.00
	Sarget.....	24.45	143.00	5	20.00	0.61	1.57	2.81	136.00	48.00
	Vignols.....	21.00	252.00	10	20.00	0.58	1.39	2.36	131.00	55.00
	l'Isle.....	16.60	51.00	3	12.00	0.55	1.22	2.57	111.00	43.00
	Combes.....	13.50	54.60	1	16.00	0.56	1.25	1.65	124.00	76.00
				2	10.00					
	la Pouge.....	13.30	84.00	3	20.00	0.51	1.02	2.16	105.00	49.00
	la Meyze.....	12.00	75.20	3	18.00	0.51	1.04	3.31	131.00	40.00
	Haute-Vézère.....	12.00	42.00	3	10.00	0.52	1.08	3.25	145.00	44.00
	Monteil.....	12.00	83.00	7	8.00	0.52	1.09	2.09	132.00	63.00
	la Croix.....	10.70	63.90	5	8.00	0.48	0.92	2.06	129.00	63.00
	Boulou.....	10.00	37.60	1	9.00	0.50	1.00	3.27	136.00	42.00
				2	8.00					
	Moyennes.....					0.62	1.66	2 ^{mc} 26	120 ^f .80	53 ^f .40
La Flèche à La Suze et à Sablé 1875 à 1877	Sablé.....	21.50 ^m	285.00 ^m	11	20.00 ^m	0.61	1.59	2.18 ^{mc}	104.00 ^f	47.80 ^f
Marvejols à Neussargues 1879 à 1888	Blaud.....	21.60 ^m	114.00 ^m	8	10.00 ^m	0.65	1.89	2.60 ^{mc}	87.50 ^f	33.70 ^f
	Rimeize.....	18.70	129.35	10	10.00	0.64	1.80	2.92	93.80	32.10
	Varillette.....	17.00	134.30	10	10.00	0.64	1.76	2.33	97.80	41.90
	Massalès.....	16.50	90.20	5	12.00	0.63	1.68	2.95	89.00	30.20
	Saillant.....	16.50	51.30	3	10.00	0.57	1.35	2.83	114.30	40.40
	la Combe.....	13.80	47.20	3	10.00	0.60	1.53	3.35	126.20	37.70
	Triboulin.....	10.80	56.31	5	10.00	0.56	1.31	3.26	168.60	51.70
	Malagazanne.....	6.90	34.20	2	4.00	0.45	0.89	3.64	167.70	46.10
				1	12.00					
	Moyennes.....					0.63	1.67	2 ^{mc} 79	101 ^f .90	36 ^f .50
Saint-Denis au Buisson 1880 à 1884	Bramefond.....	44.14 ^m	321.65 ^m	14	17.00 ^m	0.68	2.14	2.29 ^{mc}	75.30 ^f	32.80 ^f
	Courtils.....	35.00	141.80	7	15.00	0.66	1.94	2.60	104.80	40.20
	Moyennes.....					0.68	2.10	2 ^{mc} 96	81 ^f .60	34 ^f .60

TABLEAU SYNOPTIQUE

Ligne Date	Viaduc de :	Hau- teur maxima H	Lon- gueur L	Arches		En élévation				Prix moyen du m. c. de maçon ⁿ $\frac{D}{Q}$
				Nom- bre	Portée	Rapport du vide <i>v</i>		Par mètre carré		
						à la sur- face totale $\frac{v}{S_s}$	au plein $\frac{v}{p}$	Cube de maçon ⁿ $\frac{Q}{S_s}$	Dépense $\frac{D}{S_s}$	
Tournon au Blanc 1880 à 1885	l'Isle-Jourdain.....	38.60 ^m	304.00 ^m	12	20.00 ^m	0.71	2.41	2.01 ^{mc}	97.00 ^f	48.00 ^f
	Blanc.....	38.11	528.00	21	20.00	0.70	2.32	2.80	142.00	51.00
	la Villerie.....	24.26	113.60	5	15.00	0.64	1.75	2.63	106.00	40.50
	la Charente.....	24.00	140.00	6	16.00	0.64	1.77	2.66	103.00	38.80
	la Caronnière.....	18.28	92.00	7	10.00	0.68	2.13	2.28	101.00	44.20
	la Faye.....	15.90	55.00	5	8.00	0.64	1.82	3.64	141.00	38.80
	Tersac.....	14.60	41.60	3	10.00	0.61	1.56	3.10	167.00	53.70
	Chez-Dinette.....	14.50	74.20	7	8.00	0.66	1.95	4.63	163.00	35.30
	Bourbes.....	14.30	55.00	5	8.00	0.61	1.55	2.70	128.00	47.40
	Salleron.....	12.69	47.50	1	14.00	0.56	1.15	5.13	239.00	46.50
			2	10.00						
			1	9.89						
	Grand-Vicq.....	11.55	51.00	1	10.11					
				1	16.00					
		Moyennes.....					0.69	2.17	2 ^{mc} 64	126 ^f .00
Aurillac à Saint-Denis 1883 à 1884	l'Authre.....	34.14 ^m	118.35 ^m	5	16.00 ^m	0.68	2.15	2.07 ^{mc}	85.00 ^f	41.00 ^f
	la Cère.....	24.89	123.35	7	12.00	0.67	2.02	1.83	92.00	50.00
	l'Auze.....	23.92	108.75	6	12.00	0.67	2.07	1.89	73.00	38.00
	Moyennes.....					0.68	2.08	1 ^{mc} 04	83 ^f .80	43 ^f .20
Carmaux à Rodez 1894 à 1897	la Gascarie.....	49.00 ^m	296.30 ^m	12	20.00 ^m	0.68	2.15	2.04 ^{mc}	61.90 ^f	30.40 ^f
Argenton à La Châtre 1897 à 1901	l'Auzon.....	42.70 ^m	499.00 ^m	20	20.00 ^m	0.70	2.30	3.79 ^{mc}	122.50 ^f	32.30 ^f
Guéret à La Châtre 1901 à 1905	la Creuse.....	19.50 ^m	202.10 ^m	16	10.00 ^m	0.68	2.08	2.35 ^{mc}	94.50 ^f	40.30 ^f
	la Glane.....	19.40	152.20	12	10.00	0.69	2.20	2.36	103.40	43.90
	la Petite Creuse.....	19.20	208.60	16	10.00	0.67	2.01	2.61	124.00	47.50
	Moyennes.....					0.68	2.08	2 ^{mc} 45	107 ^f .70	44 ^f .00

TABLEAU SYNOPTIQUE

Ligne Date	Viaduc de :	Hau- teur maxima H	Lon- gueur L	Arches		En élévation				Prix moyen du m. c. de maçon*
				Nom- bre	Portée	Rapport du vide v		Par mètre carré		
						à la sur- face totale $\frac{v}{S_0}$	au plein $\frac{c}{p}$	Cube de maçon* $\frac{Q}{S_0}$	Dépense $\frac{D}{S_0}$	
Espalion à Bertholène 1903 à 1904	Plô	42.20 ^m	158.00 ^m	7	17.00 ^m	0.69	2.18	2.13 ^{mc}	85.60 ^f	40.20 ^f
	Labaume	36.00	114.00	6	14.00	0.68	2.10	1.95	78.10	40.00
	Goudal	30.60	123.70	7	12.50	0.68	2.08	2.11	79.10	37.40
	Conquettes	29.68	172.26	12	11.00	0.70	2.30	2.08	73.70	35.50
	la Loubière	23.20	103.50	7	11.00	0.68	2.14	2.07	83.80	40.40
	Moyennes.....					0.69	2.18	2 ^{mc} 08	79 ^f .70	38 ^f .30
Bort à Neussargues 1901 à 1907	Barajol.....	56.41 ^m	317.00 ^m	12	20.00 ^m	0.69	2.22	3.17 ^{mc}	167.26 ^f	52.75 ^f
	Saint-Saturnin	36.30	205.70	10	15.00	0.70	2.36	3.23	111.99	34.70
	Lugarde.....	25.90	153.21	12	10.00	0.68	2.11	3.70	130.58	35.33
	Salsignac.....	24.30	189.41	14	10.00	0.62	1.65	1.87	74.51	39.91
	Chassagny	22.24	97.54	6	12.00	0.60	1.47	3.73	195.47	52.45
	Moyennes.....					0.68	2.08	3 ^{mc} 12	140 ^f .90	45 ^f .22
Langogne au Puy 1905 à 1908	Arquejols	44.90 ^m	209.00 ^m	6	10.00 ^m	0.67	2.03	2.14 ^{mc}	74.84 ^f	35.02 ^f
	la Bargeasse.....	21.48	93.50	11	15.00	0.57	1.34	2.96	87.26	29.43
	Moyennes.....					0.65	1.85	2 ^{mc} 31	77 ^f .37	33 ^f .55
Morez à Saint-Claude 1908 à 1910	Saillard	46.40 ^m	97.68 ^m	1 4	25.00 ^m 12.00	0.63	1.67	2.19 ^{mc}	80.97 ^f	36.95 ^f
	Morez.....	40.68	238.05	9	20.00					
	Valfin.....	27.80	77.50	6	10.00	0.68	2.12	2.78	121.13	43.60
	Crêt	15.75	34.90	5	5.00	0.63	1.69	2.97	125.40	42.22
	Pain de Sucre	15.30	121.78	1 15	15.00 5.00	0.50	1.00	3.01	132.66	44.13
	Puits.....	14.40	71.00	9	6.00					
	la Culée.....	12.12	22.20	3	5.00	0.51	1.03	3.06	151.20	49.37
	Moyennes.....					0.58	1.36	3.58	175.93	49.13
						0.64	1.77	2 ^{mc} 75	117 ^f .56	42 ^f .73
Moyennes générales sur 64 viaducs ayant ensemble 184.446 ^{m²} de surface d'élévation totale, 481.402 ^{mc} de maçonnerie à mortier, ayant coûté 20.577.900 fr.						0.66	1.98	2 ^{mc} 61	111 ^f .57	42 ^f .75

2^e PARTIE

CALCULS ET ÉPURES

LIVRE I

COMMENT ON CALCULE UN CINTRE

LIVRE II

COMMENT ON CALCULE UNE VOÛTE

LIVRE I

COMMENT ON CALCULE UN CINTRE¹

PONT ADOLPHE, A LUXEMBOURG²

CHAPITRE I

FERMES

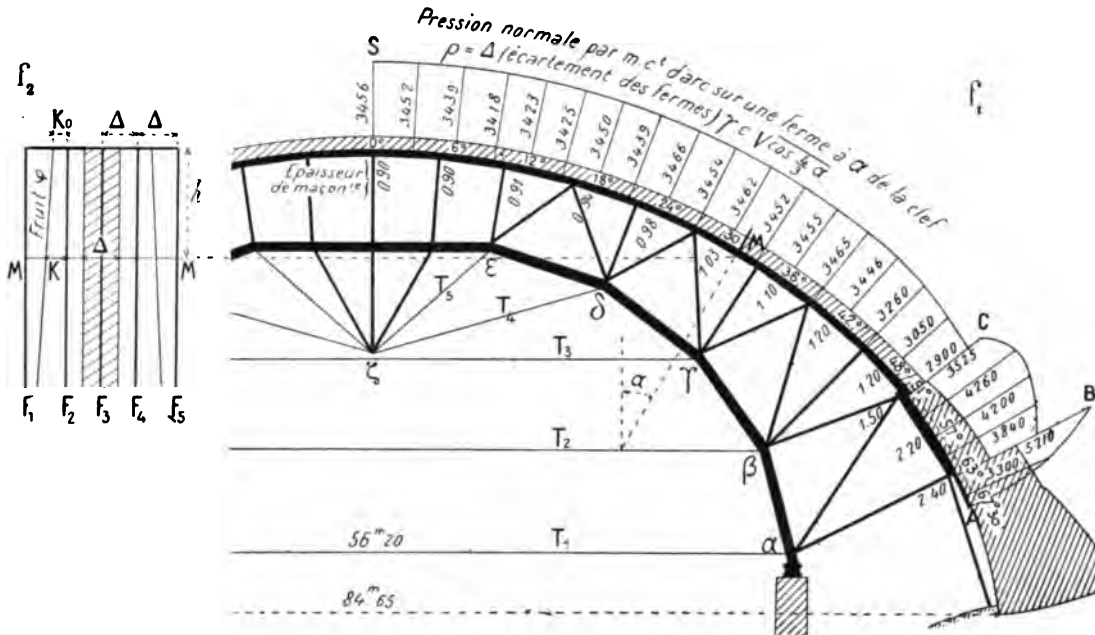
§ 1. — PRESSION NORMALE SUR LE CINTRE, A α° DE LA CLEF

Par mètre carré, c'est :

$$p_\alpha = \gamma c \sqrt{\cos \frac{4}{3} \alpha} \quad 3, 4$$

γ densité de la maçonnerie = 2.400*

c épaisseur admise en M.

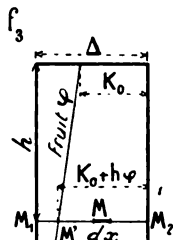


Soit Δ l'écartement des fermes (1^m60).

La charge sur 1^m de longueur de ferme en M, à α de la clef, est :

pour une ferme intermédiaire, telle que F_i (f_i), $p_M = \Delta p_\alpha$

pour une ferme de rive F_1 : $p_M' = \frac{p_\alpha}{2\Delta} \left[k_0 + h_\varphi \right]^2$ ⁵



1. — V, p. 132 à 156.

2. — II, p. 70 à 74, pl. 4 et 5.

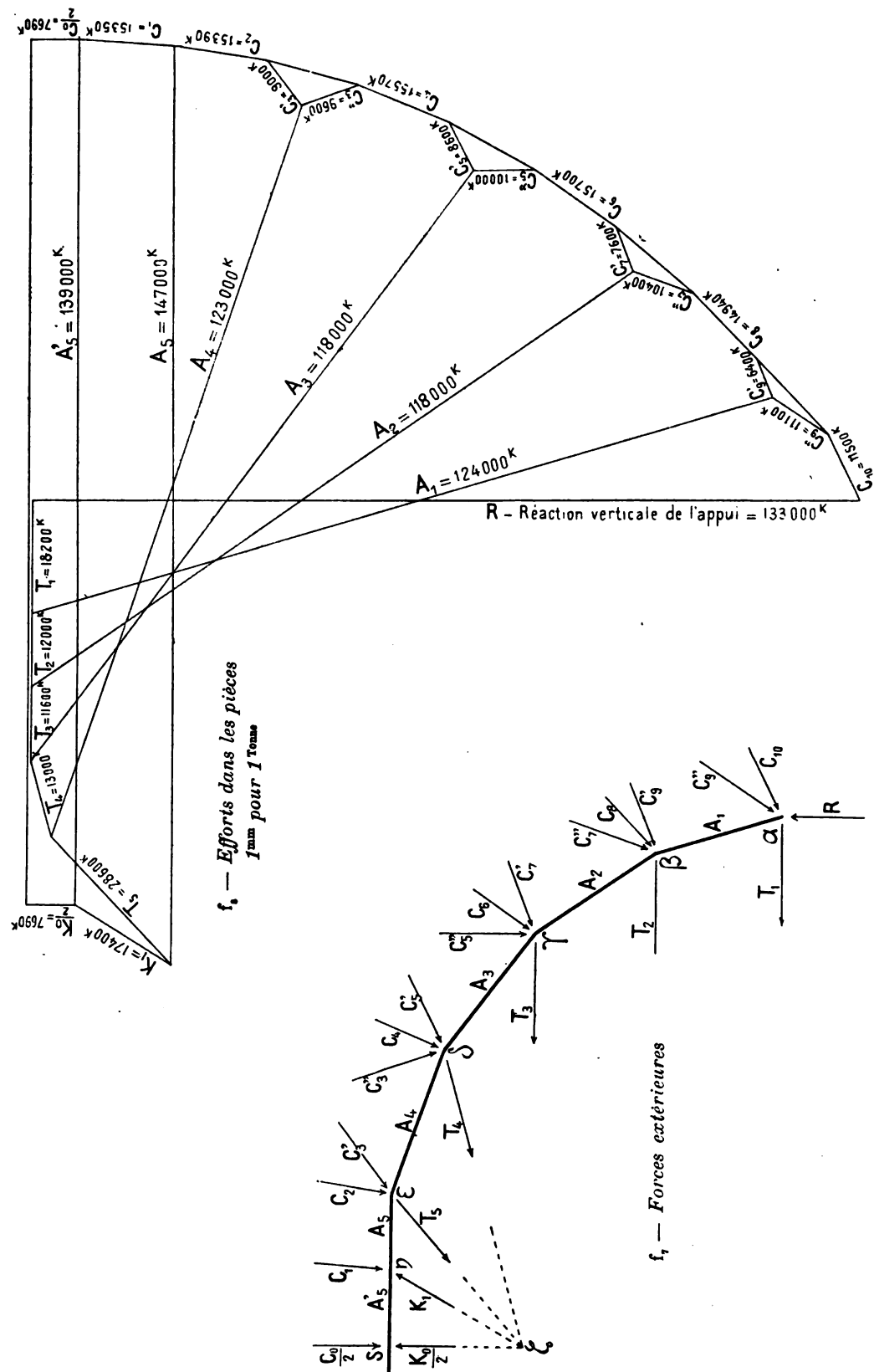
3. — V, p. 155.

4. — Voir, à la fin du Tome VI, les tables numériques de $\log \sqrt{\cos \frac{4}{3} \alpha}$, $\sqrt{\cos \frac{4}{3} \alpha}$, pour α de 0° à $67^\circ 30'$.

5. — La pression sur M (f_i) est $p_\alpha dx$, dont la composante en M_i est $p_\alpha dx \frac{x}{\Delta}$.

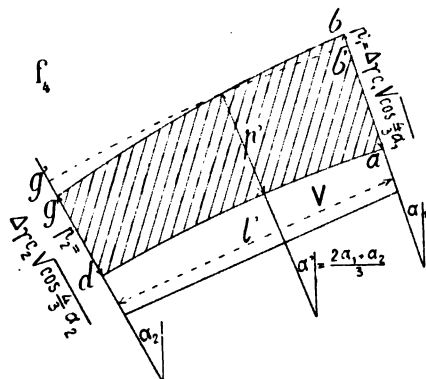
Pour la largeur $M' M_i$, elle est : $\frac{p_\alpha}{\Delta} \int_0^M x dx = \frac{p_\alpha}{2\Delta} \left(k_0 + h_\varphi \right)^2$

CHEVALEMENT



Voici, détaillé, le calcul d'une ferme intermédiaire :

§ 2. — EFFORTS DANS LES PIÈCES



La pression totale sur le vau V (f_1) est représentée par l'aire $abgd$.

On l'a remplacée par l'aire $ab'g'd$ de hauteur constante p' :

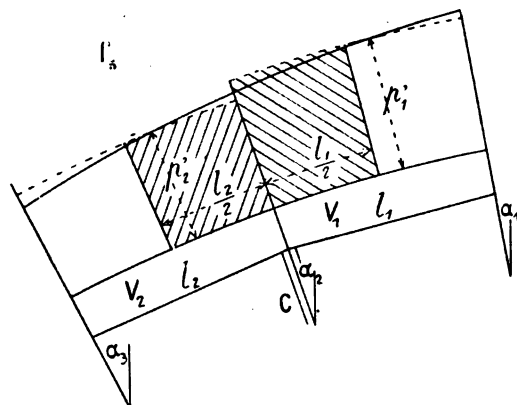
$$p' = \Delta \gamma c \sqrt{\cos \frac{4}{3} \alpha'}$$

$$\text{avec } \alpha' = \frac{2\alpha_1 + \alpha_2}{3}$$

Art. 1. — Vaux.

Une contrefiche C (f_2) reçoit :

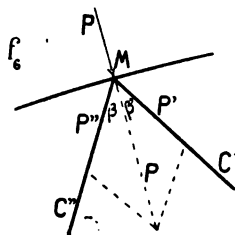
$$P = \frac{1}{2} \Delta \gamma c_1 l_1 \sqrt{\cos \frac{4}{3} \frac{2\alpha_1 + \alpha_2}{3}} (V_{au} V_1) + \frac{1}{2} \Delta \gamma c_2 l_2 \sqrt{\cos \frac{4}{3} \frac{2\alpha_2 + \alpha_3}{3}} (V_{au} V_2)$$



L'effort P en M (f_3) se divise en

$$P' (\text{sur } C') = P \frac{\sin \beta}{\sin (\beta + \beta')}$$

$$P'' (\text{sur } C'') = P \frac{\sin \beta'}{\sin (\beta + \beta')}$$



Les efforts intérieurs (compressions dans les arbalétriers, tensions dans les câbles) font équilibre aux forces extérieures (f_1) (réactions

Art. 2. — Contrefiches.

A. — Suivant le rayon.

B. — Inclinaées sur le rayon.

Art. 3. — Chevalement.

des deux appuis, compressions transmises par les contrefiches). C'est ce qu'exprime la fig. 8.

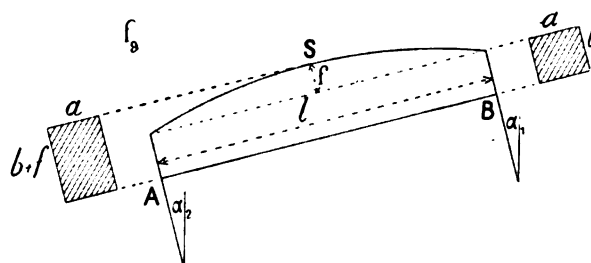
§ 3. — SECTIONS DES PIÈCES

Bien qu'encastés à leurs abouts, entre eux et avec les contrefiches par les couvre-joints en tôle, on les a calculés comme simplement posés.

Art. 1. — Vaux.

	Longueur	Pression par m. c ² p'	Flèche f	Hauteur aux abouts b	
				calculée	adoptée
V ₁	4.45	3450	0.05	0.48	0.48
V ₂	4.45	3440	0.05	0.48	
V ₃	4.50	3425	0.06	0.47	
V ₄	4.50	3450	0.06	0.47	
V ₅	4.55	3460	0.06	0.48	
V ₆	4.55	3470	0.06	0.48	
V ₇	4.60	3490	0.06	0.49	
V ₈	4.60	3400	0.06	0.48	0.56
V ₉	4.10	3100	0.06	0.40	
V ₁₀	5.40	3970	0.14	0.54	

6. — V, p. 156.



$$M (\text{moment de flexion maximum}) = \frac{1}{8} p' (\S 2, \text{art. 1}) \times l^2 =$$

$$\beta (\text{effort permis en } K^2/0.01^2) \times 10^4 \times \frac{a(b+f)^2}{6}$$

$$\beta = 80^k \quad a = 0.23$$

Aux ponts de Luxembourg et des Amidonniers⁷, les vaux ont été peut-être un peu faibles. On les avait calculés seulement pour ne pas rompre. Il conviendra de s'imposer une flèche maxima⁸ fonction de la portée du vau. On avait fait ainsi au pont du Castelet⁹, au pont Antoinette⁹.

Art 2. — Contrefiches.

Soit φ l'élanement = $\frac{l \text{ (longueur libre de la pièce)}}{b \text{ (plus petit côté de la section)}}$

On a admis comme pression moyenne permise par $\overline{0m01}^2$:

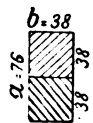
$$\beta_m = \frac{80}{1 + \left(\frac{\varphi}{24}\right)^2} \quad {}^{10, 11}$$

On a pris pour l la longueur totale de la contrefiche, bien qu'elle soit coupée par un ou deux cours de moises.

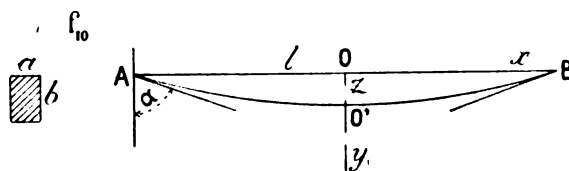
	Longueur l	Plus petite dimension b (en élévation)	Elance-ment $\varphi = \frac{l}{b}$	Compression moyenne permise par $\overline{0.01}^2$ $\beta_m = \frac{80}{1 + \left(\frac{\varphi}{24}\right)^2}$	Effort total P	Section en $\overline{0.01}^2$ $\Omega = ab = \frac{P}{\beta_m}$	Epaisseur $a = \frac{\Omega}{b}$	
							calculée	adoptée
C₀	5.50	21 cm	26	36.80	15380 ^a	418 cmq	20 cm	23 cm
C₁	5.40	19	28	33.88	15350	453	24	
C_{1'}	4.90	19	26	36.80	15390	418	22	
C_{2'}	6.30	19	33	27.68	9000	325	17	
C_{2''}	6.80	19	36	24.61	9600	390	21	
C_{3'}	5.30	21	25	38.36	15570	406	19	
C_{3''}	6.80	19	36	24.61	8600	349	18	
C_{4'}	7.80	21	37	23.69	10000	422	20	
C_{4''}	6.60	23	29	32.52	15700	483	21	
C_{5'}	7.80	19	41	20.42	7600	372	20	
C_{5''}	9.60	23	42	19.69	10400	528	23	25
C_{6'}	8.80	23	38	22.81	14940	655	28	
C_{6''}	9.20	19	48	16.00	6400	400	21	
C_{7'}	11.50	25	46	17.12	11100	648	25	
C_{7''}	11.00	25	44	18.34	11500	627	25	26
K₀	6.70	21	32	28.80	15380	534	25	
K₁	7.80	24	33	27.68	17400	630	26	

Art 3. — Arbalétriers.

Equarrissage adopté :



7. — I, p. 193.



8. — Un vau de longueur l , de section supposée constante $a \times b$, prend, sous une charge p par mètre courant, une flèche :

$$s = \frac{5 p l^4}{32 E a b^3} \quad E, \text{ coefficient d'élasticité} = 1,2 \times 10^9.$$

$$\frac{s}{l} = \frac{5 p}{32 E a} \left(\frac{l}{b}\right)^2$$

9. — Annales des Ponts et Chaussées, octobre 1886 — *Construction des ponts du Castelet, de Lavaur et Antoinette*, M. Séjourné, p. 538, 539.

10. — V, p. 156.

11. — Voir plus loin les tables numériques de β_m pour φ de 0 à 50.

	Longueur l	Eclairement $p = \frac{l}{38}$	Compression moyenne permise par 0.01^2 $\beta_m = \frac{80}{\left(1 + \frac{p}{24}\right)^2}$	Effort total P	Section en 0.01^2 $\Omega = ab = \frac{P}{\beta_m}$	Hauteur $a = \frac{\Omega}{38}$	
						calculée	adoptée
A_1	7.30	19	49.18	124000 ¹²	2521 ^{cmq}	66 ^{cm}	70 ^{cm}
A_2	7.65	20	47.21	118000	2499	66	
A_3	7.85	21	45.31	118000	2604	68	
A_4	7.90	21	45.31	123000	2715	71	
A_5	4.00	10	68.17	147000	2156	57	

	Tension T	Travail par 0.001^2 $\frac{T}{\Omega}^{12}$
T_1	18.200 ^k	25 ^k
T_2	12.000	16.5
T_3	11.600	16
T_4	13.000	17.8
T_5	28.600	19.6

Chaque câble a été fait de 61 fils de 3^{mm}9.

Section utile :

$$\Omega = 728^{\text{cmq}}7.$$

Art. 4. — Câbles.

CHAPITRE II

COUCHIS

Bien que d'une seule pièce et cloués sur les vaux, on les a calculés comme coupés au droit de chaque ferme et simplement posés dessus.

f_{12} — Coupe en travers

On a admis : $\frac{a}{b} = \frac{5}{7}^{13}$; $a = 0^m10$, $b = 0^m14$.

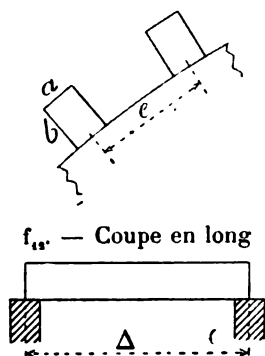
La pression par mètre courant de couchis, à α de la clef, est :

$$M \left(\begin{array}{c} \text{moment de flexion} \\ \text{maximum} \end{array} \right) = \frac{1}{8} p_{\alpha} e \Delta^2 = 10^4 \beta \left(\begin{array}{c} \text{travail maximum} \\ \text{permis en } K^2/0.01^2 \\ = 80^2 \end{array} \right) \times \frac{1}{6} ab^2^{14}$$

$$\text{Ici : } e = \frac{1306,66}{p_{\alpha} \Delta = p \left(\begin{array}{c} \text{pression par mc}^2 \text{ d'arc} \\ \text{indiquée sur } f_1 \end{array} \right)}$$

On trouve :

Entre 0° et 51° (sommiers), de 0^m38 à 0^m43 : on a adopté 0^m38 ;
au-dessous, de 0^m23 à 0^m39 : on a adopté 0^m25.



12. — V, p. 156.

13. — V, p. 134.

14. — e croît de la clef aux reins ; il est infini pour $p = 0$ ($\alpha = 67^{\circ}30'$) ; la dépense en couchis par mètre courant de ferme est proportionnelle à $\frac{ab}{e} = \frac{3p_{\alpha}\Delta^2}{4\beta \times 10^4 b}$: il y aurait donc théoriquement économie, pour une épaisseur donnée de platelage, à augmenter la hauteur et l'espacement des couchis.

LIVRE II

COMMENT ON CALCULE UNE VOÛTE

ARC ÉLASTIQUE INARTICULÉ

SUR APPUIS IMMOBILES

MÉTHODE CULMANN-RITTER

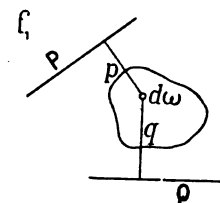
TITRE I

PRÉAMBULE

MOMENTS DU SECOND DEGRÉ D'UNE SURFACE Ω PAR RAPPORT :

A UNE DROITE P ($\Sigma p^2 d\omega$, moment d'inertie)

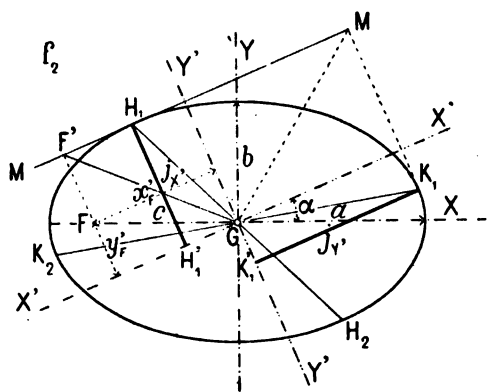
A DEUX DROITES P, Q ($\Sigma pq d\omega$, moment centrifuge¹, f_1)



CHAPITRE I

MOMENTS PAR RAPPORT A DEUX AXES PASSANT PAR LE CENTRE DE GRAVITÉ

§ 1. — LES DEUX AXES SONT RECTANGULAIRES (f_1)



Traçons les diamètres H_1H_2 , K_1K_2 conjugués à GX' , GY' : abaissons les perpendiculaires $H_1H_1' = j_{X'}$, $K_1K_1' = j_{Y'}$.

Ce sont les rayons de gyration relatifs aux axes X' et Y'

$\Sigma y'^2 d\omega = I_{X''} = \Omega j_{X'}^2$. C'est le moment d'inertie par rapport à GX' de la surface Ω concentrée en H_1 .

$\Sigma x'^2 d\omega = I_{Y''} = \Omega j_{Y'}^2$. C'est le moment d'inertie par rapport à GY' de la surface Ω concentrée en K_1 .

$$\Sigma x' y' d\omega \text{ (moment centrifuge)} = I_{X'Y'} = \Omega (a^2 - b^2) \sin \alpha \cos \alpha$$

$$= \Omega \times c \sin \alpha \times c \cos \alpha = \Omega x_F' y_F'$$

C'est le moment centrifuge par rapport à GX' , GY' de la surface Ω concentrée à un foyer.

Les tangentes en H_1 , K_1 , les points H_1 , K_1 sont très simplement obtenus en considérant l'ellipse comme la projection du cercle de rayon a .

$$\text{GX est incliné sur GX' d'un angle } \alpha \text{ tel que : } \operatorname{tg} 2\alpha = \frac{2 I_{X'Y'}}{I_{Y''} - I_{X''}}$$

$$a^2 + b^2 = j_{X'}^2 + j_{Y'}^2 = \overline{GM}^2 \quad a^2 - b^2 = c^2 = \frac{2 I_{X'Y'}}{\Omega \sin 2\alpha}$$

Avec c , on place sur GX le foyer F : à $j_{X'}$ de GX' , on mène la droite MM , (c'est une tangente). On abaisse sur elle la perpendiculaire FF' ; $F'G = a$.

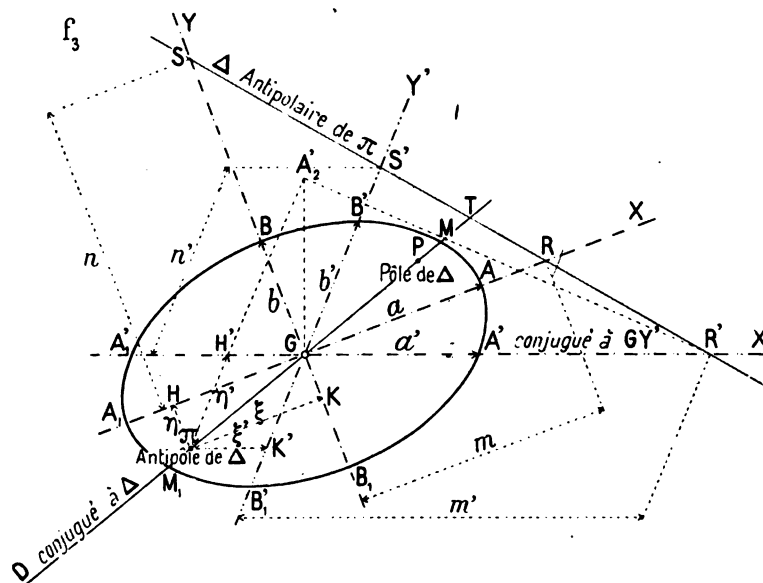
Art. 1. — On a les moments $I_{X'} = \Omega b^2$, $I_{Y'} = \Omega a^2$ par rapport aux axes GX , GY de l'ellipse centrale d'inertie. Calculer les moments $I_{X''}$, $I_{Y''}$, $I_{X'Y'}$ par rapport à deux autres axes rectangulaires GX' , GY' .

Art. 2. — On a les moments $I_{X''} = \Omega j_{X'}^2$, $I_{Y''} = \Omega j_{Y'}^2$, $I_{X'Y'}$ par rapport à deux axes rectangulaires quelconques GX' , GY' . Trouver les directions GX , GY et les longueurs a , b , des axes de l'ellipse centrale.

1. — Désignation acceptée, sans doute à défaut d'une meilleure, par Culmann, Ritter, par MM. Guidi, Kœchlin....

§ 2. — LES DEUX AXES SONT DEUX DIAMÈTRES CONJUGUÉS
DE L'ELLIPSE CENTRALE D'INERTIE

Art. 1. — Antipôle π d'une droite Δ , antipolaire Δ d'un point π , par rapport à une ellipse donnée par ses axes a, b ou par deux diamètres conjugués a', b' (f_1).



Soient une droite Δ et P son pôle. Son antipôle π est le symétrique de P par rapport au centre G .

Δ est polaire de P , antipolaire de π : elle est conjuguée au diamètre D de P et π .

G est entre π et Δ . Si Δ coupe l'ellipse, π est hors de l'ellipse et réciproquement : si Δ passe par G , π est à l'infini sur D .

L'équation de Δ est, rapportée :

$$\text{aux axes principaux } GX, GY : \frac{x\xi}{a^2} + \frac{y\eta}{b^2} = -1$$

$$\text{à 2 diamètres conjugués } GX', GY' : \frac{x'\xi'}{a'^2} + \frac{y'\eta'}{b'^2} = -1$$

Sont « anticonjugués » 2 les points des groupes (f_1)

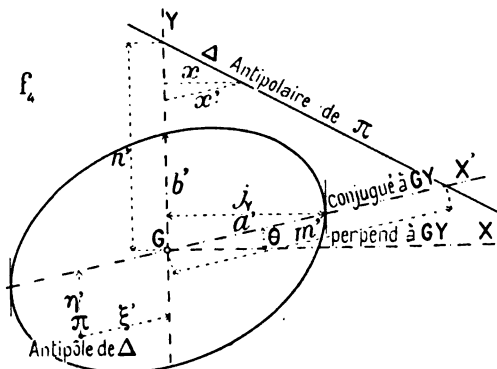
$$H, R, A, A', K, S, B, B', H', R', A', A', K', S', B', B', \pi, T, M, M'$$

$$\text{c'est-à-dire que : } m\xi = a^2 \quad n\eta = b^2 \quad m'\xi' = a'^2 \quad n'\eta' = b'^2 \quad GT \times G\pi = \overline{GM}^2$$

Ayant R' (du groupe $H'R', A'A'$), on aura ainsi H' : élever une perpendiculaire $GA' = a'$, joindre $R'A'$, mener $A'H'$ perpendiculaire à $R'A'$; ayant H' , on fera de même pour avoir R' .

Art. 2. — Deux expressions du moment d'inertie.

Soient (f_2) GX', GY' 2 diamètres conjugués — Δ une droite quelconque les coupant à m', n' de $G - \pi$ (ξ', η') l'antipôle de Δ .

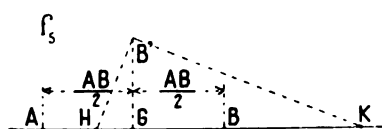


$$I_{Y'} \left(\begin{array}{l} \text{les } x \text{ comptés} \\ \text{parall. à } GX \end{array} \right) = \sum x^2 d\omega = \Omega j_Y^2 = \Omega a'^2 \cos^2 \theta$$

$$I_{Y'} \left(\begin{array}{l} \text{les } x \text{ comptés} \\ \text{parall. à } GX' \end{array} \right) = \sum x'^2 d\omega = \frac{1}{\cos^2 \theta} \sum x^2 d\omega = \Omega a'^2 = m' \xi \Omega$$

$$I_{X'} \left(\begin{array}{l} \text{les } y \text{ arrêtés} \\ \text{à } GX' \end{array} \right) = \sum y'^2 d\omega = \Omega b'^2 = n' \eta' \Omega$$

Le moment centrifuge est nul.



2. — Soient (f_2) A, B , 2 points : G le milieu de AB ; si H et K sont « anticonjugués » par rapport à A, B

$$GK \times GH = \overline{GB}^2$$

G est entre H et K

Elevons la perpendiculaire $GB' = GB$. Fixons en B' le sommet d'un angle droit : ses côtés coupent AB en 2 points anticonjugués de A et B .

MOMENTS PAR RAPPORT A DES AXES P, Q NE PASSANT PAS PAR LE CENTRE DE GRAVITÉ

§ 1. — 1^{re} EXPRESSION. — EN FONCTION DES MOMENTS PAR RAPPORT
AUX AXES PARALLÈLES P', Q' PASSANT PAR LE CENTRE DE GRAVITÉ
ET DES DISTANCES DE CE CENTRE A P ET Q (f_1)

$$\sum p^2 d\omega = I_{P'} = I_{P''} + \Omega p_G^2 = \Omega (j_{P'}^2 + p_G^2)$$

$$\sum q^2 d\omega = I_{Q'} = I_{Q''} + \Omega q_G^2 = \Omega (j_{Q'}^2 + q_G^2)$$

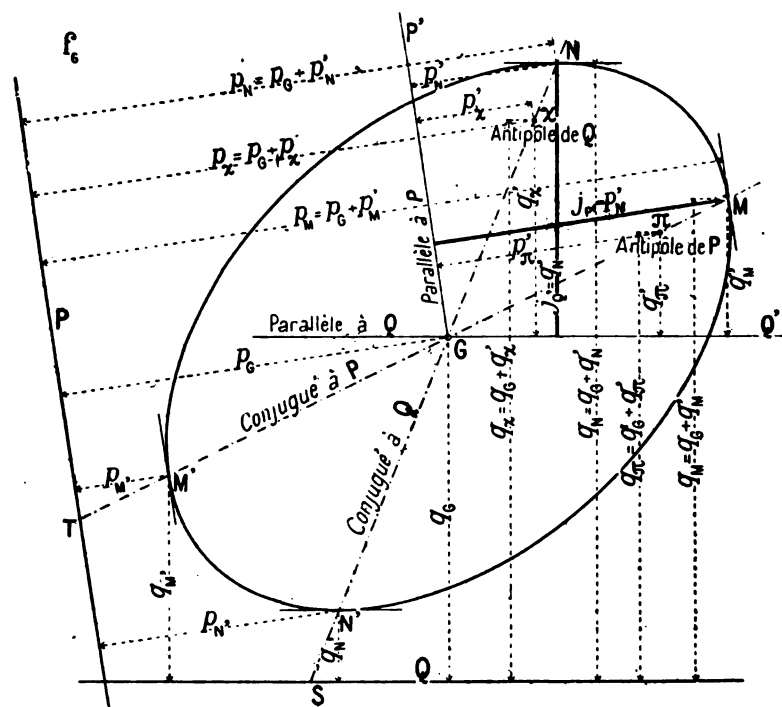
$$\sum pq d\omega = I_{PQ} = I_{P'Q'} + \Omega p_G q_G$$

Les moments par rapport à deux axes P, Q sont égaux aux moments par rapport à deux axes parallèles P', Q' menés par le centre de gravité, augmentés des moments par rapport aux axes P, Q de la surface Ω concentrée au centre de gravité.

§ 2. — 2^{me} EXPRESSION
EN FONCTION DES COORDONNÉES
DES EXTRÉMITÉS
DES DIAMÈTRES CONJUGUÉS
AUX AXES DES MOMENTS

$$j_{P'}^2 + p_G^2 = \frac{1}{2} (p_M^2 + p_N^2)$$

$$j_{Q'}^2 + q_G^2 = \frac{1}{2} (q_N^2 + q_N'^2)$$



On obtient le moment d'inertie par rapport à un axe en concentrant $\frac{\Omega}{2}$ aux extrémités du diamètre conjugué à cet axe.

$$I_{PQ} = \frac{\Omega}{2} [p_M q_M + p_{M'} q_{M'}] = \frac{\Omega}{2} [p_N q_N + p_{N'} q_{N'}]$$

On obtient le moment centrifuge par rapport à deux axes en concentrant $\frac{\Omega}{2}$ aux extrémités du diamètre conjugué à l'un des axes.

Pour P' et Q', $p_M = p_{M'} = p'_M$, $q_M = q_{M'} = q'_M$

$$I_{P'Q'} = \Omega p'_M q'_M = \Omega p'_N q'_N$$

§ 3. — 3^{me} EXPRESSION. — EN FONCTION DES DISTANCES AUX AXES
D'UN ANTIPÔLE ET DU CENTRE DE GRAVITÉ (Théorème de Culmann.)³

Art. 1. — Moment centrifuge.

Soient (f) π , χ les antipôles de 2 axes P et Q par rapport à l'ellipse centrale de la surface Ω

On a trouvé :

au § 1 $I_{PQ} = I_{P'Q'} + \Omega p_G q_G$,

au § 2 $I_{P'Q'} = \Omega p'_M q'_M = \Omega p'_N q'_N$

d'où : $I_{PQ} = \Omega (p_G q_G + p'_M q'_M \text{ ou } p'_N q'_N) = \Omega p_G \left\{ q_G + \frac{p'_M q'_M}{p_G} \right\} = \Omega q_G \left\{ p_G + \frac{p'_N q'_N}{q_G} \right\}$

Comme π et χ sont les antipôles de P et Q,

$$\overline{GM}^2 = G\pi \times GT \quad \text{ou} \quad \frac{GM}{GT} = \frac{G\pi}{GM} \quad \text{ou} \quad \frac{p'_M}{p_G} = \frac{q'_\pi}{q'_M} \quad \text{ou} \quad \frac{p'_M q'_M}{p_G} = q'_\pi$$

$$\overline{GN}^2 = G\chi \times GS \quad \text{ou} \quad \frac{GN}{GS} = \frac{G\chi}{GN} \quad \text{ou} \quad \frac{q'_N}{q_G} = \frac{p'_\chi}{p'_N} \quad \text{ou} \quad \frac{p'_N q'_N}{q_G} = p'_\chi$$

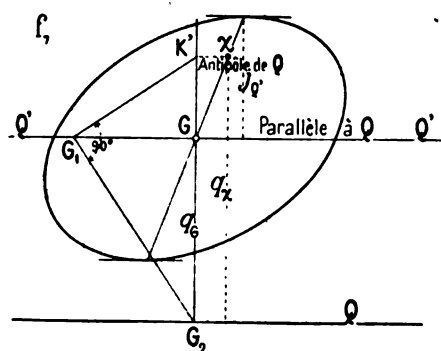
Donc : $I_{P,Q} = \Omega p_G q_\pi = \Omega q_G p_\chi$

Ainsi le moment centrifuge de Ω par rapport à P et Q est égal au produit de Ω par 2 distances : celle du centre de gravité à l'un des axes ; celle de l'antipôle de cet axe à l'autre axe.

Art. 2. — Moment d'inertie.

Si les 2 axes P et Q se confondent, I_{PQ} est le moment d'inertie :

$$I_{Q^2} = \Omega q_G q_\chi (f).$$



Le moment d'inertie de Ω par rapport à l'axe Q est égal au produit de Ω par les distances à Q du centre de gravité et de l'antipôle de Q :

au § 1, on a trouvé : $I_{Q^2} = \Omega (j_{Q'}^2 + q_G^2)$

On a donc $j_{Q'}^2 + q_G^2 = q_G q_\chi \quad q_\chi = \frac{j_{Q'}^2}{q_G} + q_G$

D'où cette construction simple de la distance à un axe Q de son antipôle :

prendre $GG_1 = j_{Q'}$; tirer G_1G_χ . Lui élever en G_1 une perpendiculaire G_1K' : $K'G_\chi = q_\chi$

3. — Culmann — Professeur à l'Ecole Polytechnique de Zurich. « Die graphische Statik ». Zurich, chez Meyer et Zeller. 1^{re} édition 1866 — 2^{me} édition 1875. Le 1^{er} volume seul en a paru. Il a été traduit par MM. Glasser, Jacquier et Volat — Paris. Dunod 1880.

L'expression du moment centrifuge en fonction de la distance des antipôles est indiquée dans l'édition de 1875 (allemand p. 404 — traduction française, p. 377-378).

TITRE II

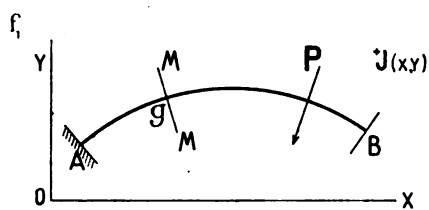
COMMENT, EN PRINCIPE, ON DÉTERMINE LES RÉACTIONS DES APPUIS DUES A UNE FORCE P MÉTHODE, FORMULES

CHAPITRE I

MOUVEMENTS, SOUS L'ACTION D'UNE FORCE $P(f_1)$, D'UN POINT $J(x, y)$ INVARIABLEMENT LIÉ A UNE RETOMBÉE **B**, SUPPOSÉE LIBRE, D'UN ARC ÉLASTIQUE DONT L'AUTRE RETOMBÉE **A** DEMEURE IMMOBILE

§ 1. — PRÉLIMINAIRES

Considérons un arc inarticulé, symétrique par rapport au plan vertical $YOX(f_1)$. On suppose que toutes les forces extérieures agissent dans ce plan.¹



Appliquons à l'arc une force P.

A B, sa fibre moyenne, est le lieu des centres de gravité des sections transversales, telles que Mg M, faites par des plans normaux au plan YOX , et dont les traces MM sur ce plan sont également inclinées sur l'intrados et l'extrados ; c'est, en pratique, la ligne des milieux des joints normaux à l'intrados.¹

Dans la réalité, ses deux retombées A, B resteront immobiles ; mais imaginons que la retombée de gauche A demeure seule fixe sur son appui, et que celle de droite B soit libre.

Sous l'action de P, la partie de l'arc entre l'appui de gauche A et P se déformera ; celle entre P et l'appui de droite ne subira aucune déformation, mais sera entraînée par les mouvements de celle de gauche.

On va étudier les mouvements d'un point $J(x, y)$ invariablement lié à l'extrémité B, c'est-à-dire calculer les variations ωX , ωY de ses coordonnées et déterminer de quel angle $\omega\theta$ il tourne, et autour de quel point.

On calculera successivement : d'abord, les variations dX , dY , $d\theta$, dues à la déformation d'une tranche infiniment mince telle que MM (f_1) ; puis les variations ΔX , ΔY , $\Delta\theta$, pour une tranche d'épaisseur finie dans laquelle sont constants le coefficient d'élasticité E et le moment d'inertie I de la section transversale de l'arc ; enfin, les variations ωX , ωY , $\omega\theta$, pour la déformation de l'ensemble de toutes les tranches de l'arc entre l'appui immobile de gauche A et la force P.

§ 2. — VARIATIONS dX , dY , DUES A LA DÉFORMATION D'UNE TRANCHE INFINIMENT MINCE

ANGLE DE ROTATION $d\theta$ ET CENTRE DE ROTATION

Au point S (f_1), je décompose P en :

N, perpendiculaire à MM, effort normal qui contracte ou dilate la tranche ;

T suivant MM, effort tangentiel, dit effort tranchant, qui produit un glissement transversal à la fibre moyenne : dans les voûtes en maçonnerie, on convient de le négliger,¹

Art. 1. — Effort normal N. Couple de flexion $M(f_1)$.

1. — Dit, Tome III, p. 351.

MM est soumis :

au couple de flexion (ou moment fléchissant) $\mathcal{M} = N \times h = P \times p$

\mathcal{M} fait tourner la face m' de la tranche par rapport à la face m (f_s) d'un angle $d\theta$.

$$d\theta = \frac{\mathcal{M} dx}{EI} = \frac{Pp dx}{EI}$$

I, moment d'inertie de la section MM par rapport à l'axe transversal $g'g''$ (f_1). Cette section est (en négligeant le fruit transversal, s'il y en a un) un rectangle de largeur c , de hauteur $e = MM$ (épaisseur de l'arc en M)

$$I = \frac{1}{12} c e^3$$

$$\text{Arc } J J' = g J d\theta \quad \text{D'où : } ^2$$

$$d_m X = -Y d\theta \quad d_m Y = (X - x) d\theta$$

$$\frac{N dx}{E \Omega} = \frac{P_p dx}{h E \Omega}$$
$$d_N X = J' J'' = \frac{P p dx}{h E \Omega}$$
$$dX = d_n X + d_s X = \frac{Pp dx}{EI} \left(-Y + \frac{I}{h\Omega} \right) = -\frac{Pp dx}{EI} \left(Y - \frac{e^2}{12h} \right)$$

$$dY = d_m Y = \frac{Pp \, dx}{EI} (X - x)$$

J peut donc venir directement en **J''** en tournant de $d\theta = \frac{Pp \, dx}{EI}$ autour de **S'** $\left(x, \frac{e^2}{12h}\right)$ point de la section M « anticonjugué » de S par rapport à deux points B, C, tels que $gB = gC = \frac{e}{\sqrt{12}}$

$$\frac{d\mathcal{M}^X}{Y} = \frac{d\mathcal{M}^Y}{X-x} = \frac{J J' = g J d\theta}{g J} = d\theta$$

Les $d\theta$, comme les Pp , sont > 0 dans le sens OX vers OY.

§ 3. — VARIATIONS ΔX , ΔY DUES A LA DÉFORMATION

D'UNE TRANCHE RECTANGULAIRE EN ÉLEVATION

 DE LONGUEUR FINIE L ,

 DANS LAQUELLE E ET I PEUVENT ÊTRE SUPPOSÉS CONSTANTS

Pour la tranche entière on a (f_1) :

$$\Delta X = \int_{-\frac{L}{2}}^{+\frac{L}{2}} dX = -\frac{P}{EI} \left(Y \int_{-\frac{L}{2}}^{+\frac{L}{2}} p dx - \frac{e^2}{12} \int_{-\frac{L}{2}}^{+\frac{L}{2}} \frac{p}{h} dx \right)$$

$$\Delta Y = \int_{-\frac{L}{2}}^{+\frac{L}{2}} dY = \frac{P}{EI} \left(X \int_{-\frac{L}{2}}^{+\frac{L}{2}} p dx - \int_{-\frac{L}{2}}^{+\frac{L}{2}} p x dx \right)$$

$$\text{Or : } \frac{p}{h} = \frac{p_g}{h_g} \quad \frac{p}{p_g} = \frac{k_g - x}{k_g}$$

$$\text{d'où : } \int_{-\frac{L}{2}}^{+\frac{L}{2}} \frac{p}{h} dx = \frac{p_g}{h_g} L \quad \int_{-\frac{L}{2}}^{+\frac{L}{2}} p dx = p_g L \quad \int_{-\frac{L}{2}}^{+\frac{L}{2}} p x dx = \frac{p_g}{k_g} \frac{L^2}{12}$$

$$\Delta X = -\frac{P p_g L}{EI} \left(Y - \frac{e^2}{12 h_g} \right) \quad \Delta Y = \frac{P p_g L}{EI} \left(X + \frac{L^2}{12 k_g} \right)$$

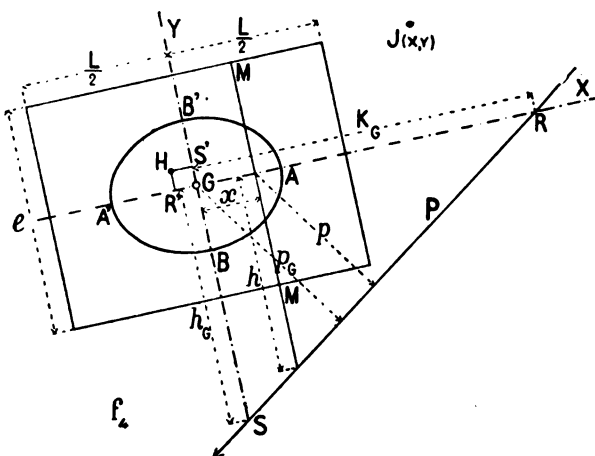
Les axes de l'ellipse centrale de la tranche sont : $a = \frac{L}{\sqrt{12}}$ $b = \frac{e}{\sqrt{12}}$

Soit H le point de coordonnées : $GR' = \frac{a^2}{k_g}$ $GS' = \frac{b^2}{h_g}$

R' et S' sont les anticonjugués des traces R et S de P par rapport aux sommets de l'ellipse AA' , BB' .

H est donc l'antipôle de la force P .

Ainsi P fait tourner de $\frac{P p_g L}{EI}$ autour de son antipôle la section extrême de droite de la tranche.



§ 4. — VARIATIONS $\omega X, \omega Y$ DUES A LA DÉFORMATION
D'UNE SUITE DE TRANCHES RECTANGULAIRES EN ÉLEVATION
DANS CHACUNE DESQUELLES E ET I
PEUVENT ÊTRE SUPPOSÉS CONSTANTS

Art. 1. — Pour un point quelconque invariablement lié à l'appui libre. Ellipse élastique. Centre élastique.

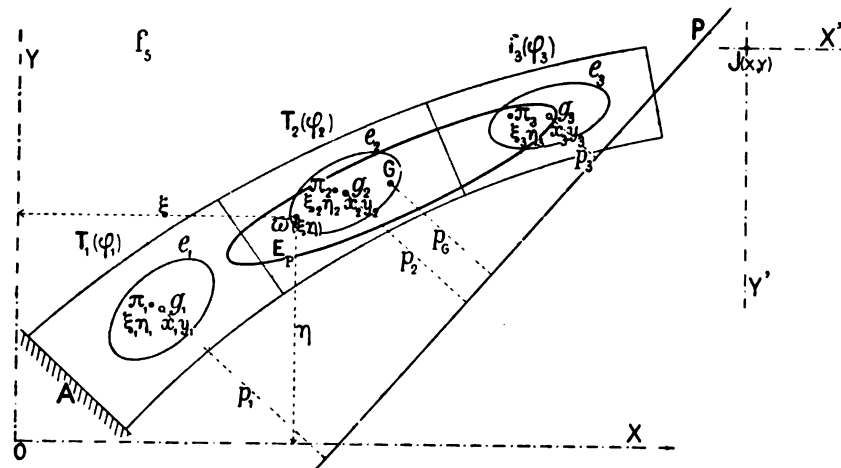
Par la déformation de toutes les tranches à gauche de P, un point J invariablement lié à l'extrémité de droite B aura tourné de :

$$\omega\theta = \Sigma \Delta\theta = P \left(\frac{p_1 L_1}{E_1 I_1} + \frac{p_2 L_2}{E_2 I_2} + \dots \dots \right)$$

Posons :

$$\varphi_1 = \frac{L_1}{E_1 I_1}, \quad \varphi_2 = \frac{L_2}{E_2 I_2}, \quad \dots$$

quantités dites par Ritter : poids élastiques.³



Traçons (f_i) les ellipses centrales d'inertie e_1, e_2, \dots des rectangles T_1, T_2, \dots

Soient $\xi_i, \eta_i, \xi_i, \eta_i, \dots$ les coordonnées des antipôles π_1, π_2, \dots de P par rapport à ces ellipses.

$$\left\{ \begin{aligned} \omega\theta &= P (p_1 \varphi_1 + p_2 \varphi_2 + \dots) = P p_G \sum \varphi \\ \omega X &= \Sigma \Delta X = -P [p_1 \varphi_1 (Y - \eta_1) + p_2 \varphi_2 (Y - \eta_2) + \dots] \\ &= -PY (p_1 \varphi_1 + p_2 \varphi_2 + \dots) + P (p_1 \eta_1 \varphi_1 + p_2 \eta_2 \varphi_2 + \dots) \\ \omega Y &= \Sigma \Delta Y = P [p_1 \varphi_1 (X - \xi_1) + p_2 \varphi_2 (X - \xi_2) + \dots] \\ &= PX (p_1 \varphi_1 + p_2 \varphi_2 + \dots) - P (p_1 \xi_1 \varphi_1 + p_2 \xi_2 \varphi_2 + \dots) \end{aligned} \right.$$

Le produit $p_i \eta_i \varphi_i$ est le moment centrifuge⁴ par rapport à P et à OX de la masse φ_i uniformément étalée sur le rectangle T_i : $p_i \xi_i \varphi_i$ est son moment centrifuge par rapport à P et à OY.

Traçons l'ellipse centrale d'inertie E_p du système de masses $\varphi_1, \varphi_2, \dots$ étalées sur les tranches rectangulaires T_1, T_2, \dots entre l'appui A et P.

Soit $\varpi(\xi, \eta)$ l'antipôle par rapport à E_p de la force P.

$$\sum_A^P p_i \eta_i \varphi_i = p_G \eta \sum_A^P \varphi \quad \quad \sum_A^P p_i \xi_i \varphi_i = p_G \xi \sum_A^P \varphi$$

Donc :

$$\frac{\omega\theta}{P} \left(\begin{array}{c} \text{rotation} \\ \text{pour une} \\ \text{force 1} \end{array} \right) = p_G \sum_A^P \varphi \text{ moment statique des } \varphi \text{ par rapport à P.}$$

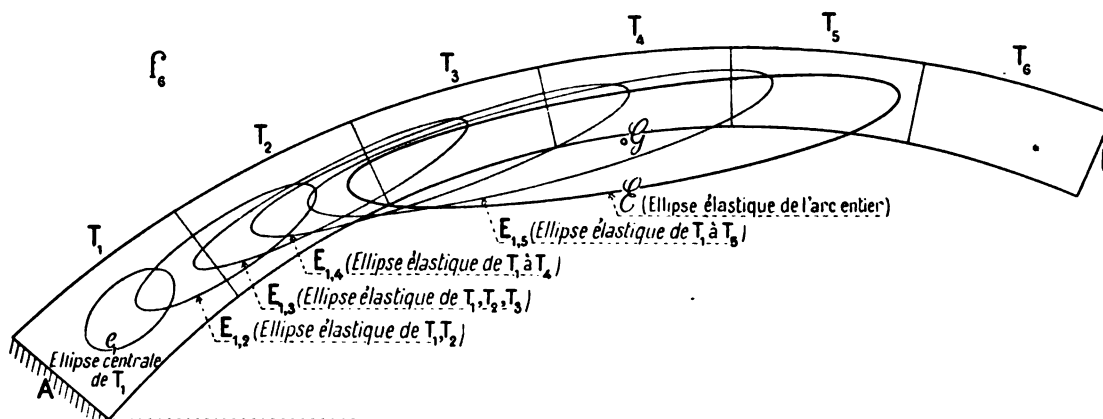
3. — Ritter: « Anwendungen der graphischen Statik » Zurich 1888 (Applications de la statique graphique 1^{re} Partie, p. 155).

4. — Théorème de Culmann p. 122.

Déplacement de J (X,Y) sous une force 1	suivant JY'	$\frac{\omega Y}{P} = (X - \xi) p_G \sum \varphi = (X - \xi) \text{distance de } \varpi \text{ (antipôle, centre de rotation) à la direction JY' du déplacement } \times p_G \sum \varphi$, moment statique des φ par rapport à P, lequel est la rotation autour de ϖ .
		$= \sum \varphi \text{ (somme des poids élastiques)} \times p_G \text{ (distance à P du centre de gravité des } \varphi) \times (X - \xi) \text{ distance à la direction JY' de l'antipôle } \varpi$. $= \text{Moment centrifuge des } \varphi \text{ par rapport à P et JY'}$
	suivant JX'	$\frac{\omega X}{P} = -(Y - \eta) p_G \sum \varphi = -(Y - \eta) \text{distance de } \varpi \text{ (antipôle, centre de rotation) à la direction JX' du déplacement } \times p_G \sum \varphi$ moment statique des φ par rapport à P, lequel est la rotation autour de ϖ .
		$= \sum \varphi \text{ (somme des poids élastiques)} \times p_G \text{ (distance à P du centre de gravité des } \varphi) \times (Y - \eta) \text{ distance à la direction JX' de l'antipôle } \varpi$. $= \text{Moment centrifuge des } \varphi \text{ par rapport à P et JX'}$

Ainsi une force P produit sur l'extrémité libre B et sur tout point J qui lui est invariablement lié, une rotation $P p_G \sum \varphi$ autour de son antipôle par rapport à l'ellipse centrale des poids élastiques $\varphi_1, \varphi_2, \dots$ entre l'appui fixe et P (E_p de f_p). Appelons-la l'ellipse « élastique »⁵ de cette partie d'arc.

L'ellipse centrale $\mathcal{E}(f_p)$ de toutes les masses φ jusqu'à l'appui de droite est l'ellipse « élastique »⁵ de l'arc : son centre \mathcal{G} est le centre élastique ; c'est le centre de gravité des masses φ concentrées aux centres des ellipses des tranches.



5. — Culmann a, le premier, indiqué cette ellipse* : il l'appelait « ellipse centrale des $\frac{ds}{EI}$ ». Son successeur à l'Ecole de Zurich, W. Ritter en a fort développé l'application**, sous le nom d'ellipse d'élasticité.

Comme on désigne ainsi une autre ellipse, on peut appeler celle-ci « ellipse élastique ». On arrive vite à la notion de cette ellipse, mais à l'aide de théorèmes qui ne sont pas couramment enseignés dans nos cours. Sur ce sujet, on lira très utilement : de Ritter, un appendice à la 3^e Partie de ses « Applications de la Statique graphique »*** ; de M. le Professeur Guidi : « L'Ellisse di Elasticità nella scienza delle costruzioni » Turin 1904.

J'ai suivi une méthode moins élégante, qui ne suppose que des connaissances élémentaires usuelles.

* Culmann « Die graphische Statik » — p. 122 renvoi 3 — Traduction française p. 530.

** Ritter « Anwendungen der graphischen Statik nach Professor Culmann. (2^{me} Partie p. 117, 169 Zurich, 1890 — 3^e Partie p. 259 Zurich, 1900 — 4^e Partie p. 197 Zurich, 1906).

Les rotations Pp_1, Pp_2, \dots s'effectuent autour de l'antipôle de P par rapport aux ellipses des tranches $T_1, T_2, \dots (f_i)$. Elles se composent comme des forces parallèles en une rotation résultante autour de π antipôle de P par rapport à l'ellipse élastique de l'ensemble des tranches à gauche de P, antipôle qui est ainsi le centre de gravité des rotations Pp_1, Pp_2, \dots appliquées aux antipôles de P par rapport aux ellipses de chaque tranche.

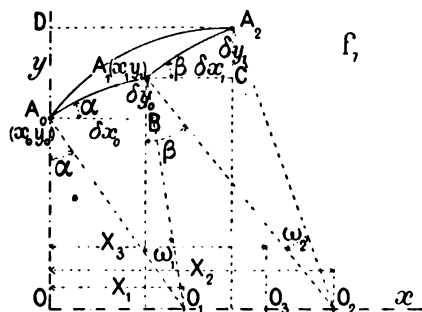
Art. 2. — Pour le centre élastique de l'arc.

Considérons le centre élastique \mathcal{G} , de l'arc entier comme invariablement lié à l'appui libre B (f_i) ; prenons-le comme origine des coordonnées et calculons ses déplacements.

Les formules de l'art. 1, avec $X = 0 \quad Y = 0$, deviennent :

$$\frac{\omega\theta}{P} \left(\begin{array}{l} \text{rotation} \\ \text{sous une} \\ \text{force 1} \end{array} \right) = p_G \sum \varphi \text{ moment statique des } \varphi \text{ par rapport à P.}$$

Déplacements du centre élastique sous une force 1	Suisant $\frac{\omega Y}{P} = -\xi p_G \sum \varphi$	} $\left\{ \begin{array}{l} = \text{Moment statique des } \varphi \text{ par rapport à P} \times \text{distance} \\ \text{à } \mathcal{G}Y, \text{ direction du déplacement, de l'anti-} \\ \text{pôle } \pi \text{ de P par rapport à l'ellipse } E_P. \\ = \text{Moment centrifuge des } \varphi \text{ par rapport à P et} \\ \text{à } \mathcal{G}Y. \end{array} \right.$



6. — Soit (f_i) un point A_0 soumis successivement aux 2 rotations :

ω_1 autour de O_1 — qui l'amène en A_1 $A_0 A_1 = O_1 A_0 \times \omega_1$
 ω_2 autour de O_2 — qui l'amène en A_2 $A_1 A_2 = O_2 A_1 \times \omega_2$

Prenons, pour axe des x , $O_1 O_2$, pour axe des y , la perpendiculaire à $O_1 O_2$ passant par A_0

$$\begin{aligned} \delta x_0 &= A_0 A_1 \cos \alpha = O_1 A_0 \cos \alpha \times \omega_1 = y_0 \omega_1 \\ \delta y_0 &= A_0 A_1 \sin \alpha = O_1 A_0 \sin \alpha \times \omega_1 = X_1 \omega_1 \end{aligned}$$

$$\begin{aligned} \delta x_1 &= A_1 A_2 \cos \beta = O_2 A_1 \cos \beta \times \omega_2 = y_1 \omega_2 = (y_0 + \delta y_0) \omega_2 = y_0 \omega_2 \\ \delta y_1 &= A_1 A_2 \sin \beta = O_2 A_1 \sin \beta \times \omega_2 = (X_1 - \delta x_0) \omega_2 = X_2 \omega_2 \end{aligned} \quad \left\{ \begin{array}{l} \text{en négligeant } \omega_2 \delta y_0, \omega_2 \delta x_0 \end{array} \right.$$

$$\Delta x_0 = \delta x_0 + \delta x_1 = y_0 (\omega_1 + \omega_2)$$

$$\Delta y_0 = \delta y_0 + \delta y_1 = X_1 \omega_1 + X_2 \omega_2$$

Appliquons aux points O_1, O_2 des poids ω_1, ω_2 . Soit O_3 leur centre de gravité. On a, (moment par rapport à O) :

$$X_3 (\omega_1 + \omega_2) = X_1 \omega_1 + X_2 \omega_2$$

Faisons tourner A_0 de $\omega_1 + \omega_2$ autour de O_3 — Les coordonnées du déplacement sont :

$$\Delta' x_0 = y_0 (\omega_1 + \omega_2) = \Delta x_0$$

$$\Delta' y_0 = X_1 (\omega_1 + \omega_2) = X_1 \omega_1 + X_2 \omega_2 = \Delta y_0$$

Par cette rotation, A_0 vient directement en A_2 .

CHAPITRE II

**COMMENT, DES DÉPLACEMENTS VIRTUELS ∂x , ∂y , $\partial \theta$
DU CENTRE ÉLASTIQUE DUS A UNE FORCE P ,
ON DÉDUIT LA RÉACTION DE L'APPUI R^B QUI LES ANNULE**

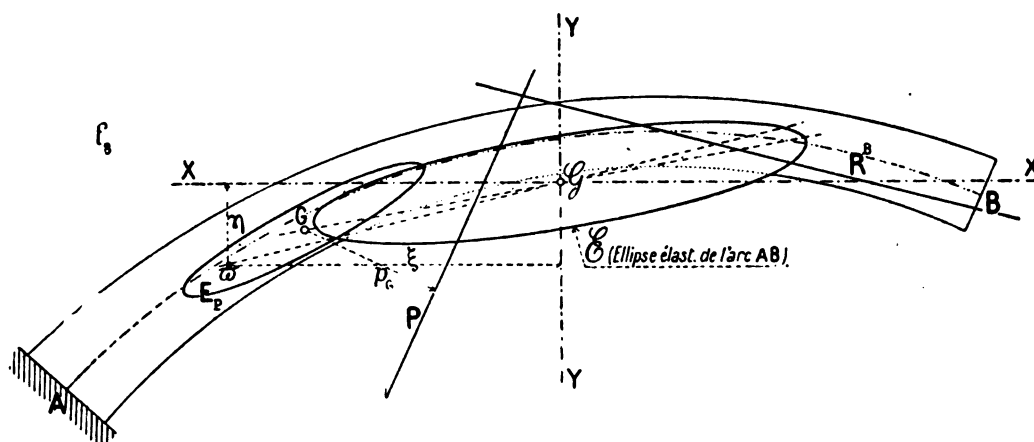
§ 1. — CAS D'UNE FORCE QUELCONQUE P . LA RÉACTION R^B EST, PAR RAPPORT A L'ELLIPSE « ÉLASTIQUE » DE TOUT L'ARC \mathcal{C} , L'ANTIPOLAIRE DE ϖ , ANTIPÔLE DE LA FORCE P PAR RAPPORT A L'ELLIPSE « ÉLASTIQUE » E_p DE LA PARTIE D'ARC A GAUCHE DE P (1).

Supposons tracées :
1° l'ellipse élastique E_p de la partie d'arc à gauche de P .

2° l'ellipse élastique \mathcal{C} de tout l'arc.

Soit ϖ l'antipôle de P par rapport à E_p .

P fait tourner de $Pp_G\Phi$ autour de ϖ , tout point invariablement lié à l'appui libre B .



La réaction cherchée R^B qui, elle, agit sur tout l'arc, doit produire une rotation égale et de sens contraire autour du même point ϖ ; ϖ est donc son antipôle à elle par rapport à l'ellipse élastique \mathcal{C} de l'arc entier AB .

Par rapport à l'ellipse totale \mathcal{C} , R^B est donc l'antipolaire de ϖ , antipôle de P par rapport à l'ellipse partielle E_p .

§ 2. — EN PRATIQUE, ON N'A A CONSIDÉRER QU'UNE FORCE VERTICALE V
OU UNE HORIZONTALE H

Les forces qui agissent sur un arc sont toujours supposées dans son plan de symétrie;⁷ elles sont presque toutes verticales : poids mort, surcharges roulantes ; quelques-unes sont, soit horizontales : ⁸ dilatation, freinage,¹⁰ soit obliques : poussée d'une voûte transversale d'élagissement ; celles-ci, on les décomposera en verticales et horizontales.

Je ne traiterai avec détail que le cas d'une force verticale.

7. — p. 123.

8. — Le vent est une force horizontale : mais elle n'est pas dans le plan de symétrie.

9. — La force centrifuge $\frac{PV^2}{9,81 R}$ dans les ouvrages en courbe de rayon R , est normale aux rails : son effet est maximum quand la machine (maximum de P) est au milieu de la portée. On ne tient compte ni du vent, ni de la force centrifuge dans le calcul proprement dit de l'arc : mais on se rend compte de la quantité dont ils dévient les résultantes sur les sections d'appui, et dont ils augmentent les efforts.

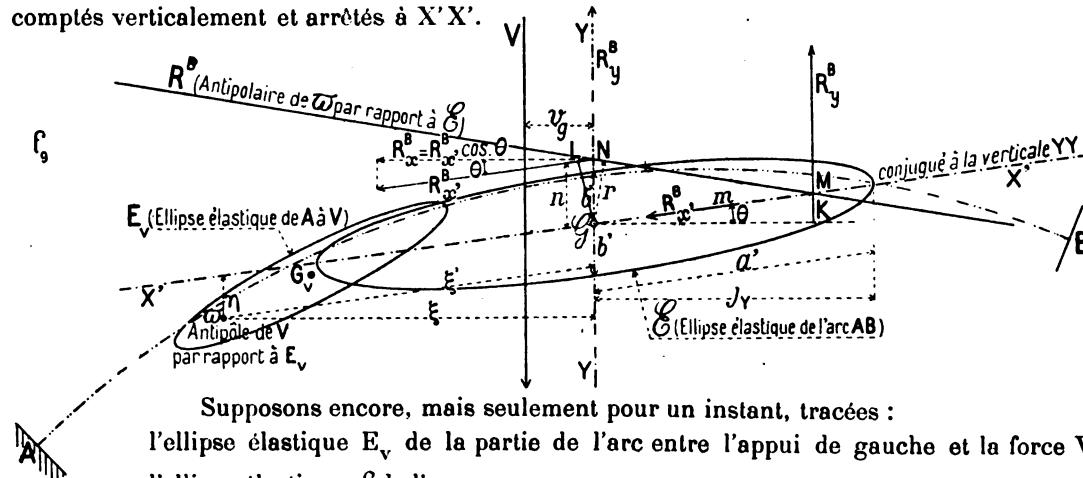
10. — On peut admettre que le frottement des roues sur les rails est le $\frac{1}{6}$ du poids freiné.

§ 3. — CAS D'UNE FORCE VERTICALE V

Art. 1. — Déplacements ω_θ , ω_X , ω_Y du centre élastique \mathcal{G} sous l'action de V.

Prenons (f_0) pour origine des coordonnées le centre élastique \mathcal{G} , pour axes la verticale YY de \mathcal{G} et la direction X'X' conjuguée à la verticale par rapport à l'ellipse élastique de l'arc.

Les x sont comptés horizontalement, c'est-à-dire perpendiculairement à YY; les y sont comptés verticalement et arrêtés à X'X'.



Supposons encore, mais seulement pour un instant, tracées :
l'ellipse élastique E_v de la partie de l'arc entre l'appui de gauche et la force V,
l'ellipse élastique \mathcal{E} de l'arc.

Soit $\omega(\xi, \eta)$ l'antipôle de V par rapport à E_v .

Les déplacements du centre élastique \mathcal{G} sous l'action d'une force 1 sont (p. 128) :

$$\left. \begin{aligned} \frac{\omega_\theta}{V} &= V_g \sum \xi \eta = \mathcal{M}_{\mathcal{G}}^V & \text{Moment statique par rapport à V} \\ \frac{\omega_Y}{V} &= -V_g \sum \xi^2 \eta = \mathcal{I}_{\mathcal{G}V} & \text{Moment centrifuge par rapport à V et Y} \\ \frac{\omega_{X'}}{V} &= V_g \sum \eta^2 \xi = \mathcal{I}_{\mathcal{G}X'} & \text{Moment centrifuge par rapport à V et X'} \end{aligned} \right\} \begin{array}{l} \text{des poids} \\ \text{élastiques de la} \\ \text{partie de l'arc} \\ \text{à gauche de V} \end{array}$$

Art. 2. — Déplacements ω_R , ω_X , ω_Y du centre élastique \mathcal{G} sous l'action de R^B .

Aux points de rencontre de R^B avec les axes YY, X'X', je décompose R^B en une composante verticale R_y^B et une composante R_x^B , parallèle à X'X' : la projection horizontale de R_x^B , est $R_x^B = R^B \cos \theta$.

Le moment de R^B par rapport à \mathcal{G} peut s'écrire :

$$R_y^B \times \mathcal{G}K = R_y^B m \cos \theta$$

$$R_x^B \times \mathcal{G}L = R_x^B n \cos \theta = n (R_x^B \cos \theta) = R_x^B n$$

L'ellipse \mathcal{E} est rapportée à 2 axes conjugués a' , b' . R^B est, par rapport à elle, antipolaire de $\omega(\xi, \eta)$

$$\begin{aligned} m \xi' &= a'^2 \text{ ou } (m \cos \theta) (\xi' \cos \theta) = a'^2 \cos^2 \theta \text{ ou } m \cos \theta \xi = j_v^2 \text{ (rayon de giration)} \\ n \eta &= b'^2. \end{aligned}$$

Les déplacements de \mathcal{G} sous l'action de R^B sont, (p. 128) :

$$\left. \begin{aligned} \omega_R &= R^B r \sum \xi \eta \\ \omega_X &= R^B r \eta \sum \xi = R_x^B n \sum \xi = R_x^B b'^2 \sum \xi = R_x^B \sum \xi y'^2 = R_x^B \mathcal{I}_{\mathcal{G}X'} \\ \omega_Y &= R^B r \xi \sum \eta = R_y^B m \cos \theta \sum \eta = R_y^B j_v^2 \sum \eta = R_y^B \sum \eta X'^2 = R_y^B \mathcal{I}_{\mathcal{G}Y} \end{aligned} \right\} \begin{array}{l} \text{Moment d'inertie} \\ \text{par rapport à X'} \\ \text{Moment d'inertie} \\ \text{par rapport à Y} \end{array} \left. \begin{array}{l} \text{des poids} \\ \text{élastiques} \\ \text{de l'arc entier} \end{array} \right\}$$

Déplacements verticaux $R_y^B \frac{\delta}{\delta Y} = -V \frac{\delta}{\delta Y} \quad (1)$

$$R_y^B = V \frac{\frac{\delta}{\delta Y}}{\frac{\delta}{\delta Y}}$$

Déplacements horizontaux $R_x^B \frac{\delta}{\delta X} = V \frac{\delta}{\delta X} \quad (2)$

$$R_x^B = V \frac{\frac{\delta}{\delta X}}{\frac{\delta}{\delta X}}$$

Rotations $R^B r \frac{\delta}{\delta \varphi} = V \frac{\delta}{\delta \varphi} \quad (3)$

Avec R_y^B et R_x^B , on a R^B et sa direction (f_0), puis avec (3), r sa distance à \mathcal{G} (f_1)

Comme $R^B r = R_y^B m \cos \theta = R_x^B n$, on a aussi m et n :

$$m \cos \theta = \frac{R^B r}{R_y^B} = \frac{\frac{\delta}{\delta \varphi}}{\frac{\delta}{\delta Y}} \cdot \frac{\frac{\delta}{\delta Y}}{\frac{\delta}{\delta Y}} \quad n = \frac{\frac{\delta}{\delta \varphi}}{\frac{\delta}{\delta X}} \cdot \frac{\frac{\delta}{\delta X}}{\frac{\delta}{\delta X}}$$

On indiquera plus loin comment on construit graphiquement tous ces moments.

Dans les rapports qui donnent la direction de R^B , dans m et n ses coordonnées à l'origine, l'intensité de la force V ne figure pas : la direction et la position de la réaction ne dépendent que de la position de V : on fera toutes les constructions avec la force 1.

L'intensité de R , R_y , R_x , R_x , est proportionnelle à celle de V .

§ 4. — LA RÉACTION R^B PASSE PAR LE CENTRE ÉLASTIQUE \mathcal{G} (f_1)

Alors son antipôle est à l'infini, sur la droite D conjuguée à R^B .

L'appui B tourne autour de ce point, c'est-à-dire se déplace normalement à D de BB' .

Ce déplacement BB' projeté sur une direction BZ est le moment centrifuge des φ par rapport à R^B et à BZ , lequel peut s'écrire :

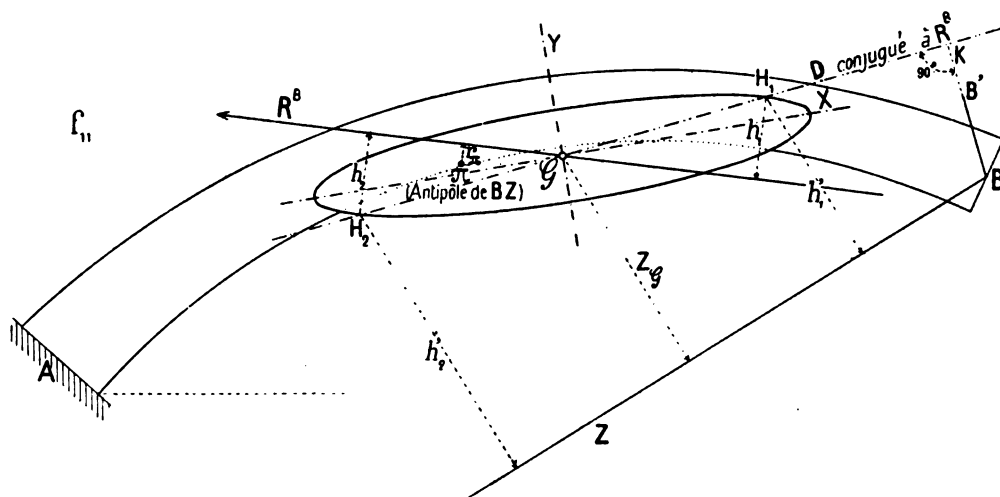
$$\text{soit}^{11} R^B z_{\mathcal{G}} r_{\pi} \frac{\delta}{\delta \varphi}$$

$$\text{soit}^{12} \frac{R^B}{2} \frac{\delta}{\delta \varphi} (h_1 h'_1 + h_2 h'_2)$$

Réciproquement, si B subit une translation BB' , l'antipôle de R^B est à l'infini sur un diamètre D perpendiculaire à BB' ; R^B passe par le centre élastique et est conjuguée à ce diamètre.

Si R^B coïncide avec un axe de l'ellipse élastique, par exemple $\mathcal{G}X$, B se déplace normalement au conjugué de $\mathcal{G}X$ qui est l'autre axe $\mathcal{G}Y$, c'est-à-dire parallèlement à $\mathcal{G}X$.

Réciproquement, si l'appui B se déplace parallèlement à un axe de l'ellipse élastique, R^B agit suivant cet axe. Un changement de température déplace horizontalement l'appui d'un arc symétrique ; la réaction correspondante passe par le centre élastique et est horizontale.



11. — Théorème de Culmann p. 122.

12. — p. 121.

TITRE III

ARC DISSYMMÉTRIQUE

COMMENT, EN PRATIQUE, ON CONSTRUIT LES RÉACTIONS DES APPUIS

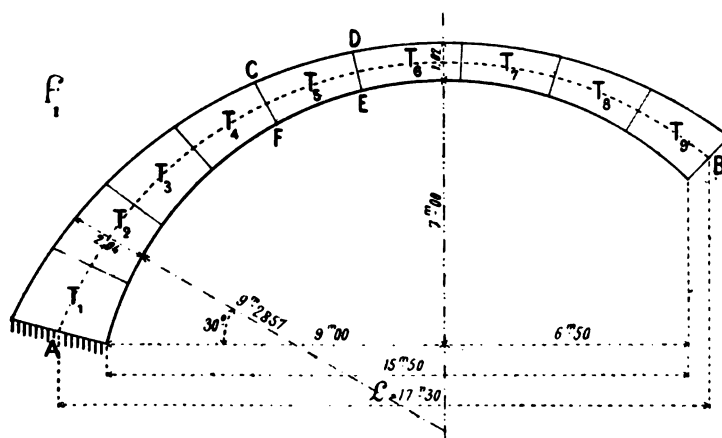
CHAPITRE I

MOMENTS STATIQUES, MOMENTS D'INERTIE, MOMENTS CENTRIFUGES DES POIDS ÉLASTIQUES FUNICULAIRES 1 A 5 (Pl. I)

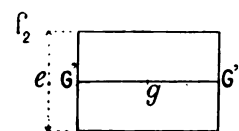
§. 1. — CENTRE ÉLASTIQUE DIAMÈTRE DE L'ELLIPSE ÉLASTIQUE DE L'ARC CONJUGUÉ A LA VERTICALE

**Art. 1. — Division
de l'arc en tranches
 $T_1, T_2, \dots (f_1)$.**

On divise l'arc AB en tranches assez minces pour que l'on puisse supposer rectangulaire leur face (par exemple CDEF), et, constant, le moment d'inertie I de leur section transversale, supposée elle aussi rectangulaire (f_1).



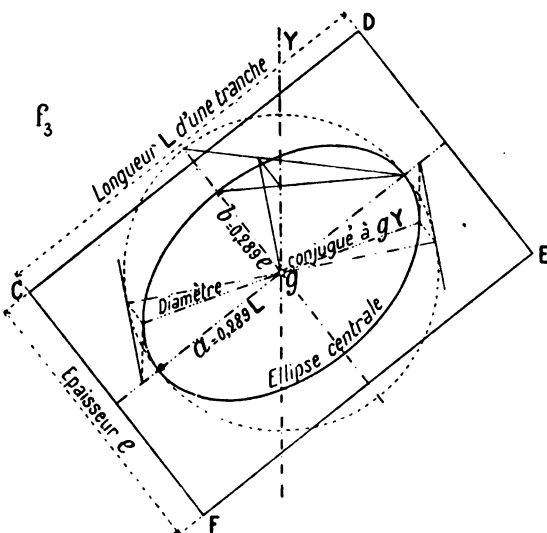
$$I = \frac{1}{12} e^3 \times G'G''$$



L'épure (Pl. I) est faite pour un arc dont les dimensions sont indiquées par f_1 .

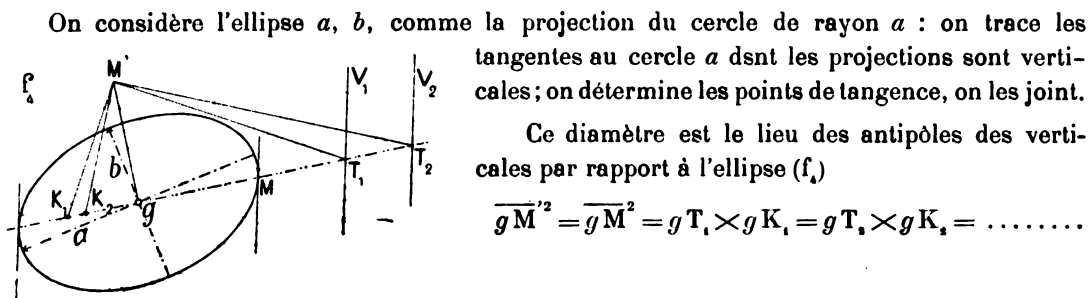
**Art. 2. — Ellipse
centrale d'inertie
d'une tranche (f_1).**

A. — Axes.



$$\left\{ \begin{array}{l} a = \frac{L}{\sqrt{12}} = 0.289 L \\ b = \frac{e}{\sqrt{12}} = 0.289 e \end{array} \right.$$

Dans la pratique on ne trace pas l'ellipse.



On considère l'ellipse a, b , comme la projection du cercle de rayon a : on trace les tangentes au cercle a dont les projections sont verticales ; on détermine les points de tangence, on les joint.

Ce diamètre est le lieu des antipôles des verticales par rapport à l'ellipse (f_1)

$$\overline{gM}^2 = \overline{gM'}^2 = gT_1 \times gK_1 = gT_2 \times gK_2 = \dots$$

$$\varphi = \frac{L \text{ (Longueur de la fibre moyenne)}}{E \text{ (Coefficient d'élasticité)} \times I \text{ (Moment d'inertie de la section transversale)}}$$

On ne connaît pas E pour tous les points de l'arc ; on le supposera constant et égal à 1.¹ Au demeurant, dans les formules des réactions, il est au numérateur et au dénominateur.

$$\text{On prendra donc } \varphi = \frac{L}{I}$$

TABLEAU I. — Arc de la Pl. I. — Largeur $G'G''$ (f_1) = 1^m. — Axes des ellipses centrales des tranches. Leurs poids élastiques.

Nos des tranches	Longueur de la tranche I_1	Epaisseur de la voûte au droit des centres de gravité g e	Demi-axes de l'ellipse centrale de la tranche		Moment d'inertie de la section transversale de l'arc $I = \frac{1}{12} e^3$	Poids élastique de la tranche $\varphi = \frac{L}{I}$
			$a = 0.289 L$	$b = 0.289 e$		
1	2	3	4	5	6	7
1	1 ^m 82	2 ^m 42	0 ^m 526	0 ^m 699	1.181041	1.541
2	2.01	2.06	0.580	0.595	0.728485	2.759
3	2.19	1.70	0.633	0.491	0.409417	5.349
4	2.37	1.39	0.685	0.402	0.223802	10.589
5	2.55	1.16	0.737	0.335	0.130075	19.604
6	2.75	1.03	0.795	0.298	0.091061	30.199
7	2.54	1.05	0.734	0.303	0.096469	26.329
8	2.39	1.19	0.691	0.343	0.140430	17.019
9	2.34	1.44	0.676	0.416	0.248832	9.403
$\sum \varphi =$						122.792

L'épure (Pl. I) a été faite à l'échelle de 0^m05 pour 1^m puis réduite à celle de 0^m01 pour 1^m.

Suspendons verticalement les φ aux centres g, g_1, \dots : traçons pour ces φ le polygone des forces de pôle O' avec une distance polaire p' : (on a pris $p' = \mathcal{L} = 17^m30$ (f_1) = $\Sigma \varphi$; c'est-à-dire que $\varphi = 1$ est représenté par $\frac{17^m30}{122.792} = 0^m14089$), puis le funiculaire **1** (Pl. I).

Les côtés extrêmes de **1** se coupent sur la verticale de g .

Prolongeons les côtés de **1**. Ils interceptent sur toute verticale des longueurs qui sont, divisés par p' , les moments statiques des φ par rapport à cette verticale.

1. — Pour E dans les voûtes, voir III, p. 372 à 374, 380 à 382.

B. — Diamètre conjugué à la verticale. (f_1).

Art. 3. — Poids élastique φ d'une tranche.

Art. 4. — Centre élastique \mathcal{G} de l'arc (Centre de gravité des poids élastiques φ appliqués aux centres de gravité des tranches g, g_1, \dots)

A. — Verticale de \mathcal{G} . Funiculaire **1**.

Par exemple, si elle est YY :

$$\begin{aligned} \gamma_1 &= \frac{\varphi_1 x_1}{p'} & \gamma_2 &= \frac{\varphi_2 x_2}{p'} & \dots\dots\dots \\ \text{Si c'est V,} & & & & \\ \gamma_1^y &= \frac{\varphi_1 \omega^{ce}(g_1, V_1)}{p'} & \gamma_2^y &= \frac{\varphi_2 \omega^{ce}(g_2, V_1)}{p'} \end{aligned}$$

La somme $\gamma_1^y + \gamma_2^y + \dots\dots = \bar{\gamma}^y$ est, divisée par p' , la somme des moments statiques par rapport à V_1 des φ de A à V_1 .

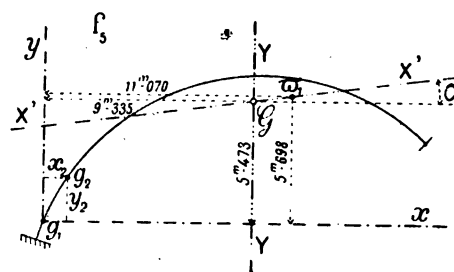
B. — *Horizontale de \mathcal{G} .*

Attachons horizontalement les φ aux centres $g_1, g_2, \dots\dots$. Traçons pour ces φ le funiculaire auxiliaire 2α à côtés perpendiculaires aux rayons de O' .

Ses côtés extrêmes se coupent en \mathcal{G} sur l'horizontale de \mathcal{G} .

C. — *Vérification par le calcul de la position de \mathcal{G} .*

Afin d'éviter les erreurs — surtout les erreurs d'échelle — il convient de vérifier par le calcul la position de \mathcal{G} .



TABEAU II. — *Moments des φ par rapport à la verticale et à l'horizontale de g_1 (f_1).*

N° des tran- ches	Poids élastiques (Tableau I col. 7) φ	Distances des g mesurées sur une épure à l'échelle de 0m05 p. m.		Moments des φ			
		à la verticale de g_1 x	à l'horizon- tale de g_1 y	1° degré		2° degré	
				φx	φy	φx^2	φxy
1	2	3	4	5	6	7	8
1	1.541	0	0	0	0	0	0
2	2.759	0m97	1m65	2.676	4.552	2.596	4.415
3	5.349	2.325	3.24	12.436	17.330	28.914	40.293
4	10.589	4.12	4.65	43.627	49.239	179.743	202.866
5	19.604	6.325	5.71	123.995	111.939	784.268	708.011
6	30.199	8.925	6.27	269.526	189.348	2405.520	1689.928
7	26.329	11.585	6.20	305.021	163.240	3533.668	1891.130
8	17.019	13.98	5.56	237.925	94.626	3326.192	1322.863
9	9.403	16.07	4.45	151.107	41.843	2428.289	672.426
	122.792			1146.313	672.117	12689.190	6531.932
	$\sum \varphi$			$\sum \varphi x$	$\sum \varphi y$	$\sum \varphi x^2$	$\sum \varphi xy$

$$x_{\mathcal{G}} \text{ (distance entre les verticales de } g_1 \text{ et de } \mathcal{G}) = \frac{\sum \varphi x \text{ (col. 5)}}{\sum \varphi \text{ (col. 2)}} = \frac{1146.313}{122.792} = 9m335$$

$$y_{\mathcal{G}} \text{ (distance entre les horizontales de } g_1 \text{ et de } \mathcal{G}) = \frac{\sum \varphi y \text{ (col. 6)}}{\sum \varphi \text{ (col. 2)}} = \frac{672.117}{122.792} = 5m473$$

\mathcal{G} est à 9m335 à droite de g_1 , à 5m473 au-dessus. La construction graphique est exacte.

Dans tout ce qui va suivre, on continuera à compter les x horizontalement, c'est-à-dire perpendiculairement à l'axe vertical YY (f_1), mais les y comptés verticalement seront arrêtés à un axe $X'X'$ conjugué à YY .

Déterminons $X'X'$.

C'est le lieu, par rapport à l'ellipse élastique de l'arc, des antipôles des verticales.

Il passe par le centre \mathcal{G} qu'on vient de déterminer et par l'antipôle d'une verticale quelconque.

On peut le trouver par une construction graphique ; elle est longue.

Avec les nombres du Tableau II, on a tout de suite ϖ_1 antipôle de la verticale de g_1 (f_1).

$$x_{\varpi_1} \begin{matrix} \text{(distance entre} \\ \text{les verticales} \\ \text{de } \varpi_1 \text{ et de } g_1) \end{matrix} = \frac{\Sigma \varphi x^2 \text{ (Tableau II col 7)}}{x_{\mathcal{G}} (= 9^m335) \times \Sigma \varphi \text{ (Tableau I col 7)}} = \frac{12689.190}{9.335 \times 122.792} = 11^m070$$

$$y_{\varpi_1} \begin{matrix} \text{(distance entre} \\ \text{les horizontales} \\ \text{de } \varpi_1 \text{ et de } g_1) \end{matrix} = \frac{\Sigma \varphi xy \text{ (Tableau II col 8)}}{x_{\mathcal{G}} (= 9^m335) \times \Sigma \varphi \text{ (Tableau I col 7)}} = \frac{6531.932}{9.335 \times 122.792} = 5^m698$$

$$\text{tang } \alpha = \frac{y_{\varpi_1} - y_{\mathcal{G}}}{x_{\varpi_1} - x_{\mathcal{G}}} = \frac{5^m698 - 5^m473}{11^m070 - 9^m335} = 0.130$$

§ 2. — MOMENTS D'INERTIE DES φ

PAR RAPPORT A L'AXE VERTICAL $\mathcal{G}Y$ ET A SON CONJUGUÉ $\mathcal{G}X'$.

LONGUEURS SUIVANT $\mathcal{G}Y$ ET $\mathcal{G}X'$

DES DIAMÈTRES DE L'ELLIPSE ÉLASTIQUE

Déterminons les antipôles π^Y (ξ^Y, η^Y) de YY par rapport aux ellipses centrales des tranches. Suspendons- y verticalement les longueurs

$$\gamma_1 = \frac{\varphi_1 x_1}{p'} \quad , \quad \gamma_2 = \frac{\varphi_2 x_2}{p'} \quad , \quad \dots$$

interceptées sur YY par les côtés prolongés du funiculaire **1** (p. 133 Art 4-A).

Construisons le polygone des forces de pôle O''' placé sur le dernier côté de **1**, de distance polaire p''' (on a pris $p''' = \frac{\mathcal{L}}{8} = 2^m1625 = \frac{\Sigma \varphi}{8}$ (p. 133 Art 4-A) puis le funiculaire **3**.

3 est en S : ses côtés extrêmes sont parallèles.

Soient $\lambda_1, \lambda_2, \dots$ les longueurs interceptées sur l'axe YY par les côtés prolongés de **3** :

$$\lambda_1 = \frac{\gamma_1 \xi_1}{p'''} = \frac{\varphi_1 x_1 \xi_1}{p' p'''} \quad , \quad \lambda_2 = \frac{\gamma_2 \xi_2}{p' p'''} \quad , \quad \dots$$

$\varphi_1 x_1 \xi_1$, produit du poids élastique φ_1 par x_1 , distance du centre de gravité à l'axe YY et par ξ_1 , distance au même axe de son antipôle, est le moment d'inertie de φ_1 par rapport à YY .

Art. 5. — Diamètre de l'ellipse élastique de l'arc conjugué à la verticale. Axe $X'X'$.

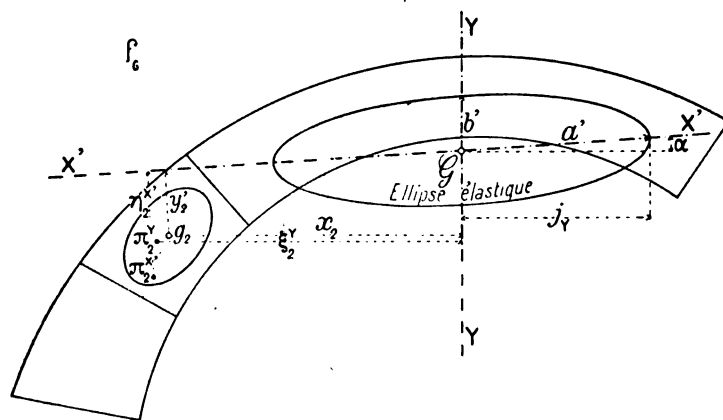
Art. 1. — Moment d'inertie des φ par rapport à la verticale YY du centre élastique.

A. — Construction graphique. Funiculaire **3.**

La somme $\lambda_1 + \lambda_2 + \dots = \frac{b}{a}$, est donc, divisé par $p' p'''$, le moment d'inertie $I_{Y'}$ des poids élastiques de tout l'arc par rapport à YY'

$$I_{Y'} = \frac{b}{a} p' p'''.$$

B. — Vérification par le calcul. TABLEAU III. — Calcul de $I_{Y'}$ et de $\frac{b}{a}$, distance verticale entre les côtés extrêmes du funiculaire 3 (f_3).



sur l'épure: $p' = \mathcal{L} = 17^m30$

$$p''' = 2^m1625$$

$$\frac{b}{a} \left(\begin{smallmatrix} \text{mesuré} \\ \text{sur} \\ \text{l'épure} \end{smallmatrix} \right) = \frac{2042.818 \text{ (col. 5)}}{17.3 \times 2.1625} \times 0.141 \text{ (} \gamma = 1 \text{ p. 133)} \\ = 7^m70$$

La construction graphique est exacte.

N° des tran- ches	Poids élas- tiques (Tableau I col 7) γ	Distance horizontale à YY' mesurée sur l'épure à l'échelle de 0 ^m 05 par m.		Produits $\gamma x \xi^Y$
		des centres de gravité g x	des anti- pôles π^Y ξ^Y	
1	2	3	4	5
1	1.541	9 ^m 32	9 ^m 37	134.573
2	2.759	8.36	8.40	193.748
3	5.349	7.00	7.05	263.973
4	10.589	5.20	5.30	291.833
5	19.604	3.01	3.18	187.646
6	30.199	0.41	1.96	24.268
7	26.329	2.24	2.48	146.263
8	17.019	4.64	4.72	372.730
9	9.403	6.72	6.77	427.784
$\sum \gamma = \frac{b}{a}$	122.792	$I_{Y'} = \sum \gamma x \xi^Y = 2042.818$		

Art. 2. — Moment d'inertie des γ par rapport à $X'X'$.

Les y sont arrêtés à $X'X'$ (f_4). $I_{X'} = \sum \gamma y'^2$.

Disposons les poids élastiques γ sur une parallèle à $X'X'$.

Construisons un polygone des forces de pôle O'' , de distance polaire $p'' = \frac{\mathcal{L}}{6}$, comptée

A. — Construction graphique. Funiculaire 4.

verticalement, puis le funiculaire 2.

Ses côtés prolongés découpent sur $X'X'$ des longueurs

$$v_1 = \frac{\gamma_1 y'_1}{p''}, \quad v_2 = \frac{\gamma_2 y'_2}{p''}, \quad \dots$$

Déterminons les antipôles $\pi^{X'}$ ($\xi^{X'}$, $\eta^{X'}$) de $X'X'$ par rapport aux ellipses centrales des tranches.

Attachons-y parallèlement à $X'X'$ les longueurs v_1, v_2, \dots

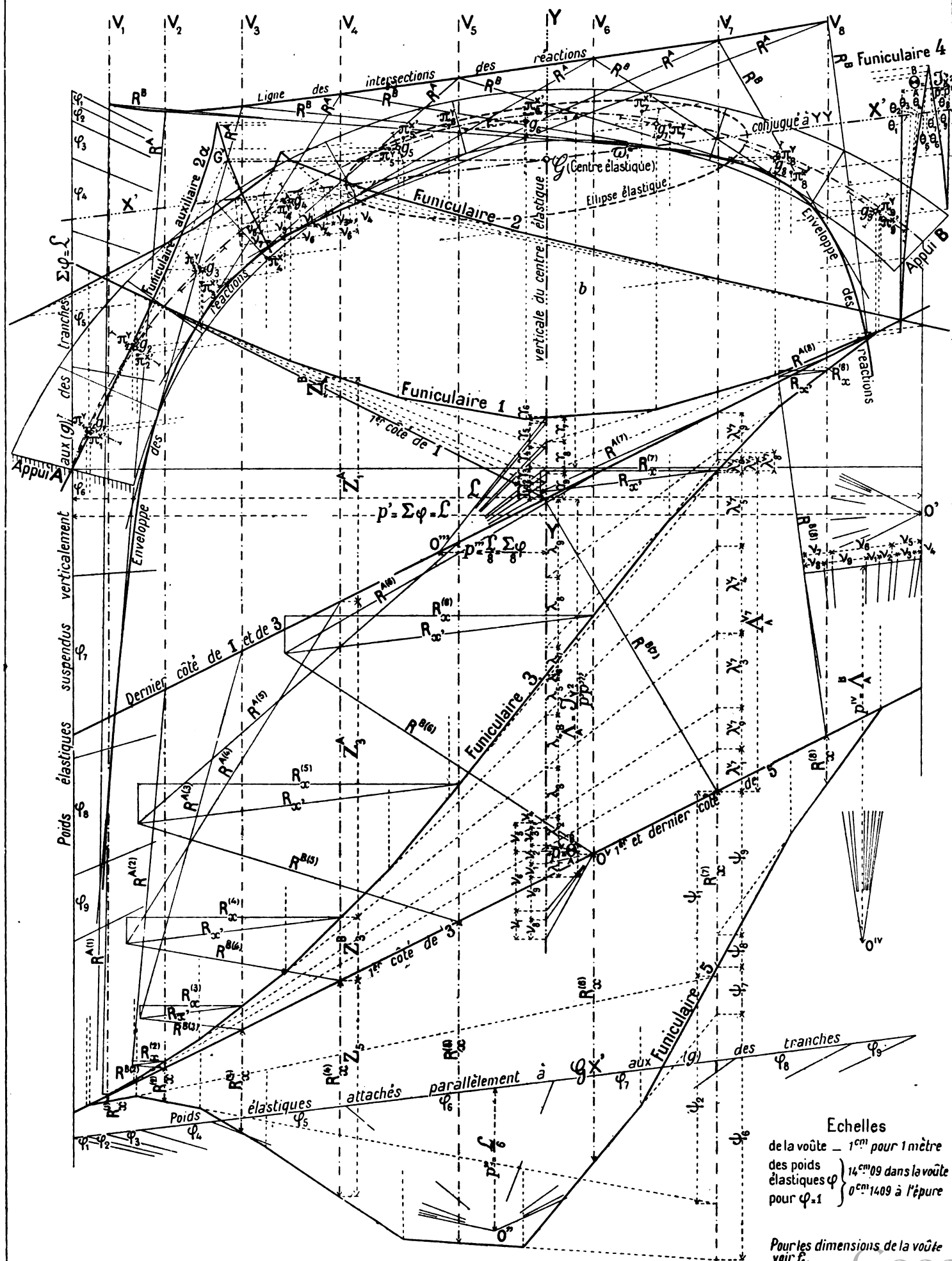
Construisons le polygone des forces O^{IV} , de distance polaire p^{IV} (comptée verticalement), puis le funiculaire 4.

Les côtés extrêmes de 4 sont parallèles.

Soient $\theta_1, \theta_2, \dots$ les segments découpés sur $X'X'$, par les côtés prolongés de 4.

$$\theta_1 = \frac{v_1 \eta'_1}{p^{IV}} = \frac{\gamma_1 y'_1 \eta'_1}{p'' p^{IV}}, \quad \theta_2 = \frac{v_2 \eta'_2}{p'' p^{IV}}, \quad \dots$$

Arc dissymétrique soumis à des forces verticales
Réactions des appuis. — Ligne de leurs intersections. — Leur enveloppe



Echelles
 de la voûte — 1^{cm} pour 1 mètre
 des poids élastiques φ } 14^{cm} 09 dans la voûte
 pour $\varphi = 1$ } 0^{cm} 14 09 à l'épure

Pour les dimensions de la voûte voir fig. 1.

φ, y, η est le moment d'inertie de φ , par rapport à $X'X'$.

La somme $\varphi_1 + \varphi_2 + \dots = \overset{B}{\underset{A}{\Theta}}$ est donc, divisé par $p''p^{IV}$, le moment d'inertie $I_{X''}$ des poids élastiques de tout l'arc par rapport à $X'X'$.

$$I_{X''} = \overset{B}{\underset{A}{\Theta}} p'' p^{IV}$$

TABLEAU IV. — Calcul de $I_{X''}$ et de $\overset{B}{\underset{A}{\Theta}}$ distance, suivant $X'X'$, entre les côtés extrêmes du funiculaire 4 (f.).

B. — Vérification par le calcul.

sur l'épure $p'' = 2^m883$
 $p^{IV} = 7^m700$

$$\overset{B}{\underset{A}{\Theta}} \left(\begin{array}{c} \text{mesuré} \\ \text{sur} \\ \text{l'épure} \end{array} \right) = \frac{150.004 (\text{col.5})}{2.883 \times 7.700} \times 0.141 (\varphi = 1 \text{ p. 133})$$

$$= 0^m953$$

La construction graphique est exacte.

N° des tran- ches	Poids élas- tiques (Tableau I col. 7) φ	Distance verticale à $X'X'$ mesurée sur l'épure à l'échelle de 0 ^m 05 par m.		Produits $\varphi y' \eta' x'$
		des centres de gravité g y'	des anti- pôles $\pi'x'$ $\eta'x'$	
1	2	3	4	5
1	1.541	4 ^m 30	4 ^m 40	29.155
2	2.759	2.78	2.90	22.333
3	5.349	1.38	1.58	11.663
4	10.589	0.19	1.28	2.575
5	19.604	0.60	0.82	9.645
6	30.199	0.84	0.95	24.099
7	26.329	0.45	0.74	8.768
8	17.019	0.48	0.90	7.352
9	9.403	1.83	2.00	34.414
$\sum \varphi = 122.792$		$I_{X''} = \sum \varphi y' \eta' x' = 150.004$		

En pratique on ne trace pas l'ellipse élastique ; si, pour plus de clarté on la veut tracer, on a ainsi ses axes conjugués :

$$\left. \begin{aligned} I_{Y'} &= \overset{B}{\underset{A}{\Lambda}} (\text{funiculaire 3}) p' p''' = j_Y^2 \sum \varphi = a'^2 \cos^2 \alpha \sum \varphi \\ I_{X''} &= \overset{B}{\underset{A}{\Theta}} (\text{funiculaire 4}) p'' p^{IV} = b'^2 \sum \varphi \end{aligned} \right\} \begin{aligned} a' &= 4^m112 \\ b' &= 1^m105 \end{aligned}$$

Art. 3. — Longueur des 2 axes conjugués de l'ellipse élastique : a' suivant $X'X'$, b' suivant YY .

§ 3. — MOMENTS CENTRIFUGES DES φ PAR RAPPORT :

D'UNE PART A UN AXE ($\mathcal{G}Y$, OU $\mathcal{G}X'$)

D'AUTRE PART A UNE FORCE VERTICALE.

Prolongeons jusqu'à V , les côtés de 3.

Soient $\lambda_1^{V_1}, \lambda_2^{V_1}, \dots$ les segments interceptés

$$\lambda_1^{V_1} = \frac{\varphi_1 \xi_1 \omega^{ce}(g, V_1)}{p' p'''}, \quad \lambda_2^{V_1} = \frac{\varphi_2 \xi_2 \omega^{ce}(g, V_1)}{p' p'''}, \dots$$

Ce sont, divisés par $p' p'''$, les moments centrifuges des φ par rapport à $\mathcal{G}Y$ et à V_1 .

La somme $\lambda_1^{V_1} + \lambda_2^{V_1} + \dots = \overset{V_1}{\underset{A}{\Lambda}}$ est, divisée par $p' p'''$, la somme des moments centrifuges, par rapport à YY et V_1 , des φ de A à V_1 .

Art. 1. — Par rapport à YY et à une autre verticale (par exemple V_1).

**Art. 2. — Par rapport à X'X' et à la verticale V_r.
Funiculaire 5.**

Appliquons verticalement aux antipôles $\pi_i^{X'}$ de X'X' les moments $\nu_i = \frac{\varphi_i y_i'}{p''}$,
 $\nu_i = \frac{\varphi_i y_i'}{p''}$, (funiculaire 2).

Plaçons les ν sur YY à partir du premier côté de 3 ; plaçons sur ce côté un pôle O^v, et construisons un polygone des forces de distance polaire p^v , puis le funiculaire 5.

Les côtés prolongés de 5 interceptent sur V_r les segments

$$\psi_i = \nu_i \frac{\omega^{\circ}(\pi_i^{X'} V_r)}{p^v} = \frac{\varphi_i y_i' \omega^{\circ}(\pi_i^{X'} V_r)}{p'' p^v}, \quad \psi_i = \frac{\varphi_i y_i' \omega^{\circ}(\pi_i^{X'} V_r)}{p'' p^v}, \dots$$

Ce sont, divisés par $p'' p^v$, les moments centrifuges des φ par rapport à X'X' et à la verticale V_r.

CHAPITRE II

COMMENT A L'AIDE DES FUNICULAIRES 1 A 5

ON CONSTRUIT LES RÉACTIONS DES APPUIS

DUES A DES FORCES VERTICALES

§. 1. — *DANS LES FORMULES p. 131 REMPLACER LES MOMENTS
PAR DES LONGUEURS PRISES SUR LES FUNICULAIRES 1, 3, 5.*

**Art. 1. — Formules
générales.**

1° Réaction de l'appui de droite R^B.

$$\left. \begin{aligned} \frac{R_y^B}{V} &= \frac{\frac{v}{\Delta} I_{VY}}{\frac{b}{\Delta} I_{X^2}} = \frac{\frac{v}{\Delta} p' p''}{\frac{b}{\Delta} p' p'''} = \frac{\frac{v}{\Delta}}{\frac{b}{\Delta}} \\ \frac{R_x^B}{V} &= \frac{\frac{v}{\Delta} I_{VX'}}{\frac{b}{\Delta} I_{X^2}} = \frac{\frac{v}{\Delta} \Psi_p p^v}{\frac{b}{\Delta} \Theta_p p^{IV}} = \frac{\frac{v}{\Delta} \Psi_p^v}{\frac{b}{\Delta} \Theta_p^{IV}} \end{aligned} \right\} \begin{aligned} \frac{R_y}{R_x} &= \frac{\frac{v}{\Delta} \Theta}{\frac{b}{\Delta} \Psi} \frac{p^{IV}}{p^v} \end{aligned}$$

$$\frac{R^B r_B}{V} = \frac{\frac{v}{\Delta} \mathcal{M}(V)}{\frac{b}{\Delta} \sum \varphi} = \frac{\frac{v}{\Delta} \Gamma p'}{\frac{b}{\Delta} \sum \varphi}$$

$$m \cos \theta = \frac{R^B r_B}{R_y^B} \quad n = \frac{R^B r_B}{R_x^B}$$

2° Réaction de l'appui de gauche R^A.

Pour R^B, on a mesuré les ordonnées entre les funiculaires 1, 3, 5 et leur 1^{er} côté (côté extrême de gauche) prolongé ; pour R^A, on les mesurera entre les polygones et leur dernier côté (côté extrême de droite).

2. — φ_3 , ψ_4 et ψ_5 sont en dehors de l'épure Pl. I.

On adoptera $p' = \sum p$.

Avec M. Guidi, ⁴ j'ai pris $p^{IV} = \frac{b}{\Lambda}$, $p^V = \frac{b}{\Lambda}$; p'' et p''' qui disparaissent des formules peuvent être prises arbitrairement. ⁵

Art. 2. — Choix de distances polaires pour simplifier formules et constructions.

Réactions de l'appui.

		de droite R^B	de gauche R^A
Moment	$\frac{Rr}{V} =$	$\frac{v}{\Lambda} = Z_1^B$ (Ordonnée entre le funiculaire 1 et son 1 ^{er} côté (gauche).)	$\frac{b}{v} = Z_1^A$ (Ordonnée entre le funiculaire 1 et son dernier côté (droite).)
Composante verticale	$\frac{R_y}{V} =$	$\frac{1}{\Lambda} \frac{v}{\Lambda} = \frac{1}{\Lambda} Z_3^B$ (Ordonnée entre le funiculaire 3 et son 1 ^{er} côté.)	$\frac{1}{\Lambda} \frac{b}{v} = \frac{1}{\Lambda} Z_3^A$ (Ordonnée entre le funiculaire 3 et son dernier côté.)
Composante horizontale	$\frac{R_x}{V} =$	$\frac{1}{\Lambda} \frac{v}{\Lambda} \left(= \frac{b}{v} \right) = \frac{1}{\Lambda} Z_5$ (Ordonnée entre le funiculaire 5 et ses côtés extrêmes, qui se confondent.)	
Distances à \mathcal{G} (Coordonnées à l'origine)	suivant \mathcal{GX}	$\frac{b}{\Lambda} \frac{Z_1^B}{Z_3^B}$	$\frac{b}{\Lambda} \frac{Z_1^A}{Z_3^A}$
	suivant \mathcal{GY}	$\frac{b}{\Lambda} \frac{Z_1^B}{Z_5}$	$\frac{b}{\Lambda} \frac{Z_1^A}{Z_5}$

Ainsi les funiculaires **1, 3, 5**, sont des lignes d'influence⁶: **1** du moment Rr par rapport au centre élastique, **3** de la composante verticale, **5** de la composante horizontale de la réaction de chaque appui due à une force verticale V .

3. — A l'épure (Pl. I), l'échelle des p est telle que $\frac{b}{\Lambda} p = \mathcal{L}$ (portée de la fibre moyenne).

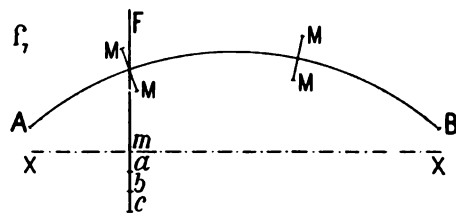
4. — *L'Arco elastico senza cerniere* — Académie des Sciences de Turin, 1902.

5. — A la Pl. I; $p'' = \frac{\frac{b}{\Lambda} p}{6} = \frac{\mathcal{L}}{6}$ $p''' = \frac{\frac{b}{\Lambda} p}{8} = \frac{\mathcal{L}}{8}$

6. — J'en rappelle la définition.

Sur un arc AB agissent des charges fixes (poids mort), des charges roulantes.....

Considérons l'une d'elles $F (f_i)$.



Sur une section MM , elle produit : un moment de flexion, — une poussée horizontale, — un certain effort par $\overline{Om}Ol^2$ à l'intrados, à l'extrados, — un déplacement du centre de gravité.....

Représentons sur la ligne d'action de F chacune de ces quantités par des longueurs comptées à partir d'un axe XX : ma, mb, mc .

Puis faisons avancer la charge F d'un appui à l'autre, par exemple de A à B .

Les lieux des points a, b, c, \dots sont les « lignes d'influence » du moment, de la poussée horizontale, du travail par

$\overline{Om}Ol^2$, du déplacement vertical du centre de gravité..... relatifs à la section MM .

Chaque section a ses lignes d'influence.

Supposons qu'on les ait tracées pour la force 1 : pour une force de N^{Tonnes} , toutes les ordonnées seront multipliées par N ; pour une section, une même ligne d'influence servira pour chaque charge et chaque surcharge.

Si plusieurs charges ou plusieurs surcharges agissent ensemble, on ajoute leurs ordonnées.

Art. 3. — Comment on construit les réactions R^B , R^A .

On a successivement (Pl. I), par 5, R_x puis R_y ; par 3, R_y^B , puis R^B ; R_y^A , puis R^A .

Pour avoir la ligne d'action de R^B , on détermine sa distance à \mathcal{G} .

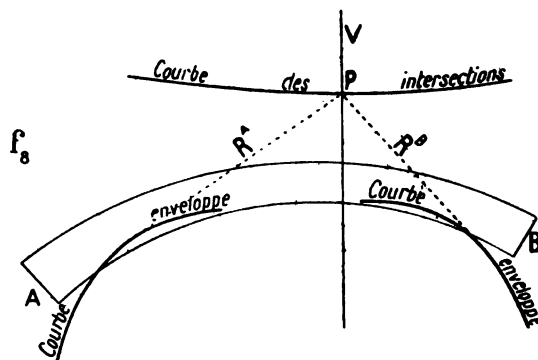
$$\mathcal{M} = R^B r_B \quad \text{d'où } r_B$$

Autour de \mathcal{G} , décrivons un arc de rayon r_B et menons une tangente parallèle à R^B .

R^A en place passe par le point de rencontre de V et de R^B et est parallèle à R^A qu'on a construite. Comme vérification, on place R^A .

Pour une charge V près d'un appui, les réactions sont assez mal déterminées; une erreur sur elles change peu les efforts; si cependant on les voulait exactes, on déterminerait l'antipôle π de V pour l'ellipse élastique entre l'autre appui et V , puis l'antipolaire de π par rapport à l'ellipse élastique totale.

**§ 2. — COURBE DES INTERSECTIONS
ET COURBE ENVELOPPE DES RÉACTIONS**



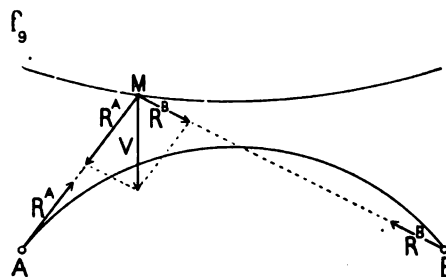
Les deux réactions R^A , R^B d'une force $V=1$ se coupent en un point P de la ligne d'action de V (f_8).

Déplaçons V de A à B et traçons pour chaque position de V ses deux réactions. On obtient deux courbes; celle des intersections des réactions et leur enveloppe.⁷

Par elles, on a immédiatement les réactions dues à une force verticale quelconque V (f_8).

Du point de rencontre P de V , avec la courbe des intersections, on mène les deux tangentes à la courbe enveloppe.⁸

7. — Ces deux courbes ont été indiquées par E. Winkler, Professeur à l'Ecole Polytechnique de Prague « *Die Lehre von der Elasticität und Festigkeit* ». Prague 1867, p. 328 et suivantes.

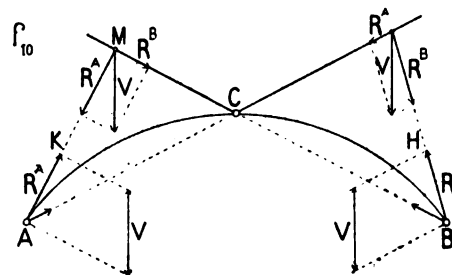


des intersections est : à droite de C , AC prolongée — à gauche de C , BC prolongée.

Pour un même V , le lieu du point K extrémité des réactions R^A , est une parallèle à BC , à V au-dessus de celle menée par A — de même, le lieu de H est une parallèle à AC , à V au-dessus de celle menée par B .

8. — S'il y a aux reins deux articulations A , B (f_9), les deux réactions d'une charge V passent par A et B ; l'enveloppe de R^A , R^B est réduite aux points A et B .

S'il y a trois articulations A , B , C , (f_{10}), l'enveloppe de R^A , R^B demeure réduite aux points A et B ; la ligne



Ces courbes tracées avec $V = 1$ ne dépendent pas de l'intensité de V , mais seulement des propriétés élastiques de l'arc.

On n'en a pas besoin pour tracer les lignes d'influence, mais elles sont fort utiles, et comme contrôle, et parce qu'elles permettent de trouver de suite les réactions dues à une charge, de délimiter les zones à efforts > 0 , < 0 ,

CHAPITRE III

CALCUL, A L'AIDE DES LIGNES D'INFLUENCE,
DES EFFORTS EN KG $\sqrt{0^m 0^1}$ A L'INTRADOS β_i ET A L'EXTRADOS β_e ,
D'UNE SECTION QUELCONQUE MM, SOUS L'ACTION D'UNE FORCE 1.

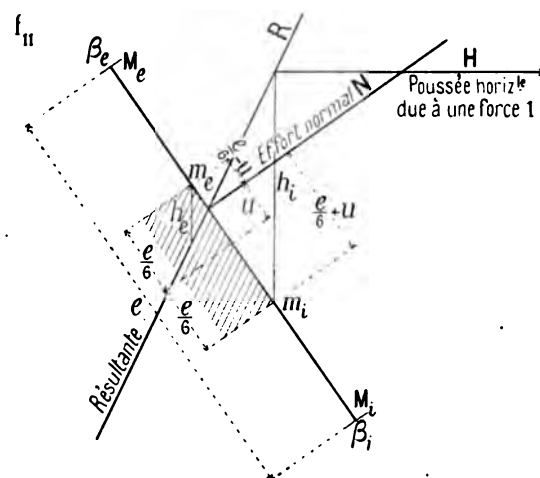
$$\left\{ \begin{array}{l} \beta_i = \frac{N}{el} \left(1 - \frac{6u}{e} \right) = \frac{N}{\frac{1}{6} e^2 l} \left(\frac{e}{6} - u \right) \\ \beta_e = \frac{N}{el} \left(1 + \frac{6u}{e} \right) = \frac{N}{\frac{1}{6} e^2 l} \left(\frac{e}{6} + u \right) \end{array} \right.$$

Art. 1. — Expression de β_i et β_e en fonction de la poussée horizontale H et des distances verticales h_e , h_i de m_e , m_i , limites du noyau central, à la résultante R des actions sur MM. (f_{11})

$$\left\{ \begin{array}{l} \mathcal{M}_e \left(\begin{array}{c} \text{moment de } R \\ \text{par rapport à } m_e \end{array} \right) = N \left(\frac{e}{6} - u \right) = H \left(\begin{array}{c} \text{poussée} \\ \text{horizontale} \end{array} \right) h_e \\ \mathcal{M}_i \left(\begin{array}{c} \text{moment de } R \\ \text{par rapport à } m_i \end{array} \right) = N \left(\frac{e}{6} + u \right) = H h_i \end{array} \right.$$

$$\text{Donc } \beta_e = \frac{H h_i}{\frac{1}{6} e^2 l} \quad \beta_i = \frac{H h_e}{\frac{1}{6} e^2 l}$$

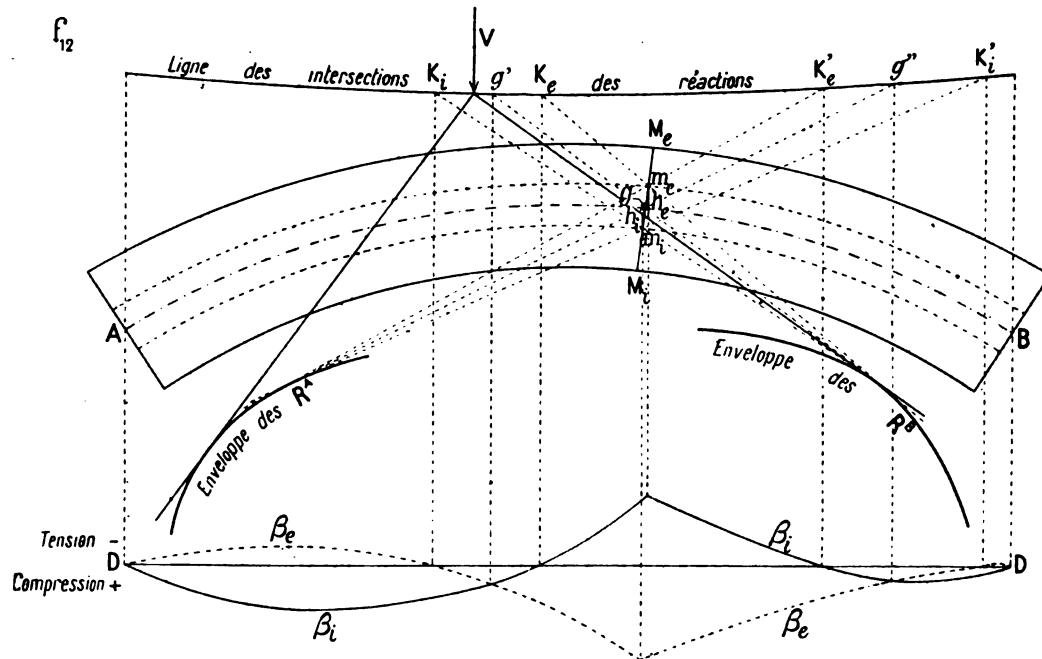
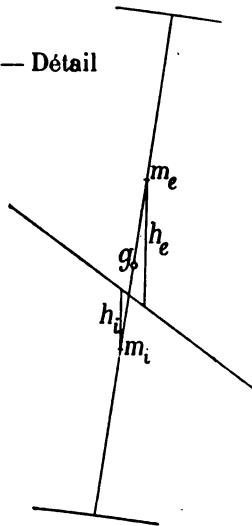
H est la poussée horizontale due à une charge verticale 1 ;
 β_e , β_i sont les efforts pour une charge 1



Art. 2. — Comment, pour une section MM, on construit les lignes d'influence de β_i , β_e (f_{11} , f_{12}).

Comme pour une section donnée, $\frac{1}{6}e^2l$ est constant, les lignes d'influence de β_i et β_e sont, à l'échelle près, celles des moments $H h_e$, $H h_i$.

f_{11} — Détail



On a déjà construit la ligne d'influence de la poussée horizontale H ; c'est le funiculaire 5. On mesure h_i , h_e sur l'épure.

On fait les produits $H h_e$, $H h_i$; on les divise par $\frac{1}{6}e^2l$.

Le calcul détaillé est donné plus loin pour l'arc symétrique.

Art. 3. — Vérification des points des lignes d'influence sur leur horizontale de base (f_{11}).

Par m_e , bord supérieur du noyau central de la section MM, menons une tangente à l'enveloppe des R^+ et des R^- ; elle coupe en K_e , K'_e la courbe de leurs intersections. La force verticale suspendue à K_e , K'_e produira en M_i un effort $\beta_i = 0$ ($h_e = 0$).

Donc la ligne d'influence des β_i coupe son horizontale de base DD sur la verticale de K_e , de K'_e .

De même la ligne d'influence des β_e coupe DD sur la verticale de K_i , de K'_i .

Art. 4. — Zones dans lesquelles les forces produisent des efforts > 0 ou < 0 (f_{11}).

Une force entre K_e et K'_e a un $h_e < 0$; elle produira donc en M_i un effort β_i négatif : elle diminue le travail à l'intrados.

Une force à gauche de K_i , à droite de K'_i a aussi un $h_i < 0$; elle produira en M_e un effort $\beta_e < 0$: elle diminue le travail à l'extrados.

Une force entre K_i , K'_i et K_e , K'_e produira en M_i et M_e un effort > 0 ; toute la section est comprimée⁹.

Menons par le milieu g de $M_e M_i$ des tangentes aux enveloppes. Elles coupent en g' , g'' la ligne des intersections.

Les lignes d'influence de β_i , β_e se coupent sur les verticales de g' , g'' .

9. — Cette méthode de déterminer la charge la plus défavorable est due à Winkler « Die Lehre von der Elasticität und Festigkeit ». Prague 1867, p. 295 et 330.

CHAPITRE IV

CALCUL DES EFFORTS PAR $\overline{0^m01^2}$

DUS — NON PLUS A UNE FORCE 1 — MAIS AUX FORCES

(POIDS, SURCHARGES)

AGISSANT RÉELLEMENT SUR L'ARC.

§ 1. — *PAR LES LIGNES D'INFLUENCE DES $\beta_i, \beta_e (f_{ii})$*

Chaque poids mort P , chaque surcharge V produit un effort réel β égal à l'ordonnée de la ligne d'influence, multipliée par P , par V .

Pour chaque section, on fera, une fois pour toutes, la somme des efforts dus aux poids P ; puis on calculera ceux dus aux surcharges pour différentes positions du train d'épreuve; on en déterminera par tâtonnements la somme maxima.

(Voir plus loin au titre IV le calcul pour un arc symétrique).

§ 2. — *PAR LES COURBES DE PRESSION*

Par un polygone des forces, on compose ensemble toutes les réactions R^A , toutes les réactions R^B . Soient α^A, α^B les résultantes: on les met en place par un funiculaire.

Puis on construit un funiculaire des poids et surcharges dont le premier côté est α^A et dont le dernier sera α^B . C'est la courbe des pressions.

On a les efforts β_i, β_e dans une section par les formules usuelles:

$$\beta_i = \frac{N}{el} \left(1 - \frac{6u}{e} \right) \quad \beta_e = \frac{N}{el} \left(1 + \frac{6u}{e} \right) \quad (f_{ii})$$

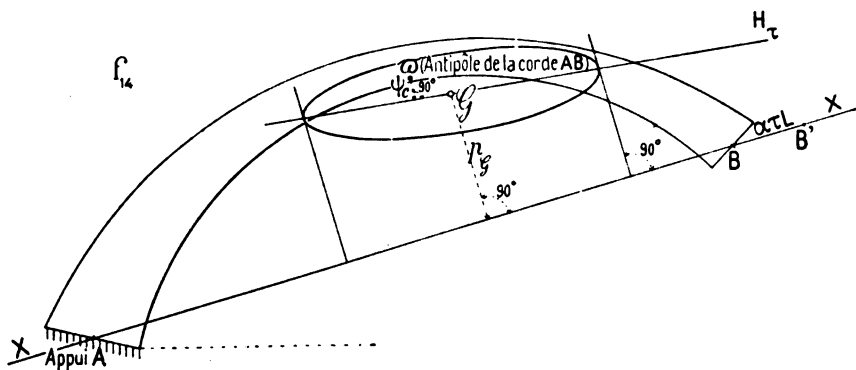
On a N par le polygone des forces agissant sur la voûte, u par la courbe des pressions.

En pratique, c'est par les lignes d'influence qu'on détermine les efforts: on ne construit guère de courbes de pression que pour les poids morts.

CHAPITRE V

RÉACTION H_τ DUE A UNE VARIATION DE TEMPÉRATURE τ

Supposons encore l'appui A fixe, l'appui B libre. Sous l'action d'une variation de température τ , une dimension l se dilate ou se contracte de $\alpha\tau$. Les angles des joints avec la fibre moyenne ne changent pas.



B s'avance suivant la corde $AB = L$ de $BB' = \alpha\tau L$: c'est une rotation autour d'un point π à l'infini sur une normale à la corde.

La réaction H_τ , pour ramener l'appui B à sa place, doit produire une translation égale et opposée. Ce sera l'antipolaire de π par rapport à l'ellipse totale ; elle passe par G , puisque son antipôle est à l'infini et elle est conjuguée aux normales à la corde AB.

Déplacement $= \alpha\tau L = H_\tau \times$ moment centrifuge des φ par rapport à H_τ et à la corde AB.
 $= H_\tau \times \sum \varphi \times p_G$ (distance à la corde AB du centre élastique G) $\times \psi_c$ (distance à la réaction H_τ de l'antipôle π de la corde AB).

$$\varphi \text{ est } \frac{L}{EI} \left(\text{et non } \frac{L}{I} \right).$$

$$H_\tau = \frac{E\alpha\tau L}{\sum \varphi p_G \psi_c}$$

Si la température s'abaisse, H est négatif.

TITRE IV
ARC SYMÉTRIQUE
EFFORTS DANS LA VOÛTE DU PONT ANTOINETTE^{1, 2}

CHAPITRE I

CARACTÉRISTIQUES ÉLASTIQUES DE L'ARC
COURBE DES INTERSECTIONS
ET COURBE ENVELOPPE DES RÉACTIONS

§ 1. — *DIMENSIONS DE LA VOÛTE*

Intrados arc de 31 ^m de rayon	Portée	47 ^m 396	Épaisseur	à la clef	1 ^m 50
	Montée	11 ^m 015		aux retombées	2 ^m 283
Fibre moyenne	Portée 2a'	49 ^m 142	Fruit des têtes		0.04
	Montée b'	11 ^m 029	Largeur du pont au niveau des rails		4 ^m 74

§ 2. — *CENTRE ÉLASTIQUE*

On divise chaque demi-voûte en 9 tranches de 3^m08 de longueur comptée suivant la fibre moyenne.

$$a \left(\frac{1}{2} \text{ grand axe des ellipses centrales des tranches} \right) = 0.289 \times 3^{\text{m}}08 = 0^{\text{m}}890 \text{ (p. 132).}$$

Dans le calcul des moments d'inertie des sections transversales, on a admis comme largeur de la voûte, le rapport de la largeur réelle à 4^m74, largeur au niveau du rail.

TABLEAU I. — *Petit axe de l'ellipse centrale des tranches — Leurs poids élastiques.*

Nos des tranches à partir de la clef	Dimensions de la voûte au droit des centres de gravité <i>g</i> des tranches		Demi petit axe de l'ellipse centrale de la tranche $b = 0.289 e$	Moment d'inertie de la section transversale $I = \frac{1}{12} \left(\frac{l}{4.74} \right) e^3$	Poids élastique de la tranche $p = \frac{L = 3^{\text{m}}08}{I}$
	Épaisseur <i>e</i>	Largeur <i>l</i>			
1	2	3	4	5	6
1 (clef)	1 ^m 51	4 ^m 88	0 ^m 436	0.295386	10.4270
2	1.53	4.90	0.442	0.308540	9.9825
3	1.57	4.95	0.454	0.336779	9.1455
4	1.63	5.02	0.471	0.382215	8.0583
5	1.70	5.11	0.491	0.441376	6.9782
6	1.80	5.28	0.520	0.536240	5.7437
7	1.92	5.35	0.555	0.665729	4.6265
8	2.05	5.50	0.592	0.833038	3.6973
9 (retomb.)	2.20	5.68	0.635	1.063302	2.8967
$\Sigma p \text{ (1/2 voûte)} = 61.5557$					

1. — Tome II, p. 145.

2. — Je n'ai fait que résumer l'excellent mémoire de M. le Professeur Guidi : « *L'arco elastico senza cerniere* » Académie des Sciences de Turin, Novembre 1902.

Art. 3. — Centre élastique \mathcal{G} de l'arc.

A. — Construction graphique. Funiculaires 1 et 2 Pl. II.

\mathcal{G} est sur la verticale YY, axe de symétrie, axe de l'ellipse élastique.

Le funiculaire 1 des φ suspendus verticalement aux g (p. 133) est symétrique par rapport à YY ; ses côtés extrêmes se coupent sur YY ; il est horizontal à la clef.

Attachons les φ horizontalement aux g ; traçons un funiculaire 2 : \mathcal{G} est sur l'horizontale XX passant par le point de rencontre sur YY de ses côtés extrêmes ; XX est l'autre axe de l'ellipse élastique.

Dans l'épure Pl. II, on a pris :

p' (distance polaire de 1) = $2a'$ (portée de la fibre moyenne) = 49^m142 .

$$= \Sigma \varphi \left(\begin{array}{l} \text{voûte entière, 18 tranches, } 2 \times 61.5557 : \text{ c'est-à-dire que} \\ \varphi = 1 \text{ est représenté par } \frac{49^m142}{2 \times 61.5557} = 0^m3992. \end{array} \right)$$

Le pôle O' est en dehors de l'épure ; pour tracer les rayons du polygone P', on a joint les divisions de l'échelle des φ à celles d'une échelle des $\frac{\varphi}{2}$ sur YY.

p'' (distance polaire de 2) = $\frac{2a'}{6} = 8^m19$.

B. — Vérification par le calcul de la position de \mathcal{G} .

TABLEAU II. — Position sur YY du centre élastique.

N° des tranches	Poids élastiques (Tableau I col. 6)	Par rapport à l'horizontale de g ,		Vérification : par rapport à $\mathcal{G}X$ (horizontale de \mathcal{G})	
		Ordonnées des g mesurées sur l'épure à 3 ^{cm} p. 1 ^m	Moments des φ	Ordonnées des g	Moments des φ
1	φ	y	φy	$y' =$ $y - 7^m376$	$\varphi y'$
1 (clef)	10.4270	9 ^m 89	103.123	2 ^m 514	26.21
2	9.9825	9.58	95.632	2.204	22.00
3	9.1455	9.00	82.310	1.624	14.85
4	8.0583	8.15	65.675	0.774	6.24
5	6.9782	7.01	48.916	— 0.366	— 2.55
6	5.7437	5.62	32.280	— 1.756	— 10.09
7	4.6265	3.97	18.365	— 3.406	— 15.76
8	3.6973	2.09	7.727	— 5.286	— 19.54
9 (ret.)	2.8967	0	0	— 7.376	— 21.86
$\Sigma \varphi (\frac{1}{2} \text{ voûte}) = 61.5557$		$\Sigma \varphi y = 454.028$		$\Sigma \varphi y' = 0$	

$$\frac{\Sigma \varphi y}{\Sigma \varphi} = \frac{454.028}{61.5557} = 7^m376$$

\mathcal{G} est à 7^m376 au-dessus de g :

La construction graphique est exacte.

A l'aide des axes a et b des ellipses centrales des tranches (art. 2 précédent), on marque les antipôles π^y et π^x de $\mathcal{G}Y$ et de $\mathcal{G}X$ par rapport à ces ellipses.

**§. 3. — MOMENTS D'INERTIE DES φ PAR RAPPORT A $\mathcal{G}Y$, $\mathcal{G}X$
AXES DE L'ELLIPSE ÉLASTIQUE**

Art. 1. — Moments d'inertie des φ par rapport à $\mathcal{G}Y$.

On suspend verticalement les moments des φ (φx , funiculaire 1) aux antipôles de $\mathcal{G}Y$: on construit un polygone des forces, de pôle O'', pris sur le dernier côté de 1, de distance polaire p''' , puis le funiculaire 3.

A. — Construction graphique. Funiculaire 3 Pl. II.

Avec $p''' = \frac{2a'}{4} = 12^m2855$ (soit $\frac{\Sigma \varphi}{4}$, $\Sigma \varphi$ étant représenté par $2a'$, voir plus haut Art. 3 — A), on mesure sur l'épure :

$$\Lambda \text{ (distance verticale des côtés extrêmes de 3)} = 12^m48$$

TABLEAU III. — Calcul de I_{Y^2} et de Λ^B .

N° des tranches	Poids élastiques (Tableau I col. 6)	Distance à YY mesurée sur l'épure à l'échelle de 3 ^m pour 1 ^m		Produits $\varphi x \xi_Y$
		des centres de gravité g	des anti- pôles π^Y	
		x	ξ_Y	
1	2	3	4	5
1 (clef)	10.4270	1 ^m 54	2 ^m 04	32.757
2	9.9825	4.61	4.78	219.972
3	9.1455	7.64	7.75	541.505
4	8.0583	10.62	10.68	913.985
5	6.9782	13.50	13.58	1279.313
6	5.7437	16.24	16.28	1518.561
7	4.6265	18.85	18.88	1646.516
8	3.6973	21.28	21.32	1677.427
9 (ret.)	2.8967	23.53	23.57	1606.516

$$\frac{1}{2} I_{Y^2} = \Sigma \varphi x \xi_Y^2 = 9436.552$$

B. — Vérification par le calcul

$$\Lambda^B = \frac{I_{Y^2}}{p' p'''} = \frac{2 \times 9436.552 \text{ (Tableau III, col. 5)}}{49^m142 \times 12^m2855} = 0^m3992 \text{ (} p = 1 \text{ p. 146 Art. 3—A) } = 12^m479$$

La construction graphique est exacte.

On attache horizontalement les moments des φ (φy , funiculaire 2) aux antipôles de $\mathcal{G} X$. On construit un polygone des forces O^{IV} de distance polaire $p^{IV} = \Lambda^B = 12^m48$, puis le funiculaire 4.

On mesure sur l'épure :

$$\Theta^B \text{ (distance horizontale des côtés extrêmes de 4 qui sont verticaux)} = 3^m86$$

TABLEAU IV. — Calcul de I_{X^2} et de Θ^B .

N° des tranches	Poids élastiques (Tableau I col. 6)	Distance à XX mesurée sur l'épure à l'échelle de 3 ^m pour 1 ^m		Produits $\varphi y \eta_X$
		des centres de gravité g	des anti- pôles π^X	
		y	η_X	
1	2	3	4	5
1 (clef)	10.4270	2 ^m 51	2 ^m 57	67.261
2	9.9825	2.20	2.30	50.511
3	9.1455	1.62	1.77	26.224
4	8.0583	0.77	1.13	7.012
5	6.9782	0.37	1.23	3.176
6	5.7437	1.76	1.97	19.915
7	4.6265	3.41	3.52	55.532
8	3.6973	5.29	5.37	105.030
9 (ret.)	2.8967	7.38	7.46	159.477

$$\frac{1}{2} I_{X^2} = \Sigma \varphi y \eta_X^2 = 494.138$$

$$\Theta^B = \frac{I_{X^2}}{p'' p^{IV}} = \frac{2 \times 494.138 \text{ (Tableau IV, col. 5)}}{8^m19 \times 12^m48} = 0^m3992 \text{ (} p = 1 \text{ p. 146 Art. 3—A) } = 3^m860$$

La construction graphique est exacte.

Art. 2. — Moments d'inertie des φ par rapport à $\mathcal{G} X$.

A. — Construction graphique. Funiculaire 4 Pl. II.

B. — Vérification par le calcul.

$$I_{Y^2} = a''^2 \Sigma \varphi \quad a'' = 12^m38.$$

$$I_{X^2} = b''^2 \Sigma \varphi \quad b'' = 2^m83.$$

Sur l'épure Pl. II, on a tracé l'ellipse en traits discontinus.

3. — Théorème de Culmann p. 122.

Art. 3. — Demi-axes a'' , b'' de l'ellipse élastique de l'arc.

§ 4. — MOMENTS CENTRIFUGES DES φ PAR RAPPORT :
D'UNE PART A UNE FORCE VERTICALE,
D'AUTRE PART A XX (FUNICULAIRE 5, Pl. II)

On suspend verticalement aux antipôles de XX les moments des φ (φy , funiculaire 2).

On trace un polygone des forces de pôle O^V placé sur le premier côté de 3 et de distance polaire $p^V = \frac{b}{\Delta} = 3^m86$.

5 est en chapeau de gendarme : ses côtés extrêmes se confondent ; suivant des parallèles à ces côtés, il est symétrique par rapport à YY.

§ 5. — RÉACTIONS DUES A UNE CHARGE VERTICALE (Pl. II)

Art. 1. — Réactions
de $V_s = 1^T$, appli-
quée au milieu du
joint séparant les
tranches 4, 5.

On a de suite, sur la verticale de V_s , par le funiculaire 3 : $A_y^{V_s}$ et $B_y^{V_s}$ composantes verticales des 2 réactions ; par le 5, H^{V_s} composante horizontale des 2 réactions, puis les réactions A^{V_s} et B^{V_s} (intensité et direction), puis, par les moments \mathcal{M} mesurés sur 1, leurs lignes de force, vérifiées par leurs coordonnées à l'origine.

Pour $V = 1^T$, on divisera les forces par $\Delta = 12^m48$.

TABLEAU V.

Art. 2. — Réactions
dues à une charge
de 1^T appliquée au
milieu de toutes
les sections qui
séparent les
tranches.

Emplacement de la charge		Unités	I	II	III	IV	V	VI	VII	VIII	IX
Longueurs d'après l'épure à l'échelle de 3 ^m p. 1 ^m	$\Gamma = \mathcal{M}_A$	m	5.190	6.850	8.757	10.860	13.100	15.467	17.833	20.213	22.483
	$\Gamma = \mathcal{M}_B$	m	5.190	3.783	2.633	1.733	1.067	0.600	0.287	0.117	0.027
	H'	m	14.133	13.617	12.150	10.000	7.517	5.000	2.867	1.267	0.310
	A_y'	m	6.240	7.523	8.730	9.803	10.710	11.410	11.903	12.260	12.427
	B_y'	m	6.240	4.957	3.750	2.677	1.770	1.070	0.577	0.220	0.053
	A'	m	15.450	15.533	14.950	13.983	13.067	12.450	12.200	12.267	12.383
	B'	m	15.450	14.467	12.700	10.333	7.700	5.100	2.917	1.267	0.320
	H (composante horiz ^{te}) des réactions	T	1.132	1.091	0.974	0.801	0.602	0.401	0.230	0.102	0.025
	A (intensité)	T	1.238	1.245	1.198	1.120	1.047	0.998	0.978	0.983	0.992
	r (distance à \mathcal{G})	m	4.192	5.502	7.310	9.696	12.512	15.498	18.234	20.562	22.664
Réactions de l'appui de gauche A	abscisse	m	10.380	11.364	12.519	13.826	15.265	16.917	18.697	20.576	22.579
	ordonnée	m	4.583	6.278	8.995	13.553	21.749	38.605	77.627	199.100	937.380
	B (intensité)	T	1.238	1.159	1.018	0.828	0.617	0.409	0.234	0.101	0.026
	r (distance à \mathcal{G})	m	4.192	3.264	2.586	2.092	1.729	1.467	1.227	1.158	1.038
	abscisse	m	10.380	9.524	8.763	8.079	7.523	6.998	6.208	6.637	6.358
	ordonnée	m	4.583	3.467	2.705	2.162	1.771	1.498	1.249	1.152	1.087
	B_y'	m	6.240	4.957	3.750	2.677	1.770	1.070	0.577	0.220	0.053
	\mathcal{M}_B	m	5.190	3.783	2.633	1.733	1.067	0.600	0.287	0.117	0.027
	\mathcal{M}_A	m	5.190	6.850	8.757	10.860	13.100	15.467	17.833	20.213	22.483
	\mathcal{M}	m	5.190	6.850	8.757	10.860	13.100	15.467	17.833	20.213	22.483
Réactions de l'appui de droite B	B (intensité)	T	1.238	1.159	1.018	0.828	0.617	0.409	0.234	0.101	0.026
	r (distance à \mathcal{G})	m	4.192	3.264	2.586	2.092	1.729	1.467	1.227	1.158	1.038
	abscisse	m	10.380	9.524	8.763	8.079	7.523	6.998	6.208	6.637	6.358
	ordonnée	m	4.583	3.467	2.705	2.162	1.771	1.498	1.249	1.152	1.087
	B_y'	m	6.240	4.957	3.750	2.677	1.770	1.070	0.577	0.220	0.053
	\mathcal{M}_B	m	5.190	3.783	2.633	1.733	1.067	0.600	0.287	0.117	0.027
	\mathcal{M}_A	m	5.190	6.850	8.757	10.860	13.100	15.467	17.833	20.213	22.483
	\mathcal{M}	m	5.190	6.850	8.757	10.860	13.100	15.467	17.833	20.213	22.483
	\mathcal{M}_B	m	5.190	3.783	2.633	1.733	1.067	0.600	0.287	0.117	0.027
	\mathcal{M}_A	m	5.190	6.850	8.757	10.860	13.100	15.467	17.833	20.213	22.483

§ 6. — COURBE DES INTERSECTIONS

ET COURBE ENVELOPPE DES RÉACTIONS (p. 140)

Joignons par une courbe continue les points de rencontre sur chaque charge de ses 2 réactions, puis traçons la courbe tangente à toutes les réactions R_A , à toutes les réactions R_B .

Ces 2 courbes permettent de construire les réactions dues à une charge quelconque W .

CHAPITRE II

TRAVAIL PAR 0^m01² SOUS LE POIDS MORT

§ 1. — POIDS DES TRANCHES ET SUR LES TRANCHES

TABLEAU VI.

Numéros		Poids ⁴ (a)			Totaux
des tranches	des poids des voûtes d'élé-gissement	des tranches elles-mêmes (appliquées aux centres de gravité <i>g</i>).	sur les tranches		
			Tympan pleins	Voûtes d'élé-gissement Tympan piles	
1	2	3	4	5	6
1 (clef)	6 ^{bis}	τ 11.97	τ 5.97	(demi-voûte) 20.44	τ 17.94
2		12.18	7.18		19.36
3		12.62	11.19		23.81
4		13.24	16.15		29.39
5		14.11		24.33	
6			15.26		2
7	8 ^{bis}		Pile	26.43	26.43
8		16.69			16.69
9		18.38			18.38
9 (ret.)			Pile	37.62	37.62
		20.30			20.30
Charge permanente totale = (demi-arc).					τ 249.51

(a)

Poids du m. c.
 Maçonneries { pierre..... τ 2.5
 { briques..... 1.6
 Béton 2.3
 Remplissage entre têtes..... 2.0

§ 2. — RÉSULTANTE \mathcal{R} DES RÉACTIONS D'UN APPUI

DANS UNE VOÛTE SYMÉTRIQUE

ET SYMÉTRIQUEMENT CHARGÉE DE POIDS VERTICAUX

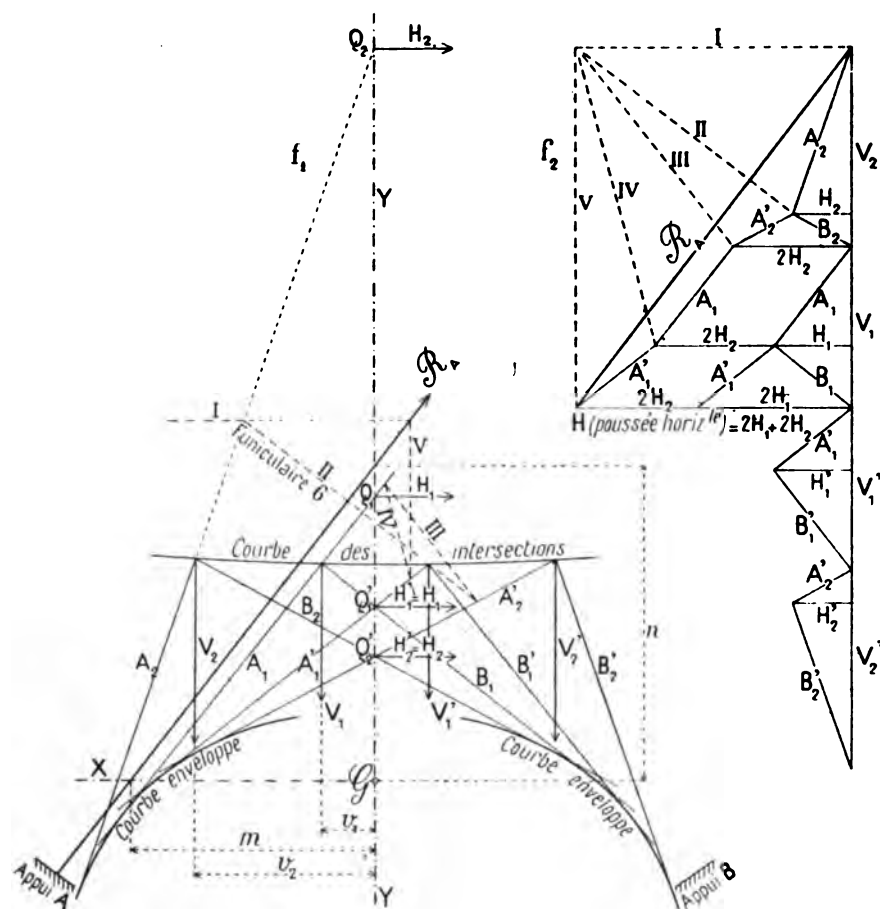
Soient $V_i V'_i$, $V_s V'_s$, des groupes de poids égaux et symétriques (f_i). A l'aide de la courbe des intersections et de la courbe enveloppe des réactions, décomposons chaque poids en ses 2 réactions.

A_i et B'_i , A_s et B'_s , B_i et A'_i , B_s et A'_s se coupent sur YY , sont symétriques par rapport à YY et à l'horizontale de leur point de rencontre.

4. — Toutes les largeurs (dimensions normales au rail), ont été divisées par 4^m74, largeur au niveau du rail.

Art. 1. — Construc-tion graphique.

Au polygone des forces (f_i), A'_i est le symétrique de B_i , A'_i celui de B_i .



La réaction résultante R_A de l'appui A ferme le polygone A, A', A_i, A'_i ; on la met en place à l'aide d'un funiculaire θ (f_i).

En raison de la symétrie, on ne fait la construction que pour la demi-arche.

Art. 2. — Vérification. — Calcul des ordonnées à l'origine de R_A .

Prenons les moments autour du centre élastique \mathcal{G} de la résultante R_A et de ses composantes A_1, A_2, A'_1, A'_2 .

$$\mathcal{M}^t \text{ (de } R_A) = \mathcal{M}^t \text{ de } A_1 + \mathcal{M}^t \text{ de } A_2 + \mathcal{M}^t \text{ de } A'_1 + \mathcal{M}^t \text{ de } A'_2$$

$$\begin{aligned} \mathcal{M}^t \text{ de } A_1 &= \mathcal{G}Q_1 \times H_1 = (\mathcal{G}Q'_1 + Q'_1Q_1) H_1 = \mathcal{G}Q'_1 \times H_1 + Q'_1Q_1 \times H_1 \\ &= \mathcal{G}Q'_1 \times H'_1 \text{ (puisque } H'_1 = H_1) + v_1 V_1 \text{ (Moment de } A_1 \text{ autour de } Q'_1) \\ &= Q'_1Q_1 \times H_1 \end{aligned}$$

de même :

$$\mathcal{M}^t \text{ de } A_2 = \mathcal{G}Q'_2 \times H'_2 + v_2 V_2, \quad \mathcal{M}^t \text{ de } A'_1 = \mathcal{G}Q'_1 \times H'_1, \quad \mathcal{M}^t \text{ de } A'_2 = \mathcal{G}Q'_2 \times H'_2$$

$$\mathcal{M}^t \text{ de } R_A = 2\mathcal{G}Q'_1 \times H'_1 + 2\mathcal{G}Q'_2 \times H'_2 + v_1 V_1 + v_2 V_2$$

$$= 2\Sigma H h \left(\begin{smallmatrix} \text{moments des } H \\ \text{sur } 1/2 \text{ arche de droite} \end{smallmatrix} \right) + \Sigma V v \left(\begin{smallmatrix} \text{moment des } V \\ \text{sur une } 1/2 \text{ arche} \end{smallmatrix} \right).$$

6. — M. Guidi — *L'arco elastico senza cerniere.*

Soient m et n les coordonnées à l'origine de \mathcal{R}_A :

$$\mathcal{M}^t \text{ (de } \mathcal{R}_A) = m \Sigma V \text{ (poids mort)} = n 2 \Sigma H \text{ (poussée)}.$$

Voici les calculs pour le pont Antoinette.

TABLEAU VII.

Nos des tranches	Ordonnées de la ligne d'influence de H (funiculaire ⁵) de la Pl. II	Poussées horizontales (col. 2) \times (col. 6 du Tableau VI) \mathcal{H}	Réactions de l'appui de gauche produites par les charges sur la demi-voûte de droite	
			Distances verticales de ces réactions au centre élastique \mathcal{G} h (à prendre sur la Pl. II).	Moments des réactions autour de \mathcal{G} $\mathcal{H}h$
1	2	3	4	5
1 (clef)	1 ^m 132	20.29	3 ^m 950	80.15
2	1.030	19.94	3.050	60.82
3	0.880	20.95	2.390	50.07
4	0.680	19.98	1.910	38.16
5	0.520	12.65	1.640	20.75
6	0.306	4.67	1.350	6.30
6 ^{bis}	0.244	6.45	1.280	8.25
7	0.155	2.59	1.190	3.08
8	0.052	0.95	1.120	1.06
8 ^{bis}	0.029	1.09	1.100	1.20
9 (retombée)	0.003	0.06	1.025	0.06

$\frac{\mathcal{H}}{2}$ (demi-poussée) = $\Sigma H = 109^T.62$ $\Sigma H h = 269.90^mT$
 \mathcal{H} (poussée) = $219^T.24$

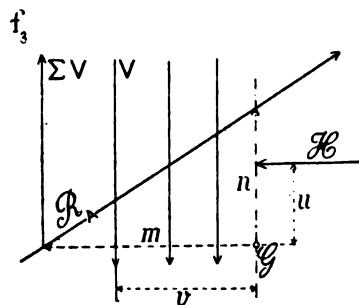
$$\mathcal{M}^t \text{ de } \mathcal{R}_A = 2 \times 269.90 (\Sigma H h, \text{ Tableau VII col. 5}) + 3664.59 (\Sigma V o) = 4204.39^mT$$

$$m = \frac{4204.39^mT}{249^T.51 \text{ (poids mort) Tableau VI}} = 16^m.851$$

$$n = \frac{4204.39^mT}{2 \times 109^T.62 \text{ (poussée) Tableau VII}} = 19^m.177$$

§ 3. — TRACÉ DU FUNICULAIRE DES PRESSIONS,

EN SE SERVANT DE LA RÉACTION RÉSULTANTE \mathcal{R}_A DE L'APPUI



On trace le funiculaire des charges ayant comme premier côté \mathcal{R}_A mise en place : c'est le polygone des pressions.

Il est bon de vérifier par le calcul son point de passage à la clef :

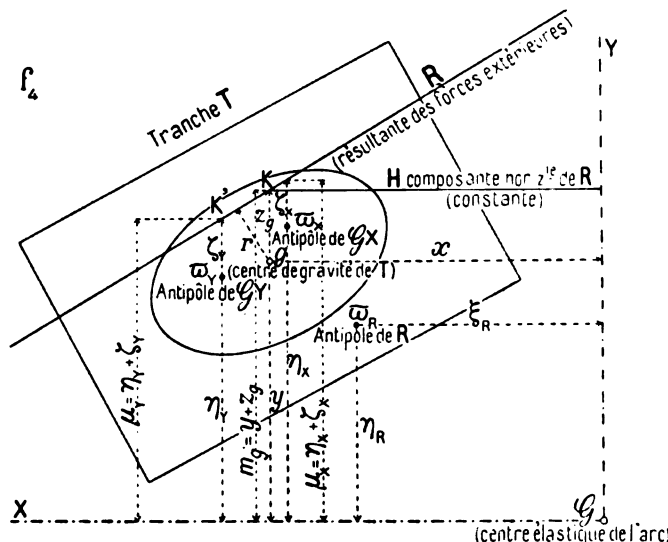
$$u \mathcal{H} = m \Sigma V - \Sigma V o = 2 \Sigma H h = 539^mT.80$$

$$u = 2^m.462$$

La courbe des pressions du poids mort est tout entière dans le 1/3 central : elle s'écarte peu de la fibre moyenne.

§ 4. — COMMENT, DANS UN ARC SYMÉTRIQUE
ET SYMÉTRIQUEMENT CHARGÉ DE POIDS VERTICAUX,
ON TRACE LE FUNICULAIRE DES PRESSIONS,
SANS AVOIR AU PRÉALABLE CONSTRUIT LES RÉACTIONS DES APPUIS.
MÉTHODE DE M. GUIDI

Art. 1. — Si, par des verticales on transporte sur la courbe des pressions les centres de gravité des tranches et les antipôles de l'axe $\mathcal{G}Y$ par rapport aux ellipses centrales des tranches, et qu'on construise une ellipse des poids élastiques ainsi déplacés, elle a même centre \mathcal{G} , mêmes axes de symétrie $\mathcal{G}Y$, $\mathcal{G}X$ que l'ellipse élastique de l'arc.



La résultante R des efforts sur une tranche T (f_4) fait tourner sa section extrême de droite par rapport à sa section extrême de gauche de : $\Delta\theta = Rr \left(\frac{L}{EI} \right) = Rr\varphi$ autour de l'antipôle ω_R de R .⁷

Les déplacements du centre élastique \mathcal{G} , origine des coordonnées, considéré comme invariablement lié à l'appui de droite supposé libre, sont :

$$\Delta\theta = Rr\varphi \quad \Delta Y = Rr\varphi\xi_R \quad \Delta X = Rr\varphi\eta_R$$

Pour l'arc entier, ensemble des tranches, la somme des déplacements élastiques entre deux appuis invariables est nulle.

$$\begin{aligned} \Sigma\Delta\theta &= 0 & \Sigma\Delta Y &= 0 & \Sigma\Delta X &= 0 \\ \text{ou} \quad \Sigma_A Rr\varphi &= 0 & \Sigma_A Rr\varphi\xi_R &= 0 & \Sigma_A Rr\varphi\eta_R &= 0 \end{aligned}$$

Soit H la composante horizontale de R , laquelle est la même pour toutes les tranches, puisque l'arc n'est soumis qu'à des forces verticales :

$$\begin{aligned} Rr &= Hx_g \\ \Sigma_A Hx_g\varphi &= 0 & \Sigma_A Hx_g\xi_R\varphi &= 0 & \Sigma_A Hx_g\eta_R\varphi &= 0 \end{aligned}$$

Divisons par la constante H :

$$\begin{aligned} \Sigma_A x_g\varphi &= 0 & \Sigma_A x_g\xi_R\varphi &= 0 & \Sigma_A x_g\eta_R\varphi &= 0 \end{aligned}$$

Soient ω_X , ω_Y les antipôles des deux axes $\mathcal{G}X$, $\mathcal{G}Y$.

Le moment centrifuge de la masse φ par rapport aux deux axes R et $\mathcal{G}Y$ peut s'écrire indifféremment¹⁰ $\varphi x_g \xi_R$ ou $\varphi \zeta_Y x$. Donc $x_g \xi_R = \zeta_Y x$.

7. — *L'arco elastico senza cerniere* — Académie des sciences de Turin — Novembre 1902. *Contributo alla teoria degli archi elastici*. Mai 1908.

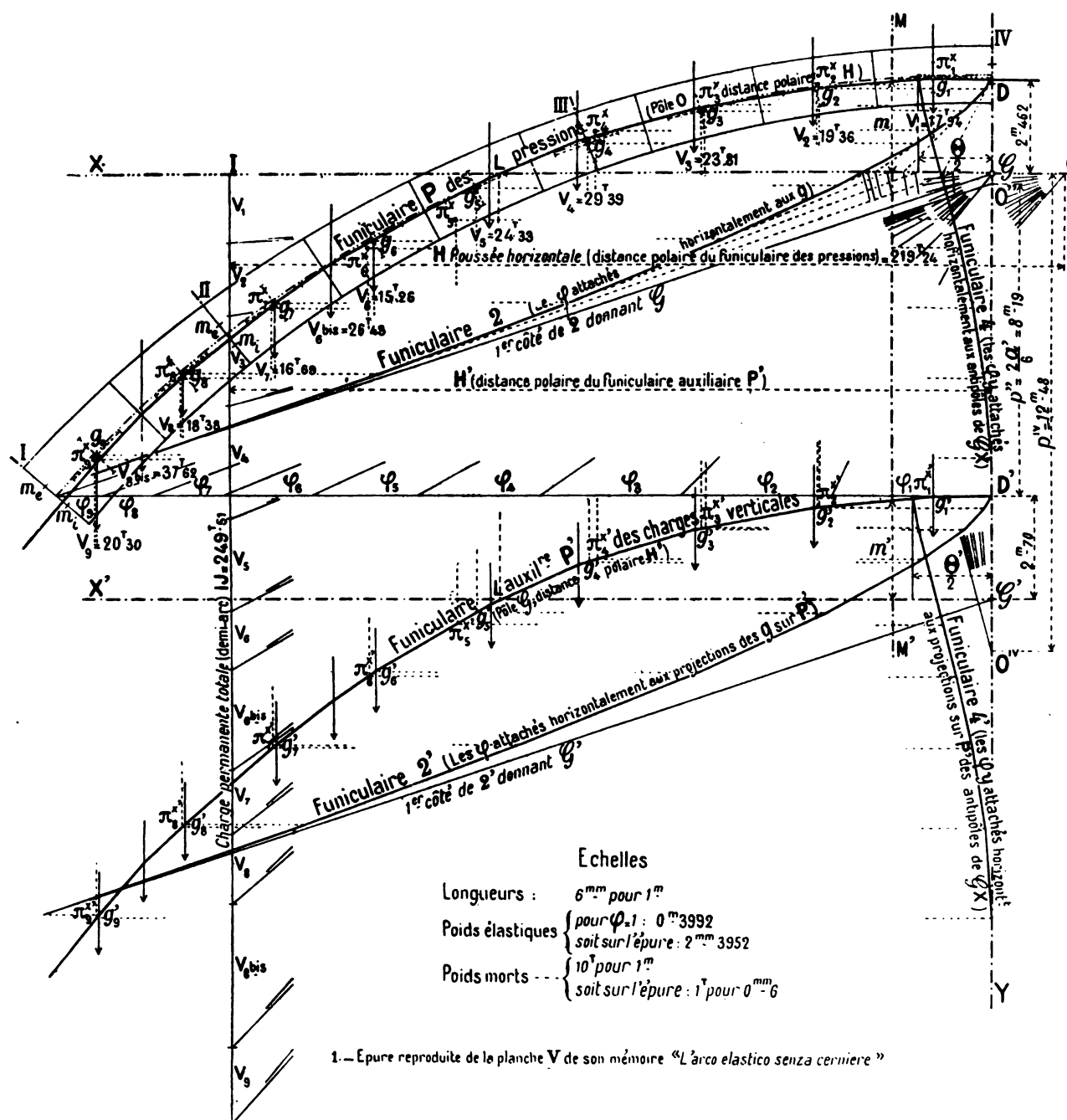
8. — VI, p. 125.

9. — VI, p. 130.

10. — Théorème de Culmann, VI, p. 122.

Pont Antoinette

Courbe de pression sous les poids morts
tracée à l'aide d'un funiculaire auxiliaire P'
sans avoir construit la courbe des intersections ni la courbe enveloppe des réactions
(Méthode de M. Guidi)¹



20

De même le moment centrifuge de φ par rapport à R et $\mathcal{G}X$ s'écrira :

$$\varphi z_g \eta_R \text{ ou } \varphi \zeta_X y. \quad \text{Donc } z_g \eta_R = \zeta_X y$$

Les trois équations précédentes deviennent :

$$\sum_A z_g \varphi = 0 \quad \sum_A \zeta_Y x \varphi = 0 \quad \sum_A \zeta_X y \varphi = 0$$

$$\text{soit, en posant } z_g = m_g - y \quad \zeta_Y = \mu_Y - \eta_Y \quad \zeta_X = \mu_X - \eta_X$$

$$\sum_A m_g \varphi - \sum_A y \varphi = 0 \quad \sum_A \mu_Y x \varphi - \sum_A \eta_Y x \varphi = 0 \quad \sum_A \mu_X y \varphi - \sum_A \eta_X y \varphi = 0$$

$\mathcal{G}X$ est un axe de l'ellipse élastique de l'arc : donc $\sum_A y \varphi = 0$

$\mathcal{G}X, \mathcal{G}Y$ sont les 2 axes : donc $\sum_A \eta_Y x \varphi \left(\begin{smallmatrix} \text{moment centrifuge des } \varphi \\ \text{par rapport à } \mathcal{G}X \text{ et } \mathcal{G}Y \end{smallmatrix} \right) = 0$

Les trois équations se réduisent à

$$\sum_A m_g \varphi = 0 \quad \sum_A \mu_Y x \varphi = 0 \quad \sum_A \mu_X y \varphi - \sum_A \eta_X y \varphi = 0$$

Attachons en K le poids élastique φ .

Si $\sum_A m_g \varphi = 0$, c'est que $\mathcal{G}X$ passe par le centre de gravité des φ attachés en K ; $\mathcal{G}Y$, axe de symétrie, y passe évidemment.

$\sum_A \varphi \mu_Y x$ est le moment centrifuge des φ dont K serait le centre de gravité, K' l'antipôle.

S'il est nul, c'est que $\mathcal{G}X, \mathcal{G}Y$, axes de l'ellipse centrale des masses φ attachées aux centres de gravité g des tranches, sont encore les axes de l'ellipse des φ attachées à l'intersection des verticales des g et de la courbe des pressions à construire.

Soient : V_1, V_2, \dots les poids agissant sur l'arc.

Sur une horizontale D', plaçons les poids élastiques φ ; traçons un polygone des φ avec le pôle O'', la distance polaire O'' D' = $p'' \left(= \frac{2a'}{6} = 8^m19 \right)$, puis le funiculaire **2** (le même que Pl. II), qui place le centre élastique \mathcal{G} des φ attachées aux g des tranches.

A un point I de $\mathcal{G}X$ à une distance arbitraire H' de \mathcal{G} (ici H' = 20^m), suspendons verticalement les poids morts V_1, V_2, \dots et traçons un polygone des forces V avec le pôle \mathcal{G} , la distance polaire H', puis le funiculaire auxiliaire **P'**.

Aux points d'intersection g'_1, g'_2, \dots des côtés de **P'** avec les verticales de g_1, g_2, \dots appliquons horizontalement les poids élastiques $\varphi_1, \varphi_2, \dots$; à l'aide du polygone O'' de distance polaire p'' , traçons le funiculaire **2'** ; son premier côté coupe $\mathcal{G}Y$ au centre de gravité \mathcal{G}' .

Supposons pour un instant tracé le funiculaire **P** des pressions à construire ; soient O le pôle, OI = H la distance polaire (poussée horizontale), OIJ son polygone des forces.

Les 2 funiculaires **P, P'** sont relatifs aux mêmes forces verticales V_1, V_2, \dots ; soient m, m' les segments interceptés sur une verticale MM' par des droites homologues.

Art. 2. — Construction du funiculaire des pressions à l'aide d'un funiculaire auxiliaire (Pl. III).

$$Hm = H'm' \quad 11$$

Les axes $\mathcal{G}X$, $\mathcal{G}'X'$ sont « homologues ». Leurs intersections L et L' avec \mathbf{P} et \mathbf{P}' sont sur une même verticale.

On a ainsi un premier point L de \mathbf{P} .

Reprenons la troisième équation (p. 153), $\sum_A \mu_x y \varphi = \sum_A \eta_x y \varphi$.

Multiplions ses 2 termes par la constante H .

$$\sum_A H \mu_x y \varphi = H \sum_A \eta_x y \varphi.$$

Comme on vient de le voir, $H\mu_x = H'\mu'_x$

$$\sum_A H' \mu'_x y \varphi = H' \sum_A \mu'_x y \varphi = H \sum_A \eta_x y \varphi$$

$$H = H' \frac{\sum_A \mu'_x y \varphi}{\sum_A \eta_x y \varphi}$$

$\sum_A \eta_x y \varphi$ est le moment d'inertie de l'arc par rapport à $\mathcal{G}X$ (I_x).

Soit $\Theta = 3^m86$ la distance horizontale des côtés extrêmes du funiculaire 4 (Pl. II)

$$\sum_A \eta_x y \varphi = I_{x'} = p'' p^{IV} \Theta$$

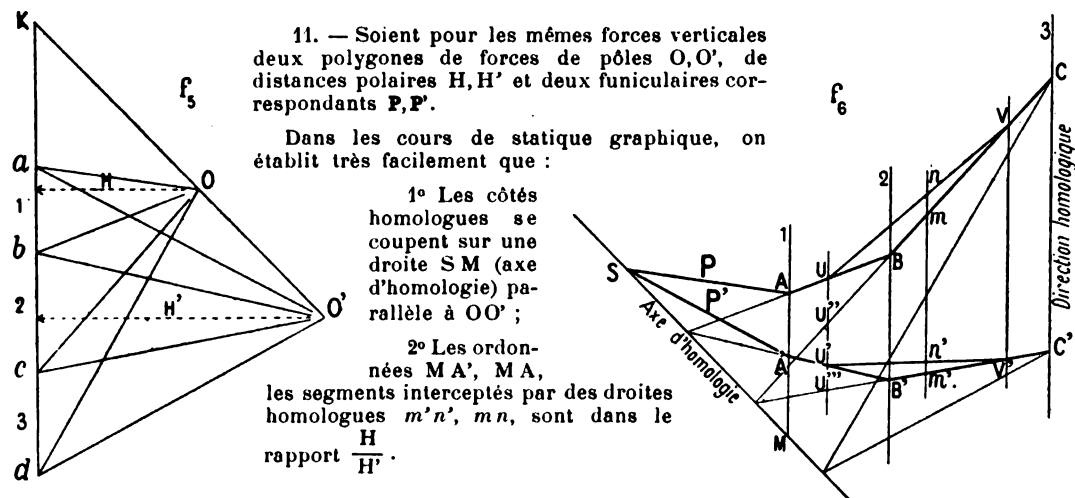
Pour avoir $\sum_A \mu'_x y \varphi$, projetons verticalement sur \mathbf{P}' les antipôles de $\mathcal{G}X$; à ces projections, attachons horizontalement les moments statiques $\frac{\varphi y}{p''}$ (ils sont donnés par le funiculaire 2 sur $\mathcal{G}X$). Traçons avec le pôle O^{IV} et la distance polaire p^{IV} un funiculaire 4' : ses côtés sont parallèles à ceux de 4.

Soit $\Theta' = 4^m23$ la distance horizontale de ses côtés extrêmes :

$$\sum_A \mu'_x y \varphi = p'' p^{IV} \Theta'$$

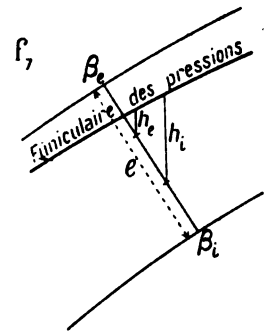
$$H = H' \frac{\Theta'}{\Theta} \quad \left(\text{soit, sur l'épure : } 200 \times \frac{4.23}{3.86} = 219^r,24 \right) \quad \begin{array}{l} \text{Valeur trouvée autrement} \\ \text{p. 151, tableau VII} \end{array}$$

$$\mathcal{G}D = \mathcal{G}'D' \times \frac{H'}{H} = \left(2^m70 \times \frac{200}{219,24} = 2^m462 \right) \quad \text{Valeur trouvée autrement p. 151, § 3.}$$



§ 5. — TRAVAIL PAR $\overline{0,01}^2$, AU POIDS MORT, A LA CLEF, SUR L'APPUI,
ET DANS 2 SECTIONS INTERMÉDIAIRES

Section (Pl. III)	I (appui)	II	III	IV (clef)
Épaisseur de la voûte e	2 ^m 283	1 ^m 99	1 ^m 63	1 ^m 50
Largeur de l'ouvrage l	5 ^m 76	5 ^m 42	5 ^m 02	4 ^m 88
$\frac{1}{6} \frac{l}{4,74} e^2 = J$ (voir plus bas)	1.056	0.755	0.469	0.386
Bras de levier { Distance verticale des à mesurer sur bords du noyau central l'épure. au funiculaire des pres- sions. } h_i ..	0 ^m 28	0 ^m 27	0 ^m 38	0 ^m 15
	h_e ..	0 ^m 85	0 ^m 58	0 ^m 18
$\mathcal{M}_i = H (219^T 24) h_i$	61 ^m 39	59 ^m 19	83 ^m 31	32 ^m 89
$\mathcal{M}_e = H h_e$	186 ^m 35	127 ^m 16	39 ^m 46	76 ^m 73
Efforts par $\overline{0,01}^2$ { à l'intrados $\beta_i = \frac{\mathcal{M}_e}{10J}$ (voir plus bas). à l'extrados $\beta_e = \frac{\mathcal{M}_i}{10J}$ (voir plus bas). }	17 ^k 7	16 ^k 8	8 ^k 4	19 ^k 9
	5 ^k 8	7 ^k 8	17 ^k 8	8 ^k 5



CHAPITRE III

EFFORTS PAR $\overline{0,01}^2$ DUS AUX SURCHARGES ROULANTES§ 1. — SURCHARGE ROULANTE ISOLÉE DE 1^T

Soit V une surcharge isolée de 1^T; à l'aide de la courbe des intersections des réactions et de leur enveloppe, on construit ses deux réactions A et B de composante horizontale H.

Soient S une section, h_i , h_e les distances verticales à A des bords m_i , m_e du noyau central de S

$$\begin{pmatrix} h_i > 0 \text{ au-dessus de } m_i, < 0 \text{ au-dessous} \\ h_e < 0 \text{ au-dessus de } m_e, > 0 \text{ au-dessous} \end{pmatrix}$$

La poussée H est mesurée sur la verticale de V par l'ordonnée du funiculaire 5 (Pl. II) divisée par $\frac{n}{A}$, funiculaire 3.

$$\text{Soit } J = \frac{1}{6} e^2 \left(\text{épaisseur de la voûte en S} \right) \times l \left(\frac{\text{largeur de la voûte}}{4^m,74} \right)$$

Le travail par $\overline{0,01}^2$ dans la section S dû à la surcharge de 1^T placée en V, est (p. 141) :

$$\text{à l'intrados } \beta_i = \frac{H h_e}{10J} \quad \text{à l'extrados } \beta_e = \frac{H h_i}{10J}$$

(H en tonnes, h_e , h_i , e en mètres)

On a fait les calculs de l'art. 1 pour ces 4 sections et pour 11 positions de la surcharge V : ils sont résumés au tableau VIII. On a tracé ensuite les lignes d'influence de β_i et β_e (Pl. IV).

Art. 1. — Moment de l'effort sur une section S par rapport aux bords du noyau central.

Art. 2. — Lignes d'influence de β_i et β_e pour 4 sections : la retombée (section I), 2 autres sections (II, III), et la clef (IV).

TABLEAU VIII. — Une surcharge roulante isolée de 1 T. se déplaçant de droite à gauche, occupe successivement 11 positions (1 à 11. col. 1)
Calcul pour 4 sections (appui, clef et 2 intermédiaires), des efforts par $0,01^2$ à l'intrados et à l'extrados.

Positions de la surcharge		Section I. — Appui de gauche. J = 1.056					Section II. — J = 0.755					Section III. — J = 0.469					Section IV — clef. — J = 0.386															
		h_e	h_i	Hh_e	Hh_i	$\frac{\beta_e}{Hh_e} = \frac{10J}{10J}$	$\frac{\beta_i}{Hh_i} = \frac{10J}{10J}$	h_e	h_i	Hh_e	Hh_i	$\frac{\beta_e}{Hh_e} = \frac{10J}{10J}$	$\frac{\beta_i}{Hh_i} = \frac{10J}{10J}$	h_e	h_i	Hh_e	Hh_i	$\frac{\beta_e}{Hh_e} = \frac{10J}{10J}$	$\frac{\beta_i}{Hh_i} = \frac{10J}{10J}$	h_e	h_i	Hh_e	Hh_i	$\frac{\beta_e}{Hh_e} = \frac{10J}{10J}$	$\frac{\beta_i}{Hh_i} = \frac{10J}{10J}$							
N ^{os}	Dis- tan- ces à la Clef H	m	m	m	m	k	m	m	m	m	k	m	m	m	m	m	m	k	k	m	m	m	m	k	k							
		22.24	17.28	12.40	8.25	4.13	1.132	4.13	8.25	0.710	0.695	12.40	17.28	0.110	0.095	22.24	13.43	13.87	2.196	-1.604	$+0.2079$	-0.1519	-8.50	$+8.95$	-0.255	$+0.268$	-0.0338	-0.0355	-1.83	$+2.31$	-0.055	$+0.069$
1	22.24	0.030	5.10	5.67	-0.153	+0.170	-0.0145	+0.0161	-1.65	+2.25	-0.049	+0.067	-0.0065	+0.0089	+1.81	-1.27	+0.054	-0.038	+0.0115	-0.0081	+1.77	-1.27	+0.053	-0.038	+0.0137	-0.0098						
2	17.28	0.245	4.78	5.35	-1.171	+1.311	-0.1109	+0.1243	-1.44	+2.05	-0.353	+0.502	-0.0467	+0.0635	+1.80	-1.26	+0.441	-0.309	+0.0940	-0.0659	+1.55	-1.05	+0.380	-0.257	+0.0984	-0.0666						
3	12.40	0.580	4.20	4.81	-2.436	+2.790	-0.2307	+0.2642	-1.07	+1.69	-0.621	+0.980	-0.0822	+0.1298	+1.79	-1.23	+1.038	-0.713	+0.2213	-0.1520	+1.12	-0.62	+0.649	-0.360	+0.1681	-0.0933						
4	8.25	0.860	3.58	4.22	-3.079	+3.629	-0.2916	+0.3437	-0.65	+1.30	-0.559	+1.118	-0.0740	+0.1481	+1.74	-1.18	+1.496	-1.015	+0.3190	-0.2164	+0.54	-0.04	+0.464	-0.034	+0.1202	-0.0088						
5	4.13	1.060	2.78	3.45	-2.947	+3.657	-0.2791	+0.3463	-0.17	+0.85	-0.180	+0.901	-0.0238	+0.1193	+1.59	-1.00	+1.685	-1.060	+0.3593	-0.2260	-0.36	+0.86	-0.382	+0.912	-0.0990	+0.2363						
6	1.132	1.62	2.40	-1.831	-2.717	-0.1734	+0.2572	+0.47	+0.23	+0.532	+0.260	+0.0703	+0.0344	+1.24	-0.65	+1.403	-0.735	+0.2989	-0.1567	-1.81	+2.31	-2.049	+2.615	-0.5308	+0.6775							
Clef																																
7	4.13	1.060	0.17	1.00	-0.180	-1.060	-0.0170	+0.1004	+1.25	-0.49	+1.325	-0.519	+0.1755	-0.0687	-0.46	+0.17	+0.488	+0.180	+0.1041	+0.0384												
8	8.25	0.860	2.05	1.05	+1.763	-0.903	+0.1670	-0.0855	+2.17	-1.28	+1.866	-1.101	+0.2471	-0.1458	-1.07	+1.99	-0.920	+1.711	-0.1982	+0.3648												
	0.710															+4.04		+2.868		+0.6115												
	0.695														-3.52	-2.446			-0.5215													
9	12.40	0.580	5.90	4.58	+3.422	-2.656	+0.3241	-0.2515	+3.29	-2.15	+1.908	-1.247	+0.2527	-0.1652	-3.14	+3.60	-1.821	+2.088	-0.3882	+0.4452												
10	17.28	0.245	16.87	14.18	+4.133	-3.474	+0.3914	-0.3290	+3.19	-1.00	+0.781	-0.245	+0.1034	-0.0324	-2.28	+2.75	-0.559	+0.674	-0.1192	+0.1437												
	0.110								+9.20		+1.012			+0.1340																		
	0.095								-8.70	-0.826	-0.1094			-0.1094																		
11	22.24	0.030	13.43	13.87	+2.196	-1.604	+0.2079	-0.1519	-8.50	+8.95	-0.255	+0.268	-0.0338	-0.0355	-1.83	+2.31	-0.055	+0.069	-0.0117	+0.0147												

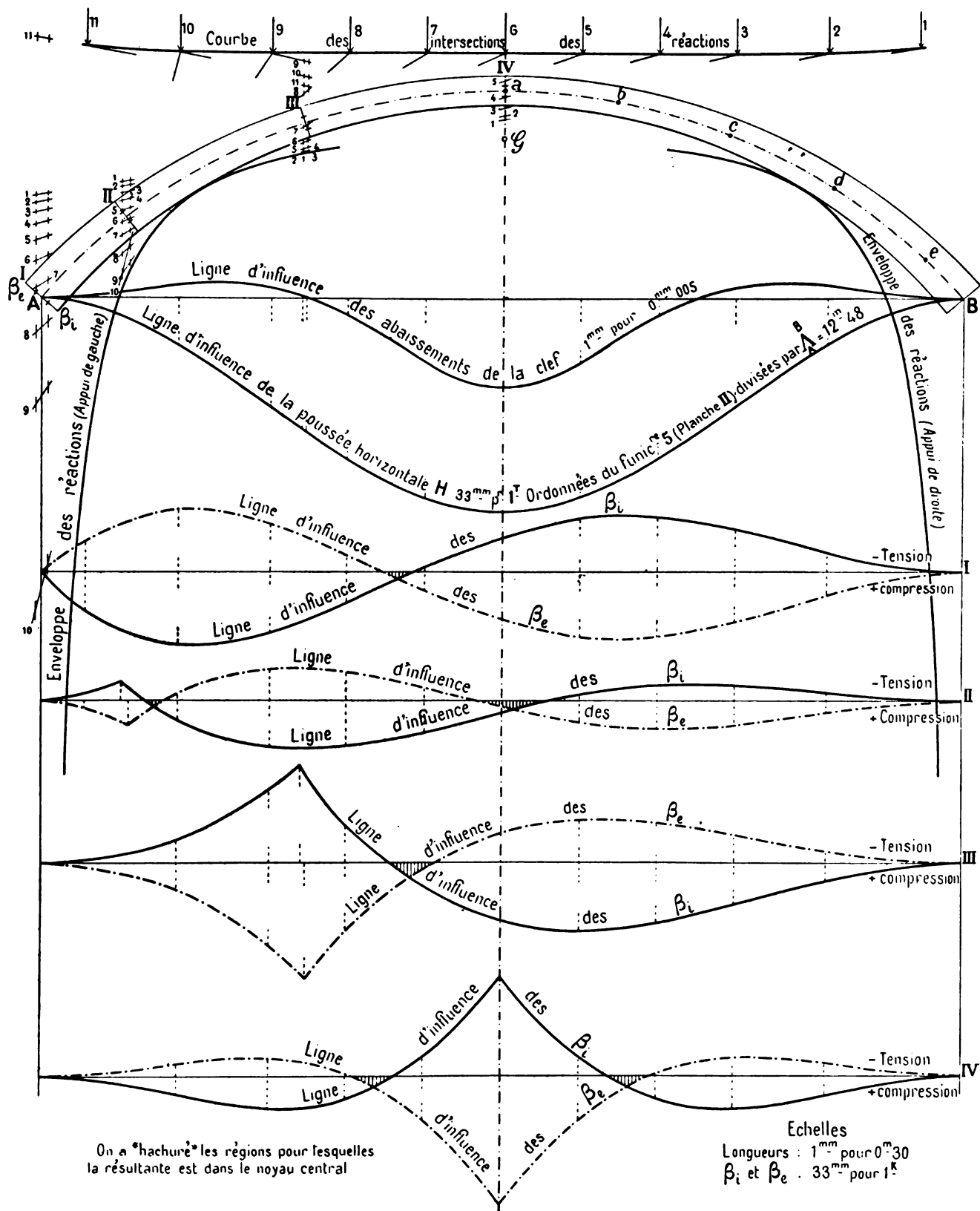
12. — On ne peut pas tracer A_{11} . On considère l'autre composante B_{11} dont le moment est diminué de celui de la résultante $V_{11} = 1^T$.

$$\left\{ \begin{array}{l} Hh_i = +0.03 \times 13.87 - 1 \times 2.02 = -1.604. \\ Hh_e = -0.03 \times 13.43 + 1 \times 2.60 = +2.196. \end{array} \right.$$

Pont Antoinette

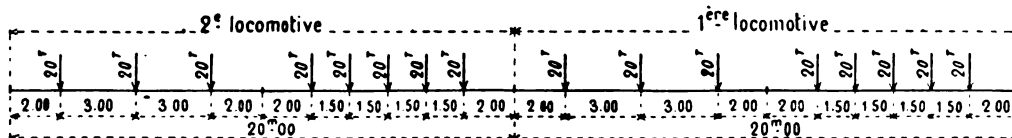
Une charge roulante de 1^r se déplace sur l'arc de droite à gauche

Lignes d'influence
des efforts par 0.01, à l'intrados et à l'extrados, pour 4 sections
(Appui, clef, 2 intermédiaires)
des abaissements de la clef.



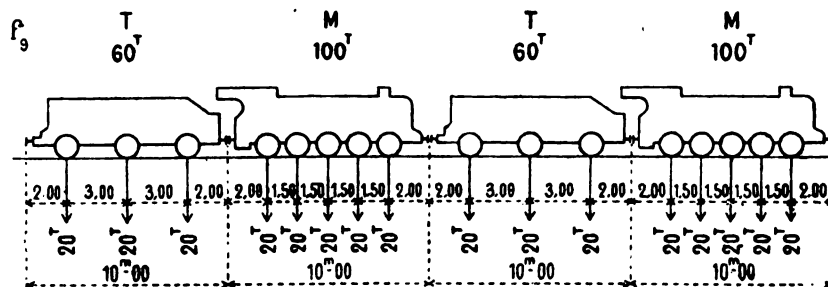
On a hachuré les régions pour lesquelles la résultante est dans le noyau central

Echelles
Longueurs : 1^m pour 0^m30
 β_i et β_e : 33^m pour 1^k



§ 2. — SOUS DEUX LOCOMOTIVES DE 160^T

(Train-type du règlement du 8 Janvier 1915)



On dessine les machines à l'échelle de l'épure ; on les déplace sur les horizontales de base des lignes d'influence ; pour chaque position, on ajoute les ordonnées correspondant aux essieux, multipliées par le poids des essieux ; on cherche pour chaque section la position des machines qui produit les plus grands efforts.

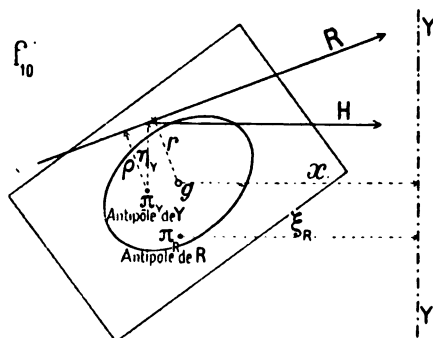
On admet que la surcharge s'étale au niveau de la plate-forme sur une bande de 4^m, c'est-à-dire que le 1/4 de la surcharge porte sur un anneau de 1^m.

TABLEAU IX. — Maximum et minimum des efforts β_i , β_e (Kg. / 0^m01²)

Sections	β_i		β_e		Position du train allant de l'appui A (gauche) vers l'appui B (droite)
	MAXIMUM	MINIMUM	MAXIMUM	MINIMUM	
I	+ 10*7	— 10*0	— 8*5		Le 1 ^{er} essieu de la 1 ^{re} locomotive à 14 ^m 00 de A
					— 2 ^e — 36.00 —
II	+ 6*8		+ 12*5	— 3*6	— 2 ^e — 34.50 —
					— 1 ^{re} — 19.50 —
III	+ 12*2	— 1*7	+ 4*5	— 7*3	— 2 ^e — 39.00 —
					— 2 ^e — 37.00 —
IV	+ 4*4	— 8*9	+ 11*9		— 1 ^{re} — 17.00 —
					Une seule locomotive { Le 1 ^{er} essieu à 16 ^m 50 de A
					{ — 14.50 —
					{ Le 3 ^e essieu sur la clef
		— 6*0	+ 11*1	— 2*3	

§ 3. — DÉPLACEMENTS VERTICAUX DE LA CLEF
AU PASSAGE DU TRAIN D'ÉPREUVE

Soit R la résultante des actions sur une tranche. Elle déplace verticalement le centre élastique \mathcal{G} de :



$$\Delta Y = \frac{Rr\varphi\bar{z}_R}{E}$$

Mais le moment centrifuge $r\bar{z}_R$ peut s'écrire ρx ;
on a d'ailleurs

$$R\rho = H\eta_Y \quad \text{D'où : } \Delta Y = \frac{H}{E} \eta_Y x \varphi$$

et pour l'ensemble des tranches, de l'appui A à la clef :

$$\omega b = \frac{H}{E} \sum_A^{\text{Clef}} \eta_Y x \varphi \quad E = 2.5 \times 10^9$$

TABLEAU X. — Abaissement de la clef, lorsque la surcharge 1^T occupe les positions a. b. c. d. e. (Pl. IV)

N° d'ordre	φ (Tab. I, col 6)	Abscisses des centres de gravité (Tabl. III, col. 3) x	φx	A la clef		A 6 ^m 12 de la clef		A 12 ^m 05 de la clef		A 17 ^m 51 de la clef		A 22 ^m 41 de la clef	
				Ordonnée de l'antipôle η	$\varphi x \eta$	η	$\varphi x \eta$	η	$\varphi x \eta$	η	$\varphi x \eta$	η	$\varphi x \eta$
1	10.4270	1 ^m 54	16.1	+ 1 ^m 20	+ 19.3	- 0 ^m 40	- 6.4	- 1 ^m 20	- 19.3	- 1 ^m 60	- 25.8	- 1 ^m 75	- 28.2
2	9.9825	4.61	46.0	+ 0.27	+ 12.4	- 0.95	- 43.7	- 1.55	- 71.3	- 1.83	- 84.2	- 1.90	- 87.4
3	9.1455	7.64	69.9	- 0.45	- 31.5	- 1.30	- 90.9	- 1.65	- 115.3	- 1.80	- 125.8	- 1.83	- 127.9
4	8.0583	10.62	85.6	- 0.90	- 77.0	- 1.35	- 115.6	- 1.48	- 126.6	- 1.50	- 128.4	- 1.47	- 125.8
5	6.9782	13.50	94.2	- 1.06	- 99.9	- 1.12	- 105.5	- 1.00	- 94.2	- 0.90	- 84.7	- 0.80	- 75.4
6	5.7437	16.24	93.3	- 0.90	- 84.0	- 0.57	- 53.2	- 0.26	- 24.3	- 0.05	- 4.7	+ 0.12	+ 11.2
7	4.6265	18.85	87.2	- 0.42	- 36.6	+ 0.25	+ 21.8	+ 0.77	+ 67.1	+ 1.15	+ 100.3	+ 1.35	+ 117.7
8	3.6973	21.28	78.7	+ 0.34	+ 26.8	+ 1.40	+ 110.2	+ 2.10	+ 165.3	+ 2.53	+ 199.1	+ 2.80	+ 220.4
9	2.8967	23.53	68.2	+ 1.44	+ 98.2	+ 2.80	+ 191.0	+ 3.70	+ 252.3	+ 4.21	+ 287.1	+ 4.50	+ 306.9
				$\Sigma \varphi x \eta = -172.3$		- 92.3		+ 33.7		+ 132.9		+ 211.5	
Valeurs de H correspondant aux 5 positions de la charge. (Tableau V)				H=1.132		0.974		0.602		0.230		0.025	
Abaissement de la clef $\frac{H}{2.5} \cdot \frac{\Sigma \varphi x \eta}{1000}$				- 0.078		- 0.035		+ 0.008		+ 0.012		+ 0.002	
Pour un poids concentré de 100 ^r sur une largeur de 4 ^m 74, soit 20 ^r				- 1.56		- 0.72		+ 0.16		+ 0.24		+ 0.04	

CHAPITRE IV

EFFET D'UN CHANGEMENT DE TEMPÉRATURE DE τ°

A un changement de température correspond ¹³ une translation qui est ici horizontale, donc parallèle à l'axe $\mathcal{G}X$ de l'ellipse élastique ; la droite conjuguée est l'autre axe $\mathcal{G}X$. La réaction de l'appui est suivant l'axe $\mathcal{G}X$

Art. 1. — Augmentation de travail.

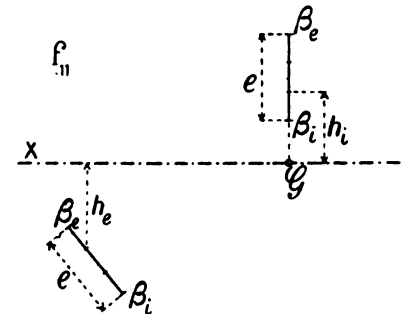
$$H_\tau \text{ (en T)} = \frac{2a' \left(\frac{\text{portée}}{\text{en } 0.01} \right) E \text{ (en T/0.01}^2 = 250) \times \alpha \left(\frac{8}{10^6} \right)}{I_{X'} \left(\frac{\text{Moment d'inertie des}}{\varphi \text{ par rapport à } \mathcal{G}X} \right)} \tau \quad ^{14}$$

$$2a' = 4914^\circ \quad I_{X'} = 9.88 \text{ (tabl. IV, col. 5)} \quad H_\tau = 0.995 \tau$$

On trouve, pour un abaissement de température de τ° , une augmentation d'effort de (p. 155) :

$$\text{A l'intrados de la retombée } \beta_i = \frac{h_e \times 0.995 = 820^\circ \times 995}{1.056.000} \tau = + 0.77 \tau$$

$$\text{A l'extrados de la clef } \beta_e = \frac{h_i (220^\circ) \times 995}{386.000} \tau = + 0.57 \tau$$



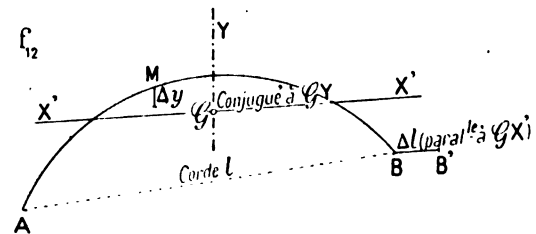
Les ordonnées de la ligne d'influence de la poussée (Pl. IV) représentent à une certaine échelle, les déplacements verticaux dus à une variation de température (M. Guidi) ¹⁵.

Art. 2. — Déplacements verticaux.

En effet, une variation de température τ produit une poussée H_τ suivant $\mathcal{G}X'$, laquelle déplace verticalement le point M (fig. 12) de :

$$\Delta y = H_\tau \psi p'' p^v \quad (\text{p. 138})$$

La poussée H_τ correspond à une variation de longueur $\Delta l = \alpha \tau l$ de la corde l :



$$\Delta l = H_\tau I_{X'} \quad ^{16} = H_\tau \frac{\psi}{\Delta} p'' p^{iv} \quad ^{17} = H_\tau p'' p^v \frac{\psi}{\Delta} \quad ^{18}$$

On a donc :

$$\frac{\Delta y}{\Delta l} = \frac{\psi}{\Delta} = H \text{ (ordonnée du funiculaire 5)}$$

$$\Delta y = H \Delta l$$

13. — p. 131.

14. — p. 144.

15. — « Una proprietà degli archi elastici », Turin 1905.

16. — Art. 1 ci-dessus.

17. — p. 137.

18. — p. 139.

CHAPITRE V

EFFORTS RÉSULTANTS

	Section I appui			Section II		Section III		Section IV clef	
	Intr.	Extrados		Intr.	Extr.	Intrados		Extr.	Intr. Extr.
Poids mort (p. 155 § 5).....	+ 17 ¹ 7	+ 5 ¹ 8	+ 5 ¹ 8	+ 16 ¹ 8	+ 7 ¹ 8	+ 8 ¹ 4	+ 8 ¹ 4	+ 17 ¹ 8	+ 19 ¹ 9 + 8 ¹ 5
Au passage de 2 machines (p. 157 tableau IX)	+ 10.7	+ 12.5	— 8.5	+ 6.8	+ 4.5	+ 12.2	— 8.9	+ 11.9	+ 4.4 + 11.1
Ensemble.	+ 28 ¹ 4	+ 18 ¹ 3	— 2 ¹ 7	+ 23 ¹ 6	+ 12 ¹ 3	+ 20 ¹ 6	— 0 ¹ 5	+ 29 ¹ 7	+ 24 ¹ 3 + 19 ¹ 6
A ajouter pour un chan- gement de température de 20°.....	+ 15 ¹ 4								+ 11 ¹ 4
Total.	+ 43 ¹ 8								+ 31 ¹ 0

TITRE V

VÉRIFICATION GROSSIÈRE DES ÉPURES D'UNE VOÛTE

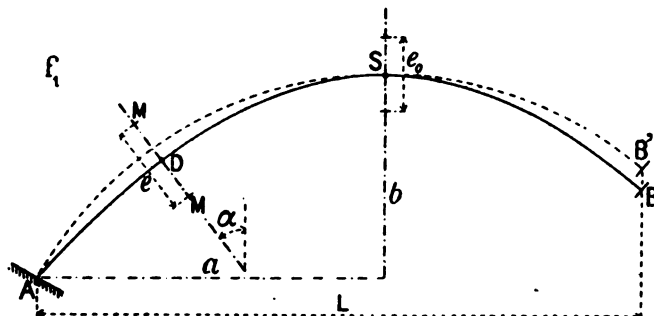
Comparaison avec celles faites pour une voûte dont la fibre moyenne est une parabole $ADSB^1$ de même portée L et même montée b , et pour laquelle le moment d'inertie I d'une section MM inclinée de α sur la verticale

$$= \frac{I_0 \text{ (moment à la clef)}}{\cos \alpha} = I_0 \frac{ds}{dx} (f_1)^2$$

CHAPITRE I

HYPOTHÈSES

Dans tout ce qui va suivre, on supposera donc que la fibre moyenne est une parabole ³, puis que le moment d'inertie I d'une section MM a une projection verticale constante. Si la voûte a une largeur uniforme,



$$e = \frac{e_0}{\sqrt[3]{\cos \alpha}}$$

On a fait quelques voûtes à projection verticale constante :

$$e = \frac{e_0}{\cos \alpha}^4$$

Pour les ellipses et les arcs, l'épaisseur e ainsi définie est au-dessous des épaisseurs usuelles des voûtes en pierre. Elle l'est encore bien plus avec la formule $\frac{e_0}{\sqrt[3]{\cos \alpha}}$.

Plus loin, dans le calcul des moments d'inertie et centrifuges, on fera encore cette nouvelle hypothèse, que, pour chaque tranche, les rotations $\Delta\theta$ se font autour du centre de gravité et non d'un antipôle : c'est négliger les raccourcissements dus à l'effort normal devant les rotations dues au couple de flexion.

Grâce à toutes ces hypothèses, on calcule et on construit très vite les réactions des appuis dues aux charges, la ligne des intersections de ces réactions et leur enveloppe.

Sans doute, ce ne sont pas celles de la voûte réelle, mais elles les contrôlent fort utilement et garantissent des grosses erreurs, en particulier des erreurs d'échelle.

1. — Pont en béton armé de Langwies, ligne de Coire à Arosa (Suisse). Fibre moyenne de 100^m de portée, 42^m de montée, voisine d'une parabole. (*Schweizerische Bauzeitung* — 22 novembre 1913).

2. — Ces arcs ont été étudiés par Culmann « *Die graphische Statik* », 2^e édition, Zurich, 1875, p. 598 et suivantes. Traduction française de MM. Glasser, Jacquier et Valat — Paris 1880, p. 553 et suivantes.

3. — III, p. 365 — Sur une fibre moyenne en parabole, funiculaire des charges, la ligne de charge est une parabole.

4. — III, p. 344, 346.

ARC PARABOLIQUE DISSYMMÉTRIQUE (Pl. V).

§ 1. — ELLIPSE ÉLASTIQUE

Art. 1. — Poids élastiques.

$$\varphi \text{ (poids élastique d'une tranche } ds) = \frac{ds}{EI} = \frac{dx}{EI_0}$$

$$\Phi \text{ (somme des poids élastiques de l'arc)} = \int_0^L \varphi = \frac{L}{EI_0}$$

Art. 2. — Centre élastique \mathcal{G} .

$$X_{\mathcal{G}} \Phi = \int_0^L \varphi X = \frac{1}{EI_0} \int_0^L X dX = \frac{L^2}{2EI_0} \quad X_{\mathcal{G}} = \frac{L}{2}$$

$$Y_{\mathcal{G}} \Phi = \int_0^L \varphi Y = \frac{1}{EI_0} \int_0^L \frac{b}{a^2} X (2a - X) dX = \frac{b}{3EI_0 a^2} (3a - L) L^2$$

$$Y_{\mathcal{G}} = O\mathcal{G} = \frac{b(3a - L)L}{3a^2} \quad O'\mathcal{G} = O\mathcal{G} - OO' = \frac{bL^2}{6a^2} = \frac{2}{3} b'$$

Le centre élastique est sur la verticale OC du milieu de AB', à $\frac{b'}{3}$ au-dessous de C.

Art. 3. — Diamètre conjugué à la verticale $\mathcal{G}y$.

A. — Moment d'inertie des φ par rapport à $\mathcal{G}y$.

B. — Direction $\mathcal{G}x'$ conjuguée à la verticale $\mathcal{G}y$.

$$I_{y'} = I_y - \Phi X_{\mathcal{G}}^2 = \int_0^L X^2 \varphi - \frac{L^3}{4EI_0} = \frac{L^3}{12EI_0} = j_y^2 \Phi, \quad j_y^2 = \frac{L^2}{12}$$

Par rapport à $\mathcal{G}y$, le rayon de gyration est celui d'un rectangle de longueur L.

C'est la droite qui passe par \mathcal{G} et par l'antipôle d'une verticale quelconque, par exemple l'antipôle $\pi(\xi, \eta)$ de AY.

$$\Phi X_{\mathcal{G}} \xi_y = I_y, \quad \xi_y = \frac{2}{3} L \quad \xi_y = \xi_y - \frac{L}{2} = \frac{L}{6}$$

$$\Phi X_{\mathcal{G}} \eta_x = I_{xy} = \frac{1}{EI_0} \frac{b}{a^2} \int_0^L X^2 (2a - X) dX = \frac{bL^3 (8a - 3L)}{12EI_0 a^2}$$

$$\eta_x = \frac{bL(8a - 3L)}{6a^2} \quad \eta_x = \eta_x - Y_{\mathcal{G}} = \frac{bL(2a - L)}{6a^2} = \frac{Y_1}{6} \left(\begin{array}{l} Y_1 \text{ ordonnée} \\ \text{BB' de l'appui B} \end{array} \right)$$

$$\text{Tang } \gamma = \frac{\eta_x}{\frac{L}{6}} = \frac{b(2a - L)}{a^2} = \frac{Y_1}{L}$$

$\mathcal{G}x'$ conjugué à $\mathcal{G}y$ est parallèle à la corde AB, à $\frac{b'}{3}$ au-dessous de C.

C. — Longueur de l'axe a'' conjugué à la verticale.

$$a''^2 \cos^2 \gamma = j_y^2 = \frac{L^2}{12} \quad a' \cos \gamma = j_y = \frac{L \sqrt{3}}{6}$$

Art. 4. — Axe vertical b'' .

A. — Moment d'inertie des φ par rapport à $\mathcal{G}x'$.

$$I_{x''} = \int_0^L \varphi y'^2 = \frac{1}{EI_0} \int_0^L y'^2 dx \quad y' = Y - Y_{\mathcal{G}} - (X - X_{\mathcal{G}}) \text{ tang } \gamma$$

On a donné plus haut Y en X, $Y_{\mathcal{G}}$, $X_{\mathcal{G}}$, tang γ : on trouve

$$I_{x''} = \frac{b^2 L^3}{180 EI_0 a^4}$$

5. — p. 121. 6. — p. 122.

$$\Phi b''^2 = I_{x''}$$

$$b''^2 = \frac{b^2 L^4}{180 a^4} \quad b'' = \frac{b L^2}{6 a^2 \sqrt{5}} = \frac{2 b' \sqrt{5}}{15}$$

B. — Axe vertical b'' conjugué à a'' .

Le diamètre $\mathcal{G}x'$, $Y = \frac{b L^2}{6 a^2} + X \tan \gamma$ coupe la fibre moyenne aux points :

$$X = \frac{L}{2} \pm \frac{L \sqrt{3}}{6} = \frac{L}{2} \pm j_y$$

c'est-à-dire aux sommets de l'ellipse élastique sur l'axe $\mathcal{G}x'$.

Art. 5. — Intersections de l'ellipse élastique et de la fibre moyenne.

§ 2. — RÉACTIONS R^B , R^A DES APPUIS B ET A DUES A UNE CHARGE VERTICALE V A v DE L'APPUI A

$$\mathfrak{M}_A^V(\varphi) = \int_0^v \varphi (v - X) = \frac{1}{EI_0} \int_0^v (v - X) dX = \frac{v^2}{2 EI_0}$$

$$= Z_1^B \left(\text{ordonnée du funiculaire } \mathbf{1}, \overset{V}{\underset{\Delta}{\Gamma}} \text{ de la Pl. I} \right) \times p' \left(\text{distance polaire de } \mathbf{1} = \frac{\Phi}{\Delta} = \frac{L}{EI_0} \right)$$

$$Z_1^B = \frac{v^2}{2L}$$

Art. 1. — Moment statiqué des φ par rapport à V. Funiculaire $\mathbf{1}$.

De même :

$$\mathfrak{M}_V^B(\varphi) = \frac{1}{EI_0} \int_v^L (X - v) dX = \frac{1}{EI_0} \frac{(L - v)^2}{2} = Z_1^A p' \quad Z_1^A = \frac{(L - v)^2}{2L}$$

$$\overset{V}{\underset{\Delta}{\Gamma}}_{\mathbf{1}}^V = \int_0^v \varphi (v - X) (X_{\mathcal{G}} - X) = \frac{v^2 (3L - 2v)}{12 EI_0}$$

$$= Z_1^B \left(\text{ordonnée du funiculaire } \mathbf{3}, \overset{V}{\underset{\Delta}{\Gamma}} \text{ de la Pl. II} \right) \times p' \left(\text{distance polaire de } \mathbf{1} = \frac{L}{EI_0} \right)$$

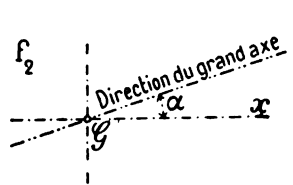
$$\times p''' \left(\text{distance polaire de } \mathbf{3} = \frac{L}{4} \right)$$

$$Z_1^B = \frac{v^2 (3L - 2v)}{3L^2} \quad Z_1^A = \frac{(L - v)^2 (L + 2v)}{3L^2}$$

Art. 2. — Moment centrifuge des φ par rapport à V et à $\mathcal{G}y$. Funiculaire $\mathbf{3}$.

7. — Voici à titre de simple vérification, la direction des axes principaux :

$$I_{y'} (\text{Art. 3}) = \frac{L^3}{12 EI_0}$$



$$I_{x'} = I_{x''} - \Phi \overset{B}{\underset{\Delta}{Y}}_{\mathcal{G}}^2 = \int_0^L Y^2 \varphi - \frac{L}{EI_0} Y_{\mathcal{G}}^2$$

$$= \frac{b^2}{EI_0 a^4} \int_0^L X^2 (2a - X)^2 dx - \frac{L}{EI_0} Y_{\mathcal{G}}^2$$

$$= \frac{b^2 L^3}{45 EI_0 a^4} \left[4(2a - L)^2 + a(L - a) \right] = j_x^2 \frac{L}{EI_0} \quad \text{d'où } j_x$$

$$I_{xy} = I_{xy'} - \Phi X_{\mathcal{G}} Y_{\mathcal{G}} = \frac{b L^3}{12 EI_0 a^4} (2a - L)$$

$$\text{Tang. } 2\alpha \text{ (p. 119)} = \frac{2 I_{xy}}{I_{y'} - I_{x'}} = \frac{2 b (2a - L)}{a^2 - \frac{4 b^2}{15 a^2} \left[4(2a - L)^2 + a(L - a) \right]}$$

courbe en S, symétrique par rapport à F

$$\overset{b}{I}_A y^2 = \frac{L^3}{12 EI_0} = \overset{b}{I}_A p' p'' = \overset{b}{I}_A \frac{L}{EI_0} \frac{L}{4} \quad \overset{b}{I}_A = \frac{L}{3}$$

Art. 3. — Moment centrifuge des φ par rapport à V et à $\mathcal{G}x'$.

Funiculaire 5.

$$\overset{v}{I}_{Ax'} = \int_0^v \varphi (v - X) y' \quad y' = Y - Y_{\mathcal{G}} - (X - X_{\mathcal{G}}) \text{ tang. } \gamma$$

On a donné plus haut Y en X, $Y_{\mathcal{G}}$, $X_{\mathcal{G}}$, tang. γ : on trouve

$$\overset{v}{I}_{Ax'} = \frac{bv^2 (L - v)^2}{12 EI_0 a^2} = Z_1 \left(\text{ordonnée du funiculaire 5, } \overset{v}{\Psi} \text{ de la Pl. II} \right)$$

$$\times p' \text{ (distance polaire de 2)} \times p'' \text{ (distance polaire de 5, } \overset{b}{\Theta} \text{ de la Pl. II)}$$

$$\text{Or} \quad \overset{b}{I}_{Ax'^2} = \frac{b^2 L^5}{180 EI_0 a^4} = \overset{b}{\Theta}_A p' p'' \left(\text{distance polaire de 4} = \overset{b}{I}_A = \frac{L}{3} \right) = \overset{b}{\Theta}_A p'' \frac{L}{3}$$

$$Z_1 = \frac{5 a^2 v^2 (L - v)^2}{b L^4}$$

courbe en chapeau de gendarme — même Z_1 à même distance de part et d'autre de $\mathcal{G}y$.

Art. 4. — Réactions des appuis.

Moment de R par rapport au centre élastique $\frac{Rr}{V}$

$$\frac{\overset{v}{M}_A(\varphi)}{\sum_A \varphi} = \frac{\frac{1}{EI_0} \frac{v^2}{2}}{\frac{L}{EI_0}} = \frac{v^2}{2L} = Z_1^b$$

$$\frac{\overset{b}{M}_A(\varphi)}{\sum_A \varphi} = \frac{\frac{1}{EI_0} \frac{(L - v)^2}{2}}{\frac{L}{EI_0}} = \frac{(L - v)^2}{2L} = Z_1^a$$

Projection verticale de R $\frac{R_y}{V}$

$$\frac{\overset{v}{I}_{Ay}}{\overset{b}{I}_{Ay'}} = \frac{\frac{v^2 (3L - 2v)}{12 EI_0}}{\frac{1}{EI_0} \frac{L^3}{12}} = \frac{v^2 (3L - 2v)}{L^3} = \frac{Z_1^b}{\frac{L}{3}}$$

$$\frac{\overset{b}{I}_{Ay}}{\overset{b}{I}_{Ay'}} = \frac{\frac{(L - v)^2 (L + 2v)}{12 EI_0}}{\frac{1}{EI_0} \frac{L^3}{12}} = \frac{(L - v)^2 (L + 2v)}{L^3} = \frac{Z_1^a}{\frac{L}{3}}$$

Projection horizontale de R (poussée horizontale, la même pour les 2 appuis) $\frac{R_x}{V}$

$$\frac{\overset{v}{I}_{Ax'}}{\overset{b}{I}_{Ax'^2}} = \frac{\frac{bv^2 (L - v)^2}{12 EI_0 a^2}}{\frac{b^2 L^5}{180 EI_0 a^4}} = \frac{15 v^2 (L - v)^2 a^2}{b L^5} = \frac{Z_1}{\frac{L}{3}}$$

Projection horizontale de l'abscisse à l'origine sur $\mathcal{G}x'$ $m \cos \gamma = \frac{Rr}{R_y}$

$$\frac{L^2}{2 (3L - 2v)}$$

$$- \frac{L^2}{2 (L + 2v)}$$

Ordonnée à l'origine sur $\mathcal{G}y$ $n = \frac{Rr}{R_x}$

$$\frac{b L^4}{30 a^2 (L - v)^2}$$

$$\frac{b L^4}{30 a^2 v^2}$$

Equation de la ligne d'action de la réaction rapportée à $\mathcal{G}x'$, $\mathcal{G}y$.

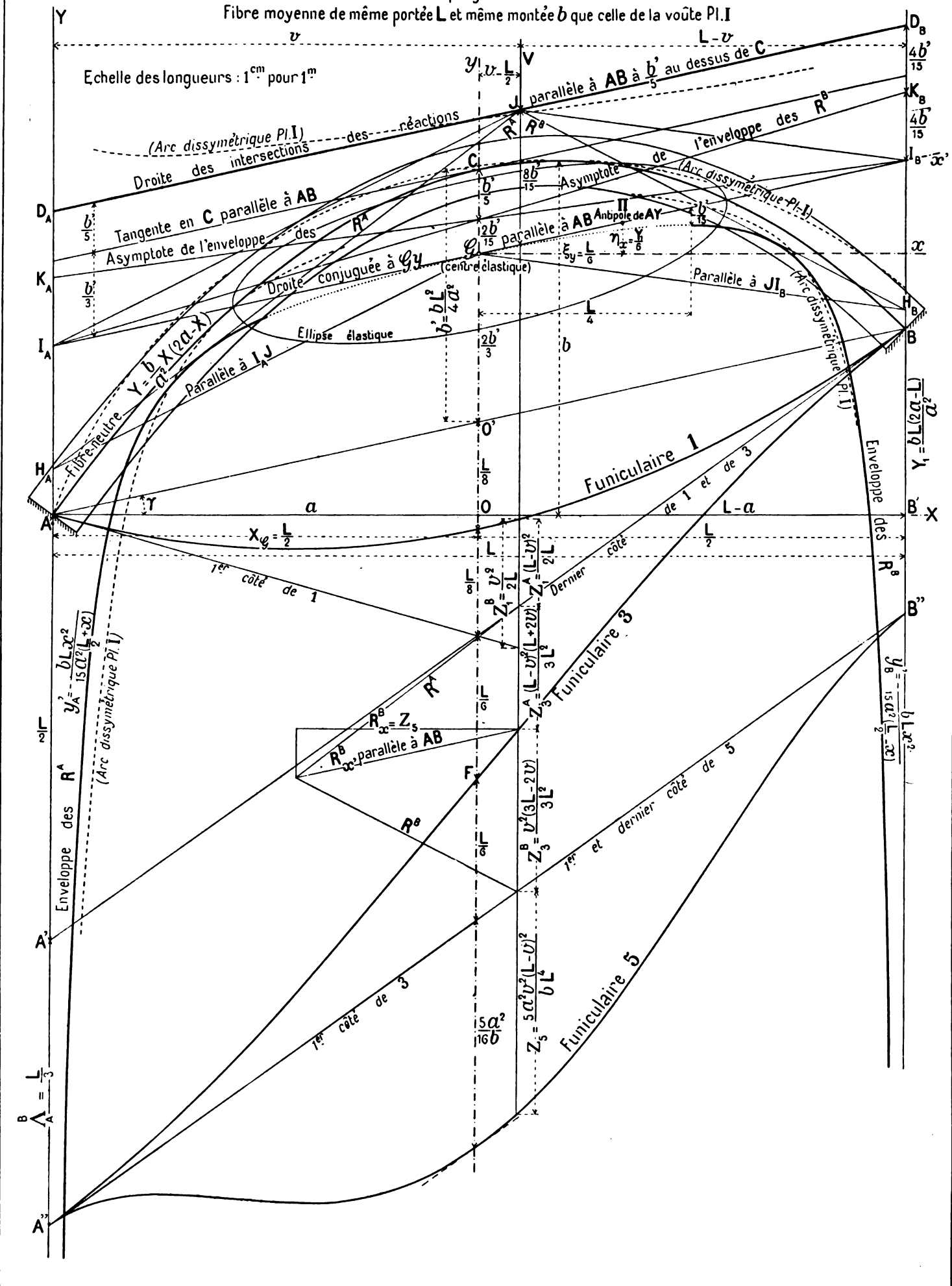
$$\frac{30 a^2}{b L^2} (L - v)^2 y' + 2 (3L - 2v) x = L^2$$

$$\frac{30 a^2}{b L^2} v^2 y' - 2 (L + 2v) x = L^2$$

Arc parabolique dissymétrique

à moment d'inertie de projection verticale constante

Fibre moyenne de même portée L et même montée b que celle de la voûte Pl.I



R^B , R^A coupent V au point d'ordonnée $y' = \frac{2bL^2}{15a^2} = \frac{8b'}{15}$, indépendant de v .

Art. 5. — Ligne des intersections des réactions.

La ligne des intersections des réactions est une droite parallèle à $\mathcal{G}x'$ c'est-à-dire à AB , à $\frac{8b'}{15}$ au-dessus de \mathcal{G} , $\frac{b'}{5}$ au-dessus de C .

R^B rencontre $D_B B$ au point H_B d'ordonnée $I_B H_B = -\frac{bL^2}{15a^2(L-v)}$.

Joignons JI_B , puis menons $\mathcal{G}H_B$ parallèle à JI_B .

$$I_B H_B = D_B I_B \frac{\frac{L}{2}}{L-v} = \frac{bL^2}{15a^2(L-v)}$$

On a de même R^A en joignant JI_A et menant GH_A parallèle à JI_A .

On vérifie que R^A , R^B sont parallèles à celles qui résultent des funiculaires 3 et 5.

On construit ainsi très facilement les réactions sans tracer leur enveloppe.

Rapportée à $\mathcal{G}x'$, $\mathcal{G}y$, l'enveloppe des R^B est $y'_B = -\frac{bLx^2}{15a^2\left(\frac{L}{2} - x\right)}$, hyperbole passant

Art. 6. — Enveloppe des réactions.

par \mathcal{G} , tangente en \mathcal{G} à $\mathcal{G}x'$; une asymptote est la verticale de l'appui B ($x = \frac{L}{2}$); l'autre $y' = \frac{bL}{15a^2}\left(x + \frac{L}{2}\right)$ coupe $\mathcal{G}y$ à $\frac{bL^2}{30a^2} = \frac{2b'}{15}$ au-dessus de \mathcal{G} et passe par I_A et par K_B milieu de $D_B I_B$.

On construit l'enveloppe en traçant quelques réactions comme l'indique l'article 5; elles la touchent au milieu du segment intercepté sur elles par les deux asymptotes.

L'enveloppe de R^A est l'hyperbole symétrique $y'_A = -\frac{bLx^2}{15a^2\left(\frac{L}{2} + x\right)}$ dont les asymptotes sont :

$$x = -\frac{L}{2} \quad \text{et} \quad y' = -\frac{bL}{15a^2}\left(x - \frac{L}{2}\right).$$

Quand V est sur l'appui A , la réaction R^B (la première de l'appui B) laquelle est nulle, coupe $\mathcal{G}y$ à $\frac{bL^2}{30a^2} = \frac{2b'}{15}$ au-dessus de \mathcal{G} , $\mathcal{G}x'$ à $\frac{L}{6}$ à droite de \mathcal{G} . Elle touche l'enveloppe au point $x = \frac{L}{4}$, $y = -\frac{bL^2}{60a^2} = -\frac{b'}{15}$. La partie de l'enveloppe à gauche est parasite.

§ 3. — COMPARAISON AVEC LA VOÛTE RÉELLE DE MÊME PORTÉE ET MÊME MONTÉE

Sur la planche V on a tracé en traits discontinus les lignes construites pour la voûte réelle (Pl. I) : courbe des intersections des réactions, leur enveloppe.

ARC PARABOLIQUE SYMÉTRIQUE DE PORTÉE $2a$ (Pl. VI)(Dans les formules de l'arc dissymétrique, on fera $L = 2a$)

§ 1. — ELLIPSE ÉLASTIQUE

Art. 1. — Centre.

Il est sur l'axe vertical, au tiers de la montée b au-dessous de la clef.

Art. 2. — Longueur des axes.

$$a' \text{ (axe horizontal)} = \frac{a}{\sqrt{3}}$$

c'est celui d'un rectangle de longueur $2a'$

$$b'' \text{ (axe vertical)} = \frac{2b\sqrt{5}}{15}$$

Art. 3. — Intersections de l'ellipse élastique et de la fibre moyenne.

L'ellipse élastique $\frac{x^2}{\frac{a^2}{3}} + \frac{y^2}{\frac{4b^2}{45}} = 1$ coupe la fibre moyenne $y = b\left(\frac{1}{3} - \frac{x^2}{a^2}\right)$ aux points :

$$x = \pm \frac{a}{\sqrt{3}}, \quad y = 0 \quad \text{c'est-à-dire à ses deux sommets sur } \mathcal{G}x$$

$$x = \pm \frac{a}{\sqrt{15}}, \quad y = \frac{4b}{15}$$

§ 2. — RÉACTIONS R^B , R^A DES APPUIS B ET ADUES A UNE CHARGE VERTICALE V , A v DE L'APPUI AArt. 1. — Moment statique des φ par rapport à V. Funiculaire 1.Avec $p' = \overset{B}{\underset{A}{\Phi}} = \frac{2a}{EI_0}$, on a (p. 163, art. 1) :

$$Z_1^B = \frac{v^2}{4a^2}, \quad Z_1^A = \frac{(2a - v)^2}{4a}$$

Art. 2. — Moment centrifuge des φ par rapport à V et à $\mathcal{G}y$. Funiculaire 3.Avec $p'' = \frac{a}{2}$, soit $\overset{B}{\underset{A}{\Lambda}} = \frac{2a}{3}$, on a (p. 163, art. 2) :

$$Z_1^B = \frac{v^2(3a - v)}{6a^2}, \quad Z_1^A = \frac{(2a - v)^2(a + v)}{6a^2}$$

Art. 3. — Moment centrifuge des φ par rapport à V et à $\mathcal{G}x$. Funiculaire 5.Avec $p^{IV} = \overset{B}{\underset{A}{\Lambda}} = \frac{2a}{3}$, $p^V = \overset{B}{\underset{A}{\Theta}}$, on trouve (p. 164, art. 3) :

$$Z_1 = \frac{5}{16} \frac{v^2(2a - v)^2}{a^2b}$$

	Appui B	Appui A	Art. 4. — Réactions $R^A R^B$ (p. 164 art. 4).
Moment de R par rapport au centre élastique $\frac{Rr}{V}$	$\frac{v^2}{4a} = Z_i^B$	$\frac{(2a-v)^2}{4a} = Z_i^A$	
Projections de R	verticale $\frac{R_y}{V}$	$\frac{v^2(3a-v)}{4a^3} = \frac{Z_i^B}{\frac{2a}{3}}$	$\frac{(2a-v)^2(a+v)}{4a^3} = \frac{Z_i^A}{\frac{2a}{3}}$
	horizontale $\frac{R_x}{V}$	$\frac{15v^2(2a-v)^2}{32ba^3} = \frac{Z_i}{\frac{2a}{3}}$	
Coordonnées à l'origine \mathcal{G}	sur $\mathcal{G}x$ $m =$	$\frac{a^2}{3a-v}$	$-\frac{a^2}{a+v}$
	sur $\mathcal{G}y$ $n =$	$\frac{8ba^2}{15(2a-v)^2}$	$\frac{8ba^2}{15v^2}$
Equation de la ligne d'action de R rapportée à $\mathcal{G}x, \mathcal{G}y$	$\frac{15}{8b}(2a-v)^2y + (3a-v)x = a^2$	$\frac{15v^2}{8b}y - (a+v)x = a^2$	

R^A, R^B coupent V sur une horizontale à $\frac{8b}{15}$ au-dessus de \mathcal{G} , $\frac{b}{5}$ au-dessus de la clef.

Art. 5. — Ligne des
intersections des
réactions.

R^B rencontre DB au point H_B d'ordonnée $y = \frac{8b}{15} \frac{a}{2a-v}$

Joignons JL, puis menons $\mathcal{G}H_B$ parallèle à JL $LH = \frac{DL \times L\mathcal{G}}{DJ} = y$

On a de même R^A .

On construit ainsi très facilement R^B, R^A sans tracer leur enveloppe.

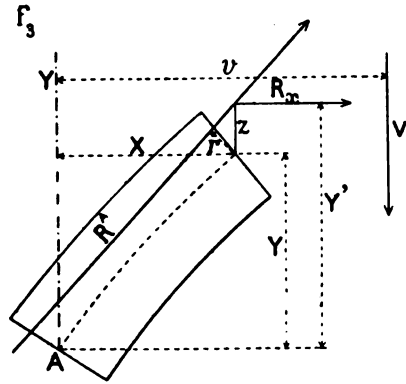
L'enveloppe des R^B est l'hyperbole $y_B = -\frac{2bx^2}{15a(a-x)}$
celle des R^A $y_A = -\frac{2bx^2}{15a(a+x)}$

Art. 6. — Enve-
loppe des réac-
tions.

Mêmes observations que pour l'arc dissymétrique (p. 165 art. 6).

§ 3. — MOMENT DE FLEXION \mathcal{M}_F

DANS UNE SECTION A X DE L'APPUI DE GAUCHE

DÛ A LA RÉACTION R^A ($X < v$) f_1 

$$\mathcal{M}_F = R^A r = R_x z \text{ (distance verticale de la fibre neutre à R)}$$

$$= V \frac{Z_x}{\frac{2a}{3}} \times z$$

On a sur l'épure Z_x et z : donc \mathcal{M} .On peut aussi calculer \mathcal{M}

$$R_x = V \frac{15v^2 (2a - v)^2}{32 a^3 b}$$

$$z = Y' - Y = \frac{2b}{15v^2} \left[v(5v - 4a) + 4(a + v)X \right] - \frac{bX}{a^2} (2a - X)$$

On trouve :

$$\mathcal{M}_F = V \frac{(2a - v)^2}{32 a^3} \left[2a^2 v(5v - 4a) + 2 \left\{ (2a + v)^2 - 16v^2 \right\} aX + 15v^2 X^2 \right]$$

$$\text{soient } X = 2a\alpha \quad v = 2a\beta$$

$$\mathcal{M}_F = 2a V (1 - \beta)^2 \left[\frac{\beta}{2} (5\beta - 2) + (1 + 2\beta - 15\beta^2) \alpha + 15\beta^2 \alpha^2 \right]$$

$$= 2a V \gamma, \quad \gamma \text{ dépendant seulement de } \alpha \text{ et } \beta.$$

M. l'Ingénieur en Chef Mesnager a présenté à l'Académie des Sciences, le 9 Novembre 1914, un abaque très pratique donnant immédiatement γ en fonction de α et β .

§ 4. — EFFET D'UN CHANGEMENT DE TEMPÉRATURE DE τ°

Une élévation de τ° augmente, un abaissement de τ° diminue la poussée de (p. 159) :

$$H_\tau \left(\begin{array}{c} \text{effort en} \\ \text{tonnes} \end{array} \right) = \frac{2a (\text{portée}) \alpha \tau}{\frac{1}{E (\text{tonnes / } 0,01^2) I_x} \frac{8ab^2}{45}} = \frac{45 EI_x \alpha \tau}{4b^2}$$

§ 5. — COMPARAISON AVEC LA VOÛTE DU PONT ANTOINETTE (Pl. II)

La fibre moyenne de la Pl. VI est une parabole ayant la portée et la montée de celles du pont Antoinette.

On a tracé en traits discontinus les lignes de la voûte réelle construites Pl. II, la courbe des intersections des réactions, leur enveloppe.

à moment d'inertie de projection verticale constante

TITRE VI

LES APPUIS DE L'ARC NE SONT PAS INVARIABLES

§ 1. — PRÉAMBULE

Jusqu'ici on a supposé invariables les appuis de l'arc élastique; s'ils ne le sont pas, les efforts calculés sont fort modifiés: par exemple,

si les appuis sont eux-mêmes élastiques (sol élastique, hautes culées élastiques, piles flexibles de hauts viaducs);

si les culées reculent, si les piles ou les culées s'enfoncent inégalement.

Je ne puis allonger encore cette longue étude; je me bornerai à renvoyer aux auteurs qui ont traité ces cas.

§ 2. — VOÛTES SUR PILES ÉLASTIQUES

Les voûtes d'un ouvrage à plusieurs arches sont des arcs élastiques reposant sur des piles élastiques. Dans les calculs usuels, on suppose que chaque arche a ses retombées fixes; c'est exact sous le poids mort pour des ouvrages en palier à arches égales. Mais une surcharge sur une arche l'abaisse, courbe ses 2 piles, d'autant plus flexibles qu'elles sont plus hautes, relève les arches voisines¹.

Le professeur W. Ritter a donné une méthode générale du calcul de l'arc élastique continu sur appuis élastiques, méthode élégante mais d'application fort laborieuse: elle a été exposée par M. Panetti², par M. Lossier³.

M. le professeur Guidi l'applique en limitant la déformation due à une surcharge à l'arche chargée et ses deux voisines⁴.

La méthode Ritter suppose que sous la surcharge, les sommets des piles s'écartent librement: ce n'est pas exact pour les ouvrages à tympans pleins, lesquels travaillent avec les voûtes⁵.

1. — «..... les piles en maçonnerie ne sont pas inébranlables comme le suppose le calcul usuel, mais « fléchissent et pivotent en s'écartant de la travée chargée. Ces mouvements..... ont sur l'équilibre des « ponts à plusieurs arches une influence qu'il n'est pas permis de négliger, et telle qu'au pont du Manoir, « par exemple, un train entrant sur la première arche produit un relèvement sensible de la huitième. »

M. Rabut, *Comptes-rendus de l'Académie des Sciences*, t. 159, p. 652. Séance du 9 novembre 1914.

2. — « *Contributo alla trattazione grafica dell'arco continuo su appoggi elastici* ». (Turin 1901, chez Clausen).

3. — *Génie civil*, 3 janvier 1903, p. 153. — *Calcul des ponts en maçonnerie. Méthode de M. Ritter*.

15 août 1908, p. 268. — *Calcul des ponts en maçonnerie à plusieurs arches*.

La méthode Ritter y est simplifiée par deux hypothèses:

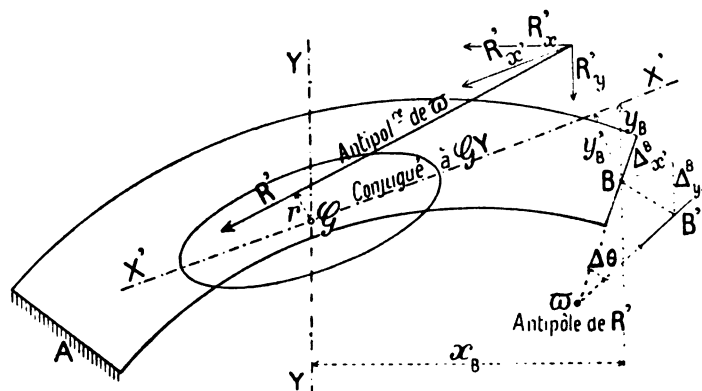
1^o Les retombées des voûtes chargées se déplacent horizontalement, comme sous l'effet d'un changement de température;

2^o Les extrémités des voûtes adjacentes aux voûtes chargées sont fixes.

4. — *L'ellisse di elasticità nella scienza delle costruzioni* (Turin 1904).

5. — III, p. 358, D.

§ 3. — RÉACTION DUE A UN MOUVEMENT NON ÉLASTIQUE DES APPUIS



Imaginons que les appuis d'un arc AB aient reculé, se soient enfoncés inégalement dans le sol ; supposons fixe l'appui A ; B vient en B', tournant de $\Delta\theta$ autour de ω .

Cette rotation crée une réaction R' antipolaire de ω par rapport à l'ellipse élastique.

$$\Delta\theta = R' r \sum_A^B \varphi$$

M. Guidi⁷ observe que \mathcal{G} invariablement lié à l'appui B se déplace 1° de Δ_y^B suivant YY, de Δ_x^B , suivant X'X' ; 2° du fait de la rotation $\Delta\theta$, de $x_B \Delta\theta$ et $y_B \Delta\theta$

Soient R'_y , R'_x les composantes de la réaction R' . On a (p. 130) :

$$R' r \sum_A^B \varphi = -\Delta\theta$$

$$R'_y \times I_Y \left(\begin{array}{c} \text{moment d'inertie} \\ \text{par rapport à } \mathcal{G}Y \end{array} \right) = x_B \Delta\theta - \Delta_y^B$$

$$R'_x \times I_X \left(\begin{array}{c} \text{moment d'inertie} \\ \text{par rapport à } \mathcal{G}X' \end{array} \right) = - (y_B \Delta\theta - \Delta_x^B)$$

Le funiculaire 3 donne I_Y , le funiculaire 4, I_X :

On a R'_y , R'_x puis r .

6. — Ritter « *Anwendungen der graphischen statik* » 4^e partie, p. 229. Zurich 1906.

7. — « *Contributo alla teoria degli archi elastici* ». Turin 1908.

3^e PARTIE

TABLES
NUMÉRIQUES

FORMULES DE M. BAZIN

Soient, pour un cours d'eau ou un ouvrage d'art,

S la section mouillée en mètres carrés; P le périmètre mouillé en mètres;

R le rayon moyen en mètres de la section S, c'est-à-dire $\frac{S}{P}$;

i la pente en mètres par mètre aux abords de la section S;

u la vitesse moyenne en mètres par seconde de l'eau dans la section S, $u = \alpha \sqrt{i}$.

$$\alpha = \frac{\sqrt{R}}{0.0115 \left(1 + \frac{\gamma}{\sqrt{R}}\right)} = \frac{R}{0.0115 (\sqrt{R} + \gamma)} = \frac{86.9565 R}{\sqrt{R} + \gamma}$$

Pour les ouvrages $\left\{ \begin{array}{l} \gamma_1 = 0.06 \text{ — ciment, bois raboté.} \\ \gamma_1 = 0.16 \text{ — plancher, briques, pierre de taille.} \\ \gamma_1 = 0.46 \text{ — moellons.} \end{array} \right.$

Pour les cours d'eau $\left\{ \begin{array}{l} \gamma_1 = 0.85 \text{ — talus bien dressés ou perreyés.} \\ \gamma_1 = 1.30 \text{ — talus ordinaires.} \\ \gamma_1 = 1.75 \text{ — talus très rugueux.} \end{array} \right.$

Q le débit en mètres cubes qui traverse par seconde la section S, $Q = S u$.

Coefficients $\alpha_1, \alpha_2, \alpha_3, \alpha_4, \alpha_5, \alpha_6$

R Rayon moyen	Ouvrages d'art			Cours d'eau			R Rayon moyen	Ouvrages d'art			Cours d'eau		
	$\gamma_1=0.06$ α_1	$\gamma_1=0.16$ α_2	$\gamma_1=0.46$ α_3	$\gamma_1=0.85$ α_4	$\gamma_1=1.30$ α_5	$\gamma_1=1.75$ α_6		$\gamma_1=0.06$ α_1	$\gamma_1=0.16$ α_2	$\gamma_1=0.46$ α_3	$\gamma_1=0.85$ α_4	$\gamma_1=1.30$ α_5	$\gamma_1=1.75$ α_6
0.05	15.330	11.333	6.360	4.050	2.853	2.203	0.80	72.886	65.974	51.361	39.878	31.700	26.306
0.06	17.101	12.884	7.401	4.764	3.377	2.615	0.90	77.587	70.589	55.556	43.510	34.803	28.999
0.07	18.753	14.336	8.400	5.461	3.891	3.021	1.00	82.034	74.962	59.559	47.003	37.807	31.620
0.08	20.290	15.708	9.364	6.140	4.394	3.422	1.10	86.265	79.129	63.395	50.374	40.723	34.177
0.09	21.739	17.013	10.297	6.805	4.891	3.817	1.20	90.309	83.115	67.085	53.636	43.560	36.671
0.10	23.112	18.259	11.202	7.456	5.380	4.208	1.30	94.188	86.944	70.644	56.800	46.325	39.112
0.11	24.422	19.455	12.082	8.094	5.862	4.595	1.40	97.922	90.632	74.085	59.874	49.024	41.503
0.12	25.675	20.605	12.939	8.723	6.338	4.977	1.50	101.526	94.194	77.421	62.867	51.662	43.847
0.13	26.879	21.715	13.776	9.338	6.808	5.356	1.60	105.011	97.641	80.659	65.785	54.243	46.147
0.14	28.039	22.790	14.594	9.945	7.271	5.731	1.80	111.670	104.233	86.877	71.417	59.251	50.627
0.15	29.160	23.832	15.393	10.541	7.730	6.102	2.00	117.970	110.476	92.792	76.810	64.075	54.962
0.16	30.245	24.844	16.177	11.130	8.184	6.471	2.25	125.418	117.862	99.822	83.256	69.875	60.201
0.18	32.321	26.789	17.700	12.283	9.077	7.198	2.50	132.463	124.855	106.504	89.419	75.453	65.260
0.20	34.288	28.641	19.170	13.406	9.953	7.915	2.75	139.166	131.512	112.887	95.335	80.833	70.161
0.22	36.160	30.412	20.591	14.503	10.814	8.621	3.00	145.507	137.881	119.007	101.032	86.037	74.918
0.24	37.952	32.112	21.970	15.575	11.659	9.317	3.50	157.625	149.863	130.570	111.858	95.983	84.054
0.26	39.671	33.749	23.310	16.625	12.492	10.004	4.00	168.847	161.030	141.392	122.044	105.401	92.753
0.28	41.327	35.330	24.615	17.654	13.311	10.683	4.50	179.384	171.525	151.590	131.693	114.372	101.077
0.30	42.926	36.860	25.887	18.664	14.118	11.353	5.00	189.359	181.456	161.265	140.885	122.956	109.075
0.32	44.473	38.344	27.129	19.655	14.915	12.016	5.50	198.843	190.906	170.490	149.679	131.202	116.782
0.34	45.972	39.786	28.343	20.630	15.700	12.672	6.00	207.906	199.939	179.323	158.127	139.149	124.238
0.36	47.431	41.190	29.532	21.589	16.476	13.321	6.50	216.598	208.604	187.810	166.264	146.828	131.460
0.38	48.849	42.557	30.697	22.533	17.242	13.963	7.00	224.963	216.945	195.989	174.124	154.266	138.473
0.40	50.230	43.892	31.838	23.462	17.999	14.599	7.50	233.034	224.995	203.892	181.734	161.484	145.295
0.45	53.543	47.098	34.603	25.729	19.854	16.164	8.00	240.840	232.781	211.545	189.116	168.502	151.941
0.50	56.678	50.141	37.252	27.922	21.662	17.694	8.50	248.407	240.330	218.969	196.291	175.337	158.425
0.55	59.661	53.044	39.801	30.048	23.425	19.192	9.00	255.754	247.660	226.187	203.274	182.001	164.759
0.60	62.513	55.825	42.260	32.115	25.149	20.666	9.50	262.896	254.791	233.212	210.082	188.509	170.954
0.70	67.884	61.063	46.943	36.089	28.488	23.532	10.00	269.860	261.737	240.060	216.725	194.870	177.018

EXEMPLES :	Ouvrage	Ouverture	Pente i	Hauteur d'eau	\sqrt{i}	R	$\frac{u}{\sqrt{i}} =$		u	Q
							α_1	α_2		
Buse.....	0m60	0m005	0m30	0.071	0m15	$\alpha_1 = 29.2$			2m073	0m293
Aqueduc.	1m	0m05	0m50	0.224	0m25	$\alpha_2 = \frac{21.97 + 23.31}{2} = 22.64$			5m071	2m54

TABLE T.

ÉPAISSEUR A LA CLEF

174

VOÛTES INARTICULÉES EN PLEIN CINTRE DE PORTÉE 2a

$$e_0 = \alpha (1 + \sqrt{2a}) \quad (\text{Tome III, p. 343})$$

Valeurs de e_0 pour 2a variant de 0.60 à 100^m et α de 0.10 à 0.25

(1). — Bonnes moyennes. — Ponts : sous route, 0.15 ; sous voie étroite, 0.17 ; sous voie normale, 0.19.

Portée	Ponts (1) sous route																			Ponts (1) sous route																																				
	Valeurs																			Valeurs																																				
	e ₀																			e ₀																																				
2a	0.10	0.11	0.12	0.13	0.14	0.15	0.16	0.17	0.18	0.19	0.20	0.21	0.22	0.23	0.24	0.25	Portée																				Portée																			
0.60	0.18	0.20	0.22	0.24	0.26	0.28	0.30	0.32	0.34	0.36	0.38	0.40	0.42	0.44	0.46	0.48	2a	21 ^m	0.56	0.61	0.67	0.73	0.78	0.84	0.89	0.95	1.00	1.06	1.12	1.18	1.24	1.30	1.36	1.42	1.48	1.54	1.60	1.66	1.72	1.78	1.84	1.90	1.96	2.02	2.08	2.14	2.20	2.26	2.32	2.38	2.44	2.50				
0.70	0.18	0.20	0.22	0.24	0.26	0.28	0.30	0.32	0.34	0.36	0.38	0.40	0.42	0.44	0.46	0.48	21 ^m	22	0.57	0.63	0.68	0.74	0.80	0.85	0.91	0.97	1.02	1.08	1.14	1.20	1.26	1.32	1.38	1.44	1.50	1.56	1.62	1.68	1.74	1.80	1.86	1.92	1.98	2.04	2.10	2.16	2.22	2.28	2.34	2.40	2.46	2.52				
1	0.20	0.22	0.24	0.26	0.28	0.30	0.32	0.34	0.36	0.38	0.40	0.42	0.44	0.46	0.48	0.50	23	0.58	0.64	0.70	0.75	0.81	0.87	0.93	0.99	1.04	1.10	1.16	1.22	1.28	1.34	1.40	1.46	1.52	1.58	1.64	1.70	1.76	1.82	1.88	1.94	2.00	2.06	2.12	2.18	2.24	2.30	2.36	2.42	2.48						
1.50	0.22	0.24	0.27	0.29	0.31	0.34	0.36	0.38	0.40	0.42	0.44	0.47	0.49	0.51	0.53	0.56	24	0.59	0.65	0.71	0.77	0.83	0.88	0.94	1.00	1.06	1.12	1.18	1.24	1.30	1.36	1.42	1.48	1.54	1.60	1.66	1.72	1.78	1.84	1.90	1.96	2.02	2.08	2.14	2.20	2.26	2.32	2.38	2.44	2.50						
2	0.24	0.27	0.29	0.31	0.34	0.36	0.39	0.41	0.43	0.46	0.48	0.51	0.53	0.56	0.58	0.60	25	0.60	0.66	0.72	0.78	0.84	0.90	0.96	1.02	1.08	1.14	1.20	1.26	1.32	1.38	1.44	1.50	1.56	1.62	1.68	1.74	1.80	1.86	1.92	1.98	2.04	2.10	2.16	2.22	2.28	2.34	2.40	2.46	2.52						
2.50	0.26	0.28	0.31	0.34	0.36	0.39	0.41	0.44	0.46	0.49	0.52	0.54	0.57	0.60	0.63	0.65	26	0.61	0.67	0.73	0.79	0.85	0.91	0.98	1.04	1.10	1.16	1.22	1.28	1.34	1.40	1.46	1.52	1.58	1.64	1.70	1.76	1.82	1.88	1.94	2.00	2.06	2.12	2.18	2.24	2.30	2.36	2.42	2.48							
3	0.27	0.30	0.33	0.36	0.38	0.41	0.44	0.46	0.49	0.52	0.55	0.57	0.60	0.63	0.66	0.68	27	0.62	0.68	0.74	0.81	0.87	0.93	0.99	1.05	1.12	1.18	1.24	1.30	1.36	1.43	1.49	1.55	1.61	1.67	1.73	1.79	1.85	1.91	1.97	2.03	2.09	2.15	2.21	2.27	2.33	2.39	2.45	2.51							
4	0.30	0.33	0.36	0.39	0.42	0.45	0.48	0.51	0.54	0.57	0.60	0.63	0.66	0.69	0.72	0.75	28	0.63	0.69	0.75	0.82	0.88	0.94	1.01	1.07	1.13	1.20	1.26	1.32	1.38	1.45	1.51	1.57	1.63	1.69	1.75	1.81	1.87	1.93	1.99	2.05	2.11	2.17	2.23	2.29	2.35	2.41	2.47	2.53							
5	0.32	0.36	0.39	0.42	0.45	0.49	0.52	0.55	0.58	0.61	0.65	0.68	0.71	0.74	0.78	0.81	29	0.64	0.70	0.77	0.83	0.89	0.96	1.02	1.09	1.15	1.21	1.28	1.34	1.40	1.47	1.53	1.60	1.66	1.73	1.79	1.85	1.91	1.97	2.03	2.09	2.15	2.21	2.27	2.33	2.39	2.45	2.51								
6	0.34	0.38	0.41	0.45	0.48	0.52	0.55	0.59	0.62	0.66	0.69	0.72	0.76	0.79	0.83	0.86	30	0.65	0.71	0.78	0.84	0.91	0.97	1.04	1.10	1.17	1.23	1.30	1.36	1.42	1.49	1.55	1.62	1.68	1.75	1.81	1.87	1.93	1.99	2.05	2.11	2.17	2.23	2.29	2.35	2.41	2.47	2.53								
7	0.36	0.40	0.44	0.47	0.51	0.55	0.58	0.62	0.66	0.69	0.73	0.77	0.80	0.84	0.87	0.91	31	0.66	0.72	0.79	0.85	0.92	0.99	1.05	1.12	1.18	1.25	1.31	1.38	1.44	1.51	1.58	1.64	1.70	1.77	1.83	1.89	1.95	2.01	2.07	2.13	2.19	2.25	2.31	2.37	2.43	2.49	2.55								
8	0.38	0.42	0.46	0.50	0.54	0.57	0.61	0.65	0.69	0.73	0.77	0.80	0.84	0.88	0.92	0.96	32	0.67	0.73	0.80	0.87	0.93	1.00	1.07	1.13	1.20	1.26	1.33	1.40	1.46	1.53	1.60	1.66	1.72	1.79	1.85	1.91	1.97	2.03	2.09	2.15	2.21	2.27	2.33	2.39	2.45	2.51	2.57	2.63	2.69	2.75					
9	0.40	0.44	0.48	0.52	0.56	0.60	0.64	0.68	0.72	0.76	0.80	0.84	0.88	0.92	0.96	1.00	33	0.67	0.74	0.81	0.88	0.94	1.01	1.08	1.15	1.21	1.28	1.35	1.42	1.48	1.55	1.62	1.69	1.75	1.81	1.87	1.93	1.99	2.05	2.11	2.17	2.23	2.29	2.35	2.41	2.47	2.53	2.59	2.65	2.71						
10 ^m	0.42	0.46	0.50	0.54	0.58	0.62	0.67	0.71	0.75	0.79	0.83	0.87	0.92	0.96	1.00	1.04	34	0.68	0.75	0.82	0.89	0.96	1.02	1.09	1.16	1.23	1.30	1.37	1.43	1.50	1.57	1.64	1.71	1.77	1.83	1.89	1.95	2.01	2.07	2.13	2.19	2.25	2.31	2.37	2.43	2.49	2.55	2.61	2.67	2.73						
11	0.43	0.47	0.52	0.56	0.60	0.65	0.69	0.73	0.78	0.82	0.86	0.91	0.95	0.99	1.04	1.08	35	0.69	0.76	0.83	0.90	0.97	1.04	1.11	1.18	1.24	1.31	1.38	1.45	1.52	1.59	1.66	1.73	1.79	1.85	1.91	1.97	2.03	2.09	2.15	2.21	2.27	2.33	2.39	2.45	2.51	2.57	2.63	2.69	2.75						
12	0.45	0.49	0.54	0.58	0.62	0.67	0.71	0.76	0.80	0.85	0.89	0.94	0.98	1.03	1.07	1.12	36	0.70	0.77	0.84	0.91	0.98	1.05	1.12	1.19	1.26	1.33	1.40	1.47	1.54	1.61	1.68	1.75	1.81	1.87	1.93	1.99	2.05	2.11	2.17	2.23	2.29	2.35	2.41	2.47	2.53	2.59	2.65	2.71							
13	0.46	0.51	0.55	0.60	0.64	0.69	0.74	0.78	0.83	0.88	0.92	0.97	1.01	1.06	1.11	1.15	37	0.71	0.78	0.85	0.92	0.99	1.06	1.13	1.20	1.27	1.35	1.42	1.49	1.56	1.63	1.70	1.77	1.83	1.89	1.95	2.01	2.07	2.13	2.19	2.25	2.31	2.37	2.43	2.49	2.55	2.61	2.67	2.73							
14	0.47	0.52	0.57	0.62	0.66	0.71	0.76	0.81	0.85	0.90	0.95	1.00	1.04	1.09	1.14	1.19	38	0.72	0.79	0.86	0.93	1.00	1.07	1.15	1.22	1.29	1.36	1.43	1.50	1.58	1.65	1.72	1.79	1.85	1.91	1.97	2.03	2.09	2.15	2.21	2.27	2.33	2.39	2.45	2.51	2.57	2.63	2.69	2.75							
15	0.49	0.54	0.58	0.63	0.68	0.73	0.78	0.83	0.88	0.93	0.97	1.02	1.07	1.12	1.17	1.22	39	0.72	0.80	0.87	0.94	1.01	1.09	1.16	1.23	1.30	1.38	1.45	1.52	1.59	1.67	1.74	1.81	1.87	1.93	1.99	2.05	2.11	2.17	2.23	2.29	2.35	2.41	2.47	2.53	2.59	2.65	2.71	2.77							
16	0.50	0.55	0.60	0.65	0.70	0.75	0.80	0.85	0.90	0.95	1.00	1.05	1.10	1.15	1.20	1.25	40	0.73	0.81	0.88	0.95	1.03	1.10	1.17	1.25	1.32	1.39	1.46	1.54	1.61	1.68	1.76	1.83	1.89	1.95	2.01	2.07	2.13	2.19	2.25	2.31	2.37	2.43	2.49	2.55	2.61	2.67	2.73								
17	0.51	0.56	0.61	0.67	0.72	0.77	0.82	0.87	0.92	0.97	1.02	1.08	1.13	1.18	1.23	1.28	41	0.74	0.81	0.89	0.96	1.04	1.11	1.18	1.26	1.33	1.41	1.48	1.55	1.63	1.70	1.78	1.85	1.91	1.97	2.03	2.09	2.15	2.21	2.27	2.33	2.39	2.45	2.51	2.57	2.63	2.69	2.75								
18	0.52	0.58	0.63	0.68	0.73	0.79	0.84	0.89	0.94	1.00	1.05	1.10	1.15	1.21	1.26	1.31	42	0.75	0.82	0.90	0.97	1.05	1.12	1.20	1.27	1.35	1.42	1.50	1.57	1.65	1.72	1.80	1.87	1.93	1.99	2.05	2.11	2.17	2.23	2.29	2.35	2.41	2.47	2.53	2.59	2.65	2.71									
19	0.54	0.59	0.64	0.70	0.75	0.80	0.86	0.91	0.96	1.02	1.07	1.13	1.18	1.23	1.29	1.34	43	0.76	0.83	0.91	0.98	1.06	1.13	1.21	1.28	1.36	1.44	1.51	1.59	1.66	1.74	1.81	1.89	1.95	2.01	2.07	2.13	2.19	2.25	2.31	2.37	2.43	2.49	2.55												

Portée	Pons (l) sous route										Portée																							
	Pons					Pons					Pons					Pons																		
	sous		voie		étroite	sous		voie		étroite	sous		voie		étroite	sous		voie		étroite														
	Valeurs		de			Valeurs		de			Valeurs		de			Valeurs		de																
$\alpha =$											$\alpha =$																							
28	0.10	0.11	0.12	0.13	0.14	0.15	0.16	0.17	0.18	0.19	0.20	0.21	0.22	0.23	0.24	0.25	28	0.10	0.11	0.12	0.13	0.14	0.15	0.16	0.17	0.18	0.19	0.20	0.21	0.22	0.23	0.24	0.25	
45 ^m	0.77	0.85	0.92	1.00	1.08	1.16	1.23	1.31	1.39	1.46	1.54	1.62	1.70	1.77	1.85	1.93	73 ^m	0.95	1.05	1.14	1.24	1.34	1.45	1.55	1.65	1.76	1.86	1.96	2.07	2.17	2.27	2.38	2.48	2.58
46	0.78	0.86	0.93	1.01	1.09	1.17	1.25	1.32	1.40	1.48	1.56	1.63	1.71	1.79	1.87	1.95	74	0.96	1.06	1.15	1.25	1.34	1.44	1.54	1.63	1.73	1.82	1.92	2.02	2.11	2.21	2.30	2.40	2.49
47	0.79	0.86	0.94	1.02	1.10	1.18	1.26	1.34	1.41	1.49	1.57	1.65	1.73	1.81	1.89	1.96	75	0.97	1.06	1.16	1.26	1.35	1.45	1.55	1.64	1.74	1.84	1.93	2.03	2.13	2.22	2.32	2.42	2.52
48	0.79	0.87	0.95	1.03	1.11	1.19	1.27	1.35	1.43	1.51	1.59	1.66	1.74	1.82	1.90	1.98	76	0.97	1.07	1.17	1.26	1.36	1.46	1.55	1.65	1.75	1.85	1.94	2.04	2.14	2.24	2.33	2.43	2.53
49	0.80	0.88	0.96	1.04	1.12	1.20	1.28	1.36	1.44	1.52	1.60	1.68	1.76	1.84	1.92	2.00	77	0.98	1.08	1.17	1.27	1.37	1.47	1.56	1.66	1.76	1.86	1.96	2.05	2.15	2.25	2.35	2.45	2.54
50	0.81	0.89	0.97	1.05	1.13	1.21	1.29	1.37	1.45	1.53	1.61	1.69	1.78	1.86	1.94	2.02	78	0.98	1.08	1.18	1.28	1.38	1.47	1.57	1.67	1.77	1.87	1.97	2.06	2.16	2.26	2.36	2.46	2.56
51	0.81	0.90	0.98	1.06	1.14	1.22	1.30	1.38	1.47	1.55	1.63	1.71	1.79	1.87	1.95	2.04	79	0.99	1.09	1.19	1.29	1.38	1.48	1.58	1.68	1.78	1.88	1.98	2.08	2.18	2.27	2.37	2.47	2.57
52	0.82	0.90	0.99	1.07	1.15	1.23	1.31	1.40	1.48	1.56	1.64	1.72	1.81	1.89	1.97	2.05	80	0.99	1.09	1.19	1.29	1.39	1.49	1.59	1.69	1.79	1.89	1.99	2.09	2.19	2.29	2.39	2.49	2.59
53	0.83	0.91	0.99	1.08	1.16	1.24	1.32	1.41	1.49	1.57	1.66	1.74	1.82	1.90	1.99	2.07	81	1.00	1.10	1.20	1.30	1.40	1.50	1.60	1.70	1.80	1.90	2.00	2.10	2.20	2.30	2.40	2.50	2.60
54	0.83	0.92	1.00	1.09	1.17	1.25	1.34	1.42	1.50	1.59	1.67	1.75	1.83	1.92	2.00	2.09	82	1.00	1.11	1.21	1.31	1.41	1.51	1.61	1.71	1.81	1.91	2.01	2.11	2.21	2.31	2.41	2.51	2.61
55	0.84	0.93	1.01	1.09	1.18	1.26	1.35	1.43	1.51	1.60	1.68	1.77	1.85	1.94	2.02	2.10	83	1.01	1.11	1.21	1.31	1.42	1.52	1.62	1.72	1.82	1.92	2.02	2.12	2.22	2.32	2.43	2.53	2.63
56	0.85	0.93	1.02	1.10	1.19	1.27	1.36	1.44	1.53	1.61	1.70	1.78	1.87	1.95	2.04	2.12	84	1.02	1.12	1.22	1.32	1.42	1.52	1.63	1.73	1.83	1.93	2.03	2.13	2.24	2.34	2.44	2.54	2.64
57	0.85	0.94	1.03	1.11	1.20	1.28	1.37	1.45	1.54	1.62	1.71	1.80	1.88	1.97	2.05	2.14	85	1.02	1.12	1.23	1.33	1.43	1.53	1.64	1.74	1.84	1.94	2.04	2.15	2.25	2.35	2.45	2.55	2.65
58	0.86	0.95	1.03	1.12	1.21	1.29	1.38	1.46	1.55	1.64	1.72	1.81	1.90	1.98	2.07	2.15	86	1.03	1.13	1.23	1.34	1.44	1.54	1.64	1.75	1.85	1.95	2.05	2.16	2.26	2.36	2.47	2.57	2.67
59	0.87	0.95	1.04	1.13	1.22	1.30	1.39	1.48	1.56	1.65	1.74	1.82	1.91	2.00	2.08	2.17	87	1.03	1.14	1.24	1.34	1.45	1.55	1.65	1.76	1.86	1.96	2.07	2.17	2.27	2.38	2.48	2.58	2.68
60	0.87	0.96	1.05	1.14	1.22	1.31	1.40	1.49	1.57	1.66	1.75	1.84	1.92	2.01	2.10	2.19	88	1.04	1.14	1.25	1.35	1.45	1.56	1.66	1.76	1.87	1.97	2.08	2.18	2.28	2.39	2.49	2.60	2.70
61	0.88	0.97	1.06	1.15	1.23	1.32	1.41	1.50	1.59	1.67	1.76	1.85	1.94	2.03	2.11	2.20	89	1.04	1.15	1.25	1.36	1.46	1.57	1.67	1.77	1.88	1.98	2.09	2.19	2.30	2.40	2.50	2.61	2.71
62	0.89	0.98	1.06	1.15	1.24	1.33	1.42	1.51	1.60	1.69	1.77	1.86	1.95	2.04	2.13	2.22	90	1.05	1.15	1.26	1.36	1.47	1.57	1.68	1.78	1.89	1.99	2.10	2.20	2.31	2.41	2.52	2.62	2.72
63	0.89	0.98	1.07	1.16	1.25	1.34	1.43	1.52	1.61	1.70	1.79	1.88	1.97	2.06	2.14	2.23	91	1.05	1.16	1.26	1.37	1.48	1.58	1.69	1.79	1.90	2.00	2.11	2.21	2.32	2.42	2.53	2.63	2.73
64	0.90	0.99	1.08	1.17	1.26	1.35	1.44	1.53	1.62	1.71	1.80	1.89	1.98	2.07	2.16	2.25	92	1.06	1.17	1.27	1.38	1.48	1.59	1.69	1.80	1.91	2.01	2.12	2.22	2.33	2.44	2.54	2.65	2.75
65	0.91	1.00	1.09	1.18	1.27	1.36	1.45	1.54	1.63	1.72	1.81	1.90	1.99	2.08	2.17	2.27	93	1.06	1.17	1.28	1.38	1.49	1.60	1.70	1.81	1.92	2.02	2.13	2.24	2.34	2.45	2.55	2.66	2.76
66	0.91	1.00	1.09	1.19	1.28	1.37	1.46	1.55	1.64	1.73	1.82	1.92	2.01	2.10	2.19	2.28	94	1.07	1.18	1.28	1.39	1.50	1.60	1.71	1.82	1.93	2.03	2.14	2.25	2.35	2.46	2.57	2.67	2.77
67	0.92	1.01	1.10	1.19	1.29	1.38	1.47	1.56	1.65	1.75	1.84	1.93	2.02	2.11	2.20	2.30	95	1.07	1.18	1.29	1.40	1.50	1.61	1.72	1.83	1.93	2.04	2.15	2.26	2.36	2.47	2.58	2.69	2.79
68	0.92	1.02	1.11	1.20	1.29	1.39	1.48	1.57	1.66	1.76	1.85	1.94	2.03	2.13	2.22	2.31	96	1.08	1.19	1.30	1.40	1.51	1.62	1.73	1.84	1.94	2.05	2.16	2.27	2.38	2.48	2.59	2.70	2.80
69	0.93	1.02	1.12	1.21	1.30	1.40	1.49	1.58	1.68	1.77	1.86	1.95	2.05	2.14	2.23	2.33	97	1.08	1.19	1.30	1.41	1.52	1.63	1.74	1.84	1.95	2.06	2.17	2.28	2.39	2.50	2.60	2.71	2.81
70	0.94	1.03	1.12	1.22	1.31	1.40	1.50	1.59	1.69	1.78	1.87	1.97	2.06	2.15	2.25	2.34	98	1.09	1.20	1.31	1.42	1.53	1.63	1.74	1.85	1.96	2.07	2.18	2.29	2.40	2.51	2.62	2.72	2.82
71	0.94	1.04	1.13	1.23	1.32	1.41	1.51	1.60	1.70	1.79	1.89	1.98	2.07	2.17	2.26	2.36	99	1.09	1.20	1.31	1.42	1.53	1.64	1.75	1.86	1.97	2.08	2.19	2.30	2.41	2.52	2.63	2.74	2.84
72	0.95	1.04	1.14	1.23	1.33	1.42	1.52	1.61	1.71	1.80	1.90	1.99	2.09	2.18	2.28	2.37	100	1.10	1.21	1.32	1.43	1.54	1.65	1.76	1.87	1.98	2.09	2.20	2.31	2.42	2.53	2.64	2.75	2.85

TABLE T.

ÉPAISSEUR A LA CLEF

176

VOÛTES SURBAISSÉES EN ELLIPSE, EN ARC

Portée $2a$ Surbaissement σ

$$e'_0 = \alpha (1 + \sqrt{2a}) \mu = e_0 \left(\begin{array}{c} \text{Epaisseur à la clef} \\ \text{d'une voûte en plein cintre} \\ \text{de portée } 2a \text{ Table T}_1 \end{array} \right) \times \mu$$

Valeurs de μ

σ	μ		σ	μ		σ	μ	
	Ellipse	Arc		Ellipse	Arc		Ellipse	Arc
$0.50 = \frac{1}{2}$	1	1	0.31	1.1049	1.0481	$0.1428 = \frac{1}{7}$	1.2170	1.1701
0.49	1.0050	1.0001	0.30	1.1111	1.0533	0.14	1.2195	1.1728
0.48	1.0101	1.0005	0.29	1.1173	1.0588	$0.1333 = \frac{1}{7.5}$	1.2244	1.1791
0.47	1.0152	1.0012	$0.2887 = \frac{1}{2\sqrt{3}}$	1.1181	1.0593	0.13	1.2269	1.1825
0.46	1.0204	1.0021	0.28	1.1235	1.0645	$0.125 = \frac{1}{8}$	1.2307	1.1874
0.45	1.0256	1.0033				0.12	"	1.1925
0.44	1.0309	1.0046				$0.1111 = \frac{1}{9}$	"	1.2014
0.43	1.0362	1.0065				0.11	"	1.2028
0.42	1.0416	1.0085	$0.25 = \frac{1}{4}$	1.1428	1.0833	$0.10 = \frac{1}{10}$	"	1.2133
0.41	1.0471	1.0108	0.24	1.1494	1.0901	"	"	1.2229
$0.40 = \frac{1}{2.5}$	1.0526	1.0133	0.23	1.1560	1.0972	$0.091 = \frac{1}{11}$	"	1.2241
0.39	1.0582	1.0161	0.22	1.1627	1.1045	0.09	"	1.2314
0.38	1.0638	1.0192	0.21	1.1695	1.1121	$0.0833 = \frac{1}{12}$	"	
0.37	1.0695	1.0225	$0.20 = \frac{1}{5}$	1.1764	1.1200			
0.36	1.0748	1.0261	0.19	1.1834	1.1281			
0.35	1.0810	1.0300	0.18	1.1904	1.1365			
0.34	1.0869	1.0348	0.17	1.1976	1.1452			
$0.3333 = \frac{1}{3}$	1.0909	1.0372	$0.1666 = \frac{1}{6}$	1.2000	1.1460			
0.33	1.0928	1.0385	0.16	1.2048	1.1543			
0.32	1.0989	1.0432	0.15	1.2121	1.1633			

1. — μ (Tome III p. 343) = $\begin{cases} \text{Ellipses } \frac{4}{3 + 2\sigma} \\ \text{Arcs } \frac{4}{3} (1 - \sigma + \sigma^2) \end{cases}$

TABLE T.

FRUIT MINIMUM φ A DONNER AU TYMPAN CONVEXE

DES PONTS OU VIADUCS EN COURBE DE RAYON R

POUR QU'AUCUN POINT DE L'INTRADOS DU BANDEAU NE SOIT EN PORTE-A-FAUX

PAR RAPPORT A UN POINT PLUS BAS : MIN $\varphi = \frac{r}{R}$ (p. 89).

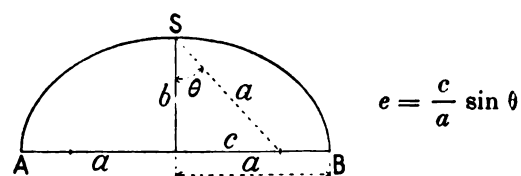
r est : pour un plein cintre et un arc de cercle, le rayon de l'intrados — ($2r$ est la portée d'un plein cintre) ;
pour une ellipse, le rayon de courbure au sommet.

$2r$	Valeurs de φ pour R =										$2r$	Valeurs de φ pour R =									
	150 ^m	200 ^m	250 ^m	300 ^m	350 ^m	400 ^m	500 ^m	600 ^m	700 ^m	800 ^m		150 ^m	200 ^m	250 ^m	300 ^m	350 ^m	400 ^m	500 ^m	600 ^m	700 ^m	800 ^m
4 ^m	13.3	10.0	8.0	6.7	5.7	5.0	4.0	3.3	2.9	2.5	32 ^m	106.7	80.0	64.0	53.3	45.7	40.0	32.0	26.7	22.9	20.0
5	16.7	12.5	10.0	8.3	7.1	6.3	5.0	4.2	3.6	3.1	33	110.0	82.5	66.0	55.0	47.1	41.3	33.0	27.5	23.6	20.6
6	20.0	15.0	12.0	10.0	8.6	7.5	6.0	5.0	4.3	3.8	34	113.3	85.0	68.0	56.7	48.6	42.5	34.0	28.3	24.3	21.3
7	23.3	17.5	14.0	11.7	10.0	8.8	7.0	5.8	5.0	4.4	35	116.7	87.5	70.0	58.3	50.0	43.8	35.0	29.2	25.0	21.9
8	26.7	20.0	16.0	13.3	11.4	10.0	8.0	6.7	5.7	5.0	36	120.0	90.0	72.0	60.0	51.4	45.0	36.0	30.0	25.7	22.5
9	30.0	22.5	18.0	15.0	12.8	11.3	9.0	7.5	6.4	5.6	37	123.3	92.5	74.0	61.7	52.8	46.3	37.0	30.8	26.4	23.1
10	33.3	25.0	20.0	16.7	14.2	12.5	10.0	8.3	7.1	6.3	38	126.7	95.0	76.0	63.3	54.2	47.5	38.0	31.7	27.1	23.8
11	36.7	27.5	22.0	18.3	15.7	13.8	11.0	9.2	7.9	6.9	39	130.0	97.5	78.0	65.0	55.7	48.8	39.0	32.5	27.9	24.4
12	40.0	30.0	24.0	20.0	17.1	15.0	12.0	10.0	8.6	7.5	40	133.3	100.0	80.0	66.7	57.1	50.0	40.0	33.3	28.6	25.0
13	43.3	32.5	26.0	21.7	18.6	16.3	13.0	10.8	9.3	8.1	41	136.7	102.5	82.0	68.3	58.6	51.3	41.0	34.2	29.3	25.6
14	46.7	35.0	28.0	23.3	20.0	17.5	14.0	11.7	10.0	8.8	42	140.0	105.0	84.0	70.0	60.0	52.5	42.0	35.0	30.0	26.3
15	50.0	37.5	30.0	25.0	21.4	18.8	15.0	12.5	10.7	9.4	43	143.3	107.5	86.0	71.7	61.4	53.8	43.0	35.8	30.7	26.9
16	53.3	40.0	32.0	26.7	22.8	20.0	16.0	13.3	11.4	10.0	44	146.7	110.0	88.0	73.3	62.8	55.0	44.0	36.7	31.4	27.5
17	56.7	42.5	34.0	28.3	24.2	21.3	17.0	14.2	12.1	10.6	45	150.0	112.5	90.0	75.0	64.2	56.3	45.0	37.5	32.1	28.1
18	60.0	45.0	36.0	30.0	25.7	22.5	18.0	15.0	12.9	11.3	46	153.3	115.0	92.0	76.7	65.7	57.5	46.0	38.3	32.9	28.8
19	63.3	47.5	38.0	31.7	27.1	23.8	19.0	15.8	13.6	11.9	47	156.7	117.5	94.0	78.3	67.1	58.8	47.0	39.2	33.6	29.4
20	66.7	50.0	40.0	33.3	28.6	25.0	20.0	16.7	14.3	12.5	48	160.0	120.0	96.0	80.0	68.6	60.0	48.0	40.0	34.3	30.0
21	70.0	52.5	42.0	35.0	30.0	26.3	21.0	17.5	15.0	13.1	49	163.3	122.5	98.0	81.7	70.0	61.3	49.0	40.8	35.0	30.6
22	73.3	55.0	44.0	36.7	31.4	27.5	22.0	18.3	15.7	13.8	50	166.7	125.0	100.0	83.3	71.4	62.5	50.0	41.7	35.7	31.3
23	76.7	57.5	46.0	38.3	32.8	28.8	23.0	19.2	16.4	14.4	51	170.0	127.5	102.0	85.0	72.8	63.8	51.0	42.5	36.4	31.9
24	80.0	60.0	48.0	40.0	34.2	30.0	24.0	20.0	17.1	15.0	52	173.3	130.0	104.0	86.7	74.2	65.0	52.0	43.3	37.1	32.5
25	83.3	62.5	50.0	41.7	35.7	31.3	25.0	20.8	17.9	15.6	53	176.7	132.5	106.0	88.3	75.7	66.3	53.0	44.2	37.9	33.1
26	86.7	65.0	52.0	43.3	37.1	32.5	26.0	21.7	18.6	16.3	54	180.0	135.0	108.0	90.0	77.1	67.5	54.0	45.0	38.6	33.8
27	90.0	67.5	54.0	45.0	38.6	33.8	27.0	22.5	19.3	16.9	55	183.3	137.5	110.0	91.7	78.6	68.8	55.0	45.8	39.3	34.4
28	93.3	70.0	56.0	46.7	40.0	35.0	28.0	23.3	20.0	17.5	56	186.7	140.0	112.0	93.3	80.0	70.0	56.0	46.7	40.0	35.0
29	96.7	72.5	58.0	48.3	41.4	36.3	29.0	24.2	20.7	18.1	57	190.0	142.5	114.0	95.0	81.4	71.3	57.0	47.5	40.7	35.6
30	100.0	75.0	60.0	50.0	42.8	37.5	30.0	25.0	21.4	18.8	58	193.3	145.0	116.0	96.7	82.8	72.5	58.0	48.3	41.4	36.3
31	103.3	77.5	62.0	51.7	44.2	38.8	31.0	25.8	22.1	19.4	60	200.0	150.0	120.0	100.0	85.7	75.0	60.0	50.0	42.9	37.5

TABLE T.

DÉVELOPPEMENT $ASB = L^1$ D'UNE ELLIPSE DE SURBAISSEMENT $\sigma = \frac{b}{2a}$

$\theta =$ Arc sin $\frac{c}{a}$	σ $= \frac{1}{2} \cos \theta$	Diffé- rences	$\frac{L}{2a}$	Diffé- rences
35°	0.409 576	5067	1.432 291	7531
36°	0.404 509	5191	1.424 760	7685
37°	0.399 318	5312	1.417 075	7835
38°	0.394 006	5433	1.409 240	7980
39°	0.388 573	5551	1.401 260	8120
40°	0.383 022	5667	1.393 140	8253
41°	0.377 355	5782	1.384 887	8383
42°	0.371 573	5896	1.376 504	8505
43°	0.365 677	6077	1.367 999	8622
44°	0.359 670	6117	1.359 377	8733
45°	0.353 553	6224	1.350 644	8838
46°	0.347 329	6330	1.341 806	8936
47°	0.340 999	6433	1.332 870	9028
48°	0.334 566	6536	1.323 842	9112
49°	0.328 030	6636	1.314 730	9191
50°	0.321 394	6734	1.305 539	9261
51°	0.314 660	6829	1.296 278	9324
52°	0.307 831	6923	1.286 954	9380
53°	0.300 908	7015	1.277 574	9427
54°	0.293 893	7105	1.268 147	9467
55°	0.286 788	7191	1.258 680	9498
56°	0.279 597	7277	1.249 182	9521
57°	0.272 320	7360	1.239 661	9534
58°	0.264 960	7441	1.230 127	9538
59°	0.257 519	7519	1.220 589	9533
60°	0.250 000	7595	1.211 056	9518
61°	0.242 405	7669	1.201 538	9492
62°	0.234 736	7741	1.192 046	9457
63°	0.226 995	7809	1.182 589	9410
64°	0.219 186	7877	1.173 179	9351
65°	0.211 309	7940	1.163 828	9281
66°	0.203 369	8003	1.154 547	9199
67°	0.195 366	8062	1.145 348	9104
68°	0.187 304	8120	1.136 244	8986
69°	0.179 184	8174	1.127 250	8872
70°	0.171 010	8226	1.118 378	8735
71°	0.162 784	8275	1.109 643	8581
72°	0.154 509	8323	1.101 062	8412
73°	0.146 186	8367	1.092 650	8225
74°	0.137 819	8409	1.084 425	8020
75°	0.129 410	8449	1.076 405	7795
76°	0.120 961		1.068 610	



L est aussi donné par la série :

$$L = \pi a \left\{ 1 - \left(\frac{e}{2}\right)^2 - \frac{1}{3} \left(\frac{1.3}{2.4} e^2\right)^2 - \frac{1}{5} \left(\frac{1.3.5}{2.4.6} e^2\right)^2 - \dots \right. \\ \left. - \frac{1}{2p-1} \left(\frac{1.3.5\dots(2p-1)}{2.4.6\dots 2p} e^p\right)^2 - \dots \right\}$$

Elle est très lentement convergente :

on lui préférera la formule de Houël :

$$L = \pi \frac{a+b}{2} \left[\left\{ 1 + \frac{1}{8} \left(\frac{a-b}{a+b} \right)^2 \right\}^2 + \frac{1}{256} \left(\frac{a-b}{a+b} \right)^4 \right]$$

Application :

	Pont de Chalonnès	Pont de Marmande
$2a$	30m	36m
σ	$\frac{1}{4} = 0,25$	$\frac{1}{3,6} = 0,277\ 777$
L (Table T.)	36m332	44m885
L (Formule Houël).	36m331	44m884

1. — Extrait des tables de Legendre. « *Traité des fonctions elliptiques et des intégrales eulériennes*.... par A. M. Legendre.... Paris — Imprimerie de Huzard-Courcier (1825-1826) 2^e volume, page 291.

TABLE T₁. Pression normale p en kilog. sur un mq de douelle de cintre, à une distance α de la clef

$$p = \gamma c \left(1 + \frac{c}{2R}\right) \sqrt{\cos \frac{4}{3} \alpha}, \text{ ou, pour les grandes voûtes, } \gamma c \sqrt{\cos \frac{4}{3} \alpha}$$

γ , densité de la maçonnerie; R , rayon de courbure de l'intrados; c , épaisseur du rouleau à α de la clef

Distances angulaires à la clef α	$\log \sqrt{\cos \frac{4}{3} \alpha}$	$\text{colog } \sqrt{\cos \frac{4}{3} \alpha}$	$\sqrt{\cos \frac{4}{3} \alpha}$	$\frac{1}{\sqrt{\cos \frac{4}{3} \alpha}}$	Distances angulaires à la clef α	$\log \sqrt{\cos \frac{4}{3} \alpha}$	$\text{colog } \sqrt{\cos \frac{4}{3} \alpha}$	$\sqrt{\cos \frac{4}{3} \alpha}$	$\frac{1}{\sqrt{\cos \frac{4}{3} \alpha}}$
0°	0	0	1	1	35°	̄.918238	0.081762	0.828396	1.207152
1	̄.999941	0.000059	0.999864	1.000136	36	̄.912755	0.087245	0.818003	1.222489
2	̄.999764	0.000236	0.999457	1.000544	37	̄.907009	0.092991	0.807252	1.238771
3	̄.999470	0.000530	0.998780	1.001221	38	̄.900986	0.099014	0.796134	1.256071
4	̄.999058	0.000942	0.997834	1.002172	39	̄.894671	0.105329	0.784641	1.274468
5	̄.998526	0.001474	0.996612	1.003400	40	̄.888045	0.111955	0.772761	1.294062
6	̄.997876	0.002124	0.995121	1.004903	41	̄.881088	0.118912	0.760481	1.314958
7	̄.997106	0.002894	0.993359	1.006686	42	̄.873781	0.126219	0.747792	1.337270
8	̄.996215	0.003785	0.991323	1.008753	43	̄.866096	0.133904	0.734676	1.361144
9	̄.995202	0.004798	0.989013	1.011109	44	̄.858008	0.141992	0.721121	1.386730
10	̄.994066	0.005934	0.986429	1.013758	45	̄.849485	0.150515	0.707107	1.414214
11	̄.992806	0.007194	0.983571	1.016702	46	̄.840491	0.159509	0.692614	1.443807
12	̄.991421	0.008579	0.980440	1.019950	47	̄.830985	0.169015	0.677619	1.475757
13	̄.989908	0.010092	0.977030	1.023510	48	̄.820921	0.179079	0.662096	1.510355
14	̄.988266	0.011734	0.973343	1.027387	49	̄.810244	0.189756	0.646017	1.547947
15	̄.986493	0.013507	0.969378	1.031590	50	̄.798891	0.201109	0.629348	1.588952
16	̄.984586	0.015414	0.965131	1.036129	51	̄.786787	0.213213	0.612051	1.633854
17	̄.982545	0.017455	0.960605	1.041010	52	̄.773844	0.226156	0.594079	1.683278
18	̄.980365	0.019635	0.955795	1.046249	53	̄.759955	0.240045	0.575380	1.737980
19	̄.978044	0.021956	0.950701	1.051856	54	̄.744991	0.255009	0.555892	1.798908
20	̄.975579	0.024421	0.945319	1.057842	55	̄.728792	0.271208	0.535540	1.867274
21	̄.972967	0.027033	0.939652	1.064226	56	̄.711159	0.288841	0.514232	1.944648
22	̄.970204	0.029796	0.933693	1.071017	57	̄.691837	0.308163	0.491855	2.033121
23	̄.967287	0.032713	0.927442	1.078236	58	̄.670498	0.329502	0.468272	2.135512
24	̄.964210	0.035790	0.920895	1.085900	59	̄.646699	0.353301	0.443301	2.255802
25	̄.960970	0.039030	0.914030	1.094033	60	̄.619835	0.380165	0.416711	2.399753
26	̄.957561	0.042439	0.906904	1.102654	61	̄.589036	0.410964	0.388182	2.576107
27	̄.953979	0.046021	0.899454	1.111785	62	̄.552996	0.447004	0.357270	2.799007
28	̄.950216	0.049784	0.891694	1.121461	63	̄.509617	0.490383	0.323308	3.093028
29	̄.946268	0.053732	0.883625	1.131702	64	̄.455202	0.544798	0.285234	3.505887
30	̄.942127	0.057873	0.875240	1.142545	65	̄.382255	0.617745	0.241132	4.147105
31	̄.937785	0.062215	0.866533	1.154025	66	̄.271409	0.728591	0.186814	5.352923
32	̄.933235	0.066765	0.857502	1.166178	67	̄.032888	0.967112	0.107867	9.270681
33	̄.928467	0.071533	0.848139	1.179052	67°30	— ∞	+ ∞	0	+ ∞
34	̄.923472	0.076528	0.838440	1.192691					

TABLE T₂. — Compression moyenne β_m en kilog. à admettre par $\overline{0^{\circ}01^{\circ}}$ de section transversale

d'une pièce de bois comprimée, pour un élanement $\varphi = \frac{L \text{ (Longueur libre)}}{b \text{ (plus petit côté ou diamètre)}}$:

$$\text{Pièces carrées ou rectangulaires } \beta_m = \frac{80}{1 + \left(\frac{\varphi}{24}\right)^2}$$

$$\text{Pieux ronds } \beta_m = \frac{60}{1 + \frac{1}{3} \left(\frac{\varphi}{12}\right)^2}$$

φ	β_m		φ	β_m		φ	β_m		φ	β_m	
	Pièces carrées ou rectangulaires	Pieux ronds		Pièces carrées ou rectangulaires	Pieux ronds		Pièces carrées ou rectangulaires	Pieux ronds		Pièces carrées ou rectangulaires	Pieux ronds
0	80°00	60°00	13	61°85	43°13	26	36°80	23°39	39	21°97	13°27
1	79 86	59 86	14	59 69	41 27	27	35 31	22 33	40	21 18	12 76
2	79 45	59 45	15	57 53	39 45	28	33 88	21 32	41	20 42	12 27
3	78 77	58 78	16	55 38	37 67	29	32 52	20 36	42	19 69	11 80
4	77 84	57 86	17	53 27	35 95	30	31 22	19 46	43	19 00	11 36
5	76 67	56 72	18	51 20	34 29	31	29 98	18 61	44	18 34	10 95
6	75 29	55 38	19	49 18	32 69	32	28 80	17 80	45	17 72	10 55
7	73 73	53 89	20	47 21	31 15	33	27 68	17 04	46	17 12	10 17
8	72 00	52 26	21	45 31	29 69	34	26 61	16 32	47	16 55	9 81
9	70 14	50 53	22	43 47	28 30	35	25 59	15 64	48	16 00	9 47
10	68 17	48 72	23	41 70	26 97	36	24 61	15 00	49	15 48	9 15
11	66 11	46 87	24	40 00	25 71	37	23 69	14 39	50	14 98	8 84
12	64 00	45 00	25	38 36	24 52	38	22 81	13 82			

ANNEXES

PONTS A VOÛTES

INARTICULÉES OU ARTICULÉES

DE 40^m ET PLUS DE PORTÉE

ACHEVÉS APRÈS 1912

TABLEAUX SYNOPTIQUES

MONOGRAPHIES

PONT Date Symbole	PROJET							
	ENSEMBLE		GRANDE VOÛTE					1° ÉVIDEMENTS DES TYMPANS 2° DÉCORATION DES TÊTES
	Longueur entre abouts des parapets Déclivités Hauteur maxima du rail au-dessus du sol ou de l'étiage	Largeurs (entre parapets entre tympans sous la plinthe Fruit des tympans Revanche du rail sur l'extrados	INTRADOS Portée Montée Rayon	ÉPAISSEURS		MATÉRIAUX Mortier Poids, pour 1 ^m de sable, de chaux ou de ciment	PRESSIONS en kg/0 ^m 01 ² <i>Hypothèse adoptée</i> Surcharges supposées	
1	2	3	4	5	6	7	8	9
SOUS CHEMIN DE FER A VOIE NORMALE								
des Eaux-Salées <i>France</i> 1911-1914 C¹ Fr ($\geq 40^m$) ⁴	114 ^m 83 3 ^m RG RD 31 ^m 40	{ 8 ^m 075 8 ^m 17 Fruit : 1/40 1 ^m 085	{ 50 ^m 00 25 ^m 00 25 ^m 00	{ 1 ^m 60 3 ^m 20	{ 1 ^m 65 3 ^m 25	Bandeaux, douelle et queutage en MAV ¹ de 0 ^m 25 à 0 ^m 27 Calcaire de Châteauneuf-lez- Martigues (Bouches-du-Rhône) Poids 2700 ^k Résistance 1300 ^k Au-dessus du joint à 80° 46' de la clef : ciment artificiel Lafarge de Valdonne 611 ^k au-dessous : chaux « maritime » Lafarge 350 ^k Comme sable, cal caire broyé.	Max. $\beta = 27^k$ <i>Arc élastique</i> Méthode de M. Résal Surcharge de 10 ^t par m. c' de voie Effort dû au freinage 10 ^t 8	1° 10 voûtes transversales vues, en plein cintre de 4 ^m 90, sur piles de 1 ^m 20 aux naissances 2° <i>Archivolte</i> de 0 ^m 40 d'épaisseur à la clef 0 ^m 65 aux reins 0 ^m 20 de saillie uniforme sur le bandeau
SOUS CHEMIN DE FER A VOIE ÉTROITE								
sur la Roizonne <i>France</i> 1912-1915 C¹ Fr ($\geq 40^m$) ²	231 ^m 52 10 ^m RD RG 110 ^m	{ entre parapets 5 ^m 40 (chaussée de 4 ^m 30) entre tympans 4 ^m 50 entre têtes de la grande voûte 4 ^m 70 fruit : 1/40 1 ^m 40	79 ^m 453 Montée (de la clef aux retombées) RD 36 ^m 83 RG 34 ^m 21 40 ^m 00	{ 1 ^m 65 2 ^m 90	{ 1 ^m 65 2 ^m 90	Bandeaux et douelle PT ¹ Queutage au-dessus des joints à 60° de la clef gros MEV ¹ au-dessous MOV ¹ Ciment artificiel Vicat 600 ^k	Pressions avec surcharge MAX. moy. Clefs 22 ^k 3 22 ^k 2 Joint à 60° 40 ^k 3 21 ^k 5 <i>Arc élastique</i> Méthode de M. Résal 3750 ^k par m. c' soit 797 ^k par m. q.	1° 8 voûtes transversales vues, en plein cintre de 6 ^m 50, sur piles de 1 ^m 30 aux naissances 2° »

1. Pour le sens de ces abréviations, voir Avertissement, Tome I, p. IV, n° 6.

PONTES A UNE SEULE GRANDE ARCHE

TABLEAU SYNOPTIQUE

EXÉCUTION										CUBE DE MAÇONNERIE A MORTIER	
FONDATIONS	GRANDE VOÛTE									Q	
	CINTRE				MODE DE CONSTRUCTION	DÉCINTREMENT État d'avancement du pont Temps entre le dernier clavage et le décintrement Date	TASSEMENTS DE LA CLEF sur cintre t _c au décin- trement t' _c après t'' _c	DÉPENSE			
	FERMES		Cube de bois Poids de fer Dépenses					D			
	Type Matière Appareils de décintrement	Nombre Épaisseur Écartement d'axe en axe Surhaussement	Totaux	par mq de douelle 2				Totaux et par unité { de surface utile S _p ² de volume « utile » W ⁴			
	10	11	12	13				14	15	16	17
Nature du sol Profondeur sous l'étiage Pressions sur le sol en kg/0 ^m 1 ² Procédé											
10	11	12	13	14	15	16	17				


SÉRIE C¹ F^r (≥ 40^m) Suite du tableau synoptique Tome I p. 38

Dolomie R D : plus haut que l'étiage à sec R G : à 22 ^m par époussement en fouille blindée	Fixe à rayons (Type Lavaur II p. 137) Sapin (Dauphiné et Savoie) Boîtes à sable	7 de rive : 20 ^{cm} interm. 25 ^{cm} 1 ^m 50 » »	Bois en élevat. 454 ^{mc} en fondat. 29.5 ^{mc} 483.5 ^{mc} 14263 ^k 77033 ^f	0 ^{mc} 78 0 ^{mc} 83 24 ^k 5 132 ^f 2	3 rouleaux au-dessus de 60° 9' 30" 1 ^{er} rouleau 8 tronçons 15 clavages 2° 6 tronçons 7 clavages 3° 6 tronçons 5 clavages	Voûte nue 38 jours 12 août	t _c t' _c apr. 6 j ^{rs}	amont mm 29.2 0.22 0.17 aval mm 32.8	Q = 11620 ^{mc} Q : S _p = 12 ^{mc} 4 Q : W = 0 ^{mc} 67 D = 998 209 ^f D : S _p = 1086 ^f 6 D : W = 58 ^f D : Q = 85 ^f 9

SÉRIE C¹ f^r (≥ 40^m) Suite du tableau synoptique Tome I p. 52

Calcaire schisteux 12 ^k (en supposant la charge uniformément répartie sur la retombée de la voûte et le massif qui la bute)	Retroussé sur 63 ^m 60 (Type Luxem- bourg II p. 72 ^{bis}) Sapin du pays Boîtes à sable	4 cerveau 23 ^{cm} chevalet 39 ^{cm} 1 ^m 60 0	250 ^{mc} 94000 ^k 70000 ^f	0 ^{mc} 41 155 ^k 2 115 ^f 6	3 rouleaux Dans chaque rouleau, 6 tron- çons clavés en même temps à la clef, aux reins, aux joints à 60° 1 ^{er} rouleau 1 moellon Épaisseur moyenne 0 ^m 60 environ 2° rouleau 1 moellon au cerveau 2 moellons aux reins	Les piles des voûtes d'élégissement construites 41 jours 7 septembre	t _c = 61 ^{mm} t' _c = { 6 ^{mm} (am') 5 ^{mm} (aval)	Q = 11950 ^{mc} Q : S _p = 10 ^{mc} 64 Q : W = 0 ^{mc} 27 Q : W' = 0 ^{mc} 34 D = 560000 ^f D : S _p = 498 ^f 7 D : W = 12 ^f 7 D : W' = 16 ^f 4 D : Q = 46 ^f 9 Cube de la grande voûte 1651 ^{mc} (Q, D, approximatifs : le décompte n'est pas arrêté)

2. Pour le calcul de la surface de douelle, voir Avertissement, Tome I page V, n° 7 — 4. 3. S_p = Longueur (col. 2) × Largeur entre parapets (col. 3) — C'est la surface offerte à la circulation
4. W = Surface vue de l'élévation × Largeur entre parapets. 5. W' = Surface de l'élévation au-dessus des fondations × Largeur entre parapets.
Pour S_p, W, W', voir Avertissement, Tome I, page V, n° 7 — B.

PONT	PROJET							
	ENSEMBLE		GRANDES VOÛTES				ÉVIDEMENTS DES TYMPANS	1° 2° DÉCORATION DES TÊTES
	Longueur entre abouts des parapets Déclivités Hauteur maxima de la chaussée ou du rail au-dessus du sol ou de l'étiage	Largeurs (entre parapets entre tympans sous la plinthe Fruit des tympans Revanche de la chaussée ou du rail sur l'extrados	INTRADOS Portée Montée Surbaisement Rayons de courbure : à la clef, aux naissances	ÉPAISSEURS CORPS Clef Milieu de la montée	TÊTES Clef Reins	MATÉRIAUX Mortier Poids, pour 1 ^m de sable, de chaux ou de ciment	PRESSIONS en kg/0 ^m 01 ² Hypothèse adoptée Surcharges supposées	
Date Symbole En quoi consiste l'ouvrage	1	2	3	4	5	6	7	8
EN DEUX ANNEAUX SOUS ROUTE								
de l'Hôtel-Dieu à Lyon France 1912-1916 EⁿEⁿr^{te} (≥ 40^m)² 4 arches en ellipse de 42 ^m , 45 ^m , 49 ^m , 45 ^m 2 voûtes de décharge en ellipse RD — 7 ^m 50 RG — 11 ^m 00	227 ^m 50  11 ^m 79 (étiage)	20 ^m 10 (chaussée de 11 ^m) Largeur : des anneaux en douelle, à la clef 5 ^m 05 du vide entre eux 10 ^m 80 Pas de fruit 1 ^m 00	Ellipse 1 { 42 ^m 00 7 ^m 77 RD $\frac{1}{5,405} = 0,185$ 45 ^m 00 3 ^m 50 2 { 45 ^m 00 9 ^m 04 $\frac{1}{4,978} = 0,200$ 45 ^m 00 4 ^m 06 3 { 49 ^m 00 9 ^m 54 $\frac{1}{5,136} = 0,195$ 48 ^m 00 4 ^m 00 4 { 45 ^m 00 9 ^m 04 RG $\frac{1}{4,978} = 0,200$ 45 ^m 00 4 ^m 00	{ 1 ^m 25 1 ^m 75 1 ^m 25 1 ^m 475 1 ^m 25 1 ^m 62 1 ^m 25 1 ^m 475	{ 1 ^m 00 1 ^m 75 1 ^m 00 1 ^m 475 1 ^m 00 1 ^m 62 1 ^m 00 1 ^m 475	Bandeaux et douelle en PT ¹ calcaire de Villette (Ain) Sable de Saône Ciment artificiel Lafarge 600 ^k	Pressions MAX. clef 35 ^k 9 reins 39 6 clef 32 ^k 3 reins 40 9 clef 33 ^k reins 40 clef 32 ^k 3 reins 40 9 Méthode de M. Résal 600 ^k par m. q.	1° Voûtes transversales vues, en arc de cercle de 2 ^m 00 à 1/5 sur piles de 0 ^m 70 2° »
SOUS CHEMIN DE FER A VOIE NORMALE								
de Courris France 1912-1916 Eⁿ F^r (≥ 40^m)² 3 voûtes égales	159 ^m 02 » 18 ^m 55	{ 4 ^m 50 4 ^m 30 Pas de fruit 1 ^m	Ellipse 40 ^m 00 16 ^m 25 $\frac{1}{2,461} = 0,406$ 24 ^m 615 13 ^m 203	{ 1 ^m 30 2 ^m 40 l'arc d'extrados est une ellipse con- centrique	{ 1 ^m 30 2 ^m 40	Bandeaux et douelle MAV ¹ Queutage : au-dessus du milieu de la montée MEV ¹ au-dessous MOV ¹ Ciment 600 ^k	Pressions MAX. moy. clef 15 ^k 7 13 ^k 3 au 1/4 19 ^k 5 11 ^k 2 de la (intr.) montée au 10 ^k 8 10 ^k 3 milieu (intr.) de la montée Méthode de M. Résal 1180 ^k par m. q. de plate-forme sur toute la voûte	1° au-dessus des reins des 3 grandes voû- tes, 2 voûtes transversales vues, en plein cintre de 3 ^m 00 sur piles de 0 ^m 95 aux naissances 2° »

I. — Pour le sens de ces abréviations, voir Avertissement, Tome I page IV, n° 6.

PONTS A PLUSIEURS GRANDES ARCHES

TABLEAU SYNOPTIQUE

EXÉCUTION										CUBE DE MAÇONNERIE A MORTIER	
GRANDES VOÛTES										Q	
CINTRES										DÉPENSE	
FERMES										D	
Cube de bois Poids de fer Dépenses										Totaux	
Type Matière										et	
Appareils de décintrement										par unité	
Procédé										18	
10											
11											
12											
13											
14											
15											
16											
17											
SÉRIE E ⁿ E ⁿ r ^{te} (≥ 40 ^m) Suite du tableau synoptique, Tome I, p. 190											
Gros gravier et sable		4			3 rouleaux aux reins 2 au cerveau	1 RD	Anneau amont/ aval			t _c	
10 à 12 ^m sous l'étiage (6 à 10 ^m dans le sol)	Métal	»	372426 ^k		1 ^{er} rouleau : 6 taquets, 4 assises à sec	2 3 étant clavée	43 j. 27 j. 17 mars 27 avril			13.2 ^{mm} 8 ^{mm}	
Pression maxima 12 ^k 39	Boîtes à sable dans des caissons en bois remplis de paraffine	15 ^{mm} à 25 ^{mm}				3 (4 clav.)	40 j. 34 j. 14 mai 23 mai			2.4 ^{mm} 2 ^{mm}	
Air comprimé						4 RG Voûte de dé- charge clavée	33 j. 38 j. 19 juin 12 juil.			1.4 ^{mm} 0.2 ^{mm}	
SÉRIE E ⁿ F ^r (≥ 40 ^m) Suite du tableau synoptique, Tome I, p. 222											
Rocher (schiste)	Fixe type Antoinette	4	81 ^m 13	0 ^m 37	2 rouleaux	On a décintré le 1 ^{er} rouleau :	t _c = 30 ^{mm}				
		25 ^{cm}	3547 ^k	16 ^k 3	1 ^{er} rouleau	Voûte 3 à 37 jours 23 novembre	t _c (1 ^{er} anneau)				
2 ^m 30	Sapin	1 ^m 37	8344 ^l	38 ^l 25	11 clavages	Voûte 1 à 30 jours 20 mai	3-14 ^{mm}				
Epaissements dans un batardeau pour une pile	Boîtes à sable	30 ^{mm}	Un seul cintre pour les 3 voûtes		(coffrages, ta- quets, cales... comme aux ponts de La- vaur (II p. 139), Antoinette (II p. 147)	Voûte 2 à 43 jours 10 septembre	Voûte 1-12 2-9				

2. Pour le calcul de la surface de douelle, voir Avertissement, Tome I, page V, n° 7 — A.

3. $S_n =$ Longueur (col. 2) \times Largeur entre parapets (col. 3) — C'est la surface offerte à la circulation.

4. W = Surface vue de l'élévation \times Largeur entre parapets.

5. W' = Surface de l'élévation au-dessus des fondations \times Largeur entre parapets.

Pour S_p , W , W' , voir Avertissement, Tome I, page V, n° 7 B.

PONT Date Symbole	PROJET							
	ENSEMBLE		GRANDE VOÛTE					1° ÉVIDEMENTS DES TYMPANS 2° DÉCORATION DES TÊTES
	Longueur entre abouts des parapets Déclivités Hauteur maxima du rail au-dessus du sol ou de l'étiage	Largeurs entre parapets entre tympans sous la plinthe Fruit des tympans Revanche du rail sur l'extrados	INTRADOS Portée Montée Surbaissement Rayons: cerveau reins	ÉPAISSEURS CORPS Clef Retombées		TÊTES Clef Retom- bées	MATÉRIAUX Mortier Poids, pour 1 ^m de sable, de chaux ou de ciment	PRESSIONS en kg/0 ^m 01 ² Hypothèse adoptée Surcharges supposées
1	2	3	4	5	6	7	8	9
SOUS CHEMIN DE FER A VOIE NORMALE								
de Niagara Norvège 1914-19.. A ¹ Fr (≥ 40 ^m) ¹²	75 ^m 50 7 ^m 5 »	5 ^m 90 5 ^m 30 Fruit $\frac{1}{30}$ 1 ^m 60	Arc d'anse de panier à 3 centres 42 ^m 00 13 ^m 00 $\frac{1}{3,23} = 0,31$ 22 ^m 50 24 ^m 818	1 ^m 60 2 ^m 00	1 ^m 60 2 ^m 00	Bandeaux, Douelle PT ¹ Granit 1420 ^k à 1575 ^k Ciment 560 ^k	Pressions maxima : avec surch. sans surch. Clef 17 ^k 11 ^k 6 Reins 28 17.5 Retomb 31.5 17 » 15 ^k par mètre courant	1° Voûtes en plein cintre de 3 ^m 50 sur piles de 1 ^m 60 2° »
SOUS CHEMIN DE FER A VOIE ÉTROITE								
Sur la Vouga Portugal 1913 A ¹ fr (≥ 40 ^m) ⁵	168 ^m 0 29 ^m	3 ^m 60 3 ^m 10 à la clef Fruit $\frac{1}{30}$ 0 ^m 90	Arc d'anse de panier à 3 centres au niveau des fondations 55 ^m 70 27 ^m 00 $\frac{1}{2,266} = 0,449$ 24 ^m 70 33 ^m 20	1 ^m 20 à 6 ^m au-dessus des fondations 2 ^m 60	1 ^m 20 2 ^m 60	Bandeaux et douelle MEV ¹ (granit) Queutage MOV ¹ Ciment 350 ^k	Pressions maxima : Clef 15 ^k 23 ^k 14 ^k Reins à 52 ^k et 20 ^m 00 de la clef Retombées Charge permanente..... Sur toute la voûte 21 23 16 Sur la voûte { Côté chargé 20 24 17 Côté non chargé 20 22 15 Celles du règlement français du 29 août 1891.	1° Voûtes en plein cintre de 10 ^m 20 sur piles de 1 ^m 20 aux naissances 2° »
de Pélussin France 1914-1916 A ¹ fr (≥ 40 ^m) ⁶	169 ^m 50 30 ^m environ 58 ^m 50	entre parapets 4 ^m entre tympans 2 ^m 90 à 3 ^m 00 Entre bandeaux 3 ^m Fruit : $\frac{1}{50}$ 0 ^m 805	Arc d'anse de panier à 3 centres 55 ^m 00 24 ^m 70 $\frac{1}{2,266} = 0,449$ 24 ^m 70 33 ^m 20	1 ^m 40 aux reins 2 ^m 10 3 ^m 80	1 ^m 40 aux reins 2 ^m 10 3 ^m 80	Bandeaux et douelle MEV ¹ (calc ^{rs} de Sénozan) Queutage MOV ¹ (granit) Ciment 300 ^k	Pressions MAX. moy. Sans surcharge Clef 21 ^k 8 17 ^k 9 Reins 20.2 13.0 Retomb. 13.0 10.3 Avec surcharge Clef 22 ^k 0 20 ^k 9 Reins 25.0 14.8 Retomb. 17.8 11.8 Arc élastique: lignes d'influence Celles du règlem ^t du 29 août 1891	1° Voûtes transversales vues, en plein cintre de 10 ^m 00 sur piles de 1 ^m 40 aux naissances 2° »

1. — Pour le sens de ces abréviations, voir Avertissement, Tome II, p. II, n° 6.

6. — Calculées par M. Freyssinet, Ingénieur des Ponts et Chaussées.

PONTS A UNE SEULE GRANDE ARCHE

TABLEAU SYNOPTIQUE

EXÉCUTION										CUBE DE MAÇONNERIE A MORTIER	
GRANDE VOÛTE										Q	
CINTRE										DÉPENSE	
FERMES										D	
Cube de bois Poids de fer Dépenses										Totaux	
MODE DE CONSTRUCTION										et	
DÉCINTREMENT État d'avancement du pont Temps entre le dernier clavage et le décintrement Date										par unité	
TASSEMENTS DE LA CLEF sur cintre t _c au décin- trement t' _c après t'' _c										de surface utile S _p * de volume « utile » W *	
10										18	
11											
12											
13											
14											
15											
16											
17											

SÉRIE A¹ F^r (≥ 40^m) Suite du tableau synoptique Tome II, p. 122.

Rocher	»	5			2				
	»	»			rouleaux				
16 ^k	Boîtes à sable	1 ^m 40							
	»	»							

SÉRIE A¹ f^r (≥ 40^m) Suite du tableau synoptique Tome II, p. 180.

Granit	à rayons	4	180 ^{mc}	0 ^{mc} 58	1 rouleau de moellons	Voûte nue	t _c = 40 ^{mm}	Q = 3670 ^{mc} Q : S _p = 6 ^{mc} 07 Q : W = 0 ^{mc} 31	
	Bois	20 ^{cm}	2800 ^k	89 ^k 7	5 joints secs		t' _c = 0 ^{mm} 5		
	Boîtes à sable	1 ^m 40							
						8 jours			

Granit	Retroussé sur 34° contrefiches rayonnant en éventail de	3	189 ^{mc} 6	0 ^{mc} 57	3 rouleaux	Piles des voûtes d'évidement construites	t _c = 48 ^{mm}	
»	deux piles voisines des culées	Cerveau 20 ^{cm}	2916 ^k	87 ^k 3	1 rouleau de moellons	40 jours	t' _c = 0	
»		Etage inférieur	39201 ^t	117 ^t 4	2 rouleaux de queutage	12 Novembre		
A sec	Bois	24 ^{cm}						
	Boîtes à sable et véris à vis	1 ^m 50			5 joints secs			
		0 ^m 10						

2. Pour le calcul de la surface de douelle, voir Avertissement, Tome II, p. III, n° 7 - A. 3. S_p = Longueur (col. 2) \times Largeur entre parapets (col. 3) - C'est la surface offerte à la circulation.

4. W = Surface vue de l'élévation \times Largeur entre parapets. 5. W' = Surface de l'élévation au-dessus des fondations \times Largeur entre parapets.

Pour S_p , W , W' , voir Avertissement, Tome II, p. III, n° 7 - B.

PONT Date Symbole	PROJET							
	ENSEMBLE		GRANDE VOÛTE					ÉVIDEMENTS DES TYMPANS 2° DÉCORATION DES TÊTES
	Longueur entre abouts des parapets Déclivités Hauteur maxima de la chaussée ou du rail au-dessus du sol ou de l'étiage	Largeurs entre parapets entre tympans sous la plinthe Fruit des tympans Revanche de la chaussée ou du rail sur l'extrados	INTRADOS Portée Montée Surbaissement Rayons: cerveau reins	ÉPAISSEURS CORPS Clef Retombées	TÊTES Clef Retombées	MATÉRIAUX Mortier Poids, pour 1 ^m de sable, de chaux ou de ciment	PRESSIONS en kg./m ² Hypothèse adoptée Surcharges supposées	
1	2	3	4	5	6	7	8	9
EN DEUX ANNEAUX SOUS ROUTE								
de Villeneuve France 1914-1916 $\bar{A}^1 \bar{A}^1 r^{le} (\geq 40^m)^1$	123 ^m 45 » 17 ^m 41	10 ^m 90 (Chaussée de 7 ^m 30 2 trottoirs de 1 ^m 80, voie du tramway au milieu) 10 ^m 90 » 0 ^m 57	Pour l'intrados voir la monographie 96 ^m 25 aux naissances 97 ^m 45 aux fondations 15 ^m 455 $\frac{1}{6,228} = 0,1606$	1 ^m 45 2 ^m à 44 ^m de la clef	1 ^m 45 2 ^m à 44 ^m de la clef	Béton Gravier tout venant 1 ^m du Lot Ciment 350 ^k [Ciments français de Boulogne. Usine de la Souys près de Bordeaux]	Compressions maxima Sans sur-charge Avec sur-charge Clef 42 ^k 51 ^k Reins 39 57 Appuis 23 34 Arc élastique (Méthode des courbes d'influence) On a tenu compte des variations de longueur dus aux changements de température, $\frac{75}{10^6}$ autour de la moyenne pour des oscillations de $\pm 25^\circ$ Celles du reglem ^t du 29 août 1891.	1° Voûtes en plein cintre de 3 ^m 35 environ, sur piles d'épaisseurs croissant en s'éloignant de la clef, de 0 ^m 50 à 0 ^m 68 2° Petites moulures en creux dans les bandeaux
SOUS CHEMIN DE FER A VOIE NORMALE								
d' Orkla Norvège 1911-1915 $\bar{A}^1 F^r (\geq 40^m)^{26}$	86 ^m 0 47 ^m	4 ^m 84 4 ^m 20 Fruit : $\frac{1}{30}$ 1 ^m 60	Arc d'anse de pan. 60 ^m 00 13 ^m 70 $\frac{1}{4,38} = 0,228$ 47 ^m 50 31 ^m 17	1 ^m 80 3 ^m 30	1 ^m 80 3 ^m 30	Bandeaux et douelle : PT ⁱ granit blanc Résistance (1150 ^k à 1500 ^k) Queutage : L ⁱ Ciment 560 ^k	MAX. en tenant compte des changements de température Sans sur-charge Avec sur-charge Clef 41 ^k 45 ^k Reins 37 51 Retomb. 35 47 Arc élastique 15 ^r au m. c ^t	1° 6 voûtes en plein cintre de 3 ^m 50 sur piles de 1 ^m 40 d'épaisseur 2° »
de Dombaas Norvège 1913-19.. $\bar{A}^1 F^r (\geq 40^m)^{27}$	85 ^m 5 0 34 ^m 60	4 ^m 80 4 ^m 20 Fruit : $\frac{1}{30}$ 1 ^m 80	Arc d'anse de pan. 54 ^m 00 11 ^m 40 $\frac{1}{4,74} = 0,21$ 39 ^m 00 36 ^m 445	1 ^m 90 2 ^m 20	1 ^m 90 2 ^m 20	Bandeaux et douelle : PT ⁱ Granit blanc (1000 ^k) Queutage : L ⁱ Ciment 560 ^k	Pression maxima Sans sur-charge Avec sur-charge Clef 16 ^k 5 20 ^k 2 Retomb. 20 8 49 1 15 ^r au m. c ^t	1° 6 voûtes en plein cintre de 3 ^m 40 sur piles de 1 ^m 40 d'épaisseur 2° »
de Gulfos Norvège 1913-19.. $\bar{A}^1 F^r (\geq 40^m)^{28}$	77 ^m 0 19 ^m 50	4 ^m 90 4 ^m 30 Fruit : $\frac{1}{30}$ 1 ^m 60	Arc d'anse de pan. 46 ^m 00 9 ^m 70 $\frac{1}{4,74} = 0,21$ 36 ^m 50 28 ^m 134	1 ^m 60 1 ^m 90	1 ^m 60 1 ^m 90	Bandeaux et douelle : PT ⁱ Granit (1240 ^k à 1890 ^k) Queutage : L ⁱ Ciment 560 ^k	Pression maxima Sans sur-charge Avec sur-charge Clef 18 ^k 6 32 ^k 4 Retomb. 13 5 44 7 15 ^r au m. c ^t	1° 6 voûtes en plein cintre de 3 ^m 40 sur piles de 1 ^m 40 d'épaisseur 2° »

1. — Pour le sens de ces abréviations, voir Avertissement, Tome III, page II, n° 6.

PONTES A UNE SEULE GRANDE ARCHE

TABLEAU SYNOPTIQUE

EXÉCUTION										CUBE DE MAÇONNERIE A MORTIER	
GRANDE VOÛTE										Q	
FONDATIONS	CINTRE						MODE DE CONSTRUCTION	DÉCINTREMENT État d'avancement du pont Temps entre le dernier clavage et le décintrement Date	TASSEMENTS DE LA CLEF sur cintre t_c au décin- trement t_d après t_r	DÉPENSE	
	FERMES		Cube de bois Poids de fer Dépenses		Totaux	par mq de douelle ²				D	
	Type Matière Appareils de décentrement	Nombre Épaisseur Écartement d'axe en axe Surhaussement								Totaux et par unité	de surface utile S_p ³ de volume « utile » W ⁴
Nature du sol Profondeur sous l'étiage Pressions sur le sol en kg./0 ^m 01 ² Procédé	10	11	12	13	14	15	16	17	18		
SÉRIE $\hat{A}^1 \hat{A}^1 r^{10} (\geq 40^m)$											
Pour la série $\hat{A}^1 r^{10} (\geq 40^m)$ suite du tableau synoptique, Tome III, p. 16. Pour la série $\hat{A}^1 \hat{A}^1 r^{10} (\geq 40^m)$ suite du tableau synoptique, Tome II, p. 64.											
Grès marneux (Mollasse)	Poteaux et contrefiches (V. p. 135, 137)	2 fermes par anneau de 3 ^m On a construit en même temps les 2 cintres : on a été ainsi plus vite et par conséquent moins exposé aux crues du Lot. 20 ^m 1 ^m 80	Pour les deux anneaux 405 ^m environ	0 ^m 64				Voûtes nues			
2 ^m 10 à 3 ^m 20	Pas d'appareil de décentrem ^t dans le cintre		7.900 ^k environ	12 ^k 5				31 jours			
Épauissements											
D (à forfait) = 430.000 ^f D : S_p = 319'6 D : W = 23'2											
SÉRIE $\hat{A}^1 F^r (\geq 40^m)$ Suite du tableau synoptique Tome III, p. 90.											
Rocher	Retroussé sur 37-50 Contrefiches, partant en éventail de chaque rive, soutenant une poutre en bow-string à treillis en N.	7 " 0 ^m 80	780 ^m	2 ^m 10	3 rouleaux en plusieurs tronçons	Les tympans exécutés à moitié " 4 novembre	$t_c = 10^{mm}$ $t_d = 4^{mm}$				
25 ^k	Bois en grume		83.340 ^f	224'9							
	Boîtes à sable sur coins.	60 ^{mm}									
Q = 2700 ^m Q : S_p = 6 ^m 60 D = 333.360 ^f D : S_p = 814'8 D : Q = 123'5											
Rocher	Retroussé	5			3						
"	Fermes à 3 articulations	"			rouleaux						
27 ^k	Coins	1 ^m	34.725 ^f	109'93	en plusieurs tronçons						
"		62 ^{mm}									
Rocher	Retroussé	5			2						
"	Fermes à 3 articulations	"			rouleaux :						
25 ^k	Coins	1 ^m 10	27.780 ^f	106'18	un						
"		50 ^{mm}			en 12 tronçons						

2. Pour le calcul de la surface de douelle, voir Avertissement, Tome III, p. III, n° 7 — A. 3. S_p Longueur (col. 2) \times Largeur entre parapets (col. 3) — C'est la surface offerte à la circulation
4. W = Surface vue de l'élévation \times Largeur entre parapets. 5. W' Surface de l'élévation au-dessus des fondations \times Largeur entre parapets.
Pour S_p , W, W' , voir Avertissement, Tome III, p. III, n° 7 — B

PONT A PLUSIEURS GRANDES ARCHES

PONT	PROJET							
	ENSEMBLE		GRANDES VOÛTES					1°
	Date Symbole En quoi consiste l'ouvrage	Longueur <i>entre abouts des parapets</i> Déclivités Hauteur maxima de la voie au-dessus du sol ou de l'étiage	Largeurs <i>entre parapets entre tympans sous la plinthe</i> Fruit des tympans Revanche de la voie portée sur l'extrados	INTRADOS Portée Montée Surbaissement Rayons: <i>cerveau naissances</i>	ÉPAISSEURS CORPS ET TÊTES Clef <i>Retombées</i>	COMMENT SONT ARMÉES LES VOÛTES	MATÉRIAUX Mortier <i>Poids, pour 1^m de sable, de chaux ou de ciment</i>	PRESSIONS en kg/0 ^m 01 ² Hypothèse adoptée Surcharges supposées
1	2	3	4	5	6	7	8	9
EN DEUX ANNEAUX SOUS CHEMIN DE FER A VOIE NORMALE								
Sur le Tunkhannock Creek près de Nicholson <i>Etats-Unis</i> 1912-1915 10 arches en plein cintre de 54 ^m 864 et 2 arches de rive de 30 ^m 48 (faisant office de culées évidées)	679 ^m 70 5 ^m 2 73 ^m 15 au-dessus de l'eau	10 ^m 36 2 voies <i>Anneaux, en douelle à la clef</i> 4 ^m 267 Vide entre eux 1 ^m 829 Chaque anneau porte une voie. Pas de fruit.	Pleins cintres 54 ^m 864	2 ^m 438 5 ^m 182 aux naissan- ces des piles		Béton Ciment 1' Sable 3' Cailloux 5'	Surcharge sur chaque voie : train de 9' par mètre, traîné par 2 machines : soit Mikado pesant chacune 211 ^r soit Mallet pesant chacune 272 ^r 5	1° Viaduc en béton armé à 11 arches en plein cintre sur le dos des grandes voûtes. Piles distantes de 5 ^m 18 d'axe en axe. Parapet en béton armé de 0 ^m 91 d'épaisseur, 1 ^m 22 de hauteur. 2° Les fûts des piles sont rayés de stries horizontales tous les 1 ^m 22.
Sur le Martin's Creek ligne de Clark Summit à Halstead. (Delaware Lackawanna and Western RR, Cy). <i>Etats-Unis</i> 1913 11 arches 9 en anse de panier : 7 de 45 ^m 72, 2 de 30 ^m 50; 2 en plein cintre de 17 ^m 25	491 ^m 55 » 45 ^m 75 au-dessus du thalweg.	14 ^m 54 3 voies <i>Anneaux en douelle à la clef</i> 5 ^m 338 Vide entre eux 3 ^m 66	Anses de pan. à 3 centres 45 ^m 72 17 ^m 98 $\frac{1}{2,543} = 0,393$ 25 ^m 12 ^m 40	1 ^m 83		Béton Ciment 1' Sable 3' Cailloux 5'		1° Viaduc en béton armé à 10 arches en arc sur le dos des grandes voûtes. Piles distantes de 4 ^m 76 d'axe en axe 2° »
EN QUATRE ANNEAUX SOUS ROUTE								
Sur le Latah Creek à Spokane <i>Etats-Unis</i> 1911-1913 Chaussée et 2 voies de tramway en 4 anneaux 7 arches en anse de pan.: 2 de 45 ^m 72, 2 de 41 ^m 18, 1 de 39 ^m et 2 de 16 ^m 47.	286 ^m 70 » 42 ^m 40 au-dessus du sol.	(Chaussée de 13 ^m 725, 2 trottoirs de 2 ^m 135). <i>Anneaux en douelle à la clef:</i> 2 de 1 ^m 525 2 de 1 ^m 83 Vide entre eux 3 ^m 353, 3 ^m 81 3 ^m 353	Anses de panier 45 ^m 72 19 ^m 51 $\frac{1}{2,343} = 0,427$	1 ^m 14		Béton		1° Arches en plein cintre sur le dos des grandes voûtes 2° »

1. — Pour le sens de ces abréviations, voir Avertissement, Tome III, page II, n° 6.

TABLEAU SYNOPTIQUE
Suite du tableau synoptique, Tome III, p. 286.

EXÉCUTION										CUBE DE MAÇONNERIE A MORTIER	
GRANDES VOÛTES										Q	
CINTRES										DÉPENSE	
FERMES										D	
Cube de bois Poids de fer Dépenses										Totaux et par unité	
MODE DE CONSTRUCTION										TASSEMENTS DE LA CLEF	
ÉTAT D'AVANCEMENT DU PONT										sur cintre t _c	
TEMPS ENTRE LE DERNIER CLAVAGE ET LE DÉCINTREMENT										au décin- t _c '	
Date										après t _c '	
10										18	
11										17	
12										16	
13										15	
14										14	
15										13	
16										12	
17										11	
18										10	
Sable pur mouillé, puis rocher.										t _c	
91 ^m 44 du parapet au point le plus bas des fondations.										de 35 ^{mm} à 60 ^{mm}	
Aux piles 3 à 8, profondeur jusqu'à 30 ^m 48 sous le sol, 19 ^m 80 sous l'eau.										t _c	
Épuisements.										Sur 1 voûte 6 ^{mm} 4	
Fouilles dans des caissons sans fond à parois faites de palplanches métalliques.										Sur 3 voûtes 3 ^{mm} 2	
Béton dans ces caissons.										Sur les 16 autres 0	
Sable et grosses pierres puis rocher										Cube du béton :	
5 ^m 50 à 21 ^m 35 sous le sol										Chaque anneau des grandes voûtes 765 ^{mc}	
Fouilles dans des caissons métalliques comme au viaduc de Tunkhannock										Q = 64260 ^{mc} (envir.)	
Roc ou sable très compact										SOURCES :	
Sur le sable on a étalé le poids par de larges empattements 6 ^k 4										S ₁ — Engineering Record, 27 décembre 1913, p. 710.	
Anneaux construits par paire, chaque anneau par tranches avec vides à la clef et aux reins remplis après										S ₂ — Voir photographies du viaduc dans le supplément au "The Engineer", 17 mars 1916.	
t _c = 18 ^m 3										SOURCES :	
										S ₁ — Engineering Record, 22 mars 1913, p. 312.	

2. Pour le calcul de la surface de douelle, voir Avertissement, Tome III, p. III, n° 7 — A. 3. S_p = Longueur (col. 2) \times Largeur entre parapets (col. 3) — C'est la surface offerte à la circulation.
 4. W = Surface vue de l'élévation \times Largeur entre parapets. 5. W' = Surface de l'élévation au-dessus des fondations \times Largeur entre parapets.
 Pour S_p , W , W' , voir Avertissement, Tome III, p. III, n° 7 — B.

PONT A PLUSIEURS GRANDES ARCHES SOUS CHEMIN DE FER

PONT	PROJET							
	ENSEMBLE		GRANDE VOÛTE					1°
	Longueur entre abouts des parapets Déclivités Hauteur maxima du rail au-dessus du sol ou de l'étiage	Largeurs entre parapets entre tympans sous la plinthe Fruit des tympans Revanche du rail sur l'extrados	INTRADOS Portée Montée Surbaissement Rayons	ÉPAISSEURS CORPS ET TÊTES Clef Joints de rupture Retombées	ROTULES Pour les dimensions, rayons, pressions,... voir Tome IV, Livre III.	MATÉRIAUX Mortier Poids, pour 1 ^{me} de sable, de chaux ou de ciment	PRESSIONS en kg/0 ^m 01 ² Surcharges supposées	ÉVIDEMENTS DES TYMPANS 2° DÉCORATION DES TÊTES
1	2	3	4	5	6	7	8	9
<p>Date</p> <p>Symbole</p> <p>En quoi consiste l'ouvrage</p>	<p>322^m30</p> <p>$\frac{5\text{mm}6}{\text{RG RD}}$</p>	<p>(4 voies)</p> <p>Largeur entre parapets :</p> <p>17^m90</p> <p>à une extrémité</p> <p>24^m</p> <p>à l'autre</p> <p>15^m</p> <p>au milieu de l'arche en rivière</p> <p>Fruit variable</p>	<p>Arcs de 75^m de rayon à la clef, surbaissés au $\frac{1}{10}$.</p> <p>Entre appuis</p> <p>56^m,60</p> <p>Entre axes des rotules</p> <p>49^m</p> <p>Entre appuis</p> <p>61^m,60</p> <p>Entre axes des rotules</p> <p>54^m</p> <p>Entre appuis</p> <p>55^m,90</p> <p>Entre axes des rotules</p> <p>49^m</p>	<p>1^m,48</p> <p>1^m,86 (au 1/4 de l'arc)</p> <p>1^m,56</p> <p>1^m,73</p> <p>2^m (au 1/4 de l'arc)</p> <p>1^m,86</p> <p>1^m,48</p> <p>1^m,86 (au 1/4 de l'arc)</p> <p>1^m,56</p>	<p>Rotules en acier moulé Siemens-Martin non trempé maintenues transversalement par des goujons de 50^{mm}.</p> <p>Rayons des surfaces 600^{mm}, 750^{mm}. Elles sont polies sur 150^{mm}.</p> <p>Acier à 45[°] 12 % d'allongement sur 200^{mm}.</p> <p>Pression maxima sur la bande de contact 30[°]5/0,001² (formules de Hertz IV., p. 11).</p> <p>Travail maximum des goujons au cisaillement 7[°]8</p> <p>167 couples de rotules. Ils pèsent : les plus lourds 1.708^{kg}, les plus légers 1.110^{kg}, Ensemble 233^T.</p> <p>Sommiers d'appui en béton non armé à 1 : 2 : 2</p> <p>Travail : 75^{kg} sous les rotules.</p>	<p>Béton pilonné à l'air comprimé.</p> <p>Pour 1^{er} de ciment</p> <p>Sable.... 2^r</p> <p>Gravier... 3^r5</p> <p>Muschelkalk cassé (25^{mm} à 45^{mm}).... 2^r5</p> <p>Ciment Dyckerhoff.</p>	<p>Pressions maxima dans la voûte en rivière, surchargée :</p> <p>Clef..... 50^k6</p> <p>1/4 de la portée.... 49 1</p> <p>Retombée ... 45 1</p> <p>Pour tenir compte des efforts latéraux (chocs, force centrifuge, vent) on n'a compté la voûte que pour les 95 % de sa largeur réelle.</p> <p>2 locomotives à 5 essieux de 85^T nombre illimité de wagons : les 4 ou 2 voies chargées dans les conditions les plus défavorables.</p> <p>Force centrifuge pour une vitesse de 80 kilomètres</p> <p>Effet des chocs latéraux 8 %.</p> <p>Freinage au 1/6 du poids freiné.</p> <p>Vent de : 150^{kg} pont chargé 250^{kg} pont vide.</p> <p>Pression des hautes eaux et des glaces 600^{kg} par mq. de surface de pile.</p>	<p>1°</p> <p>Vides au-dessus des piles, entre les rotules, entre des cloisons et sous un tablier en béton armé.</p>

1. — Pour le sens de ces abréviations, voir Avertissement, Tome IV, page II, n° 6.

SÉRIE Aⁿ Fr (≥ 40^m)

EXÉCUTION							CUBE DE MAÇONNERIE A MORTIER																																														
GRANDES VOÛTES																																																					
FONDATIONS	CINTRES				MODE	DÉCINTREMENT	TASSEMENTS																																														
Nature du sol	FERMES		Cube de bois Poids de fer Dépenses		DE	État d'avancement du pont	DE LA CLEF																																														
Profondeur sous l'étiage	Type	Nombre			CONSTRUCTION	Temps entre le dernier clacage et le décintrement	sur cintre t.																																														
Pressions sur le sol en kg/0 ^m 01 ^a	Matière	Épaisseur				Date	au décin- trement t.																																														
Procédé	Appareils de décintrement	Écartement d'axe en axe Surhaussement	Totaux	par mq de douelle ²			après t."																																														
10	11	12	13	14	15	16	17																																														
<p><i>2m environ d'argile et de vase, puis 3 à 4m50 de gravier compact; dessous, marne dure calcaire.</i></p> <p><i>Dans quelques fouilles, dégagement d'acide carbonique.</i></p> <p>Plus grande profondeur sous l'eau 6^m</p> <p>Pression maxima sur le sol 6^k9</p> <p><i>Culées sur radier général.</i></p> <p>Piles fondées sur la marne par épuisements dans des batardeaux à rideau de palplanches métalliques.</p>	<p>Fixe</p> <p>Poteaux et contrefiches isolées (type P. C. V. p. 135, 137)</p> <p>Vérins à vis.</p>	<p>Voûte rive droite (un anneau)</p> <p>10 fermes</p> <p>les autres 8</p> <p>"</p> <p>"</p> <p>Surhaussem^t</p> <p>1^{er} Anneau</p> <div style="margin-top: 20px;"> <table border="1"> <tr> <th colspan="2">Voûtes</th> </tr> <tr> <th>de rive</th> <th>centr^e</th> </tr> <tr> <td>60</td> <td>70</td> </tr> <tr> <td>20</td> <td>20</td> </tr> <tr> <td>0</td> <td>0</td> </tr> </table> </div> <p>2^e Anneau</p> <p>(d'après les abaissements constatés au 1^{er})</p> <p>55mm à la clef.</p>	Voûtes		de rive	centr ^e	60	70	20	20	0	0			<p>A pleine épaisseur en 20 tranches.</p>	<p>Tympan, parapets et trottoirs posés.</p> <p>On decintra : le 1^{er} anneau (moitié sud) le béton ayant 74 jours.</p> <p>30 Août le 2^e à 47 jours.</p>	<p>t. et t."</p> <p>pendant 5 jours</p> <table border="1"> <tr> <th></th> <th>1^{er} ann.</th> <th>2^e ann.</th> <th>Calcul</th> </tr> <tr> <td>V^{ie}</td> <td>--</td> <td>--</td> <td>--</td> </tr> <tr> <td>R G</td> <td>15</td> <td>16</td> <td>20</td> </tr> <tr> <td>en rivière</td> <td>26</td> <td>29</td> <td>25</td> </tr> <tr> <td>V^{ie} RD</td> <td>12</td> <td>15</td> <td>20</td> </tr> </table> <p>Recul des piles culées</p> <table border="1"> <tr> <th>Piles culées</th> <th>1^{er} ann.</th> <th>2^e ann.</th> <th>am^t</th> <th>aval</th> </tr> <tr> <td>R G</td> <td>1,7</td> <td>0,4</td> <td>1</td> <td></td> </tr> <tr> <td>R D</td> <td>1,9</td> <td>0,4</td> <td>1,2</td> <td></td> </tr> </table>		1 ^{er} ann.	2 ^e ann.	Calcul	V ^{ie}	--	--	--	R G	15	16	20	en rivière	26	29	25	V ^{ie} RD	12	15	20	Piles culées	1 ^{er} ann.	2 ^e ann.	am ^t	aval	R G	1,7	0,4	1		R D	1,9	0,4	1,2		<p>Cube de béton :</p> <p>Fondations..... 17700^{mc}</p> <p>Piles et tympan... 8100</p> <p>Voûtes { non armées 8150 { armées 760</p> <p>Cloisons d'évidem^t. 640</p> <p>Le reste..... 5150</p> <hr/> <p>Total Q = 40500^{mc}</p> <p>D = 1.974.400^f</p> <p>D : S_p = 327'5</p>
Voûtes																																																					
de rive	centr ^e																																																				
60	70																																																				
20	20																																																				
0	0																																																				
	1 ^{er} ann.	2 ^e ann.	Calcul																																																		
V ^{ie}	--	--	--																																																		
R G	15	16	20																																																		
en rivière	26	29	25																																																		
V ^{ie} RD	12	15	20																																																		
Piles culées	1 ^{er} ann.	2 ^e ann.	am ^t	aval																																																	
R G	1,7	0,4	1																																																		
R D	1,9	0,4	1,2																																																		

3. S_n = Longueur (col. 2) \times Largeur entre parapets (col. 3) — C'est la surface offerte à la circulation

5. W' = Surface de l'élévation au-dessus des fondations \times Largeur entre parapets.

Pour S_n , W , W' , voir Avertissement, Tome IV, page III, n° 7 — B.

PONTS A VOÛTES DE 40^m ET PLUS ACHEVÉS APRÈS 1912

MONOGRAPHIES

VOÛTES INARTICULÉES EN PLEIN CINTRE PONTS A UNE SEULE GRANDE ARCHE SOUS CHEMIN DE FER A VOIE NORMALE

SÉRIE C¹ Fr (≥ 40^m)

(Voir tableau synoptique I. p. 38 et monographies I. p. 41 à 50)

PONT SUR LA « CALANQUE » DES EAUX-SALÉES (BOUCHES-DU-RHÔNE)

Ligne de Miramas à L'Estaque

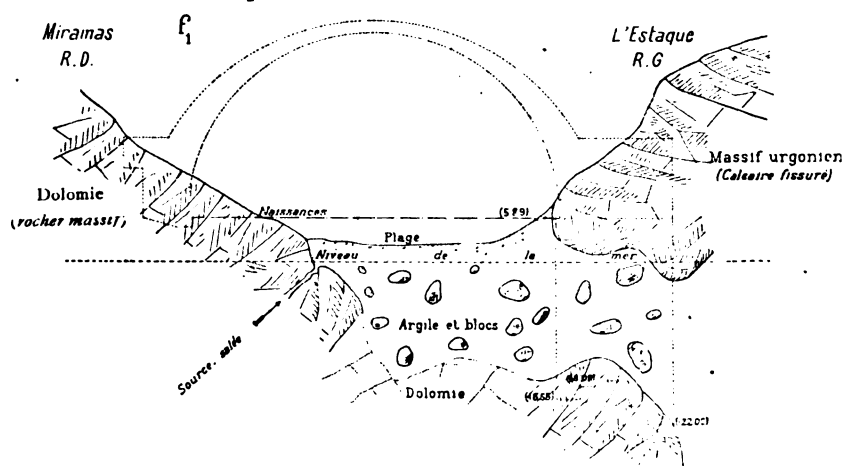
1911-1914

C¹ Fr (≥ 40^m)⁴

Φ₁ — aval — Juin 1915.¹



1. Pourquoi on a fait une grande arche. — Le creux est comblé



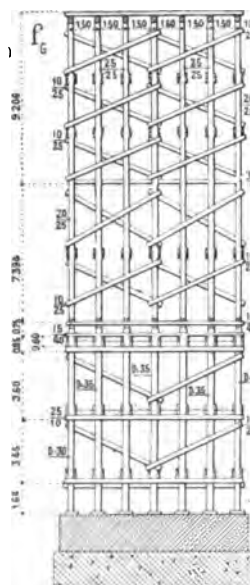
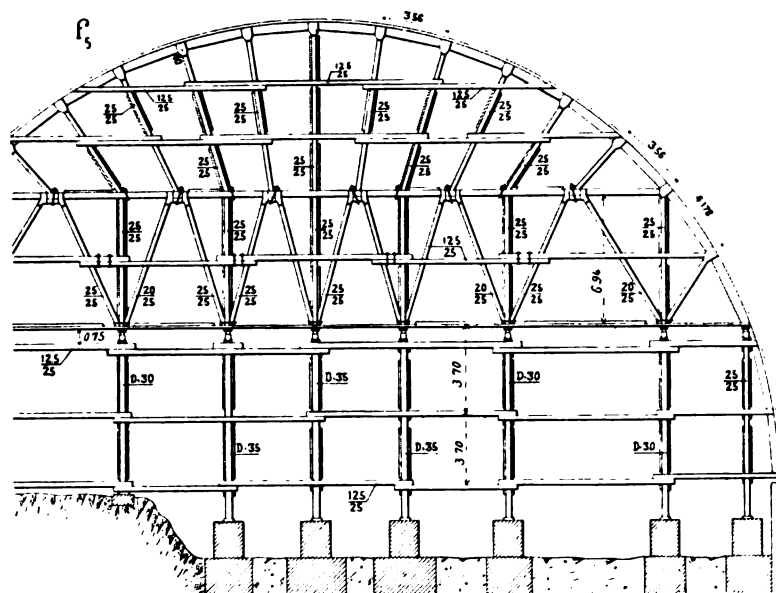
de blocs de rocher noyés dans de l'argile: on n'y pouvait pas fonder (f₁).

Le rocher RD — dolomie — est troué de cavernes: en bas sourd une abondante source salée.²

Le rocher RG est un bloc charrié: il a fallu descendre à 22^m sous la mer.

1. — Cliché de M. Bertrand, Sous-Chef de section de la C^m P.-L.-M.

2. — Débit 500' à 1500' par 1" — Température constante 22°.

Cintre — 2^m5

2. Cintre. — C'est le cintre du Pont de Lavour.³ — On l'a calculé pour la demi-épaisseur de la voûte par les formules employées à Lavour.⁴

Les vaux sont en 2 pièces boulonnées.

6 palées reposaient sur des massifs de béton fondés sur pieux battus dans l'argile.

Un transporteur à câble a monté le cintre, et plus tard amené les matériaux.

Coût du cintre :

	Main-d'œuvre	Fournitures	Ensemble
Fondations.....	8.415'41	11.480'75	19.896'16
Élévation.....	10.941 90	46.195 23	57.137 13
Totaux	19.357'31	57.675'98	77.033'29

3. Fondations. — *A. Culée Miramas.* Une caverne sous la fouille a été bourrée de béton de ciment.

B. Culée L'Estaque. (21 mars 1911 — 15 novembre 1912). A l'arrière, la fouille a 45^m de haut, dont 20^m dans l'argile.

Pour la boiser, on a employé 599^m de sapin en grume, 4451^m de planches de 4^e.

Une source qui jaillissait d'une paroi a été aveuglée par des feuilles de tôle coaltarée.

On a taillé en gradins le rocher, très incliné, de la base.

Un angle, où l'on ne pouvait épuiser, a été rempli de sacs de mortier de ciment. Jusqu'à — 2^m83, on a employé du béton très gras. (1^m de pierre cassée, 0^m66 de mortier à 550^k de ciment artificiel Lafarge de Valdonne pour 900^l de sable).

3. — II, p. 137.

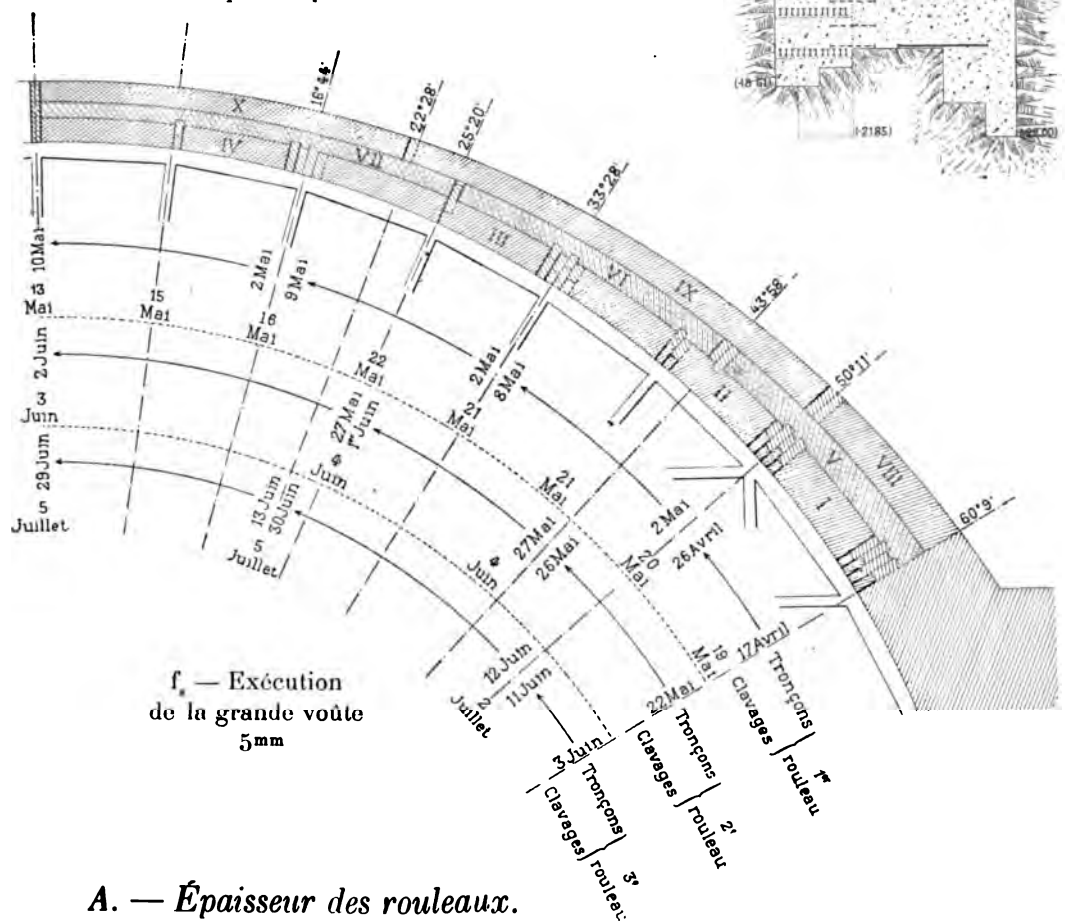
4. — V, p. 155.

On a noyé des assises de vieux rails (f_7) :

1° Au-dessus des gradins de fondation pour y étaler la pression.

2° Tous les 1^m50 de hauteur, pour relier au corps la face antérieure de la culée.

4. Exécution de la grande voûte (f_8). —
Même méthode qu'au pont de Lavour⁵.



A. — Épaisseur des rouleaux.

		1 ^{er} rouleau		2 ^e rouleau		3 ^e rouleau	
		Maxima	Minima	Maxima	Minima	Maxima	Minima
Corps de la voûte.	à 60°	1 ^m 40	1 ^m 20	0 ^m 80	0 ^m 80	1 ^m 20	1 ^m 00
	à la clef.	0 80	0 60	0 40	0 40	0 60	0 40
Bandeaux.....	à 63°	1 40	1 20	0 80	0 80	1 25	1 05
	à la clef.	0 80	0 60	0 65	0 45	0 40	0 40

B. 1^{er} rouleau. — Les tronçons I achevés, on chargea le cintre sur 20° de chaque côté de la clef, de 80^{me} de moellons, — à peu près l'épaisseur du 1^{er} rouleau.

I et II étaient sur coffrages, III et IV sur taquets.

On clava en descendant de la clef jusqu'à 16°44', puis en montant des retombées.

5. — II, p. 139.

Avant le clavage, les bandes de plomb de l'intrados étaient matées au refus, le joint nettoyé et lavé à grande eau.

On matait les joints d'un moellon 2 jours après sa pose.

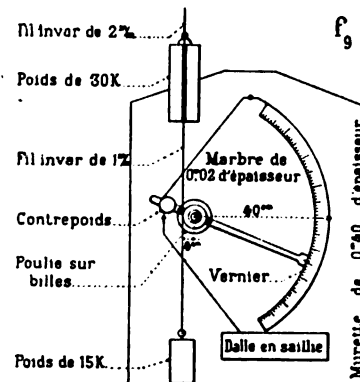
C. 2^e et 3^e rouleaux. — On les clava à partir de la clef.

D. Mortier de matage.

Sable de calcaire broyé.....	900 ^l
Ciment artificiel Lafarge de Valdonne....	550 ^k
Eau.....	165 ^l 6

5. Tassements. — Sur chaque tête, à la clef, à 33° 27' 40" côté Miramas, à 25° 5' 31", côté l'Estaque, un fil « invar » de 2^{mm} transmettait les tassements à un cadran (f.) scellé dans un massif.

Voici les tassements observés :



Dates	Phases de la construction	Tassements en mm					
		A 33° 27' 40" Côté Miramas		Clef		A 25° 5' 31" Côté L'Estaque	
		Amont	Aval	Amont	Aval	Amont	Aval
26 Avril	1 ^{er} rouleau	Tronçons I achevés.	0	0	0	0	0
2 Mai		Cerveau du cintre chargé	2.5	2.6	10.7	11.9	6.4
5			5.2	5.4	14.1	15.0	9.5
13			15.7	17.0	23.8	25.7	22.9
14			15.9	17.0	23.7	25.7	22.9
19	2 ^e rouleau	Clavages	17.8	18.9	26.3	28.0	25.6
20			18.7	19.8	27.2	28.8	26.8
21			19.3	20.3	27.4	29.2	27.4
22			19.4	20.5	27.2	29.2	27.4
2 Juin			20.7	21.6	27.4	29.9	27.9
3	3 ^e rouleau	Clavages	20.8	21.6	27.6	30.2	27.9
4			20.9	21.6	27.8	30.3	28.0
7		Exécution des tronç. VIII	21.1	22.0	28.2	30.5	28.3
12			21.9	22.9	28.3	31.0	28.9
13			22.1	23.1	28.4	31.2	28.9
14	Avant Après	On fixe à les fils invar am	22.3	23.2	28.4	30.9	29.0
16		la douelle les fils invar av	22.4	23.5	28.3	31.2	29.0
28			23.5	24.7	28.8	32.2	29.8
1 ^{er} Juillet		Clavages	23.6	24.8	28.9	32.4	29.9
4			23.8	24.8	29.0	32.4	29.9
15	décintrement		24.64	25.18	29.21	32.7	30.12
12 Août			26.32	25.85	29.15	32.8	30.38
18			26.38	25.86	29.37	33.11	30.49
			27.25	26.12	29.62	33.28	30.63

6. — Au lieu de 231^l pour le mortier ordinaire. (voir V, p. 166).

Tassements au décintrement.

		Tête amont	Tête aval
Clef		0mm22	0mm31
Joint à {	23° 27' 40" de la clef. Côté Miramas.....	0, 06	... 0, 01
	25° 5' 31" — id. L'Estaque.....	0, 11	— 0, 11

Au clavage, il a plu, puis a soufflé le mistral qui a desséché le bois et commencé le décintrement.

6. Quantités et dépenses.

	Cubes	Prix			Prix de revient du mc.
		Main-d'œuvre	Fournitures	Ensemble	
Fouilles..... { Culée l'Estaque	4160 ^m	119.952'79	101.161'61	221.114'40	53'15
	9433	42.916 35	23.292 10	66.208 45	7 02
Maçonneries. { Fondations de la culée l'Estaque..	4160	17.662 13	79.287 20	96.949 33	21 66
	7460	153.296 18	366.955 46	520.251 64	69 77
Cintres		60.342 69	33.342 31	93.685 00	» »
		394.170'14	604.038'68	998.208'82	

7. Quelques prix d'unité.

A. — Matériaux à pied d'œuvre

Bois de charpente..... le mc	75'	Moellons {	bruts (des tranchées).....	2'
Sapin en grume..... —	70		équarris.....	16
Planches de 4 ^{cm} le mq	2 50		d'appareil	{ 52
Ciment artificiel Lafarge			— grande voûte.....	80
de Valdonne..... la tonne	50'			
Chaux { maritime.....	— 42	Libages		
de Lafarge { administrative...	— 33			
Sable de calcaire broyé..... le mc	5	Pierre de taille {	de Châteauneuf	80
			de Ruoms.....	105

B. — Salaires (Prix de l'heure)

Chef charpentier, mécanicien, maçon....	1'	Maçon.....	0'73
Chef de chantier.....	0.90	Mécanicien	0.70
Tailleur de pierre.....	0.80	Mineur, boiseur.....	0.52
Charpentier	0.75	Terrassier, manœuvre.....	0.45

8. Personnel (C^{ie} P.-L.-M.)

Ingénieur en Chef : M. Canat.

Ingénieur : M. Delaly.

Chef de section : M. Gay.

Sous-Chef de section : M. Bertrand.

Entrepreneurs : MM. Ruvenhorst et Milliat.

PONTS A UNE SEULE GRANDE ARCHE SOUS CHEMIN DE FER A VOIE ÉTROITE

SÉRIE C¹ f^r ($\geq 40^m$)

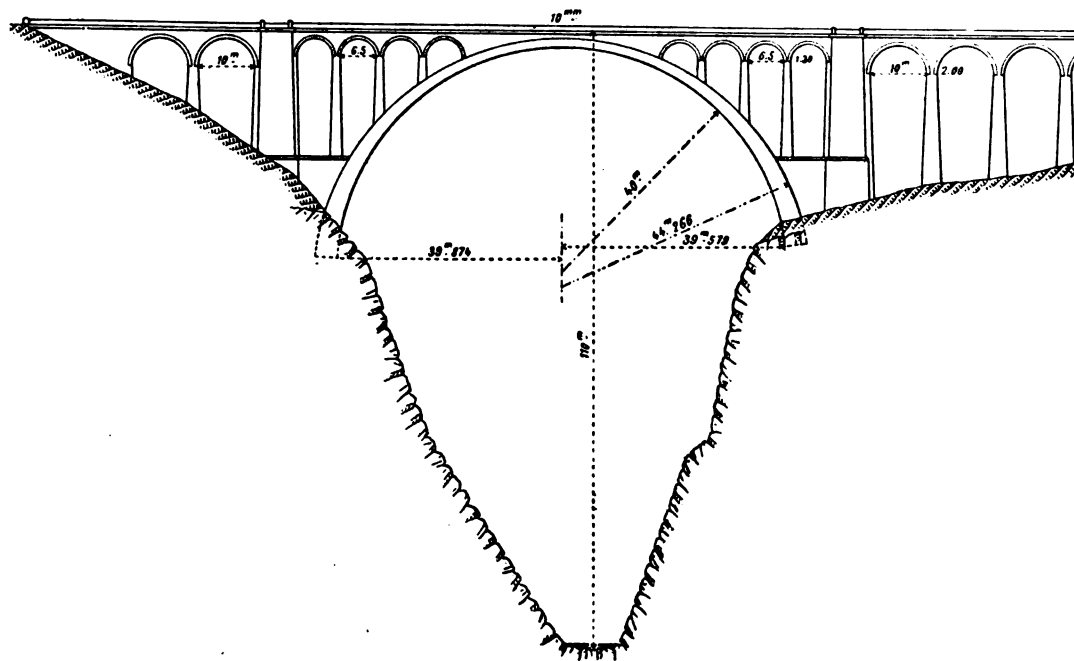
(Voir tableau synoptique I. p. 52 et monographies I. p. 55 à 58)

PONT SUR LA ROIZONNE A 6^k DE LA MURE (ISÈRE)¹

*Ligne électrique à voie de 1^m de La Mure à Gap
et Chemin de grande Communication.*

1912-1916 C¹ f^r ($\geq 40^m$)²

f₁ — Ensemble — 0^m75



1. Intrados. — C'est réellement un arc de cercle très peu surbaissé: il diffère très peu d'un plein cintre, je le compte comme tel.

2. Hauteur de la voie au-dessus du thalweg. — 110^m²

1. — Voir tableau synoptique VI, p. 180.

2. — Il y a 86^m à Solis (I, p. 56 f₁), 88^m à Wiesen (I, p. 236 f₁).

Φ_1 — Octobre 1915

3. Cintre. — C'est le type de Luxembourg,³ dans lequel l'entrait armé est remplacé par une poutre armée. Il a été calculé par les mêmes méthodes, les mêmes formules, avec les mêmes charges, les mêmes efforts par 0^m01^2 .

3. — II, p. 70-74.

Sur chaque rive, on a monté et assemblé les 4 panneaux inférieurs des 4 fermes; le tout a été soulevé et mis en place à l'aide d'un chariot porté par un câble transporteur, puis soutenu en porte à faux par des câbles amarrés aux grandes piles. Les poutres métalliques faisant clef des 4 fermes ont été mises en place l'une après l'autre⁴.

Φ₁. — Cintre en montage — Juillet 1914.



Φ₂. — Clavage du 2^e rouleau — Déc. 1914.



4. Personnel.

Ingénieurs :

Projet : M. Rivoire-Vicat, Inspecteur Général des Ponts et Chaussées.

Direction des Travaux : M. Rivoire-Vicat.

M. Wilhelm, Ingénieur en Chef.

MM. Millot et Genet, Ingénieurs ordinaires.

M. Humbert, Sous-Ingénieur, Chef de Section.

Entrepreneurs : MM. Fayolle et Pascal.

4. — Toute cette opération a été très bien conduite par M. Bonnet, maître charpentier, à Grenoble.

SOURCES :

Dessins et renseignements gracieusement communiqués par M. l'Inspecteur Général Rivoire-Vicat.

VOÛTES INARTICULÉES EN ELLIPSE
PONTS EN DEUX ANNEAUX
A PLUSIEURS GRANDES ARCHES SOUS ROUTE

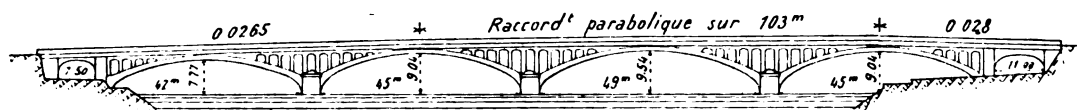
SÉRIE Eⁿ Eⁿ r^{te} ($\geq 40^m$)

(Voir tableau synoptique I, p. 190 et monographies I, p. 193 à 207)

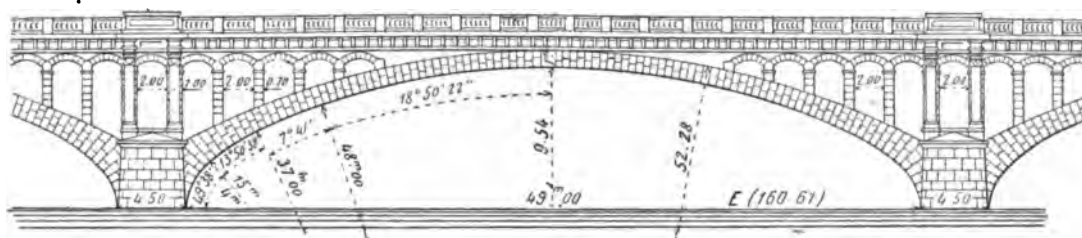
PONT DE L'HÔTEL-DIEU, SUR LE RHÔNE, A LYON¹

1912-1916 **Eⁿ Eⁿ r^{te} ($\geq 40^m$)²**

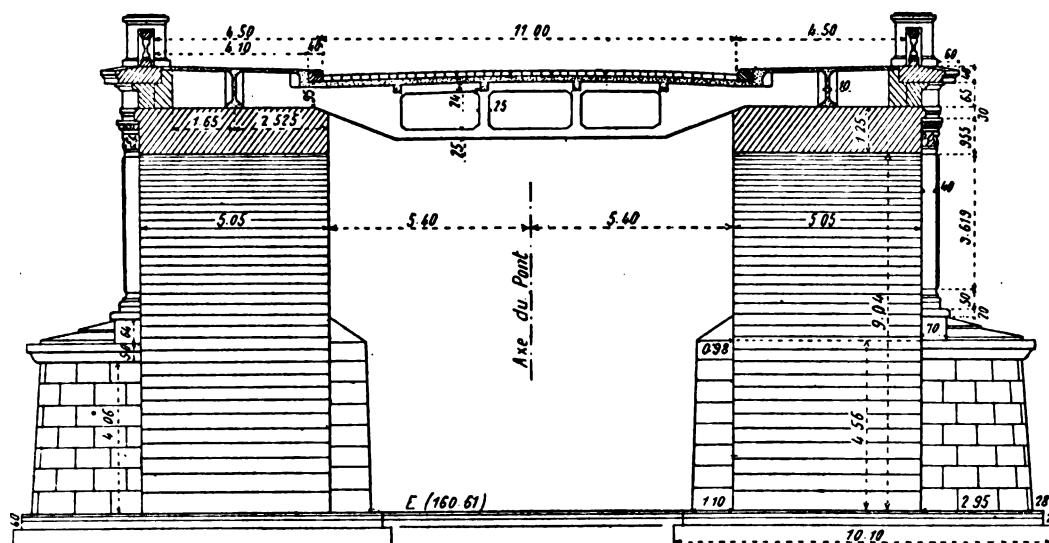
f₁ — Ensemble — 0^{mm}6



f₁ — Voûte de 49^m — 2^{mm}



f₁ — Coupe en travers à la clef — 5^{mm}



1. — Voir tableau synoptique VI, p. 182.

Personnel.

Projet: M. Auric, Ingénieur en Chef de la Ville, Ingénieur en Chef des Ponts et Chaussées. (Type de pont, dimensions des voûtes).

M. Chalumeau, Ingénieur en Chef de la Ville.

M. Fabrègues, Ingénieur.

Φ₁ — Vue prise de la rive gauche — 9 mars 1916.



Φ₂ — Anneau aval, voûte de 49^m — 5 nov. 1914. ²

Travaux: M. Chalumeau, Ingénieur en Chef, M. Cortot, Ingénieur.

M. Fauton, Conducteur Principal.

Entrepreneurs :

Fondations: M. Joya, de Grenoble.

Élévation et dalle en béton armé: MM. Rouchon, Desseauve et Cochet frères, de Lyon.

Fourniture de pierre de taille: M. Sauvain, à Corgoloin.

2. — Voir sur la découpe dans une même assise III, p. 67, art. 5 B — V, p. 18, art. 2.

SOURCES : Dessins, photographies, renseignements, gracieusement communiqués par M. Chalumeau, Ingénieur en Chef de la Ville de Lyon.



Les deuxièmes rouleaux — faute d'approvisionnement — ont été faits longtemps après les premiers, d'abord celui de la voûte centrale, puis les autres.

Φ. — 19 octobre 1915.



2. Dates d'exécution du 1^{er} rouleau des 3 voûtes.

	Voûte 3 (1913)	Voûte 1 (1914)	Voûte 2 (centrale) (1914)
Commencement.....	7 septembre	2 mars	26 juin
Fin.....	17 octobre	20 avril	30 juillet
Décintrement.....	23 novembre	20 mai	10 septembre
Soit après	37 jours	30 jours	43 jours

3. Personnel.

Ingénieurs :

Projet : MM. Jannin et Aroles, Ingénieurs en Chef.

Travaux : M. Aroles, Ingénieur en Chef.

M. Barrère, Ingénieur ordinaire.

Entrepreneurs : MM. Bernard et Jean Fraisse.

SOURCE :

Renseignements gracieusement donnés par M. Barrère, Ingénieur des Ponts et Chaussées à Albi.

VOÛTES INARTICULÉES EN ARC PEU SURBAISSÉ
PONTS A UNE SEULE GRANDE ARCHE
SOUS CHEMIN DE FER A VOIE NORMALE

SÉRIE \hat{A}^1 Fr ($\geq 40^m$)

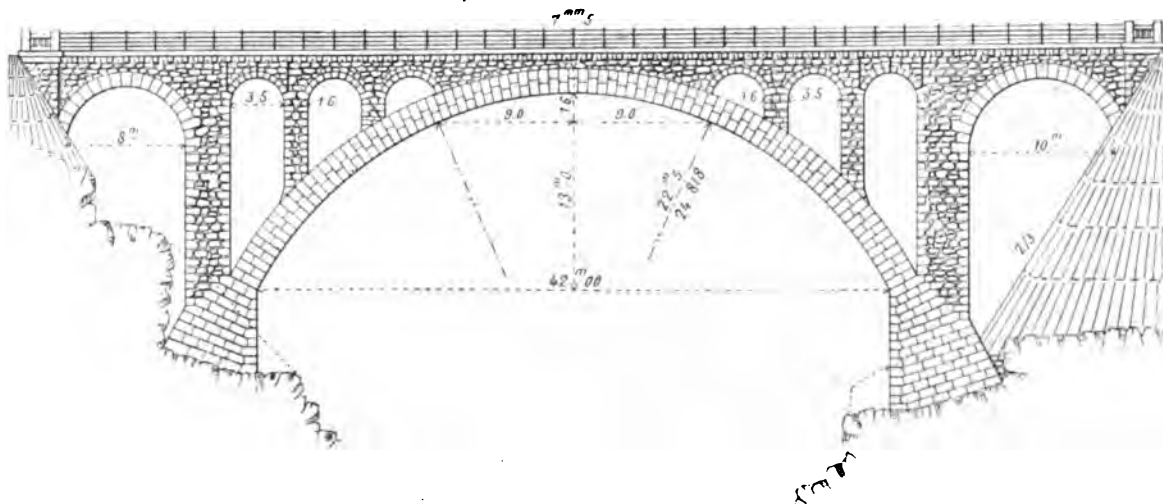
(Voir tableau synoptique II, p. 122 et monographies II, p. 125 à 176)

PONT DE NIAGARA SUR LA RAUMA (NORVÈGE)¹

Ligne de Dombaas à Aandalsnes

1914-19... **\hat{A}^1 Fr ($\geq 40^m$)¹²**

f₁ — Ensemble — 2^{mm}



1. — Voir tableau synoptique VI, p. 184.

SOURCE :

Dessins d'exécution et renseignements qu'a bien voulu me communiquer, en avril 1916, M. Otto Aubert, Ingénieur en Chef de la Construction des Chemins de fer de l'Etat, à Christiania.

PONT A UNE SEULE GRANDE ARCHE SOUS CHEMIN DE FER A VOIE ÉTROITE

SÉRIE \hat{A}^1 fr ($\geq 40^m$)

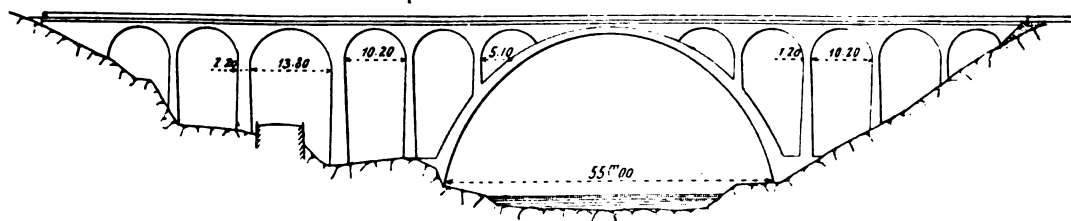
(Voir tableau synoptique II, p. 180 et monographies II, p. 183 à 196)

PONT SUR LA VOUGA A POZO PRÈS DE PECEGUEIRO DO VOUGA (PORTUGAL) ¹

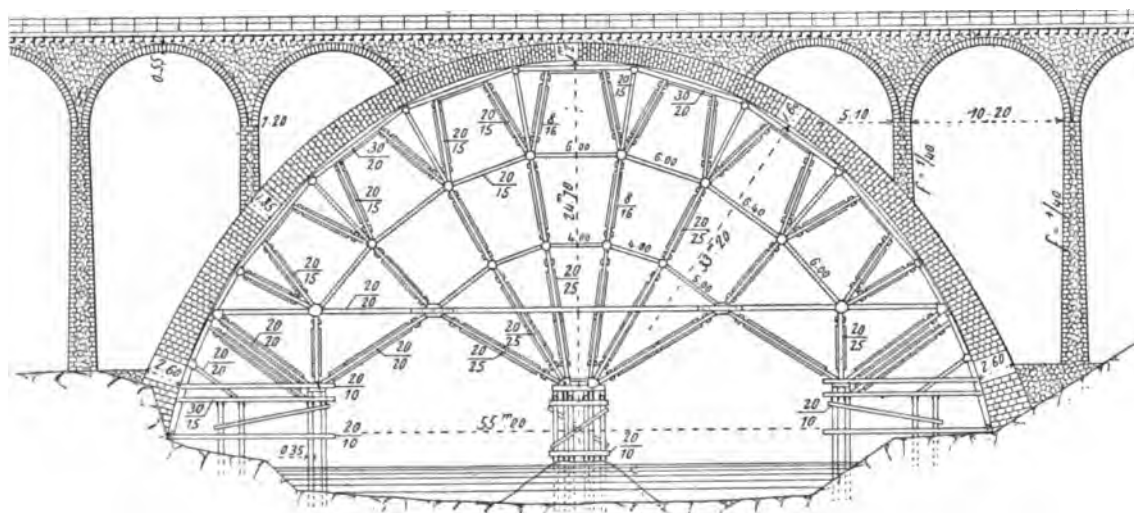
Ligne de Sarnada à Vizeu

Mars-Juillet 1913 \hat{A}^1 fr ($\geq 40^m$) ⁵

f_1 — Ensemble — 0^{mm}8



f_2 — Grande voûte — 2^{mm}



1. — Voir tableau synoptique VI, p. 184.

SOURCE :

Dessins et renseignements gracieusement communiqués par M. F. Mercier, Entrepreneur à forfait de la ligne de La Vouga.

PONT DE PÉLUSSIN (LOIRE) ²

Ligne d'intérêt local de Péluussin à Maclas

Commencé en Juin 1914

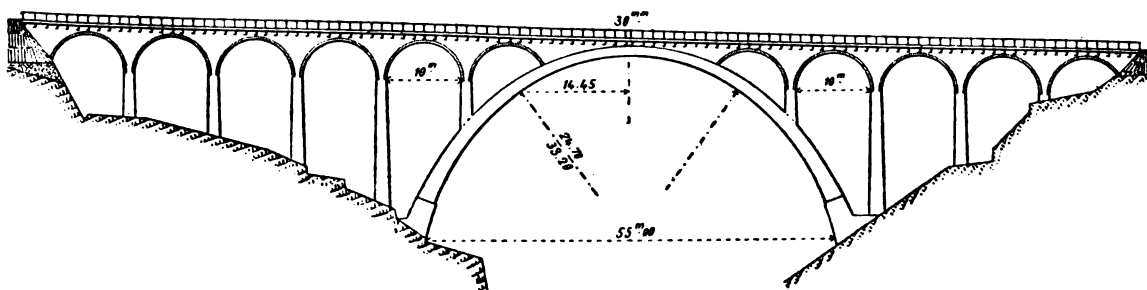
Repris en Mai 1915

Terminé en Mars 1916

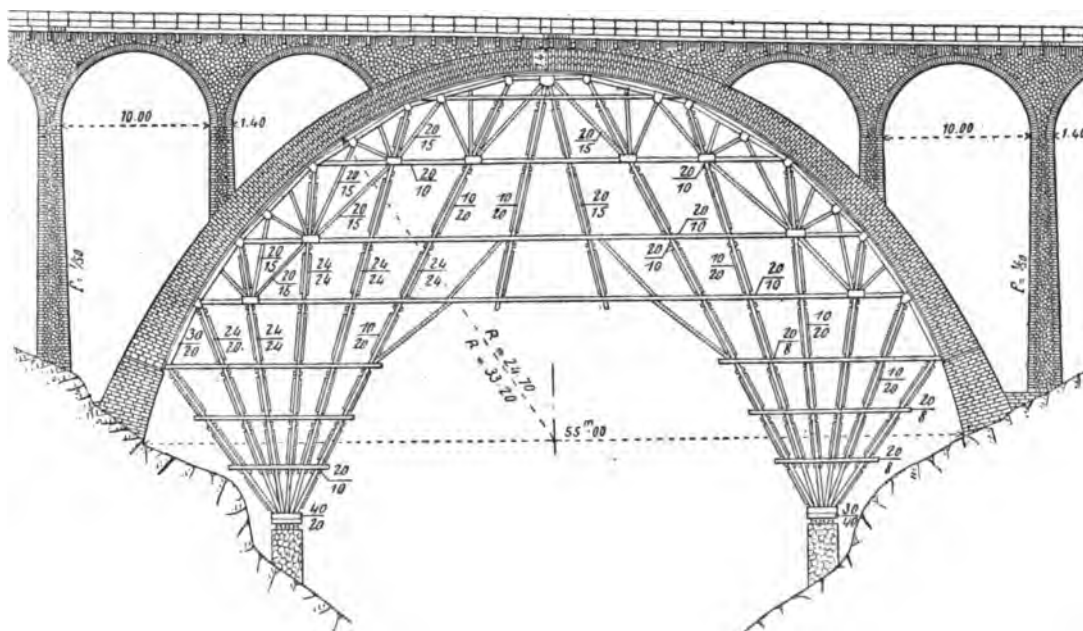
$\hat{A}^1 \text{ fr } (\geq 40^{\text{m}})^6$

(Voir monographies II, p. 183 à 196)

f_1 — Ensemble — 1^{mm}



f_2 — Grande voûte — 2^{mm}



2. — Voir tableau synoptique VI, p. 184.

SOURCE :

Dessins et renseignements qu'a bien voulu me donner M. F. Mercier, Président de la Société des Chemins de fer du Centre.

T. VI. — 27.

VOÛTES INARTICULÉES EN ARC ASSEZ SURBAISSÉ
PONTS EN DEUX ANNEAUX
A UNE SEULE GRANDE ARCHE SOUS ROUTE¹

SÉRIE $\widehat{A}^1 \widehat{A}^1 r^{te} (\geq 40^m)$

(Voir tableaux synoptiques III, p. 16, II, p. 64 et monographies III, p. 19 à 70, II, p. 67 à 114)

PONT SUR LE LOT A VILLENEUVE (LOT-ET-GARONNE)²

Route et ligne d'intérêt local de Villeneuve à Villeréal

1914-1916 $\widehat{A}^1 \widehat{A}^1 r^{te} (\geq 40^m)^1$

1. Pont en 2 anneaux. — L'ouvrage est en 2 anneaux de 3^m03 de largeur, distants de 4^m90, retombant sur 2 culées de 4^m perdues dans le terre-plein du quai.

Sur les arcs, s'appuyent des piles en béton armé revêtues de briques, portant le tablier en béton armé, entretoisées le long des tympans par des pleins cintres en béton armé, revêtus de briques.

2. Fibre moyenne et intrados des grandes voûtes. — La fibre moyenne est un funiculaire des charges mortes; rapportée à une tangente au sommet, elle a pour équation :

$$y = 0,47619 \left(\frac{x}{10} \right)^2 \left[1 + 0,00681819 \left(\frac{x}{10} \right)^2 + 0,0000161006 \left(\frac{x}{10} \right)^4 \right] \quad ^3$$

Pour une montée de 13^m054, sa portée est de 96^m86: son rayon de courbure à la clef est de 105^m.⁴

Normalement à cette fibre moyenne, on a porté les 1/2 épaisseurs calculées et on a tracé, au sentiment, l'intrados. A partir de 44^m de la clef, c'est un arc de 15^m, puis de 5^m44 de rayon.

1. — Ponts sous route en 2 anneaux, de 40^m de portée et plus :
 en ellipse à plusieurs grandes arches, I, p. 188 à 207 — Pont des Amidonniers;
 en arc peu surbaissé, à une seule grande arche, II, p. 60 à 114 — Ponts de Luxembourg p. 67, de Walnut Lane, p. 83 — sur la Rocky River, p. 95 — de Constantine, p. 107.

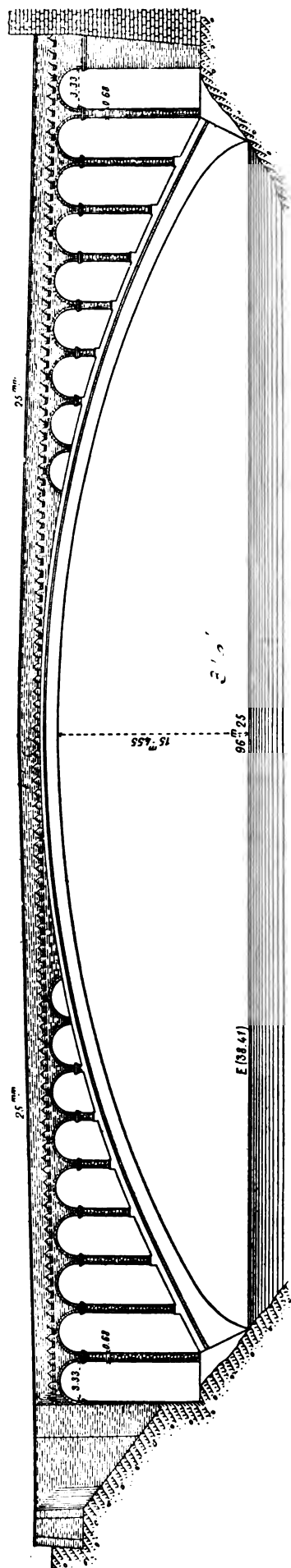
2. — Voir tableau synoptique VI, p. 186.

3. — Elle est à moins de 0^m009 de la courbe: $Y = \frac{13,054 [129^2 - 48,43^2]}{48,43^2} \times \frac{x^3}{129^2 - x^2}$
 (III, p. 337, 366).

4. — C'est celui de l'intrados du Pont de Plauen (III, p. 14, 52).

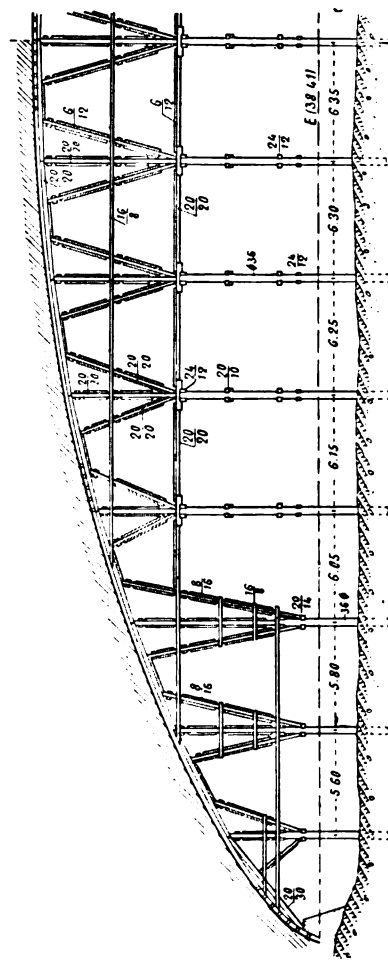
PONT DE VILLENEUVE

f₁ — Élévation — 2mm

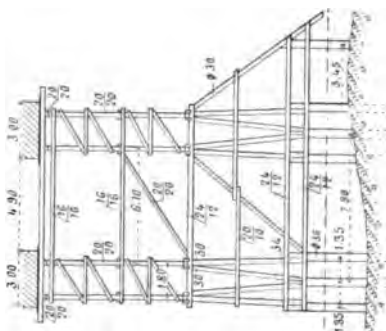


Cintre — 2mm5

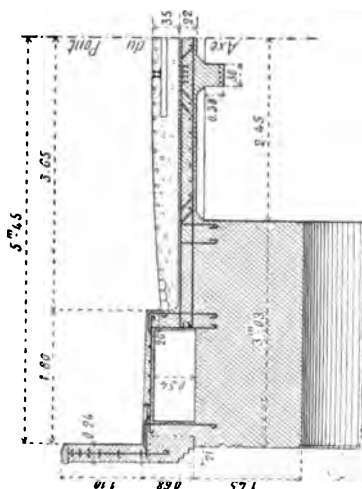
f₂ — 1/2 élévation



f₃ — Coupe à la clef



f₄ — 1/2 coupe en travers à la clef — 1cm



3. « Matériau » des grandes voûtes. — Elles sont en béton, au dosage de 350^k de ciment pour 1^m^e de gravier « tout venant » du Lot. ^{5, 6, 7}

4. Parapet (Projet). — Le parapet, en briques, de 0^m24 d'épaisseur, sera armé. Il reposera sur une file de corbeaux portant des mitres en briques, comme on en voit à de vieux monuments de Toulouse.

5. — Pour les voûtes en béton, voir V, p. 23 à 28.

6. — Voici les résultats des essais faits à l'École des Ponts et Chaussées, à 90 jours, sur des cubes de 20^{cm} de béton de mêmes éléments (Procès-verbal du 16 juin 1915) :

Poids en kg du ciment pour 1 ^m ^e en œuvre	200 ^k	250 ^k	300 ^k	350 ^k	400 ^k	450 ^k	500 ^k	550 ^k	600 ^k
Charge { 1 ^{re} fissure.....	171	173	270	411	438	484	550	495	472
par 0 ^m 01 ² } écrasement.....	185	243	332	457	515	544	626	567	602

7. — Les Compagnies de l'Est et du Nord ont fort judicieusement refait en béton des voûtes ruinées en août et septembre 1914 : elles n'auraient pas eu à temps des moellons.

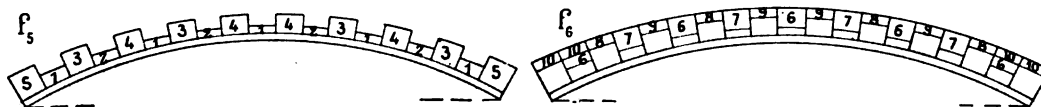
Voici les ingénieuses dispositions imaginées par M. Descubes, Ingénieur en Chef de la Voie de l'Est : là où les débris des ouvrages encombrant le lit des rivières, il est fort difficile de placer les cintres usuels. On courbe de vieux rails* — mieux des cornières assemblées, plus faciles à courber — on les noie dans 20^{cm} à 25^{cm} de béton.

Ce rouleau-cintre s'appuie sur des retombées bien dressées ; il restera dans la voûte.

Pour un pont sur la Meurthe à Raon-l'Étape, ligne de Lunéville à Saint-Dié, à 2 arcs de 18^m35 surbaissés à 1/7,46, on a ainsi bétonné (mars-avril 1915) :

à peu près tous les mètres, on pose sur le cintre, normalement à la fibre moyenne, des grillages en fil de fer raidis par des fers ronds ou des cornières : on coule le béton dans 4 alvéoles à la fois, répartis de façon à charger uniformément le rouleau-cintre (lequel est déformable) — alternativement sur le 1/3 et sur les 2/3 de l'épaisseur de la voûte (f₅) ; on fait de même pour le 2^e rouleau (f₆). Les voussoirs se soudent à travers les mailles des grillages.

Les deux arches ont été bétonnées en deux jours.



La Compagnie du Nord a refait en béton :

les 3 voûtes du pont de Laversine sur l'Oise (ligne de Paris à Creil), 3 voûtes biaises à 50^{cm} de 28^m66 de portée biaise, à peu près en plein cintre sur leur section droite, sur cintres retroussés rigides, en 2 rouleaux sans joints vides ; le premier du 1/3 de l'épaisseur, coulé en 48 heures. On a noyé dans le béton 2 quadrillages de fers ronds de 22^{mm} à l'intrados et à l'extrados, réunis par des étriers en barres de 14^{mm} (environ 40 kil. d'acier par m. c de béton). — Dosage du béton, 350 kil. de ciment par m. c (février-avril 1915).

Projet et direction des travaux : M. Candelier, Ingénieur en Chef de la Compagnie du Nord, avec le concours de MM. Rabut, Inspecteur Général des Ponts et Chaussées et Freyssinet, Ingénieur des Ponts et Chaussées.

Entrepreneur : M. F. Mercier, à Moulins.

6 arches du viaduc de Poix** (ligne d'Amiens à Rouen) : pleins cintres de 16^m50 ; les premières ont été construites par tranches en béton à 200 kil., les dernières par rouleaux en béton à 300 kil. (novembre 1914-mai 1915).

Direction : M. Candelier, Ingénieur en Chef de la Compagnie du Nord.

Projet : M. Freyssinet, Ingénieur des Ponts et Chaussées, en congé.

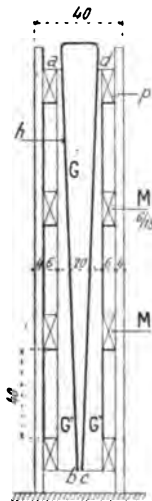
Entrepreneur : M. Graveron.

* L'idée première du cintre en rails noyés dans la voûte est de M. Valat, Ingénieur Principal de la Compagnie de l'Est.

** VI — p. 64, renvoi 69.

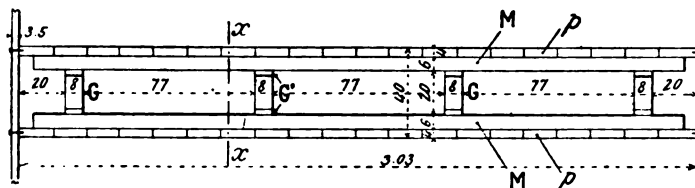
5. Exécution des grandes voûtes. — Sur le cintre, le long des bandeaux, on a monté des masques latéraux très solides, sur lesquels on a cloué des liteaux pour dessiner les moulures — puis au droit de chaque appui du cintre, un coffrage réservant un vide de 0^m40 (f_1 , f_2).

f_1 — Coupe sur xx de f_2 .



Coffrage entre 2 tranches (0^m03 p. m.)

f_2 — Vue par dessus

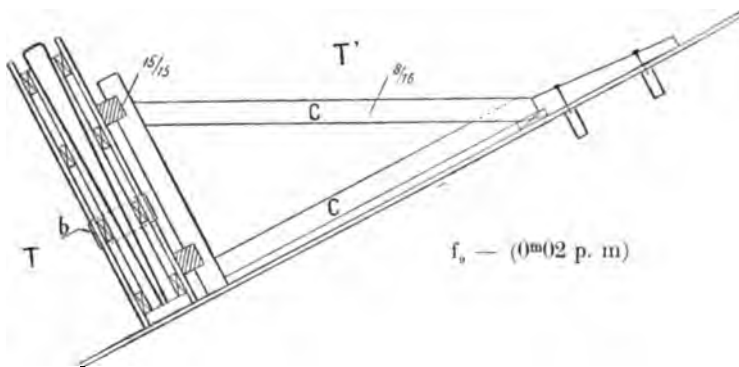


G — Coin en bois entouré d'un feillard h de 6^{mm}, suiffé.

G' — Contre-coin en bois : sur les faces ab , cd , feillard de 2^{mm}.

p — Planches de 4^m placées normalement à la douelle.

Pendant qu'on remplissait une tranche T (f_1), le coffrage était tenu par un chevalet amovible CC qu'on enlevait ensuite et qu'on plaçait plus haut pour tenir le coffrage supérieur de la tranche suivante T' .



Les voûtes étaient ainsi divisées en tranches entourées d'une caisse étanche et solide : ces tranches avaient

environ 5^m60 de long ; elles cubaient de 25 à 40^m³. On remplissait une caisse par jour, par couches de 0^m20 parallèles à la douelle : le béton était damé par trois pilonneuses à air comprimé ; il était peu mouillé.

Contre les masques de tête, sur 0^m20, le béton n'avait pas de cailloux de plus de 3^m ; il était dosé à 600 kg par mètre cube et un peu plus mouillé : on avait ainsi un parement plus compact, résistant mieux aux intempéries.

On a monté les deux arcs des retombées à la clef : on faisait une tranche sur l'un, puis la même tranche sur l'autre.

Pour empêcher une tranche T' de glisser sur le cintre (f_1), on la retenait, au tiers de la hauteur du joint à partir de l'intrados, par des butons b en béton fretté de 0^m20 de diamètre, qui traversaient le coffrage pour s'appuyer sur la

tranche inférieure T^s : on les noyait ensuite dans le béton.

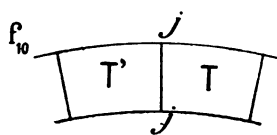
On laissait le béton durcir 48 heures, puis, on « décoffrait », en « décollant » les coins $G(f_i)$: on réemployait les bois aux joints suivants.

Pendant l'exécution d'une tranche, l'appui en arrière tassait d'environ 2^m : moins, pendant celle de la tranche suivante. Dans un cintre à poteaux et contre-fiches, les déformations d'un appui sont indépendantes de la charge sur les autres⁹.

Toutes les tranches faites, on a rempli les vides entre elles avec le même béton bien pilonné.

6. Décintrement. — On a décintré, par un procédé fort ingénieux, inventé par l'auteur du projet M. Freyssinet, et éprouvé par lui à des arcs en béton armé¹⁰.

Au lieu d'abaisser le cintre sous les voûtes, on soulève les voûtes au-dessus du cintre, en écartant l'une de l'autre les demi-voûtes de part et d'autre de la clef par des vérins hydrauliques assez puissants pour y produire un effort égal à la poussée qui serait créée par le décintrement¹¹.



Supposons exécutée la dernière tranche T' de la demi-voûte de gauche (f_{10}) : on enlève le coffrage qui maintenait le joint de clef jj , on graisse ce joint pour que le béton de T n'y adhère pas, et, contre lui, on exécute la tranche T . L'arc est ainsi coupé à la clef par un joint jj sans épaisseur.

8. — Voir ce qui a été fait pour retenir les tranches au pont de Walnut Lane II, p. 90.

9. — V, p. 135, 137.

10. — Arc à deux articulations (portée 50^m , montée 2^m) que M. F. Mercier, Entrepreneur, a fait construire à Moulins en 1908, à titre d'expérience : on l'a décintré en y enfonçant des coins à la clef.

Ponts en béton armé sur l'Allier : du Veudre 1910 (3 arcs de 72^m56 et 67^m surbaissés au $1/15$, (1910) — de Boutiron, (1912). Entrepreneur à forfait M. F. Mercier.

11. — Dans un mémoire inséré aux Annales des Ponts et Chaussées d'octobre 1881, p. 472, j'indiquais que le système des clavages multiples matés « crée entre les voussoirs des clavages des réactions qui soulagent le cintre et préparent le décintrement. »

Dans son rapport du 20 juin 1913 sur les projets présentés pour le pont de Villeneuve, M. l'Ingénieur en Chef Bory fait cette observation :

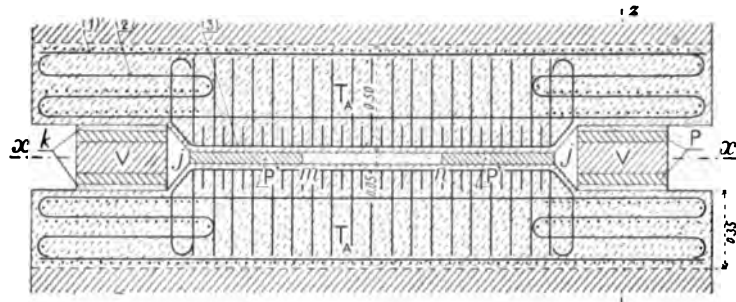
« Il convient de remarquer ici que le système de décintrement très particulier qui sera employé au pont de Villeneuve n'est que l'application systématique de ce dernier principe.

« On crée à la clef des réactions, non par le clavage et le matage du joint, mais par l'action de vérins hydrauliques. Le principe reste le même et les moyens sont différents. »

Dans des vides ménagés à la clef à chaque tête, on a placé quatre vérins V capables chacun de 500^T (f_{11} , f_{11} , f_{11}) : ils pressaient par des plaques d'acier P de 5^e d'épaisseur des tranches T_A en mortier à 1.000 kg de ciment par mètre cube, tenu par une armature à mailles serrées.

Dispositif de décintrement (0^m03 p. m.).

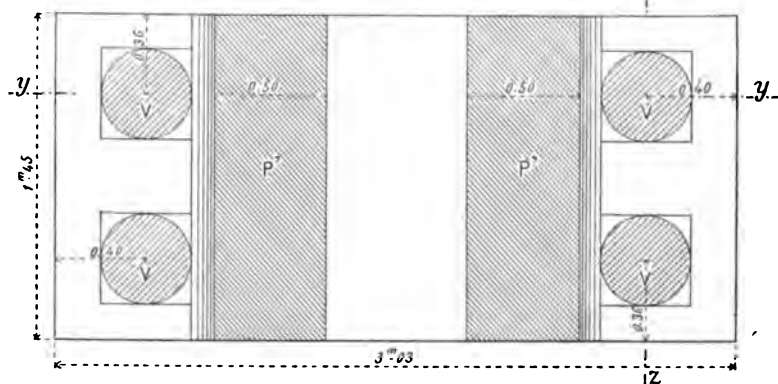
f_{11} — Coupe sur yy de f_{11}



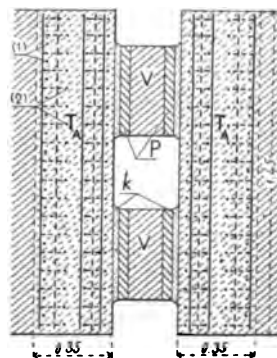
T_A est armée en barres de 8^{mm} .
Pour ne pas surcharger les croquis, on n'a figuré que la moitié des barres (1), (2), (3).

k — Joint de 25^{mm} .
{ ciment 1.000^e
{ sable tamisé 1^{me}
mortier pulvérulent maté.

f_{11} — Coupe sur xx de f_{11}



f_{11} — Coupe sur zz



Sous une pression de 260^T par vérin¹², le joint vide jj (f_{10} , f_{10}) s'est ouvert de 2^e environ sans soulèvement au-dessus du cintre, puis, la pression atteignant 270^T , de 8^e à l'extrados, de 7^e à l'intrados, avec un soulèvement d'environ 9^e au-dessus du cintre.

Dans le joint ainsi ouvert, on a introduit deux plaques en mortier P' (f_{11} , f_{11}) armées d'un quadrillage à mailles serrées, de 5^e d'épaisseur à faces parallèles, garnies sur chaque face d'un enduit frais de pâte de ciment pur de 3^{mm} .

On a laissé échapper l'eau des vérins. Le joint ouvert s'est refermé sur les plaques P' : l'écartement de ses faces est devenu uniforme et égal à 53^{mm} , le soulèvement au-dessus du cintre était réduit à 5^e . Entre les 2 plaques P' (c'est-à-dire en mn de f_{11}), on a maté du mortier pulvérulent de ciment.

12. — Soit 1.040^T pour les 4. La poussée calculée de l'arc nu était 1.035^T , soit $24 \text{ k. } / 0^m01^1$.

Cet allongement artificiel de 53^{mm} de la fibre moyenne primitive compense :

- 1° le raccourcissement par compression de l'arc, sous son poids ;
- 2° le recul des appuis ;
- 3° le retrait, réalisé avant le décintrement ou à prévoir après.

Les cales P' introduites à la clef, en supprimant les couples de flexion dus aux raccourcissements, réduisent et égalisent les efforts maxima.

Malgré la précision des mesures, on n'a pu constater de déplacement latéral dû au flambement.

Par contre, en refermant le joint de clef sur des cales d'épaisseur inégale, on a provoqué des déplacements latéraux : on les a fait ensuite disparaître, en refermant sur des cales d'égale épaisseur.

Φ_1 . — Février 1916. ¹³



7. Dates d'exécution.

1914, février-mars : on commence les travaux, — au moment de la guerre, on a fait la fouille de la culée gauche, on commence à monter le cintre ; — octobre : la culée gauche est fondée, le cintre presque monté.

1915, janvier : on suspend les travaux ; — juillet : on les reprend, on répare les dégâts causés au cintre par les crues ; on pose le platelage et les coffrages ; on fonde la culée droite — 1^{er} septembre : on pose la première tranche ; — 28 octobre : on pose la dernière ; — 29 octobre - 5 novembre : on clave ; — 6 décembre : décintrement.

13. — Photographie qu'a bien voulu nous adresser M. Mercier.

8. Personnel.

Projet et entreprise.

On avait ouvert un concours « entre les constructeurs spécialistes de béton armé, préalablement agréés ».

On a adopté les propositions de MM. F. Mercier et Cl. Limousin (forfait de 430.000 fr.).

Le projet a été dressé par leur bureau d'études sous la direction de M. Freyssinet, Ingénieur des Ponts et Chaussées, en congé, qui en a imaginé toutes les dispositions.

Examen des projets et contrôle :

M. Bory, Ingénieur en Chef des Ponts et Chaussées, à Agen.

M. Boulzaguet, Ingénieur à Villeneuve.

9. Ce qu'enseigne le pont de Villeneuve. — Comme portée, les 2 voûtes de Villeneuve (96^m25) qui sont en béton, dépassent la plus grande voûte actuelle en maçonnerie, celle de Plauen qui a 90^m¹⁴ : ce sont aujourd'hui les plus grandes du monde^{15, 16}.

La largeur à la clef y a été réduite à 3^m03, soit environ le 1/32 de la portée, sans flambement.

On les a construites sur cintre à poteaux et contrefiches.

On les a décintrées sans appareil de décintrement sur le cintre, en les comprimant à la clef par des vérins et maintenant ensuite par une cale en béton armé le joint ouvert par les vérins.

14. — III p. 14, 52.

15. — Au tome V. p. 207 renvoi 13, on a fait connaître qu'on venait de commencer les fondations de la voûte en béton du Bernand de 173^m de portée ; à cause de la guerre, on a dû y renoncer.

16. — Pour le classement des voûtes de 40^m et plus, voir V. p. 200 à 206.

SOURCE :

Dessins et renseignements gracieusement communiqués par M. Freyssinet.

PONTS A UNE SEULE GRANDE ARCHE SOUS CHEMIN DE FER A VOIE NORMALE

SÉRIE \hat{A}^1 $F^r (\geq 40^m)$

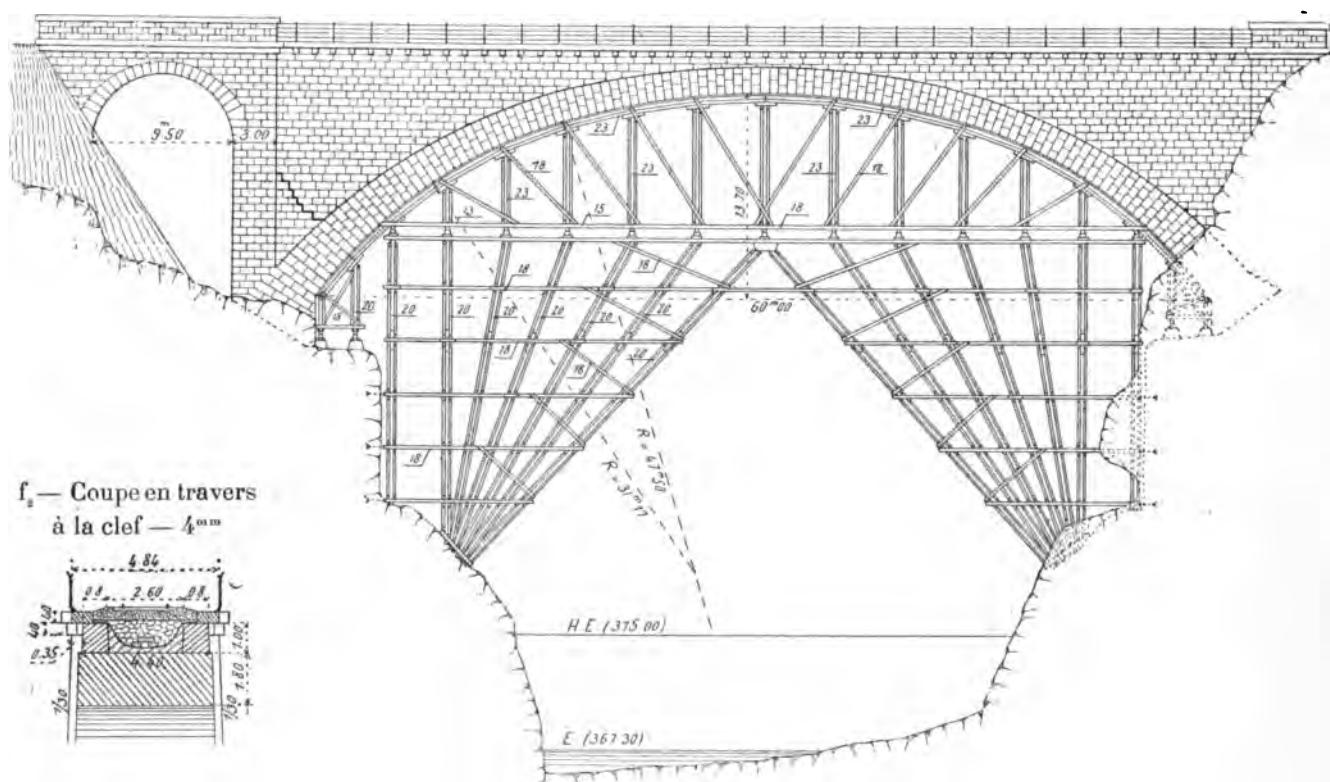
(Voir tableau synoptique III, p. 90 et monographies III, p. 93 à 168).

PONT SUR L'ORKLA, A ORKLA (NORVÈGE Drontheim) ¹

Ligne d'Orkla à Støren

1912-1915 \hat{A}^1 $F^r (\geq 40^m)$ ²⁶

f_1 — Elévation — 2^{mm}



1. — Voir tableau synoptique VI, p. 186.

SOURCE :

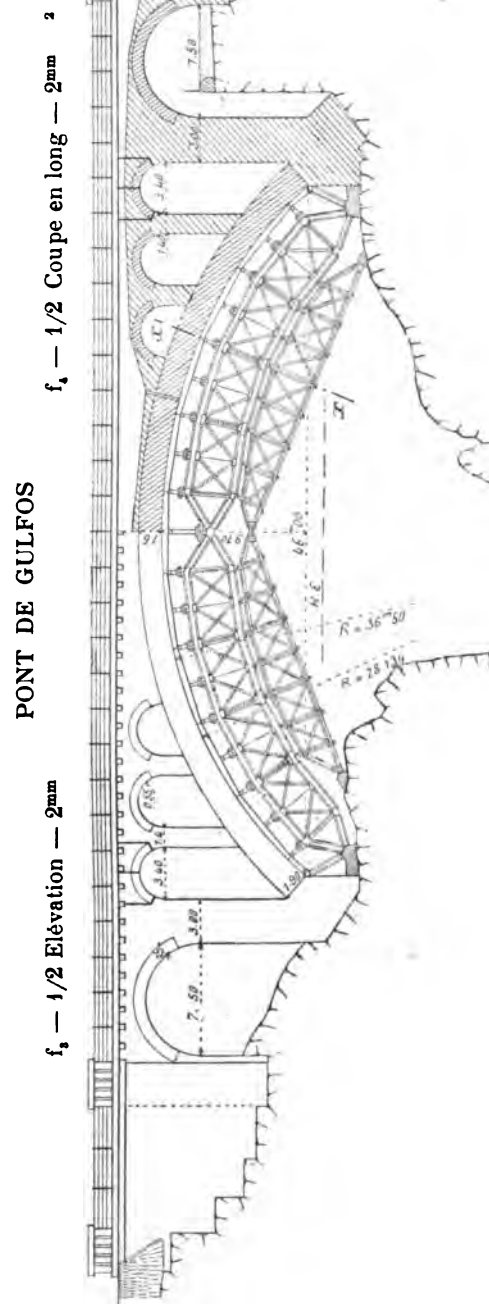
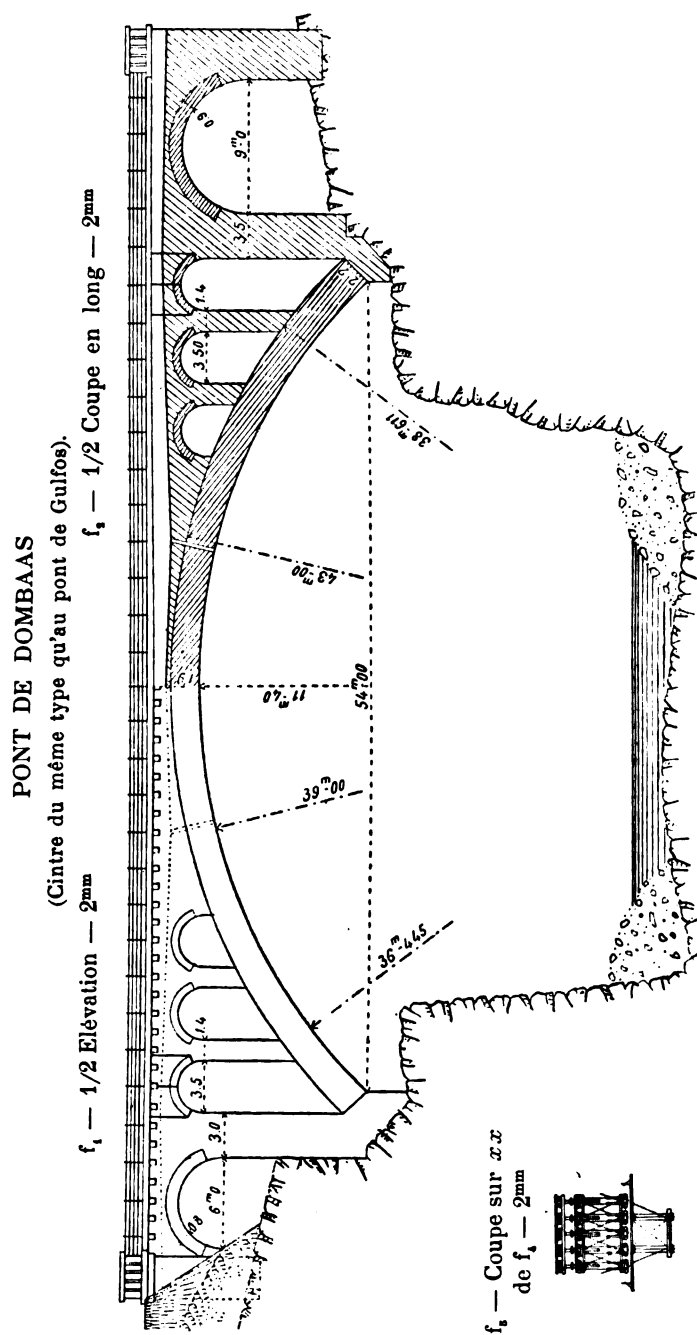
Dessins d'exécution et renseignements qu'a bien voulu me communiquer, en avril 1916, M. Otto Aubert, Ingénieur en Chef de la Construction des Chemins de fer de l'Etat, à Christiania.

2 PONTS EN NORVÈGE :

SUR LA JORA, A DOMBAAS,¹ ligne de Dombaas à Aandalsnes;
DE GULFOS,¹ ligne de Trondhjem à Stören.

1913-19.. $\bar{A}^1 F^r (\geq 40m)^{27}$, $\bar{A}^1 F^r (\geq 40m)^{28}$

(Voir monographies III, p. 93 à 168).



1. — Voir tableau synoptique VI, p. 186.

2. — Voir le cintre de Svenkerud III, p. 151.

SOURCE:

Dessins d'exécution et renseignements qu'a bien voulu me communiquer, en avril 1916,
M. Otto Aubert, Ingénieur en Chef de la Construction des Chemins de fer de l'Etat, à Chris-
tiania.

VOÛTES INARTICULÉES $\geq 40^m$ EN BÉTON PEU ARMÉ ¹

(Voir tableau synoptique III, p. 286 et monographies III, p. 289)

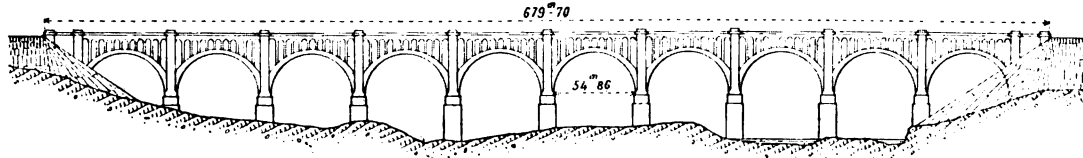
PONT SUR LE TUNKHANNOCK CREEK

PRÈS DE NICHOLSON (ÉTATS-UNIS Pennsylvanie) ²

Ligne de Scranton (Pennsylvanie) à Elmira (New-York)
(Delaware, Lackawanna and Western RR)

1912-1915

f₁ — Ensemble — 0^m2



1. Importance de l'ouvrage. — 10 arches en plein cintre ³ de 54^m86⁴ à 73^m au-dessus de l'eau, — 679^m70 de longueur ; quelques piles fondées à 30^m dans le sol — environ 125.000^m³ de béton, 1000^t d'acier pour l'armer, 33.000^m³ de déblai en fondation. C'est un des plus grands ouvrages en maçonnerie ⁵.

Φ₁ — 1915.



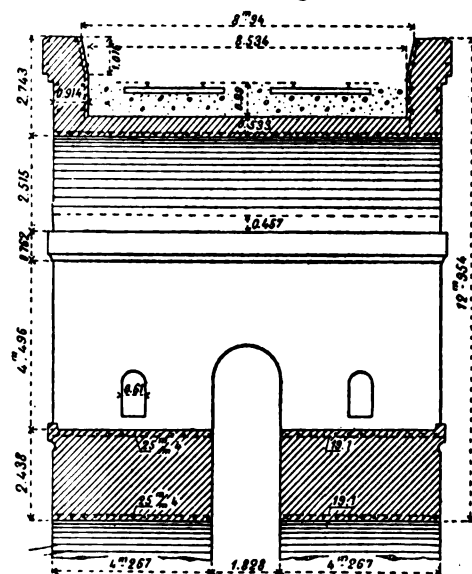
1. — Pour les grandes voûtes en béton peu armé, voir III, p. 284 à 303.

2. — Voir tableau synoptique VI, p. 188.

3. — Voir la Série C^o F^o ($\geq 40^m$) Tome I, p. 76 à 82.

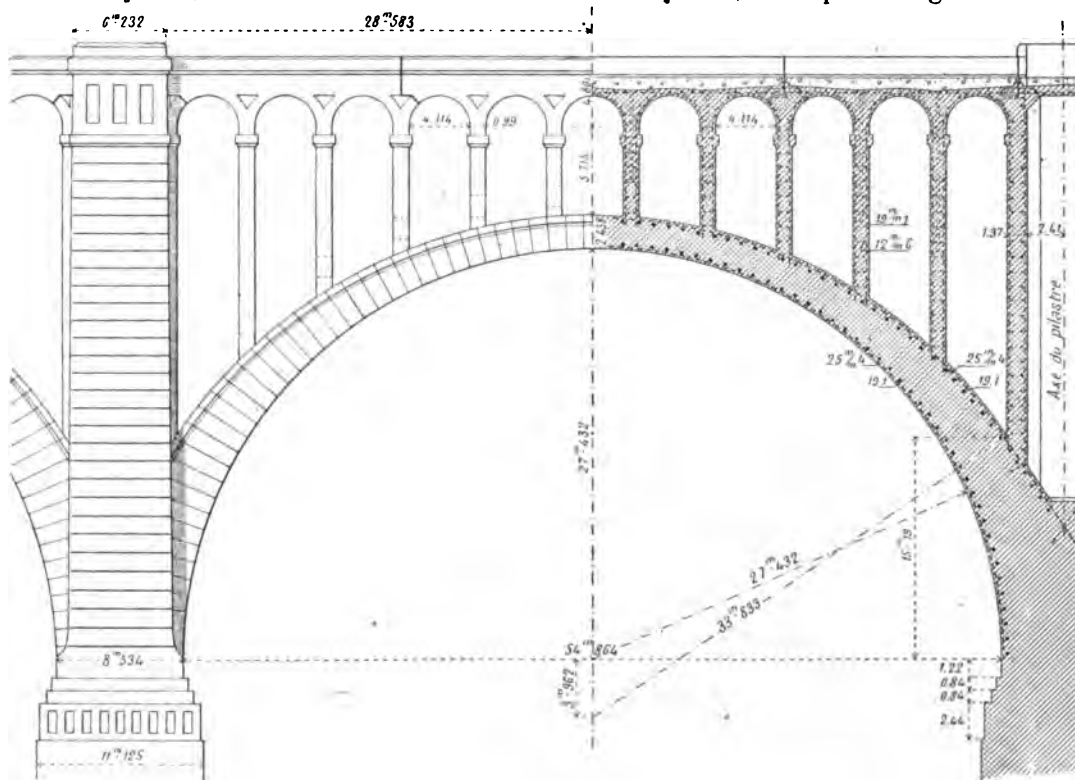
4. — Pour les voûtes complètes — pleins cintres ou ellipses — il semble qu'on se veuille limiter à 55^m : le plus grand plein cintre (Ballochmyle, I, p. 38, 41) a 55^m17 ; les plus grandes ellipses surbaissées (Annibal, I, p. 88, 112 — Diable, I, p. 88, 116), la plus grande ellipse surhaussée (Wiesen, I, p. 232, 235) ont 55^m.

5. — « The largest of its kind in the World » (S, p. 484).

f₁ — Coupe à la clef d'une grande voûte - 5^mf₂ — 1/2 Élévation — 2mm

2. Voûtes en 2 anneaux (V. p. 67) f₁. — Type Luxembourg appliqué aux États-Unis aux ponts de Walnut Lane⁶, Rocky River⁷, Spokane⁸. On n'avait encore fait ainsi que des arcs sous route : ici, ce sont deux ponts accolés en plein cintre, dont chacun porte une voie⁹.

3. Voûtes en béton. — Après de longues estimations comparatives, on a adopté le béton de préférence à l'acier, moins cher à entretenir, plus durable, résistant mieux à une augmentation de surcharge, à un déraillement, plus

f₃ — 1/2 Coupe en long — 2mm

6. — II, p. 83.

7. — II, p. 95.

8. — III, p. 284, 293.

9. — On achève un viaduc en béton, sous route, long de 526^m, large de 23^m25, sur le Big Creek à Cleveland (Ohio). Il a 10 arches principales, dont 6 de 39^m014 de portée, 13^m106 de montée, en anse de panier (arc avec raccordement vertical aux naissances); chaque arche est en 4 anneaux parallèles en béton; ils ont 1^m10 à la clef, 1^m83 aux naissances; les anneaux de têtes sont larges de 1^m829, les 2 autres de 2^m134. Le vide entre les anneaux est de 3^m505 aux têtes, de 2^m743 au milieu. Les piles et le tablier sont armés. Les tympans sont élevés par de petits pleins cintres : celui qui est au-dessus d'une pile est coupé à la clef par un joint de dilatation. Comme il fallait maintenir la circulation sur un viaduc métallique qui coupe le nouveau, on a construit le nouveau par deux moitiés longitudinales : cintres d'acier, fermes à 3 articulations; on construisait à la fois deux anneaux de 6 arches consécutives. En 7 à 8 jours on bétonnait une paire d'anneaux. On arriva à couler, à une arche de 39^m, 245^m de béton en 1 jour — à une pile, 412^m de béton en 9 heures.

(Engineering News — 9 septembre 1915 — Fast Concreting on Brooklyn-Brighton Viaduct — Cleveland).

Génie Civil 15 janvier 1916.

vite fait quand les usines sont débordées de commandes (S, p. 482).^{10, 11}

La courbe de pression s'écarte peu de la fibre moyenne.

Les voûtes sont légèrement armées en long et en travers près de l'intrados et de l'extrados pour résister aux efforts dus aux changements de température ; on a fait ainsi aux ponts sur la Delaware¹², de Spokane⁸.

4. Fondations des piles centrales. — On descendait un caisson sans fond de $13^m \times 15^m$, dont les parois étaient faites de palplanches d'acier de 0^m30 de largeur, 9^m15 de longueur. On les battait, on creusait — puis on achevait de les enfoncer.

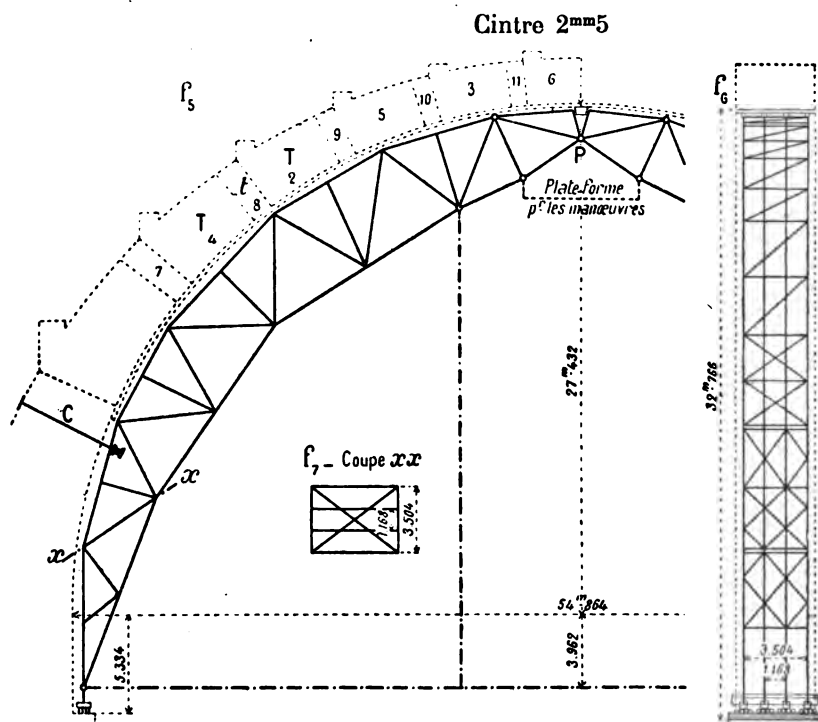
Ensuite, à 1^m45 extérieurement à ce premier caisson, on en battait un second. Quand ses palplanches étaient enfoncées de 3 ou 4^m , on déblayait à la main entre les deux, on enfonçait les palplanches du caisson intérieur — puis celles du caisson extérieur.

5. Pose du béton des piles en élévation. — Le béton (ciment 1 — sable 3 — cailloux de 5^m , 5) était posé jour et nuit sans arrêt, par couches de 1^m20 ,

dans des panneaux en bois de 5^m40 de hauteur reliés par des tirants au béton mis en place. Par le froid, on faisait le béton à l'eau chaude, on réchauffait à la vapeur le sable et les cailloux.

On a noyé dans le béton environ 11 % de grosses pierres, surtout à la surface des couches successives de 1^m20 .

6. Béton des grandes voûtes — Cintres. — Jusqu'à 10^m au-dessus des naissances, le béton était posé dans des formes en bois, en encor-



bellement de 2^m13 sur les naissances, au delà, sur des fermes d'acier articulées aux naissances et au cerveau (f_s)^{13, 14}.

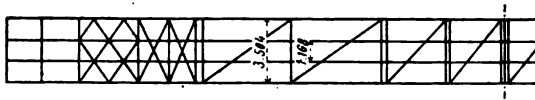
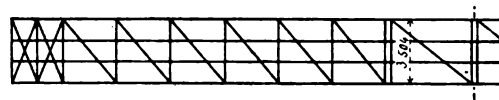
10. — V, Titre I, p. 189 à 198.

11. — Pour les voûtes en béton, voir Tome V, p. 23 à 28.

12. — III, p. 284, 289.

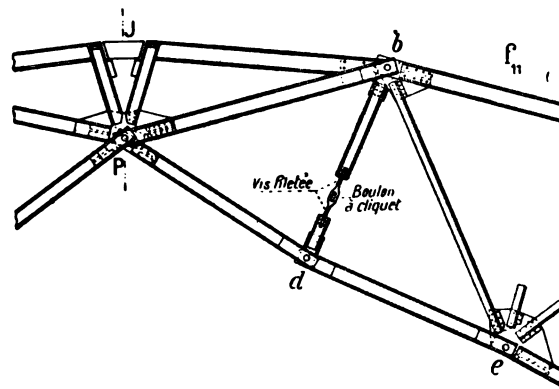
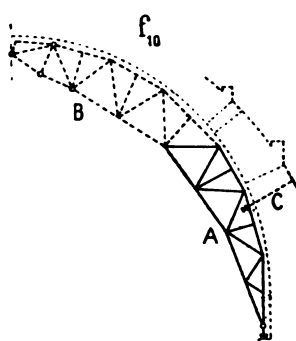
13. — Sur les cintres métalliques, voir V, p. 151.

14. — Comme aux ponts de Rocky River (II, p. 101), de la Delaware (III, p. 291).

f_8 — Vue de l'entretoisement^t de la membrure inf^{re} f_9 — Vue de l'entretoisement^t de la membrure sup^{re} Φ_1 

Chaque demi-ferme porte 286^T et pèse 24^T5 .

On montait d'abord la retombée A (f_{10}) en la soutenant par deux barres filetées C, de 40^{mm} , prises dans le béton. En agissant sur l'écrou de C, on mettait en place la retombée A, puis, dessus, on attachait B.



Le dernier panneau $Pebd$ (f_{11}) est articulé à ses 4 sommets : la longueur bd de sa diagonale est réglée par une tige filetée, laquelle permet de mettre à sa place le cerveau du cintre pour faire la voûte, et de l'abaisser pour décintrer¹⁵. En J, au-dessus de l'articulation P, un coin en chêne fixe le cintre. A la clef et au $1/4$ de la hauteur, étaient attachés des haubans fixés au sol.

15. — Voir III, p. 291.

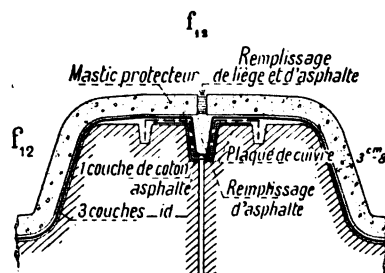
Les voûtes ont été exécutées par tranches T séparées par des intervalles t clavés plus tard : f_1 indique l'ordre de pose des T et des t . On posait les clefs t assez longtemps (7 jours au moins) après les T pour que le béton des T eût fait son retrait (S_1'').

Le montage des cintres fut commencé le 23 septembre 1913 : le cintre de la première voûte, pesant 200^T , fut levé en 8 jours.

Le cintre était ripé d'un anneau sous l'autre d'une même arche, sur 6 rouleaux de 15^m roulant sur un chemin de 1^m82 de longueur, porté par des poutres en I de 0^m20 .

On faisait avec 5 cintres 5 anneaux consécutifs — puis on les déplaçait transversalement de 6^m et on faisait les 5 anneaux jumeaux — alors on les démontait, on les transportait à l'aide des 2 transporteurs à câbles¹⁶.

7. Chape. — 3 feuilles de coton asphalté, puis 2 couches de 19^{mm} de mastic d'asphalte (S_2'').



8. Joints de dilatation coupant les arches d'évidement. — 4 par grande voûte : 2 près des piles, 2 vers le $1/4$ de la portée. Le croquis f_{12} indique comment le joint était protégé pendant qu'on faisait la chape, et comment est assurée la continuité de la chape quand le joint s'ouvre.

9. Personnel.

Ingénieurs :

Section technique de la Delaware Lackawanna and Western Railroad C^r.

MM. G. J. Ray, Ingénieur en Chef.

F. L. Wheaton, Ingénieur de la construction de la ligne de Martin's Creek.

A. B. Cohen, Ingénieur, chargé du bétonnage.

C. W. Simpson, Ingénieur attaché au viaduc.

Entrepreneurs :

Société Flickwir et Bush.

Directeur : M. Frank M. Talbot.

Administrateur : M. C. W. Ritner.

16. — Ces transporteurs avaient un appui au milieu ; leur portée était ainsi réduite à 460^m : chaque câble porteur avait 57^{mm} , portait couramment 7^T et jusqu'à 10^T . Grâce à l'outillage, on n'employa à ce grand ouvrage que 225 hommes.

SOURCES :

S_1 . — Engineering Record. 3 mai 1913, p. 482 et 484 — 29 novembre 1913, p. 594 — 10 juillet 1915, p. 42.

S_2 . — Dessins S_1' , renseignements S_2'' et photographies S_2''' gracieusement communiqués par M. G. J. Ray, Ingénieur en Chef de la Delaware, Lackawanna and Western R. R. C^r, à Hoboken (N. J.).

VOÛTES ARTICULÉES — ARTICULATIONS ROULANTES
ARCS TRÈS SURBAISSÉS

PONTS A PLUSIEURS GRANDES ARCHES
SOUS CHEMIN DE FER A VOIE NORMALE

SÉRIE \bar{A}^n Fr ($\geq 40^m$)

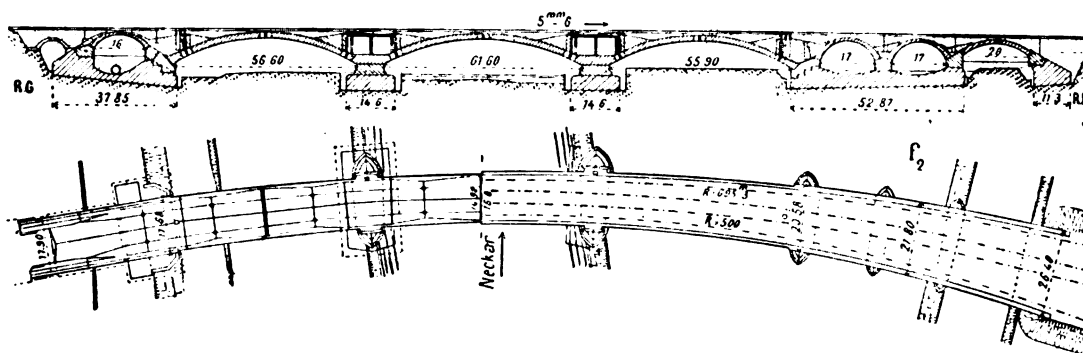
(Voir pour les \bar{A}^n r^{te} ($\geq 40^m$) tableau synoptique IV. p. 172 et monographies IV. p. 175 à 208)

PONT A 4 VOIES SUR LE NECKAR, A CANNSTATT (WURTEMBERG)¹

Lignes de Ludwigsburg-Stuttgart et Stuttgart-Plochingen

1911-1914 \bar{A}^n Fr ($\geq 40^m$)¹

f_1 — Ensemble — 0mm44



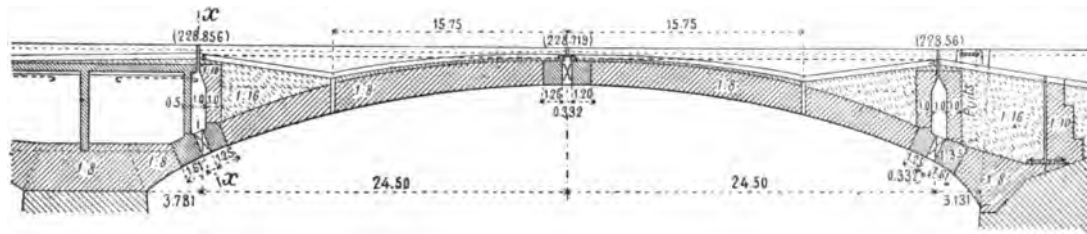
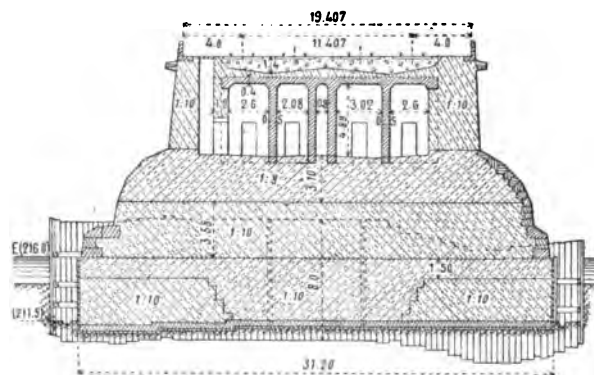
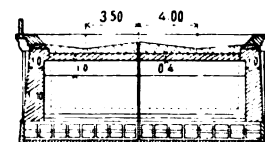
1. Tracé des têtes. — Le pont porte 4 voies en courbe : elles ne sont pas parallèles ; celle de droite a un rayon de 500^m.

Les têtes sont ainsi tracées :

Côté concave. — Bandeaux suivant un cylindre vertical de rayon un peu moindre que le parapet : tympan en fruit variant de 0 à la clef à 1/24 aux retombées.

Côté convexe. — Courbes d'intrados de chaque voûte dans des plans verticaux se coupant sur l'axe des piles : bandeaux en fruit augmentant de 0 à la clef à 1/10,6 aux retombées.

1. — Voir tableau synoptique VI, p. 190.

f_1 — Coupe en long de l'arche rive droite — 2^{mm} f_2 — Coupe sur une pile — 2^{mm} f_3 — Coupe sur xx de f_1
2^{mm}

2. Efforts par $\overline{0^m01^2}$
dans la voûte centrale
(Côté concave)

Sous le poids propre

Sous la surcharge { Effort maximum .
— minimum..Ensemble..... { Effort maximum .
— minimum..

Retombée R. G.		1/4 de la portée R. G.		Clef	
		Intrados	Extrados	Intrados	Extrados
Sous le poids propre		+ 36*3	+ 19*9	+ 30*9	+ 20*1
Sous la surcharge {	Effort maximum .	+ 8.8	+ 4.9	+ 18.2	+ 24
	— minimum..			- 14.2	- 14.4
Ensemble..... {	Effort maximum .	+ 45.1	+ 24.8	+ 49.1	+ 44.1
	— minimum..	»	»	+ 16.7	+ 5.7
				+ 40*3	+ 21*1
				+ 10.3	+ 5.4
				+ 50.6	+ 26.5
				»	»

3. Matériaux. — L'avant-bec des piles est revêtu de pierres pour résister aux glaces et aux crues : le reste est en béton ².

Voici, pour les différentes parties du pont, les dosages prescrits, le travail permis, la résistance exigée.

		Dosage pour 1 vol. de ciment				Travail permis	Résistance exigée à 28 jours
		Sable	Gra-vier	Pierre cassée	Ensemble	kg / 0 ^m 01 ²	kg / 0 ^m 01 ²
Béton de fondation	Piles en rivière.....				10	8 ⁴	56 ⁴
	Autres appuis (pour une partie, on a ajouté 1/5 de pierres).....				14	12	84
Béton en élévation	Piles hors de la rivière et culées.....				12	18	126
	Tympan et piles en rivière.				10	20	140
	Remplissage au-dessus des piles.....				16		
Béton armé	Petites voûtes.....	1, 5	2	3 Muschelkalk (15 ^m à 25 ^m)	6, 5		
	Cloisons au-dessus des v ^{tes} ..				4		
	Parapets.....						
Béton	G ^{des} voûtes non armées..	2	3, 5	2, 5 id. (25 ^m à 45 ^m)	8	50	250
	Sommiers d'articulation ...	2 (Sable du Rhin)		2 Porphyre cassé (7 ^m à 25 ^m)	4	75 (à leur surface de contact avec les rotules)	375

Sur 10^m, le béton des parements est à 1 : 3 1/2 — jaunâtre, piqué de points noirs.

On a différencié les diverses parties des tympan par la façon de la surface. Le béton maigre des tympan et des pilastres est grossièrement travaillé à la

2. — Dans le Génie Civil du 5 octobre 1912, M. F. Mencl, Ingénieur en Chef de la Ville de Prague, a rendu compte de la construction (1910-12) du pont en béton de l'île Stvanice sur la Moldau à Prague : il traverse le grand bras par 3 arches en béton, — 36^m — 39^m — 36^m, articulées sur plaques de plomb de 10^m, occupant les 4/15 du joint * entre 2 sommiers de granit, — épaisses à la clef de 0^m75, aux naissances de 0^m90, aux joints de rupture de 1^m05 — biaises à 69° — larges entre têtes de 15^m90 — exécutées en 3 anneaux accolés de 4^m95 — 6^m — 4^m95 de largeur : chaque anneau (6 tranches) a été fait en 4 ou 5 jours. Le béton des voûtes, à 1 de ciment pour 4 de sable et granit cassé, résistait à 28 jours de 505⁴ à 617⁴ — Au d^{ac}intrement (Appareils Zuffer), ** les voûtes de rive ont tassé de 1^m à 4^m, la voûte centrale de 6^m à 10^m. On a éprouvé les voûtes *** : la grande, sous une charge de 337⁴, a fléchi de 1^m5. Prix du pont : 350 fr. par mq.

* IV p. 8 à 10, 35 à 48, 89 à 99. ** II p. 166, 192. *** V. p. 179.

4. **Sommiers en béton des rotules.** — L'ensemble des sommiers cube 750^{mc}. En les armant à 1 1/2 pour %, on y eût employé 110^r de fer.

Au laboratoire d'essai des matériaux de Stuttgart, on a essayé, à 28 jours, des échantillons au 1/3, au 1/4, au 1/5 de la dimension des sommiers, armés à 0 %, — 0,33 %, — 0,58 % — au dosage de 1 volume de ciment, 1 1/2 de sable du Rhin, 2 de porphyre cassé. Le béton a résisté :

	Béton non armé	Béton armé
au 1/3 de la grandeur des sommiers, à . . .	483 ^k	532 ^k
au 1/5 id. à . . .	575	633

5. Joint de dilatation. — Au-dessus des articulations, les tympans sont coupés jusqu'au parapet par un joint de 2^{cm}, garni de plaques de liège. Il se voit sur les bandeaux et la plinthe : sur les tympans, il est masqué par un petit pilastre.

f₆ — Coupe sur yy de f₁.

f₇ — Appui de la plaque de recouvrement à la clef des arches de rive.

f₈ — Coupe sur xx de f₆.

Pour empêcher des fissures irrégulières dans le béton par suite du retrait ou du froid, on a coupé par un joint sec les tympans au-dessus des piles : on les a armés en haut.

Les parapets ont, tous les 3^m, un joint à rainure et languette : un sur 2, un sur 3 de ces joints traverse les consoles.

Les rotules sont masquées aux têtes par des plaques de béton armé de 0^m13.

6. Chape. — L'extrados, les faces intérieures des tympans, sont recouverts d'un enduit lissé de mortier de ciment à 1/3 : dessus, sont collées, par du goudron à chaud, des plaques de feutre asphalté de 9^{mm}.

7. Cintres. — On les a calculés pour le poids de la voûte (sans le majorer pour tenir compte du pilonnage), 4580^k par m. q. pour la voûte en rivière.

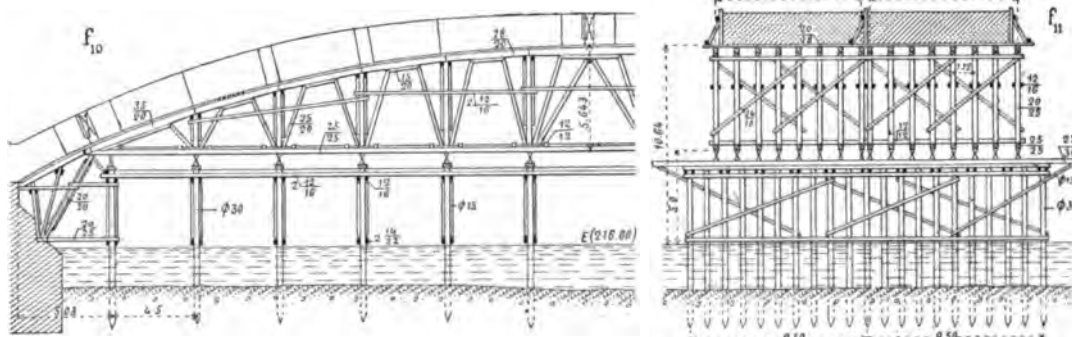
Les efforts permis étaient par 0^m01² :

	Chêne Hêtre	Pin Sapin
Flexion (tension et compression suivant les fibres).....	75 ^k	55 ^k
Compression normale aux fibres ³	20	15

Pour tenir compte du flambement, l'effort en kg / 0^m01² des pièces chargées de bout (montants, pieux) était calculé par la formule :

$$\frac{\beta \text{ (Effort permis à la compression)}}{1 + 0,0002 \frac{l^2 \text{ (longueur libre)}}{r^2 \text{ (rayon de gyration)}}$$

Cintre — 2^m5



Aux retombées, jusqu'aux rotules, les cintres ont la largeur des voûtes. Au cerveau, entre les rotules, ils n'en ont que la 1/2 largeur et ont été ripés transversalement. Deux plate-formes en métal étaient disposées sur la tête des pieux, l'une au-dessus de l'autre : pour riper le cintre, on le soulevait avec des vérins, on plaçait, entre les 2 plaques, des rouleaux.

En 2 jours, on souleva, on ripa de 9^m, on abaissa les cintres des 3 grandes voûtes : pour le ripage seul de chaque voûte, il fallait environ 2 heures.

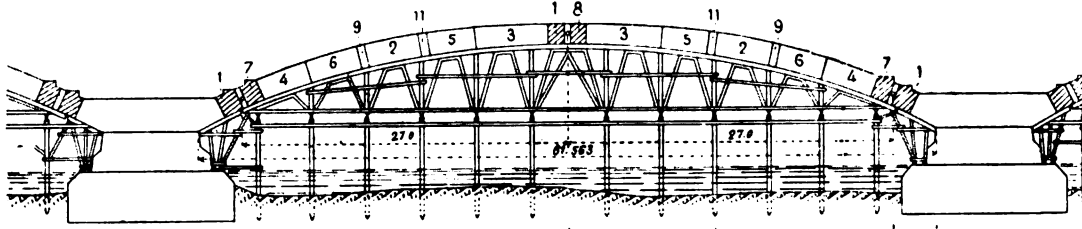
8. Exécution des grandes voûtes. — Elles ont été construites en 2 anneaux : le second sur le cintre du premier ripé transversalement. Le joint longitudinal entre les 2 anneaux s'arrête aux piles.

On bétonna dans l'ordre indiqué au croquis f₁₁ ; on posa les rotules après bétonnage des tranches 3 et 4.

Du 30 avril au 17 juin 1913, on bétonna les retombées des 3 grandes voûtes sur toute la largeur; le haut des 2 piles, le 1^{er} anneau (en tout 4300^m de béton) et on posa les rotules du 1^{er} anneau (117^T); du 10 au 30 septembre, on bétonna le 2^e anneau (2200^m), on posa ses rotules (117^T), opération fort délicate⁴.

9. Décintrement. — On décintra les 3 grandes voûtes à la fois. Sur chaque vérin était disposé un cadran gradué par 1/8 de tour. A chaque signal, on donnait aux vérins le nombre de tours indiqué au tableau ci-après :

f_{11} — Arche centrale, anneau sud — Tassements — 1^{mm}6



Tassements		N° des Palées												N° des Palées	
		6	5	4	3	2	1	1	2	3	4	5	6		
Tassements (pend' le bétonn ^{mt} du clav. au décint ^{mt} au décintrement. 3)	pend' le bétonn ^{mt}	4												4	
	du clav. au décint ^{mt}	2												2	
	au décintrement. 3	1												1	
		19												15	4
		7												7	5
														1	2

N° des Palées		6	5	4	3	2	1	1	2	3	4	5	6	N° des Palées	
Nombre de 1/8 de tours donné au signal N°	Signal 1						1	1						1	Signal
	» 2						1	1						2	»
	» 3				1	1	2	2	1	1				3	»
	» 4			1	1	2	2	2	2	1	1			4	»
	» 5		1	1	2	2	3	3	2	2	1	1		5	»
	» 6	1	1	2	2	3	3	3	3	2	2	1	1	6	»
	» 7	1	2	2	3	3	4	4	3	3	2	2	1	7	»
	» 8	2	2	3	3	4	4	4	4	3	3	2	2	8	»
	» 9	2	3	3	4	4	5	5	4	4	3	3	2	9	»
	» 10	3	3	4	4	5	5	5	5	4	4	3	3	10	»
	» 11	3	4	4	5	5	6	6	5	5	4	4	3	11	»
	» 12	4	4	5	5	6	6	6	6	5	5	4	4	12	»

Sous les 8 palées centrales de la voûte en rivière, la course des vérins était de 16^{mm}, ailleurs de 13^{mm}. On commençait à abaisser les retombées, quand la clef était descendue de son tassement calculé.

Il y avait, pour les 3 cintres, 291 vérins — à chaque vérin, 1 homme — à chaque palée, 2 surveillants pour observer les signaux : en tout, 363 hommes.

Le décintrement fut fait en 1 h. 1/2.

Pendant le décintrement des deuxièmes anneaux, le premier de la voûte en rivière tassa encore de 0^{mm}4. Elle a tassé sensiblement plus que les voûtes de rive : les piles en rivière se sont probablement inclinées vers les rives.

4. — Elle est détaillée S, p. 211 — On a opéré comme au pont de la Wallstrasse à Ulm IV, p. 149 — Voir aussi IV, p. 134 à 136, pont de Grasdorf.

10. Personnel.

Directeur des Chemins de fer de l'État de Wurtemberg.

Architecture : M. Mayer de Stuttgart, « Baurat ».

Entrepreneurs : MM. Dyckerhoff et Widmann — à la suite d'un concours ouvert entre 6 grandes entreprises⁵.

5. — On en trouvera un compte rendu dans le « Beton und Eisen » 1912 cahiers 6, 7, 8.

SOURCE :

S₁. — Schweizerische Bauzeitung, 1914 — 10, 17, 24, 31 Octobre — 7 Novembre.

« Vom Bau der viergleisigen Eisenbahnbrücke über den Neckar bei Cannstatt » von W. Siegerist, Oberingenieur der Firma Dyckerhoff und Widmann A. G., Zweigniederlassung Dresden.

TABLE DES MATIÈRES

DU TOME VI

1^{RE} PARTIE — INSTRUCTIONS POUR PROJETER ET CONSTRUIRE

LIVRE I — OUVRAGES DE 8^m D'OUVERTURE ET AU-DESSOUS

TITRE I. — PROJETS D'EXÉCUTION

CHAPITRE I. — DÉBOUCHÉS

	Pages.
Art. 1. — Difficulté de fixer les débouchés des petits ouvrages.....	7
Art. 2. — Nécessité de réduire les débouchés à juste ce qu'il faut.....	7
Art. 3. — Méthodes approchées pour fixer les débouchés.	
A. — <i>Débouché en fonction du débit du cours d'eau</i>	8
B. — <i>Débouché en fonction de la longueur du cours d'eau</i>	8
C. — <i>Débouché en fonction de la surface du bassin versant</i>	8

CHAPITRE II. — LEVERS DE DÉTAIL

AUX ABORDS DES OUVRAGES.....	9
------------------------------	---

CHAPITRE III. — HAUTEUR DES PIEDS-DROITS

§ 1. — OUVRAGES SERVANT EXCLUSIVEMENT A L'ÉCOULEMENT DES EAUX.

Art. 1. — Revanche minima au-dessus des plus hautes eaux.....	9
Art. 2. — Hauteur des pieds-droits des ouvrages en plein cintre.	
A. — <i>Minima : 0^m55. — B. — Maxima : 1^m. — C. — Entre les deux limites de 0^m55 et 1^m</i>	10

§ 2. — OUVRAGES SERVANT DE PASSAGE.....	10
---	----

CHAPITRE IV. — DISPOSITIONS DES OUVRAGES EN PLAN

Art. 1. — Direction, entrée, sortie des eaux.....	11
Art. 2. — Murs en aile ou murs en retour ?	
A. — <i>Choix à faire</i>	11
B. — <i>Évasement des murs en aile</i>	12
C. — <i>Remblais derrière les murs et murettes de retour</i>	12

TITRE I. — PROJETS D'EXÉCUTION (Suite)

Pages.

CHAPITRE V. — PENTE DES OUVRAGES SUR COURS D'EAU..... 12**CHAPITRE VI. — DES DIFFÉRENTS TYPES D'OUVRAGES**

§ 1. — DALOTS.	
Art. 1. — Sous rails. — Art. 2. — Hors la voie.....	13
§ 2. — BUSES.	
Art. 1. — Buses en ciment.	
A. — <i>Sous rails</i>	13
B. — <i>Hors la voie</i>	14
Art. 2. — Buses en fonte pour irrigations	14
§ 3. — CHOIX, POUR LES PETITS OUVRAGES HORS LA VOIE, ENTRE L'OUVRAGE VOÛTÉ, LE DALOT ET LA BUSE.....	14
§ 4. — SIPHONS SOUS RAILS.....	14
§ 5. — BÂCHES EN TÔLE OU EN BÉTON ARMÉ.....	14
§ 6. — OUVRAGES SOUS CHARGE DE REMBLAI.	
Art. 1. — Les adopter en principe.....	14
Art. 2. — Ouvrages en ellipse surhaussée.....	15
Art. 3. — Voûtes à axe vertical reportant sur les murs en aile la poussée du remblai.	15
Art. 4. — Supplément d'épaisseur des ouvrages sous charge de plus de 3 ^m de remblai.	
A. — <i>A la clef: Δe.</i> — B. — <i>Aux naissances</i>	16
C. — <i>Comment varie l'épaisseur de la voûte d'une tête à l'autre</i>	16
§ 7. — OUVRAGES COURONNÉS AU NIVEAU DU RAIL OU AU NIVEAU DE LA PLATE-FORME ?.....	16
§ 8. — PUISARDS.....	17
§ 9. — OUVRAGES BIAIS.	
Art. 1. — Ouvrages couronnés au niveau du rail ou au niveau de la plate-forme.....	17
Art. 2. — Ouvrages sous charge.....	18
§ 10. — TABLIERS MÉTALLIQUES, POUTRELLES ENROBÉES.	
Art. 1. — Tabliers métalliques.....	18
Art. 2. — Tabliers à poutrelles enrobées de béton.....	19
Art. 3. — Choix à faire entre les voûtes, les tabliers à poutrelles enrobées et les tabliers métalliques.....	20
§ 11. — QUELQUES DISPOSITIONS EXCEPTIONNELLES.....	20

CHAPITRE VII. — CHAPES

Art. 1. — Leur constitution suivant l'ouverture.....	20
Art. 2. — Matelas entre le dessus de la chape et la plate-forme, pour les ouvrages non surchargés	21

CHAPITRE VIII. — COURONNEMENT

§ 1. — PLINTHES.	
Art. 1. — Niveau du dessus	21
Art. 2. — Tracé dans les courbes.....	22
§ 2. — GARDE-CORPS.	
Art. 1. — Ouvrages sous rails.	
A. — <i>Types.</i> — B. — <i>Sur quels ouvrages ?</i> — C. — <i>Distance à l'axe de la voie voisine</i>	22
Art. 2. — Ouvrages hors la voie.....	23

TITRE I. — PROJETS D'EXÉCUTION (Suite)**CHAPITRE IX. — ABORDS**

	Pages.
Art. 1. — Comment on relève la banquettes aux abords des ouvrages couronnés au niveau du rail. — Art. 2. — Quarts de cône.....	23
Art. 3. — Ouvrages hors la voie.....	24
Art. 4. — Remblais contre les ouvrages.	
A. — Nature des remblais.....	24
B. — Précautions à prendre pour que l'ouvrage ne se déverse pas pendant l'exécution du remblai.....	24

CHAPITRE X. — MATÉRIAUX

DÉSIGNATION. — ABRÉVIATIONS. — DISTRIBUTION.....	26
--	----

CHAPITRE XI. — SONDAGES.....	27
------------------------------	----

CHAPITRE XII. — FONDATIONS.....	27
---------------------------------	----

DESSINS (p. 28, 29). — Coupes en long sur l'axe et coupes en travers. — Ligne de Mende à La Bastide : $f_{1,1}$, $f_{1,2}$, $f_{1,3}$, $f_{1,4}$, $f_{1,5}$. Aqueduc voûté de 1^m00 d'ouverture. — Ligne de Brioude à Saint-Flour : $f_{1,6}$, $f_{1,7}$. Ponceau voûté de 2^m00 d'ouverture, biais à 50° ; — $f_{1,8}$, $f_{1,9}$. Aqueduc voûté de 0^m70 d'ouverture. — Ligne de Morez à Saint-Claude : $f_{1,10}$, $f_{1,11}$. Aqueduc voûté de 0^m70 d'ouverture ; — $f_{1,12}$, $f_{1,13}$. Ponceau voûté de 1^m50 d'ouverture ; — $f_{1,14}$, $f_{1,15}$. Aqueduc voûté de 0^m70 d'ouverture.

CHAPITRE XIII. — PRINCIPALES DIMENSIONS ET DISPOSITIONS DES OUVRAGES DE 8 ^m ET AU-DESSOUS.....	31
---	----

CHAPITRE XIV. — DESSINS A PRODUIRE

Art. 1. — Nomenclature. — Art. 2. — Echelles.....	31
---	----

TITRE II. — DESSINS — TABLEAUX**CHAPITRE I. — OUVRAGES SOUS RAILS EN PLEIN CINTRE****§ 1. — COUPE EN TRAVERS.**

Art. 1. — Dispositions d'ensemble.....	32
Art. 2. — Corps des voûtes et pieds-droits. Appareil.....	32
DESSINS (p. 32). — f_1 . Aqueduc de 0 ^m 70 ; — f_2 . Aqueduc de 1 ^m ; — f_3 . Ponceau de 2 ^m 50 ; — f_4 . Ponceau de 3 ^m 50 ; — f_5 . Pont de 5 ^m ; — f_6 . Pont de 8 ^m	
Art. 3. — Dimensions. — TABLEAU I. — <i>Ouvrages sans surcharge, ou sous une charge ne dépassant pas 3^m</i>	33
TABLEAU II. — <i>Ouvrages sous charge de plus de 3^m</i>	34

§ 2. — BANDEAUX. — TYPES. — DIMENSIONS.

TABLEAU III.....	34
DESSINS (p. 34). — f_7 . Ouvrages à murs en retour. — Aqueducs de 0 ^m 60 et 0 ^m 70 à murs en aile, sous charge de remblai ; — f_8 . Élévation ; — f_9 . Coupe en long sur l'axe.	

§ 3. — MURS EN AILE.

Art. 1. — Plinthes et rampants.	
A. — <i>Plinthe à 0^m10 au-dessous du rail voisin</i>	35
B. — <i>Plinthe à 0^m05 au-dessus de la plate-forme</i>	35
C. — <i>Plinthe sous charge de remblai</i> . — D. — <i>Dimensions</i> . — TABLEAU IV.....	35

TITRE II. — DESSINS. — TABLEAUX (Suite)

Pages.

Art. 2. — Murs avec murettes de retour.....	36
<i>DESSINS</i> (p. 36). — f_{10} . Demi-coupe; — f_{10} . Demi-élévation; — f_{10} . Demi-plan; — f_{11} . Élévation; — f_{12} , f_{13} . Coupes. — TABLEAU V.....	36
Art. 3. — Murs avec dés au lieu de murettes de retour.....	36
TABLEAU VI. — f_{14} , f_{15} . Élévations; — f_{16} . Plan.....	36
Art. 4. — Raccordement de la chape avec les tympans et la plinthe; — f_{17} , f_{18} . Coupes.	36
§ 4. — MURS EN RETOUR.	
Art. 1. — Tracé. Arasement. Position des garde-corps. — Art. 2. Coupe en travers...	37
Art. 3. — Plinthe. — TABLEAU VII.....	37
Art. 4. — Couronnement des ouvrages courants en rase campagne.....	37
<i>DESSINS</i> (p. 37). — Passage inférieur voûté de 4 ^m : — f_{19} . Élévation; — f_{20} , f_{21} . Coupes.	
§ 5. — RADIER.	
Art. 1. — Coupe en travers. — TABLEAU VIII.....	37
Art. 2. — Garde-radier. Parafouilles. — TABLEAU IX.....	37

**CHAPITRE II. — OUVRAGES DROITS SOUS RAILS
EN ELLIPSE SURHAUSSÉE**

PORTÉE DE 2^m ET PLUS. — SURCHARGE DE PLUS DE 5^m

§ 1. — CORPS. — <i>DESSINS</i> . — Type I, Type II.....	38
§ 2. — TÊTES. — <i>DESSINS</i> . — f_{22} , f_{23} . Demi-coupes; — f_{24} . Plan.....	38

CHAPITRE III. — DALOTS..... 39

DESSINS (p. 39). — f_{25} . Coupe en travers; — f_{26} , f_{27} . Coupes en long.**CHAPITRE IV. — BUSES**

CORPS. — Sous rail. Hors la voie. — TÊTES. — Type I, Type II..... 39

CHAPITRE V. — OUVRAGES BIAIS SOUS CHARGE DE REMBLAI

VOÛTES ET TÊTES DROITES. — PLINTHES RAMPANTES. — Dessins, Formules..... 40

**LIVRE II. — VIADUCS
SOUS CHEMIN DE FER A VOIE NORMALE
A ARCHES ÉGALES EN PLEIN CINTRE
A UN SEUL ÉTAGE**

**TITRE I. — VIADUCS EN ALIGNEMENT DROIT
ET EN PALIER**

**CHAPITRE I. — CONDITIONS IMPOSÉES
PAR LA CIRCULATION DES TRAINS ET PAR CELLE DES AGENTS**

Art. 1. — Pourquoi il faut arrêter d'abord le dessus.....	43
Art. 2. — Largeur libre entre garde-corps.....	43
<i>DESSINS</i> (p. 43). — f_1 . Ouvrage à 2 voies. — f_2 . Ouvrage à 1 voie. — f_3 . Détail.	

**TITRE I. — VIADUCS EN ALIGNEMENT DROIT
ET EN PALIER (Suite)**

	Pages.
Art. 3. — Pas de saillie du bahut ou de la lisse supérieure sur la face intérieure du garde-corps	44
Art. 4. — Distance minima t entre l'about des traverses et la face postérieure de la plinthe	44
Art. 5. — Largeur p de la plinthe en dedans de la face intérieure du garde-corps Z, Z_1	44
Art. 6. — Niches de refuge. Largeur. Profondeur. Place	44
Art. 7. — Dessus des plinthes à 0 ^m 10 plus bas que le rail voisin.....	45

**CHAPITRE II. — RECONNAISSANCE DU SOL DE FONDATION
A L'EMPLACEMENT DU VIADUC**

Art. 1. — Quand doit-on faire les sondages ? — Art. 2. — Puits de sondage	45
Art. 3. — Sondages à la tige. — Art. 4. — Nombre et profondeur des sondages	46

**CHAPITRE III. — PREMIÈRES INDICATIONS GÉNÉRALES
POUR FIXER L'OUVERTURE ET LE NOMBRE DES ARCHES
ET DESSINER UNE SILHOUETTE APPROCHÉE DE L'ÉLEVATION**

Art. 1. — Ouverture commune des arches, $2a$	47
Art. 2. — Épaisseur de l'ouvrage. Niveau des clefs des intrados,.....	48
Art. 3. — Première valeur approchée de l'épaisseur des piles aux naissances	48
Art. 4. — Fruit provisoire des piles en élévation. — Art. 5. — Silhouette de l'élévation sur « calque »	48

CHAPITRE IV. — COURONNEMENT

§ 1. — PARAPETS.	
Art. 1. — Parapets en maçonnerie. — A. — <i>Ils sont chers.</i> — B. — <i>Plus de parapets pleins</i>	49
Art. 2. — Garde-corps métalliques. — A. — <i>En fer ou en acier</i>	49
B. — <i>En fonte</i>	50
§ 2. — LARGEUR ENTRE TYMPANS (<i>garde-corps en métal</i>)	51
§ 3. — PLINTHE.	
Art. 1. — Épaisseur h . — Art. 2. — Saillie S . — Art. 3. — Profil. — Art. 4. — Plinthes courantes sous garde-corps en métal	51
Art. 5. — Quelques profils un peu exceptionnels de corniches.....	52
§ 4. — NICHES DE REFUGE. — LEURS PARAPETS, LEURS SUPPORTS.....	52
DESSINS (p. 53).	

CHAPITRE V. — VOÛTES

§ 1. — CORPS.	
Art. 1. — Épaisseur à la clef: $e_c = 0,19 (1 + \sqrt{2a})$	53
Art. 2. — Épaisseur e_1 au milieu de la montée et tracé de l'extrados.	
A. — <i>Ouvertures de 8^m et au-dessus ($e_1 = 2e_c$).</i> — B. — <i>Ouvertures de moins de 8^m</i>	53
§ 2. — BANDEAUX.	
Art. 1. — Épaisseur. — Art. 2. — Saillie. — Art. 3. — Appareil	54
§ 3. — VOÛTES EN OVALE SURHAUSSÉ.....	55

**TITRE I. — VIADUCS EN ALIGNEMENT DROIT
ET EN PALIER (Suite)**

CHAPITRE VI. — PILES

	Pages.
§ 1. — ÉPAISSEURS DES PILES AUX NAISSANCES DES VOÛTES e_1 .	
Art. 1. — Piles à mortier de chaux. — A. — <i>Portées de moins de 8^m</i> . — B. — <i>Portées de 8^m et plus</i>	56
Art. 2. — Piles à mortier de ciment.....	57
§ 2. — FRUIT DES PILES.	
Art. 1. — Ménager sous les naissances, en élévation, un élément vertical.....	58
Art. 2. — Comment on profile les piles.....	58
Art. 3. — Fruits droits constants.	
A. — <i>En élévation</i> . — B. — <i>En travers</i> . — C. — <i>Ressauts</i>	58
Art. 4. — Fruits croissants. — Profils en ligne brisée.....	59
DESSINS (p. 60). — f_{11} . Viaduc de Vezouillac. — f_{12} . Viaduc de la Crueize.	
PHOTOGRAPHIE. — Φ_1 . Viaduc de la Crueize (p. 61).	
Art. 5. — Fruits croissants. Profils en courbe.	
A. — <i>Paraboles du 2^e degré</i> . — B. — <i>Paraboles du 3^e degré</i>	62
DESSINS (p. 63). — f_{11} . Viaduc de l'Escarène (1913-15). Ligne de Nice à Coni. <i>Mortier de chaux</i> . — f_{12} . Viaduc de Chanteloube (projet). Ligne de Charges à Barcelonnette. <i>Mortier de ciment</i> .	
Art. 6. — Hauteur à partir de laquelle on adoptera les fruits courbes.....	64
§ 3. — PILES-CULÉES ENTRE ARCHES ÉGALES. — N'EN PLUS FAIRE.....	64
§ 4. — CONTREFORTS.....	64
PHOTOGRAPHIE (p. 65). — Φ_1 . Viaduc de Piou.	
§ 5. — MASSIF DE FONDATION.	
Art. 1. — En règle générale, dresser le sol horizontalement sans gradins.	
A. — <i>On est sur rocher</i> . — B. — <i>On n'est pas sur rocher</i>	66
Art. 2. — Ne pas s'arrêter à la surface du rocher. S'encastrent dans le vif.....	66
Art. 3. — Bien nettoyer le sol de fondation.....	66
Art. 4. — Il y a des fissures dans le rocher de fondation.....	67
Art. 5. — On trouve, en fondation, deux natures de sol. — Art. 6. — Ressaut.....	67

CHAPITRE VII. — TYMPANS

§ 1. — FRUIT DU PAREMENT VU.	
Art. 1. — Il faut donner du fruit aux tympans.....	68
Art. 2. — Fruits à adopter.	
1 ^{er} Cas. <i>Pile à fruit constant</i> .	
A. — <i>Tympan ayant même fruit que la pile</i> . — B. — <i>Tympan parabolique</i> .	68
2 ^e Cas. <i>Pile à fruit courbe</i>	68
§ 2. — TYMPANS PLEINS.	
Art. 1. — Épaisseur. — Art. 2. — Remplissage entre les tympans.....	69
Art. 3. — Raccordement de l'appareil des tympans avec celui des bandeaux.....	69
§ 3. — TYMPANS ÉLÉGIS.	
Art. 1. — Portée à partir de laquelle on élégit.....	70
Art. 2. — Éléguissements transversaux. — Art. 3. — Éléguissements longitudinaux....	70
Art. 4. — Il faut visiter les élégissements cachés. — Art. 5. — Il faut les aérer.....	71

**TITRE I. — VIADUCS EN ALIGNEMENT DROIT
ET EN PALIER (Suite)**

	Pages.
§ 2. — QUELQUES DÉTAILS D'APPAREIL.	
Art. 1. — Douelle des voûtes. — Art. 2. — Assises de libages coupant les piles	83
§ 3. — PAREMENTS.	
Art. 1. — Façon.	
A. — <i>Taille plate.</i> — B. <i>Bossages.</i> — C. — <i>Ciselures</i>	84
PHOTOGRAPHIES (p. 84). — Φ_1 . Viaduc du Caty. — Φ_2 . Viaduc des Planches.	
Art. 2. — Couleur.....	84
Art. 3. — Piles et tympans.....	85
PHOTOGRAPHIES (p. 85). — Φ_1 . Viaduc d'Arquejols. — Φ_2 . Viaduc de Morez.	
Art. 4. — Culées.....	85

**TITRE II. — DISPOSITIONS SPÉCIALES
AUX VIADUCS EN COURBE**

CHAPITRE I. — VOÛTES EN BERCEAU. — TRACÉ DES TYMPANS

§ 1. — TYMPANS A FACETTES. — CHAQUE FACETTE PLANE ET PARALLÈLE A LA CORDE DU TRACÉ SUR LA PORTÉE DES ARCHES, OU SUR LA LARGEUR DES PILES.....	86
§ 2. — TYMPAN CONVEXE EN COURBE AVEC UN FRUIT SUFFISANT POUR QUE LA CLEF NE SOIT PAS EN PORTE-A-FAUX PAR RAPPORT A UN AUTRE POINT DE L'INTRADOS.	
Art. 1. — Nécessité de ce fruit.....	87
Art. 2. — Surface conique du tympan convexe.	
A. — <i>Définition</i>	87
B. — <i>Intersection de la surface conique du tympan convexe avec la douelle de la voûte</i>	87
C. — <i>Projection de cette intersection sur le plan vertical de la génératrice de clef.</i>	88
Art. 3. — Condition pour qu'il n'y ait pas de porte-à-faux.	
A. — <i>La coupe en travers du tympan est une droite de fruit φ. Il faut $\varphi \geq \frac{r}{R}$</i> ...	88
B. — <i>La coupe en travers du tympan convexe est une parabole. — Soit φ_1 son fruit au niveau du sommet de la voûte. Il faut : $\varphi_1 \geq \frac{r}{R}$</i>	89
Art. 4. — Tracé du tympan convexe suivant le rapport $\frac{r}{R}$.	
A. — <i>Table de $\frac{r}{R}$.</i> — B. $\frac{r}{R} \leq 60^{mm}$	89
C. — $\frac{r}{R} > 60^{mm}$	90
§ 3. — TYMPAN CONCAVE EN COURBE	90

**CHAPITRE II. — VOÛTES NON EN BERCEAU AVEC GÉNÉRATRICES
DES NAISSANCES CONVERGEANT AU CENTRE DE LA COURBE DU TRACÉ**

Art. 1. — Avec les voûtes en berceau, il peut y avoir une différence exagérée entre les largeurs d'une pile à chaque tête. — Art. 2. — Douelle en cône.....	91
Art. 3. — Douelle en conoïde.....	92

**TITRE II. — DISPOSITIONS SPÉCIALES
AUX VIADUCS EN COURBE (Suite)**

Art. 4. — Sujétions d'exécution.....	93
Art. 5. — Fruit des piles.....	94
Art. 6. — Le viaduc est en courbes de rayons différents, ou en raccordement parabolique.....	94

CHAPITRE III. — POSITION DES GARDE-CORPS

Art. 1. — Tracé des garde-corps. — Art. 2. — Surécartement du côté concave.....	94
Art. 3. — Parties en courbes de rayons différents ou en raccordement parabolique.....	94

CHAPITRE IV. — PLINTHES

Art. 1. — Niveau. — Art. 2. — Tracé en plan.....	95
--	----

**TITRE III. — DISPOSITIONS SPÉCIALES
AUX VIADUCS EN RAMPE**

§ 1. — INTRADOS.

Art. 1. — 1 ^{er} SYSTÈME. — Chaque voûte est décrite avec un rayon unique, comme en palier : les naissances, de part et d'autre d'une pile, sont à des niveaux différents.....	96
Art. 2. — 2 ^e SYSTÈME. — Les deux moitiés d'une voûte sont décrites avec un rayon différent : les naissances, de part et d'autre d'une pile, sont au même niveau.....	96

§ 2. — TYMPANS ET CULÉES EN MOELLONS ASSISÉS.....	97
---	----

**TITRE IV. — VIADUC A UN GRAND NOMBRE D'ARCHES
NOMBRE DE CINTRES
EXÉCUTION DES VOÛTES « EN CASCADE »**

Art. 1. — Avec 5 cintres.....	98
Art. 2. — Avec 4 cintres. — Art. 3. — Avec 3 cintres. — Art. 4. — Avec 6 cintres...	100

TITRE V. — CUBES ET DÉPENSES

CHAPITRE I. — UNITÉS ADOPTÉES.....	101
------------------------------------	-----

CHAPITRE II. — CUBES ET DÉPENSES PAR UNITÉ

§ 1. — VIADUCS A DEUX VOIES. — TABLEAU SYNOPTIQUE.....	102
§ 2. — VIADUCS A UNE VOIE. — TABLEAU SYNOPTIQUE.....	105

2^E PARTIE — CALCULS ET ÉPURES

LIVRE I. — COMMENT ON CALCULE UN CINTRE

Pont Adolphe, à Luxembourg

CHAPITRE I. — FERMES

§ 1. — PRESSION NORMALE SUR LE CINTRE, A α° DE LA CLEF.....	111
§ 2. — EFFORTS DANS LES PIÈCES.	

Art. 1. — Vaux. — Art. 2. — Contrefiches : — A. — <i>Suivant le rayon.</i> — B. — <i>Inclinées sur le rayon.</i> — Art. 3. — Chevalement.....	113
---	-----

§ 3. — SECTIONS DES PIÈCES.

Art. 1. — Vaux.....	113
Art. 2. — Contrefiches. — Art. 3. — Arbalétriers.....	114
Art. 4. — Câbles.....	115

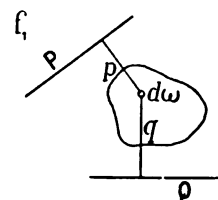
CHAPITRE II. — COUCHIS.....	115
-----------------------------	-----

LIVRE II. — COMMENT ON CALCULE UNE VOÛTE

ARC ÉLASTIQUE INARTICULÉ
SUR APPUIS IMMOBILES

MÉTHODE CULMANN-RITTER

TITRE I. — PRÉAMBULE

MOMENTS DU SECOND DEGRÉ D'UNE SURFACE Ω PAR RAPPORT :A UNE DROITE P ($\Sigma p^2 d\omega$, moment d'inertie)A DEUX DROITES P, Q ($\Sigma pq d\omega$, moment centrifuge, f_1)

CHAPITRE I. — MOMENTS PAR RAPPORT A DEUX AXES

PASSANT PAR LE CENTRE DE GRAVITÉ

§ 1. — LES 2 AXES SONT RECTANGULAIRES.

Pages.

Art. 1. — On a les moments $I_{x_1} = \Omega b^2$, $I_{y_1} = \Omega a^2$ par rapport aux axes GX , GY de l'ellipse centrale d'inertie. Calculer les moments $I_{x_1'}$, $I_{y_1'}$, $I_{x_1'y_1'}$ par rapport à 2 autres axes rectangulaires GX' , GY' 119

Art. 2. — On a les moments $I_{x_1} = \Omega j_{x_1}^2$, $I_{y_1} = \Omega j_{y_1}^2$, $I_{x_1'y_1'}$ par rapport à deux axes rectangulaires quelconques GX' , GY' . Trouver les directions GX , GY et les longueurs a , b , des axes de l'ellipse centrale..... 119

§ 2. — LES 2 AXES SONT DEUX DIAMÈTRES CONJUGUÉS DE L'ELLIPSE CENTRALE D'INERTIE.

Art. 1. — Antipôle π d'une droite Δ , antipolaire Δ d'un point π , par rapport à une ellipse donnée par ses axes a , b ou par 2 diamètres conjugués a' , b' 120

Art. 2. — 2 expressions du moment d'inertie..... 120

CHAPITRE II. — MOMENTS PAR RAPPORT A DES AXES P , Q

NE PASSANT PAS PAR LE CENTRE DE GRAVITÉ

§ 1. — 1^{re} EXPRESSION. — EN FONCTION DES MOMENTS PAR RAPPORT AUX AXES PARALLÈLES P' , Q' PASSANT PAR LE CENTRE DE GRAVITÉ ET DES DISTANCES DE CE CENTRE A P et Q 121

§ 2. — 2^e EXPRESSION. — EN FONCTION DES COORDONNÉES DES EXTRÉMITÉS DES DIAMÈTRES CONJUGUÉS AUX AXES DES MOMENTS..... 121

§ 3. — 3^e EXPRESSION. — EN FONCTION DES DISTANCES AUX AXES D'UN ANTIPÔLE ET DU CENTRE DE GRAVITÉ (THÉORÈME DE CULMANN).
Art. 1. — Moment centrifuge. — Art. 2. — Moment d'inertie..... 122

**TITRE II. — COMMENT, EN PRINCIPE, ON DÉTERMINE
LES RÉACTIONS DES APPUIS DUES A UNE FORCE P
MÉTHODE, FORMULES**

**CHAP. I. — MOUVEMENTS, SOUS L'ACTION D'UNE FORCE P, D'UN POINT J (X, Y)
INVARIABLEMENT LIÉ A UNE RETOMBÉE B, SUPPOSÉE LIBRE,
D'UN ARC ÉLASTIQUE DONT L'AUTRE RETOMBÉE A DEMEURE IMMOBILE**

	Pages.
§ 1. — PRÉLIMINAIRES.....	123
§ 2. — VARIATIONS dX , dY , DUES A LA DÉFORMATION D'UNE TRANCHE INFINIMENT MINCE. ANGLE DE ROTATION $d\theta$ ET CENTRE DE ROTATION.	
Art. 1. — Effort normal N . Couple de flexion M	123
Art. 2. — Effet du couple de flexion M . — Art. 3. — Effet de l'effort normal N . — Art. 4. — Effet résultant.....	124
§ 3. — VARIATIONS ΔX , ΔY DUES A LA DÉFORMATION D'UNE TRANCHE RECTANGULAIRE EN ÉLÉVATION, DE LONGUEUR FINIE L , DANS LAQUELLE E ET I PEUVENT ÊTRE SUPPOSÉS CONSTANTS.....	125
§ 4. — VARIATIONS ωX , ωY DUES A LA DÉFORMATION D'UNE SUITE DE DE TRANCHES RECTANGULAIRES EN ÉLÉVATION, DANS CHACUNE DESQUELLES E ET I PEUVENT ÊTRE SUPPOSÉS CONSTANTS.	
Art. 1. — Pour un point quelconque invariablement lié à l'appui libre. Ellipse élastique. Centre élastique.....	126
Art. 2. — Pour le centre élastique de l'arc.....	128

**CHAPITRE II. — COMMENT, DES DÉPLACEMENTS VIRTUELS ωX , ωY , $\omega\theta$
DU CENTRE ÉLASTIQUE DUS A UNE FORCE P,
ON DÉDUIT LA RÉACTION DE L'APPUI R^B QUI LES ANNULE**

§ 1. — CAS D'UNE FORCE QUELCONQUE P. LA RÉACTION R^B EST, PAR RAP- PORT A L'ELLIPSE « ÉLASTIQUE » DE TOUT L'ARC \mathcal{E} , L'ANTIPOLAIRE DE ϖ , ANTIPÔLE DE LA FORCE P PAR RAPPORT A L'ELLIPSE « ÉLASTIQUE » E_P DE LA PARTIE D'ARC A GAUCHE DE P.....	129
§ 2. — EN PRATIQUE, ON N'A A CONSIDÉRER QU'UNE FORCE VERTICALE V OU UNE HORIZONTALE H.....	129
§ 3. — CAS D'UNE FORCE VERTICALE V.	
Art. 1. — Déplacements $\omega_v\theta$, ω_vX , ω_vY du centre élastique \mathcal{G} sous l'action de V.....	130
Art. 2. — Déplacements $\omega_r\theta$, ω_rX , ω_rY du centre élastique \mathcal{G} sous l'action de R^B ...	130
Art. 3. — En égalant ces déplacements, on a R^B	131
§ 4. — LA RÉACTION R^B PASSE PAR LE CENTRE ÉLASTIQUE \mathcal{G}	131

TITRE III. — ARC DISSYMMÉTRIQUE
COMMENT, EN PRATIQUE, ON CONSTRUIT
LES RÉACTIONS DES APPUIS

CHAPITRE I. — MOMENTS STATIQUES, MOMENTS D'INERTIE,
MOMENTS CENTRIFUGES DES POIDS ÉLASTIQUES.
FUNICULAIRES 1 A 5

	Pages.
§ 1. — CENTRE ÉLASTIQUE. — DIAMÈTRE DE L'ELLIPSE ÉLASTIQUE DE L'ARC CONJUGUÉ A LA VERTICALE.	
Art. 1. — Division de l'arc en tranches T_1, T_2, \dots	132
Art. 2. — Ellipse centrale d'inertie d'une tranche.	
A. — Axes.....	132
B. — Diamètre conjugué à la verticale.....	133
Art. 3. — Poids élastique φ d'une tranche.....	133
Art. 4. — Centre élastique \mathcal{G} de l'arc (centre de gravité des poids élastiques φ appliqués aux centres de gravité des tranches g_1, g_2, \dots).	
A. — Verticale de \mathcal{G} . — Funiculaire 1.....	133
B. — Horizontale de \mathcal{G} . — C. — Vérification par le calcul de la position de \mathcal{G} ..	134
Art. 5. — Diamètre de l'ellipse élastique de l'arc conjugué à la verticale. Axe $X'X'$	135
§ 2. MOMENTS D'INERTIE DES φ PAR RAPPORT A L'AXE VERTICAL $\mathcal{G}Y$ ET A SON CONJUGUÉ $\mathcal{G}X'$. LONGUEURS SUIVANT $\mathcal{G}Y$ ET $\mathcal{G}X'$ DES DIAMÈTRES DE L'ELLIPSE ÉLASTIQUE.	
Art. 1. — Moment d'inertie des φ par rapport à la verticale YY du centre élastique.	
A. — Construction graphique. Funiculaire 3.....	135
B. — Vérification par le calcul.....	136
Art. 2. — Moment d'inertie des φ par rapport à $X'X'$.	
A. — Construction graphique. Funiculaire 4.....	136
B. — Vérification par le calcul.....	137
Art. 3. — Longueur des deux axes conjugués de l'ellipse élastique : a' suivant $X'X'$, b' suivant YY	137
§ 3. — MOMENTS CENTRIFUGES DES φ PAR RAPPORT : D'UNE PART A UN AXE ($\mathcal{G}Y$, OU $\mathcal{G}X'$); D'AUTRE PART A UNE FORCE VERTICALE.	
Art. 1. — Par rapport à YY et à une autre verticale (par exemple V_1).....	137
Art. 2. — Par rapport à $X'X'$ et à la verticale V_1 . Funiculaire 5.....	138

CHAPITRE II. — COMMENT A L'AIDE DES FUNICULAIRES 1 A 5
ON CONSTRUIT LES RÉACTIONS DES APPUIS
DUES A DES FORCES VERTICALES

§ 1. — DANS LES FORMULES p. 131, REMPLACER LES MOMENTS PAR DES LONGUEURS PRISES SUR LES FUNICULAIRES 1, 3, 5.	
Art. 1. — Formules générales.	
1 ^o Réaction de l'appui de droite R^B . — 2 ^o Réaction de l'appui de gauche R^A .	138
Art. 2. — Choix de distances polaires pour simplifier formules et constructions.....	139

TITRE III. — ARC DISSYMMÉTRIQUE (Suite)

	Pages.
Art. 3. — Comment on construit les réactions R^B, R^A	140
§ 2. — COURBE DES INTERSECTIONS ET COURBE ENVELOPPE DES RÉACTIONS.....	140

**CHAPITRE III. — CALCUL, A L'AIDE DES LIGNES D'INFLUENCE,
DES EFFORTS EN KG / 0^m01² A L'INTRADOS β_i ET A L'EXTRADOS β_e ,
D'UNE SECTION QUELCONQUE MM, SOUS L'ACTION D'UNE FORCE 1**

Art. 1. — Expression de β_i et β_e en fonction de la poussée horizontale H et des distances verticales h_e, h_i de m_e, m_i , limites du noyau central, à la résultante R des actions sur MM	141
Art. 2. — Comment, pour une section MM , on construit les lignes d'influence de β_i, β_e	142
Art. 3. — Vérification des points des lignes d'influence sur leur horizontale de base ..	142
Art. 4. — Zônes dans lesquelles les forces produisent des efforts > 0 ou < 0	142

**CHAPITRE IV. — CALCUL DES EFFORTS PAR 0^m01²
DUS — NON PLUS A UNE FORCE 1 — MAIS AUX FORCES (POIDS, SURCHARGES)
AGISSANT RÉELLEMENT SUR L'ARC**

§ 1. — PAR LES LIGNES D'INFLUENCE DES β_i, β_e	143
§ 2. — PAR LES COURBES DE PRESSION	143

CHAPITRE V. — RÉACTION H_r DUE A UNE VARIATION DE TEMPÉRATURE τ...	144
--	------------

**TITRE IV. — ARC SYMÉTRIQUE
EFFORTS DANS LA VOÛTE DU PONT ANTOINETTE**

**CHAPITRE I. — CARACTÉRISTIQUES ÉLASTIQUES DE L'ARC
COURBE DES INTERSECTIONS
ET COURBE ENVELOPPE DES RÉACTIONS**

§ 1. — DIMENSIONS DE LA VOÛTE.....	145
§ 2. — CENTRE ÉLASTIQUE.	
Art. 1. — Division de l'arc en 18 tranches	145
Art. 2. — Axes des ellipses centrales des tranches. Leurs poids élastiques.....	145
Art. 3. — Centre élastique \mathcal{G} de l'arc.	
A. — Construction graphique. Funiculaires 1 et 2 Pl. II.....	146
B. — Vérification par le calcul de la position de \mathcal{G}	146
§ 3. — MOMENTS D'INERTIE DES φ PAR RAPPORT A $\mathcal{G}Y, \mathcal{G}X$. AXES DE L'ELLIPSE ÉLASTIQUE.	
Art. 1. — Moments d'inertie des φ par rapport à $\mathcal{G}Y$.	
A. — Construction graphique. Funiculaire 3 Pl. II.....	146
B. — Vérification par le calcul.....	147

TITRE IV. — ARC SYMÉTRIQUE (Suite)

	Pages.
Art. 2. — Moments d'inertie des φ par rapport à $\mathcal{G}X$.	
A. — Construction graphique. Funiculaire 4. Pl. II.....	147
B. — Vérification par le calcul.....	147
Art. 3. — Demi-axes a'' , b'' de l'ellipse élastique de l'arc.....	147
§ 4. — MOMENTS CENTRIFUGES DES φ PAR RAPPORT : D'UNE PART A UNE FORCE VERTICALE, D'AUTRE PART A XX (funiculaire 5. Pl. II).....	148
§ 5. — RÉACTIONS DUES A UNE CHARGE VERTICALE (Pl. II.)	
Art. 1. — Réactions de $V_s = 1^T$, appliquée au milieu du joint séparant les tranches 4, 5.	148
Art. 2. — Réactions dues à une charge de 1^T appliquée au milieu de toutes les sections qui séparent les tranches. TABLEAU V.....	148
§ 6. — COURBE DES INTERSECTIONS ET COURBE ENVELOPPE DES RÉACTIONS.....	149

CHAPITRE II. — TRAVAIL PAR $\overline{0^m01^2}$ SOUS LE POIDS MORT

§ 1. — POIDS DES TRANCHES ET SUR LES TRANCHES TABLEAU VI.....	149
§ 2. — RÉSULTANTE \mathcal{R} DES RÉACTIONS D'UN APPUI DANS UNE VOÛTE SYMÉTRIQUE ET SYMÉTRIQUEMENT CHARGÉE DE POIDS VERTICAUX.	
Art. 1. — Construction graphique.....	149
Art. 2. — Vérification. — Calcul des ordonnées à l'origine de \mathcal{R}_A	150
§ 3. — TRACÉ DU FUNICULAIRE DES PRESSIONS, EN SE SERVANT DE LA RÉACTION RÉSULTANTE \mathcal{R}_A DE L'APPUI.....	151
§ 4. — COMMENT, DANS UN ARC SYMÉTRIQUE ET SYMÉTRIQUEMENT CHARGÉ DE POIDS VERTICAUX, ON TRACE LE FUNICULAIRE DES PRESSIONS, SANS AVOIR AU PRÉALABLE CONSTRUIT LES RÉACTIONS DES APPUIS (MÉTHODE DE M. GUIDI).	
Art. 1. — Si, par des verticales on transporte sur la courbe des pressions les centres de gravité des tranches et les antipôles de l'axe $\mathcal{G}Y$ par rapport aux ellipses centrales des tranches, et qu'on construise une ellipse des poids élastiques ainsi déplacés, elle a même centre \mathcal{G} , mêmes axes de symétrie $\mathcal{G}Y$, $\mathcal{G}X$ que l'ellipse élastique de l'arc.....	152
Art. 2. — Construction du funiculaire des pressions à l'aide d'un funiculaire auxiliaire (Pl. III).....	153
§ 5. — TRAVAIL PAR $\overline{0^m01^2}$, AU POIDS MORT, A LA CLEF, SUR L'APPUI, ET DANS 2 SECTIONS INTERMÉDIAIRES.....	155

CHAPITRE III. — EFFORTS PAR $\overline{0^m01^2}$ DUS AUX SURCHARGES ROULANTES

§ 1. — SURCHARGE ROULANTE ISOLÉE DE 1^T .	
Art. 1. — Moment de l'effort sur une section S par rapport aux bords du noyau central.....	155

TITRE IV. — ARC SYMÉTRIQUE (Suite)

	Pages.
Art. 2. — Lignes d'influence de β_i et β_e pour 4 sections : la retombée (Section I), 2 autres sections (II, III), et la clef (IV).....	155
§ 2. — SOUS 2 LOCOMOTIVES DE 160 ^T (<i>Train-type du règlement du 8 janvier 1915</i>).....	157
§ 3. — DÉPLACEMENTS VERTICAUX DE LA CLEF AU PASSAGE DU TRAIN D'ÉPREUVE.....	157

CHAPITRE IV. — EFFET D'UN CHANGEMENT DE TEMPÉRATURE DE t°

Art. 1. — Augmentation de travail.....	159
Art. 2. — Déplacements verticaux.....	159

CHAPITRE V. — EFFORTS RÉSULTANTS 160**TITRE V. — VÉRIFICATION GROSSIÈRE
DES ÉPURES D'UNE VOÛTE**

Comparaison avec celles faites pour une voûte dont la fibre moyenne est une parabole ADSB de même portée L et même montée b, et pour laquelle le moment d'inertie I d'une section MM inclinée de α sur la verticale

$$= \frac{I_0 \left(\begin{smallmatrix} \text{moment} \\ \text{à la clef} \end{smallmatrix} \right)}{\cos \alpha} = I_0 \frac{ds}{dx}$$

CHAPITRE I. — HYPOTHÈSES 161**CHAPITRE II. — ARC PARABOLIQUE DISSYMMÉTRIQUE (Pl. V)**

§ 1. — ELLIPSE ÉLASTIQUE.	
Art. 1. — Poids élastiques.....	162
Art. 2. — Centre élastique \mathcal{G}	162
Art. 3. — Diamètre conjugué à la verticale $\mathcal{G}y$.	
A. — Moment d'inertie des φ par rapport à $\mathcal{G}y$	162
B. — Direction $\mathcal{G}x'$ conjuguée à la verticale $\mathcal{G}y$	162
C. — Longueur de l'axe a'' conjugué à la verticale.....	162
Art. 4. — Axe vertical b'' .	
A. — Moment d'inertie des φ par rapport à $\mathcal{G}x'$	162
B. — Axe vertical b'' conjugué à a''	163
Art. 5. — Intersections de l'ellipse élastique et de la fibre moyenne.....	163
§ 2. RÉACTIONS R^B , R^A DES APPUIS B ET A DUES A UNE CHARGE VERTICALE V A v DE L'APPUI A.	
Art. 1. — Moment statique des φ par rapport à V . Funiculaire 1.....	163
Art. 2. — Moment centrifuge des φ par rapport à V et à $\mathcal{G}y$. Funiculaire 3.....	163
Art. 3. — Moment centrifuge des φ par rapport à V et à $\mathcal{G}x'$. Funiculaire 5.....	164
Art. 4. — Réactions des appuis.....	164
Art. 5. — Ligne des intersections des réactions.....	165
Art. 6. — Enveloppe des réactions.....	165

**TITRE V. — VÉRIFICATION GROSSIÈRE DES ÉPURES
D'UNE VOÛTE (Suite)**

§ 3. — COMPARAISON AVEC LA VOÛTE RÉELLE DE MÊME PORTÉE ET MÊME MONTÉE.....	Pages. 165
--	---------------

CHAPITRE III. — ARC PARABOLIQUE SYMÉTRIQUE DE PORTÉE $2a$ (Pl. VI)

§ 1. — ELLIPSE ÉLASTIQUE.	
Art. 1. — Centre.....	166
Art. 2. — Longueur des axes.....	166
Art. 3. — Intersections de l'ellipse élastique et de la fibre moyenne.....	166
§ 2. — RÉACTIONS R^B, R^A DES APPUIS B ET A DUES A UNE CHARGE VERTICALE V , A v DE L'APPUI A .	
Art. 1. — Moment statique des p par rapport à V . Funiculaire 1	166
Art. 2. — Moment centrifuge des p par rapport à V et à Gy . Funiculaire 3	166
Art. 3. — Moment centrifuge des p par rapport à V et à Gx . Funiculaire 5	166
Art. 4. — Réactions R^A, R^B	167
Art. 5. — Ligne des intersections des réactions.....	167
Art. 6. — Enveloppe des réactions.....	167
§ 3. — MOMENT DE FLEXION \mathcal{M}_p DANS UNE SECTION A X DE L'APPUI DE GAUCHE DÛ A LA RÉACTION R^A ($X < v$).....	168
§ 4. — EFFET D'UN CHANGEMENT DE TEMPÉRATURE DE τ^0	168
§ 5. — COMPARAISON AVEC LA VOÛTE DU PONT ANTOINETTE (Pl. II).....	168

TITRE VI. — LES APPUIS DE L'ARC NE SONT PAS INVARIABLES

§ 1. — PRÉAMBULE.....	169
§ 2. — VOÛTES SUR PILES ÉLASTIQUES.....	169
§ 3. — RÉACTION DUE A UN MOUVEMENT NON ÉLASTIQUE DES APPUIS.....	170

3^E PARTIE. — TABLES NUMÉRIQUES

DÉBIT DES OUVRAGES ET DES COURS D'EAU
FORMULES DE M. BAZIN

TABLE T ₁	173
----------------------------	-----

ÉPAISSEUR A LA CLEF

TABLE T ₁ — VOÛTES INARTICULÉES EN PLEIN CINTRE DE PORTÉE $2a$.	174
TABLE T ₂ — VOÛTES SURBAISSÉES EN ELLIPSE, EN ARC.....	176

TABLES NUMÉRIQUES (Suite)

FRUIT MINIMUM φ A DONNER AU TYMPAN CONVEXE
DES PONTS OU VIADUCS EN COURBE DE RAYON R
POUR QU'AUCUN POINT DE L'INTRADOS DU BANDEAU
NE SOIT EN PORTE-A-FAUX
PAR RAPPORT A UN POINT PLUS BAS: $\text{MIN } \varphi = \frac{r}{R}$

TABLE T.	Pages. 176
-----------------------	----------------------

DÉVELOPPEMENT L D'UNE ELLIPSE DE SURBAISSEMENT σ

TABLE T.	177
-----------------------	-----

CALCUL D'UN CINTRE

TABLE T. — PRESSION NORMALE p EN Kg SUR UN M. Q. DE DOUELLE DE CINTRE, A UNE DISTANCE α DE LA CLEF	178
---	-----

TABLE T. — COMPRESSION MOYENNE β_m EN Kg A ADMETTRE PAR $\overline{0^m01^2}$ DE SECTION TRANSVERSALE D'UNE PIÈCE DE BOIS COM- PRIMÉE	178
---	-----

ANNEXES

PONTS A VOÛTES INARTICULÉES OU ARTICULÉES
DE 40^m ET PLUS DE PORTÉE ACHÉVÉS APRÈS 1912
TABLEAUX SYNOPTIQUES. — MONOGRAPHIES

VOÛTES INARTICULÉES EN PLEIN CINTRE C

PONTS A UNE SEULE GRANDE ARCHE
SOUS CHEMIN DE FER A VOIE NORMALE

SÉRIE C¹ F^r ($\geq 40^m$)

TABLEAU SYNOPTIQUE	180
MONOGRAPHIE :	

C¹ F^r ($\geq 40^m$)⁴. — Pont sur la «calanque» des Eaux-Salées (FRANCE, — Bouches-du-Rhône) (1911-1914)	193
--	------------

TEXTE. — 1. Pourquoi on a fait une grande arche (p. 193). — 2. Cintre. —
 3. Fondations (p. 195). — 4. Exécution de la grande voûte. — A. *Epaisseur des*
rouleaux. — B. *1^{er} rouleau* (p. 196). — C. *2^e et 3^e rouleaux.* — D. *Mor-*
tier de matage. — 5. Tassements (p. 197). — 6. Quantités et dépenses
 (p. 198). — 7. Quelques prix d'unité. — A. — *Matériaux à pied d'œuvre.* —
 B. *Salaires.* — 8. Personnel (p. 198).

DESSINS. — f_1 . Elévation aval. — f_2 . Coupe en long. — f_3 . Coupe en travers (p.
 194). — f_4 , f_5 . Cintre (p. 195). — f_6 . Exécution de la grande voûte (p. 196).

PHOTOGRAPHIE. — Φ_1 . Aval (p. 193).

VOÛTES INARTICULÉES EN PLEIN CINTRE C (Suite)**PONTS A UNE SEULE GRANDE ARCHE
SOUS CHEMIN DE FER A VOIE ÉTROITE****SÉRIE C¹ f^r ($\geq 40^m$)**

Pages.

TABLEAU SYNOPTIQUE..... 180

MONOGRAPHIE :

C¹ f^r ($\geq 40^m$)². — **Pont sur la Roizonne**, à 6^k de La Mure (FRANCE, — Isère) (1912-1916) 199

TEXTE. — 1. Intrados. — 2. Hauteur de la voie au-dessus du thalweg (p. 199). — 3. Cintre (p. 201). — 4. Personnel. — SOURCES (p. 202).

DESSINS. — f₁. Ensemble (p. 199). — f₂. Grande voûte (p. 200).

PHOTOGRAPHIES. — Φ_1 (p. 201). — Φ_2 . Cintre en montage. — Φ_3 . Clavage du 2^e rouleau (p. 202).

VOÛTES INARTICULÉES EN ELLIPSE E**PONTS EN DEUX ANNEAUX
A PLUSIEURS GRANDES ARCHES SOUS ROUTE****SÉRIE Eⁿ Eⁿ r^{te} ($\geq 40^m$)**

TABLEAU SYNOPTIQUE..... 182

MONOGRAPHIE :

Eⁿ Eⁿ r^{te} ($\geq 40^m$)². — **Pont de l'Hôtel-Dieu**, sur le Rhône, à **Lyon** (FRANCE) (1912-1916) 203

TEXTE. — Personnel. — SOURCES (p. 204).

DESSINS. — f₁. Ensemble. — f₂. Voûte de 49^m. — f₃. Coupe en travers à la clef (p. 203).

PHOTOGRAPHIES. — Φ_1 . Vue prise de la rive gauche. — Φ_2 . Anneau aval, voûte de 49^m (p. 204).

**PONTS A PLUSIEURS GRANDES ARCHES
SOUS CHEMIN DE FER A VOIE NORMALE****SÉRIE Eⁿ F^r ($\geq 40^m$)**

TABLEAU SYNOPTIQUE 182

MONOGRAPHIE :

Eⁿ F^r ($\geq 40^m$)². — **Pont sur le Tarn**, à **Courris** (FRANCE, — Tarn) (1912-1916) 205

TEXTE. — 1. Un seul cintre pour les 3 voûtes (p. 205). — 2. Dates d'exécution du 1^{er} rouleau des 3 voûtes. — 3. Personnel. — SOURCE (p. 206).

DESSINS. — f₁. Ensemble. — f₂. Arche centrale (p. 205).

PHOTOGRAPHIE. — Φ_1 (p. 206).

VOÛTES INARTICULÉES EN ARC PEU SURBAISSÉ \hat{A}

PONTS A UNE SEULE GRANDE ARCHE SOUS CHEMIN DE FER A VOIE NORMALE

SÉRIE \hat{A}^1 Fr ($\geq 40^m$)

Pages

TABLEAU SYNOPTIQUE..... 184

MONOGRAPHIE :

\hat{A}^1 Fr ($\geq 40^m$)¹². — **Pont de Niagara**, sur la **Rauma** (NORVÈGE) (1914-19..) 207

TEXTE. — SOURCE (p. 207).

DESSIN. — f₁. Ensemble (p. 207).

PONTS A UNE SEULE GRANDE ARCHE SOUS CHEMIN DE FER A VOIE ÉTROITE

SÉRIE \hat{A}^1 fr ($\geq 40^m$)

TABLEAU SYNOPTIQUE..... 184

MONOGRAPHIES :

\hat{A}^1 fr ($\geq 40^m$)⁵. — **Pont** sur la **Vouga** à **Pozo** près de **Pecgueiro do Vouga** (PORTUGAL) (1913)..... 208

TEXTE. — SOURCE (p. 208).

DESSINS. — f₁. Ensemble. — f₂. Grande voûte (p. 208).

\hat{A}^1 fr ($\geq 40^m$)⁶. — **Pont de Pélussin** (FRANCE, — Loire) (1914-1916)..... 209

TEXTE. — SOURCE (p. 209).

DESSINS. — f₁. Ensemble. — f₂. Grande voûte (p. 209).

VOÛTES INARTICULÉES EN ARC ASSEZ SURBAISSÉ \hat{A}

PONTS EN DEUX ANNEAUX A UNE SEULE GRANDE ARCHE SOUS ROUTE

SÉRIE $\hat{A}^1 \hat{A}^1$ r^{te} ($\geq 40^m$)

TABLEAU SYNOPTIQUE..... 186

MONOGRAPHIE :

$\hat{A}^1 \hat{A}^1$ r^{te} ($\geq 40^m$)¹. — **Pont** sur le **Lot**, à **Villeneuve** (FRANCE, — Lot-et-Garonne) (1914-1916)..... 210

TEXTE. — 1. Pont en 2 anneaux. — 2. Fibre moyennée et intrados des grandes voûtes (p. 210). — 3. « Matériau » des grandes voûtes. — 4. Parapet. (Projet) (p. 212). — 5. Exécution des grandes voûtes (p. 213). — 6. Décintrement (p. 214). — 7. Dates d'exécution (p. 216). — 8. Personnel. — 9. Ce qu'enseigne le pont de Villeneuve. — SOURCE (p. 217).

DESSINS. — f₁. Elévation. — Cintre : f₂. 1/2 Elévation ; f₃. Coupe à la clef. — f₄. 1/2 Coupe en travers à la clef (p. 211). — Coffrage entre 2 tranches : f₅. Coupe sur xx ; f₆. Vue par dessus (p. 213). — Dispositif de décintrement : f₇, f₈, f₉. Coupes (p. 215).

PHOTOGRAPHIE. — Φ_1 (p. 216).

VOÛTES INARTICULÉES EN ARC ASSEZ SURBAISSÉ \widehat{A}

(Suite)

**PONTS A UNE SEULE GRANDE ARCHE
SOUS CHEMIN DE FER A VOIE NORMALE****SÉRIE \widehat{A}^1 Fr ($\geq 40^m$)**

Pages

TABLEAU SYNOPTIQUE..... 186

MONOGRAPHIES :

\widehat{A}^1 Fr ($\geq 40^m$)²⁶. — **Pont** sur l'Orkla, à **Orkla** (NORVÈGE, — Drontheim)
(1912-1915)..... 218

TEXTE. — SOURCE (p. 218).

DESSINS. — f_1 . Elévation. — f_2 . Coupe en travers (p. 218).

\widehat{A}^1 Fr ($\geq 40^m$)²⁷. — **Pont** sur la Jora, à **Dombaas** (NORVÈGE) (1913-19..). 219

TEXTE. — SOURCE (p. 219).

DESSINS. — f_1 . 1/2 Elévation. — f_2 . 1/2 Coupe en long (p. 219).

\widehat{A}^1 Fr ($\geq 40^m$)²⁸. — **Pont** de **Gulfos** (NORVÈGE) (1913-19..)..... 219

TEXTE. — SOURCE (p. 219).

DESSINS. — f_1 . 1/2 Elévation. — f_2 . 1/2 Coupe en long. — f_3 . Coupe en travers
(p. 219).**VOÛTES INARTICULÉES $\geq 40^m$ EN BÉTON PEU ARMÉ**

TABLEAU SYNOPTIQUE..... 188

MONOGRAPHIE :

Pont sur le **Tunkhannock Creek** près de **Nicholson** (ETATS-UNIS, —
Pennsylvanie) (1912-1915)..... 220

TEXTE. — 1. Importance de l'ouvrage (p. 220). — 2. Voûtes en 2 anneaux. —
3. Voûtes en béton (p. 221). — 4. Fondations des piles centrales. — 5. Pose du
béton des piles en élévation. — 6. Béton des grandes voûtes. Cintres (p. 222). —
7. Chape. — 8. Joints de dilatation coupant les arches d'évidement. — 9. Per-
sonnel. — SOURCES (p. 224).

DESSINS. — f_1 . Ensemble (p. 220). — f_2 . Coupe à la clef. — f_3 . 1/2 Elévation. —
 f_4 . 1/2 Coupe en long (p. 221). — f_5 , f_6 , f_7 . Coupes du cintre (p. 222). —
 f_8 , f_9 . Entretoisement (p. 223).

PHOTOGRAPHIES. — Φ_1 (p. 220). — Φ_2 (p. 223).

Pont sur le **Martin's Creek** (ETATS-UNIS (1913) 188

Pont sur le **Latah Creek**, à **Spokane** (ETATS-UNIS) (1911-1913).. 188

VOÛTES ARTICULÉES
ARTICULATIONS ROULANTES
ARCS TRÈS SURBAISSÉS $\overset{\curvearrowright}{A}$

PONTS A PLUSIEURS GRANDES ARCHES
SOUS CHEMIN DE FER A VOIE NORMALE

SÉRIE $\overset{\curvearrowright}{A}^n Fr (\geq 40^m)$

Pages.

TABLEAU SYNOPTIQUE.....	190
MONOGRAPHIE :	

$\overset{\curvearrowright}{A}^n Fr (\geq 40^m)^1$. — Pont à 4 voies sur le Neckar, à Cannstatt (ALLE- MAGNE, — Wurtemberg) (1911-1914).....	225
---	-----

TEXTE. — 1. Tracé des têtes (p. 225). — 2. Efforts par $\overline{0^m01^2}$ dans la voûte centrale (p. 226). — 3. Matériaux (p. 227). — 4. Sommiers en béton des rotules. — 5. Joint de dilatation (p. 228). — 6. Chape. — 7. Cintres. — 8. Exécution des grandes voûtes (p. 229). — 9. Décintrement (p. 230). — 10. Personnel. — *SOURCE* (p. 231).

DESSINS. — f_1, f_2 . Ensemble (p. 225). — f_3, f_4, f_5 . Coupes en long et en travers (p. 226). — Rotule de clef et masque du joint de dilatation : f_6, f_7, f_8, f_9 . Coupes (p. 228). — f_{10}, f_{11} . Cintre (p. 229). — f_{12} . Tassements (p. 230).

TABLE ABRÉGÉE DES MATIÈRES

TOMES I, II, III, IV, V

TOME I

(TABLE DÉTAILLÉE — TOME I, p. 248)

AVANT-PROPOS.....	I	
AVERTISSEMENT.....	III	

1^{re} PARTIE — VOÛTES INARTICULÉES

PRÉLIMINAIRES.....	3	
--------------------	---	--

LIVRE I. — DESCRIPTION DES PONTS QUI ONT OU AVAIENT DES VOÛTES INARTICULÉES DE 40^m ET PLUS DE PORTÉE. — TABLEAUX SYNOPTIQUES. — MONOGRAPHIES.

VOÛTES INARTICULÉES EN PLEIN CINTRE C

PONTS A UNE SEULE GRANDE ARCHE SOUS ROUTE

SÉRIE C¹ r^{te} (≥ 40^m)

TABLEAU SYNOPTIQUE.....	10	
MONOGRAPHIES :		
N ^o d'ordre dans la série (≥ 40 ^m) 1 Vieux Pont sur le Tech, à Céret (FRANCE, — Pyrénées-Orientales) (1321-39).....	15	240
2 Pont (actuel) sur l'Allier, à Vieille-Brioude (FRANCE, — Haute-Loire) (1824-31).....	23	240
3 Pont sur le Gave de Pau, à Saint-Sauveur (FRANCE, — Hautes-Pyrénées) (1860-61) ..	27	240
4 Pont sur le Rhône, à Collonges (FRANCE, — Haute-Savoie) (1869-73).....	31	240
5 Pont sur la « Baie » de Clarens, à Brent (SUISSE, — Vaud) (1899-1900).....	34	240

PONTS A UNE SEULE GRANDE ARCHE SOUS CHEMIN DE FER A VOIE NORMALE

SÉRIE C¹ F^r (≥ 40^m)

TABLEAU SYNOPTIQUE.....	38	
MONOGRAPHIES :		
1 Pont sur l'Ayr, à Ballochmyle (ÉCOSSE, — Comté d'Ayr) (1846-48).....	41	250
2 Pont sur le Gave d'Oloron, à Oloron (FRANCE, — Basses-Pyrénées) (1881-82).....	45	250
3 Pont de Rébuzo, sur l'Aude, (FRANCE, — Aude) (1898-1900).....	48	250

**PONTS A UNE SEULE GRANDE ARCHE SOUS CHEMIN DE FER
A VOIE ÉTROITE**

SÉRIE C¹ f^r ($\geq 40^m$)

	Pages Tome I	
	Texte	Table détaillée
TABLEAU SYNOPTIQUE.....	52	
MONOGRAPHIES :		
1 Pont sur l'Albula, à Solis (SUISSE, — Grisons) (1901-02).....	55	250

PONTS A PLUSIEURS GRANDES ARCHES SOUS ROUTE

SÉRIE Cⁿ r^{te} ($\geq 40^m$)

TABLEAU SYNOPTIQUE.....	60	
MONOGRAPHIES :		
1 Pont sur l'Orbieu, près d' Ornaisons (FRANCE, — Aude) (1745-52).....	63	251
2 Pont de l' Avenue du Connecticut sur le Rock Creek, à Washington (ÉTATS-UNIS) (1899-1901, 1904-08).....	67	251

**PONTS A PLUSIEURS GRANDES ARCHES SOUS CHEMIN DE FER
A VOIE NORMALE**

SÉRIE Cⁿ F^r ($\geq 40^m$)

TABLEAU SYNOPTIQUE.....	76	
MONOGRAPHIES :		
1 Pont sur la Marne, à Nogent-sur-Marne (FRANCE, — Seine) (1855-56).....	79	251

VOÛTES INARTICULÉES EN ELLIPSE E

PONTS A UNE SEULE GRANDE ARCHE SOUS ROUTE

SÉRIE E¹ r^{te} ($\geq 40^m$)

TABLEAU SYNOPTIQUE.....	86	
MONOGRAPHIES :		
1 Pont sur la Romanche, à Visille (FRANCE, — Isère) (1751-66).....	93	252
2 Vieux Pont sur l'Agoût, à Lavaur (FRANCE, — Tarn) (1773-91).....	97	252
3 Pont sur l'Hérault, près de Gignac (FRANCE, — Hérault) (1776-1810).....	103	252
4 Pont sur la Severn, à Gloucester (ANGLETERRE) (1826-27).....	107	252
5 Pont sur le Fium'Alto (FRANCE, — Corse) (1862-63).....	110	253
6 Pont Annibal sur le Vulturne, à S. Angelo, près de Capoue (ITALIE) (1868-70).....	112	253
7 Pont du Diable sur le Sele (ITALIE — Province de Salerne) (1871-72).....	116	253
8 Pont de Saint-Pierre sur le Dadou (FRANCE, — Tarn) (1886).....	120	253
9 Pont de l' Avenue Edmondson , à Baltimore (ÉTATS-UNIS, — Maryland) (1908-09).....	122	253

N^{os} d'ordre dans la série
E¹ r^{te} ($\geq 40^m$)

**PONTS A UNE SEULE GRANDE ARCHE
SOUS CHEMIN DE FER A VOIE NORMALE**

SÉRIE E¹ F^r ($\geq 40^m$)

TABLEAU SYNOPTIQUE.....	128	
MONOGRAPHIES :		
1 Pont sur la Pique, à Signac (FRANCE, — Haute-Garonne) (1871-72).....	131	254
2 Pont sur le Verdon, près de La Mure (FRANCE, — Basses-Alpes) (1905-06).....	133	254

PONTS A PLUSIEURS GRANDES ARCHES SOUS ROUTE**SÉRIE $E^n r^{te}$ ($\geq 40^m$)**

	Pages Tome I	
	Texte	Table détaillée
TABEAU SYNOPTIQUE.....	138	
MONOGRAPHIES :		
1 Pont de Londres (London Bridge), sur la Tamise (1824-31).....	147	254
2 Pont de l'Alma, sur la Seine, à Paris (1854-55).....	153	255
3 Pont sur le bras gauche de la Seine, à Mantes (FRANCE, — Seine-et-Oise), recon- struit en 1873-1875.....	160	255
4 Pont sur le Doubs, à Verdun-sur-le-Doubs (FRANCE, — Saône-et-Loire) (1895-97)....	165	255
5 Pont de l'Empereur François, sur la Moldau, à Prague (AUTRICHE, — Bohême) (1898-1901).	168	256
6 Pont sur le Rhône, à Valence (FRANCE, — Drôme) (1901-05).....	173	256
7 Pont Edouard VII, sur la Tamise, à Kew (ANGLETERRE, — Surrey) (1901-03).....	182	256

N° d'ordre dans la série
 $E^n r^{te}$ ($\geq 40^m$)

**PONTS EN DEUX ANNEAUX A PLUSIEURS GRANDES ARCHES
SOUS ROUTE****SÉRIE $E^n E^n r^{te}$ ($\geq 40^m$)**

TABEAU SYNOPTIQUE.....	188	
MONOGRAPHIES :		
1 Pont des Amidonniers, sur la Garonne, à Toulouse (FRANCE) (1904-07).....	193	257

**PONTS A PLUSIEURS GRANDES ARCHES SOUS CONDUITE D'EAU
(AQUEDUCS)****SÉRIE $E^n aq$ ($\geq 40^m$)**

TABEAU SYNOPTIQUE.....	210	
MONOGRAPHIES :		
1 Pont-aqueduc sur la vallée de l'Yonne, près de Pont-sur-Yonne (FRANCE, — Yonne) (1870-73).....	213	258

**PONTS A PLUSIEURS GRANDES ARCHES
SOUS CHEMIN DE FER A VOIE NORMALE****SÉRIE $E^n F^r$ ($\geq 40^m$)**

TABEAU SYNOPTIQUE.....	222	
MONOGRAPHIES :		
1 Pont sur la Big Muddy River (ÉTATS-UNIS, — Illinois) (1901-03).....	225	258

VOÛTES INARTICULÉES EN ELLIPSE SURHAUSSÉE E_h **PONTS A UNE SEULE GRANDE ARCHE
SOUS CHEMIN DE FER A VOIE ÉTROITE****SÉRIE $E_h^1 f^r$ ($\geq 40^m$)**

TABEAU SYNOPTIQUE.....	232	
MONOGRAPHIES :		
1 Pont sur le Landwasser, à Wiesen (SUISSE, — Grisons) (1906-09).....	235	259

TOME II

(TABLE DÉTAILLÉE — TOME II, p. 210)

VOÛTES INARTICULÉES EN ARC PEU SURBAISSÉ \hat{A}

PONTS A UNE SEULE GRANDE ARCHE SOUS ROUTE

SÉRIE $\hat{A}^1 r^{te}$ ($\geq 40^m$)

TABLEAU SYNOPTIQUE..... 10

MONOGRAPHIES :

- 1 *Ancien Pont sur l'Allier, à Vieille-Brioude* (FRANCE, — Haute-Loire) (Peut-être commencé avant 1340; refait ou réparé à partir de 1454; fini avant 1479) (*Écroulé en 1822*).. 15 211
- 2 *Pont sur l'Eygues, à Nyons* (FRANCE, — Drôme) (commencé après 1351; peut-être fini en 1407).. 25 211
- 3 *Pont sur le Doux, près de Tournon* (FRANCE, — Ardèche) (après 1351 — avant 1583).... 35 211
- 4 *Vieux Pont sur le Drac, à Claix* (FRANCE, — Isère) (1608-11)..... 42 212
- 5 *Pont sur l'Astico, à Crespano* (ITALIE, — Vénétie) (1832-36)..... 46 212
- 6 *Pont de Nydeck, sur l'Aar, à Berne* (SUISSE) (1840-44)..... 51 212
- 7 *Pont Saint-Étienne (Stefansbrücke), sur la Ruzbach* (AUTRICHE, — Tyrol) (1842-46).. 55 212

PONTS EN DEUX ANNEAUX

A UNE SEULE GRANDE ARCHE SOUS ROUTE

SÉRIE $\hat{A}^1 \hat{A}^1 r^{te}$ ($\geq 40^m$)

TABLEAU SYNOPTIQUE..... 60

MONOGRAPHIES :

- 1 *Pont Adolphe, sur la vallée de la Pétrusse, à Luxembourg* (1899-1903)..... 67 213
- 2 *Pont de Walnut Lane dans Fairmount Park, sur le Wissahickon Creek, à Philadelphie* (ÉTATS-UNIS) (1906-08)..... 83 214
- 3 *Pont sur la Rocky River, près de Cleveland* (ÉTATS-UNIS, — Ohio) (1908-10)..... 95 215
- 4 *Pont de Sidi-Rached, sur le Rhumel, à Constantine* (FRANCE, — Algérie) (1908-12).. 107 215

PONTS A UNE SEULE GRANDE ARCHE

SOUS CHEMIN DE FER A VOIE NORMALE

SÉRIE $\hat{A}^1 F^r$ ($\geq 40^m$)

TABLEAU SYNOPTIQUE..... 116

MONOGRAPHIES :

- 1 *Pont sur le ruisseau de la Røder, près de Kleinwolmsdorf* (ALLEMAGNE, — Saxe) (1844-45)..... 125 216
- 2 *Pont de Berdoulet, sur l'Ariège* (FRANCE, — Ariège) (1860-61)..... 128 216
- 3 *Pont du Castelet, sur l'Ariège* (FRANCE, — Ariège) (1882-83)..... 130 216
- 4 *Pont sur l'Agoût, à Lavour* (FRANCE, — Tarn) (1882-84)..... 135 216
- 5 *Pont Antoinette, sur l'Agoût* (FRANCE, — Tarn) (1883-84)..... 145 217
- 3, 4, 5 *Ponts du Castelet, de Lavour, Antoinette. Renseignements généraux et prix de revient, rapprochés en tableaux comparatifs*..... 151 217
- 6 *Pont de Wäldlitobel, sur le ravin de Klösterle* (AUTRICHE, — Vorarlberg) (1883-84).. 157 218
- 7 *Pont sur le Tech, à Céret* (FRANCE, — Pyrénées-Orientales) (1883-85)..... 160 218
- 8 *Pont sur le Palmgraben* (Haute-AUTRICHE) (1904-05)..... 164 218
- 9 *Pont sur le Schallgraben* (Haute-AUTRICHE) (1904-05)..... 168 218
- 10 *Pont sur le Rothweinbach* (AUTRICHE, — Carinthie) (1904-05)..... 171 218
- 11 *Pont sur le Gave d'Aspe, à Escot* (FRANCE, — Basses-Pyrénées) (1907-09)..... 174 219

N° d'ordre dans la série $\hat{A}^1 r^{te}$ ($\geq 40^m$)N° d'ordre dans la série $\hat{A}^1 F^r$ ($\geq 40^m$)

Pages Tome II	
Texte	Table détaillée
10	
15	211
25	211
35	211
42	212
46	212
51	212
55	212
60	
67	213
83	214
95	215
107	215
116	
125	216
128	216
130	216
135	216
145	217
151	217
157	218
160	218
164	218
168	218
171	218
174	219

**PONTS A UNE SEULE GRANDE ARCHE
SOUS CHEMIN DE FER A VOIE ÉTROITE**

SÉRIE \hat{A}^1 r^e ($\geq 40^m$)

TABLEAU SYNOPTIQUE.....
MONOGRAPHIES :

- 1 Pont sur la *Gravona* (FRANCE, — Corse) (1884).....
- 2 Pont sur le ravin de *Ramounails* (FRANCE, — Pyrénées-Orientales) (1906-08).....
- 3 Pont sur l'*Inn*, à *Cinuskel* (SUISSE, — Engadine) (1910-12).....
- 4 Pont de *Tuoi*, sur la *Cluozza* (SUISSE, — Engadine) (1911-12).....

**PONTS A PLUSIEURS GRANDES ARCHES
SOUS CHEMIN DE FER A VOIE NORMALE**

TABLEAU SYNOPTIQUE.....
MONOGRAPHIES :

- 1 Pont *Victoria*, sur la *Wear*, près de *Law-Lambton* (ANGLETERRE, — Durham) (1836-38).....

Pages Tome II	
Texte	Table détaillée
178	
183	219
186	219
189	219
194	219
198	
201	220

TOME III

(TABLE DÉTAILLÉE — TOME III, p. 396)

VOÛTES INARTICULÉES EN ARC ASSEZ SURBAISSÉ \hat{A}

PONTS A UNE SEULE GRANDE ARCHE SOUS ROUTE

SÉRIE \hat{A}^1 r^{te} ($\geq 40^m$)

TABLEAU SYNOPTIQUE.....
MONOGRAPHIES :

- 1 Pont sur l'*Adda*, à *Trezzo* (ITALIE, — Lombardie) (1310-77). *Détruit en 1416*....
- 2 Pont dit « *Pont-y-tu-Pridd* », sur la *Tafe*, près de *Newbridge* (ANGLETERRE, — Pays de Galles) (1749-50).....
- 3 Pont de *Grosvenor*, sur la *Dee*, à *Chaster* (ANGLETERRE, — Pays de Galles) (1833-34).....
- 4 Pont sur le torrent *Fegana*, près des *Bains-de-Lucques* (ITALIE, — Province de Lucques) (1845-47) (1874-77).....
- 5 Pont sur le *Drac*, à *Claix* (FRANCE, — Isère) (1873-74).....
- 6 Pont du *Saulnier* sur le *Gardon* de *Sainte-Cécile d'Andorge* (FRANCE, — Lozère) (1882). *(Ecroulé en 1912)*.....
- 7 Pont sur la *Black River*, à *Elyria* (ÉTATS-UNIS, — Ohio) (1886).....
- 8 Pont de la *Main Street*, sur le *Wheeling Creek*, à *Wheeling* (ÉTATS-UNIS, — West-Virginia) (1891-92).....
- 9 Pont de *Bellefield*, sur le *Creux* de *Saint-Pierre*, à *Pittsburg* (ÉTATS-UNIS, — Pennsylvanie) (1896-97).....
- 10 Pont *Frédéric-Auguste*, sur la vallée de la *Syra*, à *Plauen* (ALLEMAGNE, — Saxe-Voigtland) (1903-05).....
- 11 Pont sur la *Singine*, près de *Guggersbach* (SUISSE, — Berne) (1906).....
- 12 Pont sur la *Valserine*, au *Moulin des Pierres*, près de *Montanges* (FRANCE, — Ain) (1908-10).....

Pages Tome III	
Texte	Table détaillée
10	
19	397
26	397
29	397
32	397
36	398
40	398
46	398
47	398
49	399
52	399
50	399
62	400

Nos d'ordre dans la série \hat{A}^1 r^{te} ($\geq 40^m$)

**PONTS A UNE SEULE GRANDE ARCHE
SOUS CONDUITE D'EAU (AQUEDUCS)**

SÉRIE \hat{A}^1 aq ($\geq 40^m$)

TABLEAU SYNOPTIQUE..... 72
MONOGRAPHIES:

- 1 Pont de Cabin-John, sur Cabin-John Creek, près de Washington (ÉTATS-UNIS)
(1857-64)..... 75 400

**PONTS A UNE SEULE GRANDE ARCHE
SOUS CHEMIN DE FER A VOIE NORMALE**

SÉRIE \hat{A}^1 Fr ($\geq 40^m$)

TABLEAU SYNOPTIQUE..... 80
MONOGRAPHIES:

- | | | | |
|--|--|-----|-----|
| N ^{os} d'ordre dans la série \hat{A}^1 Fr ($\geq 40^m$) | 1 & 2 Ponts sur la Scrivia près de Mareta et de Prarolo (ITALIE, — Province de Gênes).
(1851-52)..... | 93 | 401 |
| | 3 & 4 Ponts sur la Scrivia près d'Isola del Cantone (ITALIE, — Province de Gênes) (1852)..... | 98 | 401 |
| | 5 Pont sur l'Oglio, près de Calcio (ITALIE, — Lombardie) (1877-78)..... | 100 | 401 |
| | 6 Pont sur la Vézère, au Gour-Noir (FRANCE, — Corrèze) (1888-89)..... | 103 | 401 |
| | 7 Pont sur la Vézère, à Pouch (FRANCE, — Corrèze) (1890)..... | 110 | 402 |
| | 8 Pont sur la Vézère, à Freyssinet (FRANCE, — Corrèze) (1890-91)..... | 112 | 402 |
| | 9 Pont sur le Pruth, à Jaremcze (AUTRICHE, — Galicie) (1893-94)..... | 114 | 402 |
| | 10 Pont sur le Pruth, à Jamna (AUTRICHE, — Galicie) (1893-94)..... | 118 | 402 |
| | 11 Pont sur le Pruth, près de Worochta (AUTRICHE, — Galicie) (1893-94)..... | 120 | 402 |
| | 12 Pont sur la Gutach (ALLEMAGNE, — Bade) (1899-1900)..... | 122 | 403 |
| | 13 Pont sur le Schwändeholzobel (ALLEMAGNE, — Bade) 1899-1900)..... | 126 | 403 |
| | 14 Pont sur la Chemnitz (ALLEMAGNE, — Saxe) (1901-02)..... | 129 | 403 |
| | 15 Pont sur sur la Diveria (ITALIE, — Province de l'Ossola) (1902)..... | 130 | 403 |
| | 16 Pont sur le Strandeelven, près de Voss (NORVÈGE) (1902-04)..... | 132 | 403 |
| | 17 Pont sur le Krenngraben, près de Dirnbach (Haute-AUTRICHE) (1904-05)..... | 134 | 404 |
| | 18 Pont sur la Steyring (Haute-AUTRICHE) (1904-05)..... | 137 | 404 |
| | 19 Pont sur l'Isonzo, près de Salcano (AUTRICHE, — Küstenland) (1904-06)..... | 141 | 404 |
| | 20 Pont sur le Hallingdalselven, à Svenkerud (NORVÈGE) (1905-07)..... | 150 | 405 |
| | 21 Pont sur la Murg, près de Langenbrand (ALLEMAGNE, — Bade) (1907-09)..... | 152 | 405 |
| | 22 Pont sur la Charente, près de Lusserat (FRANCE, — Charente-Inférieure) (1908-10)..... | 155 | 405 |
| | 23 Pont sur le Nidelven, à Boilefos (NORVÈGE) (1908-19..)..... | 159 | 405 |
| | 24 Pont sur la Thur, à Lichtensteig (SUISSE, — Saint-Gall) (1907-09)..... | 161 | 406 |
| | 25 Pont sur la Thur, à Krummenau (SUISSE, — Saint-Gall) (1910-11)..... | 164 | 406 |

PONTS A PLUSIEURS GRANDES ARCHES SOUS ROUTE

SÉRIE \hat{A}^n r^{te} ($\geq 40^m$)

TABLEAU SYNOPTIQUE..... 170
MONOGRAPHIES:

- 1 Pont du Vieux-Château (Castelvecchio) sur l'Adige, à Vérone (ITALIE) (1354-56).... 173 406
2 Pont sur le ruisseau de Tamié, près de Seythenex (FRANCE, — Haute-Savoie) (1908-11). 177 406

**PONTS A PLUSIEURS GRANDES ARCHES
SOUS CHEMIN DE FER A VOIE NORMALE**

SÉRIE \hat{A}^n Fr ($\geq 40^m$)

TABLEAU SYNOPTIQUE..... 182
MONOGRAPHIES:

- 1 Pont sur l'Isonzo, près de Canale (AUTRICHE, — Küstenland) (1904-06)..... 185 407

VOÛTES INARTICULÉES EN ARC TRÈS SURBAISSÉ \bar{A}

PONTS A UNE SEULE GRANDE ARCHE SOUS ROUTE

SÉRIE $\bar{A}^1 r^{te}$ ($\geq 40^m$)TABLEAU SYNOPTIQUE.....
MONOGRAPHIES:N^{os} d'ordre dans la série
 $\bar{A}^1 r^{te}$ ($\geq 40^m$)

1 Pont Mosca, sur la Dora Riparia, à Turin (ITALIE) (1834).....	199	407
2 Pont sur la Nagold, à Teinach (ALLEMAGNE, — Wurtemberg) (1882).....	203	407
3 Pont sur la Murg, à Huzenbach (ALLEMAGNE, — Wurtemberg) (1889).....	206	408
4 Pont sur la Malapane, à Wengern (ALLEMAGNE, — Silésie) (1904).....	207	408
5 Pont sur la Freiwaldauer Biele, à Ziegenhals (ALLEMAGNE, — Silésie) (1905).....	208	408
6 Pont sur la Glatzer Neisse, à Michelau (ALLEMAGNE, — Silésie) (1905-06).....	209	408
7 Pont sur la Queis, à Neuhammer (ALLEMAGNE, — Silésie) (Projet : 1905).....	211	408
8 Pont sur la Bartsch, à Schwusen (ALLEMAGNE, — Silésie) (1907).....	213	408
9 Pont sur la Freiwaldauer Biele, à Kupferhammer (ALLEMAGNE, — Silésie) (1907).....	214	408

PONTS A UNE SEULE GRANDE ARCHE SOUS CONDUITE D'EAU

(AQUEDUCS)

SÉRIE $\bar{A}^1 aq$ ($\geq 40^m$)TABLEAU SYNOPTIQUE.....
MONOGRAPHIES:

1 Pont sur la Murg, près de Weisenbach (ALLEMAGNE, — Grand Duché de Bade) (1885).....	219	409
---	-----	-----

PONTS A UNE SEULE GRANDE ARCHE
SOUS CHEMIN DE FER A VOIE NORMALESÉRIE $\bar{A}^1 Fr$ ($\geq 40^m$)TABLEAU SYNOPTIQUE.....
MONOGRAPHIES:

1 Pont de Bellows Falls sur le Connecticut (ÉTATS-UNIS, — Vermont) (1899).....	225	409
--	-----	-----

PONTS A PLUSIEURS GRANDES ARCHES SOUS ROUTE

SÉRIE $\bar{A}^n r^{te}$ ($\geq 40^m$)TABLEAU SYNOPTIQUE.....
MONOGRAPHIES:N^{os} d'ordre dans la série
 $\bar{A}^n r^{te}$ ($\geq 40^m$)

1 Pont de Putney, sur la Tamise (ANGLETERRE) (1882-83).....	230	409
2 Pont Boucicaut, sur la Saône, à Verjux (FRANCE, — Saône-et-Loire) (1888-90)...	243	410
3 Pont sur la Moselle, à Mehrling (ALLEMAGNE, — Prusse Rhénane) (1903-04).....	252	410
4 Pont sur la Loire, à Orléans (FRANCE, — Loiret) (1904-06).....	255	410
5 Pont sur l'Hotzenplotz, à Krappitz (ALLEMAGNE, — Silésie) (1905).....	265	411
6 Pont sur la Freiwaldauer Biele, à Gross-Kunzendorf (ALLEMAGNE, — Silésie).....	267	411
7 Pont sur la Moselle, à Schweich (ALLEMAGNE, — Prusse Rhénane) (1905-06).....	268	411
8 Pont sur le Rhône, à Avignon (FRANCE, — Vaucluse) (1905-09).....	270	412
9 Pont sur la Moselle, à Trittenheim (ALLEMAGNE, — Prusse Rhénane) (1907-08)...	276	412
10 Pont sur la Moselle, à Longuich (ALLEMAGNE, — Prusse Rhénane) (1909-11).....	279	412

QUELQUES VOÛTES INARTICULÉES**QU'ON AURAIT, A TORT, CHERCHÉES AU LIVRE I****TITRE I. — VOÛTES INARTICULÉES $\geq 40^m$ EN BÉTON PEU ARMÉ**

TABLEAU SYNOPTIQUE..... 284
 MONOGRAPHIES:

1 Pont sur la Delaware, près de Portland (ÉTATS-UNIS, — Pennsylvanie) (1909-10)...	289	413
2 Pont de la Monroe Street, à Spokane (ÉTATS-UNIS, — Washington) (1909-11).....	293	413
3 Pont sur la Bober, à Boberullersdorf (PRUSSE, — Silésie) (1908).....	298	413
4 Pont sur l'Alme, à Elsen (PRUSSE, — Cercle de Paderborn) (1909-11).....	300	413
5 Pont sur la Fulda, à Cassel (Prusse) (1909-10).....	302	413

TITRE II. — VOÛTES INARTICULÉES $\geq 40^m$ **TOMBÉES PENDANT QU'ON LES CONSTRUISAIT**

1 Pont de Marbre, à Pise (ITALIE) (<i>Indiqué sous toutes réserves</i>). Arc de 72^m389 (?), tombé en 1644.....	305	414
2 Pont de Mansart, sur l'Allier, à Moulins (ALLIER) <i>Emporté en 1710</i> . (Arche centrale : 44^m83).....	305	414
3 Pont sur le Panaro, près de Modène (ITALIE) Arche de 49^m376 , tombée en 1789....	307	414
4 Pont de Saint-Georges, sur le Liri (ITALIE) Voûte de 45^m , tombée en 1873.....	307	414

TITRE III. — VOÛTES INARTICULÉES**AUXQUELLES ON A ATTRIBUÉ A TORT 40^m DE PORTÉE OU PLUS****III. A. — PONTS QUI EXISTENT MAIS QUI N'ONT PAS 40^m**

1 Pont Saint-Martin, sur le Tage, à Tolède (ESPAGNE, — Nouvelle-Castille).....	309	414
2 Pont d'Orense, sur le Miño (ESPAGNE, — Galice).....	311	414
3 Pont du Diable, sur le Llobregat, à Martorell (ESPAGNE, — Catalogne).....	313	414
4 Pont de Villeneuve d'Agen, sur le Lot (LOT-ET-GARONNE).....	315	414

III. B. — PONTS RUINÉS

1 Pont sur la Nera, près de Narni (ITALIE, — Ombrie).....	317	414
2 Pont de Trajan, sur le Danube (HONGRIE).....	317	414
3 Pont de Justinien, sur le fleuve Sangaris (ASIE-MINEURE).....	318	414

III. C. — PONTS QUI N'ONT JAMAIS EXISTÉ

1 Pont de Marbre, sur l'Arno, à Florence (ITALIE).....	319	414
--	-----	-----

**LIVRE II. — CE QUE L'EXPÉRIENCE ENSEIGNE
DE SPÉCIAL AUX VOÛTES INARTICULÉES****TITRE I. — COMMENT ON TRACE UNE VOÛTE**

CHAPITRE I. — PREMIÈRES INDICATIONS.....	323	415
--	-----	-----

CHAPITRE II. — COURBES D'INTRADOS.....	324	415
--	-----	-----

§ 1. Plein cintre **C**, p. 324. — § 2. Courbes elliptiques surbaissées **E**, p. 324. —
 § 3. Courbes elliptiques surhaussées **E_h**, p. 335. — § 4. Arcs surbaissés **A**, p. 335. —
 § 5. Ogives **O**, p. 339.

CHAPITRE III. — ÉPAISSEUR D'UNE VOÛTE.....	341	416
--	-----	-----

§ 1. Épaisseur à la clef **e₀**, p. 341. — § 2. Épaisseur aux reins **e₁**. — Extrados caché par des tympans pleins **e₁ = λ e₀**, p. 344.

§ 3. Ce que valent les formules empiriques proposées pour e_0 et e_1 , p. 345. — § 4. — Extras du corps des voûtes, p. 345.

		Pages Tome III	
		Texte	Table détaillée
CHAPITRE IV. — BANDEAUX.....		347	416
§ 1. Bandeaux sous tympans pleins, p. 347. — § 2. Bandeaux sous tympans traversés par des évidements apparents, p. 349.			
TITRE II. — COMMENT ON CALCULE LES EFFORTS DANS LES GRANDES VOÛTES HYPOTHÈSE ÉLASTIQUE			
CHAPITRE I. — COMMENT ON DÉTERMINE, POUR UNE SECTION QUELCONQUE, L'EFFORT NORMAL ET LE COUPLE DE FLEXION.....		351	417
§ 1. Composantes de l'effort total sur une section. Couple de flexion, p. 351. — § 2. Si on connaît la réaction d'un appui, on peut pour chaque section calculer ou construire l'effort normal N et son bras de levier u , p. 353. — § 3. Comment on détermine la réaction d'un appui, p. 353.			
CHAPITRE II. — ON CONNAIT L'EFFORT TOTAL N SUR UNE SECTION, SA DISTANCE u AU CENTRE DE GRAVITÉ COMMENT N SE DISTRIBUE-T-IL SUR LA SECTION? EFFORTS PAR UNITÉ EN CHAQUE POINT.....		359	417
§ 1. Formules, p. 359. — § 2. Représentation graphique, p. 359.			
TITRE III. — RELATION ENTRE LES CHARGES ET LA FORME DE LA VOÛTE			
CHAPITRE I. — ON DOIT TRACER LA FIBRE MOYENNE DE FAÇON QUE LES COURBES DE PRESSION S'EN ÉCARTENT LE MOINS POSSIBLE.....		361	418
CHAPITRE II. — CAS D'UNE VOÛTE INFINIMENT MINCE.....		362	418
<i>Relation entre : d'une part, la forme d'une voûte infiniment mince, incompressible, dont chaque élément s'oriente suivant la résultante des forces qui lui sont appliquées, c'est-à-dire une courbe funiculaire des charges ; d'autre part, une ligne limitant les charges verticales comptées à partir de la voûte, dite ligne de charge.</i>			
§ 1. Préliminaires, p. 362. — § 2. De la fibre moyenne, déduire la ligne de charge, c'est-à-dire comment faut-il charger une voûte pour qu'elle soit une courbe funiculaire des charges? p. 364. — § 3. Relations entre quelques formes de funiculaires et quelques dispositions des charges, p. 367.			
CHAPITRE III. — VOÛTE D'ÉPAISSEUR FINIE SOUmise A DES CHARGES OU SURCHARGES CONTINUES.....		368	418
<i>Recherche par le calcul de la forme à lui donner pour que le travail maximum y dépasse peu le travail moyen, c'est-à-dire pour que les courbes de pression s'écartent peu de la fibre moyenne.</i>			
§ 1. Hypothèses admises, p. 368. — § 2. Méthode de M. Tourtay, p. 369. — § 3. Méthode de M. Legay, p. 370. — § 4. — Méthode de Tolkmitt, p. 371. — § 5. Observations sur toutes ces méthodes, p. 372.			
CHAPITRE IV. — UN ARC EST DIT ÉLASTIQUE QUAND LES DÉFORMATIONS Y SONT PROPORTIONNELLES AUX EFFORTS (HYPOTHÈSE DE HOOKE) ET QU'UNE SECTION PLANE RESTE PLANE APRÈS FLEXION (HYPOTHÈSE DE NAVIER). DANS QUELLES LIMITES EST-CE VRAI POUR LES VOÛTES ET A-T-ON LE DROIT DE LES CALCULER COMME ÉLASTIQUES ?.....		372	419
§ 1. Expériences de laboratoire. Pour les voûtes en pierre, il n'y a pas, à proprement parler, de coefficient d'élasticité, c'est-à-dire que pour elles l'hypothèse de Hooke est fautive, p. 372. — § 2. Expériences sur des voûtes, p. 375. — § 3. Quelques autres indications de l'élasticité des maçonneries, p. 378. — § 4. Conclusions. Jusqu'à ce qu'on en ait une meilleure pour calculer le travail des voûtes, accepter, malgré ses défauts, l'hypothèse élastique, p. 380.			

ANNEXE

ÉPAISSEUR A LA CLEF DES VOÛTES INARTICULÉES

Valeur du coefficient $\alpha = \frac{e_s \text{ (Épaisseur à la clef)}}{[1 + \sqrt{2\alpha \text{ (Portée)}}] \mu \text{ (Fonction du surbaissement } \sigma)}$
 pour 562 ouvrages (environ 3.300 voûtes), types non comptés.....

Pages Tome III	
Texte	Table détaillée
383	420

TOME IV

(TABLE DÉTAILLÉE. — TOME IV, p. 287)

2^e PARTIE. — VOÛTES ARTICULÉES

INTRODUCTION A L'ÉTUDE DES VOÛTES ARTICULÉES.....

LIVRE I. — POURQUOI ET COMMENT ON A ARTICULÉ
DES VOÛTESTYPES D'ARTICULATIONS — *PRINCIPES* — *FORMULES*
EXPÉRIENCES — HISTORIQUE

CLASSEMENT DES VOÛTES ARTICULÉES

TITRE I. — POURQUOI ON A ARTICULÉ DES VOÛTES.....

TITRE II. — PROPRIÉTÉ DE LA MATIÈRE QUI PERMET LES ARTICULATIONS...

TITRE III. — COMMENT ON A ARTICULÉ LES VOÛTES : QUATRE TYPES
D'ARTICULATIONS

CHAPITRE I. — ARTICULATIONS SUR PLOMB.....

§ 1. Principe, p. 8. — § 2. Propriétés du plomb, p. 8. — § 3. Comment une bande de plomb réalise une articulation, p. 10.

CHAPITRE II. — ARTICULATIONS ROULANTES.....

§ 1. Principe, p. 10. — § 2. Formules théoriques donnant : 1^o la largeur en 0^m01 de la bande de contact; 2^o le travail maximum par 0^m01² au contact, p. 10. — § 3. Expériences sur des articulations roulantes en pierre, en béton, p. 14.

CHAPITRE III. — ARTICULATIONS TOURNANTES.....

§ 1. Principe, p. 21. — § 2. Calculs, p. 21. — § 3. Essais de M. le Professeur Föppl, à Munich, au laboratoire d'essais de matériaux (1901), p. 22. — § 4. Rotations autour des appuis, mouvements de la clef pour un changement de température et un déplacement des appuis, p. 23.

CHAPITRE IV. — ARTICULATIONS A GENOU.....

TITRE IV. — HISTORIQUE. ARTICULER LES VOÛTES EST UNE IDÉE FRANÇAISE

§ 1. C'est Dupuit qui a émis le premier (en 1870), l'idée d'articuler les voûtes.....

§ 2. Application en Allemagne, après 1880, de l'idée de Dupuit.....

TITRE V. — CLASSEMENT DES VOÛTES ARTICULÉES

§ 1. Classement des voûtes articulées suivant le type d'articulation.....

§ 2. Distinction entre les voûtes « semi-articulées » (c'est-à-dire articulées temporairement, au poids mort seulement, les articulations étant condamnées avant l'ouverture à la circulation), et les voûtes « articulées » (c'est-à-dire de façon permanente, sous le poids mort, les surcharges, pour les variations de température).....

§ 3. Séries dans lesquelles ont été classées les voûtes articulées $\geq 40^m$

Pages Tome IV	
Texte	Table détaillée
3	287
7	287
7	287
8	287
10	288
21	288
26	288
26	289
28	289
28	289
28	289
20	289

LIVRE II. — DESCRIPTION DES PONTS QUI ONT OU
AVAIENT DES VOÛTES ARTICULÉES DE 40^m ET
PLUS DE PORTÉE. — TABLEAUX SYNOPTIQUES. —
MONOGRAPHIES.

1°. — VOÛTES SEMI-ARTICULÉES

ARTICULATIONS SUR PLOMB

ARCS TRÈS SURBAISSÉS

PONTS A UNE SEULE GRANDE ARCHE SOUS ROUTE

SÉRIE $\overset{\text{A}^1}{\text{A}}$ 1^{re} ($\geq 40^m$)

TABLEAU SYNOPTIQUE.....	38	
MONOGRAPHIES :		
1 Pont sur l'Enz, près de Hôfen (ALLEMAGNE, — Wurtemberg) (1885).....	41	289
2 Pont sur la Murr, près de Marbach (ALLEMAGNE, — Wurtemberg) (1886-87).....	45	290
3 Pont sur la Murg, près de Baiersbronn (ALLEMAGNE, — Wurtemberg) (1889).....	48	290

ARTICULATIONS A GENOU

ARCS TRÈS SURBAISSÉS

PONTS A UNE SEULE GRANDE ARCHE SOUS ROUTE

SÉRIE $\overset{\text{A}^1}{\text{A}}$ 1^{re} ($\geq 40^m$)

TABLEAU SYNOPTIQUE.....	52	
MONOGRAPHIES :		
1 Pont sur le Danube, à Munderkingen (ALLEMAGNE, — Wurtemberg) (1893).....	55	290

PONTS A UNE SEULE GRANDE ARCHE SOUS CHEMIN DE FER A VOIE NORMALE

SÉRIE $\overset{\text{A}^1}{\text{A}}$ Fr ($\geq 40^m$)

TABLEAU SYNOPTIQUE.....	62	
MONOGRAPHIES :		
1 Pont sur l'Adda, près de Morbegno (ITALIE, — Valteline) (1902-03).....	65	291

PONTS A PLUSIEURS GRANDES ARCHES SOUS ROUTE

SÉRIE $\overset{\text{A}^n}{\text{A}}$ 1^{re} ($\geq 40^m$)

TABLEAU SYNOPTIQUE.....	78	
MONOGRAPHIES :		
1 Pont de la Coulouvrenière, sur le Rhône, à Genève (SUISSE) (1895-96).....	81	291

2°. — VOÛTES ARTICULÉES (DE FAÇON PERMANENTE)

ARTICULATIONS SUR PLOMB

ELLIPSES

PONTS A PLUSIEURS GRANDES ARCHES SOUS CHEMIN DE FER A VOIE NORMALE

SÉRIE $\overset{\text{E}^n}{\text{E}}$ Fr ($\geq 40^m$)

TABLEAU SYNOPTIQUE.....	92	
MONOGRAPHIES :		
1 Pont sur l'Alz, à Garching (ALLEMAGNE, — Bavière) (1907-08).....	95	292

		Pages	
		Tome IV	
		Texte	Table détaillée
ARTICULATIONS ROULANTES			
ELLIPSES			
PONTS A PLUSIEURS GRANDES ARCHES SOUS CHEMIN DE FER A VOIE NORMALE			
SÉRIE \hat{E}^n F^r ($\geq 40^m$)			
TABLEAU SYNOPTIQUE.....		104	
MONOGRAPHIES :			
1 Pont sur la Chemnitz, à Chemnitz (ALLEMAGNE, — Saxe) (1898-1900).....		107	292
ARCS PEU SURBAISSÉS			
PONTS A UNE SEULE GRANDE ARCHE SOUS CHEMIN DE FER A VOIE NORMALE			
SÉRIE \hat{A}^1 F^r ($\geq 40^m$)			
TABLEAU SYNOPTIQUE.....		112	
MONOGRAPHIES :			
1, 2, 3 3 Ponts sur l'Iller, près de la gare de Kempton (ALLEMAGNE, — Bavière) (1906).....		115	293
ARCS TRÈS SURBAISSÉS			
PONTS A UNE SEULE GRANDE ARCHE SOUS ROUTE			
SÉRIE \hat{A}^1 r^{to} ($\geq 40^m$)			
TABLEAU SYNOPTIQUE.....		124	
MONOGRAPHIES :			
1 Pont sur la Leine, près de Grasdorf (ALLEMAGNE, — Hanovre) (1899-1900).....		129	293
2 Pont sur la Zwickauer Mulde, près de Göhren (ALLEMAGNE, — Saxe) (1903-04)....		139	294
3 Pont de la Wallstrasse, à Ulm (ALLEMAGNE, — Wurtemberg) (1904-05).....		143	294
4 Pont Elise, sur le bras droit du Danube, à Neubourg (ALLEMAGNE, — Bavière) (1906-07).....		151	294
PONTS A UNE SEULE GRANDE ARCHE SOUS CHEMIN DE FER A VOIE NORMALE			
SÉRIE \hat{A}^1 F^r ($\geq 40^m$)			
TABLEAU SYNOPTIQUE.....		156	
MONOGRAPHIES :			
1 Pont sur l'Iller, à Illerbeuren (ALLEMAGNE, — Souabe bavaroise) (1903-04).....		159	295
PONTS A PLUSIEURS GRANDES ARCHES SOUS ROUTE			
SÉRIE \hat{A}^n r^{to} ($\geq 40^m$)			
TABLEAU SYNOPTIQUE.....		166	
MONOGRAPHIES :			
1 Pont sur la Moselle, près de Malling (ALLEMAGNE, — Lorraine) (1899-1901).....		175	295
2 Pont sur le Neckar, à Hochberg (ALLEMAGNE, — Wurtemberg) (1901-03).....		177	295
3 Pont Cornélius, sur l'Isar, à Munich (ALLEMAGNE, — Bavière) (1902-03).....		180	295
4 Pont de Reichenbach, sur l'Isar, à Munich (ALLEMAGNE, — Bavière) (1902-03).....		183	296
5 Pont sur le Neckar, à Neckargartach (ALLEMAGNE, — Wurtemberg) (1903-05).....		186	296
6 Pont Maximilien, sur le bras droit de l'Isar, à Munich (ALLEMAGNE, — Bavière) (1903-05).....		192	296
7 Pont de Wittelsbach, sur l'Isar, à Munich (ALLEMAGNE, — Bavière) (1904-05).....		199	297
8 Pont sur la Moselle, près de Moulins-les-Metz (ALLEMAGNE, — Lorraine) (1904-05).....		202	297
9 Pont sur le Neckar, à Mannheim (ALLEMAGNE, — Grand-Duché de Bade) (1905-08).....		206	297
ARCS ASSEZ SURBAISSÉS			
PONTS A UNE SEULE GRANDE ARCHE SOUS ROUTE			
SÉRIE \hat{A}^1 r^{to} ($\geq 40^m$)			
TABLEAU SYNOPTIQUE.....		210	
MONOGRAPHIES :			
1 Pont sur la Lahn, à Gräveneck (ALLEMAGNE, — Prusse, — Hesse) (1911-12).....		213	298

N° d'ordre dans la série

 \hat{A}^n r^{to} ($\geq 40^m$)

		Pages	
		Tome IV	
		Texte	Table détaillée
ARTICULATIONS TOURNANTES			
ARCS TRÈS SURBAISSÉS			
PONTS A UNE SEULE GRANDE ARCHE SOUS ROUTE			
SÉRIE $\overset{\text{A}}{\infty}$ 1^{re} $\geq 40^m$			
TABLEAU SYNOPTIQUE.....	220		
MONOGRAPHIES :			
1 Pont sur le Danube, à <i>Inzigkofen</i> (ALLEMAGNE, — Hohenzollern) (1895).....	225	298	
2 Pont sur le Neckar, près de <i>Neckarhausen</i> (ALLEMAGNE, — Hohenzollern) (1899-1900)	232	299	
3 Pont du Prince-Régent, sur l'Isar, à <i>Munich</i> (ALLEMAGNE, — Bavière) (1900-01).....	239	299	
4 Pont <i>Max-Joseph</i> , sur l'Isar, à <i>Munich</i> (ALLEMAGNE, — Bavière) (1901-02).....	242	299	
TABLEAU SYNOPTIQUE GÉNÉRAL DES PONTS AYANT DES VOÛTES $\geq 40^m$			
SEMI-ARTICULÉES OU ARTICULÉES.....	246	299	
VOÛTE ARTICULÉE $> 40^m$ EN BÉTON PEU ARMÉ, QU'ON AURAIT, A TORT,			
CHERCHÉE AU LIVRE II			
TABLEAU SYNOPTIQUE.....	250		
MONOGRAPHIE :			
Pont sur le Danube, à <i>Sigmaringen</i> (ALLEMAGNE, — Hohenzollern) (1907-09).....	253	300	
 LIVRE III. — CE QUE L'EXPÉRIENCE ENSEIGNE			
DE SPÉCIAL AUX VOÛTES ARTICULÉES			
TITRE I. — DISPOSITIONS — DIMENSIONS — AVANTAGES — INCONVÉNIENTS			
DE CHAQUE TYPE D'ARTICULATION			
CHAPITRE I. — ARTICULATIONS SUR PLOMB.....	260	300	
CHAPITRE II. — ARTICULATIONS ROULANTES.....	263	301	
§ 1. Articulations roulantes en acier, p. 263. — § 2. Articulations roulantes en pierre, en béton, en béton armé, p. 266.			
CHAPITRE III. — ARTICULATIONS TOURNANTES			
<i>Balanciers tournant autour d'un tourillon.....</i>	269	301	
CHAPITRE IV. — ARTICULATIONS A GENOU , employées seulement comme articulations provisoires, puis condamnées. — <i>Rotules d'acier prises dans des caissons en tôle.....</i>	271	301	
CHAPITRE V. — DISPOSITIONS DES ARTICULATIONS DANS LES PONTS BIAIS.....	272	301	
TITRE II. — QUELQUES DIMENSIONS ET DISPOSITIONS SPÉCIALES			
AUX VOÛTES ARTICULÉES.....			
§ 1. Renflement aux « joints de rupture », p. 273. — § 2. Epaisseurs, p. 273. — § 3. Joints de dilatation, p. 276.	273	301	
TITRE III. — QUELQUES ÉLÉMENTS DE COMPARAISON ENTRE LES VOÛTES			
INARTICULÉES ET ARTICULÉES.....			
§ 1. Prix de revient, p. 276. — § 2. Mouvements de la clef : au décintrement, aux changements de température, p. 277.	276	302	
TITRE IV. — QUELLES VOÛTES FAUT-IL ARTICULER ?			
§ 1. Les voûtes articulées plus souples se prêtent à des mouvements qui troublent les autres ; elles peuvent être acceptées sur des sols ou contre des appuis qui cèdent, p. 277. — § 2. Distribution géographique des voûtes articulées, p. 278. — § 3. Quelles voûtes convient-il d'articuler, p. 280.	277	302	

TOME V

(TABLE DÉTAILLÉE. — TOME V, p. 213)

3^e PARTIE**CE QUE L'EXPÉRIENCE ENSEIGNE DE
COMMUN A TOUTES LES VOÛTES**

Pages Tome V	
Texte	Table détaillée
PRÉLIMINAIRES.....	3 213
LIVRE I. — COMMENT ON PROJETTE UN PONT EN MAÇON- NERIE. — MATÉRIAUX. — APPAREIL. — DISPOSITION. — ASPECT. — DÉCORATION.	
TITRE I. — GRANDES VOÛTES EN PIERRE. — MATÉRIAUX. — APPAREIL. — TRAVAIL.	
CHAPITRE I. — DÉSIGNATION DES PRINCIPAUX MATÉRIAUX LEUR DISTRIBUTION USUELLE DANS LES OUVRAGES.....	7 213
CHAPITRE II. — COMMENT SONT FAITES LES VOÛTES APPAREILLÉES DE 40^m ET PLUS.	8 213
CHAPITRE III. — MATÉRIAUX.....	11 214
§ 1. Pierres, p. 11. — § 2. Mortiers, p. 12.	
CHAPITRE IV. — DISPOSITIONS DES MATÉRIAUX. — APPAREIL.....	15 214
§ 1. Partout, dans un ouvrage, on doit disposer les matériaux par assises normales à la pression, p. 15.	
§ 2. Matériaux des trois parties de la voûte, bandeaux, douelle, queutage, p. 16.	
CHAPITRE V. — TRAVAIL.....	20 215
§ 1. Distinguer entre les maçonneries appareillées et les autres, p. 20. — § 2. Travail dans quelques voûtes appareillées, p. 20.	
§ 3. Rapport à accepter dans les voûtes appareillées entre le travail permis et la charge d'écrasement, p. 20 — § 4. Résistance des voûtes à la traction, p. 22.	
TITRE II. — VOÛTES EN BÉTON.....	23 215
§ 1. Ce qu'on a fait en béton, p. 23. — § 2. Quelques voûtes en béton, composition, résistance, pression, p. 24.	
§ 3. Composition du béton, p. 26. — § 4. Efforts. Résistance imposée, p. 26. — § 5. Mode d'exécution des grandes voûtes en béton, p. 27. — § 6. Avantages et incon- vénients du béton, p. 28.	
TITRE III. — FRUIT DES TÊTES.....	29 216
§ 1. Ce qui a été fait, p. 29. — § 2. Inconvénients et avantages du fruit, p. 30.	
TITRE IV. — PILES	
CHAPITRE I. — DIMENSIONS ET DISPOSITIONS.....	31 216
§ 1. Epaisseur des piles aux naissances des voûtes, p. 31. — § 2. Fruit transversal des piles, p. 32. — § 3. Becs, p. 32. — § 4. Retombées des bandeaux sur les becs, p. 36. — § 5. Niveau du socle ou du ressaut, p. 38.	
CHAPITRE II. — MATÉRIAUX ET APPAREIL.....	39 217
§ 1. Massif de fondation, p. 39. — § 2. Au-dessus de l'eau ou du sol. p. 39.	
CHAPITRE III. — EFFETS DES BECS SUR LE COURANT.....	40 217
CHAPITRE IV. — ACTION DES PILES SUR LES FONDS AFFOUILLABLES.....	40 217

TITRE V. — CULÉES**CHAPITRE I. — COMMENT ON CALCULE LEURS DIMENSIONS**

§ 1. Efforts que supportent les culées. — § 2. Ce qu'il faut pour résister aux efforts..

CHAPITRE II. — DISPOSITIONS DES CULÉES.....

§ 1. Renvoi aux monographies et à l'appendice, p. 43. — § 2. Epaisseurs, p. 44. — § 3. Culées à parement antérieur en porte-à-faux ou en encorbellement. Culées perdues, p. 44. — § 4. Culées évidées, p. 45. — § 5. Précautions contre le glissement, p. 45. — § 6. Culées longues et hautes. Comment on supporte économiquement l'about du parapet, p. 45. — § 7. Culées entre arches inégales, p. 47.

CHAPITRE III. — MATÉRIAUX. — APPAREIL.....**TITRE VI. — VOLUME ENTRE LES GRANDES VOÛTES ET LA VOIE PORTÉE****CHAPITRE I. — VOLUME PLEIN.....****CHAPITRE II. — AU-DESSUS DE QUELLES VOÛTES A-T-ON ÉVIDÉ ET COMMENT ?**

§ 1. Quand faut-il, quand ne faut-il pas évider ? — § 2. Comment on évide.....

CHAPITRE III. — ÉVIDEMENTS TRANSVERSAUX CACHÉS.....**CHAPITRE IV. — ÉVIDEMENTS TRANSVERSAUX APPARENTS.....**

§ 1. Viaduc d'évidement à petites arches en plein cintre courant sur le dos de la grande voûte, p. 51. — § 2. Viaduc d'évidement en arc de cercle p. 55. — § 3. Viaduc d'évidement passant par dessus la clef des grandes voûtes, p. 56. — § 4. Ouvrages à plusieurs arches : ouverture unique au-dessus des piles, p. 56. — § 5. Ce qu'il ne faut pas faire, p. 58. — § 6. Forme des grandes voûtes sous des arches d'évidement transversales, p. 59.

CHAPITRE V. — ÉVIDEMENTS LONGITUDINAUX.....**CHAPITRE VI. — ÉVIDEMENTS DANS LES DEUX SENS.....****CHAPITRE VII. — EMPLOI DU BÉTON ARMÉ.....****TITRE VII. — COMMENT ON RÉDUIT
LA LARGEUR DES VOÛTES ENTRE TÊTES****UN SEUL ANNEAU AVEC TROTTOIRS EN ENCORBELLEMENT
PLANCHER SUR DEUX ANNEAUX MINCES****CHAPITRE I. — POUR ÉPUISER LA RÉSISTANCE DES VOÛTES,
IL FAUT EN RÉDUIRE LA LARGEUR.....**

§ 1. Dans un grand pont en pierre, avec les dispositions habituelles, les matériaux ne travaillent guère qu'à se porter eux-mêmes, et ils ne travaillent pas assez, p. 63. — § 2. Avec les dispositions actuelles, on ne peut pas imposer aux grandes voûtes tout l'effort qu'elles peuvent supporter. Il faut réduire leur largeur, p. 64.

CHAPITRE II. — UN SEUL ANNEAU AVEC TROTTOIRS EN ENCORBELLEMENT.....

§ 1. Ce qui a été fait sur les voûtes de 40^m et plus, p. 65. — § 2. Quelques types d'encorbellements, p. 66. — § 3. Réduction de largeur pour les voûtes sous rails, p. 67.

CHAPITRE III. — VOIE LARGE SUR DEUX ANNEAUX MINCES PORTANT UN PLANCHER.

§ 1. Description sommaire, p. 67. — § 2. Ponts en deux anneaux, p. 69. — § 3. Faire en deux anneaux les ponts larges, p. 71.

Pages Tome V	
Texte	Table détaillée
42	218
43	218
47	218
49	218
50	219
51	219
51	219
59	219
61	219
62	219
63	220
65	220
67	220

	Pages Tome V	
	Texte	Table détaillée
TITRE VIII. — PONTS BIAIS		
CHAPITRE I. — VOÛTES BIAISES.....	72	221
§ 1. Définitions, p. 72. — § 2. Appareils biais, p. 73. — § 3. Choix de l'appareil suivant le biais, p. 74. — § 4. Très longues voûtes biaises, p. 75. — § 5. Portée limite des voûtes à appareil biais, p. 75. — § 6. Précautions dans l'exécution des voûtes biaises, p. 76. — § 7. Observations diverses, p. 76. — § 8. Piles biaises sous voûtes biaises. Tracé des becs, p. 76.		
CHAPITRE II. — VOÛTES DROITES DONT L'AXE EST OBLIQUE SUR LA RIVIÈRE OU LA VOIE TRAVERSÉE.....	77	221
CHAPITRE III. — VOÛTES DROITES, NON EN BERCEAU, SUR PILES RONDES.....	80	221
CHAPITRE IV. — PONTS EN DEUX ANNEAUX.....	80	221
TITRE IX. — VOÛTES EN COURBE.....	81	222
TITRE X. — PONTS EN RAMPE, EN DOS D'ÂNE.....	81	222
§ 1. Ponts en rampe, p. 81. — § 2. Ponts en dos d'âne, p. 82.		
TITRE XI. — COMMENT ON AJUSTE L'OUVRAGE AU TERRAIN		
CHAPITRE I. — QUELQUES SILHOUETTES D'OUVRAGES SUR QUELQUES FORMES DE TERRAINS.....	85	222
§ 1. Faire les ouvrages à la demande du terrain, p. 85. — § 2. Ouvrages bas : Ponts, p. 85. — § 3. Ouvrages hauts : Viaducs. Viaduc sur la Têt, près de Fontpédrouse (Pyrénées-Orientales).....	86	222
CHAPITRE II. — OÙ ET POURQUOI ON A FAIT DES PONTS A UNE SEULE GRANDE ARCHE.....	92	223
CHAPITRE III. — CHOIX DE L'INTRADOS.....	93	223
TITRE XII. — QUELQUES RÉFLEXIONS SUR L'ARCHITECTURE DES PONTS		
CHAPITRE I. — ENSEMBLE DE L'OUVRAGE.....	98	223
CHAPITRE II. — ÉLÉMENTS DE L'OUVRAGE.....	100	224
TITRE XIII. — RESPECT AUX VIEUX PONTS.....	101	224
TITRE XIV. — DÉCORATION DES PONTS		
CHAPITRE I. — QUELQUES RÉFLEXIONS SUR LA DÉCORATION DES PONTS.....	102	224
CHAPITRE II. — TÊTES DES VOÛTES.....	102	224
§ 1. Bandeaux à crossettes, p. 102. — § 2. Archivoltes, p. 103. — § 3. Bandeaux avec table inférieure en retraite sur les tympanes, p. 106. — § 4. Clefs pendantes. Cartouches, p. 106. — § 5. Voussures, p. 108.		
CHAPITRE III. — MURS DE TÊTE.....	111	225
CHAPITRE IV. — COURONNEMENT.....	114	225
§ 1. Plinthe ou corniche, p. 114. — § 2. Parapets, p. 116. — § 3. Refuges, p. 118. — § 4. Statues sur un pont, p. 120. — § 5. Inscriptions commémoratives, p. 121.		
CHAPITRE V. — CULÉES. — ABORDS.....	122	226
CHAPITRE VI. — TOURS, OBÉLISQUES, SUR UN PONT.....	124	226
CHAPITRE VII. — PONTS COUVERTS.....	125	226
CHAPITRE VIII. — ÉTUDIER LES PONTS FRANÇAIS DU XVIII^e SIÈCLE.....	126	226

**LIVRE II. — COMMENT ON EXÉCUTE UN PONT
EN MAÇONNERIE. — FONDATIONS. — CINTRES — VOÛTES**

		Pages Tome V	
		Texte	Table détaillée
TITRE I. — FONDATIONS		129	226
§ 1. Comment et sur quel sol on a fondé les grandes voûtes, p. 129. — § 2. Il faut aux grandes voûtes des appuis invariables, p. 131.			
TITRE II. — CINTRES			
CHAPITRE I. — GÉNÉRALITÉS		132	226
§ 1. Bois. Assemblages, p. 132. — § 2. Fermes, p. 133. — § 3. Pièces transversales, p. 133.			
CHAPITRE II. — CINTRES FIXES, C'EST-A-DIRE BIEN APPUYÉS SUR LE SOL			
ENTRE LES NAISSANCES		134	227
§ 1. Quelles voûtes fait-on sur cintres fixes, p. 134. — § 2. On peut classer les cintres fixes suivant la disposition des maîtresses pièces soutenant la couronne des vaux, p. 135. — § 3. Cintres fixes à poteaux (P), p. 136. — § 4. Cintres fixes à rayons (R), p. 138. — § 5. Cintres à treillis. Plusieurs étages. Arcs à grande flèche, p. 140. — § 6. Contrefiches rayonnant à partir de piles provisoires, p. 141. — § 7. Comment on a appuyé les cintres fixes quand on ne pouvait pas battre de pieux, p. 141. — § 8. Cube de bois K, poids de fer p , dépense d , par m. q. de douelle pour les divers types de cintres fixes, p. 141.			
CHAPITRE III. — CINTRES COMPLÈTEMENT RETROUSSÉS			
C'EST-A-DIRE NE S'APPUYANT QU'AUX NAISSANCES OU TOUT PRÈS DES NAISSANCES		142	228
§ 1. Quand et pour quelles voûtes « retrousse-t-on » le cintre ? p. 142. — § 2. Cintres retroussés à arbalétriers, p. 144. — § 3. Cintres à étages en porte-à-faux, p. 145. — § 4. Cintres retroussés à rayons. (Eventail) p. 146. — § 5. Cube de bois K, poids de fer p , dépense d , par m. q. de douelle pour les divers types de cintres retroussés.....		148	228
CHAPITRE IV. — SUPÉRIORITÉ DES CINTRES A RAYONS (ÉVENTAIL)			
ET COMME CINTRES FIXES ET COMME CINTRES RETROUSSÉS		150	228
CHAPITRE V. — CINTRES MARINIERS RETROUSSÉS			
SUR LA LARGEUR DE LA PASSE NAVIGABLE		150	229
CHAPITRE VI. — CINTRES EN MÉTAL		151	229
CHAPITRE VII. — SURHAUSSEMENT		152	229
CHAPITRE VIII. — ACCIDENTS		152	229
CHAPITRE IX. — PRÉCAUTIONS DIVERSES		153	229
CHAPITRE X. — APPAREILS DE DÉCINTREMENT		153	229
§ 1. Boîtes à sable, p. 153. — § 2. Coins, p. 153. — § 3. Vérins, p. 154. — § 4. Décintrement par écrasement de pièces du cintre, p. 154. — § 5. Décintrement en détendant des câbles, p. 154. — § 6. Divers, p. 155.			
CHAPITRE XI. — CALCUL		155	229
§ 1. Pression normale p , par unité sur le cintre à une distance angulaire α de la clef, p. 155. — § 2. Travail permis, p. 156.			
CHAPITRE XII. — POUR UN PONT A n ARCHES,			
COMBIEN DE CINTRES ?		156	230
TITRE III. — COMMENT ON EXÉCUTE LES GRANDES VOÛTES			
EN MAÇONNERIE APPAREILLÉE			
CHAPITRE I. — ROULEAUX		158	230
§ 1. Pourquoi on construit par rouleaux, p. 158. — § 2. Comment, depuis 1800, on a construit les voûtes de 40 ^m et plus, p. 158. — § 3. Epaisseur du 1 ^{er} rouleau, p. 159. — § 4. Rouleaux solidaires ou rouleaux indépendants, p. 160. — § 5. Adoption systématique de la construction par rouleaux, p. 160.			

	Pages	
	Tome V	
	Texte	Table détaillée
CHAPITRE II. — TRONÇONS ET CLAVAGES <i>On coupe les rouleaux en tranches par des joints vides, permettant à la voûte de suier, sans cassures, les mouvements du cintre; puis on mate ces joints.</i>		
§ 1. Nécessité des joints vides, p. 161. — § 2. Emplacement des joints vides, p. 162. — § 3. Comment, pendant la construction de la voûte, on maintient les joints vides, p. 163. — § 4. Comment on remplit les joints vides. Ordre des clavages, p. 165. — § 5. On peut construire par tranches sans construire par rouleaux, p. 168. — § 6. On peut construire par tranches quels que soient les matériaux de la voûte, p. 168. — § 7. Réactions normales aux lits créées par le matage des joints vides au mortier pulvérulent, p. 169. — § 8. Conclusion : adoption systématique des clavages multiples, p. 169.		
CHAPITRE III. — QUELQUES PRÉCAUTIONS.....	170	231
TITRE IV. — DÉCINTREMENT		
CHAPITRE I. — MEILLEURE ÉPOQUE A CHOISIR, QUAND ON EST LIBRE, POUR CLAVER ET DÉCINTRE.....	171	231
CHAPITRE II. — ÉTAT D'AVANCEMENT DES TYMPANS AU MOMENT DE DÉCINTRE.....	171	231
CHAPITRE III. — TEMPS PENDANT LEQUEL ON LAISSE LA VOÛTE SUR CINTRE....	172	231
CHAPITRE IV. — TASSEMENT DE LA CLEF AU DÉCINTREMENT.....	173	231
§ 1. Voûtes inarticulées, p. 173. — § 2. Voûtes articulées (<i>mortier de ciment</i>), p. 176. — § 3. Continuation du tassement après décintrement, p. 176. — § 4. Tassement des appuis de la voûte, p. 177.		
CHAPITRE V. — ACCIDENTS AU DÉCINTREMENT : FISSURES, ÉCRASEMENTS.....	177	232
CHAPITRE VI. — COMMENT ON MESURE LES TASSEMENTS.....	178	232
TITRE V. — ÉPREUVES DES VOÛTES EN MAÇONNERIE.....	179	232
TITRE VI. — MOUVEMENTS ET FISSURES DUS AUX CHANGEMENTS DE TEMPÉRATURE NÉCESSITÉ DE S'EN PRÉOCCUPER POUR LES GRANDES VOÛTES JOINTS DE DILATATION.....	180	232
§ 1. Variation de longueur d'un prisme : 1° <i>Sous une compression normale</i> μ ($Kg / 0.01^2$); 2° <i>pour une variation de température</i> t ; 3° <i>par imbibition</i> , p. 180. — § 2. Comment varie la température des voûtes, p. 181. — § 3. Mouvements observés aux clefs des voûtes, p. 181. — § 4. Fissures d'hiver, p. 183. — § 5. Dispositifs permettant la dilatation. Joints de dilatation, p. 185.		
LIVRE III. — CONCLUSIONS GÉNÉRALES		
TITRE I. — PONTS MÉTALLIQUES OU PONTS VOÛTÉS ?		
CHAPITRE I. — QUELQUES GÉNÉRALITÉS.....	189	233
§ 1. Pierre et métal, p. 189. — § 2. Cas où s'impose le métal, p. 189.		
CHAPITRE II. — COÛT TRÈS VARIABLE DE PREMIER ÉTABLISSEMENT DES PONTS MÉTALLIQUES COMME DES PONTS VOÛTÉS.....	190	233
CHAPITRE III. — SUPÉRIORITÉ DES PONTS EN MAÇONNERIE AU POINT DE VUE DE L'ENTRETIEN PROPREMENT DIT.....	192	233
§ 1. Entretien des ponts métalliques, p. 192. — § 2. Entretien des ponts voûtés, p. 193.		
CHAPITRE IV. — SUPÉRIORITÉ DES PONTS VOÛTÉS POUR RÉSISTER A DES MACHINES PLUS LOURDES.....	194	233
§ 1. Il faut consolider ou refaire les ponts métalliques, p. 194. — § 2. Les ponts en maçonnerie résistent, p. 195.		
CHAPITRE V. — AVANTAGES SPÉCIAUX DES PONTS VOÛTÉS.....	196	233
§ 1. Ils sont plus beaux. — § 2. Ils sont plus solides. — § 3. Ils durent, p. 196. — § 4. Ils sont plus simples de projet et de construction. — § 5. Sous chemin de fer, on ballaste comme en pleine voie. — § 6. Quelques cas où le pont voûté est spécialement indiqué, p. 197.		
CHAPITRE VI. — PRÉFÉRENCE DONNÉE AUJOURD'HUI AUX PONTS VOÛTÉS.....	198	234

TITRE II. — VOÛTES DE 40^m ET PLUS CLASSÉES PAR PAYS
1° PAR INTRADOS — 2° — PAR PORTÉE — 3° PAR DATE
PLUS GRANDE VOÛTE A CHAQUE ÉPOQUE

Tableau I. — Voûtes inarticulées de 40 ^m et plus, classées par pays et par intrados.....	200	234
Tableau II. — Voûtes inarticulées et articulées de 40 ^m et plus, classées par pays et par date.....	202	234
Tableau III. — Voûtes inarticulées et articulées de 40 ^m et plus, classées par pays et par portée.....	204	234
Tableau IV. — Plus grande voûte à chaque époque depuis 1339.....	206	234

TITRE III. — POURQUOI N'A-T-ON PAS ENCORE FAIT
DES VOÛTES DE PLUS DE 100^m ?.....

TITRE IV. — PROGRÈS DES GRANDES VOÛTES DEPUIS 1880.....

§ 1. Augmentation des portées ; augmentation du nombre, du surbaissement, du rayon de courbure au cerveau des voûtes de 40^m et plus, p. 209. — § 2. Ont fait progresser l'art des voûtes les Ingénieurs qui en ont construit beaucoup, p. 211. — § 3. Part de la France, p. 212.

Pages Tome V	
Texte	Table détaillée
200	234
202	234
204	234
206	234
207	234
209	234

PONTS DÉCRITS DANS L'OUVRAGE

INDEX ALPHABÉTIQUE

(Ceux à voûtes de portée de 40^m et plus, en maçonnerie ou en béton non armé, ont un symbole).

Pour le sens des symboles, voir Tomes I, II, III, p. 3 et 4. Le trait horizontal sous la lettre de l'intrados désigne les voûtes articulées : les petites lignes coupant ce trait désignent le type d'articulation (Tome IV, p. 28 et 29).

PONT	Rivière ou voie traversée	Pays	Symbole	Tome	Pages	
					Tableau synoptique	Mono- graphie
Adolphe, à Luxem- bourg	Pétrusse	Luxembourg	$\hat{A}^1 \hat{A}^1 r'' (\geq 40^m)^1$	II	60	67
de l'Alma, à Paris.....	Seine	France	$E^n r'' (\geq 40^m)^2$	I	138	153
des Amidonniers, à Tou- louse	Garonne	France	$E^n E^n r'' (\geq 40^m)^1$	I	188	193
Annibal	Vulturne	Italie	$E^1 r'' (\geq 40^m)^6$	I	88	112
Antoinette.....	Agout	France	$\hat{A}^1 Fr (\geq 40^m)^5$	II	118	145
d'Avignon.....	Rhône	France	$\hat{A}^n r'' (\geq 40^m)^8$	III	234	270
de Baersbronn.....	Murg	Wurtemberg	$\hat{A}^1 r'' (\geq 40^m)^3$	IV	38	48
des Bains-de-Lucques ..	torrent Fegana	Italie	$\hat{A}^1 r'' (\geq 40^m)^4$	III	10	32
de Ballochmyle	Ayr	G ^{de} -Bretagne, Ecosse	$C^1 Fr (\geq 40^m)^1$	I	38	41
de l'Avenue Edmondson, à Baltimore	Gwynn's Falls	Etats-Unis	$E^1 r'' (\geq 40^m)^9$	I	90	122
de Bellefield, à Pitts- burg	Creux de Saint-Pierre	Etats-Unis	$\hat{A}^1 r'' (\geq 40^m)^9$	III	14	49
de Bellows Falls.....	Connecticut	Etats-Unis	$\hat{A}^1 Fr (\geq 40^m)^1$	III	222	225
de Berdoulet	Ariège	France	$\hat{A}^1 Fr (\geq 40^m)^2$	II	116	128
de Nydeck, à Berne.....	Aar	Suisse	$\hat{A}^1 r'' (\geq 40^m)^6$	II	12	51
sur la Big Muddy River...	Big Muddy River	Etats-Unis	$E^n Fr (\geq 40^m)^1$	I	222	225
de Boberullersdorf.....	Bober	Allemagne, Silésie	"	III	286	298
de Boilefos	Nidelven	Norvège	$\hat{A}^1 Fr (\geq 40^m)^{23}$	III	88	159
Boucicaut	Saône	France	$\hat{A}^n r'' (\geq 40^m)^2$	III	230	243
de Brent.....	« Baie » de Clarens	Suisse	$C^1 r'' (\geq 40^m)^5$	I	12	34
de Cabin-John.....	Cabin-John Creek	Etats-Unis	$\hat{A}^1 aq (\geq 40^m)^1$	III	72	75
de Calcio.....	Oglio	Italie	$\hat{A}^1 Fr (\geq 40^m)^5$	III	80	100
de Canale.....	Isonzo	Autriche	$\hat{A}^n Fr (\geq 40^m)^1$	III	182	185
de Cannstatt.....	Neckar	Wurtemberg	$\hat{A}^n Fr (\geq 40^m)^1$	VI	190	225
de Cassel.....	Fulda	Prusse	"	III	286	302
du Castelet	Ariège	France	$\hat{A}^1 Fr (\geq 40^m)^3$	II	116	130
de Céret (Vieux pont).	Tech	France	$C^1 r'' (\geq 40^m)^1$	I	10	15
de Céret.....	Tech	France	$\hat{A}^1 Fr (\geq 40^m)^7$	II	120	160

PONT	Rivière ou voie traversée	Pays	Symbole	Tome	Pages	
					Tableau synoptique	Mono- graphie
sur la Chemnitz.....	Chemnitz	Saxe	$\hat{A}^1 Fr (\geq 40^m)^{14}$	III	84	129
de Chemnitz.....	Chemnitz	Saxe	$E^n Fr (\geq 40^m)^1$	IV	104	107
de Grosvenor, à Chester.....	Dee	Angleterre	$\hat{A}^1 r'' (\geq 40^m)^3$	III	10	29
de Cinuskel.....	Inn	Suisse	$\hat{A}^1 r' (\geq 40^m)^3$	II	178	189
de Clair (Vieux pont).	Drac	France	$\hat{A}^1 r'' (\geq 40^m)^4$	II	10	42
de Clair.....	Drac	France	$\hat{A}^1 r'' (\geq 40^m)^5$	III	12	36
sur la Rocky River, près de Cleveland.....	Rocky River	Etats-Unis	$\hat{A}^1 \hat{A}^1 r'' (\geq 40^m)^3$	II	62	95
de Collonges.....	Rhône	France	$C^1 r'' (\geq 40^m)^4$	I	10	31
de l'Avenue du Connecticut, à Washington.....	Rock Creek	Etats-Unis	$C^n r'' (\geq 40^m)^2$	I	60	67
de Sidi-Rached, à Constantine.....	Rhumel	Algérie	$\hat{A}^1 \hat{A}^1 r'' (\geq 40^m)^4$	II	64	107
Cornélius, à Mu- nich.....	Isar	Bavière	$\hat{A}^n r'' (\geq 40^m)^3$	IV	166	180
de la Coulouvrenière, à Genève.....	Rhône	Suisse	$\hat{A}^n r'' (\geq 40^m)^1$	IV	78	81
de Courris.....	Tarn	France	$E^n Fr (\geq 40^m)^2$	VI	182	205
de Crespano.....	Astico	Italie	$\hat{A}^1 r'' (\geq 40^m)^5$	II	10	46
sur la Delaware, près de Portland.....	Delaware	Etats-Unis	»	III	284	289
du Diable.....	Sele	Italie	$E^1 r'' (\geq 40^m)^7$	I	88	116
du Diable, à Marto- rell.....	Llobregat	Espagne	»	III	»	313
sur la Diveria.....	torrent Diveria	Italie	$\hat{A}^1 Fr (\geq 40^m)^{15}$	III	84	130
de Dombas.....	Jora	Norvège	$\hat{A}^1 Fr (\geq 40^m)^{27}$	VI	186	219
des Eaux-Salées.....	«Calanque» des Eaux-Salées	France	$C^1 Fr (\geq 40^m)^4$	VI	180	193
de l'Avenue Edmondson, à Balti- more (classé plus haut sous la lettre B).....	Gwynn's Falls	Etats-Unis	$E^1 r'' (\geq 40^m)^9$	I	90	122
Édouard VII, à Kew.....	Tamise	Angleterre	$E^n r'' (\geq 40^m)^7$	I	144	182
Élise, à Neubourg.	Danube	Bavière	$\hat{A}^1 r'' (\geq 40^m)^4$	IV	126	151
d'Elsen.....	Alme	Prusse	»	III	286	300
d'Elyria.....	Black River	Etats-Unis	$\hat{A}^1 r'' (\geq 40^m)^7$	III	12	46
de l'Empereur François, à Prague.....	Moldau	Autriche	$E^n r'' (\geq 40^m)^5$	I	140	168
d'Escot.....	Gave d'Aspe	France	$\hat{A}^1 Fr (\geq 40^m)^{11}$	II	122	174
de Fium'Alto.....	Fium'Alto	France, - Corse	$E^1 r'' (\geq 40^m)^5$	I	88	110
de Marbre,	Arno	Italie	»	III	»	319
à Florence.....	Têt	France	»	V	»	87
de Fontpédrouse.....						

PONT	Rivière ou voie traversée	Pays	Symbole	Tome	Pages	
					Tableau synoptique	Mono- graphie
Frédéric-Auguste, à Plauen	Une place	Saxe	$\bar{A}^1 r'' (\geq 40^m)^{10}$	III	14	52
de Freyssinet	Vézère	France	$\bar{A}^1 Fr (\geq 40^m)^8$	III	82	112
de Garching	Alz	Bavière	$\bar{E}^n Fr (\geq 40^m)^1$	IV	92	95
de la Coulouvrenière, à Genève (cité plus haut sous la lettre C)	Rhône	Suisse	$\bar{A}^n r'' (\geq 40^m)^1$	IV	78	81
de Gignac	Hérault	France	$\bar{E}^1 r'' (\geq 40^m)^3$	I	86	103
de Gloucester	Severn	Angleterre	$\bar{E}^1 r'' (\geq 40^m)^4$	I	86	107
de Göhren	Zwikkauer- Mulde	Saxe	$\bar{A}^1 r'' (\geq 40^m)^2$	IV	124	139
du Gour-Noir	Vézère	France	$\bar{A}^1 Fr (\geq 40^m)^6$	III	80	103
de Grasdorf	Leine	Hanovre	$\bar{A}^1 r'' (\geq 40^m)^1$	IV	124	129
de Gräveneck	Lahn	Prusse, - Hesse	$\bar{A}^1 r'' (\geq 40^m)^1$	IV	210	213
sur la Gravona	Gravona	France, - Corse	$\bar{A}^1 fr (\geq 40^m)^1$	II	178	183
de Gross-Kunzendorf	Freiwaldaue- Biele	Allemagne, - Silésie	$\bar{A}^n r'' (\geq 40^m)^6$	III	232	267
de Grosvenor, à Ches- ter (cité plus haut, sous la lettre C)	Dee	Angleterre	$\bar{A}^1 r'' (\geq 40^m)^3$	III	10	29
de Guggersbach	Singine	Suisse	$\bar{A}^1 r'' (\geq 40^m)^{11}$	III	14	59
sur la Gutach	Gutach	Grand Duché de Bade	$\bar{A}^1 Fr (\geq 40^m)^{12}$	III	84	122
de Gulfos		Norvège	$\bar{A}^1 Fr (\geq 40^m)^{28}$	VI	186	219
de Hochberg	Neckar	Wurtemberg	$\bar{A}^n r'' (\geq 40^m)^2$	IV	166	177
de Höfen	Enz	Wurtemberg	$\bar{A}^1 r'' (\geq 40^m)^1$	IV	38	41
de l' Hôtel-Dieu, à Lyon	Rhône	France	$\bar{E}^n \bar{E}^n r'' (\geq 40^m)^2$	VI	182	203
de Hutzenbach	Murg	Wurtemberg	$\bar{A}^1 r'' (\geq 40^m)^3$	III	192	206
d' Illerbeuren	Iller	Bavière	$\bar{A}^1 Fr (\geq 40^m)^1$	IV	156	159
d' Inzigkofen	Danube	Hohenzollern	$\bar{A}^1 r'' (\geq 40^m)^1$	IV	220	225
d' Isola del Cantone (pont en amont et pont en aval)	Scrivia	Italie	$\bar{A}^1 Fr (\geq 40^m)^{3,4}$	III	80	98
de Jamna	Pruth	Autriche	$\bar{A}^1 Fr (\geq 40^m)^{10}$	III	82	118
de Jaremcz	Pruth	Autriche	$\bar{A}^1 Fr (\geq 40^m)^9$	III	82	114
de Justinien	Sangaris	Asie-Mineure	"	III	"	318
de Kempten	Iller	Bavière	$\bar{A}^1 Fr (\geq 40^m)^{1,2,3}$	IV	112	115
à Kew (classé plus haut, sous la lettre E)	Tamise	Angleterre	$\bar{E}^n r'' (\geq 40^m)^7$	I	144	182
de Kleinwolmsdorf	Ræder	Saxe	$\bar{A}^1 Fr (\geq 40^m)^1$	II	116	125

PONT	Rivière ou voie traversée	Pays	Symbole	Tome	Pages	
					Tableau synoptique	Mono- graphie
de Krappitz	Hotzenplotz	Allemagne, - Silésie	$\bar{A}^n r'' (\geq 40^m)^5$	III	232	265
sur le Krenngraben	Krenngraben	Autriche	$\bar{A}^1 Fr (\geq 40^m)^{17}$	III	86	134
de Krummenau	Thur	Suisse	$\bar{A}^1 Fr (\geq 40^m)^{25}$	III	90	164
de Kupferhammer	Freiwaldauer Biele	Allemagne, - Silésie	$\bar{A}^1 r'' (\geq 40^m)^9$	III	196	214
de Langenbrand	Murg	Grand Duché de Bade	$\bar{A}^1 Fr (\geq 40^m)^{21}$	III	88	152
sur le Latah Creek, à Spo- kane	Latah Creek	Etats-Unis	»	VI	188	»
de Lavour (Vieux Pont)	Agoût	France	$E^1 r'' (\geq 40^m)^2$	I	86	97
de Lavour	Agoût	France	$\bar{A}^1 Fr (\geq 40^m)^4$	II	118	135
de Lichtensteig	Thur	Suisse	$\bar{A}^1 Fr (\geq 40^m)^{24}$	III	88	161
de Londres (London Bridge)	Tamise	Angleterre	$E^n r'' (\geq 40^m)^1$	I	138	147
de Longuich	Moselle	Prusse-Rhénane	$\bar{A}^n r'' (\geq 40^m)^{10}$	III	236	279
de Lusserat	Charente	France	$\bar{A}^1 Fr (\geq 40^m)^{22}$	III	88	155
Adolphe, à Luxembourg (cité plus haut sous la lettre A)	Pétrusse	Luxembourg	$\bar{A}^1 \bar{A}^1 r'' (\geq 40^m)^1$	II	60	67
de Mallang	Moselle	Lorraine Allemande	$\bar{A}^n r'' (\geq 40^m)^1$	IV	166	175
de Mannheim	Neckar	Grand Duché de Bade	$\bar{A}^n r'' (\geq 40^m)^9$	IV	172	206
de Mantes	Seine	France	$E^n r'' (\geq 40^m)^3$	I	140	160
de Marbach	Murr	Wurtemberg	$\bar{A}^1 r'' (\geq 40^m)^2$	IV	38	45
de Marbre, à Florence (cité plus haut, sous la lettre F)	Arno	Italie	»	III	»	319
de Marbre, à Pise		Italie	»	III	»	305
de Maretta	Scrivia	Italie	$\bar{A}^1 Fr (\geq 40^m)^1$	III	80	93
sur le Martin's Creek	Martin's Creek	Etats-Unis	»	VI	188	»
du Diable, à Martorell (cité plus haut, sous la lettre D)	Llobregat	Espagne	»	III	»	313
Maximilien, } à Mu- Max-Joseph } nich	Isar	Bavière	$\bar{A}^n r'' (\geq 40^m)^6$	IV	168	192
			$\bar{A}^1 r'' (\geq 40^m)^4$	IV	222	242
de Mehring	Moselle	Prusse-Rhénane	$\bar{A}^n r'' (\geq 40^m)^3$	III	230	252
de Michelau	Glatzer Neisse	Allemagne, - Silésie	$\bar{A}^1 r'' (\geq 40^m)^6$	III	194	209
de Modène	Panaro	Italie	»	III	»	307
de la Monroe Street, à Spokane	Spokane	Etats-Unis	»	III	284	293
de Montanges	Valserine	France	$\bar{A}^1 r'' (\geq 40^m)^{12}$	III	16	62

PONT	Rivière ou voie traversée	Pays	Symbole	Tome	Pages	
					Tableau synoptique	Mono- graphie
de Morbegno.....	Adda	Italie, - Valtelline	$\hat{A}^1 Fr (\geq 40^m)^1$	IV	62	65
Mosca, à Turin ...	Dora Riparia	Italie	$\hat{A}^1 r'' (\geq 40^m)^1$	III	192	199
de Moulins (pont de Mansart).....	Allier	France	»	III	»	305
de Moulins-les-Metz...	Moselle	Lorraine allemande	$\hat{A}^n r'' (\geq 40^m)^8$	IV	170	202
de Munderkingen	Danube	Wurtemberg	$\hat{A}^1 r'' (\geq 40^m)^1$	IV	52	55
de Munich (cités aussi sous les lettres C. M. P. R. W.)	Isar	Bavière	$\hat{A}^n r'' (\geq 40^m)^3$	IV	166	180
			$\hat{A}^n r'' (\geq 40^m)^6$	IV	168	192
			$\hat{A}^1 r'' (\geq 40^m)^4$	IV	222	242
			$\hat{A}^1 r'' (\geq 40^m)^3$	IV	222	239
			$\hat{A}^n r'' (\geq 40^m)^4$	IV	168	183
			$\hat{A}^n r'' (\geq 40^m)^7$	IV	170	199
de Narni	Néra	Italie	»	III	»	317
de Neckargartach	Neckar	Wurtemberg	$\hat{A}^n r'' (\geq 40^m)^5$	IV	168	186
de Neckarhausen	Neckar	Hohenzollern	$\hat{A}^1 r'' (\geq 40^m)^2$	IV	220	232
de Neuhammer.....	Queis	Allemagne, - Silésie	$\hat{A}^1 r'' (\geq 40^m)^7$	III	194	211
Élise, à Neubourg (citée plus haut sous la lettre E)	Danube	Bavière	$\hat{A}^1 r'' (\geq 40^m)^4$	IV	126	151
de Niagara	Rauma	Norvège	$\hat{A}^1 Fr (\geq 40^m)^{12}$	VI	184	207
de Nogent-sur-Marne.	Marne	France	$C^2 Fr (\geq 40^m)^1$	I	76	79
de Nydeck, à Berne (citée plus haut sous la lettre B).....	Aar	Suisse	$\hat{A}^1 r'' (\geq 40^m)^6$	II	12	51
de Nyons.....	Eygues	France	$\hat{A}^1 r'' (\geq 40^m)^2$	II	10	25
d'Oloron	Gave d'Oloron	France	$C^1 Fr (\geq 40^m)^2$	I	38	45
d'Orense	Miño	Espagne	»	III	»	311
d'Orkla	Orkla	Norvège	$\hat{A}^1 Fr (\geq 40^m)^{26}$	VI	186	218
d'Orléans.....	Loire	France	$\hat{A}^n r'' (\geq 40^m)^4$	III	232	255
d'Ornaisons	Orbieu	France	$C^2 r'' (\geq 40^m)^1$	I	60	63
sur le Palmgraben.....	Palmgraben	Autriche	$\hat{A}^1 Fr (\geq 40^m)^8$	II	120	164
de Pélussin.....	Ravin de Pélussin	France	$\hat{A}^1 fr (\geq 40^m)^6$	VI	184	209
de Walnut Lane, à Philadelphie	Wissahickon Creek	Etats-Unis	$\hat{A}^1 \hat{A}^1 r'' (\geq 40^m)^2$	II	62	83
de Marbre, à Pise (citée plus haut, sous la lettre M)....		Italie	»	III	»	305
de Bellefield, à Pittsburg (citée plus haut, sous la lettre B)	Creux de Saint-Pierre	Etats-Unis	$\hat{A}^1 r'' (\geq 40^m)^9$	III	14	49

PONT	Rivière ou voie traversée	Pays	Symbole	Tome	Pages	
					Tableau synoptique	Mono- graphique
Frédéric-Auguste, à Plauen (cité plus haut, sous la lettre F)....	Une place	Saxe	$\hat{A}^1 r'' (\geq 40^m)^{10}$	III	14	52
de Pont-sur-Yonne...	Yonne	France	$E^n aq (\geq 40^m)^1$	I	210	213
dit Pont-y-tu-Pridd...	Tafe	Angleterre	$\hat{A}^1 r'' (\geq 40^m)^2$	III	10	26
de Pouch.....	Vézère	France	$\hat{A}^1 Fr (\geq 40^m)^7$	III	82	110
de l'Empereur François à Prague (classé plus haut, sous la lettre E)	Moldau	Autriche, - Bohême	$E^n r'' (\geq 40^m)^5$	I	140	168
de Prarolo.....	Scrivia	Italie	$\hat{A}^1 Fr (\geq 40^m)^2$	III	80	93
du Prince-Régent, à Munich (cité plus haut sous la lettre M).....	Isar	Bavière	$\hat{A}^1 r'' (\geq 40^m)^3$	IV	222	239
de Putney.....	Tamise	Angleterre	$\hat{A}^n r'' (\geq 40^m)^1$	III	230	239
de Ramounails.....	Ravin de Ramounails	France	$\hat{A}^1 fr (\geq 40^m)^2$	II	178	186
de Rébuzo.....	Aude	France	$C^1 Fr (\geq 40^m)^3$	I	38	48
de Reichenbach, à Munich (cité plus haut, sous la lettre M).....	Isar	Bavière	$\hat{A}^n r'' (\geq 40^m)^4$	IV	168	183
sur la Rocky River, près de Cleveland (cité plus haut, sous la lettre C)....	Rocky River	Etats-Unis	$\hat{A}^1 \hat{A}^1 r'' (\geq 40^m)^3$	II	62	95
sur la Roizonne.....	Roizonne	France	$C^1 fr (\geq 40^m)^2$	VI	180	199
de Rothenburg.....	Neisse	Silésie	"	IV	266	"
sur le Rothweinbach....	Rothweinbach	Autriche	$\hat{A}^1 Fr (\geq 40^m)^{10}$	II	122	171
Saint-Etienne (Ste- fansbrücke).....	Ruzbach	Autriche	$\hat{A}^1 r'' (\geq 40^m)^7$	II	12	55
de Saint-Georges....	Liri	Italie	"	III	"	307
Saint-Martin, à Tolède.....	Tage	Espagne	"	III	"	309
de Saint-Pierre.....	Dadou	France	$E^1 r'' (\geq 40^m)^8$	I	90	120
de Saint-Sauveur....	Gave de Pau	France	$C^1 r'' (\geq 40^m)^3$	I	10	27
de Salcano.....	Isonzo	Autriche	$\hat{A}^1 Fr (\geq 40^m)^{19}$	III	86	141
du Saulnier.....	Gardon de Sainte-Cécile- d'Andorge	France	$\hat{A}^1 r'' (\geq 40^m)^6$	III	12	40
sur le Schalhgraben....	Schalchgraben	Autriche	$\hat{A}^1 Fr (\geq 40^m)^9$	II	120	168
sur le Schwändeholzobel	Schwän- deholzobel	Grand Duché de Bade	$\hat{A}^1 Fr (\geq 40^m)^{13}$	III	84	126
de Schweich.....	Moselle	Prusse Rhénane	$\hat{A}^n r'' (\geq 40^m)^7$	III	234	268
de Schwusen.....	Bartsch	Allemagne, - Silésie	$\hat{A}^1 r'' (\geq 40^m)^8$	III	194	213
de Seythenex.....	Tamié	France	$\hat{A}^n r'' (\geq 40^m)^2$	III	170	177

PONT	Rivière ou voie traversée	Pays	Symbole	Tome	Pages	
					Tableau synoptique	Mono- graphie
du Sidi-Rached, à Constantine (cité plus haut sous la lettre C).....	Rhumel	Algérie	$\hat{A}^1 \hat{A}^1 r^{**} (\geq 40^m)^4$	II	64	107
de Sigmaringen	Danube	Hohenzollern	»	IV	250	253
de Signac.....	Pique	France	$E^1 Fr (\geq 40^m)^1$	I	128	131
de Solis	Albula	Suisse	$C^1 r (\geq 40^m)^1$	I	52	55
de la Monroe Street, à Spokane (cité plus haut sous la lettre M)....	Spokane	Etats-Unis	»	III	284	293
sur la Steyrling	Steyrling	Autriche	$\hat{A}^1 Fr (\geq 40^m)^{18}$	III	86	137
sur le Strandeelven	Strandeelven	Norvège	$\hat{A}^1 Fr (\geq 40^m)^{16}$	III	84	132
de Svenkerud	Halling- dalselven	Norvège	$\hat{A}^1 Fr (\geq 40^m)^{20}$	III	86	150
de Teinach	Nagold	Wurtemberg	$\hat{A}^1 r^{**} (\geq 40^m)^2$	III	192	203
de Saint-Martin à Tolède (cité plus haut sous la lettre S)....	Tage	Espagne	»	III	»	309
des Amidonniers à Toulouse (cité plus haut sous la lettre A)....	Garonne	France	$E^n E^n r^{**} (\geq 40^m)^1$	I	188	193
de Tournon.....	Doux	France	$\hat{A}^1 r^{**} (\geq 40^m)^3$	II	10	35
de Trajan	Danube	Hongrie	»	III	»	317
de Trezzo.	Adda	Italie	$\hat{A}^1 r^{**} (\geq 40^m)^1$	III	10	19
de Trittenheim.....	Moselle	Prusse Rhénane	$\hat{A}^n r^{**} (\geq 40^m)^9$	III	234	276
de Tunkhannock.....	Tunkhannock Creek	Etats-Unis	»	VI	188	220
de Tuoi	Cluoza	Suisse	$\hat{A}^1 r (\geq 40^m)^4$	II	180	194
Mosca, à Turin (cité plus haut sous la lettre M)....	Dora Riparia	Italie	$\hat{A}^1 r^{**} (\geq 40^m)^1$	III	192	199
de la Wallstrasse, à Ulm.....	Voies de gare	Wurtemberg	$\hat{A}^1 r^{**} (\geq 40^m)^3$	IV	124	143
de Valence.....	Rhône	France	$E^n r^{**} (\geq 40^m)^6$	I	142	173
sur le Verdon	Verdon	France	$E^1 Fr (\geq 40^m)^2$	I	128	133
de Verdun-s'-le-Doubs	Doubs	France	$E^n r^{**} (\geq 40^m)^4$	I	140	165
du Vieux-Château, à Vérone	Adige	Italie	$\hat{A}^n r^{**} (\geq 40^m)^1$	III	170	173
Victoria	Wear	Angleterre	$\hat{A}^n Fr (\geq 40^m)^1$	II	198	201
de Vieille-Brioude (an- cien pont).....	Allier	France	$\hat{A}^1 r^{**} (\geq 40^m)^1$	II	10	15
de Vieille-Bricude	Allier	France	$C^1 r^{**} (\geq 40^m)^2$	I	10	23

PONT	Rivière ou voie traversée	Pays	Symbole	Tome	Pages	
					Tableau synoptique	Mono- graphie
de Villeneuve-d'Agen (Vieux pont)	Lot	France	»	III	»	315
de Villeneuve-d'Agen.	Lot	France	$\hat{A}^1 \hat{A}^1 r'' (\geq 40^m)^1$	VI	186	210
de Visille	Romanche	France	$E^1 r'' (\geq 40^m)^1$	I	86	93
sur la Vouga	Vouga	Portugal	$\hat{A}^1 fr (\geq 40^m)^5$	VI	184	208
de Wälditobel	Ravin de Klösterle	Autriche	$\hat{A}^1 Fr (\geq 40^m)^6$	II	120	157
de Walnut Lane, à Philadelphie (citée plus haut, sous la lettre P)....	Wissahickon Creek	Etats-Unis	$\hat{A}^1 \hat{A}^1 r'' (\geq 40^m)^2$	II	62	83
de la Wallstrasse, à Ulm (citée plus haut sous la lettre U)	Voies de gare	Wurtemberg	$\hat{A}^1 r'' (\geq 40^m)^3$	IV	124	143
de l'Avenue du Connecticut à Washington (classé plus haut sous la lettre C).	Rock Creek	Etats-Unis	$C^n r'' (\geq 40^m)^2$	I	60	67
près de Weisenbach	Murg	Grand Duché de Bade	$\hat{A}^1 aq (\geq 40^m)^1$	III	216	219
de Wengern	Malapane	Allemagne, - Silésie	$\hat{A}^1 r'' (\geq 40^m)^4$	III	192	207
de Wheeling	Wheeling Creek	Etats-Unis	$\hat{A}^1 r'' (\geq 40^m)^8$	III	12	47
de Wiesen	Landwasser	Suisse	$E_h^1 fr (\geq 40^m)^1$	I	232	235
de Wittelsbach, à Mu- nich (citée plus haut sous la lettre M)	Isar	Bavière	$\hat{A}^n r'' (\geq 40^m)^7$	IV	170	199
de Worochta	Pruth	Autriche	$\hat{A}^1 Fr (\geq 40^m)^{11}$	III	82	120
de Ziegenhals	Freiwaldaer Biele	Allemagne, - Silésie	$\hat{A}^1 r'' (\geq 40^m)^5$	III	194	208

ERRATA GÉNÉRAL

On avait d'abord pensé ne faire que 5 Tomes : on a dû en faire 6. Au cours des Tomes I à IV, on a quelquefois renvoyé à un Appendice, Tome V : il est dans le Tome VI.

TOME I

Pages	Au lieu de :	lire :	Pages	Au lieu de :	lire :
26 4 ^e ligne.....	Ça	Ç'a	174 Dessin f ₁ - Numéros des voûtes.....	1, 2, 3, 4	4, 3, 2, 1
82 Renvoi 1.....	1908 à 1901	1908 à 1910	175 Dessin f ₁₀ - Echelle.	10 ^m	5 ^m
86 P ^a de Vizille, col. 4.	3 centres	5 centres	188 P ^a des Amidonniers, col. 9 - Evidemen ^{ts} - Surbaissements.	9 ^m 90 1/4, 91, 1/4, 97	10 ^m 10 1/4, 07, 1/4, 04
90 P ^a d'Edmondson, col. 4. Montée...	13 ^m 309	13 ^m 35	194 3 ^e ligne.....	la Dalbabe,	la Dalbade,
91 P ^a d'Edmondson, col. 15.....	14 tranches	16 tranches	194 2. Forme des voûtes - Rayons de courbure aux naiss ^{ances} ...	$\rho_1 = \frac{p^2}{R}$	$\rho_1 = \frac{p^2}{a}$
129 P ^a de Signac, col. 16, Décintrement.....	68 jours	30 jours	245 } P ^a de Ballochmyle...	Angleterre, Ecosse	G ^{de} . Bretagne, Ecosse
142 P ^a de Valence, col. 9.	sur murs de 0 ^m 95	sur murs de 0 ^m 55	250 }		
157 10 ^e ligne.....	avec l'intrados	avec l'extrados			
173 Renvoi 1.....	$\gamma = \frac{x^2}{P^2} \left(1 - \frac{x}{l}\right)$	$\gamma = \frac{x^2}{P^2} \left(1 - \frac{x}{2l}\right)$			

TOME II

49 7. Décintrement, dernière ligne....	à 16 ^m 35	à 16 ^m 53	122 P ^a d'Escot, col. 12, Ecart ^{ts} des fermes.	1 ^m 50	1 ^m 23
68 Dessin f ₁	$e_1 = 2^m10$	$e_1 = 2^m16$	178 P ^a de Ramounails, col. 9, dern ^{ière} ligne.	pires de 0 ^m 90	pires de 0 ^m 80
120 P ^a de Palmgraben, col. 16. Décintr ^{ts} .	20 août	20 juillet	181 P ^a de Tuoi, col. 15.	3 rouleaux	2 rouleaux

TOME III

16 P ^a de Montanges, colonne 1.....	1908-1909	1908-1910	332 Renvoi 19, 3 ^e ligne..	$(Chx) = \frac{ex + e^{-x}}{2}$	$(Chx) = \frac{e^x + e^{-x}}{2}$
114 3. Chape. 1 ^{re} ligne..	d'asphalte recouverte	d'asphalte recouvert	334 9 ^e ligne.....	courbure diminuée sur 3 fois la bande comprimée	courbure augmentée sur la bande comprimée
124 1 ^{re} ligne.....	Tlinthe	Plinthe	360 Dernière ligne.....	(.. § II, art. 2.)	(.. § 2, art. 4.)
124 Renvoi 5.....	« Im Einklang... »	« Im Einklange... »	373 Renvoi 24, 2 ^e ligne..	(§ II, art. 2-D)	(§ 2, art. 4),
130 Titre, 3 ^e ligne.....	1902	1901-1902	374 Renvoi 27, 5 ^e ligne..	43 ^m 38,	43 ^m .
167 Renvoi 4.....	(≥ 40 ^m) ¹¹	(≥ 40 ^m) ¹²	386 P ^a de l'Alma, 3 ^e col.	1910-1912,	1907-1909,
287 P ^a d'Elsen, col. 12, Ecart ^{ts} des fermes.	0 ^m 88	1 ^m 08	387 P ^a de Lichtensteig, 11 ^e colonne.....	48 ^m 73,	48 ^m 42,
330 4 ^e ligne.....	y croît	y décroît	390 P ^a de Gignac, 3 ^e col.		

TOME IV

12 Art. 3, 1 ^{re} ligne....	Köpcke (f ₁)	Köpcke ^{11, 12} (f ₁)	223 P ^a Max-Joseph, col. 12 - Nombre de fermes.....	9	10
15 Tableau II _A - Valeurs de $\frac{2x}{l}$	0,046, 0,041, 0,049, 0,10, 0,12, 0,12, 0,29, 0,29, 0,30	0,070, 0,062, 0,073, 0,152, 0,183, 0,179, 0,39, 0,43, 0,45	260 Tableau - Avant dernière col.....	Epaiss ^{rs} en 0 ^m 01	Epaiss ^{rs} en 0 ^m 001
24 Renvoi 48, 5 ^e ligne..	triangles 00 ^m C	triangles 00 ^m 0'	267 P ^a de Grasdorf, 1 ^{re} colonne.....	1', 2'5, 4'5	1', 2'5, 4'
46 6. Exécution de la voûte, 6 ^e ligne....	tassa de 55 ^m , (Bavière)	tassa de 72 ^m , (Wurtemberg)	272 Renvoi 1.....	p. 45.	p. 55.
143 Titre, 1 ^{re} ligne.....	classé comme	est assez surbaissé	276 Renvoi 6 - P ^a de Moulins-lez-Metz, 3 ^e colonne.....	Bandeaux en PT	Bandeaux en MEV
156, 159, 247 } Pont	très surbaissé \hat{A}	\hat{A}	285 P ^a Cornélius, 4 ^e col..	(≥ 40 ^m) ²	(≥ 40 ^m) ³
264, 284, 295 } d'Illerbeuren			285 P ^a de Neckarhausen, 2 ^e colonne.....	Danube	Neckar
168 P ^a de Neckargartach, col. 3.....	Fruit : 1/40	Fruit : 1/10	294 P ^a Elise, 1 ^{re} ligne...	(≤ 40 ^m) ⁴	(≥ 40 ^m) ⁴
221 P ^a d'Inzigkofen, col. 10. Rive dr ^{ite} . Pression.....	28 ^m 6	7 ^m 7			

TOME V

Pages	Au lieu de :	Lire :	Pages	Au lieu de :	Lire :
27 Renvoi 39.....	Art. 7. — A.	Art. 8.	103 Photographie.....	Pont Ælius	Pont Ælius
34 Photographie.....	Φ_s - amont	Φ_s - aval	141 Renvoi 42.....	Nydeck (II, 33);	Nydeck (II, 53);
34 id.	Φ_s - aval	Φ_s - amont	153 Renvoi 101.....	Teinach (IV, 204);	Teinach (III, 204);
36 Renvoi 41. 5 ^e ligne..	10 jours	100 jours	154 Renvoi 122. P ^a de		
52 P ^a de Lichtensteig.			Krenngraben.....	(III, 87, 136);	(II, 87, 136);
4 ^e colonne.....	Allemagne	Suisse	160 Renvoi 10. P ^a de Céret	(I - 118),	(I - 18),
52 P ^a de Krummenau.			163 Renvoi 41. P ^a du		
4 ^e colonne.....	Allemagne	Suisse	Prince-Régent...	(IV, 233).	(IV, 223).
61 P ^a d'Edmondson.			163 Renvoi 44. P ^a de Ja-		
4 ^e colonne.....	I - 206	I - 122	remcse.....	(III, 110).	(III, 116).
70 Croquis des 2 ^e , 3 ^e , 4 ^e			175 Art. 3. Pont de Trit-		
colonne.....	l_a, l_v, l_d	l_a, l_v, l_d	tenheim. Tassem ^l .	20 ^m	12 à 15 ^m
75 Renvoi 10. 1 ^{re} ligne.	à l'extrados	à l'intrados	203 Tableau II. Plus		
	(renvoi 4),	(renvoi 5),	grandes voûtes in-		
77 Renvoi 17. Valeurs	$E = r_s + r_i$	$CF = r_s + r_i$	articulées. 4 ^e col.	48 ^m 70 (Vérone)	55 ^m
de r_s et r_i	$\frac{E}{2} (1 \pm \cotg \theta)$	$\frac{E}{2} (\sin \theta \pm \cos \theta)$	210 Art. 3. P ^a d'Edmond-		(Annibal, Diable)
83 Renvoi 12.....	soit 0,097	soit 0,0097	son. Surbaissém ^l .	1/5,428	1/3,17
102 Dessin f ₁	le redresser				

TOME VI

13 § 1. — Art. 2.....	même 0 ^m 50.	même 0 ^m 20.	166 § 2. Art. 1 - 2 ^e lig...	$Z_1^a = \frac{v^2}{4a^2}$,	$Z_1^a = \frac{v^2}{4a}$,
48 Renvoi 27.....	Table T ₁ ,	Table T ₂ ,	169 P ^a sur la Roizonne..	1912-1916	1912-1915
64 Renvoi 69. 11 ^e ligne.	côté Amiens	côté Rouen.	218 P ^a sur l'Orkla.....	1912-1915	1911-1915
71 Renvoi 92.....	V, p. 50.	V, p. 60.	214 Renvoi 11 - 1 ^{re} ligne..	d'octobre 1881,	d'octobre 1886,
83 Art. 1. — 4 ^e ligne..	sur 0 ^m 25	sur 0 ^m 20			
159 Art. 1. — Fin de la					
2 ^e ligne.....	axe $\mathcal{G}X$.	axe $\mathcal{G}Y$.			

POUR RELIER, CONSULTER, CONSERVER L'OUVRAGE

A CAUSE DES NOMBREUSES PHOTOGRAPHIES QUI Y FIGURENT, ON A DÛ, MALGRÉ QU'ON EN EÛT, EMPLOYER DU PAPIER « COUCHÉ », QUI EST FRAGILE ET DEMANDE QUELQUE SOIN POUR ÊTRE MANIÉ ET CONSERVÉ.

POUR RELIER, ON COUDRA LES CAHIERS SUR UNE BANDE DE TOILE : ON BROCHERA, PUIS ON COLLERA SUR LES COUTURES UNE SECONDE BANDE DE TOILE, OU MIEUX, DE PEAU.

ON RELIERA AVEC DE TRÈS FORTS « PLATS ».

POUR OUVRIR UN VOLUME RELIÉ, ON SE GARDERA DE LE POSER D'ABORD SUR UN PLAT : ON LE PLACERA VERTICALEMENT SUR SON DOS.

NE PAS PLIER LE PAPIER, ON LE CASSE — NI FEUILLETER AVEC UN DOIGT MOUILLÉ, ON LE TACHE.

CONSERVER LES VOLUMES EN UN LIEU SEC, A L'ABRI DU SOLEIL ET DE LA CHALEUR.

500.00
MAY 27 1914
UNIV. OF MICH.
LIBRARY



